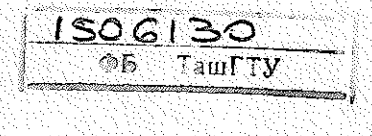
621,8(075) K93

КУРООВОО ПРОЕКТИРОВАНИЕ ДЕТАЛЕЙ МАШИН

Под общей редакцией заслуженного деятеля науки и техники РСФСР, д-ра техн. наук проф. В Н. КУДРЯВЦЕВА

Допущено Министерством высшего и среднего специального образования СССР в качестве учебного пособия для студентов нашиностроительных специальностей вузов





Ленинград «Машиностраение» Ленинградское отделение 1984 ББК 34.42я7 К93 УДК 621.81 (075)

В. Н. Кудрявцев, Ю. А. Державец, И. И. Арефьев, И. С. Кузьмии, И. З. Томсинский, В. Ф. Федоров, Е. С. Кисточкии, В. Г. Тюленев, В. И. Смирнов, М. В. Капцан, Г. С. Соколов, А. Л. Филипенков

Рецензенты

д-р техн. наук проф. Е. Г. Гипзбург; кафедра деталей машин Ленинградского политехнического института имени М. И. Калинина (зав. кафедрой канд. техн. наук доц. Ю. К. Михайлов)

Курсовое проектирование деталей машин/В. Н. Кудрявцев, К93 Ю. А. Державец, И. И. Арефьев и др.; Под общ. ред. В. Н. Кудрявцева: Учебное пособие для студентов машиностроительных специальностей вузов.— Л.: Машиностроение, Ленингр. отд-ние, 1984. 400 с., ил.

В пер.; 1 р. 20 к.

K 2702000000-881 18-83

ББК 34.42 я7 6П5.3

ПРЕДИСЛОВИЕ

Курсовой проект по деталям машин является первой самостоятельной конструкторской работой студента. При выполнении его закрепляются знания по курсу «Детали машин», развивается умение использовать для практических приложений сведения из ранее изученных дисциплин, приобретаются навыки работы со справочной литературой, государственными и отраслевыми стандартами.

В соответствии с программой Минвуза СССР объектом курсового проекта являются механические передачи для преобразования вращательного движения, а также вращательного в поступательное. Наиболее распространенными объектами в курсовом проекте являются передачи цилиндрические, конические, червячные и передачи с гибкой связью. Такой выбор связан с большой распространенностью и важностью их в современной технике. Весьма существенным является и то, что в механическом приводе с упомянутыми передачами наиболее полно представлены основные детали, кинематические пары и соединения, изучаемые в курсе «Детали машин». Возьмем для примера редуктор с передачами зацеплением. Здесь имеем зубчатые (червячные) колеса, валы, оси, подшипники, соединительные муфты, соединения резьбовые, сварные, штифтовые, валступица, корпусные детали, уплотнительные устройства и т. д. При проектировании редуктора находят практические придожения такие важнейшие сведения из курса, как расчеты на контактную и объемную прочность. тепловые расчеты, выбор материалов и термообработок, масел, посалок. параметров шероховатости поверхности и т. д.

Пособие состоит из двух частей. В первой части даны проектировочные и проверочные расчеты основных элементов механических передач, указания к выбору материалов. Наряду с передачами с неподвижными осями зубчатых колес с рядными передачами большое внимание уделено планетарным передачам. Это вполне закономерно, поскольку они наиболее полно удовлетворяют требованиям к снижению массы и габаритных размеров. Рассмотрены также вопросы, относящиеся к теоретическим основам выбора наиболее рациональных типов механических передач в зависимости от режима работы и специфических требований, предъявляемых к приводу.

Во второй части пособия рассмотрены основы конструирования механических передач, вопросы, связанные с эскизной компоновкой рядных и планетарных редукторов, оформлением его рабочих чертежей в соответствии с ЕСКД пояснительной записки и конструированием элементов передач и редукторов в целом.

ОСНОВНЫЕ УСЛОВНЫЕ ОБОЗНАЧЕНИЯ

1. Условные обозначения, относящиеся ко всем главам

Е - модуль упругости первого	T – крутящий момент, $\mathbf{H} \cdot \mathbf{m}$;
рода, МПа;	T_f – момент трения, $H \cdot M$;
$F(F_n)$ — сила (нормальная), H ;	t — время;
G — модуль упругости второго	t_h — продолжительность работы,
рода, МПа;	ч;
$H_{\text{акт}}$ – твердость активных поверх-	t_E — эквивалентное время работы
ностей зубьев;	передачи за полный срок
НВ – твердость по Бринеллю;	службы;
HRC - твердость по Роквеллу;	и ≥ 1 — передаточное число;
HV – твердость по Виккерсу;	v — окружная скорость, м с ⁻¹ ;
$i(i_{00})$ — передаточное отношение	W_p — полярный момент сопро-
(общее) передачи;	тивления, мм ³ ;
J_p – полярный момент инерции,	α_{σ} ; α_{τ} — теоретические коэффициенты
мм ⁴ ;	концентрации напряжений;
K_{σ} ; K_{τ} — эффективные коэффициенты	$\varepsilon_{\sigma};\ \varepsilon_{\tau}$ — коэффициенты влияния аб-
концентрации напряжений;	солютных размеров при цик-
M – изгибающий момент, $H \cdot M$;	лических нагрузках;
No — базовое число циклов пере-	η – коэффициент полезного дей-
мен напряжений;	ствия;
N_E — эквивалентное число циклов	9 — температура, °С;
перемен напряжений;	μ — динамическая вязкость,
N_c — число циклов перемен на-	МПа-с;
пряжений;	v — кинематическая вязкость,
и _{зам} — число замен подшипника;	m²/c;
n _{p. 0} — частота вращения рабочего	ρ_m — плотность, кг/м ³ ;
органа машины, мин-1;	 т - нормальные и касательные
$P_{\text{ви}}$; $P_{\text{вм}}$ - мощности ведущего и ведо-	напряжения, МПа;
мого звена, кВт;	$\sigma_{\rm B}$; $\tau_{\rm B}$ — временное сопротивление,
R – коэффициент асиммстрии	МПа;
цикла;	σ_{r} ; τ_{r} – предел текучести, МПа;
s - коэффициент запаса проч-	σ_{-1} ; τ_{-1} — предел выносливости при
ности;	$R=-1$, M Π a;
	ψ — коэффициент потерь
INNERSON (1995년 - 1975년 - 1985년 - 1985년 - 1985년 - 1986년 - 1986	'라마다' ' 그리고 ' 그를 하였다. '

2. Условные обозначения, относивнеся к зубчатым передачам

Большее зубчатое колесо сцепляющейся пары называется колесом, а меньшее – шестерней. Термин «зубчатое колесо» относится как к шестерне, так и к колесу.

Буквенные обозначения, общие для обоих зубчатых колес сцепляющейся пары (d, z, x и др.), отмечаются индексом 1 для шестерни и 2 для колеса. Индекс j (j=1,2) является общим для шестерни и колеса. Величины, используемые при расчете на прочность активных поверхностей зубьев, снабжаются индексом H и индексом F — при расчетах выносливости при изгибе.

Обозначения, относящиеся к геометрии зубчатых передач

- а делительное межосевое расстояние, мм;
- a_m межосевое расстояние, мм;
- b =ширина зубчатого венца, мм;
- b_w рабочая ширина зубчатого венна. мм:
- с* коэффициент радиального зазора исходного контура;
- d делительный (средний делительный для конического колеса)
 днаметр зубчатого колеса, мм;
- d_a диаметр окружности вершин цилиндрического зубчатого колеса, мм;
- d_{ac} внешний диаметр вершин зубьев конического колеса, мм;
- d_c внешний делительный диаметр конического колеса, мм;
- d_f диаметр окружности впадии пилиндрического зубчатого колеса, мм;
- d_w начальный диаметр зубчатого колеса, мм;
- h_a^a коэффициент высоты головки исходного контура;
- $inv \alpha = tg \alpha \alpha эвольвентная функиня:$
 - К_{bв} коэффициент ширины зубчатого венца конической передачи;
 - т модуль зацепления (средний окружной для конических передач);
 - те внешний окружной модуль в прямозубых конических передачах:
 - m_n средний нормальный модуль в конических передачах с β ≠ 0;
 - m_t окружной делительный модуль;

- m_{ic} внешний окружной модуль в конических передачах с $\beta \neq 0$;
 - n частота вращения, мин $^{-1}$;
 - R среднее делительное конусное расстояние конической передачи, мм;
 - R_c внешнее делительное конусное расстояние конической передачи, мм;
 - х коэффициент смещения зубчатого колеса:
 - у коэффициент воспринимаемого смещения;
 - z число зубьев зубчатого колеса;
 - с угол профиля исходного контура;
 - α_t угол профиля зуба производящей рейки в торцовом сечении;
- α_{iw} угол зацепления в торцовом сечении;
 - β угол наклона линии зуба на делительном цилиндре;
 - β_b угол наклона линии зуба на основном цилиндре;
 - eta_w угол наклона линии зуба на начальном цилиндре;
 - Δу коэффициент уравнительного смещения;
 - $\varepsilon_{\rm a} {
 m коэффициент}$ торцового пере-
 - ε_β коэффициент осевого перекры-
- $\theta_a(\theta_f)$ угол головки (ножки) зуба конического зубчатого колеса;
 - р радиус кривизны профиля зуба,
 - ho_a радиус кривизны профиля зуба в точке на окружности вершии, мм

Обозначения, относящиеся к расчетам на прочность

- $F_{\text{rw}}(F_t)$ окружная составляющая силы в зацеплении, отнесенная к начальной (делительной) окружности, H;
 - F, радиальная составляющая силы в зацеплении, H;
- F_x осевая составляющая силы в зацеплении, H;
- K_{HL} ; K_{FL} коэффициенты долговечно-
- K_{He} ; K_{Fe} коэффициенты, учитывающие динамическую нагрузку;

 K_{H_2} ; K_{F_2} — коэффициенты, учитывающие неравномерность распреледения нагрузки между

зубъями; $K_{H\beta}(K_{H\beta}^0)$ — коэффициент, учитывающий неравномерность рас-

пин неравномерность распределения нагрузки по ширине зубчатого венца (в начальный период работы передачи);

 N_{H0} ; N_{F0} — эквивалентное число щиклов перемен напряжений;

 N_{HE} ; N_{FE} — базовое число циклов перемен напряжений;

Υ_F – коэффициент формы зуба;
 σ_F ([σ_F]) – расчетное (допускаемое) напряжение изгиба на переходной поверхности зуба,

МПа; $\sigma_{\text{F lim }b}^{Q}$ — предел выносливости зубъев при изгибе (R=0) п $N_{c} \gg N_{0}$), МПа;

он ([он]) — расчетное (допускаемое) контактное напряжение, МТа:

 $\sigma_{H \text{ lim } b}$ — предел контактной выносливости при $N_c \geqslant N_0$, МПа.

3. Условные обозначения, относящиеся к классификации планетарных передач

A — планетарный механизм 2k-h с одновенцовым сателлитом и центральными колесами с внещними (a) и внутренними (b) зубьями (рис. 6.1); A_{ba}^{b} — передача A с невращаю-

 μ_{ba} передача A с невращающимся передача A с невращающимся волилом h

табл. 6.1);

В — планетарный механизм

2k—h с двухвенцовым са-

внутренними (b) зубьями (рис. 6.1); B_{ha}^{b} — передача B с невращающимся центральным коле-

колесами с внешними (а) и

 $com\ b$ (табл. 6.1); C- планетарный механизм 2k-h с двухвенцовыми

сателлитами и центральными колесами с внутренними (b и e) зубьями (рис. 6.1);

 C_{ch}^{b} — передача C с невращающимся центральным колесом b (табл. 6.1);

3k — планетарный механизм, основными звеньями которого являются три центральных колеса (рис. 6.2); $(3k)_{ea}^{b}$ — передача 3k с невращаю-

щимся центральным колесом b (табл. 6.1);

АА — двухступенчатый планетарный механизм, составленный из двух механизмов

A; $A_{h_1a_1}^{b_1}A_{b_2a_2}^{h_2}$ — двухступенчатая планетарная передача 2 , составленная из двух механизмов A, в которых невращающимися звеньями являются центральные колеса b_1 и b_2 с внутренними зубьями

 $A_{h_1a_1}^{b_1}A_{b_2a_2}^{b_2}$ (табл. 6.2); - двухступенчатая планетарная пая передача, составленная из двух механизмов A, у которых в тихоходной ступени невращающимся звеном является центральнос колесо b_1 , а в быстро-

> (табл. 6.2); (AA) — замкнутый планетарный механизм, составленный из двух механизмов A.

ходной - водило

² Индекс 1 относится к обозначениям звеньев тихоходной ступени; 2 – к звеньям быстроходной ступени.

Верхиній индекс соответствует невращающемуся основному звену, нажине – обозначениям вращающихся звеньев, при этом первый из них относится к звену с больщим кругящим моментом.

ВВЕДЕНИЕ

Инженер-конструктор является творцом новой техники, и уровнем его творческой работы в большой степени определяются темпы научно-технического прогресса. Деятельность конструктора принадлежит к числу наиболее сложных проявлений человеческого разума. Решающая роль успеха при создании новой техники определяется тем, что заложено на чертеже конструктора. Одна из важнейших задач в подготовке инженера (проектанта, технолога, исследователя) — научить творчески применять при решении поставленных задач приобретенные знания. С развитием науки и техники проблемные вопросы решаются с учетом все возрастающего числа факторов, базирующихся на данных различных наук, поэтому умение работать на стыках различных дисциплин является показателем подготовленности современного специалиста и одним из необходимейших условий для продуктивной творческой деятельности.

В этой связи следует отметить особую роль курсового проектирования по деталям машин, завершающего цикл общетехнической подготовки студентов и являющегося первой самостоятельной конструкторской работой. При выполнении проекта студенты используют математические модели, базирующиеся на теоретических и экспериментальных исследованиях, относящиеся к объемной и контактной прочности, материаловедению, теплотехнике, гидравлике, теории упругости, строительной механике, трибонике и др. Широко используются также сведения из курсов сопротивления материалов, теоретической механики, теории механизмов и машин, технологии машиностроения, машиностроительного черчения и др. Суммируя сведения из перечисленных дисциплин, студенты приобщаются к деятельности инженеров и исследователей, начинают понимать значение общетеоретических и общеинженерных дисциплин. Все это способствует развитию самостоятельности и творческого нодхода к поставленным проблемам.

При принятии сложных инженерных решений далеко не все может быть формализовано. Одной из целей выполняемого проекта является развитие инженерного мышления, в том числе умения использовать предшествующий опыт, нащупывать новые идеи, моделировать, используя аналоги. Свойственная курсовому проекту по деталям машин многовариантность решений при одном и том же задании развивает у студентов мыслительную деятельность и инициативу. Развитие эвристических подходов является одной из составляющих качественного скачка, который предстоит совершить студентам при выполнении этого проекта.

Важнейшая задача курсового проектирования по деталям машин — развитие умения разрабатывать техническую документацию для облечения в материальную форму синтезируемой или заданной схемы механизма, учитывая требования, предъявляемые к прочности, работоспособности, технологичности, эксплуатационным расходам и т. д. Черчение, наряду с устной речью, письменностью, математическими описаниями и т. д., является важнейшим средством коммуникации, которым обязаны владеть инженеры. Базируясь на исходных предпосылках из курса графики и машиностроительного черчения, в процессе самостоятельной работы над курсовым проектом по деталям машин, студенты овладевают свободным чтением и выполнением чертежей неограниченной сложности.

Для курсового проектирования предпочтительны объекты, которые не только широко распространены и имеют большое практическое значение, но и не подвержены в обозримом будущем моральному старению. Этим требованиям в полной мере удовлетворяют отмеченные в предисловии объекты курсового проектирования по деталям машин, присущие всем современным машинам, механизмам, приборам и используемые в любых условиях от глубин земной коры и океана до летательных анпаратов в воздушной среде и в космосе.

Существуют различные типы механических передач: цилиндрические и конические, с прямыми и непрямыми зубьями, гипоидные, спироидные, червячные, глобоидные, одно- и многопоточные, многочисленные варианты планетарных и в том числе волновых передач, передач с гибкой связью и т. д. Это порождает вопрос о выборе наиболее рационального варианта передачи. При выборе типа передачи руководствуются показателями, среди которых основными являются КПД, габаритные размеры, масса, плавность работы и виброактивность, технологические требования, предполагаемое количество изделий и др. В рамках курсового проекта не представляется возможным достаточно полно охватить все параметры, необходимые для исчерпывающей сравнительной оценки различных типов передач, но по таким характеристикам, как КПД и массогабаритные показатели, студенты смогут вполне обоснованно выбрать схему передачи, удовлетворяющую заданным требованиям.

В пособии приведены математические модели с осредненными значениями коэффициентов, которые на стадии выбора схемы позволяют оценить различные варианты механических передач. Приведенные данные, касающиеся выбора типов механических передач, помогут переходу от часто используемых заданий с предлагаемой схемой привода, к заданиям, в которых по заданным частоте вращения и режиму нагружения рабочего органа машины необходимо самостоятельно выбрать схему привода, удовлетворяющую указанным в техническом задании требованиям. Такие задания нацеливают студентов на проявление большей самостоятельности и творчества.

При выборе типов передач, вида зацепления, механических характеристик материалов надо учитывать, что затраты на материалы составляют значительную часть стоимости машин: в редукторах общего назначения — 85%, в дорожных машинах — 75%, в автомобилях — 70% и т. д. Таким образом, изыскание путей снижения массы проектируемых объектов является важнейшей предпосылкой дальнейшего прогресса, необходимым

условием сбережения природных ресурсов. Уместно отметить, что большая часть вырабатываемой в настоящее время энергии проходит через механические передачи, поэтому их КПД в известной степени определяет эксплуатационные расходы.

Наиболее полно требованиям спижения массы и габаритных размеров удовлетворяет привод с использованием планетарных передач. Этому виду передач посвящено большое внимание и даны необходимые указания к их расчетам, конструированию, выбору схем и параметров.

При выполнении курсового проекта по деталям машин преподаватель имеет возможность наблюдать деятельность студентов в условиях, приближенных к тем, с которыми столкнутся будущие инженеры после завершения обучения в вузе. Это позволяет наиболее точно оценить данные каждого из учащихся, выбрать нужную стратегию обучения.

В пособии приведен рекомендуемый порядок выполнения курсового проекта по деталям машин и ориентировочные данные, относящиеся к его объему, включая пояснительную записку.

Часть первая

РАСЧЕТ ОСНОВНЫХ ЭЛЕМЕНТОВ МЕХАНИЧЕСКИХ ПЕРЕДАЧ

Глава 1

МЕХАНИЧЕСКИЕ ПЕРЕДАЧИ, РАЗРАБАТЫВАЕМЫЕ В КУРСОВОМ ПРОЕКТИРОВАНИИ

§ 1.1. Общие сведения

Основными объектами проектирования по курсу «Детали машин» являются механические передачи для преобразования вращательных движений и вращательного движения в поступательное. Используются передачи зубчатые и червячные, планетарные и волновые, передачи с гибкой связью и винт-гайка.

Угловые скорости двигателя $\omega_{\rm дв}$ и рабочего органа машины $\omega_{\rm p,o}$ (колес транспортной машины, валов прокатного стана, судового гребного винта, винта вертолета, шпинделя и суппорта токарного станка, приводного вала конвейера и т. д.), как правило, не равны между собой. Для согласования скоростей и моментов применяют механические передачи (рис. 1.1).

Привод механизма, разрабатываемый в курсовом проекте, осуществляется электродвигателем переменного тока с синхронной частотой вращения, равной 750, 1000, 1500 и 3000 мин $^{-1}$. Для снижения массы и габаритных размеров привода предпочтительны двигатели с более высокой частотой вращения — 1500 и 3000 мин $^{-1}$.

В задании на курсовой проект обычно указывают $\omega_{\rm p.o.}$, общее передаточное отношение $i_{\rm ob}=\omega_{\rm дp}/\omega_{\rm p.o.}$, режим нагружения и схему привода. В большей степени способствуют развитию творчества, самостоятельности

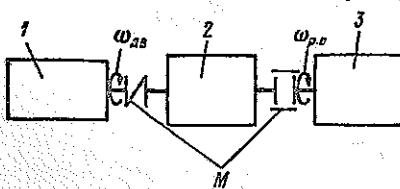


Рис. 1.1. Схема привода рабочей машины:

1 – двигатель; 2 – механическая передача;
 3 – рабочая машина; М – соединительные муфты

и умения работать с технической литературой курсовые проекты, в задании которых отсутствует схема привода, а даны режимы нагружения и требования к массогабаритным показателям, КПД, взаимному расположению входного и выходного валов. Указания к выбору схемы механического привода даны в гл. 12.

§ 1.2. Схемы механических передач

Характерные примеры механических приводов, используемых в качестве объектов при курсовом проектировании, приведены на рис. 1.2. Энергия от электродвигателя к редуктору может передаваться ременной или цепной передачей (рис. 1.2, б). Более широкое применение получают редукторы с фланцевыми электродвигателями (рис. 1.2, в), а также (при малых значениях передаточного числа) редукторы, устанавливаемые на электродвигателях (рис. 1.2, г). Такое объединение редуктора с электродвигателем приводит к уменьшению габаритных размеров и упрощению сборки механического привода.

Редукторы и мультипликаторы могут состоять из цилиндрических, конических, червячных и других передач зацеплением; оси их зубчатых колес могут быть неподвижными (рядные передачи) и подвижными (планетарные передачи). В редукторах и мультипликаторах наряду с передачами зацепления (зубчатыми и червячными) могут быть использованы и передачи с гибкой связью. В зависимости от заданного общего передаточного отношения и выбранной схемы редукторы выполняются одноступенчатыми (рис. 1.3, а; 1.4, а и 6; 1.5, а—в) и многоступенчатыми.

Выходная (тихоходная) ступень многоступенчатого редуктора обозначается цифрой I, следующая за ней — II и т. д. Соответствующие обозначения, относящиеся к этим ступеням, отмечаются индексами I, II, III. Например, для передачи, представленной на рис. 1.3, κ и A, имеем $I_{0.0} = u_1 u_1 u_1 u_1$.

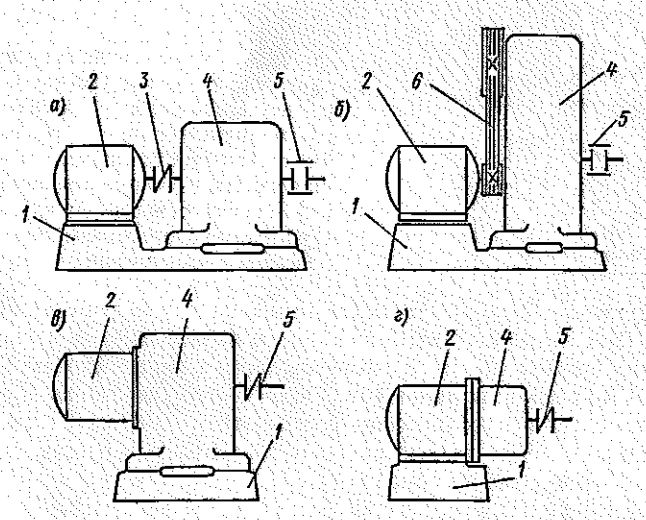
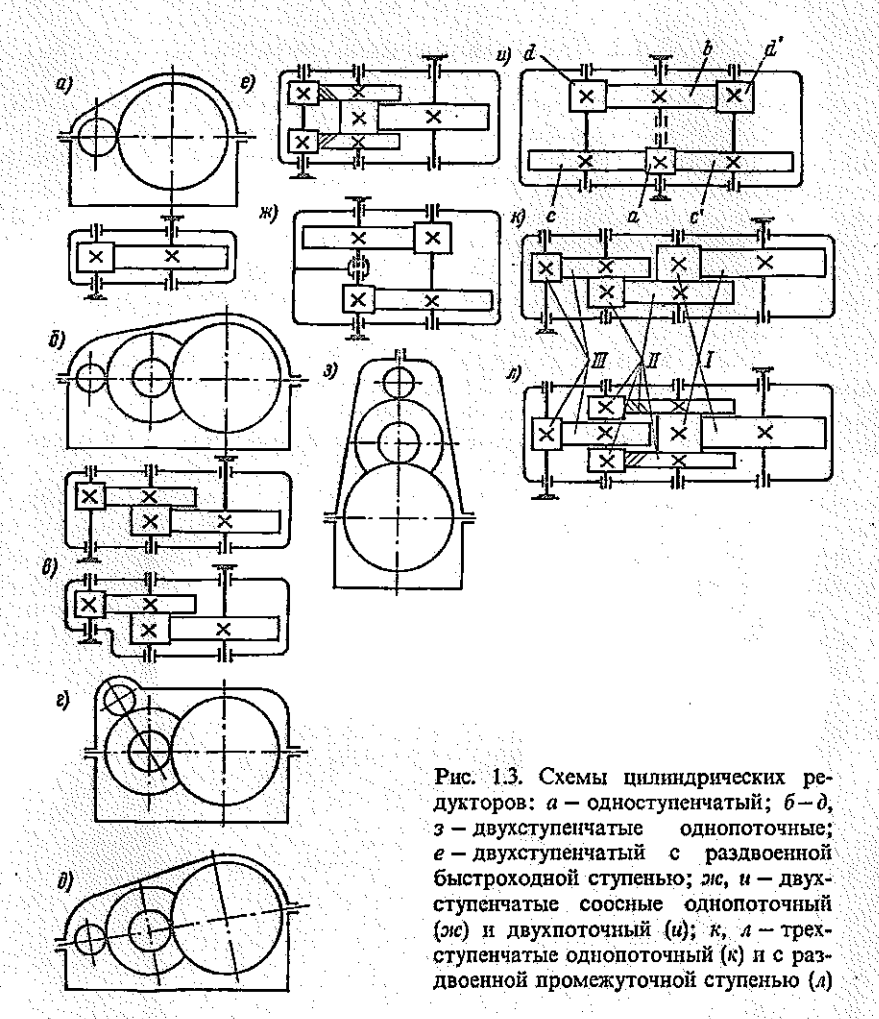


Рис. 1.2. Примеры механических передач: a — привод с раздельной установкой двигателя и механической передачи, связанных соединительной муфтой; δ — привод с раздельной установкой двигателя и механической передачи, связанных ременной (цепной) передачей; a — привод с фланцевым креплением двигателя; a — мотор-редуктор;

1 — рама; 2 — двигатель; 3, 5 — муфты; 4 — механическая передача; 6 — ременная (цепная) передача



Одноступенчатые цилиндрические передачи используются обычно при $i \leq 8 \div 9$. При больших значениях i_{05} целесообразно воспользоваться передачами с числом ступеней, превышающим единицу с целью снижения габаритных размеров привода (см. гл. 12). Это замечание в известной степени относится и к коническим передачам, но в этом случае имеются ограничения в выборе максимального значения u, обусловленные возможностями изготовления (см. гл. 4).

В одном и том же редукторе могут быть использованы передачи различных видов: цилиндрические, конические, червячные, планетарные, волновые, гибкой связью и др. Наиболее характерные компоновочные схемы рядных зубчатых редукторов даны на рис. 1.3 и 1.4. У большинства показанных редукторов оси располагаются в одной плоскости, которая может быть горизонтальной (рис. 1.3, а и др.), вертикальной (рис. 1.3, з) и наклонной (рис. 1.3, д).

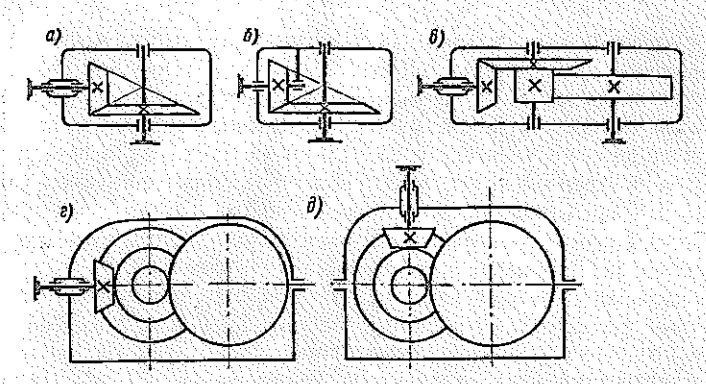


Рис. 1.4. Схемы конических и коническо-цилиндрических редукторов: a, δ — конические с консольной (a) и неконсольной (δ) установкой шестерни; a — коническо-цилиндрические с горизонтальным (δ) и вертикальным (δ) расположением оси быстрохолного вала

В каждой ступени нагрузка может передаваться одним зацеплением (рис. 1.3, а, б, в, ж и др., рис. 1.4), двумя (см. рис. 1.3, е, и, л) и большим числом зацеплений. В редукторах с раздвоенной бысгроходной (рис. 1.3, е) и промежуточной (рис. 1,3, л) ступенями опоры расположены симметрично относительно зубчатых колес тихоходной ступени (а также и бысгроходной в трехступенчатом редукторе). Благодаря этому достигаются равномерная загруженность опор от сил, действующих в зацеплении, и благоприятное распределение нагрузки по ширине зубчатого венца тихоходной ступени. Так как масса передачи определяется массой тихоходной ступени, надо

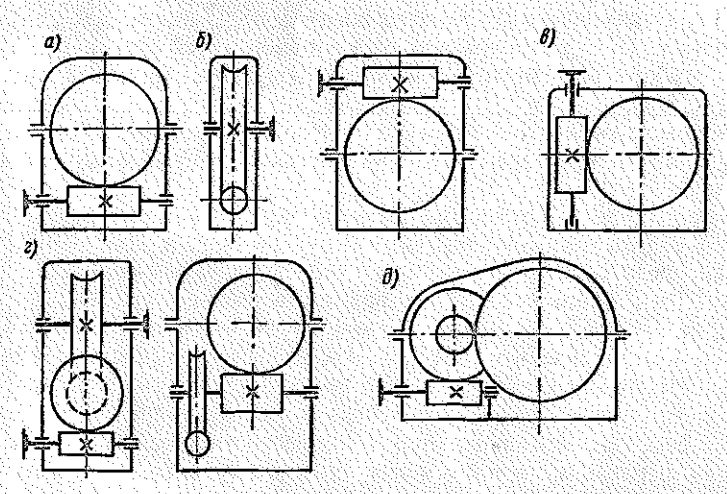


Рис. 1.5. Схемы червячных и червячно-цилиндрических редукторов: $a-\epsilon$ — одноступенчатые с горизонтальным нижним (a), верхним (б) и вертикальным расположением вала червяка; ϵ — двухступенчатый; δ — червячно-цилиндрический

в первую очередь стремиться к уменьщению неравномерности распределения нагрузки по ширине зубчатого венца именно в этой ступени. Преимущества передач с раздвоенными ступенями реализуются в том случае, если обеспечено достаточно равномерное распределение нагрузки между зацеплениями этих ступеней. Для этого зубчатые колеса раздвоенных ступеней выполняются косозубыми с большим углом наклона ($\beta \ge 30^\circ$) и противоположно направленными винтовыми линиями (рис. 1.3, e, a). Кроме того, предусматриваются опоры, допускающие осевые перемещения, необходимые для самоустанавливаемости.

Отмеченными достоинствами редукторов с раздвоенными ступенями не обладают редукторы, показанные на рис. 1.3.6 и κ , поскольку опоры в них расположены несимметрично относительно зубчатых колес. Негативные последствия этого зависят от величины $\psi_{bd} = b_w/d_{w1}$ (или $\psi_{bd} =$ $=b_{w}/a_{w}$). С уменьшением ψ_{bd} снижается неравномерность нагрузки между подшипниками, вызванная силами, действующими в зацеплениях, и неравномерность распределения удельных нагрузок по ширине зубчатых венцов от перекосов осей зубчатых венцов, вызванных деформациями валов. Схемы на рис. 1.3, 6 и $1.3, \kappa$ характерны для редукторов общего назначения. В них, в частности, предусматривается возможность изменения положения входного и выходного валов относительно корпуса. В курсовом проекте (так же как и при проектировании встроенных передач объектов. предназначенных для серийного или массового производства, к массогабаритным показателям которых предъявляются жесткие требования) следует использовать все возможности, направленные к снижению неравномерности распределения нагрузок по ширине зубчатого венца и среди подшипников зубчатого колеса для уменьшения массы и габаритных размеров редуктора. Для этой цели, например, целесообразно изменить корпус редуктора, показанного на схеме 1.3, б. так, как представлено на рис. 1.3. в. Отказавшись от характерного и оправданного для редукторов общего назначения расположения осей в одной плоскости, можно заметно снизить габаритные размеры и массу редуктора (сравните схемы на рис. 1.3, б и г).

Совпадение осей входного и выходного валов весьма часто является необходимым или важным условием для наиболее рациональной компоновки агрегатов.

На рис. 1.3, ж и и показаны соосные двухступенчатые рядные редукторы (соответственно однопоточный и двухпоточный). Для выравнивания нагрузки среди передач acdb и ac'd'b между зубчатыми колесами c и d, а также c' и d' устанавливаются упругие элементы.

На рис. 1.4 показаны конические одноступенчатые передачи с консольной (рис. 1.4, a) и неконсольной (рис. 1.4, δ) шестерней (последний вариант предпочтителен как обеспечивающий более благоприятное распределение нагрузок по ширине зубчатого венца) и коническо-цилиндрические редукторы с осями, лежащими в одной плоскости (рис. 1.4, δ), и с осью шестерни, перпендикулярной к плоскости осей остальных зубчатых колес (рис. 1.4, ϵ).

Червячные редукторы выполняются с нижним (рис. 1.5, a), верхним (рис. 1.5, b) или боковым (рис. 1.5, a) расположением червяка. В двухступенчатых червячных редукторах (рис. 1.5, a) червячное колесо быстроход-

ной ступени соединяется непосредственно с валом червяка тихоходной ступени. В червячно-цилиндрических редукторах (рис. 1.5, д) подобная связь осуществляется между червячным колесом и шестерней цилиндрической ступени.

Основные схемы планетарных передач, используемых в качестве редукторов механизмов привода, рассматриваются в гл. 6.

Глава 2

ЦИЛИНДРИЧЕСКИЕ ЗУБЧАТЫЕ ПЕРЕДАЧИ С ЭВОЛЬВЕНТНЫМ ЗАЦЕПЛЕНИЕМ

§ 2.1. Геометрия эвольвентных зацеплений ¹. Силы в зацеплении и КПД

Геометрия венца цилиндрического зубчатого колеса с внешними зубьями определяется числом зубьев z, расчетным модулем m, коэффициентом смещения x, углом наклона зубьев β и параметрами исходного контура, B соответствии с ГОСТ 13755-81 (СТ СЭВ 308-76) у исходного контура для цилиндрических зубчатых колес с расчетным модулем m>1 мм имеем: $\alpha=20^\circ$; $h_a^*=1$; $c^*=0,25$. Для повышения работоспособности тяжелонагруженных и высокоскоростных передач с внешними зубьями и для снижения их виброактивности рекомендуют применять исходный контур с модификацией профиля головки. Геометрия зубчатого венца колес с внутренними зубьями, как и параметры исходного контура α и h_a^* , определяется формой зубьев используемого долбяка. В СТ СЭВ 310-76 даны ряды значений $m=h_a$, начиная от 0,05 до 100 мм. Приводим из этого стандарта значения m от 1 до 12 мм:

1-й ряд (предпочтительный) — 1,0; 1,25; 1,5; 2,0; 2,5; 3,0; 4,0; 5,0; 6,0;

8,0; 10,0; 12,0.

2-й ряд — 1,125; 1,375; 1,75; 2,25; 2,75; 3,5; 4,5; 5,5; 7,0; 9,0; 11,0.

Указания к выбору числа зубьев шестерни z_1 , коэффициентов смещения x_1 и x_2 и угла β даны в \S 2.3.

Схема зацепления эвольвентных цилиндрических передач и обозначения основных геометрических параметров представлены на рис. 2.1.

Основные размеры цилиндрических передач с $x_1 = x_2 = \hat{0}$; $h_a^* = 1$; $c^* = 0,25$; межосевое расстояние

$$a_{10} = a = 0.5 (z_2 \pm z_1) m/\cos \beta;$$
 (2.1)

угол зацепления в торцовом сечении

$$\alpha_{tw} = \alpha_t = \arctan(\operatorname{tg} \alpha/\cos \beta);$$
 (2.2)

¹ Геометрические расчеты цилиндрических передач произволятся для передач внешнего зацепления в соответствии с ГОСТ 16532—70, для передач внутреннего зацепления—по ГОСТ 19274—73.

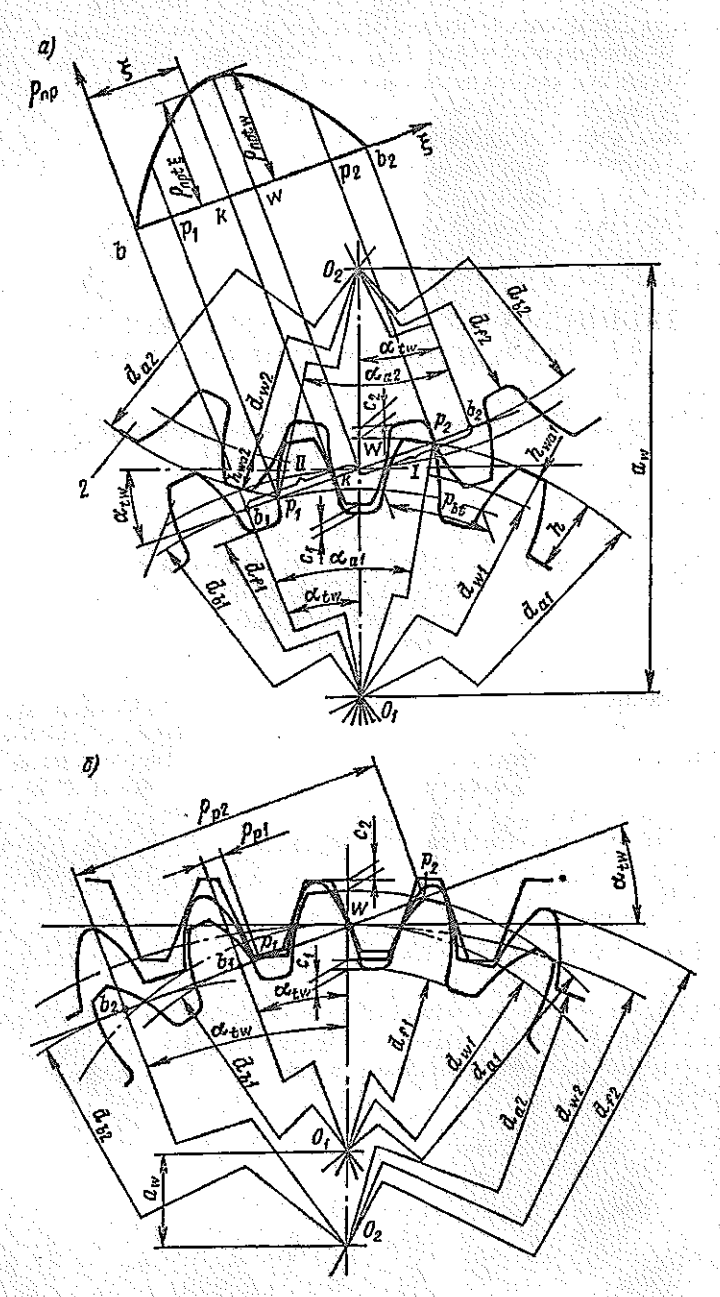


Рис. 2.1. Зацепление эвольвентной цилиндрической передачи: a — висшнее; δ — внутреннее

$$u = z_2/z_1;$$
 (2.3)

диаметр делительной окружности

$$d_j = mz_j/\cos\beta. \tag{2.4}$$

При $x_1 = x_2 = 0$ окружности делительная и начальная совпадают, т. е. $d = d_w$ В формуле (2.4) и в последующих формулах j = 1, 2 соответственно для шестерни и колеса.

Диаметр окружности вершин для зубчатых колес с внешними зубьями определяется по формуле

$$d_{\alpha j} = d_j + 2m, \tag{2.5}$$

диаметр окружности вершин для колеса с внутренними зубьями при учебных расчетах без учета параметров долбяка равен

$$d_{a2} = d_2 - 1,75m, (2.6)$$

диаметр окружности впадин рассчитывается по формуле

$$d_{II} = d_{I} \mp 2,5. \tag{2.7}$$

В формулах (2.1), (2.7) и в последующих формулах верхний знак относится к внешнему, а нижний — к внутреннему зацеплению.

Основные размеры цилиндрических передач при любых значениях x_1 , x_2 , h_a^* и c^* . Делительное межосевое расстояние a, угол α_t профиля зуба производящей рейки в торцовом сечении, передаточное число u и диаметры d_t делительных окружностей определяются по формулам (2.1)—(2.4):

межосевое расстояние

$$a_{w} = a \cos \alpha_{t} / \cos \alpha_{tw}; \qquad (2.8)$$

угол зацепления в торцовом сечении

$$\operatorname{inv} \alpha_{tw} = 2(x_2 \pm x_1) \operatorname{tg} \alpha / (z_2 \pm z_1) + \operatorname{inv} \alpha_{tv}$$
 (2.9)

Значения эвольвентной функции inv $\alpha = \lg \alpha - \alpha$ определяются по таблицам (см. например, работу [2]).

Коэффициент воспринимаемого смещения

$$y = (a_w - a)/m;$$
 (2.10)

коэффициент уравнительного смещения

$$\Delta y = x_2 \pm x_1 - y; (2.11)$$

диаметры начальных окружностей

$$d_{w1} = 2a_w/(u \pm 1); \quad d_{w2} = d_{w1}u.$$
 (2.12)

Для зубчатых колес передачи внешнего зацепления: диаметры окружностей вершин

$$d_{ai} = d_i + 2(h_a^* + x_i - \Delta y) m; (2.13)$$

диаметры окружностей впадин

$$d_{fj} = d_j - 2\left(h_a^* + c^* - x_j\right) m. \tag{2.14}$$

und NSIST 17

Для колес передачи внутреннего зацепления, нарезаемых долбяками, дополнительно определяются параметры станочного зацепления долбяка с колесом:

угол зацепления

$$\operatorname{inv} \alpha_{tw02} = 2(x_2 - x_0) \operatorname{tg} \alpha/(z_2 - z_0) + \operatorname{inv} \alpha_t;$$
 (2.15)

межосевое расстояние

$$a_{w02} = \frac{(z_2 - z_0) m \cos \alpha_i}{2 \cos \beta \cos \alpha_{rw02}},$$
 (2.16)

коэффициент воспринимаемого смещения

$$y_{02} = a_{w02}/m - (z_2 - z_0)/(2\cos\beta);$$
 (2.17)

коэффициент уравнительного смещения

$$\Delta y_{02} = x_2 - x_0 - y_{02}. \tag{2.18}$$

Диаметры окружностей вершин шестерни и колеса в этом случае равны

$$d_{a1} = d_1 + 2(h_a^* + x_1 + \Delta y - \Delta y_{02}) m; \tag{2.19}$$

$$d_{a2} = d_2 - 2(h_a^* - x_2 + \Delta y - k_2) m. \tag{2.20}$$

В зависимости (2.20) при коэффициенте смещения $x_2 \geqslant 2$ $k_2 = 0$, а при $x_2 < 2$

$$k_2 = 0.25 - 0.125x_2. (2.21)$$

Диаметры окружностей впадин зубчатых колес в рассматриваемом случае определяются по формулам:

$$d_{f1} = d_1 - 2(h_a^* + c^* - x_1) m; (2.22)$$

$$d_{f2} = 2a_{w02} + d_{a0}. (2.23)$$

Примечание. Число z_0 при $m\geqslant 1$ мм приводится в СТ СЭВ 277-76, СТ СЭВ 278-76 и СТ СЭВ 279-76 для прямозубых и в ГОСТ 9323-79 (СТ СЭВ 154-75) для косозубых долбяков. Коэффициент смещения x_0 и диаметр окружности вершин долбяков d_{a0} определяются по результатам их обмера или заимствуются из соответствующих таблиц, приведенных в работе [27].

Последовательность расчета для определения основных размеров зубчатых колес передач внешнего и внутреннего зацепления представлена в виде схем алгоритмов на рис. 2.2, 2.3.

Коэффициент перекрытия. Для зубчатых колес, выполненных инструментом с исходным контуром по ГОСТ 13755-81 (СТ СЭВ 308-76) без модификации головок, торцовый коэффициент перекрытия рассчитывается по формуле 1 : $\varepsilon_{\alpha} = \varepsilon_{\alpha 1} + \varepsilon_{\alpha 2}$, (2.24)

¹ При модификации головок исходного контура и отсутствии деформаций коэффициент перекрытия меньше найденного по формулам (2.24)—(2.26). Однако при высокой загруженности передачи вследствие деформаций зубьев коэффициент перекрытия (даже при модифицированном контуре) может несколько превышать значение, найденное по рекомендуемым зависимостям.

$$\varepsilon_{a1} = z_1 \left(\operatorname{tg} \alpha_{a1} - \operatorname{tg} \alpha_{tw} \right) / (2\pi); \tag{2.25}$$

$$\varepsilon_{a2} = z_2 \left(\pm \lg \alpha_{a2} \mp \lg \alpha_{tw} \right) / (2\pi). \tag{2.26}$$

Угол профиля в вершине зубьев

$$\alpha_{aj} = \arccos\left[d_j \cos \alpha_i / d_{aj}\right]. \tag{2.27}$$

Примечание. Для колес с притуплением продольных кромок зубьев коэффициент перекрытия определяется также по формулам (2.24)—(2.26), в которых вместо α_{aj} следует подставить α_{kj} . Угол профиля в точке притупления α_{kj} подсчитывается по формуле (2.27) при $d_{aj} = d_{kj}$, где d_{kj} —диаметр окружности, на которой лежат точки перехода звольвентных профилей к закругленным участкам зубьев.

Для определения коэффициента торцового перекрытия можно воспользоваться также графиком, приведенным на рис. 6.14.

В косозубых передачах кроме ε_{α} рассчитывается и коэффициент осевого перекрытия ε_{0} , равный

$$\varepsilon_{\beta} = b_{w} \sin \beta / (\pi m). \tag{2.28}$$

Исходными данными для расчета коэффициентов ε_x и ε_β являются m, z_j , b_w , α_t , α_{tw} , β , d_j , d_{aj} (или d_{kj} для зубчатых колес с притуплением продольных кромок). Расчет производится по схеме алгоритма, представленной на рис. 2.4.

Контроль взаимного положения разноименных профилей зубьев. Взаимное положение разноименных профилей зубьев при нарезании контролируется путем измерения постоянной хорды, длины общей нормали или размера по роликам (шарикам). Указанные размеры проставляются на рабочих чертежах зубчатых колес. Среди перечисленных способов контроля наибольшее распространение получили измерения постоянной хорды или общей нормали.

Постоянная хорда равна расстоянию между точками касания профилей зубьев и боковых сторон рейки при их симметричном расположении относительно оси симметрии зуба (рис. 2.5). Величина постоянной хорды 5, при заданных т и х не зависит от z и равна

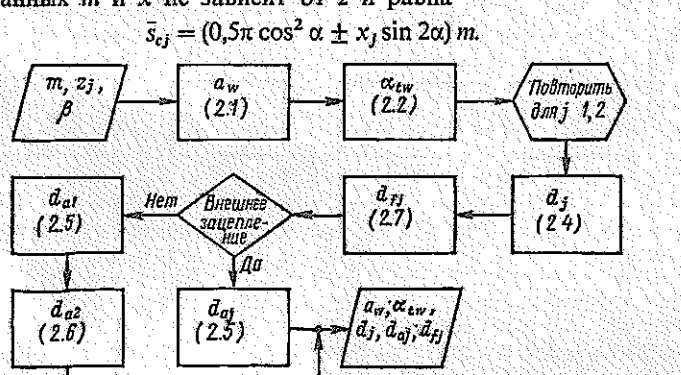


Рис. 2.2. Схема алгоритма для расчета основных размеров цилиндрических зубчатых передач с $x_1 = x_2 = 0$; $h_2^* = 1$; $c^* = 0.25$

(2.29)

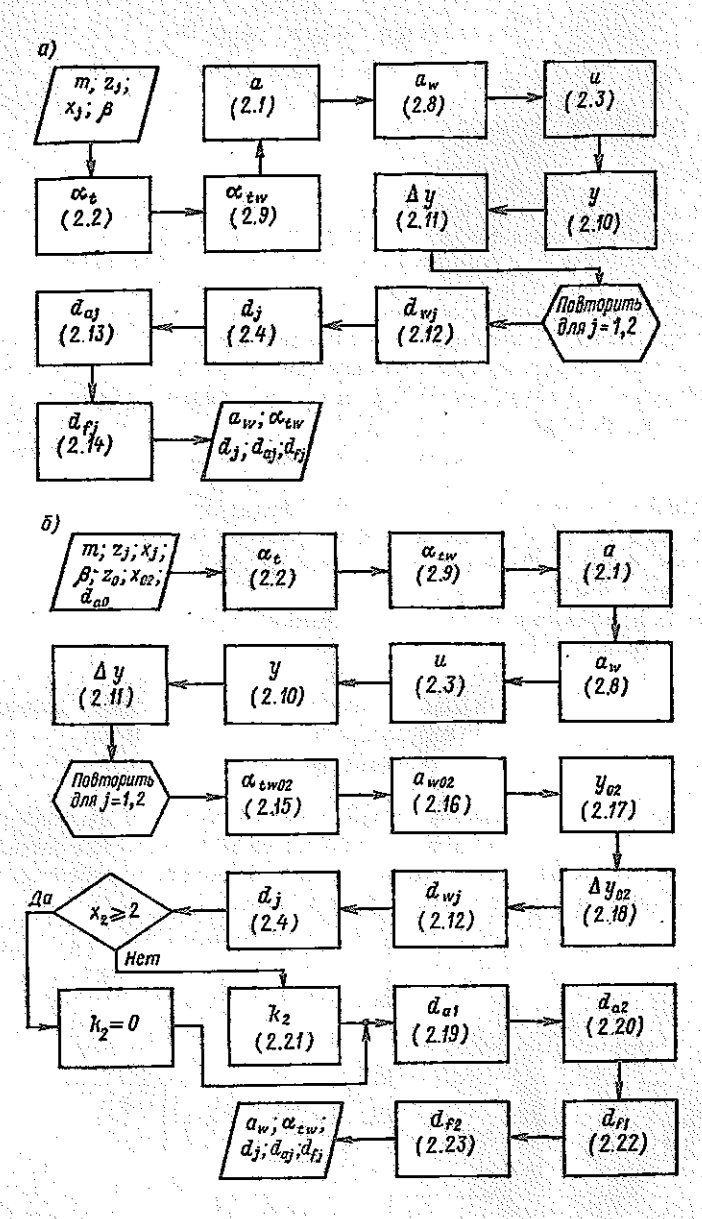


Рис. 2.3. Схема алгоритма для расчета основных размеров цилиндрических зубчатых передач при любых значениях x_1 и x_2 : a — внешнее зацепление; δ — внутреннее зацепление

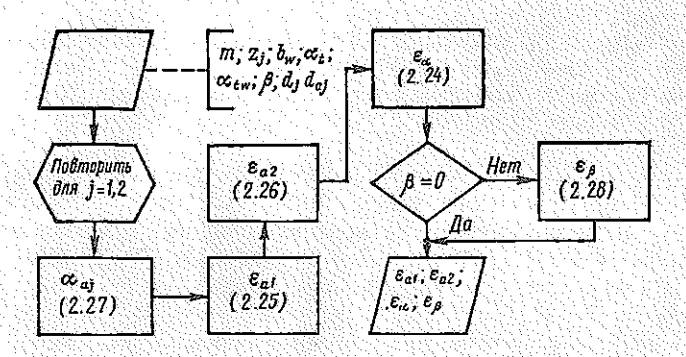


Рис. 2.4. Схема алгоритма для расчета коэффициентов торцового и осевого перекрытия в цилиндрических передачах с колесами без притупленных продольных кромок зубьев

Расстояние от \bar{s}_e до окружности вершин измерено по прямой, проведенной через середину постоянной хорды, и перпендикулярно к ней:

$$\bar{h}_{cj} = 0.5 \left(\pm d_{oj} \mp d_j - \bar{s}_{cj} \operatorname{tg} \alpha \right). \tag{2.30}$$

В формулах (2.29) и (2.30), а также в нижеприведенной зависимости (2.31) верхние знаки относятся к зубчатым колесам с внепними зубьями, а нижние — к колесам с внутренними зубьями.

Примечание. При больших значениях |x| постоянная хорда может оказаться вне зубчатого венца, т. е. обмер по постоянной хорде оказывается невозможным. Проверка этого положения производится по условиям $\rho_{sj} > \rho_{pj}$ для передач внешнего зацепления и $\rho_{s1} > \rho_{p1}$ и $\rho_{s2} < \rho_{p2}$ — для передач внутреннего зацепления, в которых

$$\rho_{sj} = 0.5 (d_j \sin \alpha_i \pm \bar{s}_{cj} \cos \beta_b / \cos \alpha); \qquad (2.31)$$

$$\rho_{p1} = \pm a_w \sin \alpha_{tw} \mp 0.5 d_2 \cos \alpha_t \lg \alpha_{s2};$$

$$\rho_{p2} = a_w \sin \alpha_{tw} \mp 0.5 d_1 \cos \alpha_t \lg \alpha_{s1}.$$
(2.32)

Угол β, определяется по формуле

$$\beta_b = \arcsin{(\sin{\beta}\cos{\alpha})}.$$
 (2.33)

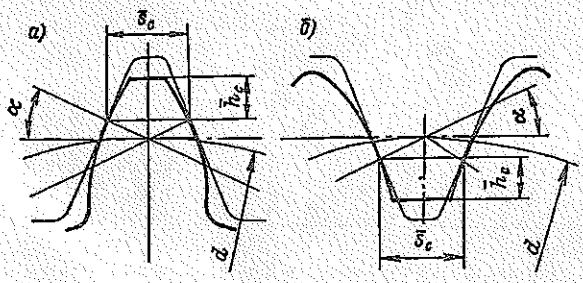


Рис. 2.5. Схема замера постоянной хорды; a — для зубчатых колес с внешними зубьями; δ — для колес с внутренними зубьями

Для зубчатых колес, нарезанных инструментом с модифицированным исходным контуром, постоянная хорда не должна находиться на модифицированном участке зуба. Соответствующая проверка выполняется по формулам ГОСТ 16532 – 70 для передач внешнего зацепления и ГОСТ 19274-73 для передач внутреннего запепления.

По формуле (2.29) определяется номинальное значение \vec{s}_c . Для получения необходимого бокового зазора между зубьями 5. уменьшается на абсолютную величину верхнего отклонения толщины зуба, значения которых приводятся в CT CЭВ 641-77, CT СЭВ 643-77, CT СЭВ 644-77 или в ГОСТ 1643-81. На размер 5, назначается «в тело» зуба допуск Т. (см. § 16.5).

Общая нормаль — отрезок касательной к окружности d_b между разноименными эвольвентными профилями, нормальными к этой касательной и расположенными по разные стороны от точки касания (рис. 2.6). Данной толщине зубьев соответствует вполне определенный размер общей нормали, и поэтому рассмотренный выше замер единичного зуба (по постоянной хорде) может быть заменен обмером по общей нормали.

Длина общей нормали

$$W_j = \left[\pi \left(z_{nj} - 0.5\right) + 2x_j \operatorname{tg} \alpha + z_j \operatorname{inv} \alpha_i\right] m \cos \alpha. \tag{2.34}$$

Расчетное число зубьев или впадин в длине общей нормали соответственно для зубчатых колес с внешними или внутренними зубьями равно

$$z_{mj} = z_j \left[\text{tg } \alpha_{xj} / (\cos^2 \beta_b) - 2x_j \text{ tg } \alpha/z_j - \text{inv } \alpha_t \right] / \pi + 0.5.$$
 (2.35)

(2.36)

Число зубьев z_{ni} в (2.34) равно округленному до ближайшего целого значения z_{nri}.

Угол профиля в точке на концентрической окружности диаметра $d_{xi} = d_i + 2x_i m$ равен $\alpha_{xi} = \arccos A_{ix}$

a - c наружными зубьями; b - c внутренними зубьями; в - на косозубом колесе (показано сечение зубъев косозубого колеса плоскостью, касательной к основному цилиндру)

$$A_j = z_j \cos \alpha_t / (z_j + 2x_j \cos \beta). \tag{2.37}$$

При $A_i \geqslant 1$ число зубьев $z_{ni} \geqslant 3$.

Замер общей нормали возможен при выполнении условий $\rho_{pj} < \rho_{wj} < \rho_{aj}$ для зубчатых колес, образующих внешнее зацепление, и $\rho_{p1} < \rho_{w1} < \rho_{w1} < \rho_{a1}$ и $\rho_{p2} > \rho_{w2} > \rho_{a2}$ для зубчатых колес передачи внутреннего зацепления ¹ Здесь ρ_{pj} рассчитываются по формулам (2.32), а радиусы ρ_{wj} и ρ_{aj} определяются по формулам:

$$\rho_{wf} = 0.5 W_f \cos \beta_b; \tag{2.38}$$

$$\rho_{aj} = 0.5 \, d_{aj} \sin \alpha_{aj}. \tag{2.39}$$

Выполнения указанных условий можно добиться за счет изменения z_{nj} . Для косозубых колес должно выполняться также условие $W_j < W_j$, где

$$W_j' = b_j / \sin \beta_b. \tag{2.40}$$

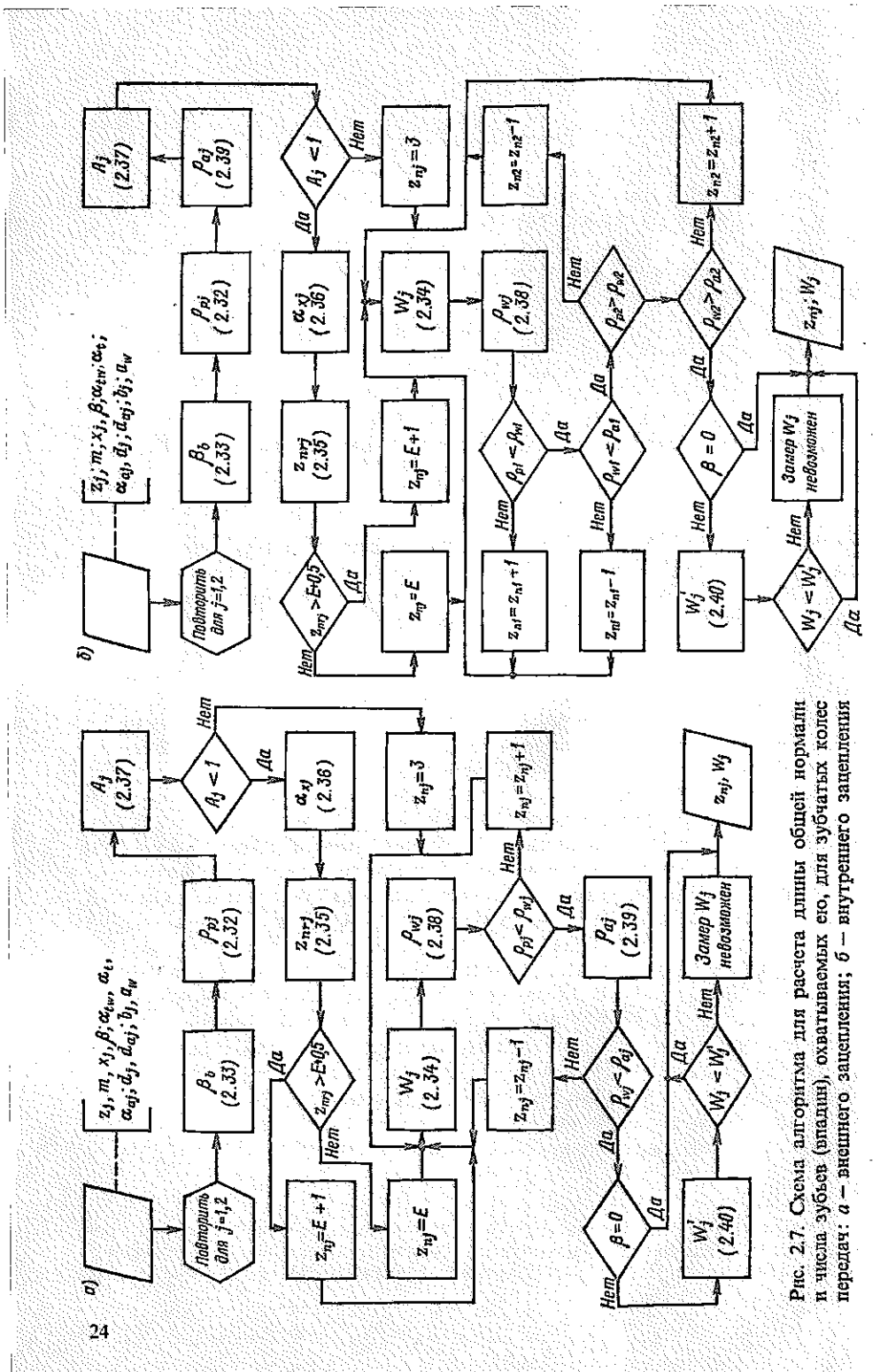
Расчет величин W_f и z_{nj} производится по схемам алгоритмов, данных на рис. 2.7, a для зубчатых колес передачи внешнего зацепления и на рис. 2.7, b для колес, образующих пару внугреннего зацепления. Исходными для расчета величинами являются z_j ; m; x_j ; b; α_{tw} ; α_t ; α_{aj} ; d_j ; d_{aj} ; d_j ; $d_$

Для получения необходимого бокового зазора между зубьями вычисленное номинальное значение W уменьшается для зубчатых колес с внешними зубьями и увеличивается для колес с внутренними зубьями на абсолютную величину E_n , значения которой приводятся в СТ СЭВ 641—77, СТ СЭВ 644—77 или ГОСТ 1643—81.

На размер W назначается «в тело» допуск T_w со знаком минус при наружных и плюс при внутренних зубьях (см. § 16.5).

Проверка качества зацепления по геометрическим показателям. При нарезании способом обкатки при определенных сочетаниях z и z возможны отклонения профилей зубьев от эвольвентных в сторону уменьшения толщины зубьев на ножках (подрезание) или в сторону уведичения — на головках (недорезание). В связи с этим необходима проверка качества зацепления по геометрическим показателям. Если выбор z—и x процзводится в зацеплении с указаниями § 2.3, то для передач внешнего зацепления указанная проверка не нужна. Для передач внутреннего зацепления, учитывая учебный характер курсового проекта, проверку качества зацепления гакже можно не производить, так как она связана с характеристиками режущего инструмента (с геометрией долбяка, а также с его состоянием, т. е. новый долбяк или перезаточенный). При необходимости проверка качества зацепления ведется по формулам ГОСТ 16532 — 70

¹ При использовании стандартного инструмента с модифицированным профилем условия для проверки возможности обмера по общей нормали приведены в ГОСТ 16532—70 для передач внешнего и в ГОСТ 19274—73 для передач внутреннего зацепления.



для передач внешнего зацепления и ГОСТ 19274—73 для передач

внутреннего зацепления.

Силы в зацеплении цилиндрических передач. Составляющие равнодействующей F_n нормального давления между зубьями, необходимые для расчета реакций опор и прочности валов, определяются по формулам:

$$F_{tw} = 2T_t/d_{wf}; \quad F_x = F_{tw} \operatorname{tg} \beta_w; \quad F_r = F_{tw} \operatorname{tg} \alpha_{tw}.$$
 (2.41)

Угол наклона зубьев на начальном цилиндре β_w при заданном β определяется из соотношения

$$tg \beta_w = tg \beta \cos \alpha_t / \cos \alpha_{tw}. \tag{2.42}$$

При $x_2 \pm x_1 = 0$ зависимости (2.41) принимают вид:

$$F_t = 2T_i/d_i; \quad F_x = F_t \operatorname{tg} \beta; \quad F_r = F_t \operatorname{tg} \alpha_{tw}$$
 (2.43)

Формулы (2.41) и (2.43) получены без учета сил трения в зацеплении, влияние которых по причине малости коэффициентов трения незначительно.

Вследствие неизбежного неравномерного распределения удельной нагрузки по ширине зубчатого венца равнодействующая F_n смещена с середины зубчатого венца. Однако при допустимых значениях коэффициента неравномерности распределения удельной нагрузки по ширине зубчатого венца $K_{H\beta}$ (как правило, $K_{H\beta} < 1,5$) смещение очень незначительно. Допуская небольшую погрешность при расчете реакций опор и прочности валов, считаем, что F_n приложена в середине зубчатого венца.

На рис. 2.8 показаны направления составляющих нормальной силы, действующие на шестерню и колесо.

Коэффициент полезного действия цилиндрических передач. С учетом потерь на трение в зацеплении ψ_3 , в подпишниках ψ_n и на размешивание и разбрызгивание масла $\psi_{n,M}$ КПД равен

$$\eta = 1 - \psi \approx 1 - (\psi_3 + \psi_{rr} + \psi_{p,M}).$$
 (2.44)

Коэффициент потерь на трение в зацеплении определяется по упрощенной зависимости

$$\psi_3 \approx 2.3 f_3 (1/z_1 \pm 1/z_2) = 2.3 f_3 (u \pm 1)/(uz_1),$$
 (2.45)

где $f_3 \approx 1,25f$ — коэффициент трения в зацеплении; величину f находят из рис. 2.9 в зависимости от суммы скоростей контактирующих точек относительно зоны контакта;

$$v_{\Sigma} = 2v \sin \alpha_{rw},$$
 (2.46)

где v — окружная скорость зубчатых колес.

Расчет коэффициента потерь в подшинниках качения ψ_n приведен в гл. 10. Коэффициент $\psi_{p,M}$ для цилиндрических передач с внешним зацеплением, смазываемых окунанием при погружении зубчатого колеса на глубину $(2 \div 3) m$, приближенно определяется по формуле

$$\psi_{p.M} = (0.04d_{w1}b_w/T_1)\sqrt{2vv/(z_1 + z_2)}, \qquad (2.47)$$

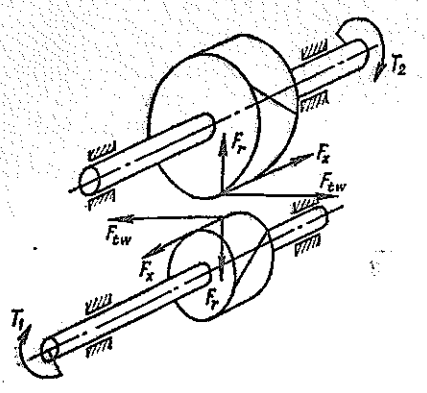


Рис. 2.8. Составляющие нормальной силы в запеплении цилиндрической передачи, действующие на местерню и колесо (местерня и колесо условно раздвинуты)

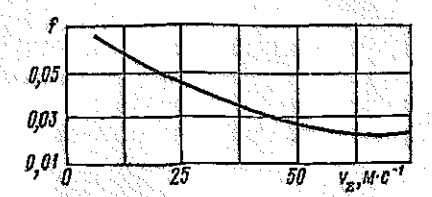


Рис. 2.9. Ориентировочные значения коэффициентов трения для тяжелонагруженного контакта (по данным Р. Р. Гальпера)

где v — кинематическая вязкость масла при рабочей температуре, $\mathbf{M}^2 \cdot \mathbf{c}^{-1}$ (см. гл. 19); T_1 — крутящий момент, $\mathbf{H} \cdot \mathbf{M}$; v — окружная скорость, $\mathbf{M} \cdot \mathbf{c}^{-1}$; линейные размеры берутся в мм.

При струйной смазке значение $\psi_{p,m}$, найденное по формуле (2.47), надо умножить на коэффициент 0,7. Ориентировочные значения ψ одноступентатых зубчатых передач приведены в табл. 2.1. Эти данные, так же как и результаты расчетов по вышеприведенным формулам, не относятся к передачам, у которых передаваемая нагрузка значительно меньше расчетной. С уменьшением нагрузки растет ψ , поскольку потери холостого хода (затраты энергии на размешивание масла, преодоление сил трения в подшипниках, обусловленных массой зубчатых колес и валов, потери в уплотнениях и др.) при этом остаются приблизительно постоянными.

Примечание. Болес точные значения коэффициентов потерь на трение в зацеплении определяются по формулам:

для прямозубых цилиндрических передач

$$\psi_3 = 2\pi f (1/z_1 \pm 1/z_2) (1 - \varepsilon_{\alpha} + 0.5\varepsilon_{\alpha}^2) k; \qquad (2.48)$$

для косозубых передач

$$\psi_{3} = \frac{\pi f}{\cos \beta} \left(\frac{1}{z_{1}} \pm \frac{1}{z_{2}} \right) \frac{\varepsilon_{a1}^{2} + \varepsilon_{a2}^{2}}{\varepsilon_{a1} + \varepsilon_{a2}}.$$
 (2.49)

В этих формулах k — отношение большего из значений ε_{a1} и ε_{a2} к ε_{∞} определяемых по формулам (2.24)—(2.26) или по ехеме алгоритма, представленного на рис. 2.4, а коэффициент трения f находится из рис. 2.9.

Таблица 2.1

Орнентировочные значения коэффициента потерь одноступенчатых передач на подшиниках качения

Вид передачи	Коэффициент потерь ф для передач			
Вид передачи	цилиндрической	конической		
Закрытая с жидкой смазкой обычного изсотовления с окружной скоростью v ≤ ≤ 12 м·с ⁻¹ Тщательного изготовления, быстроходная Открытая с пластичной смазкой	0,015 - 0,02 0;01 0,03 - 0,04	0,02 - 0,03 0,02 0,03 - 0,05		

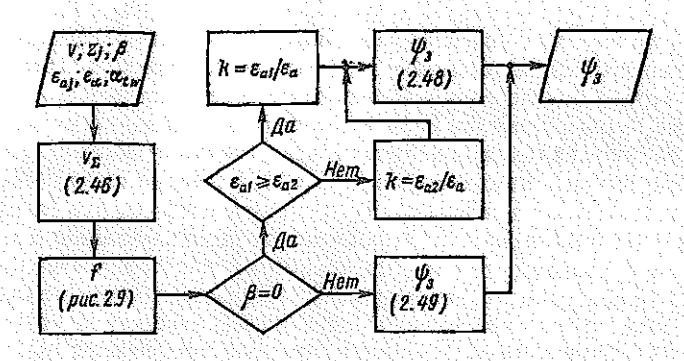


Рис. 2.10. Схема алгоритма для расчета коэффициента потерь ψ_3 в зубчатых передачах

На рис. 2.10 представлена схема алгоритма для расчета уточненных значений коэффициентов ψ_i . Исходными данными при этом являются f; z_i ; β ; ε_{aj} и ε_z .

§ 2.2. Краткие сведения о материалах зубчатых колес и их термообработке

С повышением несущей способности, лимитируемой стойкостью активных поверхностей зубьев и их прочностью на изгиб, снижаются масса и габаритные размеры зубчатой передачи. Наименьшую массу имеют передачи со стальными зубчатыми колесами. Одним из важнейших условий совершенствования машин является изыскание всех возможных путей к снижению их массогабаритных показателей, поэтому стальявляется основным материалом для зубчатых колес и единственным для высокозагруженных передач.

Допускаемые напряжения из условия выносливости активных поверхностей зубьев (которая обычно лимитирует несущую способность стальных зубчатых передач) пропорциональны твердости $H_{\rm akt}$ активных поверхностей зубьев. В связи с этим в серийном и массовом производствах, как правило, предусматривают высокие значения $H_{\rm akt}$, обеспечиваемые химико-термическими (цементацией, нитроцементацией, азотированием и др.) и термическими обработками (поверхностной и объемной закалкой с низким отпуском).

Цементация — науглероживание поверхностных слоев с последующей закалкой и низким отпуском до твердости $H_{\rm asr}=56\div62$ HRC — обеспечивает при применении легированных сталей наибольшую несущую способность зубчатых передач, лимитируемую прочностью активных поверхностей зубьев. При этом применяют легированные стали с содержанием углерода 0,12—0,30 % (см. табл. 2.2 и 2.6). Толициа диффузионного слоя при модуле до 20 мм находится в пределах $(0,28m-0,007m^2)\pm0.2$ мм. У цементованных зубчатых колес из легированных сталей получают высокие механические свойства сердцевины $H_{\rm серди}=32\div45$ HRC, обеспечивающие и высокую несущую способность, лимитируемую прочностью зубьев на изгиб. Значительная величина $H_{\rm серди}$ и сравнительно большая

толщина упрочненного слоя обусловливают высокую несущую способность, лимитируемую развитием подслойных усталостных трещин. Это особенно важно для передач с большими диаметрами зубчатых колес.

Процесс термообработки цементованных зубчатых колес связан со значительными искажениями формы зубьев. Для снижения этих искажений имеется ряд приемов, изложенных в работе [15], позволяющих в некоторых случаях отказаться от шлифования после цементации. Однако шлифование является важнейшим условием повышения несущей способности и снижения разброса предельных нагрузок (особенно для зацеплений, не подвергаемых приработке, компенсирующей погрешности зацепления).

В процессе зубошлифования на переходных участках и во впадинах (выкружках) зубьев могут возникать вредные напряжения растяжения, а также концентрация напряжений в местах выхода шлифовального круга, если шлифованию подвергаются только боковые поверхности зубьев. Эти последствия в некоторой степени могут быть компенсированы последующей обдувкой выкружки дробью или нарезкой зубьев специальными фрезами с протуберанцем, с помощью которого формируется выкружка, исключающая ее шлифование в процессе снятия припуска с боковых поверхностей зубьев.

Нитроцементация (газовое цианирование) — одновременное насыщение поверхностных слоев углеродом и азотом с последующей закалкой и низким отпуском до твердости $H_{\rm akr}=57\div63$ HRC. Нитроцементации подвергаются зубчатые колеса из среднеуглеродистых сталей (например, сталей 20X, 35X, 40X, 25XГМ, 25XГТ, 30ХГТ и др.). Толщина упрочненного слоя составляет $(0.13\div0.20)\,m$, но не более 1,2 мм в зависимости от габаритных размеров и загруженности зубчатой передачи. Искажения формы зубьев при нитроцементации существенно меньше, чем при цементации. В связи с этим расширяется область применения нешлифованных зубчатых колес.

Азопирование — насыщение поверхностного слоя азотом — обеспечивает особо высокую твердость (до 70 HRC) и износостойкость поверхностных слоев. Для получения высокой твердости азотированию подвергают стали, легированные хромом, никелем, молибденом, алюминием (например, стали марок 38ХМЮА, 35ХЮА, 30Х2Н2ВФА, 30ХН2МФА, 45Х2Н2МФЮА и др.).

Искажения формы при азотировании значительно меньше, чем при пругих видах поверхностных упрочнений, и поэтому азотирование широко используется в тех случаях, когда затруднено применение отделочных операций (например, для зубчатых колес с внутренними зубьями). Высокая твердость обусловливает и высокую износостойкость азотированных зубьев. Но при этом затруднена приработка, снижающая вредные последствия от местных нагрузок, вызванных погрешностями и деформациями. Поэтому реализация преимуществ азотирования возможна только при высокой точности изготовления или при использовании доводочных операций в паре (при минимальной неравномерности удельных нагрузок по ширине зубчатого венца, вызванной деформациями). Особенно затруднена приработка азотированных сталей, содержащих алюминий (например, сталей 38ХМЮА, 35ХЮА и др.), на поверхности которых появляется тонкий хрупкий, с высокой твердостью слой нитридов. Во избежание

снижения нагрузочной способности хрупкий слой удаляют (например, с помощью притирки с пастами).

Толщина азотированного слоя невелика $(0,2-0,5\,\mathrm{mm})$. В связи с этим для азотированных передач характерной причиной выхода из строя является развитие подслойных усталостных трещин. Поэтому допускаемые контактные напряжения $[\sigma_H]$ (при расчете по формуле Герца) уменьшаются с увеличением диаметров зубчатых колес. В этом отношении азотирование существенно уступает цементации. В цементованных зубчатых колесах подслойные разрушения начинаются при значительно больших нагрузках, что связано с большей толщиной упрочненного слоя, более равномерным распределением твердости в нем и обычно несколько более высокой твердостью сердцевины.

Поверхносиная закалка токами высокой частоты (т.в.ч.) с последующим низким отпуском применяется для сталей с содержанием углерода около 0.35-0.60% (например, для сталей марок 40X, 40XH, 45XH, 35XM, 60XB, 60X, 55ПП и др.). При больших размерах зубчатых колес для получения твердости сердцевины $H_{\text{серди}} > 260$ НВ применяют стали 35XH1M, 40XH2MA, 38XH3MA и др.

При поверхностной закалке нагреву подвергаются только наружные слои металла, при этом не возникает значительных деформаций (коробления) зубчатых колес. В связи с этим припуски на последующее шлифование невелики, а при сравнительно невысокой точности (например, не выше 7-й степени) зубчатые колеса после поверхностной закалки могут не подвергаться дополнительной обработке. Толщина закаленного слоя при поверхностной закалке назначается обычно в пределах (0,25 ÷ ÷0,40) m, а твердость после закалки с низким отпуском при охлаждении водой или маслом достигает значений 48—62 HRC. Твердым поверхностным слоям при такой термообработке соответствует вязкая сердцевина зубьев, что обеспечивает высокую выносливость при изгибе зубчатых колес.

Поверхностная закалка т. в. ч. обеспечивает наилучшие результаты в том случае, если форма закаленного слоя повторяет очертания впадины. При поверхностной закалке только боковых поверхностей зубьев без охвата их выкружки в конечных участках закаленного слоя возникают остаточные напряжения растяжения, вызывающие значительное снижение прочности на изгиб зубьев. Это обстоятельство необходимо учитывать соответствующим снижением допускаемых напряжений.

При малых модулях (обычно при $m < 2.5 \div 3.0$ мм) зубчатые колеса нагреваются т. в. ч. в кольцевом индукторе. В этом случае закаленный слой должен охватывать всю высоту зубьев и часть обода, прилегающего к зубьям на глубину $(0.1 \div 1.0) m$.

Объемная закалка с низким отпуском используется для зубчатых колес из сталей с содержанием углерода 0,40-0,55% (например, стали марок 40X, 40XH, $40X\Phi A$ и др.).

При этой термообработке неизбежны значительные искажения формы зубьев, устраняемые шлифованием. Зубья имеют низкое сопротивление ударным нагрузкам и большой разброс в значениях предела выносливости. Поэтому объемную закалку с низким отпуском применяют для малоответственных передач.

Механические характеристики искоторых марок сталей, используемых для изготовления зубчатых колес и других деталей машин

1-5 1-5 1-5 1-5 1-5 1-5 1-5 1-5 1-5 1-5							
		Механическ лерь	кие свойств 100бработк		-		
Марка стали	Размер ссчения в мм	Твердость серяцевины, НВ	Временное сопротивление разрыву ов, МПа	Предел текучести о_т, МПа	Твердость поверхностн после закалки и ниэкого отпуска, НКС	Термообра- ботка*	
45	≤ 80	170 - 217 192 - 240 241 - 285	600 750 850	340 450 580		H Y Y	
40X	60 – 100 ≤ 60	230 - 260 260 - 280	750 1000	520 800	Ţ	y .	
40XH	≤100 100—300	230 - 280 163 - 269	850 800	600 580	-	y	
35ХГСА	60-150 40-60 30-40	≥235 270 310	≥ 760 980 1100	≥ 500 880 960	_	y	
	≤30		1700 — 1950	1350 — 1600	46 – 53	3; НО	
20X	≤60	197_	650	400	56-63	Ц; 3; НО	
12XH3A	40-60 ≤40	250 300	920 1000	700 800	56-63	Ц; 3; НО	
20XH3A	≤100	240	900	700	58 – 63	Ц; 3; НО	
20X2H4A	≤50	360	1250	1070	58 – 63	Ц; 3; НО	
18X2H4MA	≤80 80−120	320 – 420	1400 1200	1300 1000	58 – 63	Ц; 3; НО	
18XI ⁻ T	≤ 20 20 – 60	340 240	1200 1000	950 800	56—63	ц; з; но	
30ХГТ	≤ 60 60 – 100 100 – 150	300 270 240	1100 900 850	800 750 700	56—63	Ц; 3; НО	
38Х2МЮА * В стол	— бие «термообр	ээботка» прин	яты слелу	— Ощие обоз	63—65 начения: А —	А зотпрование;	

* В столбие «термообработка» приняты следующие обозначения: А — азотирование; З — закалка: Н — нормализация; НО — низкий отнуск; У — улучшение; Ц — цементация.

Улучшение — закалка с высоким отпуском — в новом проектировании применяется в основном в единичном и мелкосерийном производстве для передач, к габаритным размерам и массе которых не предъявляются высокие требования, а также в тех случаях, когда контактная прочность зацепления не оказывает влияния на размеры проектируемого привода (например, в планетарных передачах типа A при p > 3 может оказаться, что необходимая твердость колеса b $H_{\text{акт}\,b} \le 350$ HB). При этой термообработке зубчатые колеса изготовляются из качественных углеродистых и легированных сталей с содержанием углерода 0,35−0,50% (например, стали марок 40X, 40XH, 35XM, 35XГСА и др.). При этом твердость зубьев мало изменяется по сечению и назначается с учетом условий нарезания и, как правило, не превышает 350 HB.

Для зубчатых колес рассматриваемой группы твердость должна назначаться с учетом их размеров. Это связано с необходимостью обеспечения достаточной стойкости инструмента и требуемой точности, поскольку затупление в процессе нарезания приводит к искажениям в геометрии

зацепления.

Если твердость рабочих поверхностей зубьев не превышает 350—400 НВ, то с целью снижения опасности заедания, повышения надежности передачи, а также для увеличения несущей способности косозубых передач (а в ряде случаев и прямозубых) следует выдерживать условие

$$H_{\rm agg1} - H_{\rm agg2} \geqslant 40$$
 HB,

где $H_{\rm akr1}$ и $H_{\rm akr2}$ — твердость рабочих поверхностей шестерни и колеса соответственно.

Для малонагруженных передач находят применение стальное литье и чугун. При специальных требованиях применяются передачи с неметаллическими зубчатыми колесами.

В табл. 2.2 приведены осредненные значения механических характеристик и виды термообработки некоторых распространенных марок конструкционных сталей (углеродистых качественных – ГОСТ 1050 – 74* и легированных – ГОСТ 4543 – 71*), используемых для изготовления зубчатых колес, а также других деталей машин (валов, осей, звездочек цепных передач, червяков, деталей муфт и т.п.). Как следует из этой таблицы, механические характеристики сталей зависят не только от химического состава и вида термообработки, но также и от размеров характерного сечения заготовок.

§ 2.3. Проектировочный и проверочный расчеты цилиндрических зубчатых передач

Основной причиной выхода из строя зубчатых колес является повреждение зубчатых венцов в результате изнашивания и поломок зубьев. Целью приводимых ниже расчетов является предотвращение преждевременных выходов из строя зубчатых колес из-за поломок зубьев и разрушения их активных поверхностей в результате развития усталостного выкрашивания. Вводимые ниже ограничения по контактным напряжениям способствуют предупреждению нарушающих нормальную работу пластических деформаций и других видов изнашивания.

Гистограммы и циклограммы нагружения. На основании статистических данных об эксплуатационных нагружках (или сведений из расчетов) выполняются гистограммы нагружения рабочего органа машины, на которых на оси абсцисе откладывается время t_h . По вертикальной оси вверх в порядке убывания откладываются значения моментов $T_{p. o.}$ а вниз — частот вращения $n_{p. o.}$ (рис. 2.11, a). Буквенные обозначения момента, частоты вращения и продолжительности действия данной нагрузки за полный срок службы записываются соответственно $T_{p. o.0}$, $n_{p. o.0}$, $t_{h.0}$, где i=(1'), (2'), ..., (k'), (рис. 2.11, a).

Если, например, движение к рабочему органу машины от двигателя передается через двухступенчатый редуктор (см. рис. 1.3, δ), то момент его тихоходного вала $T_{\tau} = T_{\rm p.o}$. Момент на шестерне быстроходной ступени $T_{\rm i} = T_{\rm p.o}/(u_{\rm i}u_{\rm ii}\eta_{\rm ii})$, где $u_{\rm ii}\eta_{\rm ii}$ и $u_{\rm ii}\eta_{\rm ii}$ — соответственно передаточное число и КПД ступеней I и II.

С помощью аналогичного перерасчета из гистограммы нагружения рабочего органа машины получена показанная на рис. $2.11, \delta$ гистограмма нагружения пистерни одной из ступеней редуктора.

В расчетной практике используются циклограммы, в которых по оси абсцисс откладывается не время t_{lo} а число циклов перемен напряжений N_c (рис. 2.12). При этом число циклов перемен напряжений при нагрузке $T_{f(i)}$ равно

$$N_{ej(i)} = 60n_{j(i)}t_{h(i)}\gamma_{wj}, \qquad (2.50)$$

где j=1,2 (соответственно для шестерни и колеса); γ_{wj} — число одинаковых зубчатых колес, сцепляющихся с одноименными активными поверхностями зубьев рассчитываемого колеса. Для передачи, изображенной на рис. 1.3, a, $\gamma_{wj}=1$, а для шестерни быстроходной ступени двухноточной передачи (см. рис. 1.3, u) $\gamma_{wj}=\gamma_{w1}=2$.

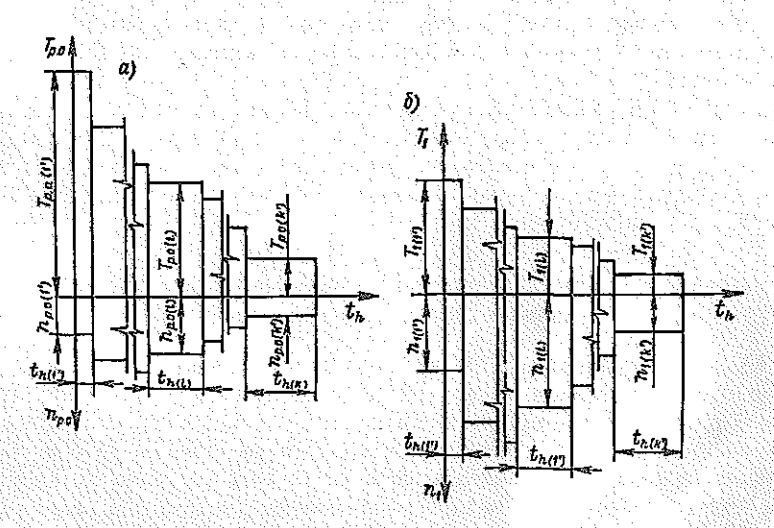


Рис. 2.11. Гистограммы рабочего органа машины (a) и одной из шестерен редуктора между двигателем и рабочим органом (б)

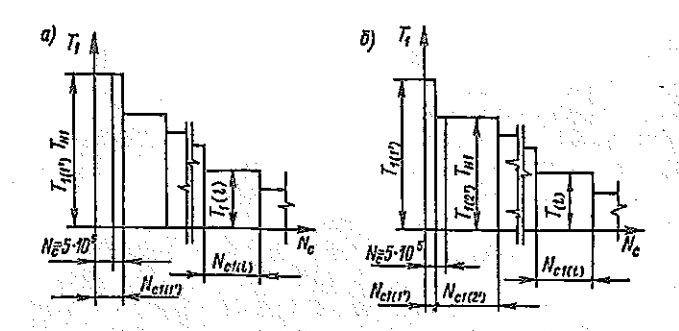


Рис. 2.12. Циклограммы нагружения шестерни: $a - N_{c1(1)} > 5 \cdot 10^5$; $\delta - N_{c1(1)} < 5 \cdot 10^5$

Формулы для проверочного и проектировочного расчетов из условия прочности активных поверхностей зубьев. Проверочный расчет на прочность активных поверхностей зубьев выполняется по формуле

$$\sigma_{H} = \frac{Z_{M} Z_{H} Z_{c}}{d_{w1}} \sqrt{\frac{2 \cdot 10^{3} T_{H1} (u \pm 1) K_{H\alpha} K_{H\beta} K_{H\nu}}{b_{w} u}} \leq [\sigma_{H}].$$
 (2.51)

Упругая постоянная материалов шестерни и колеса рассчитывается по формуле

$$Z_M = \sqrt{2E_1E_2/\{\pi \left[E_2\left(1-\mu_1^2\right)+E_1\left(1-\mu_2^2\right)\right]\}}.$$

Для стальных зубчатых колес при $E_1=E_2=210\,000\,$ МПа и $\mu_1=\mu_2=0.3\,$ имеем $Z_M=271\,$ Н $^{1/2}$ /мм. Тогда

$$. \ \sigma_{H} = \frac{12120}{d_{w1}} Z_{H} Z_{\varepsilon} \sqrt{\frac{T_{H1} (u \pm 1) K_{H\alpha} K_{H\beta} K_{H\nu}}{b_{w} u}} \ \leqslant [\sigma_{H}]. \tag{2.52}$$

Проектировочный расчет из условия прочности активных поверхностей зубьев выполняется по формулам:

$$d'_{w1} = 716 \sqrt{\frac{T_{H1} (u \pm 1) K'_{H0} K'_{Hv}}{\psi_{bd} u \left[\sigma'_{H}\right]^{2}}} \quad (\beta = 0); \tag{2.53}$$

$$d'_{w1} = 642 \sqrt[3]{\frac{T_{H1}(u \pm 1) K'_{H\alpha} K'_{H\beta} K'_{H\nu}}{\psi_{bd} u \left[\sigma'_{H}\right]^{2}}} \quad (\beta \neq 0). \tag{2.54}$$

При заданном межосевом расстоянии для проектировочного расчета используется формула

$$b_{w} = \frac{147 \cdot 10^{6} T_{H1} (u \pm 1) K'_{H\alpha} K'_{H\beta} K'_{Hc} Z_{H}^{2} Z_{c}^{2}}{d_{w1}^{2} u \left[\sigma'_{H}\right]^{2}}.$$
 (2.55)

Формулу (2.55) применяют и в том случае, если $\sigma_H > [\sigma_H]$ [см. формулу (2.52)] и для обеспечения условия $\sigma_H \leqslant [\sigma_H]$ увеличивают b_w , при этом $K'_{H\beta} = K_{H\beta}$.

2 п/р В. Н. Кудрявцева

В формулах (2.51)—(2.55) и нижеследующих зависимостях знак плюс соответствует внешнему зацеплению, а минус — внутреннему. В зависимостях (2.53)—(2.55) штрихом отмечены величины, которыми задаются, и величины, определяемые по приближенным зависимостям.

Значения величин, входящих в формулы (2.51)—(2.55). Расчетная нагрузка T_{H1} приравнивается наибольшей из действующих нагрузок за исключением тех, которым соответствует число циклов перемен напряжений за полный срок службы (отсчитываемое от начала координат на циклограмме с нагрузками, расположенными в порядке убывания) $N_c \leq 5 \cdot 10^5$. На рис. 2.12, а имеем $N_{c1 (1')} > 5 \cdot 10^5$, поэтому $T_{H1} = T_{1(1')}$; в варианте, представленном на рис. 2.12, б, $N_{c1 (1')} < 5 \cdot 10^5$ и $T_{H1} = T_{1 (2')}$. В заданиях на курсовое проектирование обычно принимают $N_{c(1')} \geq 5 \cdot 10^5$, и в этом случае $T_{H1} = T_{1(1)}$ (рис. 2.12, а).

Указания к уточненным расчетам даны в гл. 12.

Коэффициенты Z_H , Z_ε и $K_{H\alpha}$ определяются по формулам:

$$Z_H = \sqrt{2\cos\beta_b/\sin2\alpha_{tw}}; (2.56)$$

$$Z_{\varepsilon} = \sqrt{(4 - \varepsilon_{x})/3} \quad (\beta = 0); \tag{2.57}$$

$$Z_{\rm c} = \sqrt{1/\varepsilon_{\alpha}} \quad (\beta \neq 0).$$
 (2.58)

Коэффициент Z_H можно также выбрать из графика, изображенного на рис. 2.13. Коэффициент $K_{H\alpha}=1$ при $\beta=0$, а при $\beta\neq 0$ его определяют из рис. 2.14 или (при степени точности $n_{\rm cr. T}$ 6-й и более низких) по формуле

$$K_{H\alpha} = 1 + 0.0025 (0.17n_{\text{CL},T})^4 v + 0.02 (n_{\text{CT},T} - 6)^{1.35}$$
 (2.59)

 $Kos \phi \phi u u u e m K_{H\beta}$. Ориентировочные значения коэффициентов $K_{H\beta}$ для различных исполнений одно- и двухступенчатых цилиндрических передач даны на рис. 2.15.

В зависимости от величины $K^0_{H\beta}$ уточненное значение $K_{H\beta}$ определяется по формуле

$$K_{H\beta} = 1 + (K_{H\beta}^0 - 1) K_{Hw} (2.60)$$

Ориентировочные значения K_{Hw} даны на рис. 2.16. При $\psi_{bd} \leqslant 1,25$ величина K_{HB}^0 определяется по формуле

$$K_{HB}^{0} = 1 + 0.2b_{w}^{2}d_{w1}C_{\Sigma}\gamma_{\Sigma}/(T_{H1}K_{H2}) + K(b_{w}/d_{w1})^{2},$$
(2.61)

где K=0,14, если максимальная ордината эпюры распределения удельных нагрузок q_{\max} (рис. 2.17) по ширине зубчатого венца (обусловленного перекосом осей шестерни и колеса) расположена со стороны подвода крутящего момента к шестерне (со стороны E на рис. 2.17), и K=-0,08- с противоположной стороны (со стороны E). Коэффициент суммарной удельной жесткости для прямозубых передач $C_{\Sigma}=14\,000$ МПа; для косозубых передач значения C_{Σ} приведены на рис. 2.18.

Коэффициент $K_{H_0}^{-1}$ определяется по формуле

$$K_{Hv} = 1 + v_H,$$
 (2.62)

 $^{^1}$ Ориентировочные значения коэффициентов K_{Ho} и K_{Fo} для передач с твердостью активных доверхностей $H_{\rm akt} > 55$ HRC при ограниченных значениях мощности и частоты вращения даны в табл. 2.8.

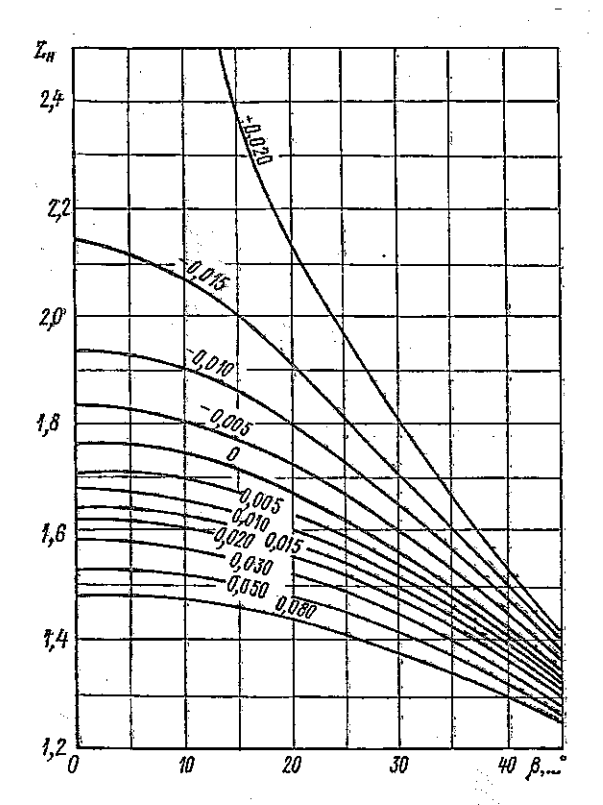


Рис. 2.13. Значения коэффициента Z_H : Цифры на графиках соответствуют значениям $(x_1 + x_2)/(z_1 + z_2)$

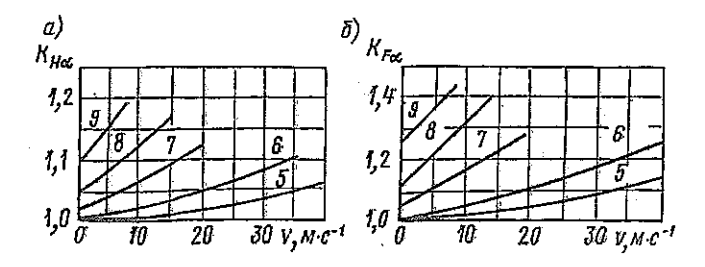


Рис. 2.14. Значение коэффициентов $K_{H\alpha}$ и $K_{F\alpha}$: Цифры на графиках соответствуют степени точности зубчатой передачи (ГОСТ 1643—81)

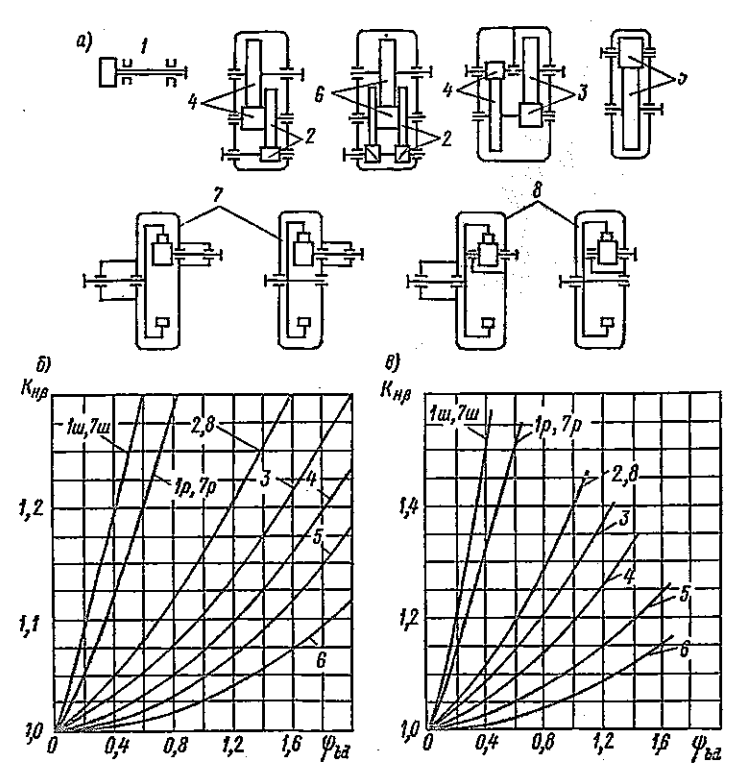


Рис. 2.15. Ориентировочные значения $K_{H\beta}$ для цилиндрических передач: a — виды передач; b — $K_{H\beta}$ при твердости активных поверхностей зубьев хотя бы одного из колес сцепляющейся пары $H_{\rm akr} \le 350$ HB; b — $K_{H\beta}$ при $H_{\rm akr1} > 350$ HB и $H_{\rm akr2} > 350$ HB;

1-8 - кривые, соответствующие видам передач на рис. а (1ш, 7ш и 1р, 7р - для передач соответственно на шарико- и роликоподшинниках)

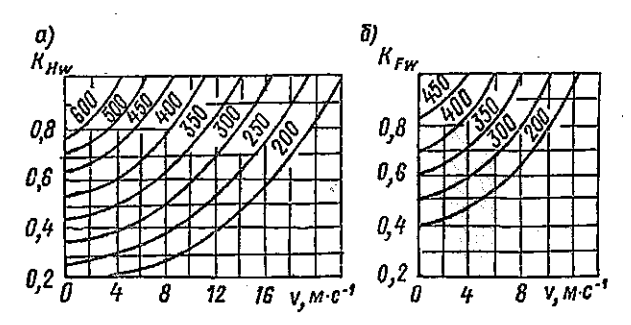


Рис. 2.16. Коэффициенты K_{Hw} и K_{Fw} (цифры на кривых — значения твердости поверхностей НВ зубъев колеса в единицах Бринеля)

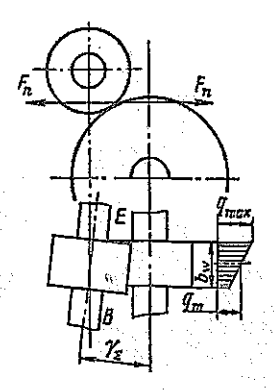


Рис. 2.17. К определению знака коэффициента в формуле (2.61)

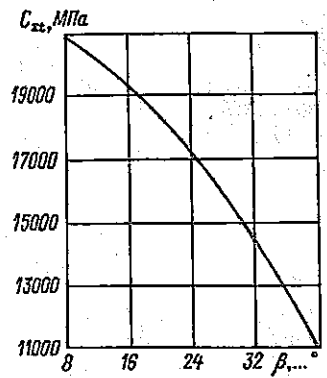


Рис. 2.18. График значений C_{Σ_t} для косозубых передач

где

$$v_H = 4.76 \cdot 10^{-4} W_{H\nu} b_{\nu} d_{\nu 1} / (T_{H1} K_{H0}); \tag{2.63}$$

$$W_{He} = \delta_H g_0 v \sqrt{a_w/u}. \tag{2.64}$$

Значения δ_H и g_0 даны в табл. 2.3 и 2.4 (во всех таблицах набрано g).

Коэффициенты δ_H и δ_F

Таблица 2,3

Твердость активных поверхностей сопряженных зубьев $H_{\rm akt~1}$ и $H_{\rm akt~2}$	Вид зубьев	δ_H	δ_F
H _{акт 2} ≤ 350 HB (или H _{акт 1} ≤ 350 HB и H _{акт 2} ≤ ≤ 350 HB)	Прямые Непрямые	0,006*; 0,004** 0,002	0,016*; 0,011** 0,006
$H_{\text{акт 1}} > 350 \text{ HB II}$ $H_{\text{акт 2}} > 350 \text{ HB}$	Прямые Непрямые	0,014*; 0,010 ** 0,004	0,016*; 0,011 **

Без модификации головки.

Таблица 2.4 Зпачения коэффициентов g_0 и максимальной удельной динамической силы W_{\max} (H · мм $^{-1}$)

Модуль <i>т</i> .		Значе		при ности	степе	TI II		Значен	ия W _{m:} точн	_{іх} при	степени	
MM	4	5	6	7	8	9	4	5	6	7	8	9
<i>m</i> ≤ 3,5	17	28	38	47	56	73	32	85	160	240	380	700
3,5 < <i>m</i> ≤ 10	22	31	42	53	.61	82	53	105	194	310	410	880
m > 10		37	48	64	73	100		150	250	450	590	1050

С модификацией головки.

Примечания: 1. При $W_{Hv}>W_{\max}$, где W_{\max} предельное значение удельной окружной динамической силы (см. табл. 2.4), следует принять $W_{Hv}=W_{\max}$. Если с шестерней жестко связана массивная деталь (например, зубчатое колесо, одетое на вал-шестерню) с моментом инерции в γ раз большим, чем у шестерни, то значение W_{Hv} следует увеличить в K_{γ} раз, где

$$K_{\gamma} = \sqrt{(1+u^2)\gamma/(u^2+\gamma)}$$
 (2.64a)

Значение $[\sigma_{Hj}]$ — допускаемого контактного напряжения для шестерни и колеса (j=1, 2) определяется по формуле

$$\left[\sigma_{H_i}\right] = \left(\sigma_{H \text{ lim } b}/\left[s_H\right]\right)_i Z_R Z_{vi} K_{HLi}. \tag{2.65}$$

Значения $\sigma_{H \lim b}$ и $[s_H]$ даны в табл. 2.5; значение Z_R принимают в зависимости от параметров шероховатости R_a или R_z элемента сцепляющейся пары с более грубой поверхностью; $Z_R=1$ при $R_a=1,25\div0,63$ мкм; $Z_R=0,95$ при $R_a=2,5\div1,25$ и $Z_R=0,9$ при $R_z=40\div10$.

Коэффициент Z_{ij} определяется по графику, изображенному на рис. 2.19, или по формулам:

при $H_{\text{акт }i} \leq 350 \text{ HB}$

$$Z_{vj} = 0,85v^{0,1}; (2.66)$$

при $H_{akri} > 350$ HB

$$Z_{vi} = 0.925v^{0.05}. (2.67)$$

Значения N_{HEI} и K_{HLI} определяют по формулам:

$$N_{HE1} = \sum_{1}^{k} (T_{1(i)}/T_{H(1)})^3 N_{c1(i)}; \qquad (2.68)$$

$$N_{HE2} = \sum_{1}^{k} (T_{1(i)}/T_{H(1)})^3 N_{c2(i)}$$
 (2.69)

или

$$N_{HE2} = N_{HE1} (\gamma_{w2}/\gamma_{w1})/u;$$
 (2.69a)

$$K_{HLj} = \sqrt[6]{N_{H0j}/N_{HEj}},$$
 (2.70)

Значения $\sigma_{H \ lim_b}$ (при $v \leqslant 5 \ \text{M} \cdot \text{C}^{-1}$) и [sH] при параметре шероховатости не инже $R_a = 1,25 \div 0,63 \ \text{мкм}$ (ГОСТ 2.309—73)

Термическая или термохимическая обработка	Твердость поверхностей зубьев H_{akt}	σ _{H lim b} , ΜΠα	[s _H] *
Нормализация или улучшение Объемная закалка Поверхностная закалка Цементация или нитроцементация Азотирование	≤ 350 HB	2 H _{HB} + 70	1,1
	40-50 HRC	17 H _{HRC} + 100	1,1
	40-56 HRC	17 H _{HRC} + 200	1,2
	54-64 HRC	23 H _{HRC}	1,2
	550-750 HV	1050	1,2

^{*} В зависимости от степени ответственности передачи, возможных последствий в случае ее отказа и достоверности заданной гистограммы нагрузок значения [5_H] могут быть завышены или занижены по сравнению с приведенными значениями (см. также работу [36, с. 79]).

$$N_{H0j} = 30H_{HBj}^{2.4}. (2.71)$$

При $H_{\text{акт}j} \ge 563$ HB = 56 HRC следует принять $N_{H0j} = 120 \cdot 10^6$. Если $N_{HEj} > N_{H0j}$, то $K_{HLi} = 1$.

На рис. 2.20, б дан график соотношения твердостей $H_{\rm HB}$ и $H_{\rm HRC}$, а на рис. 2.20, $a-H_{\rm HB}$ и $H_{\rm HV}$.

В формулах (2.51)-(2.55) при $\beta=0$ [σ_H] приравнивается меньшему из двух значений [σ_{Hj}] (т. е. [σ_{H1}] и [σ_{H2}]). При $\beta \neq 0$

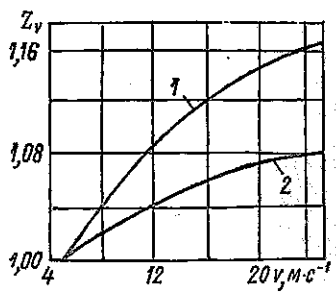


Рис. 2.19. Коэффициент Z_v : 1 — при $H_{\text{akt}} \le 350$ HB; 2 — при $H_{\text{akt}} > 350$ HB

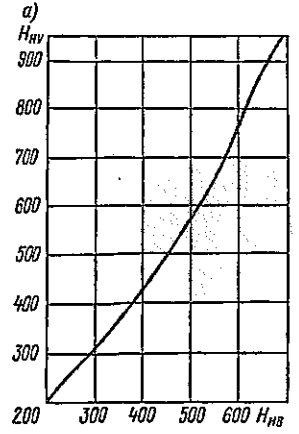
$$[\sigma_H] = \sqrt{0.5([\sigma_{H1}]^2 + [\sigma_{H2}]^2)}.$$
 (2.72)

Найденная по формуле (2.72) величина $[\sigma_H]$ не должна превышать более чем на 18% меньшее из двух значений, найденных по формуле (2.65).

Примечания: 1. При однородной структуре материала зубьев (улучшение, нормализация, объемная закалка) коэффициент K_{HL} принимают не более 2,6. При поверхностном упрочнении зубьев (цементация, нитроцементация, поверхностная закалка) величину K_{HL} принимают не более 1,8. 2. При расчете по нагрузке $T_{N_c \leqslant 5\cdot 10^5}$ (см. рис. 2.12) следует принять $K_{HL} = 2,6$ и $K_{HL} = 1,8$ соответственно при однородной структуре материала зубьев и при их поверхностном упрочнении. В формулах проверочного расчета (2.51) и (2.52) в этом случае принимают $T_{H1} = T_{1} (N_c \leqslant 5\cdot 10^5)$.

Проверочный расчет на прочность активных поверхностей зубьев при приложении пикового момента T_{Inux} . Наибольший момент, которому соответствует за полный срок службы число циклов перемен напряжений от 200 до 400, называется пиковым моментой. Проверочный расчет при действии этого момента выполняется по формуле

$$(\sigma_{H_{\text{BHE}}})_i = \sigma_H \sqrt{T_{\text{IMEE}}/T_{H1}} \leqslant \lceil \sigma_{H_{\text{BHE}}i} \rceil. \tag{2.73}$$



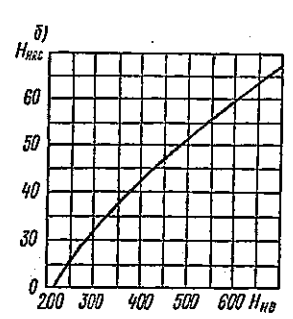


Рис. 2.20. График соотношения твердостей, выраженных в единицах НВ и HV (a) и НВ и HRC (б)

Величина σ_H определяется по формуле (2.52).

Для зубьев, подвергнутых нормализации, улучшению или объемной закалке с низким отпуском, $[\sigma_{H \text{ пик}j}] = 2,8\sigma_{Tj}$ (значение σ_T см. в табл. 2.2). Для зубьев, подвергнутых цементации, нитроцементации, а также контурной закалке после нагрева т.в. ч., $[\sigma_{H \text{ пик}j}] = 40 \text{ HRC}_j$.

Расчет зубьев на выносливость при изгибе. Проверочный расчет выпол-

няется по формулам:

при $\beta = 0$

$$\sigma_{F1} = 2 \cdot 10^3 \, T_{F1} K_{F\alpha} K_{F\beta} K_{F\nu} Y_F / (b_w d_1 m) \leqslant \lceil \sigma_{F1} \rceil; \tag{2.74}$$

$$\sigma_{F2} = \sigma_{F1} (Y_{F2}/Y_{F1}) \le [\sigma_{F2}];$$
 (2.75)

при $\beta \neq 0$

$$\sigma_{F1} = 2 \cdot 10^3 T_{F1} K_{F\alpha} K_{F\beta} K_{F\nu} Y_{F1} Y_{\beta} / (b_{w} d_{1} m \epsilon_{x}); \qquad (2.76)$$

$$\sigma_{F2} = \sigma_{F1} (Y_{F2}/Y_{F1}) \leq [\sigma_{F2}].$$
 (2.77)

Расчетная нагрузка T_{F1} приравнивается наибольшей из действующих нагрузок, за исключением тех, которым соответствует число циклов перемен напряжений за полный срок службы (отсчитываемое от начала координат на циклограмме с нагрузками, расположенными в порядке убывания) $N_c \leq 5 \cdot 10^4$ (рис. 2.21). При действии нагрузок, которым соответствует $N_c \leq 5 \cdot 10^4$, выполняется расчет на малоцикловую выносливость при изгибе по ГОСТ 21354—75*.

Для прямозубых передач с $x_1=x_2=0$ принимают $K_{Fa1}=K_{Fa2}=0,75$ при $n_{\text{ст. }\tau}\leqslant 7$ и $K_{Fa1}=K_{Fa2}=1$ при $n_{\text{ст. }\tau}>7$. Значения K_{Fa} для косозубых передач даны на рис. 2.14. Величина $K_{F\beta}$ подсчитывается по формуле

$$K_{F6} = 1 + (K_{F6}^0 - 1) K_{Fw},$$
 (2.78)

где $K_{F\beta}^0$ определяется из рис. 2.22 в зависимости от значений $K_{H\beta}^0$ [см. формулу (2.61)] и b_w/m ; K_{Fw} — по графику, изображенному на рис. 2.16. Ориентировочно (в сторону некоторого увеличения коэффициента запаса прочности) можно принять $K_{F\beta}=K_{H\beta}$.

Коэффициент K_{F_0} определяется по формуле

$$K_{Fv} = 1 + v_F,$$
 (2.79)

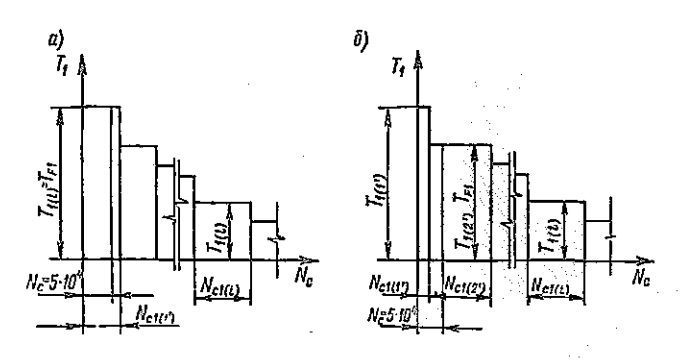


Рис. 2.21. Циклограммы нагружения шестерни: $a-N_{c1(1')}>>5\cdot 10^4;\ \tilde{o}-N_{c1(1')}<5\cdot 10^4$

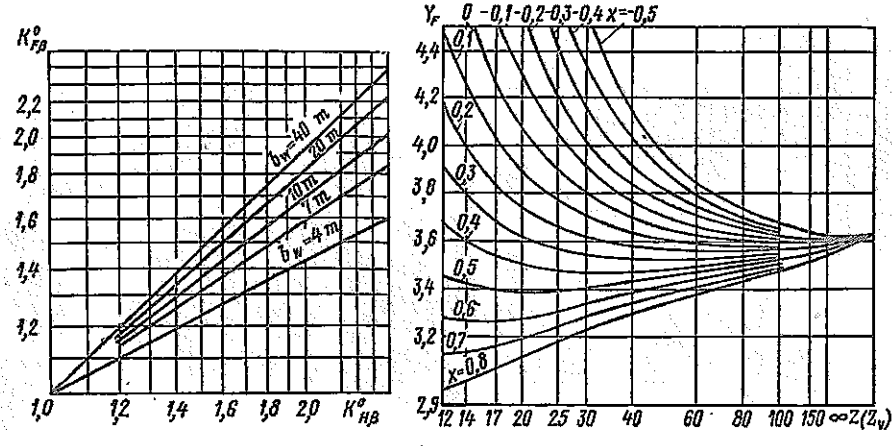


Рис. 2.22. Коэффициент $K_{F\beta}^{0}$

Рис. 2.23. Коэффициент У_F для зубчатых колес с внешними зубьями

где

$$v_F = 4.76 \cdot 10^{-4} W_{F\nu} b_w d_1 / (T_{F1} K_{F\beta});$$
 (2.80)

$$W_{Fv} = \delta_F g_0 v \sqrt{a_w/u}. \tag{2.81}$$

 δ_F и g_0 определяются из табл. 2.3 и 2.4 (см. примечания 1 и 2 на с. 38, в которых вместо W_{Hv} надо подставить W_{Fv}).

Значения Y_F для зубчатых колес с внешними зубьями при $\beta=0$ определяются из рис. 2.23 или по формуле

$$Y_F = \alpha_{\sigma}/y', \tag{2.82}$$

где $\alpha_{\sigma} = 2 - (8/z) [1 - 2x/(1 + x^2)];$ $y' = 0.545 - 2.26/z - 26.3/z^2 + 169/z^3 + 5.73x [(z + 7)/(z + 6x)^2].$

Значения Y_F для колес с внутренними зубьями даны на рис. 2.24. При $\beta \neq 0$ значения Y_F выбираются из графиков, представленных на рис. 2.23 и 2.24, или рассчитываются по формуле (2.82) в зависимости от эквивалентных чисел зубьев

$$z_{vj} = z_j/\cos^3\beta. \tag{2.83}$$

Коэффициент Y_{β} определяется по формуле

$$Y_{\beta} = 1 - \beta/140. \tag{2.84}$$

При $\beta \geqslant 42^{\circ}$ $Y_{\beta} = 0.7$.

Допускаемое напряжение при расчете на изгиб определяется по формуле

$$[\sigma_{Fj}] = (\sigma_{F \text{ lim } b}^0 / [s_F])_j K_{Fcj} K_{FLj},$$
 (2.85)

где $(\sigma_{F \lim b}^0)_i$ берется из табл. 2.6.

При реверсивной симметричной нагрузке

$$K_{Fcj} = 1 - \gamma_{Fcj}, \tag{2.86}$$

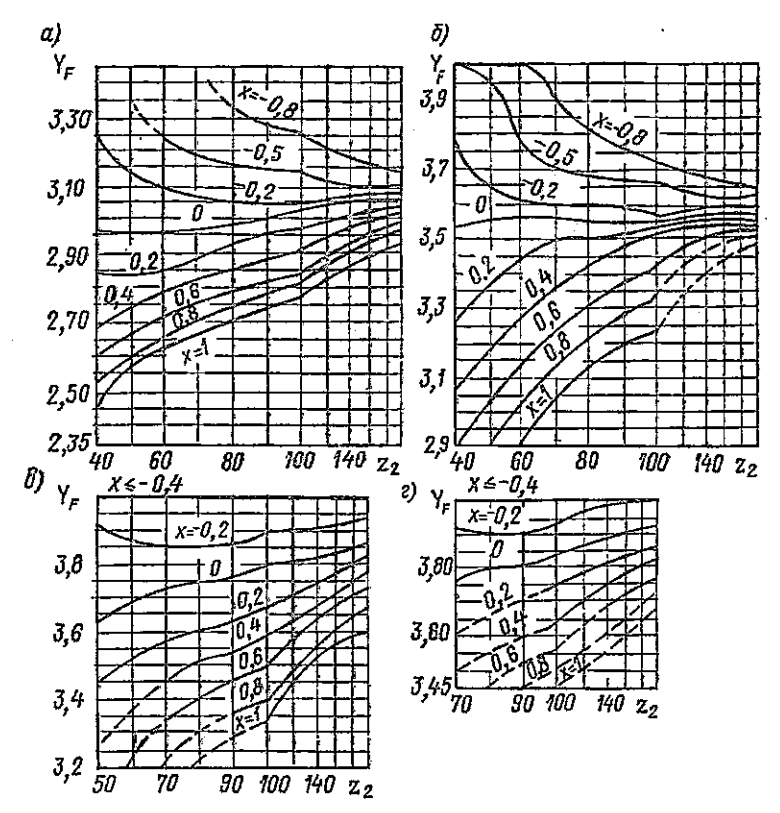


Рис. 2.24. Коэффициенты Y_F для колес с внутренними зубьями: $a-z_0=10;\; 6-z_0=20;\; a-z_0=30;\; z-z_0=40$

где для нормализованных и улучшенных зубчатых колес $\gamma_{Fc}=0.35$; при твердостях поверхностей зубьев более 45 HRC — $\gamma_{Fc}=0.25$. При нереверсивной нагрузке $K_{Fcj}=1$.

Kоэффициент K_{FLj} определяется по формуле $K_{FLj} = \sqrt{4 \cdot 10^6/N_{FEj}},$

$$K_{FLj} = \sqrt{4 \cdot 10^6 / N_{FEj}}, {(2.87)}$$

где

$$N_{FEj} = \sum_{1}^{k} \left(T_{1(i)} / T_{F1} \right)^{m_{Fj}} N_{cj(i)}. \tag{2.88}$$

Показатель степени $m_F=6$ при $H_{\rm akt} \leqslant 350$ HB и $m_F=9$ при $H_{\rm akt} > 350$ HB. Если $m_{F1}=m_{F2}$, то

$$N_{FE1} = \sum_{1}^{k} (T_{1(i)}/T_{F1})^{m_{F1}} N_{c1(i)};$$

$$N_{FE2} = \sum_{1}^{k} (T_{1(i)}/T_{F1})^{m_{F2}} N_{c2(i)}$$
(2.89)

		пость HRC		r. 1+
Вид термообработки и марки стали	на по- верхности	в серд- цевине	о⁰ _{Flimb} , МПа	[s _F]*
Цементания легированных сталей: стали марок 20XH2M, 12XH2, 12XH3A и др.	57-63	32-45	950	1,7
стали марок 18ХГТ, 30ХГТ, 12Х2Н4А и др.	57-63	32-45	800	1,7
Нитроцементация легированных сталей:				
сталь 25ХГМ	57-63	32-45 32-45	1000 750	1,7 1,7
стали марок 25ХГТ, 30ХГТ и др. Закалка при нагреве т. в. ч. по всему контуру:	57-63	32-43	750	1,7
стали пониженной прокаливаемо- сти (например, 55ПП)	. 58 – 62	28-35	900	1,7
стали марок 60XB, 60X, 60XH и др. стали марок 35XMA, 40X, 40XH	54 – 60 48 – 60	25-35 25-35	700 600	1,7 1,7
и др. Нормализация или улучшение	180-3	l 50 HB	1,35 <i>H</i> _{HB} + 100	1,65
Азотирование легированных сталей	-	24-40	18 <i>H</i> _{HRСсерди} + 50	2
	1			
* См. примечание к табл. 2.5.				

или

$$N_{FE2} = N_{FE1} (\gamma_{w2}/\gamma_{w1})/u. (2.89a)$$

При твердости активных поверхностей зубьев $H_{\rm akt} \le 350$ HB коэффициент K_{FL} принимают не более 2. При $H_{\rm akt} > 350$ HB значения $K_{FL} \le 1,6$. Если $N_{FE} > 4 \cdot 10^6$, то принимают $K_{FL} = 1$.

Типовые режимы нагружения. На основании статистической обработки эксплуатационных режимов различных машин получены представленные на рис. 2.25 типовые режимы нагружения (ГОСТ 21354—75*). Здесь по оси ординат отложены отношения $T_{ij}/T_{j\,\,\mathrm{max}}$ а по оси абсцисе — $N_{cji}/N_{c\Sigma j}$, где N_{cji} — число циклов перемен напряжений при нагрузках, удовлетворяющих условию $T_j \geqslant T_{ji}$, $N_{c\Sigma j}$ — число циклов перемен напряжений за полный срок службы зубчатого колеса. При частоте вращения n_i = const

$$N_{c\Sigma j} = 60n_j \gamma_{wj} t_h.$$

При заданном режиме работы эквивалентные числа циклов перемен напряжений определяются по формулам:

$$N_{HEi} = \mu_3 N_{c\Sigma i}; \tag{2.90}$$

$$N_{FEj} = \mu_{m_F} N_{c\Sigma j}. \tag{2.91}$$

Значения μ_3 и μ_{m_F} даны в табл. 2.7.

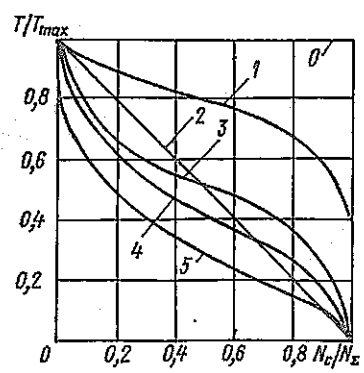


Рис. 2.25. Типовые режимы нагружения:

0 — постоянный; 1 — тяжелый; 2 — средний равновероятностный; 3 — средний нормальный; 4 — легкий;
 5 — особо легкий

Указания к проектировочному расчету. Обычно размеры зубчатых колес определяются из расчета на прочность активных поверхностей зубьев. При найденных таким способом размерах (b_w, d_{w1}, d_{w2}) , как правило, необходимую прочность зубьев на изгиб удается обеспечить варьированием модуля (или числа z_1). Исключением являются передачи с. высокими твердостями активных поверхностей зубьев (H_{akt}) при $K_{HL} \gg 1$ и особенно при реверсивной симметричной нагрузке.

Выбор материала высокозагруженных зубчатых колес. Масса шестерни и колеса и допускаемое контактное напряжение связаны следующей зависимостью [43]:

$$G_m = \Omega T_{H1} / \lceil \sigma_H \rceil^2, \qquad (2.92)$$

где Ω — коэффициент, зависящий от геометрии зацепления и конструкции зубчатых колес. Зависимость между $[\sigma_H]$ и $H_{\rm akr}$ близка к прямо пропорциональной, поэтому

$$G_m \approx \Omega T_{H1}/H_{\text{akt}}^2. \tag{2.92a}$$

Снижение массы и габаритных размеров является одним из важнейших условий совершенствования машин. В связи с этим, как следует из формулы (2.92) и (2.92а), для зубчатых колес машин серийного и массового производства необходимо выбирать материал и термообработку, обеспечивающие, по возможности, наибольшие значения $H_{\rm akt}$ при высокой прочности зубьев на изгиб. Этим требованиям наиболее полно удовлетворяют легированные стали, подвергнутые поверхностному упрочнению с помощью термической (закалке т.в. ч.) или термохимической (цементации, нитроцементации, азотированию) обработки (см. § 2.2).

Применение зубчатых колес с $H_{\text{акт}} \leqslant 350$ HB оправдано только в специальных случаях (например, в крупногабаритных судовых передачах), а также в единичном производстве, когда завышение массы передачи окупается упрощением технологии изготовления.

Сравнение несущей способности передач со стальными зубчатыми колесами при различных видах термообработки можно получить из ана-

Tаблица 2.7 Значения параметров μ_3 и μ_{m_F}

Типовой режим		μ,	n _F
нагружения	μ ₃	$m_F = 6$	$m_F = 9$
Тяжелый Средний равноверо- ятностный	0,500 0,250	0,300 0,143	0,200 0,100
Средний нормальный Легкий Особо легкий	0,180 0,125 0,063	0,065 0,038 0,013	0,036 0,016 0,004

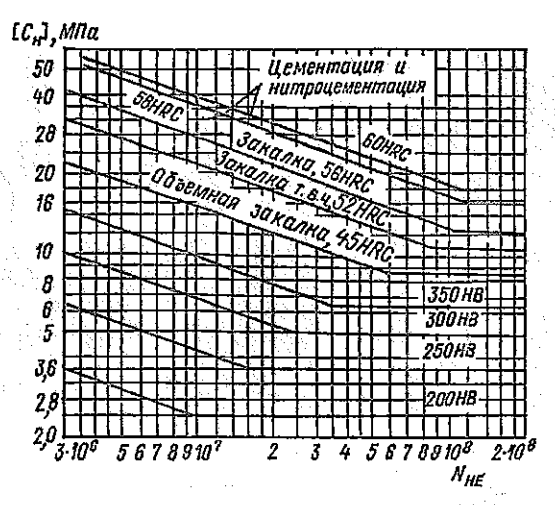


Рис. 2.26. Сравнение несущей способности передач со стальными зубчатыми колесами при различных видах термообработки: Значения $[C_H]$ рассчитаны при $z_p = z_R = 1$

лиза данных графика, изображенного на рис. 2.26, где по оси абсцисс отложены значения N_{HE} , а по ординате — величины $[C_H] = ([\sigma_H]/Z_M)^2 = 1,36 \cdot 10^{-5} \, [\sigma_H]^2$ для различных видов упрочнения стальных зубчатых колес. Для оценки информативности этого графика надо обратить внимание на то, что величина $[C_H]$ прямо пропорциональна допускаемой нагрузке и связана с массой G_m зубчатых колес зависимостью, близкой к обратно пропорциональной.

Величина $[\sigma_H]$ приравнивается меньшему из двух значений, определяемых по формулам

$$[\sigma'_{Hj}] = (\sigma_{H \text{ lim } b}/[s_H])_j K_{HLj} \quad (\beta = 0);$$
 (2.93)

$$[\sigma'_H] = \sqrt{0.5([\sigma'_{H1}]^2 + [\sigma'_{H2}]^2)} \quad (\beta \neq 0).$$
 (2.94)

Величина $[\sigma'_H]$ не должна превышать более чем на 18% меньшее из двух значений $[\sigma_H]$, найденных по формуле (2.93).

Значения коэффициентюв K'_{Hz} , K'_{Fz} , K'_{Hz} , $K'_{F\alpha}$ для проектировочных расчетов. При точности зацепления, назначенной в соответствии с окружной скоростью (см. табл. 2.10) для характерных в курсовом проектировании мощностей и частот вращения, значения перечисленных коэффициентов приведены в табл. 2.8.

Для определения K'_{H_0} при $H_{akr1} > 55$ HRC и $H_{akr2} > 55$ HRC могут быть использованы ориентировочные зависимости:

$$K'_{Hv} = 1,06 + 1,5 \cdot 10^{-5} n_1 \quad (\beta = 0);$$

 $K'_{Hv} = 1,06 + 0,75 \cdot 10^{-5} n_1 \quad (\beta \neq 0).$ (2.95)

и₁, мип⁻¹	K'_{Hv}	K' _{Fv}	K_{Hv}	K'_{Fv}	$K'_{H\alpha}$	$K'_{F\alpha}$
nı, mini	βα	= 0		β =	≠ O	
До 1000 Св. 1000 до 2000 » 2000 » 3500	1,08 1,10 1,14	1,10 1,12 1,16	1,04 1,04 1,06	1,05 1,06 1,07	1,1 1,1 1,1	1,25 1,25 1,25

С достаточно высокой точностью величину $K'_{Hc} = 1 + \nu'_H$ можно получить из зависимости

$$v'_{H} = 2400 \left[\sigma'_{H}\right]^{-7/3} \left[(u \pm 1)/u\right]^{5/3} (n_{cr, \tau} - 2) \delta_{H} n_{1}.$$
 (2.96)

Обычно в курсовом проектировании назначают $n_{\text{ст. 7}}=6$, 7, 8. Во избежание завышения массы и габаритных размеров передач при расчетном значении $K_{Hv}>1,40\div1,45$ размеры определяются по величине $K_{Hv}==1,40\div1,45$ и в последующем (при проверочном расчете) используют различные способы, направленные к снижению K_{Hv} (среди которых увеличение точности, повышение $H_{\text{акт}}$, увеличение z, применение модификации профиля зуба, переход от $\beta=0$ к $\beta\neq0$) для обеспечения условия $K_{Hv}\leqslant1,40\div1,45$.

Величина $\psi_{bd} = b_w/d_{w1}$ назначается в соответствии с рекомендациями в табл. 2.9. Для данного типа редукторов общего назначения устанавливается некоторая постоянная величина $\psi_{ba} = b_w/a_{w}$, выбираемая из стандартного ряда ГОСТ 2185-66* (СТ СЭВ 229-75). Это является необходимым условием обеспечения заданного ряда передаточных отношений и нагрузок при минимальном числе корпусов и зубчатых пар. Естественно, что при этом каждое данное исполнение (если судить в от-

Ориентировочные значения $\psi_{bd{
m max}}$

Таблица 2.9

ант		$\psi_{bd\max}$ при твердо поверхностей	сти активных зубьев
Вариант	Расположение опор относительно зубчатого венца (рис. 2.15, а)	$H_2 \leqslant 350 \text{ HB}^-$ (или $H_1 \leqslant 350 \text{ HB};$ $H_2 \leqslant 350 \text{ HB})$	$H_1 > 350 \text{ HB};$ $H_2 > 350 \text{ HB}$
1	Симметричное и вблизи зубчатого вснца (передачи 5 и 6). Несим-	1,20-1,35	0,9-1,0
2 3	метричное при высокой жесткости. конструкции (передача 4) Несимметричное (передачи 2 и 3) По одну сторону от зубчатого венца (передача 1)		0,650,75 0,45-0,55

Примечания: 1. При нагрузке постоянной или малоизменяющейся значения $\psi_{bd\max}$ могут быть увеличены против табличных на 15–20%. 2. Обычно принимают $\psi_{bd} = (0,80 \div 0,95) \, \psi_{bd\max}$. 3. В коробках передач для колес с внешними зубъями обычно принимают $\psi_{bd} = b_w/a_w \leqslant 0,3$. В связи с этим на ведичину ψ_{bd} накладывается ограничение $\psi_{bd} \leqslant 0,5 \, (u+1) \, b_w/a_w = 0,15 \, (u+1)$.

рыве от глобальной задачи, положенной в основу разработки параметров) имеет массу и габаритные размеры, отличающиеся от возможных минимальных значений.

Нередко (причем не только в курсовом, но и реальном проектировании) наблюдается значительная неравномерность распределения нагрузок по ширине зубчатого венца, характеризуемая коэффициентом $K_{H\beta}$. Для предупреждения этого целесообразно ориентироваться не на значение ψ_{ba} , а использовать величину ψ_{bd} , поскольку величина $(K_{H\beta}^0-1)$ при заданных параметрах, характеризующих жесткость конструкции, является функцией только величины ψ_{bd} , что следует из зависимости

$$K_{H8}^0 - 1 = k \psi_{bd}^{4/3}$$

где k — коэффициент, зависящий от расположения опор относительно зубчатых колес и параметров, характеризующих жесткость конструкции. При снижении ψ_{bd} появляются резервы к увеличению жесткости конструкции и уменьшению величины k.

При данном значении ψ_{ba} величина $\psi_{bd}=0.5\psi_{ba}\,(u\pm1)$ изменяется в широких пределах в зависимости от u.

Угол наклона зубьев β . Косозубые передачи отличаются от прямозубых меньшей виброактивностью и повышенной несущей способностью. С увеличением β (при данных b_w и m) снижается интенсивность шума. Но при этом увеличивается осевая составляющая силы в зацеплении. В связи с этим большие значения $\beta = 25 \div 40^\circ$ используются, как правило, только в шевронных передачах и в раздвоенных ступенях редукторов (см. рис. 1.3, e, a). В остальных случаях с целью снижения осевой составляющей обычно назначают $\beta = 8 \div 16^\circ$.

При выборе угла β рекомендуют выполнять условие

$$\varepsilon_{\beta} = b_{w} \sin \beta / (\pi m) \geqslant 1, 1. \tag{2.97}$$

Если это условие не выполнено, то корректируют значение угла наклона по формуле

$$\beta \geqslant \arcsin \left[1,1\pi m/b_{w}\right].$$
 (2.97a)

Зубчатые колеса с шевронными зубьями используются и в некоторых типах планетарных передач большой мощности с высокой частотой вращения. Но наибольшее распространение получили планетарные передачи в прямозубом исполнении, поскольку с переходом от $\beta=0$ к $\beta\neq0$ существенно усложняется конструкция этого вида передач.

Точность зацепления. С увеличением точности зацепления (при уменьшении погрешностей шага, профиля и направления зубьев) снижается неравномерность распределения удельных контактных нагрузок и значение дополнительных динамических нагрузок в зацеплении. Эти нагрузки пропорциональны скорости, поэтому (во избежание завышения массы и габаритных размеров передач, вызванного повышенными динамическими нагрузками) с ростом окружной скорости назначают более высокие степени точности передачи (табл. 2.10).

Выбор числа зубьев шестерни. С увеличением z_1 при заданных d_1 и степени точности уменьшаются погрешности в зацеплении, увеличивается коэффициент перекрытия, снижается интенсивность шума и вибро-

Ориентпровочные значения предельных окружных скоростей для силовых передач

Степень точности	Прямы	е зубья	Непрямь	е зубья
(FOCT 1643-81; CT C9B 641-77; CT C9B 186-75)	Цилиндрическая передача	Коническая передача	Цилиндрическая передача	Коническая передача
5 и более точные 6 7 8 9	≥15 До 15 » 10 » 6 » 2	≥ 12 До 12 » 8 » 4 » 1,5	≥30 До 30 » 15 » 10 » 4	≥20 До 20 » 10 » 7 » 3

активность, уменьшается скорость скольжения в конечных точках зацепления. В результате повышается несущая способность зацепления и снижаются потери на трение (см. § 2.1). С увеличением z_1 уменьшается масса металла, переводимого в стружку при фрезеровании, а иногда и масса зубчатых колес. Но при увеличении z_1 при данном d_1 уменьшается m и падает несущая способность, лимитируемая прочностью зубьев на изгиб. Это накладывает ограничения при назначении z_1 .

Величина z_1 в передачах с эвольвентным зацеплением изменяется в широких пределах, начиная с 10 (но встречаются передачи и с $z_1=5$) и кончая приблизительно 70. Для цилиндрических передач при $H_{\rm akr} > 350$ HB и $H_{\rm akr} \leqslant 350$ HB характерные интервалы значений z_1 составляют соответственно 15-30 и 18-35.

Ориентировочные значения $z_{1 \max}$ из условия равнопрочности по напряжениям изгиба и контактным напряжениям для нереверсивных цилиндрических передач даны на рис. 2.27. Эти значения при реверсивной симметричной нагрузке спедует умножить на 0,75. Если $K_{HL} > 1$ [см. формулу (2.70)], то значение $z_{1 \max}$ следует уменьшить в K_{HL} раз. При $H_{\text{акт}} < 350 \text{ HB}$ значения z_1 обычно назначают значительно меньшими $z_{1 \max}$ Значения $z_{1 \max}$ можно найти по формулам:

$$z_{1 \max} = E_0 \left\{ \frac{4 \cdot 10^4 (u \pm 1) \left[\sigma_F\right]}{K_{F\alpha} u \left[\sigma_H'\right]^2} \right\} \quad (\beta = 0); \tag{2.98}$$

$$z_{1\max} = E_0 \left\{ \frac{6.6 \cdot 10^4 (u \pm 1) \left[\sigma_F\right] \chi}{u \left[\sigma'_H\right]^2} \right\} \quad (\beta \neq 0), \tag{2.99}$$

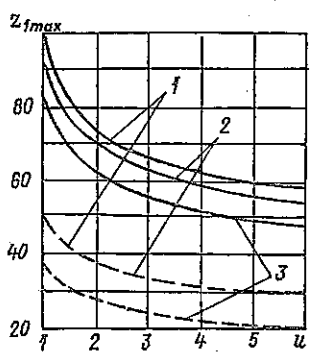


Рис. 2.27. Ориентировочные значения чисел зубьев шестерни $z_{1\text{max}}$ из условия равнопрочности по напряжениям изгиба и контактным напряжениям для нереверсивных цилиндрических перелач:

1 – прямозубые зубчатые колеса 6-й и более высоких степеней точности;
 2 – то же, упри 7-й и более низких степенях точности;

3 - косозубые зубчатые колеса;
— термическое улучшение или нормализации;
— - - нитроцементация и цементация

где $[\sigma_F]$ приравнивается меньшему из двух значений $[\sigma_{Fj}]$ и

$$\chi = 0.85 - [(\beta - 10)/57]^2. \tag{2.100}$$

При $\beta \leqslant 12^\circ$ принимают $\chi = 0.85$. Символ E_0 { } означает округление до ближайшего целого числа значения, подсчитанного по выражению в фигурных скобках.

Обычно в курсовом проекте принимают

$$z_1 = z_{1 \text{ max}} - (1 \div 2) \le 35.$$
 (2.101)

Указания к выбору коэффициентов смещения x_1 и x_2 . Варьированием величиной х можно существенно повлиять на форму зуба и такие параметры зацепления как коэффициент перекрытия, приведенные радиусы кривизны, удельные скорости скольжения и др. Подробные сведения по этому вопросу и указания к выбору величии x_1 и x_2 даны в работах [58, 59 и др.]. При $z_1 \ge 18 \div 19$ в курсовых проектах обычно принимают $x_1 = x_2 = 0$. Однако и при этих значениях z, изменяя x_1 и x_2 , можно повысить несущую способность.

Для прямозубых передач внешнего зацепления при $x_1 + x_2 > 0$ в ГОСТ 16532-70 рекомендуется принимать $x_1 = x_2 = 0.5$. С переходом от $x_1 = x_2 = 0$ к $x_1 = x_2 = 0.5$ несущая способность, лимитируемая выносливостью активных поверхностей зубьев, изменяется незначительно (см. рис. 6.3 в работе [42]). При назначении х, и х, для повышения несущей способности, лимитируемой прочностью зубьев на изгиб, учитывается точность изготовления и степень загруженности передачи. При этом необходимо знать величину параметра λ (см. гл. 12), учитывающего распределение нагрузки между парами зацепляющихся зубьев. В первом приближении можно считать, что при $\lambda > 0.8$ целесообразно принять $x_1 = x_2 = 0.5$, так как при этом существенно возрастает несущая способность в сравнении с вариантом с $x_1 = x_2 = 0$. При указанных значениях $\lambda > 0.8$ и системе смещений $x_1 + x_2 = 0$ целесообразно добиться равнопрочности шестерни и колеса, базируясь на значениях Y_{F1} и Y_{F2} (см. рис. 2.23). Так, чегко обнаружить, что при $[\sigma_{F1}] = [\sigma_{F2}]$ в передаче с $z_1 =$ $z_1 = 13$ и $z_2 = 70$ при $x_1 + x_2 = 0$, приняв $x_1 = 0.35$, получим $Y_{F1} \approx Y_{F2}$. Если $\lambda \le 0.75$, предпочтительны передачи с $x_1 = x_2 = 0$ или $x_1 + x_2 = 0$. Целесообразность последнего варианта возрастает с уменьшением z, при $u\gg 1$ (например, при $u > 2 \div 3$).

В косозубых передачах обычно принимают $x_1 = x_2 = 0$. Для передач с $x_1 = -x_2$ и $[\sigma_{H1}] = [\sigma_{H2}]$ рекомендуется x_1 определять по формуле

$$x_1 = (0.015z_1 - 0.04) \sqrt{u - 1}$$
.

Если $z_1 > 18$, то в эту формулу подставляют $z_1 = 18$; при $u \ge 6$ принимают u = 6. В косозубых передачах с внещним зацеплением, как правило, система смещений с $x_1 + x_2 > 0$ не применяется. Это связано с тем, что при увеличении $(x_1 + x_2)$ снижается суммарная длина контактных линий, не компенсируемая увеличением приведенного радиуса кривизны.

Для прямозубых и косозубых передач значение х должно удовлетворять условию

$$x > x_{\min} = h_a^{\circ} - z \sin^2 \alpha_t / (2 \cos \beta).$$

Для передач внутреннего зацепления обычно $x_1 = x_2 = 0$. Используется также система смещения $x_2 - x_1 = 0$. При этом, как правило, $x_1 > 0$.

Проектировочный расчет из условия прочности зубьев на изгиб. Для некоторых зубчатых передач с высокими твердостями активных поверхностей зубьев при $K_{HL}\gg 1$ и особенно при реверсивной симметричной нагрузке число зубьев, рассчитываемое по формулам (2.98) и (2.99), может оказаться очень малым (например, $z_{1 \text{ max}} < 10 \div 12$). В этом случае задаются числом зубьев z_1 и определяют размеры зубчатых передач по формулам:

для прямозубых передач

$$d_1' \geqslant \sqrt[3]{\frac{2 \cdot 10^3 T_{F1} K_{F\beta}' K_{F\nu} K_{F\alpha} Z_1}{\Psi_{bd}} \left(\frac{Y_F}{\lceil \sigma_F \rceil}\right)}$$
(2.102)

или

$$b_w \geqslant \frac{2 \cdot 10^3 \, T_{F1} K_{F\alpha} K'_{F\beta} K'_{Fc} z_1}{d_1^2} \left(\frac{Y_F}{[\sigma_F]} \right);$$
 (2.103)

для косозубых передач

$$d_{1}^{\prime} \geqslant \sqrt[3]{\frac{2 \cdot 10^{3} T_{F1} K_{F\alpha}^{\prime} K_{F\beta}^{\prime} K_{F\nu}^{\prime} Y_{\beta} z_{1}}{\psi_{bd} \varepsilon_{\alpha}} \left(\frac{Y_{F}}{[\sigma_{F}]}\right)}$$
(2.104)

или

$$b_{w} \geqslant \frac{2 \cdot 10^{3} T_{F1} K'_{F\alpha} K'_{F\beta} K'_{Fc} Y_{\beta} z_{1}}{d_{1}^{2} \varepsilon_{\alpha}} \frac{Y_{F}}{\left[\sigma_{F}\right]}.$$
 (2.105)

В зависимостях (2.102)—(2.105) отношение $(Y_F/[\sigma_F])$ принимается равным большему из двух значений $(Y_{FI}/[\sigma_{F1}])$ и $(Y_{F2}/[\sigma_{F2}])$. Коэффициент Y_{β} в формулах (2.104) и (2.105) рассчитывается по формуле (2.84), а коэффициент перекрытия — по формуле из работы [55]

$$\varepsilon_a = [0.95 - 1.6(1/z_1 + 1/z_2)](\cos \beta + \cos^2 \beta).$$
 (2.106)

По формулам (2.103) и (2.105) может быть рассчитана ширина зубчатого венца, если при проверочном расчете на выносливость при изгибе условие $\sigma_{Fj} \leq [\sigma_{Fj}]$ не выполняется. При этом K'_{Fz} ; K'_{Fg} и K'_{Fv} заменяются соответственно на K_{Fa} ; K_{Fg} ; K_{Fv} .

§ 2.4. Последовательность расчетов цилиндрических зубчатых передач

Расчет цилиндрических зубчатых передач производится по схеме алгоритма на рис. 2.28 или при более уточненных расчетах по схеме алгоритма на рис. 2.29.

При нагрузке, заданной в виде гистограммы, выбор T_{Hi} и расчет коэффициентов K_{HLj} производится по схеме алгоритма на рис. 2.30. На рис. 2.31—2.34 представлены схемы алгоритмов для определения $[\sigma'_H]$, d'_{w1} , $[\sigma_{Fj}]$ и $z_{1\,\text{max}}$. Обычно для заданий на курсовое проектирование $z_{1\,\text{max}}$ существенно больше 12-14, что позволяет избегать больших абсолютных значений x_1 и, следовательно, многих негативных последствий, вызванных

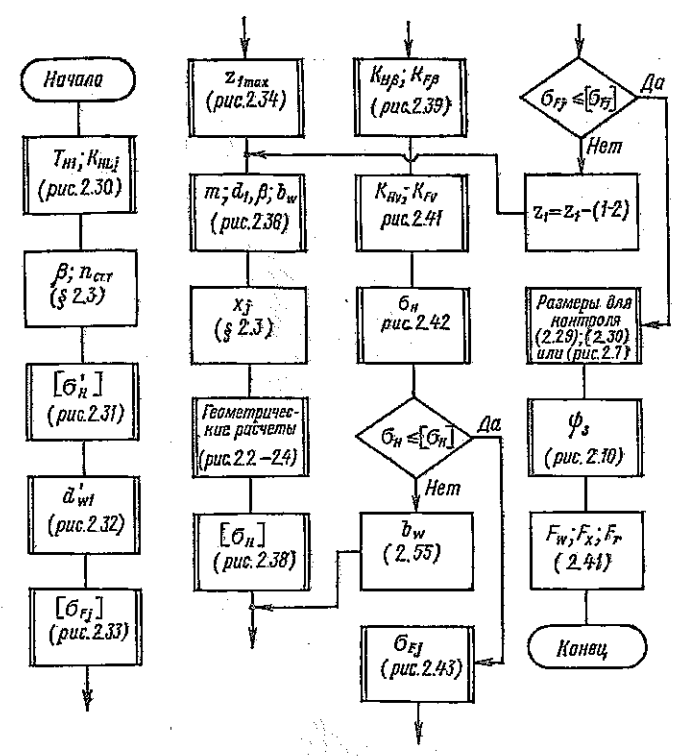


Рис. 2.28. Схема алгоритма для расчета на прочность цилиндрической зубчатой передачи

этим (больших удельных скольжений и скоростей скольжения в конечных точках линии зацепления, повышенных потерь на трение в зацеплении и т. п.). Для редких случаев, когда $z_{1\,\text{max}} < 10 \div 12$, габаритные размеры передачи определяются из условия прочности зубьев на изгиб по схеме алгоритма на рис. 2.35.

После определения ориснтировочных значений размеров передачи (d'_{101}) или d'_{11} и b'_{10}) производится их уточненный расчет. Вначале определяется ориентировочное значение расчетного модуля

$$m' = d_{w1}^r \cos \beta/z_1, \tag{2.107}$$

которое округляется до ближайшего стандартного значения. По найденной величине т уточняется число зубьев

$$z_1 = E_0 \{ d_{w1}^* \cos \beta / m \}. \tag{2.108}$$

Диаметр делительной окружности шестерни d_1 определяется по формуле (2.4).

С учетом возможного значительного расхождения в значениях d_{wt}^* и d_1 , расчетная ширина зубчатого венца определяется из зависимости

$$b_w = \psi'_{bd} (d^i_{w1})^3 / d^2_1. \tag{2.109}$$

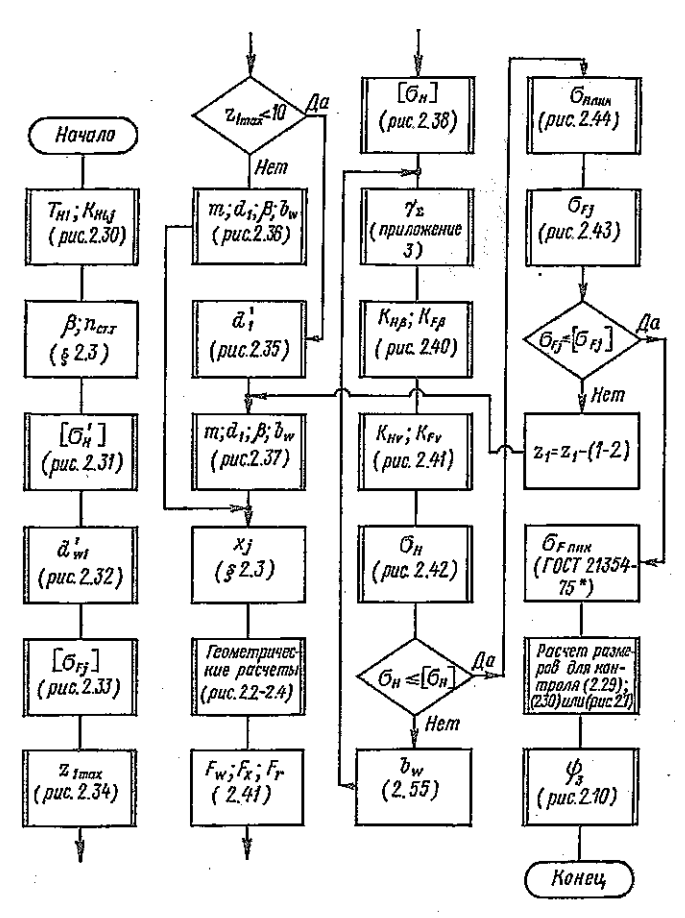


Рис. 2.29. Схема алгоритма для уточненного расчета на прочность цилиндрической зубчатой передачи

При такой корректировке размера b_w , несмотря на изменение размера d_1 , вызванного округлением до стандартного значения m и до целого значения z_1 , масса передачи не изменяется. Последовательность расчетов при определении уточненных значений m; d_1 ; β ; b_w и z_1 представлена в виде схем алгоритмов на рис. 2.36 и 2.37.

Примечание. При низких значениях $H_{\rm akt\,j}$ $z_{1\,\rm max}$, рассчитываемое по схеме алгоритма, представленной на рис. 2.34, может достигать значений 70-80 и более. При передаточном числе $u\geqslant 2$ в этом случае следует принять $z_{1\,\rm max}\leqslant 35\div 40$.

После выбора значений x_j (см. § 2.3) рассчитываются геометрические размеры зубчатых колес и коэффициент перекрытия по схемам алгоритмов, представленным на рис. 2.3, 2.4. Силы в зацеплении определяются по формулам (2.41), $[\sigma_H]$ — по рис. 2.38. При этом окружная скорость

$$v = \pi dn/(6 \cdot 10^4), \tag{2.110}$$

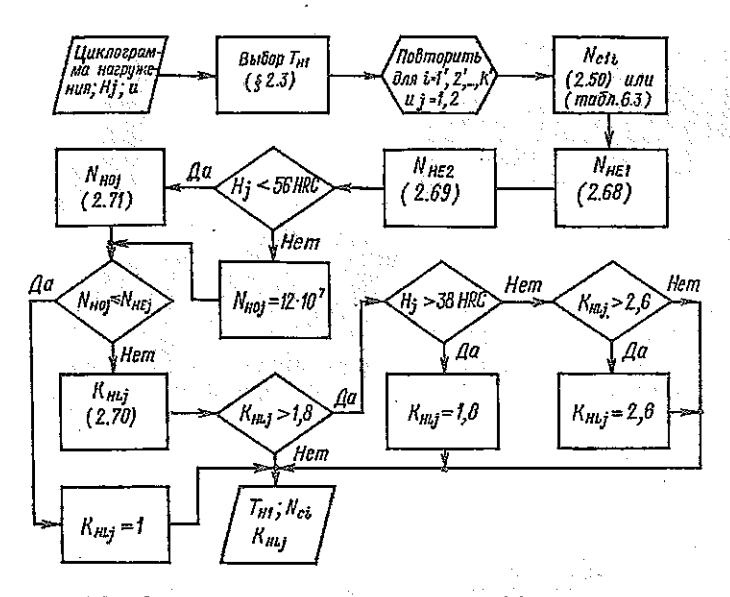


Рис. 2.30. Схема алгоритма для расчета коэффициентов долговечности K_{HL} зубчатых колес:

Для планетарных передач в приведенных формулах индекс j заменяют индексами; соответствующими обозначениям зубчатых колес (например, a, b, g для передачи A или b, e, f, g для передачи 3k); для планетарных передач $N_{\rm elif}$ рассчитывается по формулам § 6.9

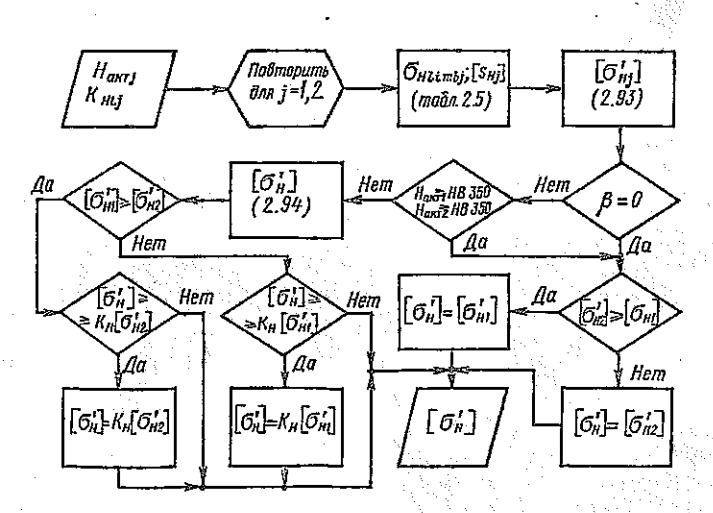


Рис. 2.31. Схема алгоритма для расчета ориентировочного значения допускаемых контактных напряжений: Коэффициент $K_H = 1,18$ для цилиндрических и $K_H = 1,14$ для конических зубчатых передач

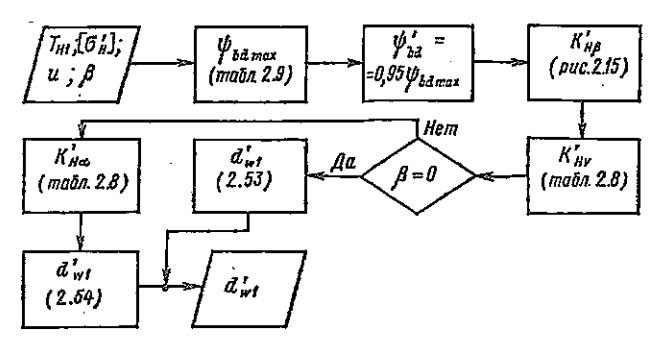


Рис. 2.32. Схема алгоритма для расчета ориентировочного значения диаметра начальной окружности шестерни: Данный алгоритм распространяется на передачи с высокой твердостью активных поверхностей при передаваемой мощности $P \leqslant 125$ кВт и частоте вращения $n_1 \leqslant 3000$ мин⁻¹

При курсовом проектировании в проверочных расчетах значения $K_{H\beta}\approx K_{F\beta}$ допускается определять по схеме алгоритма, данной на рис. 2.39. При уточненных расчетах вначале вычисляется угол перекоса в зацеплении γ_{Σ} , вызванный деформациями валов и опор передачи (см. приложение 3), а затем рассчитываются значения $K_{H\beta}$ и $K_{F\beta}$ (при $\psi_{bd}\leqslant 1,25$ по схеме алгоритма, представленной на рис. 2.40).

Коэффициенты K_{Ho} и K_{Fo} определяются по схеме алгоритма, представленной на рис. 2.41. Для промежуточных и тихоходных ступеней многоступенчатых редукторов учитывается влияние жестко присоединенного к валу шестерни колеса предыдущей ступени. С этой целью рассчитывается коэффициент

$$\gamma = \left[\frac{(ud_{w1})_n}{(d_{w1})_{n-1}} \right]^4 \frac{(b_w)_n}{(b_w)_{n-1}}, \tag{2.111}$$

где индекс n соответствует номеру ступени редуктора, отсчитываемой от тихоходной. Например, для двухступенчатого редуктора быстроходная ступень имеет индекс n=2, а тихоходная -n=1.

Примечание. В зубчатых передачах с $H_{axrj} > 350$ НВ при $P \le 125$ кВт и $n_1 \le 3000$ мин⁻¹ для коэффициентов K_{Hv} и K_{Fv} в проверочном расчете можно сохранить значения, принятые в проектировочном расчете, если они выбирались из табл. 2.8.

Расчет действующих в передаче напряжений σ_H и σ_{Fj} производится по схемам алгоритмов, изображенным на рис. 2.42 п 2.43.

При невыполнении условий $\sigma_H \leq [\sigma_H]$ или $\sigma_{Fj} \leq [\sigma_{Fj}]$ соответственно увеличивается расчетная ширина b_w и уменьшается число зубьев z_1 , как это показано на рис. 2.28 и 2.29.

Для достижения этой же цели можно повысить степень точности передачи и механические свойства материалов колес (твердость активных поверхностей или сердцевины зубьев). Для повышения выносливости на изгиб может быть рекомендовано упрочнение впадин зубьев. При дробе-

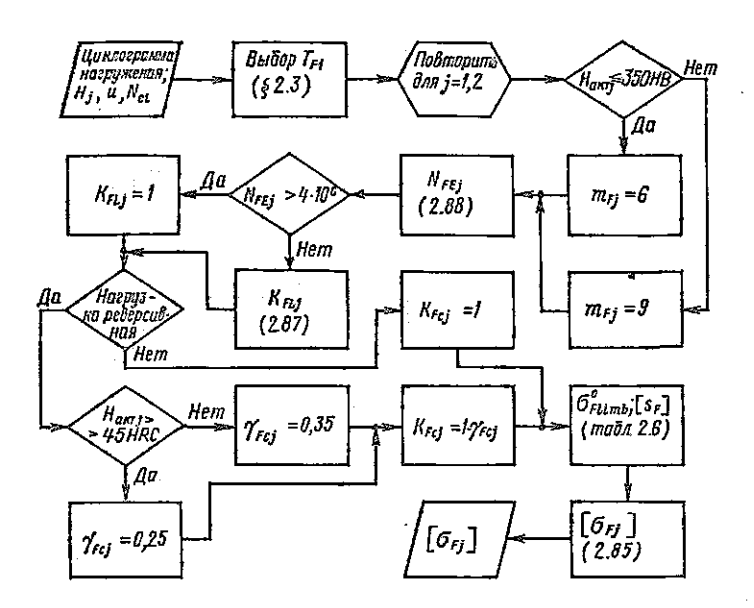


Рис. 2.33. Схема алгоритма для расчета допускаемых значений напряжений изгиба на переходной поверхности зуба: Данный алгоритм не относится к азотированным зубчатым колесам, для которых $\gamma_{F_C} = 0.1$. Для планетарных передач индекс j заменяют индексами, соответствующими обозначениям зубчатых колес; для планетарных передач A (а также и 3k) нагрузка для сателлита g всегда реверсивная независимо от вида нагружения самой передачи

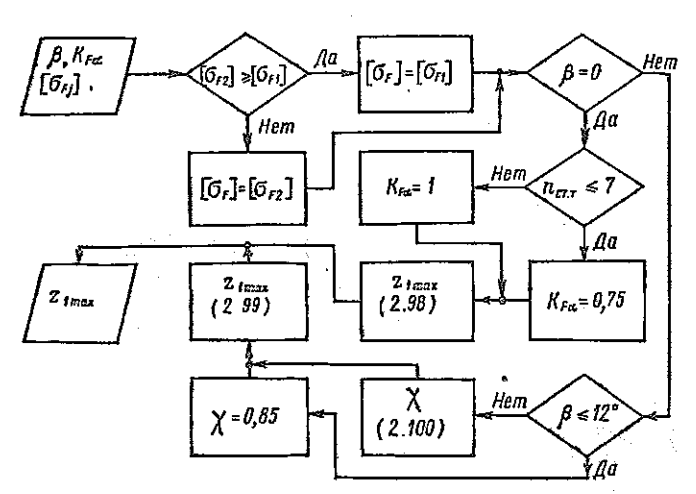


Рис. 2.34. Схема алгоритма для расчета максимального значения числа зубьев шестерни

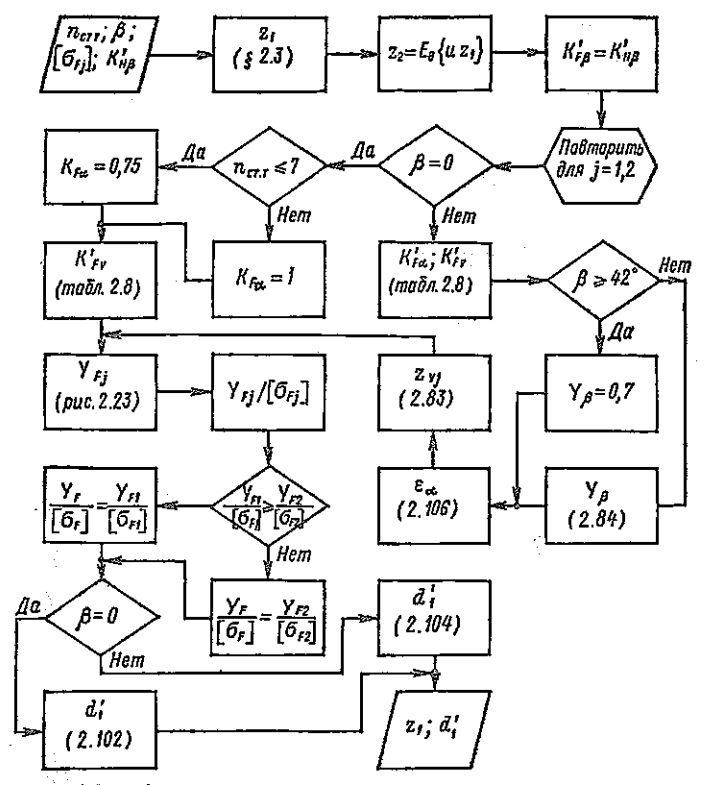


Рис. 2.35. Схема алгоритма для проектировочного расчета цилиндрической зубчатой передачи с высокой твердостью активных поверхностей из условия обеспечения выносливости ее зубьев при изгибе (см. замечание к рис. 2.32)

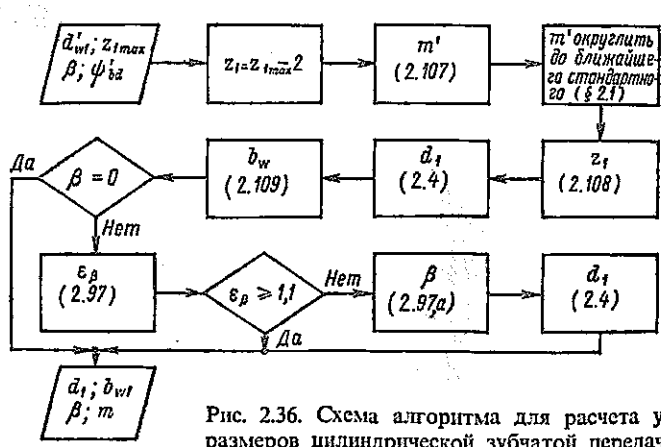


Рис. 2.36. Схема алгоритма для расчета уточненных размеров цилиндрической зубчатой передачи при определении ориентировочных размеров из расчета на прочность активных поверхностей зубьев

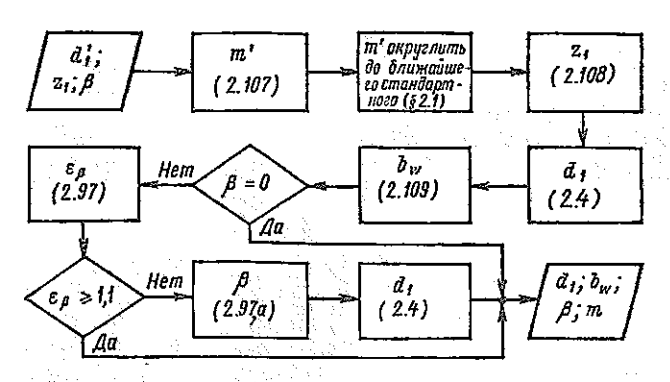


Рис. 2.37. Схема алгоритма для расчета уточненных размеров цилиндрической зубчатой передачи при определении ориентировочных размеров из расчета на изгибную выносливость зубъев

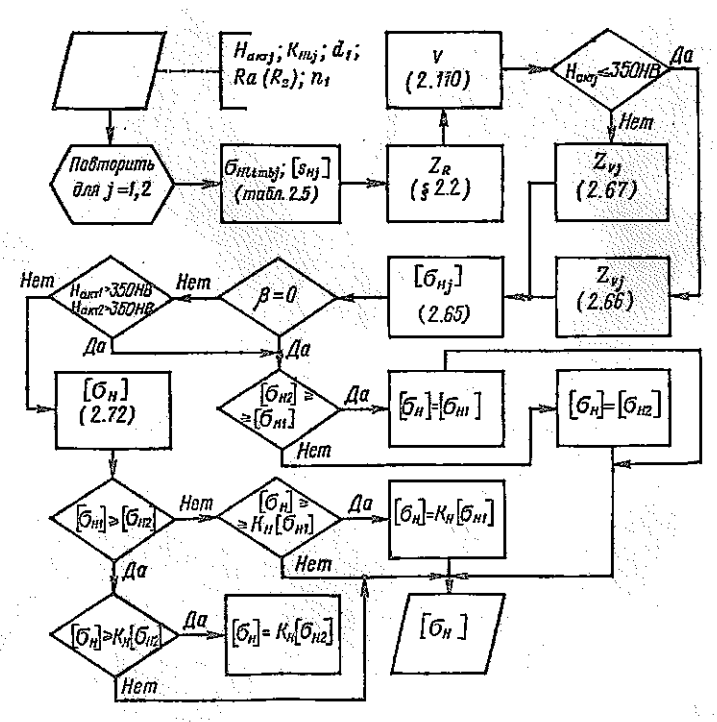


Рис. 2.38. Схема алгоритма для расчета допускаемых контактных напряжений:

Коэффициент $K_H=1,18$ для цилиндрических и $K_H=1,14$ для конических зубчатых передач. Для планетарных передач окружная скорость рассчитывается по формуле (6.29); индекс j заменяют индексами, соответствующими обозначениям зубчатых колес

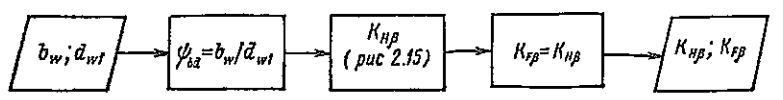


Рис. 2.39. Схема алгоритма для расчета значений коэффициентов K_{HB} и K_{FB} для проверочных расчетов зубчатых передач

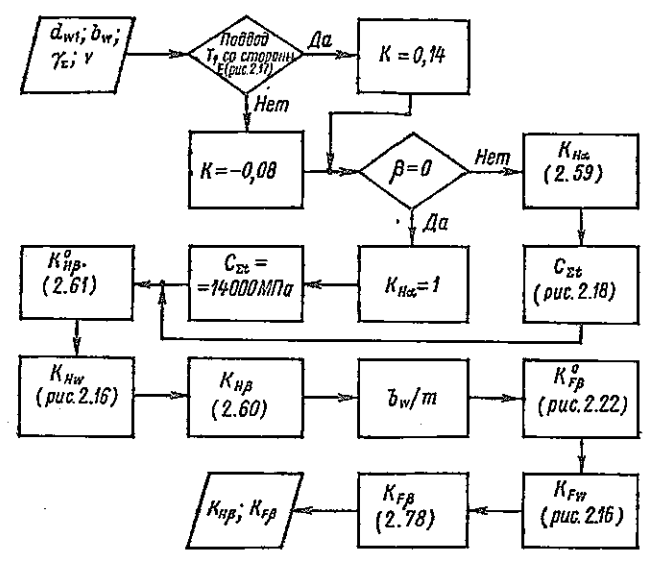
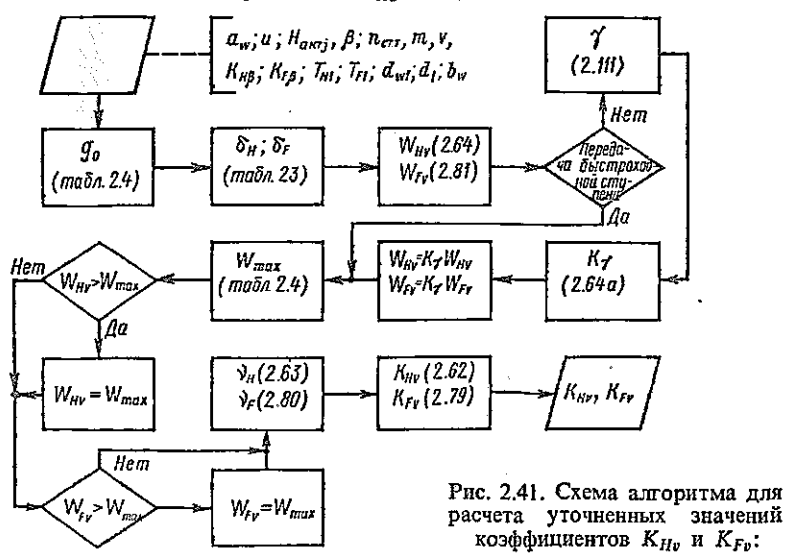


Рис. 2.40. Схема алгоритма для расчета уточненных значений коэффициентов K_{HB} и K_{FB}



Для передачи A при любом числе ступеней коэффициент γ рассчитывается по формуле (2.111); для передачи 3k γ не учитывается. Вместо $K_{H\beta}$ и $K_{F\beta}$ подставляется $K_{H\Sigma}$ и $K_{F\Sigma}$ соответственно для зацеплений a-g и e-f при $v=v^b$ по формуле (6.29)

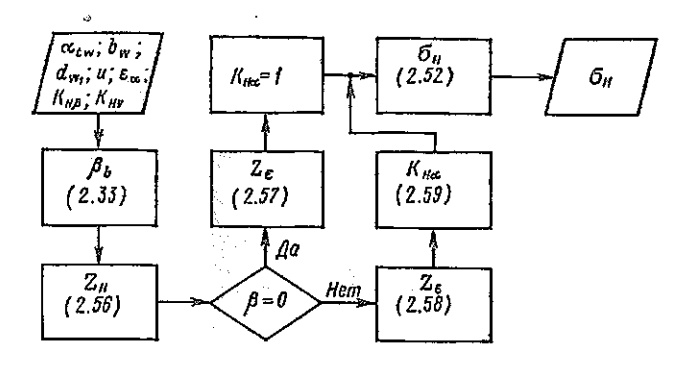


Рис. 2.42. Схема алгоритма для определения расчетных контактных напряжений в зацеплении цилиндрических передач

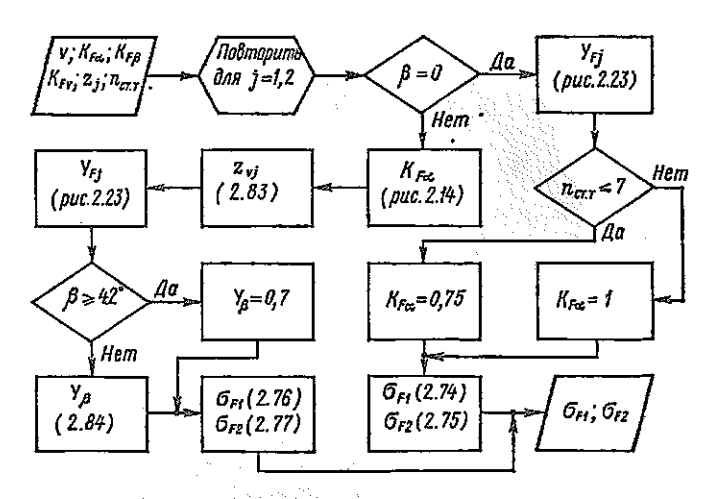


Рис. 2.43. Схема алгоритма для определения расчетных значений напряжений изгиба в зубъях цилиндрических передач:

Для планетарных передач A индекс f заменяется на a и g; для передачи 3k — на e и f. Вместо коэффициента K_{F} В подставляется K_{F} С соответственно для зацеплений a-g и e-f

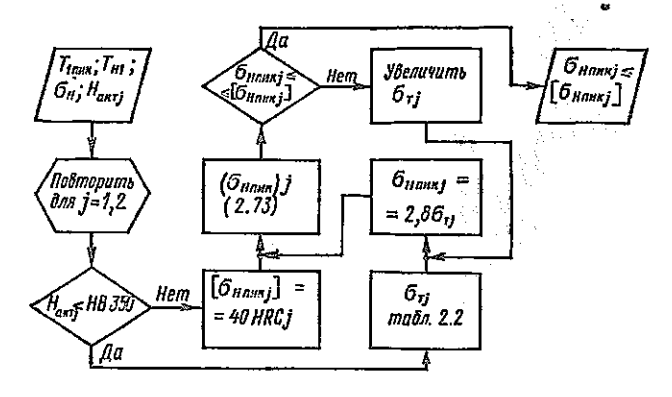


Рис. 2.44. Схема алгоритма для расчета на прочность активных поверхностей зубьев при воздействии пиковой нагрузки

струйной обработке или накатке роликами впадин зубьев колес с $H_{\rm akr} > 350~{\rm HB}$ значения $\sigma_{\rm lim}^0$, приведенные в табл. 2.6, следует увеличить на $15-20\,\%$. При наличии в гистограмме нагрузок, превосходящих по величине T_{H1} или T_{F1} , производится проверка на прочность активных поверхностей зубьев при приложении пикового момента $T_{\rm innk}$ по схеме алгоритма, данной на рис. 2.44, и расчет на малоцикловую выносливость при изгибе по формулам ГОСТ $21354-75^*$.

Глава 3

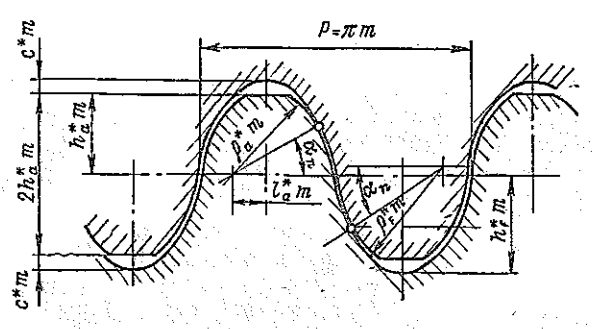
ЦИЛИНДРИЧЕСКИЕ ПЕРЕДАЧИ С ВНЕШНИМ ЗАЦЕПЛЕНИЕМ НОВИКОВА ¹

§ 3.1. Геометрия зацепления

Исходными данными для геометрического расчета являются: число зубьев шестерни z_1 и колеса z_2 ; модуль m (по ГОСТ 14186-69); угол наклона зуба на делительном цилиндре β и параметры исходного контура по ГОСТ 15023-76 (рис. 3.1) (коэффициент радиуса кривизны профиля головки ρ_a^* ; коэффициент расстояния от центра окружности радиуса ρ_2^* до оси симметрии зуба l_a^* ; коэффициент высоты головки h_a^* ; коэффициент радиального зазора c^* и угол профиля α_a производящей рейки в нормальном сечении).

В табл. 3.1 в соответствии с ГОСТ 17744—72 приведены формулы для определения основных размеров цилиндрических передач Новикова (рис. 3.2).

¹ Особенности геометрии и кинематики точечного зацепления пояснены в работе [36].



Исходный контур зубчатых колес FOCT 15023-76: $h_a^* = 0.9$; $c^* = 0.15$; $\alpha_n = 27^\circ$; $l_a^* =$ = 0.3927; $\rho_a^* = 1.147 \div 1.150$; $\rho_f^* = 1.307 \div 1.250$

Таблица 3.1 Формулы для определения основных размеров цилиндрических передач Новикова (см. рис. 3.1 и 3.2)

			- Table 1997
Опреде- ляемая величина	Формула (передачи с двумя линиями зацепления)	Опреде- ляемая величина	Формула (передачи с двумя линиями зацепления)
$egin{array}{l} d_1 & d_2 & & & \\ a_w & d_{a1} & d_{a2} & d_{f1} & d_{f2} & & \\ d_{f1} & d_{f2} & P_x & & & \end{array}$	$d_{1} = mz_{1}/\cos \beta$ $d_{2} = mz_{2}/\cos \beta$ $a_{w} = 0.5 m (z_{1} + z_{2})/\cos \beta$ $d_{a1} = d_{1} + 2h_{a}^{*}m$ $d_{a2} = d_{2} + 2h_{a}^{*}m$ $d_{f1} = d_{1} - 2(h_{a}^{*} + c^{*}) m$ $d_{f2} = d_{2} - 2(h_{a}^{*} + c^{*}) m$ $P_{x} = \pi m/\sin \beta$	$egin{array}{cccccccccccccccccccccccccccccccccccc$	$q_{21} = \left(\frac{0.5\pi + 2l_a^*}{\sin \beta} - 2\rho_a^* \cos \alpha_n \sin \beta \right) m$ $-2\rho_a^* \cos \alpha_n \sin \beta \right) m$ $q_{22} = P_x - q_{21}$ $b_1 = b_w + (0.4 \div 1.5) m$ $b_2 = b_w = kP_x + \Delta b$, где k — целое число осевых шагов в ширине венца (полушеврона); Δb^{***} — часть ширины венца (полушеврона) ($\Delta b < P_x$). $c_{\Phi} = (0.7 \div 0.9) m$

 q_{21} – интервал контактных точек, расположенных на одном зубе.

§ 3.2. Силы, действующие в зацеплении

Определение усилий, действующих в зацеплении Новикова, производят так же, как и для цилиндрического косозубого эвольвентного зацепления (см. гл. 2). Из рис. 2.8 и 3.2 имеем:

$$F_t = 2T/d$$
; $F_x = F_t \lg \beta$; $F_r = F_t \lg \alpha_t = F_t \lg \alpha_n/\cos \beta$, (3.1)

где α_n — угол профиля, равный 27° (см. рис. 3.1).

 q_{21} — интервал контактных точек, расположенных на одном зусе.
** q_{22} — интервал контактных точек, расположенных на рек зубьях.
*** — рекомендуется принимать $\Delta b > 0,2P_{\chi}$. (Если $\Delta b < 0,2P_{\chi}$ — зубчатые колеса взаимодействуют не менее чем в 2k контактных точках; если $\Delta b > q_{22}$ — зубчатые колеса взаимодействуют (k+1) парами зубьев; если $\Delta b > q_{21}$ — зубья зубчатых колес взаимодействуют не менее чем (2k + 1) контактными точками.)

§ 3.3. Расчет на прочность

Метод расчета распространяется на силовые зубчатые передачи внешнего зацепления, состоящие из стальных зубчатых колес, твердость активных поверхностей зубьев которых $H \leq 320$ HB, с модулем от 1,6 до 16 мм, работающие со смазкой в закрытом корпусе с окружной скоростью не свыше $20 \text{ м} \cdot \text{c}^{-1}$.

Расчет на контактную выносливость активных поверхностей зубьев (проверочный расчет). В основу расчета передач Новикова на прочность положен метод из Методических рекомендаций МР24−81 «Передачи зубчатые Новикова цилиндрические с твердостью поверхностей зубьев ≤ 320 НВ. Расчет на прочность». Проверочный расчет на прочность активных поверхностей зубьев выполняется по формуле

$$\sigma_{H} = 3750 \sqrt{\frac{T_{H1}z_{1}^{1,5}K_{H\beta}K_{H\sigma}}{d_{1}^{3}K_{\epsilon}}}K_{\beta\mu} \leq [\sigma_{H}],$$
(3.2)

где T_{H1} — расчетная нагрузка на шестерне, Н м (см. § 2.3); $K_{H\beta}$ — коэффициент, учитывающий распределение нагрузки среди зон касания по ширине зубчатого венца; $K_{H\nu}$ — коэффициент, учитывающий динамическую нагрузку в зацеплении; K_{ν} — коэффициент, учитывающий осевое перекрытие; $K_{\rho\mu}$ — коэффициент, учитывающий угол наклона зуба и передаточное число; d_1 — делительный диаметр, мм.

Коэффициент $K_{H\beta}^{-1}$ определяется по формуле (2.60), в которой $K_{H\beta}^{0}$ — коэффициент, учитывающий неравномерность распределения нагрузки между точками начального контакта у неприработавшейся передачи; K_{Hw} — коэффициент, учитывающий приработку зубьев (определяется по рис. 2.16).

¹ Ориентировочные значения $K_{H\beta}$ можно определять по графикам, изображенным на рис. 2.15.

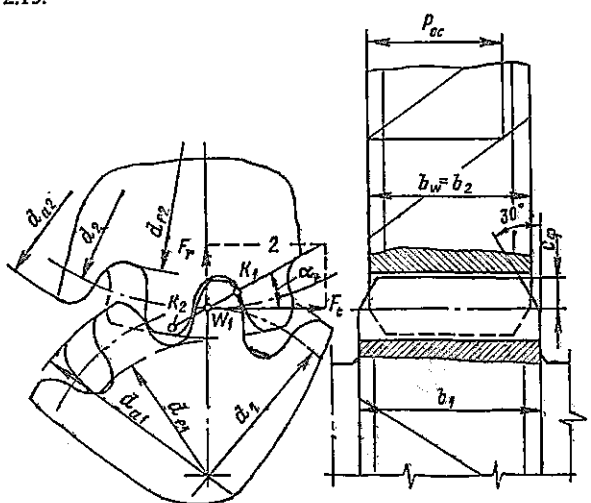


Рис. 3.2. Схема зацепления Новикова.

Для передач при $\psi_{bd} \leqslant 1,3$ значение $K^0_{H\beta}$ находится из зависимости

$$K_{H\beta}^{0} = 1 + 7600 \frac{b_{w}^{2} \gamma_{\Sigma}}{F_{t}} + K \left(\frac{b_{w}}{d_{1}}\right)^{2},$$
 (3.3)

где b_w — рабочая ширина зубчатого венца, мм; d_1 — делительный диаметр шестерни, мм; F_t — окружная составляющая силы в зацеплении, отнесенная к делительной окружности, H; γ_{Σ} — суммарный угол между проекциями осей зубчатых колес на плоскость, проходящую через линии зацепления, рад. Определяется расчетом в зависимости от деформаций всех деталей в соответствии со схемой передачи. Значение коэффициента K принимается по аналогии с эвольвентными передачами [см. пояснение к формуле (2.61)].

Для шевронных передач с симметричным расположением венца относительно опор, при подводе мощности с одной стороны, зацеплении шестерни только с одним колесом и $\psi_{bd} = b_w/d_1 > 1,3$ коэффициент $K_{H\beta}^0$ определяют по формуле

$$K_{HB}^{0} = 1 + 0.12 (\psi_{bd} + 0.4b_{x}/d_{1})^{2.56},$$
 (3.3a)

где $b_{\rm x}$ — ширина канавки между полушевронами, мм.

Коэффициент K_{Hv} находят по зависимости

$$K_{Hv} = 1 + a_{Hv}(v-3)^{1.5} \ge 1,$$
 (3.4)

где коэффициент a_{Hv} имеет значения 0,0006; 0,0018; 0,004 для передач соответственно 6, 7 и 8-й степеней точности по ГОСТ 1643-81 (СТ СЭВ 641-77, СТ СЭВ 643-77, СТ СЭВ 644-77) 1 .

Коэффициент K_{ε} находят из рис. 3.3 (где $\varepsilon_{\beta}=b_{w}/P_{x}$).

Коэффициент Кви определяют по зависимости

$$K_{\beta u} = \left(\frac{u+1}{u\cos^3\beta}\right)^{1/2} \operatorname{tg}\beta. \tag{3.5}$$

Допускаемое контактное напряжение $[\sigma_{Hp}]$, МПа определяют раздельно для шестерни и колеса по формуле

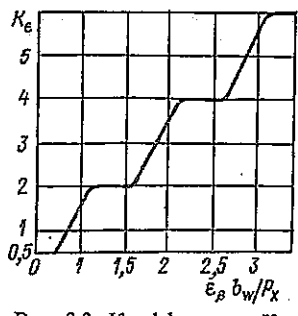
$$\left[\sigma_{H}\right] = \frac{\sigma_{H \text{ iim}}}{\left[s_{H}\right]} Z_{R} Z_{z} Z_{m} K_{L} K_{Hx} K_{H0}. \tag{3.6}$$

Здесь $\sigma_{H \text{ lim}}$ — предел контактной выносливости, соответствующий эквивалентному числу циклов перемен напряжений, определяемый по формуле

$$\sigma_{H \lim} = \sigma_{H \lim} {}_{b} K_{HL}, \tag{3.6a}$$

где $\sigma_{H \text{ lim } b}$ — предел контактной выносливости, соответствующий базовому числу циклов перемен напряжений (см. табл. 2.5); K_{HL} — коэффициент

¹ Показатели точности для цилиндрических передач Новикова не стандартизованы, поэтому в качестве первого приближения допускается использовать нормы точности, разработанные для эвольвентных передач по ГОСТ 1643—81.





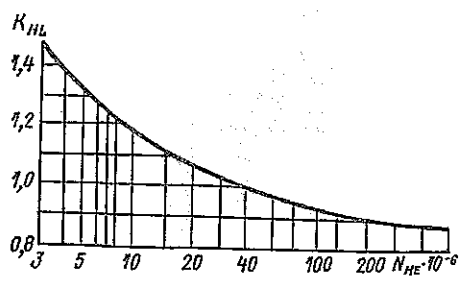


Рис. 3.4. Коэффициент K_{HL}

долговечности, который находят из рис. 3.4 в зависимости от эквивалентного числа циклов перемен напряжений N_{HE} , подсчитываемого по формуле (2.68).

Коэффициент безопасности $[s_H] = 1,1$; для передач, выход из строя которых связан с тяжелыми последствиями, значение $[s_H] = 1,25$. Коэффициент Z_R , учитывающий шероховатость сопряженных поверхностей (общий для шестерни и колеса), определяют в зависимости от параметра шероховатости R_a для той поверхности, у которой этот параметр наибольший:

Коэффициент Z_{z} , учитывающий число зубьев шестерни и колеса, находят по формуле

$$Z_z = 0.707 \sqrt{Z_{z1} + Z_{z2}},\tag{3.66}$$

где Z_{z1} и Z_{z2} — коэффициенты числа зубьев соответственно для пиестерни и колеса. Их определяют по рис. 3.5 в зависимости от $Z_{\nu}=z/\cos^3\beta$.

Коэффициент Z_m учитывающий модуль передачи, находят по формуле

$$Z_m = 1,07/m^{0.05}$$
.

Коэффициент K_L , учитывающий влияние смазки, принимают равным $K_L=1.$

Коэффициент K_{Hx} , учитывающий размер зубчатого колеса, определяют по формуле

$$K_{Hx} = \sqrt{1,05 - d/10^4}. (3.6B)$$

При $d \le 500$ мм принимают $K_{Hx} = 1$.

Коэффициент K_{H6} , учитывающий характер изменения нагрузки, определяют по формулам:

для передач с жесткой конструкцией (передачи 3-6 на рис. 2.15)

$$K_{H0} = \sqrt{1 - 0.1 (N''_{HE}/N'_{HE} - 0.2)} \ge 0.95;$$
 (3.6r)

для передач с менее жесткой конструкцией (передачи 1 и 2)

$$K_{H\theta} = \sqrt{1 - 0.2 \left(N''_{HE} / N'_{HE} - 0.2 \right)} \geqslant 0.9,$$
 (3.6д)

где N''_{IIE} — число циклов перемен напряжений, найденное по формуле (2.68) с учетом только тех нагрузок, которые меньше 0,7 T_1 (1'); N'_{IIE} — число

циклов перемен напряжений, найденное по формуле (2.68) с учетом только нагрузок, больше $0.7T_1$ (1'), включая и N_{c1} (1') (см. рис. 2.12).

Примечание. Если $T_{\min}/T_{\max} \geqslant 0.7$, то $K_{H0}=1$, где T_{\min} и T_{\max} – минимальная и максимальная из длительно действующих нагрузок.

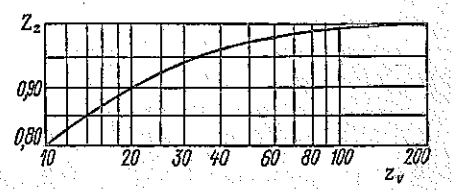


Рис. 3.5. Коэффициент Z_z

Проектировочный расчет из условия контактной выносливости активных новерхностей зубьев. Исходными данными для проектировочного расчета являются: гистограмма нагружения (см. рис. 2.11); параметр $\psi_{bd} = b_w/d_1$; передаточное число $u = z_2/z_1$; параметр $\varepsilon_{\beta} = b_w/P_x$; число зубьев шестерни z_1 ; твердость активных поверхностей зубьев H_1 и H_2 ; шероховатость активных поверхностей зубьев R_a мкм; степень точности по ГОСТ 1643—81.

Примечания: 1. При назначении z_1 следует учитывать, что при данных d_1 , b_w и и несущая способность, лимитируемая контактной прочностью, увеличивается с уменьшением z_1 . В передачах, предназначенных для многочасовой ежедневной работы, рекомендуется принимать $z_1=14\div 22$, а для кратковременной работы — $z_1=10\div 15$. 2. При назначении ψ_{bd} спедует иметь в виду, что с ростом ψ_{bd} увеличивается неравномерность распределения нагрузки среди зон касания по ширине зубчатого венца и уменьшается контактная прочность передачи. Ориентировочные максимальные значения $(\psi_{bd})_{max}$ приведены в табл. 2.9. 3. При неизменных значениях z_1 и ψ_{bd} с увеличением ε_{β} растет угол β и осевая составляющая усилия в зацеплении. Рекомендуют назначать $\beta=10\div 22^\circ$, а для шевронных передач $\beta=25\div 30^\circ$. 4. Рекомендуемый перепад твердостей зубьев $H_1-H_2\geqslant 30$ HB, при этом $H_1\leqslant 320$ HB.

Порядок выполнения проектировочного расчета. Предварительные значения исходных и расчетных параметров, используемых в проектировочном расчете, обозначают штрихами.

- 1. Задаются величиной $\varepsilon_{\beta} = b_w/P_x$ из интервалов: 1,15-1,25; 2,15-2,25; 3,2-3,3; 4,2-4,4.
- 2. Задаются параметром ψ_{bd} (см. табл. 2.9 и примечание 2 к исходным данным).
 - 3. Определяют угол наклона зуба на делительном цилиндре

$$\beta = \text{arctg} \left[\pi \varepsilon_{\beta} / (z_1 \psi_{bd}) \right].$$

- 4. По формуле (3.5) определяют значение коэффициента K_{Du} .
- 5. Из графиков рис. 2.15 определяют значение $K'_{H\beta}$.
- 6. Задаются величиной $K'_{Hc} = 1,0 \div 1,05$.
- 7. Определяют предварительное значение допускаемого напряжения $[\sigma'_H]$:
- а) в соответствии с гистограммой нагружения и формулой (2.68) определяют N_{HE1} и N_{HE2} и из рис. 3.4 находят значения K_{HL1} и K_{HL2} ;
 - б) по формуле (3.6a) подсчитывают значения $\sigma_{H \, \text{lim} \, 1}$ и $\sigma_{H \, \text{lim} \, 2}$;
- в) в соответствии с зависимостями (3.6г) или (3.6д) определяют значение коэффициента K_{H0} ;
- г) из рис. 3.5 в зависимости от $z_{v1}=z_1/\cos^3\beta$ и $z_{v2}=z_2/\cos^3\beta$ находят коэффициенты $Z_{z1},~Z_{z2}$ и по формуле (3.66) подсчитывают Z_z ;
- д) задаются предварительными значениями коэффициентов Z'_m и K'_{Hx} (можно рекомендовать $Z'_m = K'_{Hx} = 1$);

е) по заданной шероховатости R_a находят значение Z_R (см. с. 64); ж) приняв значение $[s_H]=1,1,$ по формуле (3.6) определяют значения

 $\lceil \sigma'_{H} \rceil$ и $\lceil \sigma'_{H2} \rceil$.

3) определяют допускаемое значение $[\sigma'_H]$: при $z_1 \le 18$ величина $[\sigma'_H]$ приравнивается меньшему из двух значений $[\sigma'_{H!}]$ и $[\sigma'_{H2}]$; при $z_1 > 18$ значение $[\sigma'_H] = 0,707 \sqrt{[\sigma'_{H1}]^2 + [\sigma'_{H2}]^2}$, но при этом величина $[\sigma'_H]$ не должна превышать меньшее из двух значений [от и от более чем на 10%

8. Определяют предварительное значение диаметра делительной окруж-

ности шестерни d_1 , по формуле

$$d'_{1} = 240 \sqrt[3]{\frac{T_{H1}z_{1}^{1,5}K'_{H\beta}K'_{H\nu}}{K_{\varepsilon}\left[\sigma'_{H}\right]^{2}}K_{\beta\nu}}.$$
(3.7)

9. Уточняют значение d_1 :

- а) определяют значение $Z_m = 1.07/(d_1' \cos \beta/z_1)^{0.05}$; б) определяют окружную скорость $v = \pi d_1' n_1/60\,000$ и по формуле (3.4) подсчитывают значение K_{H_0} ;
 - в) по формуле (3.6в) определяют величину K_{Hr} ;
 - г) корректируют значение модуля по зависимости

$$m' = \frac{d'_1}{z_1} \cos \beta \sqrt[3]{\frac{Z'_m K'_{Hx} K_{Hv}}{Z_m K_{Hx} K'_{Hv}}}.$$
 (3.8)

Полученное значение модуля округляют до ближайшего большего значения из ГОСТ 14186 — 69.

10. Уточняют диаметр делительной окружности шестерни

$$d_1 = mz_1/\cos \beta.$$

Расчет зубьев на выносливость при изгибе. Проверочный расчет выполняется по формулам:

$$\sigma_{Fi} = \frac{2000 \, T_{Fi} z_1^2 K_{F\beta} K_{F\nu} Y_m Y_{Fi}}{d_1^3 K_{\nu} K_0 \cos^3 \beta} \le [\sigma_F]_1; \tag{3.9}$$

$$\sigma_{F2} = \sigma_{F1} \frac{Y_{F2}}{Y_{F1}} \leqslant [\sigma_F]_2,$$
(3.10)

где T_{F1} – расчетная нагрузка, $\mathbf{H} \cdot \mathbf{M}$ (см. § 2.3); K_{FB} – коэффициент, учитывающий распределение нагрузки среди зон касания по ширине зубчатого венца; подсчитывается по формуле (2.78). Если при окончательном расчете используются значения K_{H8} из рис. 2.15, то величину K_{F8} рекомендуется определять по формуле

$$K_{F\beta} = 1 + 1.7(K_{H\beta} - 1).$$
 (3.11)

Коэффициент K_{Po} учитывающий динамическую нагрузку в зацеплении, определяют по зависимости

$$K_{Fv} = 1 + a_{Fv}(v-3)^{1.5},$$
 (3.12)

где коэффициент а_{го} имеет значения: 0,0015, 0,0045 и 0,0095 для передач, составленных из зубчатых колес, у которых предельные отклонения осевых шагов и окружных шагов не превышают допустимых значений соответственно для 6, 7 и 8-й степеней точности по ГОСТ 1643—81; при $v \le 3 \text{ м} \cdot \text{c}^{-1}$ значение $K_{Fv} = 1$.

Коэффициент Y_m , учитывающий модуль зацеиления, определяют по формуле

$$Y_m = 0.678 \, m^{0.2}. \tag{3.13}$$

Коэффициент формы зуба Y_F при расчете по местным напряжениям определяют из графика, изображенного на рис. 3.6, в зависимости от величины $z_n = z/\cos^3 \beta$.

Коэффициент K_{ϵ} , учитывающий осевое перекрытие, находят по графику, представленному на рис. 3.3, в зависимости от $\epsilon_0 = b_w/P_x$.

Коэффициент K_p , учитывающий влияние геометрии мест соприкосновения профилей зубьев на прочность при изгибе, определяют по графику из рис. 3.7 в зависимости от величины

$$\rho_{np}/m = \frac{1,475z_1u}{(u+1)\sin^2\beta\cos\beta}.$$
 (3.14)

Допускаемое напряжение при расчете зубьев на выносливость при изгибе $[\sigma_F]$, МНа, определяют раздельно для шестерни и колеса по формуле

$$[\sigma_F] = \sigma_{F \lim} K_{Fx}/[s_F], \qquad (3.15)$$

где $[s_F]$ — коэффициент безопасности, $[s_F] = 1.7$.

Предел выносливости зубьев при изгибе, соответствующий эквивалентному числу циклов перемен напряжений, определяют из зависимости

$$\sigma_{F \text{ lim}} = \sigma_{F \text{ lim } b}^{0} K_{Fc} K_{FL}. \tag{3.15a}$$

Здесь K_{Fc} — коэффициент, учитывающий влияние двустороннего приложения нагрузки (при одностороннем приложении нагрузки $K_{Fc}=1$; при двустороннем приложении нагрузки $K_{Fc}=1-\gamma_{Fc}\delta$, где $\gamma_{Fc}=0.35$, а величина $\delta=(T_{Fl}/K_{FL1})/(T_{Fl}/K_{FL1})$, если $T_{Fl}/K_{FL1}>T_{Fl}/K_{FL1}$, и $\delta=(T_{Fl}/K_{FL1})/(T_{Fl}/K_{FL1})$, если T_{Fl}/K_{FL1} ; T_{Fl} — расчетная нагрузка, действующая при реверсе.

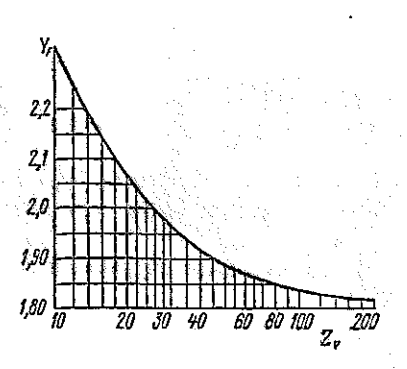


Рис. 3.6. Коэффициент Y_F

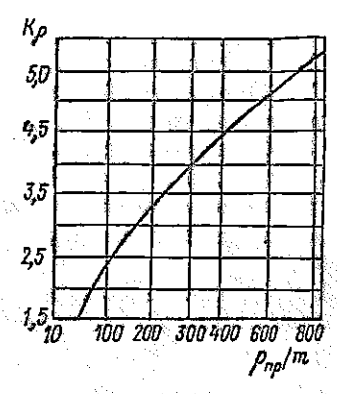


Рис. 3.7. Коэффициент K_{ρ}

Коэффициент долговечности K_{FL} определяется по формуле

$$K_{FL} = \sqrt[6]{4 \cdot 10^6 / N_{FE}} \le 2,08,$$
 (3.156)

при $N_{FE} \ge 4 \cdot 10^6$ принимают $K_{FL} = 1$.

Величину N_{FE} определяют по формуле (2.68), в которой индекс H заменяют индексом F и вместо показателя степени 3 подставляют показатель степени 6.

Предел выносливости зубьев при изгибе, соответствующий базовому числу циклов перемен напряжения $\sigma_{F \text{ lim } b}^0$, МПа, при коэффициенте асимметрии цикла R=0 определяется из следующего выражения:

$$\sigma_{F \lim b}^{0} = 1,35H^{\text{серди}} + 90,$$
 (3.15a)

где $H^{\text{серди}}$ — твердость сердцевины материала зуба, HB.

Коэффициент $K_{F,\infty}$ учитывающий размер зубчатого колеса, определяют по формуле

 $K_{\rm Fx} = 1.04 - d_a/10^4 \ge 0.8.$ (3.15r)

При $d_a \le 400$ мм принимают $K_{Fx} = 1$.

Проектировочный расчет на выносливость при изгибе. Исходными данными для проектировочного расчета являются: циклограмма нагружения (см. рис. 2.21); параметр ψ_{bd} ; передаточное число u; параметр $\varepsilon_{\beta} = b_w/P_x$; число зубьев шестерни (см. примечание 1 на с. 65); твердость сердцевины материала зубьев шестерни $H_1^{\text{сердц}}$ и колеса $H_2^{\text{сердц}}$, степень точности по ГОСТ 1643-81.

Порядок выполнения проектировочного расчета

Предварительные значения исходных и расчетных параметров, используемых в проектировочном расчете, обозначают штрихами.

1. Задаются величиной ε_{β} из интервалов 1,15—1,25; 2,15—2,25; 3,2—3,3;

4.2 - 4.4.

2. Задаются параметром ψ_{bd} (см. табл. 2.9 и примечание 2 к исходным данным на с. 65).

3. Определяют угол наклона зуба на делительном цилиндре

$$\beta = \arctan \left[\pi \epsilon_{\beta} / (z_1 \psi_{bd}) \right].$$

4. По формуле (3.11) определяют значение K_{F6} .

5. Задаются величиной $\hat{K}'_{Fo} \approx 1,1$ и $Y'_m = 1,0$.

6. По графику из рис. 3.3 определяют коэффициент $K_{\rm c}$

7. По формуле (3.14) подсчитывают величину 1,25 ρ_{np}/m и по графику, изображенному на рис. 3.7, находят коэффициент K_p .

8. Коэффициенты формы Y_{F1} и Y_{F2} находят из рис. 3.6 в зависимости

or $z_{v1} = z_1/\cos^3 \beta$ is $z_{v2} = z_2/\cos^3 \beta$.

9. Значения допускаемых напряжений [σ_{F1}] для шестерни и [σ_{F2}] для колеса определяют по формулам (3.15)—(3.15в), при этом принимают $K'_{Fx} = 1$.

10. Предварительное значение диаметра делительной окружности шестерни вычисляют по формуле

$$d_{1}' = \frac{1}{\cos \beta} \sqrt{\frac{2000 T_{F1} z_{1}^{2} K_{F\beta} K_{F\sigma}' Y_{m}'}{K_{\varepsilon} K_{\rho}} \left(\frac{Y_{F}}{[\sigma_{F}]}\right)},$$
 (3.16)

где величину $Y_F/[\sigma_F]$ принимают равной большему из двух значений $Y_{F1}/[\sigma_{F1}]$ и $Y_{F2}/[\sigma_{F2}]$.

11. Уточняют диаметр d_1 :

а) по величине $d_1' \cos \beta/z_1$ [см. формулу (3.13)] уточняют величину $Y_m = 0.678 (d_1' \cos \beta/z_1)^{0.2}$;

б) определяют окружную скорость v и по формуле (3.12) подсчитывают

значение коэффициента K_{Fv} ;

в) по формуле (3.15г) уточняют значение K_{Fx} ;

г) определяют предварительное значение модуля по формуле

$$m' = \frac{d_1'}{z} \cos \beta \sqrt[3]{\frac{K_{F_c} Y_m K'_{F_x}}{K'_{F_c} Y'_m K_{F_x}}};$$
 (3.17)

д) полученное по формуле (3.17) значение m' округляют до ближайшего большего значения из ГОСТ 14186—69;

е) корректируют диаметр делительной окружности шестерни $d_1 = mz_1/\cos \beta$.

Глава 4

КОНИЧЕСКИЕ ЗУБЧАТЫЕ ПЕРЕДАЧИ

§ 4.1. Геометрия зацепления ¹

Для прямозубых конических передач стандартизован внешний торцовый исходный контур. В соответствии с ГОСТ 13754—81 (СТ СЭВ 516—77) $\alpha = 20^\circ$; $h_a^* = 1,0$; $c^* = 0,2$. Для конических передач с круговыми зубьями стандартизован средний нормальный исходный контур, параметры которого по ГОСТ 16202—81 (СТ СЭВ 515—77) равны: $\alpha_n = 20^\circ$; $h_a^* = 1,0$; $c^* = 0,25$.

Внешний окружной модуль m_e для прямозубых и внешний m_{te} или средний m_n окружной модуль для передач с круговыми зубьями устанавливаются по СТ СЭВ 310-76 (см. § 2.1). Допускается применение нестандартных модулей, если это не связано с применением специального инструмента.

Различают три формы зубьев, характеристики и область применения которых приведены в табл. 4.1.

Основные геометрические размеры конических колес с межосевым углом $\Sigma = 90^\circ$ (рис. 4.1), имеющих форму зубьев I и II, определяются по формулам табл. 4.2, в которых $j=1,\ 2$ соответственно для шестерни и колеса 2 .

² Расчет геометрических параметров приводится в соответствии с ГОСТ 19624—74 для конических прямозубых передач и с ГОСТ 19326—73 для

передач с круговыми зубьями.

¹ Подробные сведения о геометрии конических передач и способах образования поверхностей их зубьев приводятся в учебной [36, 53] и справочной [27, 37] литературе.

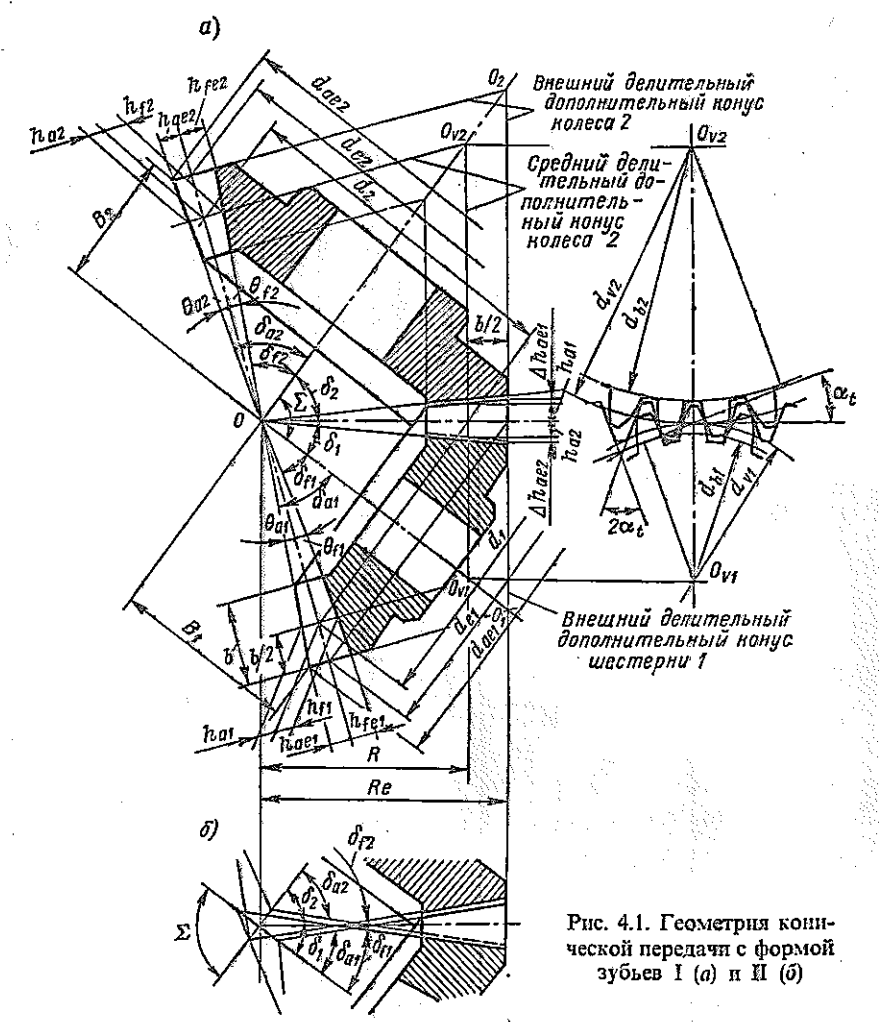
Характеристики основных форм зубьев конических зубчатых колес (ГОСТ 19326-73)

Форма зубьев	Эокиз	Характеристика	Область применения
I		Пропорцио- нально понижаю- щиеся зубья. Вер- шины конусов де- лительного и впа- дин совпадают. Высота ножки зубьев пропорцио- нальна конусному расстоянию	Зубчатые колеса с прямыми зубьями. Зубчатые колеса с круговыми зубьями при $m_n=2\div 2,5$ мм; $R=60\div 650$ мм; $\beta_n=0\div 45^\circ; z_c=20\div 100$
II		Понижающие- ся зубья. Верши- ны конусов дели- тельного и впадин не совнадают	Зубчатые колеса с тангенциальными зубьями. Зубчатые колеса с круговыми зубьями при $m_n=0.4\div25$ мм; $R=6\div700$ мм; $\beta_n=0\div15$ (допускается β_n до 45°); $z_c=24\div100$
III		Равновысокие зубъя. Образующие конусов дели-тельного, впадин и вершин параллельны. Высота зуба постоянна повсей длине	Зубчатые колеса с круговыми зубьями при $m_{\nu}=2+\frac{1}{2}$ мм; $R=75\div750$ мм; $\beta_{n}=25\div45^{\circ};\ z_{c}>40$
Hpn:	мечание. Параметры п	л _я ; R; z _c и β _п разъясн	ены в табл. 4.2.

Расчет геометрических параметров конических передач с круговыми зубъями может производиться при округлении до стандартного значения внешнего окружного модуля m_{te} или среднего нормального модуля m_{te} в последнем случае ориентировочное значение m_{te} , полученное в результате расчета на прочность конической передачи (см. § 4.3), практически не изменяется (т. е. габаритные размеры передачи при расчете геометрии почти не увеличиваются по оравнению со значениями, найденными в расчетах на прочность). Такой вариант и рассматривается в данном пособии.

Приводим указания по выбору исходных данных для расчета конических зубчатых передач.

Вид зубъев и степень точности передачи. Прямозубые передачи используются при сравнительно невысоких окружных скоростях. Конические передачи с круговыми зубъями обеспечивают более плавное зацепление и имеют большую несущую способность. Плавность работы повышается, а динамические нагрузки в зацеплении падают с увеличением точности



изготовления зубчатых колес. Ориентировочный выбор вида зубьев (прямые или круговые) и степени точности изготовления конических колес производится по табл. 2.10, в которой указаны значения предельных окружных скоростей на среднем делительном диаметре.

Угол наклона. С увеличением угла наклона зуба β_n увеличивается плавность работы, но одновременно растет осевое усилие в зацеплении (см. § 4.2), что приводит к увеличению габаритных размеров подшипниковых узлов и потерь в них. Для силовых передач наибольшее распространение получил угол $\beta \approx 35^\circ$.

Осевая форма зубьев ¹. Форма зуба I является единственной для прямозубых вередач. Для зубчатых колес с круговыми зубьями, имеющими

Более подробные сведения о выборе осевой формы зуба приведены в FOCT 19326—73.

Основные геометрические параметры конических передач с прямыми и круговыми зубъями, выполненными по формам І и ІІ при межосевом угле $\Sigma = 90^\circ$ форма II для передач с круговыми зубьями форма І Формулы для прямозубых передач Параметры

 Число зубьев плоского ко- леса		$z_c = \sqrt{z_1^2 + z_2^2}$	(4.2.1)
Передаточное число		$u=z_2/z_1$	(4.2.2)
Внешнее конусное рас- стояние	$R_e = 0.5 m_e z_c (4.2.3)$	$R_c=0.5 m_{le} z_c$	(4.2.4)
Среднее конусное расстоя-	$R=R_e-0.5b \qquad ($	(4.2.5); $R = m_{\rm H} z_c / (2 \cos \beta_{\rm H})$	(4.2.6)
Средний окружной и нор- $m = m_c R/R_c$ мальный модули	(4.2.7);	$m_{ii}=(m_{ic}-K_{i}b_{i}z_{c})\cos{\beta_{in}}$ где $K_{i}=0.8+1.2$ (см. с. 92)	(4.2.8)
 Углы делительных конусов	$\delta_1 = \operatorname{arctg} z_1/z_2 \qquad (4.2.9);$	$\delta_2 = \Sigma - \delta_1$	(4.2.10)
Окружная толщина зуба по внешней делительной окружности (s,) и в среднем нормальном сечении (s,)	$s_{e1} = (0.5\pi + 2x_1 \operatorname{tg} \alpha + x_{r1}) m_e;$ (4.2.11) $s_{e2} = \pi m_e - s_{e1}$ (4.2.13)	$s_{n1} = (0.5\pi + 2x_{n1} \text{ tg } \alpha_n + x_{11}) m_n;$ $s_{n2} = \pi m_n - s_{n1}$	(4.2.12)
 . Высота головки зуба в расчетном сечении	1	$h_{aj} = (h_a^a + x_{nj}) m_n - \delta h_{aj}$	(4.2.15)

$\delta h_{a1} = (b - l_o) (tg \theta_{12}^2 - tg \theta_{a1});$ $- tg \theta_{a1});$ $\delta h_{a2} = (b - l_o) (tg \theta_{f1} - tg \theta_{a2}) (4.2.156)$	$h_{IJ} = (h_a^* + c^* - x_{nJ}) m_n + \delta h_f$, (4.2.16) oupabka на высоту ножки зуба (см.	$h_{\alpha ej} = h_{\alpha j} + \Delta h_{\alpha ej} $ $(4.2.18)$ $h_{f\alpha j} = h_{fj} + \Delta h_{f\alpha j} $ $(4.2.20)$	$K = \frac{10800 \lg \beta_n}{z_0 \lg \alpha_n} \times \left(1 - \frac{z_0 \lg \alpha_n}{2R \sin \beta_n}\right), (4.2.21)$ $\times \left(1 - \frac{d_0}{2R \sin \beta_n}\right). (4.2.21)$	$\theta_{fz} = K/\sin \beta_n$ (4.2.22) гле значение $\theta_{fz} - \mathbf{b}$ минутах	$\theta_{A} = \theta_{J\Sigma} (0.5 - \frac{2}{\pi} x_{n1} \operatorname{tg} \alpha_{n}); \qquad (4.2.25)$ $\theta_{JZ} = \theta_{J\Sigma} - \theta_{A} (4.2.26)$	$\theta_{a1} = K_{a1}\theta_{f2}; (4.2.28)$ $\theta_{a2} = K_{a2}\theta_{f1*}(4.2.30)$ где K_a — коэффициент головки зуба (см. табл. 4.6)
I	$h_{IJ} = (h_a^* + c^* - x_{nJ}) m,$ где δh_f – поправка на высоту табл. 4.5)	$h_{aej} = h_f$ $h_{foj} = h_f$			$\theta_{ff} = \operatorname{arctg} \frac{h_{ft}}{R} (4.2.24)$	(4.2.27) (4.2.29)
1		$h_{acj} = (h_a^s + x_j) m_o$ (4.2.17) $h_{foj} = (h_a^s + c^* - x_j) m_b$ (4.2.19)			$\theta_{fj} = \arctan \frac{h_{eq}}{R_o} \qquad (4.2.23)$	$\begin{matrix} \theta_0 = \theta_0 \\ \theta_2 = \theta_0 \end{matrix}$
Уменьшение высоты голов- ки зуба в расчетном сечении	Высота ножки зуба в расчетном сечении	Внешняя высота головки зуба Внешняя высота пожки зуба	Коэффициент К	Сумма углов ножек зубьев шестерии и колеса	Угол ножки зуба	Угол головки зуба

			Формулы	
Параметры			для передач с круговыми зубъями	
	для прямозубых передач	дач	форма I форма II	
Увеличение высоты головки зуба при переходе от расчетного сечения на внешний торец	.		$\Delta h_{acj} = l_c \lg heta_{aj}$	(4.2.31)
Увеличение высоты ножки зуба при переходе от расчет- ного сечения на внешний торец	I		$\Delta h_{f,ij} = l_{\mathrm{e}} \mathrm{tg} \; \theta_{fj}$	(4.2.32)
Расстояние от внешнего тор- ца до расчетного сечения	l		$l_c = 0.5\pi z_c (m_{lc} - m_u/\cos \beta_u);$ $l_c = R_c - R, \text{ fig. } 0.4b < l_c < 0.6b$	(4.2.33)
Внешняя высота зуба			$h_{cj} = h_{acj} + h_{f,j}$	(4.2.35)
Угол конуса вершин		-	$\delta_{aj} = \delta_j + \theta_{aj}$	(4.2.36)
Угол конуса впадин			$\delta_{fj} = \delta_j - \theta_{fj}$	(4.2.37)
Средний делительный диа- метр	$d_j = mz_j$	(4.2.38)	$d_j = m_{n^Z}/\cos \beta_n$	(4.2.39)
Висшний делительный диа- метр	$d_{ej} = m_e z_j$	(4.2.40)	$d_{ej}=m_{1e}z_{j}$	(4.2.41)
Висшиий диамстр вершин зубьев		dac	$d_{acj} = d_{cj} + 2h_{acj}\cos\delta_j$	(4.2.42)
Расстояние от вершины до плоскости внешней окружности вершин зубъев		$B_1 = B_2 =$	$B_1 = 0, 5 d_{c2} - h_{ac1} \sin \delta_1;$ $B_2 = 0, 5 d_{c1} - h_{ac2} \sin \delta_2$	(4.2.43)

форму I, применяют односторонний способ нарезания, при котором у шестерни и колеса при данной настройке станка профилируется только одна сторона зуба. Обработка противоположных сторон производится после переналадки станка. Этот способ находит применение в единичном и мелкосерийном производстве. Зубья по форме I могут изготавливаться также и простым двусторонним способом, при котором у зубьев колеса образуются одновременно обе стороны, а у шестерни производится раздельная обработка каждой стороны зуба. Такой способ применяется в серийном и крупносерийном производствах.

Изготовление конических колес с формой зубьев И производится простым двусторонним способом или двойным двусторонним способом, при котором на шестерне и колесе образуются одновременно обе стороны зубьев. Двойной двусторонний способ является наиболее производительным и используется в крупносерийном и массовом производствах.

Форма зубьев III находит ограниченное применение и в данном нособии не рассматривается.

Передаточные числа и числа зубьев колес. При ведущей шестерне конические передачи могут вынолняться с передаточными числами u от 1 до 6,3 (предельные значения u=10). Если шестерня ведомая, то не рекомендуется выполнять передачу с передаточным отношением u>3.15.

Числа зубьев шестерни и колеса ортогональной конической передачи следует выбирать с учетом данных табл. 4.3. Для цементованных зубчатых передач число зубьев шестерни определяется по формулам:

для прямозубых передач

$$z_1 = \sqrt{(22 - 9 \lg u)^2 + (6.25 - 4 \lg u) d_{e1}^2 / 645}; \tag{4.1}$$

для передач с круговыми зубьями

$$z_1 = \sqrt{[22 - 9\lg u + (16/u - 22)\sin^2\beta_n]^2 + (6.25 - 4\lg u)d_{e2}^2/645}.$$
 (4.2)

Таблица 4.3 Минимально допустимые числа зубьев ортогональных конических нередач с примыми и круговыми зубьями при $\beta_n \approx 35^\circ$ и стандартном исходном контуре

Число зубьев шестерни z ₁	Наименьшее число зубъев колеса z ₂	Число зубьев шестерни z ₁	Наименьшее число зубьев колеса z ₂
9	<u>-</u>	14	20
10	<u>-</u> 30	15	19
11	<u>-</u> 28	16	18
12	30 26	17	17
13	$\frac{26}{22}$	•	

Примечание. В числителе дроби указаны значения для прямозубых передач, а в знаменателе — для передач с круговыми зубъями.

Термически улучшенные конические зубчатые колеса выполняются c тем же или увеличенным на $10-20\,\%$ числом зубьев.

Минимальное число зубьев шестерни конических передач, при котором отсутствует подрезание зубьев, определяется по формулам:

для прямозубых передач с исходным контуром по ГОСТ 13754-81 (СТ СЭВ 516-77)

$$z_{1 \min} = 18.4 \cos \delta_1;$$
 (4.1a)

для передач с круговыми зубьями при исходном контуре по ГОСТ 16202-81 (СТ СЭВ 515-77)

$$z_{1 \min} = 18,4 \cos \delta_1 \cos^3 \beta_n$$
 (4.2a)

Коэффициенты смещения и коэффициенты изменения расчетной толщины зуба исходного контура. В конических передачах с u>1 для выравнивания удельных скольжений в зацеплении шестерню рекомендуется выполнять с положительным смещением ($x_1>0$ для прямозубых передач и $x_{n1}>0$ для передач с круговыми зубьями), а колесо с равным ему по абсолютной величине отрицательным смещением ($x_2=-x_1$ или $x_{n2}=-x_{n1}$).

Значения x_1 и x_{n1} определяются из таблиц в ГОСТ 19624—74 и ГОСТ 19326—73 или по формуле ЭНИМС:

$$x_1 = x_{n1} = 2(1 - 1/u^2)\sqrt{(\cos^3 \beta_n)/z_1}.$$
 (4.3)

Эта рекомендация не относится к коническим передачам, в которых $H_{\text{акт1}}-H_{\text{акт2}}>100$ НВ. В этом случае $x_1=x_2=0$ ($x_{n1}=x_{n2}=0$). Минимальное значение коэффициента смещения, при котором отсутствует подрезание, равно $x_{j\min}=1,068-0,058z_j/\cos\delta_j$ для прямозубых передач и $x_{i\min}=1,068-0,058z_j/(\cos\delta_j\cos^3\beta_n)$ для передач с круговыми зубьями.

В конических передачах с $u \ge 2,5$ применяют зубчатые колеса с тангенциальным смещением, за счет которого изменением толщин зубьев шестерни и колеса выравнивается их прочность на изгиб. Коэффициент тангенциального смещения (изменения расчетной толщины зуба исходного контура)

$$x_{\tau 1} = -x_{\tau 2} = a + b(u - 2.5),$$
 (4.3a)

где a=0.03; b=0.008 для прямозубых передач и a=0.11; b=0.010 для передач с круговыми зубьями при $\beta_n=29\div 40^\circ$. Для повышающих передач $x_{r1}=x_{r2}=0$.

Коэффициент ширины зубчатого венца K_{bc} в конических передачах определяется по формуле

$$K_{bc} = 2/[u/K_m) + K_m] \le 0.3,$$
 (4.4)

где $K_m = 0,6$ при консольной установке шестерии и $K_m = 0,8$ при опорах, расположенных по обе стороны от шестерии в непосредственной близости от зубчатого венца.

Ширина зубчатого венца в рассчитывается по формуле

$$b = R_e K_{be} = 0.5 d_{e1} K_{be} \sqrt{u^2 + 1}$$
 (4.4a)

и не должна превосходить значения $10m_{te}$ (или $10m_e$ для прямозубых передач), т. е. $b \le 10d_{e1}/z_1$. Если это условие не выполняется, то принимают $b = 10d_{e1}/z_1$ и определяют коэффициент ширины зубчатого венца

$$K_{be} = b/R_e = 2b/(d_{e1})/u^2 + 1$$
).

Номинальный диаметр зуборезной головки d_0 и определение развода резиов ее для чистовой обработки колес с круговыми зубьями ¹. Выбор номинального диаметра зуборезной головки d_0 для зубьев с осевой формой I при $\beta_n = 29 \div 40^\circ$ и осевой формой II при $\beta_n = 15 \div 45^\circ$ рекомендуется производить по табл. 4.4 в зависимости от m_n b и среднего конусного расстояния $R = 0.5m_n z_c/\cos\beta_m$ если исходным для расчета принят средний нормальный модуль.

Развод резцов W_2 зуборезной головки для чистовой двусторонней обработки колеса с круговыми зубьями при расчете по заданному среднему нормальному модулю, принимается по табл. 4.5, если значения m_n и $x_{\tau 1}$ соответствуют этой же таблице. Там же находятся значения поправки δh_f на высоту ножки зуба 2 . В других случаях развод резцов определяется по формуле

$$W_2' = m_n \left[0.5\pi - 2 \left(h_a^* + c^* \right) \operatorname{tg} \alpha_n + x_{t1} \right]. \tag{4.5}$$

Вычисленное значение W_2' округляют до ближайшего значения по табл. 4.5, соблюдая следующие условия: при $x_{r1} = 0$; $m_r > 1$ мм

$$0.06m_n \geqslant (W_2' - W_2) \geqslant -0.02m_n;$$
 (4.6)

при $x_{\tau 1} \neq 0$; $m_n \geq 2$ мм

$$0.05m_n \ge (W_2' - W_2) \ge -0.05m_n.$$
 (4.7)

Для $x_{\tau 1}=0$ и $m_n>1$ мм, кроме того, вычисляется поправка на высоту ножки зуба по формуле

$$\delta h_f = 0.5 (W_2' - W_2) \operatorname{ctg} \alpha_m$$
 (4.8)

а при $x_{i1} \neq 0$ и $m_n \geqslant 2$ мм уточняется ранее принятое значение x_{i1} по формуле

$$x_{n1} = (W_2/m_n) - 0.5\pi + 2(h_a^* + c^*) \operatorname{tg} \alpha_n. \tag{4.9}$$

Если условия (4.6) и (4.7) не выполняются, то вычисляют новое значение m_n по формуле

$$m_n = W_2/[0.5\pi - 2(h_a^* + c^*) \operatorname{tg} \alpha_n + x_{r1}].$$
 (4.10)

По найденному значению m_n уточняется величина $R=0.5m_nz_c/\cos\beta_n$ и последующие расчеты проводятся при этом уточненном значении.

Коэффициенты угла головки зуба K_a передач с круговыми зубьями с осевой формой II в зависимости от z_1 и и определяются по табл. 4.6.

 2 Поправка δh_{f} вводится только при $x_{ci}=0$ и двусторонней обработке зубьев колеса.

Более подробные сведения об инструменте, используемом для изготовления конических колес с круговыми зубьями, приведены в работах [27, 37].

Пределы среднего конусного расстоя-	Номинальный диаметр зуборез- ной головки ф, мм	Внешияя высота зуба <i>li_e</i> , мм	Шприна зубча- того вснца <i>b</i> , мм	Расчетный нормальный модуль <i>т</i> _п , мм						
_	Осекая форма зуба I									
45 - 60 55 - 75 72 - 95 90 - 120 110 - 150 140 - 190 180 - 240	100 125 1€0 200 250 315 400	9 10 12 15 18 24 30	10 - 20 12 - 25 46 - 32 20 - 40 25 - 50 32 - 65 40 - 80	2-3 2-3,5 2,5-4 2,5-5 2,5-6 2,5-9 3-10						
	Осев	- ия форма хуба .	ĪI .							
40 - 65 50 - 80 65 - 105 80 - 130 100 - 160 120 - 200 160 - 250	100 125 150 200 250 315 400	9 10 12 15 18 24 30	8-25 10-30 13-40 16-50 20-65 25-80 32-100	1-3 1-3,5 1,5-4 2-5 2-6 3-8 3-10						

Примечание. Таблица составлена из условия обработки колеса передачи двусторонним методом. При одностороннем методе обработки колеса с $m_n \ge 2$ мм наименьшие рекомендованные значения R могут быть уменьшены, а наибольшие — увеличены на 25%.

Разводы W_2 резцов зуборезных головок по ГОСТ 11902 — 77* и соответствующие им значения коэффициентов изменения расчетной толщины зуба шестерии $x_{\tau 1}$ при средиих нормальных модулях m_n по СТ СЭВ 310 — 76

Средний нормальный	$x_{\tau 1}$	W ₂	δhf	$x_{\tau 1}$	W_2	$x_{\tau i}$	W2
модуль <i>т</i> п, мм		Вариант	1	Вари	ант 2	Вари	ант З
1,50 1,75 2,00 2,25 2,50 2,73 3,00 3,50 4,00 4,50 5,00 5,50 6,00 7,00 8,00	0 0 0 0 0 0 0 0 0 0 0 0 0 0 0 0 0 0 0 0	1,0 1,1 1,3 1,4 1,6 1,8 2,0 2,8 2,8 3,2 2,8 3,2 4,6 4,6 5,2	-0,010 0,077 0,030 0,119 0,072 0,024 -0,024 0,155 0,060 0,239 0,143 0,048 -0,047 0,036 0,120	0,04 0,05 0,07 0,07 0,08 0,04 0,05 0,06 0,07 0,10 0,08 0,09	1,4 1,6 1,8 2,0 2,2 2,6 2,8 3,2 3,6 4,0 4,6 5,2 6,0	0,14 0,14 0,14 0,14 0,20 0,14 0,14 0,14 0,18 0,20 0,20 0,15	1,6 1,8 2,0 2,2 2,5 2,8 3,2 3,6 4,6 4,6 5,0 6,5

Значения коэффициента угла головки зуба K_a (при $\Sigma=90^\circ;~\alpha_n=20^\circ;~h_a^*=1,0;~\beta_n=29\div45^\circ$ и $K_0=R/d_0=0.3\div0,7)$

<i>z</i> ₁	Значение коэффициснта угла головки зуба K_{α} при передаточном числе и					
	св. 1,25 до 1,6	св. 1,6 до 2,5	св. 2,5 до 4,0	св. 4,0		
6-9 10-11 12-13 14-15 16-17 18-19 20-24 CB. 25	0,90/0,90 0,90/1,00 0,90/1,00 1,00/1,00 1,00/1,00	- 0,90/1,00 0,90/1,00 0,90/1,00 0,90/1,00 1,00/1,00 1,00/1,00	0,80/1,00 0,85/1,00 0,90/1,00 0,90/1,00 0,90/1,00 0,90/1,00 1,00/1,00	0,75/1,00 0,80/1,00 0,85/1,00 0,85/1,00 0,90/1,00 0,90/1,00 1,00/1,00		

Примечалие. В числителе дроби приведены значения K_a для шестерии, в знаменателе — для колеса.

Расчет геометрических параметров конических передач с прямыми зубьями производится по схеме алгоритма, представленной на рис. 4.2. Для передач с круговыми зубьями с осевой формой I геометрические размеры определяются по схеме алгоритма, данной на рис. 4.3, а при осевой форме II — по схеме алгоритма на рис. 4.4.

Вычисления геометрических параметров по приведенным в табл. 4.1 зависимостям в соответствии с указаниями ГОСТ 19624—74 и ГОСТ 19326—73 должны производиться со следующей точностью: линейные размеры— не ниже 0,0001 мм; отвлеченные величины— не ниже 0,0001; угловые размеры— не ниже 0,016°; тригонометрические величины— не ниже 0,00001; передаточные числа, коэффициенты смещения, коэффициенты изменения толщин зуба— не ниже 0,01.

Контроль взаимного положения разноименных профилей зубьев конических колес осуществляется путем замера постоянной хорды или толщины зуба по хорде концентрической окружности, размеры которых подсчитываются по параметрам эквивалентных цилиндрических колес.

Для прямозубых колес при любых x_1 и $x_2\geqslant -0.4$ внешняя постоянная хорда равна

$$\bar{s}_{cej} = s_{ej} \cos^2 \alpha, \tag{4.11}$$

а высота до нее

$$\bar{h}_{cei} = h_{aei} - 0.25s_{ei} \sin 2\alpha. \tag{4.12}$$

В конических колесах с круговыми зубьями при любых x_{n1} и $x_{n2} \ge -0.4$ определяется размер постоянной хорды зуба в расчетном сечении по формуле

$$\bar{s}_{cj} = s_{nj} \cos^2 \alpha_n, \tag{4.13}$$

а высота до постоянной хорды

$$\bar{h}_{ci} = h_{ai} - 0.25 s_{ai} \sin 2\alpha_n \tag{4.14}$$

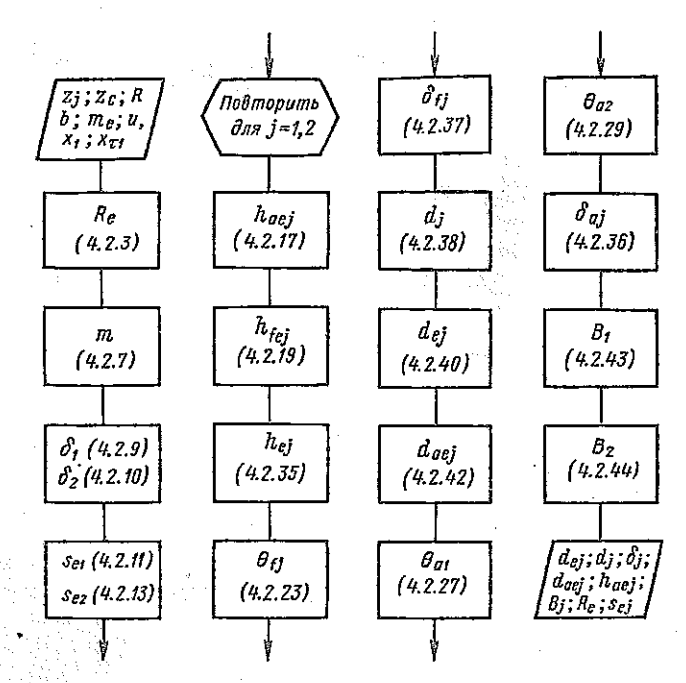


Рис. 4.2. Схема алгоритма расчета геометрических параметров ортогональной конической передачи с прямыми зубьями при стандартном исходном контуре

Для зубчатых колес при коэффициенте смещения x_2 (x_{n2}) < -0.4 контролируется толщина зуба по хорде на концентрической окружности, диаметр которой равен:

для прямозубых колес

$$d_{ye2} = d_{e2} - m_e \cos \delta_2; (4.15)$$

для колес с круговыми зубьями

$$d_{y2} = d_2 - m_n \cos \delta_2. \tag{4.16}$$

Внешняя толщина зуба прямозубого колеса по хорде на концентрической окружности d_{ye2} определяется по формуле

$$\bar{s}_{ye2} = m_e \operatorname{tg} \alpha + d_{e2} \sin \psi_{e2} / \cos \delta_2, \tag{4.17}$$

а высота до нее

$$\bar{h}_{aye2} = h_{ae2} + 0.25s_{e2}\psi_{e2} + 0.5m_e.$$
 (4.18)

В этих зависимостях ψ_{e2} – половина внешней угловой толщины зуба колеса, равная

$$\psi_{e2} = s_{e2} \cos \delta_2 / d_{e2}. \tag{4.19}$$

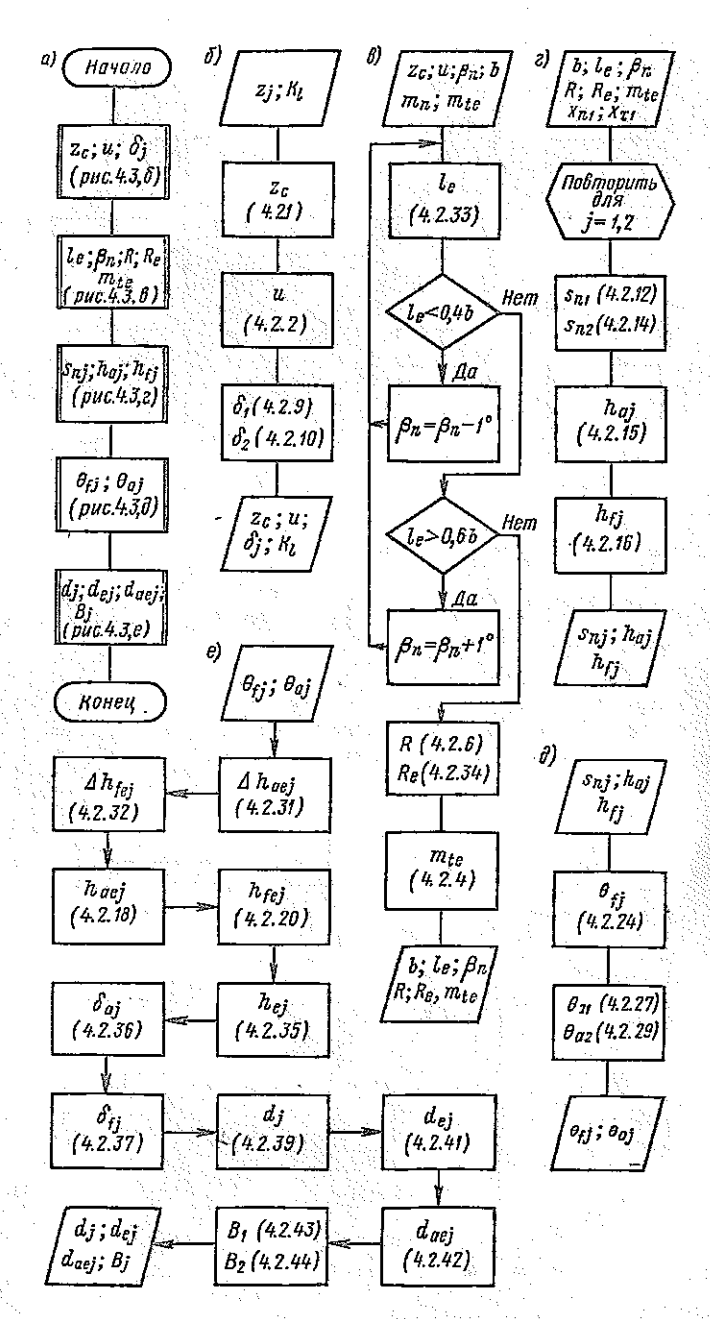


Рис. 4.3. Схема алгоритма для расчета геометрических размеров конической передачи с круговыми зубьями с осевой формой I (a) и составляющие ее блоки (6-e)

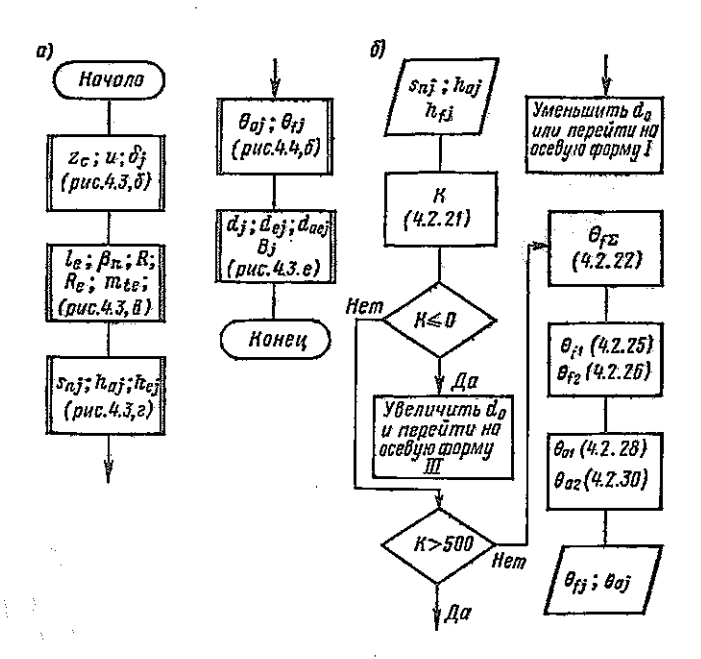


Рис. 4.4. Схема алгоритма для расчета геометрических размеров конической передачи с круговыми зубьями с осевой формой II (а) и входящий в нее блок для расчета углов головки и ножки зубьев (б)

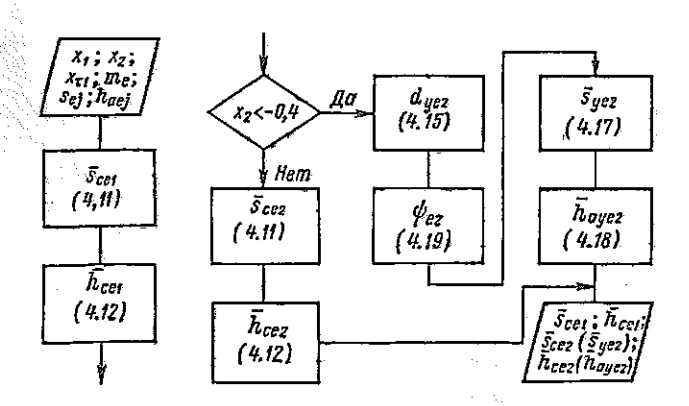


Рис. 4.5. Схема алгоритма расчета измерительных размеров зуба прямозубых передач (внешней постоянной хорды и высоты до нее или внешней толщины зуба по хорде концентрической окружности и высоты до этой хорды)

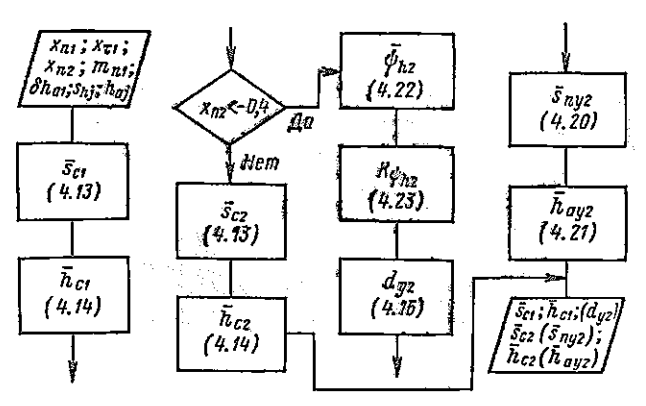


Рис. 4.6. Схема алгоритма расчета измерительных размеров зуба колес с круговыми зубьями (постоянной хорды и высоты до нее в расчетном сечении или хорды на концентрической окружности и высоты до нее в расчетном сечении)

Для колеса с круговыми зубьями толщина зуба по хорде на концентрической окружности в расчетном сечении равна

$$\bar{s}_{n y 2} = s_{n 2} K_{\psi_{n 2}} + m_n \operatorname{tg} \alpha_m \tag{4.20}$$

а высота до нее

$$\bar{h}_{ay2} = h_{a2} + 0.25s_{n2}\psi_{n2} + 0.5m_{n}. \tag{4.21}$$

Половина угловой толщины зуба в нормальном сечении рассчитывается по формуле

$$\psi_{n2} = s_{n2} \cos \delta_2 \cos^3 \beta_n / (m_n z_2). \tag{4.22}$$

Коэффициент, зависящий от угловой толщины зуба, определяется по формуле

$$K_{\psi_{-2}} = 1 - \psi_{n2}^2 / 6. \tag{4.23}$$

Расчет номинальных значений размеров для контроля взаимного положения разноименных профилей зубьев прямозубых колес и колес с круговыми зубьями следует производить по схемам алторизмов, представленным на рис. 4.5 и 4.6.

§ 4.2. Силы в зацеплении и КПД

На рис. 4.7 показаны направленные по трем взаимно перпендикулярным осям составляющие, приложенные к шестерне и колесу (в середине зубчатого венца), равнодействующие распределенных в зацеплении нагрузок.

Направление внешнего момента, действующего на коническое зубчатое колесо в направлении часовой стрелки (если смотреть на него от вершины 0) условно называют правым (рис. 4.7), в противном случае—левым.

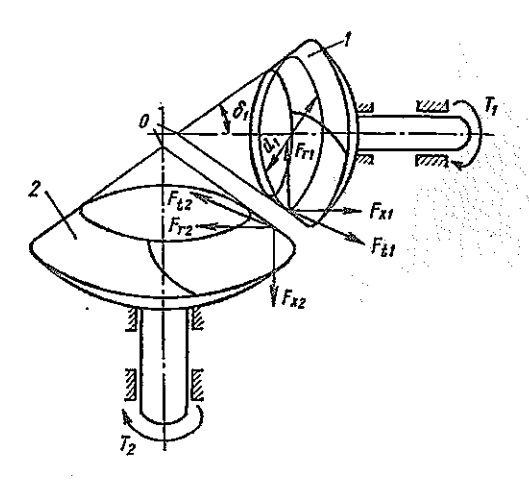


Рис. 4.7. Силы в зацеплении конической передачи:

1 — шестерня; 2 — колесо

Окружные силы определяются по формуле

$$F_{t1} = F_{t2} = F_t = 2T_1/d = 2T_1/[d_{e1}(1 - 0.5K_{be})].$$
 (4.24)

Для прямозубых конических передач радиальные и осевые силы равны:

$$F_{r1} = F_{x2} = F_t \lg \alpha \cos \delta_1; F_{r2} = F_{x1} = F_t \lg \alpha \sin \delta_1.$$
 (4.25)

В конических передачах с круговыми зубьями осевая и радиальная силы определяются по формулам:

для ведущего зубчатого колеса

$$F_{xj} = F_t \left(\operatorname{tg} \alpha_n \sin \delta_j \pm \sin \beta_n \cos \delta_j \right) / \cos \beta_n; F_{rj} = F_t \left(\operatorname{tg} \alpha_n \cos \delta_j \mp \sin \beta_n \sin \delta_j \right) / \cos \beta_n;$$

$$(4.26)$$

для ведомого зубчатого колеса

$$F_{xj} = F_t (\operatorname{tg} \alpha_n \sin \delta_j \mp \sin \beta_n \cos \delta_j)/\cos \beta_n; F_{rj} = F_t (\operatorname{tg} \alpha_n \cos \delta_j \pm \sin \beta_n \sin \delta_j)/\cos \beta_n.$$
(4.27)

Если пиестерня ведущая, то в формулах (4.26) и (4.27) имеем соответственно j=1 и j=2. При ведущем колесе j=2 и j=1. В формулах (4.26)—(4.27) надо брать верхний знак при совпадении направлений винтовой линии зубьев и внешнего момента, нижний — в противном случае. На рис. 4.7 у шестерни направление винтовой линии правое, а у колеса — левое. Ориентировочные значения коэффициентов потерь одноступенчатых конических передач на подшипниках качения приведены в табл. 2.1.

§ 4.3. Проектировочный и проверочный расчеты конических зубчатых передач

Вопросы, связанные с выбором материалов и видов термообработки, определением расчетной нагрузки, числа циклов нагружения и коэффициентов долговечности являются общими для цилиндрических и конических передач и изложены в § 2.2 и 2.3. Ниже рассматриваются особенности расчетов конических передач.

Формулы проверочного и проектировочного расчетов из условия прочности активных поверхностей зубьев конических передач со стальными зубчатыми колесами. Проверочный расчет на прочность активных поверхностей зубьев выполняется по формуле

$$\sigma_H = 32240 \left[\sqrt{\frac{T_{H1} K_{H\alpha} K_{H\beta} K_{Hb} \sin \Sigma}{d_{e1}^3 K_{be} (1 - K_{be}) u \vartheta_H}} \le [\sigma_H].$$
 (4.28)

Проектировочный расчет из условия прочности активных поверхностей зубьев производится по формуле

$$d'_{c1} = 1013 \sqrt{\frac{T_{H1} K_{H\beta} K'_{Hc} K'_{H\alpha} \sin \Sigma}{K'_{bc} (1 - K'_{bc}) u \vartheta_H [\sigma'_H]^2}}.$$
 (4.29)

Штрихом отмечены величины, которые подлежат уточнению в процессе расчетов. На первом этапе ими задаются или рассчитываются их ориентировочные значения.

Значения величин, входящих в формулы (4.28) и (4.29). Расчетная нагрузка T_{H1} выбирается в соответствии с указаниями, данными в § 2.3.

Коэффициенты ϑ_H . Для прямозубых передач коэффициент $\vartheta_H=1$. Если в прямозубой передаче предусмотрена локализация контакта к середине ширины зубчатого венца за счет продольной модификации зубьев (для бомбинированных зубьев), то $\vartheta_H=1,16$. Для конических передач с круговыми зубьями при $\beta_0=30\div 40^\circ$ коэффициент $\vartheta_H=1,5$.

Коэффициент $K_{H\alpha} = 1$ при $\beta = 0$; при $\beta \neq 0$ значение этого коэффициента находят по формуле (2.59) или из графика, изображенного на рис. 2.14. При $\beta \neq 0$ в проектировочном расчете коэффициент $K'_{H\alpha}$ выбирается из табл. 2.8.

Коэффициент K_{IIB} . Ориентировочные значения коэффициентов K_{HB} для различных схем установки опор на валах конических колес определяются по графикам, представленным на рис. 4.8, в зависимости от величин $K_{be}u/(2-K_{be})$. Для передач с круговыми зубьями при твердости активных поверхностей зубьев $H_{ast2} \leq 350$ HB, а также при $H_{ast1} \leq 350$ HB и $H_{ast2} \leq 350$ HB принимают $K_{HB} = 1$.

Коэффициент K_{Hv} рассчитывается по формулам (2.62) и (2.63), в которых вместо b_w и d_{w1} следует подставлять соответственно b и d_1 . Величина

 W_{Hv} рассчитывается по формуле

$$W_{Hv} = \delta_H g_0 v \sqrt{d_1 (u+1)/u},$$
 (4.30)

з которой v — окружная скорость на среднем диаметре d, м · с $^{-1}$. Значения δ_H и g_0 приведены в табл. 2.3 и 2.4. В проектировочном расчете коэфрициентом K'_{Hp} следует задаться по табл. 2.8.

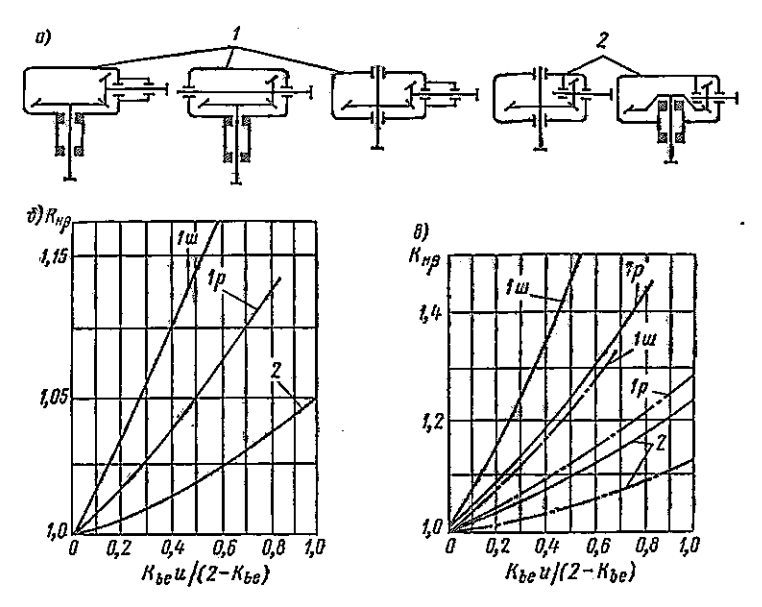


Рис. 4.8. Ориентировочные значения $K_{H\beta}$ для конических передач с межосевым углом $\Sigma = 90^\circ$: a — виды передач; $\tilde{b} - K_{H\beta}$ при $H_{\rm akr1} \le 350$ HB и $H_{\rm akr2} \le 350$ HB (или $H_{\rm akr1} > 350$ HB и $H_{\rm akr2} \le 350$ HB); $s - K_{H\beta}$ при $H_{\rm akr1} > 350$ HB и $H_{\rm akr2} > 350$ HB;

 2 – кривые, соответствующие видам передач на рис. 4.8 а (1 ш и 1 р – для передач соответствению на пларико- и роликоподиминиках)

— — для передач с прямыми зубьями; — — для передач с круговыми зубьями

Допускаемые контактные напряжения $[\sigma_{H1}]$ и $[\sigma_{H2}]$ для шестерни колеса определяются так же, как и для цилиндрических передач (см. § 2.3).

Для прямозубых конических передач величина $[\sigma_H]$ приравнивается меньшему из двух значений $[\sigma_{H1}]$ и $[\sigma_{H2}]$. Аналогичным образом определяются допускаемые контактные напряжения для передач с круговыми зубьями при $H_{\text{акт1}} > 350$ HB и $H_{\text{акт2}} > 350$ HB, а также при других значениях $H_{\text{акт3}}$, если $x_{n1} \neq 0$ и $x_{n2} \neq 0$. При $x_{n1} = x_{n2} = 0$ и $H_{\text{акт1}} \leqslant 350$ HE или $H_{\text{акт2}} \leqslant 350$ HB или $H_{\text{акт2}} \leqslant 350$ HB или $H_{\text{акт2}} \leqslant 350$ HB допускаемым напряжения для передач с круговыми зубьями рассчитываются по формуле (2.94). При этом найденная величина $[\sigma_H]$ не должна превышати более чем на 14% меньшее из двух значений $[\sigma_{H1}]$ и $[\sigma_{H2}]$.

Проверочный расчет на прочность активных поверхностей зубьев при приложении пикового момента $T_{1пик}$ производится по формуле (2.73), в ко торой величина σ_H определяется по формуле (4.28).

Расчет зубьев на выносливость при изгибе. Проверочный расчет прямо зубых конических колес выполняется по формулам:

$$\sigma_{F1} = \frac{2280T_{F1}K_{F0}K_{Fv}Y_{F1}}{bd_{c1}m_{c}(1 - K_{bc})} \le [\sigma_{F1}]; \tag{4.31}$$

$$\sigma_{F2} = \sigma_{F1} Y_{F2} / Y_{F1} \leqslant [\sigma_{F2}]. \tag{4.32}$$

Для передач с круговыми зубъями при $\beta_n = 30 \div 40^\circ$ расчет производится по формулам:

$$\sigma_{F1} = \frac{1500T_{F1}K_{F\alpha}K_{F\beta}K_{F\nu}Y_{F1}}{bd_{e1}m_{te}(1 - K_{be})\cos\beta_n} \le [\sigma_{F1}]; \tag{4.33}$$

$$\sigma_{F2} = \sigma_{F1} Y_{F2} / Y_{F1} \leq [\sigma_{F2}].$$
 (4.34)

Расчетная нагрузка T_{FI} выбирается в соответствии с указаниями § 2.3, коэффициент $K_{F\alpha}$ — по графику, изображенному на рис. 2.14, в зависимости от окружной скорости на среднем диаметре d, коэффициент $K_{F\beta} \approx K_{H\beta}$ (рис. 4.8).

Коэффициент K_{Fe} определяется по формулам (2.79) и (2.80). В последней формуле вместо b_w подставляется b, а величина W_{Fe} определяется по формуле

$$W_{Fz} = \delta_F g_0 v \sqrt{d_1 (u+1)/u}. \tag{4.35}$$

Параметры δ_F и g_0 выбираются из табл. 2.3 и 2.4.

Коэффициент формы зубьев конических колес Y_{F1} и Y_{F2} принимают увеличенным на 20% против значений, найденных из рис. 2.23 по числу зубьев z_{vj} или z_{vnj} цилиндрической эквивалентной передачи. Числа зубьев z_{vj} и z_{vnj} (j=1,2 для шестерни и колеса) определяются по формулам:

$$z_{\nu j} = z_j / \cos \delta_j \quad (\beta = 0); \tag{4.36}$$

$$z_{\nu nj} = z_j /(\cos \delta_j \cos^3 \beta_n) \quad (\beta \neq 0). \tag{4.37}$$

Допускаемые напряжения при расчете на изгиб определяются в соответствии с указаниями, данными в § 2.3.

Указания к проектировочному расчету. При проектировочном расчете конических передач величинами K'_{H_0} и K'_{H_2} приходится задаваться, так как они зависят от неизвестных на этой стадии размеров зубчатых колес. При назначении K'_{H_0} и K'_{H_2} можно пользоваться рекомендациями для дилиндрических передач (см. § 2.3). Допускаемые контактные напряжения $[\sigma'_{H_1}]$ определяются по указаниям, данным в § 2.3 при расчете $[\sigma'_{H_1}]$ и $[\sigma'_{H_2}]$ то формуле (2.65).

} 4.4. Последовательность расчетов конических зубчатых передач

Расчет конических зубчатых нередач производится по схеме алгоритма, представленной на рис. 4.9. При нагрузке, заданной в виде циклограммы, выбор T_{H1} и расчет коэффициентов K_{HL} производится по схеме алгоритма, зображенной на рис. 2.30. Выбор степени точности проектируемой переачи производится по табл. 2.10. Так как окружная скорость передачи а этом этапе расчета не известна, то для вариантов заданий на курсовое роектирование можно задаться 6-7 степенью точности.

Определение допускаемых напряжений [σ'_H] производится по схеме лгоритма, данной на рис. 2.31, в которой для конических передач коэфициент $K_H = 1,14$. На рис. 4.10 и 4.11 представлены схемы алгоритмов ля расчета d'_{e1} ; z_j ; $x_j(x_{nj})$; x_{ij} . После определения ориентировочного наметра d'_{e1} и выбора числа зубьев колес рассчитывается модуль и кругляется до стандартного значения из ряда, представленного в § 2.1

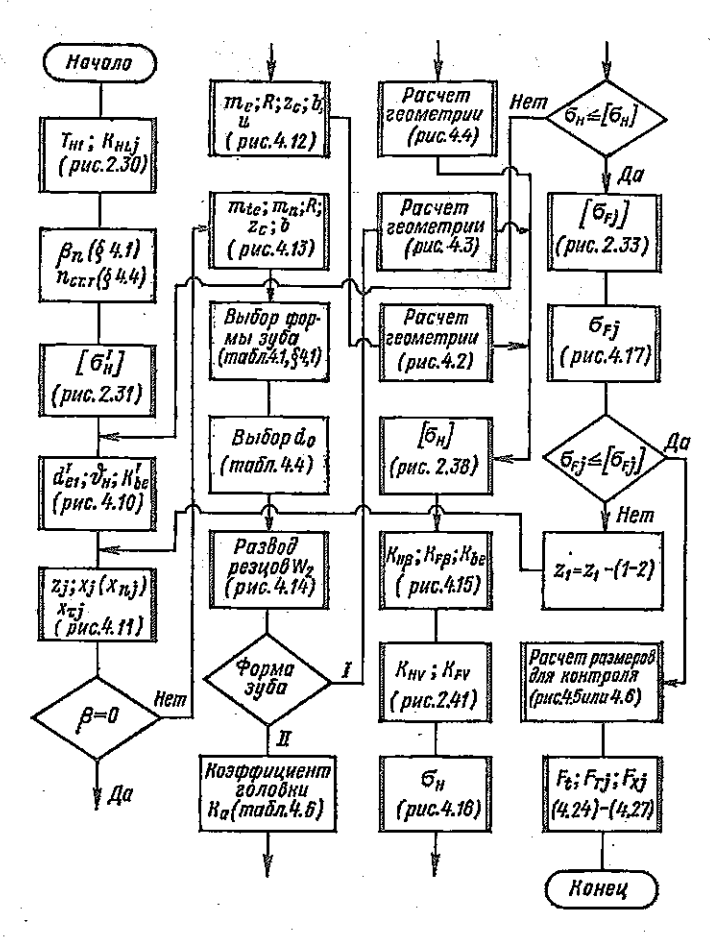


Рис. 4.9. Схема алгоритма расчета ортогональных конических передач

(рис. 4.12 и 4.13). При этом ориентировочное значение внешнего окруж ного модуля для прямозубых передач m_c' и для передач с круговым зубъями m_c' определяется по формуле

$$m'_{e} = m'_{te} = d'_{e1}/z_{1}. (4.3)$$

При округлении до стандартного значения модуля m'_e изменяетс диаметр d_{e1} шестерни. Для обеспечения требуемой нагрузочной спосочности конической передачи одновременно с изменением d_{e1} следует скоректировать относительную ширину зубчатого венца из соотношения

$$K_{bc}(1-K_{bc})=K'_{bc}(1-K'_{bc})(d'_{e1}/d_{e1})^3,$$
 (4.3)

в котором K'_{be} — относительная ширина зубчатого венца, принимаем при проектировочном расчете.

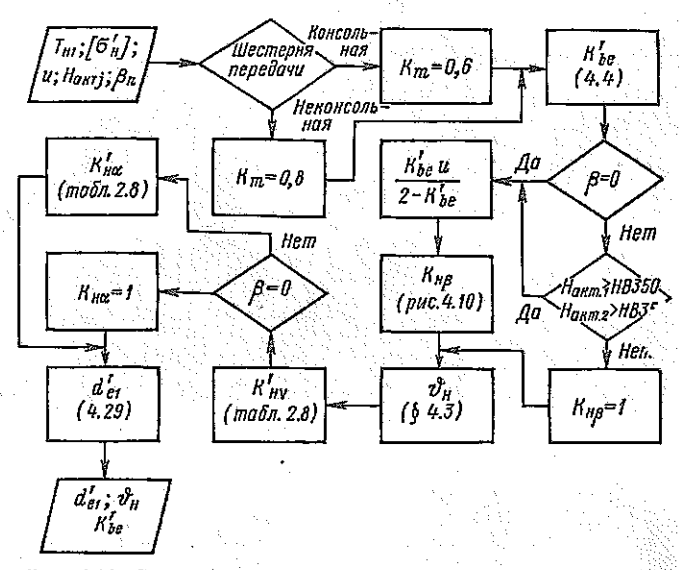


Рис. 4.10. Схема алгоритма проектировочного расчета конических передач

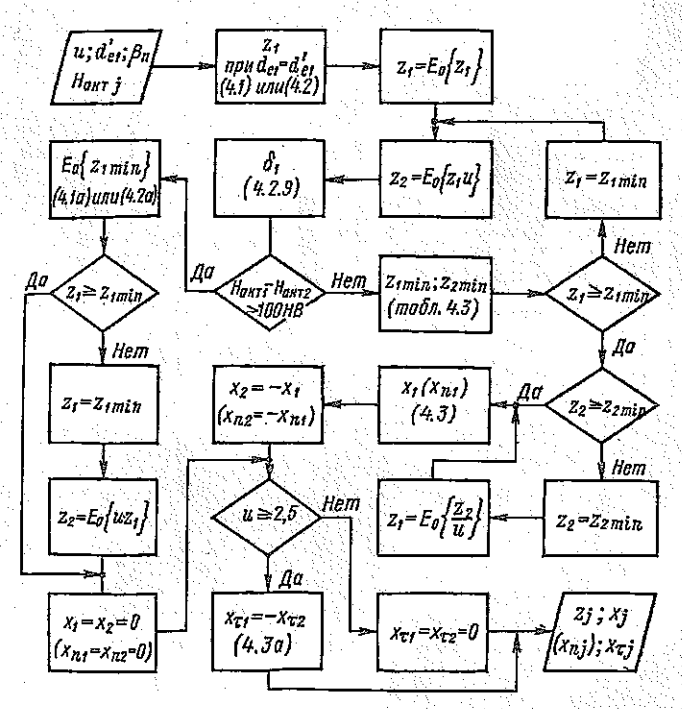


Рис. 4.11. Схема алгоритма расчета числа зубъев и коэффициентов смещения конических колес: $E_0\{\}$ – округление до ближайшего целого числа

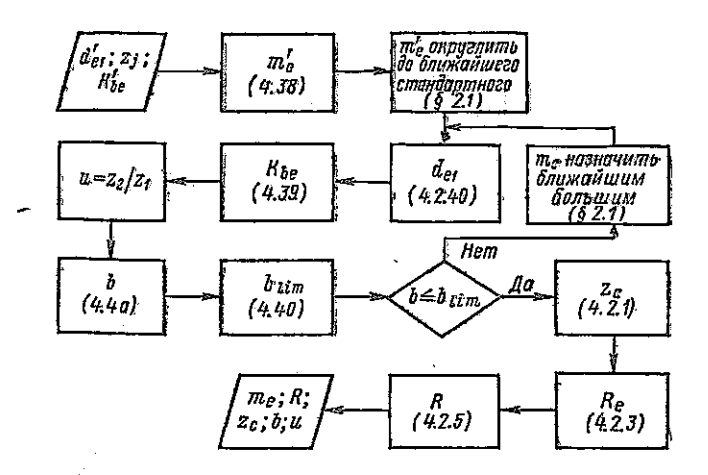


Рис. 4.12. Схема алгоритма расчета модуля для прямозубых конических передач

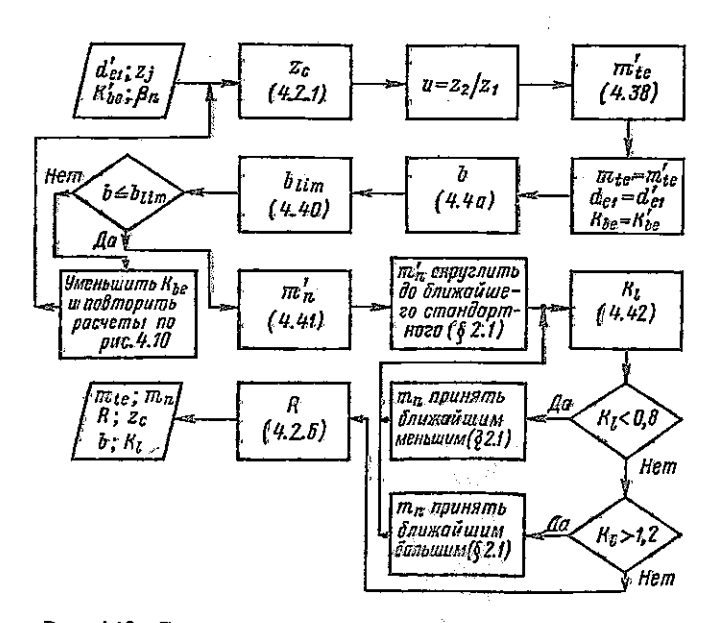


Рис. 4.13. Схема алгоритма расчета модуля в конических передачах с круговыми зубьями

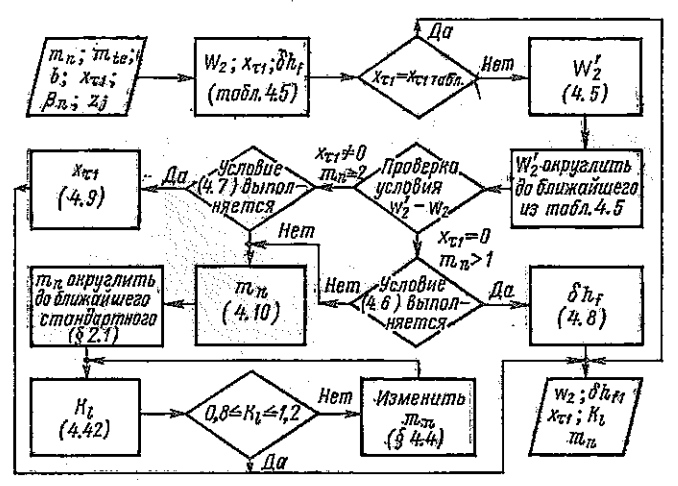


Рис. 4.14. Схема алгоризма расчета развода резцов зуборезной головки для чистовой обработки двусторонним способом зубьев колеса

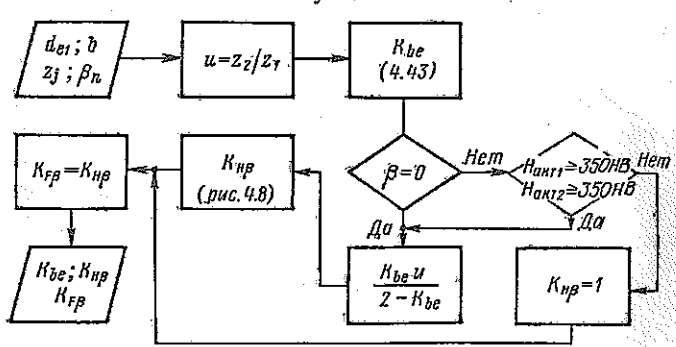


Рис. 4.15. Схема алгоритма определения коэффициентов K_{be} ; $K_{F\beta}$

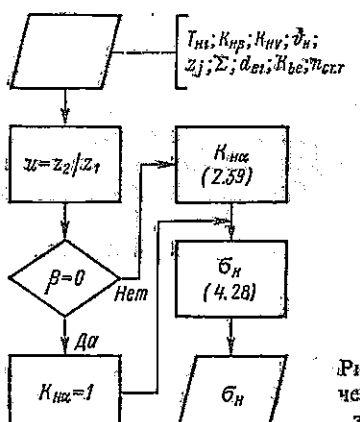


Рис. 4.16. Схема алгоритма расчета контактных напряжений в зацеплении конических колес

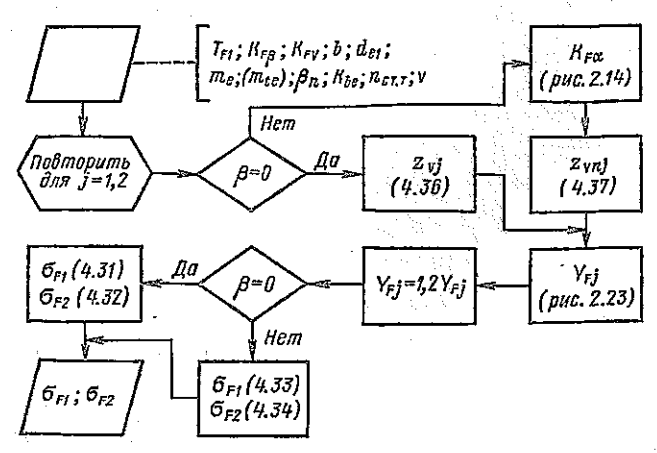


Рис. 4.17. Схема алгоритма расчета напряжений изгиба в опасных сечениях зубьев конических колес

Ширина зубчатого венца конических колес не должна превосходить предельного значения, определяемого по формуле

$$b_{\lim} = 10d_{e1}/z_1. \tag{4.40}$$

В передачах с круговыми зубьями, у которых за расчетный принят модуль m_n , ориентировочное значение m'_n определяют из зависимости

$$m'_n = (m_{te} - b/z_c)\cos\beta_n. \tag{4.41}$$

После округления найденного значения до ближайшего стандартного находят коэффициент K, по формуле

$$K_{l} = \left[m_{le} - \left(m_{n} / \cos \beta_{n} \right) \right] z_{e} / b, \tag{4.42}$$

где K_l — коэффициент, определяющий положение расчетного сечения, значение которого $0.8 \leqslant K_l \leqslant 1.2$.

Для передач с круговыми зубьями выбирают форму зуба (см. табл. 4.1), номинальный диаметр зуборезной головки d_0 (см. табл. 4.4), рассчитывают развод резцов зуборезной головки W_2 и для зубьев формы II из табл. 4.6 находят коэффициент головки зуба K_a . На рис. 4.14 приведена схема алгоритма определения развода резцов зуборезной головки для чистовой обработки зубьев колеса наиболее производительным двусторонним способом. Рекомендуется при этом для m < 2 мм назначать $x_{11} = 0$.

Вслед за этим производятся геометрические расчеты конических передач по схемам алгоритмов, представленным на рис. 4.2—4.4, и проверочные расчеты по схемам алгоритмов на рис. 2.33, 2.38, 2.41 ¹, 4.15—4.17.

Для определения фактического значения $K_{H\beta}$ (рис. 4.15) уточняется K_{be} по формуле

$$K_{be} = 2b/(d_{e1}\sqrt{u^2+1}).$$
 (4.43)

 $^{^1}$ В схеме алгоритма, данного на рис. 2.41, величины W_{Hv} и W_{Fv} подсчитываются соответственно по формулам (4.30) и (4.35), а вместо b_W и d_{W1} в зависимости следует подставить b и d_1 .

Окружная скорость передачи на среднем диаметре конических колес равна

$$v = 5.24 \cdot 10^{-5} d_1 n_1. \tag{4.44}$$

При невыполнении условия $\sigma_H \leq [\sigma_H]$ необходимо увеличить размеры передачи, получаемые при проектировочном расчете (см. рис. 4.10). Удовлетворения вышеприведенного условия можно добиться также за счет уменьшения коэффициента $K_{H\nu}$ (повышения точности передачи) или увеличения $[\sigma_H]$ (за счет повышения твердости активных поверхностей зубьев).

При невыполнении условия $\sigma_{Fj} \leqslant [\sigma_{Fj}]$ уменьшают число зубьев на шестерне (если это позволяют минимальные рекомендуемые значения) или повышают $[\sigma_{Fj}]$ (за счет увеличения твердости сердцевины или упрочнения впадин зубьев).

Расчет конической передачи завершается определением размеров для контроля зубчатых колес по схемам алгоритмов на рис. 4.5 или 4.6 и сил в зацеплении по формулам (4.24)—(4.27).

При наличии в циклограмме нагрузок, превосходящих по величине T_{H1} или T_{F1} , производится проверка на прочность активных поверхностей зубьев при приложении пикового момента $T_{1\,\text{min}}$ (см. рис. 2.44) и расчет на малоцикловую выносливость при изгибе по формулам ГОСТ 21354—75*.

Глава 5

червячные цилиндрические передачи

§ 5.1. Геометрия, кинематика, силы в зацеплении и КПД

Ципиндрические червяки выполняются с линейчатыми и нелинейчатыми боковыми поверхностями витков. Наибольшее распространение имеют три вида линейчатых червяков: архимедов (ZA), эвольвентный (Z1) и конволютный (ZN1 и ZN2). Выбор вида определяется технологическими возможностями предприятия-изготовителя. Существующие методы расчета на прочность червячных зацеплений не зависят от вида червяка, поэтому рассматриваемые в дальнейшем проектировочный и проверочный расчеты червячных передач излагаются безотносительно к виду червяка 1 .

Расстояние между соответствующими боковыми сторонами двух смежных витков называется расчетным шагом червяка и обозначается p; отношение $p/\pi = m$ называется модулем. Значения m стандартизованы (табл. 5.1).

Для унификации режущего инструмента помимо стандартизации модулей установлен также ряд значений коэффициентов диаметра червяка $q=d_1/m$, где d_1 —диаметр делительной окружности червяка. По ГОСТ 2144—76 (СТ СЭВ 221—75 и СТ СЭВ 267—76) значения q (см. табл. 5.1) выбираются в зависимости от m и z_1 , где z_1 —число витков червяка, равное 1; 2; 4.

¹ В главе приводится расчет червячных передач с углом между осями червяка и колеса, равным 90°.

Сочетания модулей m и коэффициентов диаметров q при $z_1=1,\ 2,\ 4$ (ГОСТ 2144—76)

m, MM	q	т, мм	q
2,00 2,50 (3,00) 3,15 (3,50) 4,00 5,00 (6,00)	8,0; (12,5); 15,5; 16,0; 20,0 8,0; 10,0; (12,5); 15,5; 16,0; 20,0 (10,0); (12,0) 8,0; 10,0; 12,5; 16,0; 20,0 (10,0); 12,0*; 14,0*; (14,0) 8,0; (9,0); 10,0; 12,0*; (12,0); 12,5; 16,0; 20,0 8,0; 10,0; 12,5; 16,0; 20,0 (9,0); (10,0)	6,30 (7,00) 8,00 10,00 (12,00) 12,50 16,00 20,00	8,0; 10,0; 12,5; 14,0; 16,0; 20,0 (12,0) 8,0; 10,0; 12,5; 16,0; 20,0 8,0; 10,0; 12,5; 16,0; 20,0 10,0** (10,0) 8,0; 10,0; 12,5; 16,0; 20,0 8,0; 10,0; 12,5; 16,0 8,0; 10,0; 12,5; 16,0

Примечания: 1. Ряд значений m и q устапавливается ГОСТ 19672—74 (СТ СЭВ 267—76). В таблице приведено ограниченное число модулей. 2. Значения, не заключенные в скобки, являются предпочтительными.

Передаточное отношение червячной передачи

$$u = \omega_1/\omega_2 = z_2/z_1, (5.1)$$

при этом обычно $z_2 \ge 22$ при $z_1 = 1$ и $z_2 \ge 26$ при $z_1 > 1$. При $z_1 > 1$ желательно, чтобы значение z_2 не было бы кратным z_1 .

Число витков червяка $z_1=1$ при $u=31,5\div 80$; $z_1=2$ при $u=16\div 31,5$ и $z_1=4$ при $u=8\div 16$.

Угол подъема винтовой линии γ (рис. 5.1, a) на делительном цилиндре $d_1=mq$ определяется из зависимости

$$tg y = pz_1/(\pi d_1) = z_1/q.$$
 (5.2)

У рассматриваемых в пособии линейчатых червяков с углом подъема $\gamma \le 26,5650^\circ$ при $m=1\div 25$ мм пропорции витков и зубъев соответствующих червячных колес определяются параметрами исходного и исходного производящего червяка 1 , устанавливаемыми ГОСТ 19036—81 или СТ СЭВ 266-76.

Если при нарезании червячного колеса делительные цилиндры исходного производящего червяка и червячного колеса не касаются, то имеем колесо со смещением. Смещение червяка определяется коэффициентом \mathbf{x} , значение которого при проектировании передачи с заданным межосевым расстоянием a_w равно

$$x = (a_w/m) - (q + z_2)/2.$$
 (5.3)

При проектировании червячных передач, межосевое расстояние которых не регламентируется ГОСТ 2144 – 76* (СТ СЭВ 221 – 75, СТ СЭВ 267 – 76),

^{*} Только при $z_1 = 1$.

^{**} Только при $z_1 = 1$ п $z_2 = 2$.

Исходным производящим червяком определяется инструмент для нарезания червячного колеса.

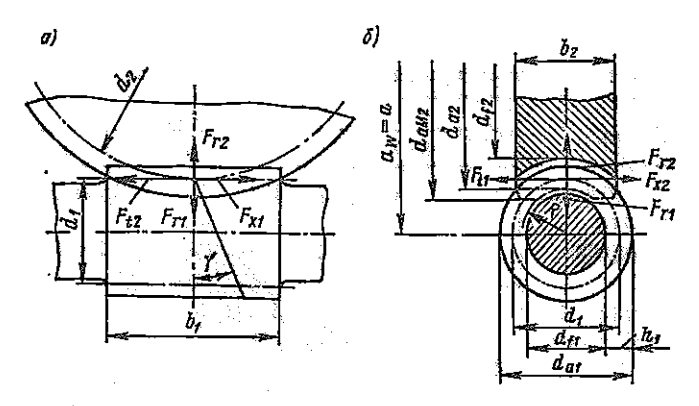


Рис. 5.1. Схема цилиндрической червячной передачи

габаритные размеры, полученные в проектировочном расчете, мало изменяются при округлении до стандартного значения модуля, если коэффициент x рассчитывается по формуле

$$x = 0.5 (d_2/m - z_2), (5.4)$$

Предельные значения коэффициента смещения x назначаются из условия отсутствия подрезания или заострения зубьев червячного колеса, которые обычно не наблюдаются при назначении z_1 в зависимости от u в соответствии с приведенной выше рекомендацией при $-1 \le x \le 1$.

Формулы для расчета основных геометрических размеров червяка и червячного колеса, указанных на рис. 5.1, приводятся в табл. 5.2 и 5.3.

При изготовлении взаимное положение боковых поверхностей витков червяка контролируется по делительной толщине по хорде или по роликам. Делительная толщина по хорде витка червяка определяется по формуле

$$\bar{s}_{a1} = 0.5\pi m \cos \gamma, \tag{5.5}$$

а высота до хорды витка

$$\bar{h}_{a1} = m + 0.5\,\bar{s}_{a1}\,\text{tg}\left(0.5\,\arcsin\frac{\bar{s}_{a1}\,\sin^2\gamma}{d_1}\right).$$
 (5.6)

Для получения необходимого бокового зазора в передаче вычисленное номинальное значение \bar{s}_{a1} уменьшается на наименьшее отклонение толщины витка по корде E_{ss} (ГОСТ 3675—81 или СТ СЭВ 311—76 и СТ СЭВ 1162—78). На размер \bar{s}_{a1} назначается допуск T_{s} со знаком минус (ГОСТ 3675—81, СТ СЭВ 1162—78).

Взаимное положение боковых поверхностей зубьев червячного колеса определяется режущим инструментом. Поэтому контроль этого параметра осуществляется замером предельных отклонений межосевого расстояния в обработке, установленных ГОСТ 3675—81.

Расчет геометрических параметров червячной передачи и размеров для контроля взаимного положения боковых поверхностей витков червяка производится по схеме алгоритма, данной на рис. 5.2.

Основные размеры червяка и червячного колеса (см. рис. 5.1)

_	4	Рормулы		
Параметры	для червяка	для червячного колеса		
Диаметры делитель- иых окружностей	$d_1 = mq$ (5.2.1)	$d_2 = mz_2 (5.2.2)$		
Днаметры вершин	$d_{al} = d_1 + 2m (5.2.3)$	$d_{a2} = d_2 + 2m(1+x) (5.2.4)$		
Высота головки (h_{a1}) и ножки (h_{f1}) витков червяка	$h_{a1}=m;$ (5.2.5) для червяков ZA, ZN1, ZN2 . $h_{f1}=1,2~m$ (5.2.6) для червяков Z1 $h_{f1}=(2,2~\cos~\gamma-\ -1)m$ (5.2.7)	-		
Диаметры впадин Длина нарезанной части червяка	$d_{f1} = d_1 - 2h_{f1}$ (5.2.8) b_1 по табл. 5.3	$d_{f2} = d_2 - 2m(1, 2+x) (5.2.9)$		
Наибольший диаметр червячного колеса	-	$d_{aM2} \le d_{a2} + 6m/(z_1 + 2) (5.2.10)$		
Ширина венца чер- вячного колеса		при $z_1 = 1$ и $z_1 = 2$ $b_2 \le 0.75 d_{al}$ (5.2.11) при $z_1 = 4$ $b_2 \le 0.67 d_{al}$ (5.2.12)		
Раднус выемки по- верхности вершин зубь- ев червячного колеса	· -	$R = 0.5d_1 - m (5.2.13)$		
Межосевое расстояние	$a_{w}=0.5$	$5m(q+z_2+2x)$ (5.2.14)		

Таблица 5.3 Определение длины нарезанной части червяка (ГОСТ 19650—74)

Коэффициент	b ₁ ,	не менее
смещения х	$z_1 = 1; \ z_1 = 2$	$z_1 = 4$
-1.0	$(10.5 + z_1) m$	$(10.5+z_1)m$
-0,5	$(8 + 0.06 z_2) m$	$(9.5 + 0.09 z_2) m$
0 +0,5	$(11 + 0.06 z_2) m$ $(11 + 0.1 z_2) m$	$ (12.5 + 0.09 z_2) m (12.5 + 0.1 z_2) m $
+1,0	$(12 + 0.1 z_2) m$	$(13+0.1z_2)m$

При мечания: 1. При промежуточном значении коэффициента x длина b_1 выбирается соответствению тому из двух ближайших значений x, которое дает большее b_1 . 2. Для шлифуемых и фрезеруемых червяков полученную в таблице длину b_1 следует увеличить при m < 10 мм на 25 мм, при $m \ge 10 \div 16$ мм — на 35—40 мм и при m > 16 мм — на 50 мм.

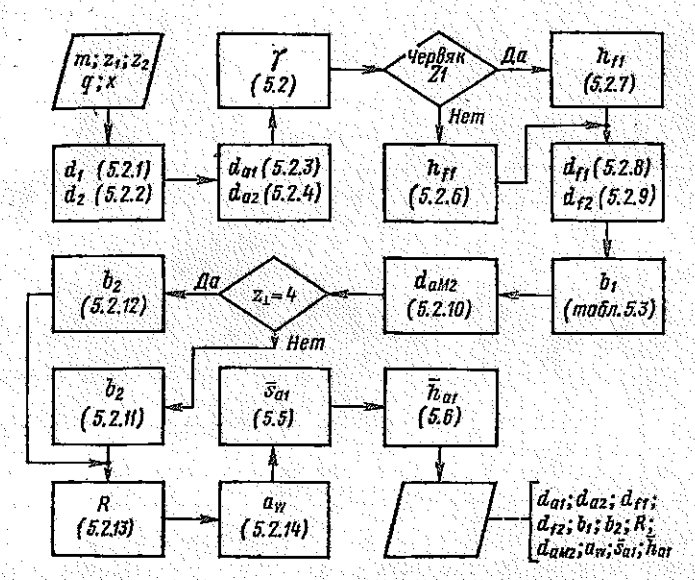


Рис. 5.2. Схема алгоритма расчета геометрических параметров червячных передач и размеров для контроля взаимного положения боковых поверхностей витков червяка

Скорость скольжения v_s , $\mathbf{m} \cdot \mathbf{c}^{-1}$, сопряженных профилей при зацеплении в полюсе рассчитывается по формуле

$$v_s = 5.24 \cdot 10^{-5} d_1 n_1 / \cos \gamma, \tag{5.7}$$

где d_1 — диаметр делительной окружности червяка, мм; n_1 — частота вращения червяка, мин $^{-1}$.

По скорости скольжения выбирают степень точности передачи. Стандартом ГОСТ 3675—81 (СТ СЭВ 311—76) предусмотрено 12 степеней точности. Для силовых червячных передач назначается 7-я ($v_s \le 10 \text{ м} \cdot \text{c}^{-1}$) и 8-я ($v_s \le 8 \text{ м} \cdot \text{c}^{-1}$) степени точности. При больших скоростях скольжения и повышенных требованиях к виброакустическим характеристикам назначается 6-я степень точности.

Коэффициент полезного действия η червячной передачи равен

$$\eta = \eta_3 \eta_n \eta_{p,m}$$

где коэффициентами η_3 ; η_n и $\eta_{p,m}$ учитываются соответственно потери в зацеплении, в подшилниках и на размешивание и разбрызгивание масла.

На опорах с подшинниками качения КПД червячной передачи обычно определяется по формулам:

при ведущем червяке

$$\eta = \eta_{12} = \eta_{p,M} \operatorname{tg} \gamma / \operatorname{tg} (\gamma + \varphi'); \tag{5.8}$$

при ведомом червяке

$$\eta = \eta_{21} = \eta_{p,M} \operatorname{tg} (\gamma - \varphi')/\operatorname{tg} \gamma. \tag{5.8a}$$

Таблица 5.4 Зависимость угла трения ϕ' от скорости скольжения v_s

Силы в зацеплении червачной передачи (см. рис. 5.1)

v _s , m·c ⁻¹	φ',°
0,01 0,10 0,25 0,50 1,0 1,50 2,0 2,5 3,0 4,0 7,0 10	6,283 - 6,850 4,567 - 5,150 3,717 - 4,283 3,150 - 3,717 2,583 - 3,150 2,283 - 2,867 2,000 - 2,583 1,717 - 2,283 1,600 - 2,000 1,317 - 1,717 1,033 - 1,483 0,917 - 1,367 0,800 - 1,150

Наименование силы	Формулы
Окружная сила червячного колеса (F_{t2}) и осевая сила червяка (F_{x1}) Окружная сила червяка (F_{t1}) и осевая сила червячного колеса (F_{x2}) Радиальная сила червяка (F_{t1}) и червячного колеса (F_{t2})	$F_{c2} = F_{x1} = 2T_2/d_2$ $F_{t1} = F_{x2} = F_{t2} \operatorname{tg} (\gamma \pm \varphi')$ $F_{r1} = F_{r2} \approx 0.37 F_{t2}$
Примечание. Зн вяке и минус — при вед	нак илнос при ведущем чер- омом.

Зависимость угла трения ϕ' при бронзовом венце червячного колеса и стальном червяке от скорости скольжения v_s приведена в табл. 5.4. Меньшие значения ϕ' соответствуют передачам с тщательно шлифованными червяками ($R_a < 0.4\,$ мкм) с твердостью активных поверхностей витков $H_{\rm akr1} > 45\,$ HRC. Приведенные в таблице значения ϕ' найдены из формулы (5.8) при $\eta_{\rm p,m} = 1\,$ по экспериментальным данным для червячных передач на опорах с подшилниками качения. Таким образом, в значениях ϕ' учтены потери в подшилниках и на размешивание и разбрызгивание масла.

Формулами (5.8) и (5.8а) нельзя пользоваться, если у радиально-упорных подшипников угол контакта $\alpha < 26^{\circ}$ (см. гл. 10 и работу [36]), а также и в тех случаях, когда погружение в масляную ванну червяка и его подшипников превышает рекомендованные значения (см. гл. 19).

Силы в зацеплении червячной передачи (см. рис. 5.1) определяются по формулам, приведенным в табл. 5.5.

§ 5.2. Материалы, применяемые для изготовления червячных передач

Наименьшая интенсивность изнашивания в червячной паре обеспечивается, если червяк имеет высокую твердость ($H_{\rm akrl} \ge 45$ HRC), а его рабочие поверхности отполированы. Поэтому для червяков используются стали марок 45, 40X, 40XH, 35XГСА, закаленные до твердости 45–55 HRC с последующей шлифовкой и полированием. Широко применяются червяки из сталей 20X, 12XH3A, 18XГТ и др., подвергаемые цементации, и из сталей 38X2MOA, 38X2Ю и др., упрочияемые азотированием. В этом случае достигается твердость поверхностей червяка 56–63 HRC, а финишной обработкой по-прежнему остается шлифование и полирование.

В качестве материалов для изготовления венцов червячных колес ответственных передач используются оловянные бронзы, механические характеристики наиболее распространенных марок которых приведены в табл. 5.6.

			Mexa	шческие св	ойства	Максималь-	
Наименование и марка	Способ- отливки	$\sigma_{\rm g}$	$\sigma_{\mathbf{r}}$	E-10-5	ΗΒ	ная скорості скольжения	
		МПа		ПЬ	v_s , $M \cdot c^{-1}$		
БрОФ10-1 (ОСТ 2МТ31-1 -75)	3 K	200 260	120 150	0,74 1,01	80 — 100 100 — 120	25	
БрОФН	II	290	170	0,98	100 — 120	35	
БрО6Ц6С3 (ГОСТ 613—79)	3 K	160 180	108 78	0,93	60 60 – 76	12	

Примечания: 1. Способ отливки: 3-в землю; K-в кокиль; U- центробежный. 2. В таблице приведены значения σ_b , принимаемые при выполнении курсового проекта. Фактические значения σ_b в соответствии с указанными ОСТ и FOCT могут изменяться в широких пределах.

§ 5.3. Проектировочные расчеты червячных передач

Проектировочный расчет червячных передач с бронзовым колесом из условия обеспечения прочности активных поверхностей зубьев колеса выполняется по формуле

$$d_2 = 630 \sqrt[3]{\frac{T_{H2}K_{H\beta}z_2}{K_a \left[\sigma_{H2}\right]^2 q}},\tag{5.9}$$

где d_2 — делительный диаметр червячного колеса, мм; T_{H2} — расчетный момент на валу червячного колеса, приравниваемый максимальному из длительно действующих в циклограмме нагружения, $\mathbf{H} \cdot \mathbf{M}$.

Допускаемые напряжения [σ_{H2}] для венцов колес из оловянных бронз при шлифованных и полированных витках червяков с твердостью активных поверхностей $H_{\rm akr1} > 45$ HRC определяются по формуле

$$[\sigma_{H2}] = 0.9 \sigma_{n2} \sqrt[8]{10^7/N_{HE2}},$$
 (5.10)

где σ_{b2} — предел прочности материала венца червяка, МПа (см. табл. 5.6); N_{HE2} — эквивалентное число циклов перемен контактных напряжений для зубьев колеса, равное

$$N_{HE2} = \sum_{i=1}^{n} \left[\left(T_{2i} / T_{H2} \right)^4 N_{c2i} \right]. \tag{5.11}$$

В формуле (5.11) T_{2i} – крутящие моменты в гистограмме нагружения червячного колеса, исключая кратковременно действующие нагрузки, число циклов при которых $N_{c2} \le 5 \cdot 10^4$; N_{c2i} – число циклов перемен напряжений при воздействии момента T_{2i} , определяемое по формуле (2.50), в которой $\gamma_w = 1$ и j = 2. Если при расчете по формуле (5.11) окажется, что $N_{HE2} > 25 \cdot 10^7$, то следует принять $N_{HE2} = 25 \cdot 10^7$.

Коэффициент точности K_a определяется степенью точности передачи по ГОСТ 3675-81 (СТ СЭВ 1162-78). Значения K_a даны ниже.

Tаблица 5.7 Коэффициент деформации червяка θ в функции от z_1 и q [36]

	θ при z _l , равном			
Коэффициент q	i	2	4	
8 9 10 12,5	72 89 108 157 190	57 71 86 125 152	47 58 70 101 123	

При проектировочном расчете, когда неизвестна скорость скольжения в зацеплении и, следовательно, не назначена степень точности передачи, коэффициент точности принимается равным $K_a = 1,10 \div 1,15$.

Неравномерность распределения нагрузки в зоне контакта учитывается коэффициентом $K_{H\beta}$, рассчитываемым по формуле

$$K_{H0} = 1 + (z_2/\theta)^3 (1 - m_p),$$
 (5.12)

где θ — коэффициент деформации червяка, значение которого выбирается из табл. 5.7 в зависимости от величин z_1 и q; m_p — отношение среднего по времени момента к расчетному, т. е.

$$m_p = \sum_{i=1}^{k} (T_{2i}t_{hi}) / (T_{H2} \sum_{i=1}^{k} t_{hi}),$$
 (5.13)

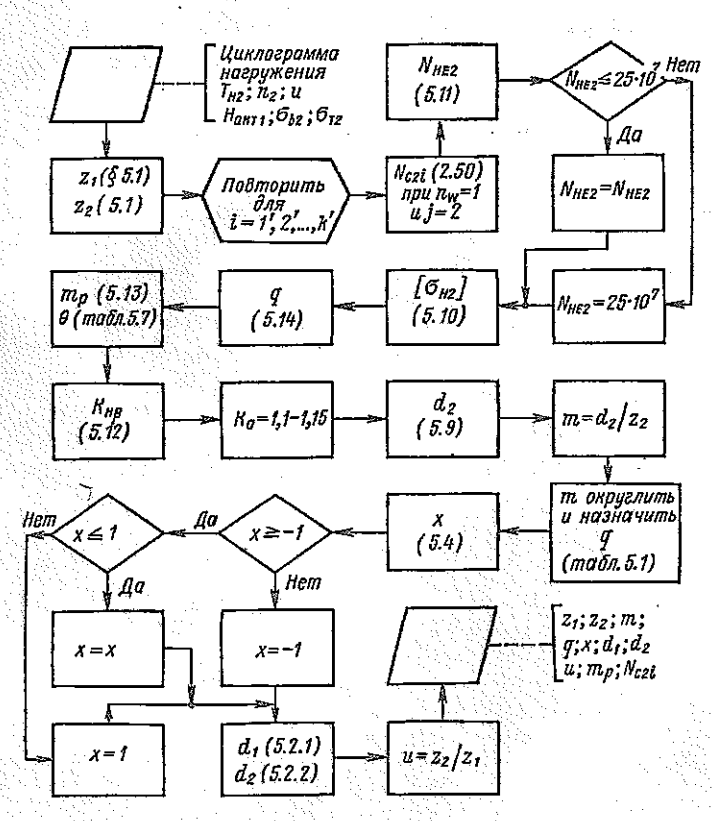


Рис. 5.3. Схема алгоритма проектировочного расчета червячных передач

где $\sum_{i=1}^k t_{hi}$ — продолжительность работы передачи за полный срок службы,

ч; t_{ti} — продолжительность работы под нагрузкой T_{2i} , ч.

При проектировочном расчете для обеспечения достаточной жесткости червяка коэффициент q следует определять по формуле

$$q = 0.33z_2 \pm 2. \tag{5.14}$$

Проектировочный расчет червячной передачи рекомендуется проводить по схеме алгоритма, представленной на рис. 5.3.

§ 5.4. Проверочные расчеты червячных передач

Проверочный расчет на прочность активных поверхностей зубъев червячного колеса выполняется по формуле

$$\sigma_{H2} = 72,58Z_M \sqrt{T_{H2}K_{HB}Z_2/(K_aqd_2^3)} \le [\sigma_{H2}].$$
 (5.15)

При стальном червяке и бронзовом венце червячного колеса

$$Z_{M} = \sqrt{\frac{2E_{1}E_{2}}{\pi \left[E_{2} \left(1 - \mu_{1}^{2}\right) + E_{1} \left(1 - \mu_{2}^{2}\right)\right]}} = 381 \sqrt{\frac{1}{1 + 2, 1 \cdot 10^{5}/E_{2}}}, \quad (5.16)$$

где Z_M — упругая постоянная материала, $H^{1/2} \cdot \text{мм}$; $\mu_1 = \mu_2 = 0.3$ — коэффициенты Пуассона; E_1 и E_2 — модули упругости стали и бронзы, МПа (значения E_2 приведены в табл. 5.6).

Коэффициент K_a определяется в зависимости от степени точности, назначаемой после определения скорости скольжения в зацеплении по формуле (5.7). Коэффициент $K_{H\beta}$ уточняется по формуле (5.12) по выбранному стандартному значению q.

Если в гистограмме нагружения имеется момент $T_{2\text{rug}}$, которому соответствует число циклов перемен напряжений 200-400, то производится проверка на кратковременные перегрузки. Она осуществляется по формуле (5.15), в которой $T_{H2} = T_{2\text{rug}}$ и $[\sigma_{H2}]_{\text{rug}} = 4\sigma_{\text{r}}$.

Дополнительно к расчету на прочность активных поверхностей зубьев червячного колеса производится их проверочный расчет на изгиб по формуле

$$\sigma_{F2} = 1.5 T_{F2} Y_{F2} K_{F6} \cos \gamma / (qm^3 z_2 K_a) \le [\sigma_{F2}],$$
 (5.17)

где $T_{F2}=T_{H2};\;K_{F\beta}=K_{H\beta};\;Y_{F2}-$ коэффициент формы зуба, зависящий от эквивалентного числа зубьев колеса z_{v2} , равного

$$z_{v2} = z_2/\cos^3\gamma.$$
 (5.18)

Значения Y_{F2} приведены ниже.

z_{i2}	 	20 24	26 28	30 32	35 37
Y_{F2}		1,98 1,88	1,85 1,80	1,76 1,71	1,64 1,61
	to the same				
z_{v2}	 	40 45	50 60	80 100	150 300
Y_{F2}		1.55 1.48	1.45 1.40	1.34 1.30	1.27 1.24

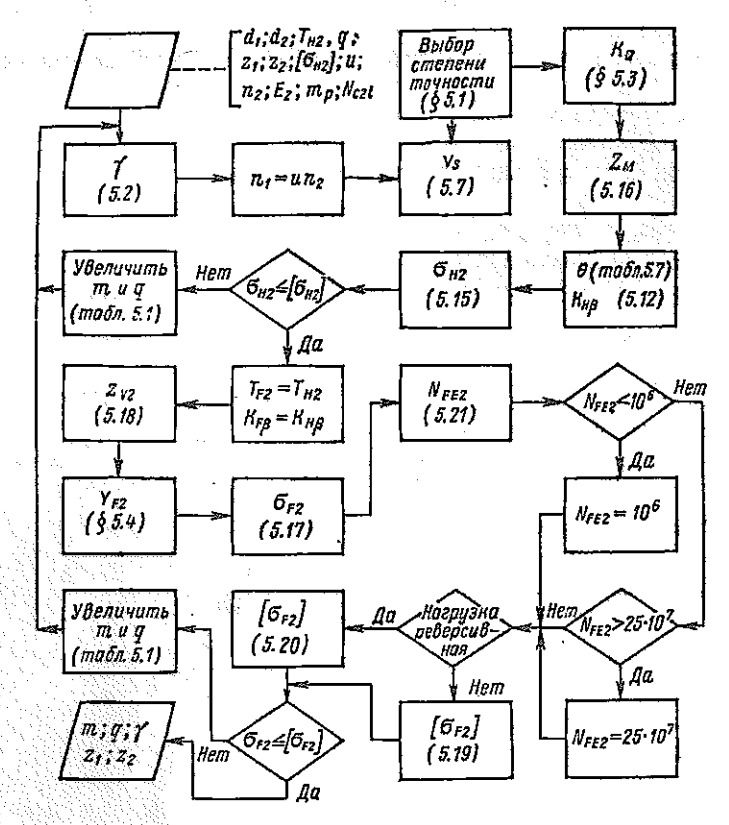


Рис. 5.4. Схема алгоритма проверочного расчета червячных передач

Допускаемые напряжения изгиба зубьев бронзовых червячных колес определяются по формулам:

при нереверсивной нагрузке

$$[\sigma_{F2}] = (0.25\sigma_{\tau 2} + 0.03\sigma_{s2}) \sqrt[9]{10^6/N_{FE2}};$$
 (5.19)

при реверсивной симметричной нагрузке

$$[\sigma_{F2}] = 0.16\sigma_{b2} \sqrt{10^6/N_{FE2}}.$$
 (5.20)

В формулах (5.19) и (5.20) эквивалентное число циклов перемен напряжений рассчитывается по формуле

$$N_{FE2} = \sum_{i=1}^{k} (T_{2i}/T_{2i})^9 N_{C2i}.$$
 (5.21)

Не учитываются при этом кратковременно действующие нагрузки, при которых число циклов перемен напряжений для червячного колеса не превосходит $5 \cdot 10^4$. Если при расчете по формуле (5.21) имеем $N_{FE2} < 5 \cdot 10^5$, то следует принять $N_{FE2} = 5 \cdot 10^5$; при $N_{FE2} > 25 \cdot 10^7 - N_{FF2} = 25 \cdot 10^7$.

При наличии в циклограмме нагружения момента $T_{2\text{вик}}$ которому соответствует число циклов 200—400, производится проверка на изгиб зубьев колеса при кратковременно действующих нагрузках по формуле (5.17), в которой $T_{F2} = T_{2\text{вик}}$ и $[\sigma_{F2}] \approx 0.8\sigma_{72}$.

Проверочные расчеты червячных передач производятся по схеме

алгоритма, представленной на рис. 5.4.

§ 5.5. Последовательность расчета червячных передач

Из анализа циклограммы нагружения в соответствии с указаниями § 5.3 назначается расчетный момент T_{H2} . По данным § 5.2 выбираются материалы червячной пары и их механические характеристики. Размеры червячной передачи определяются по схеме алгоритма (см. рис. 5.3), после чего производится проверочный расчет по схеме алгоритма, данного на рис. 5.4. При этом если условия $\sigma_{H2} \leq [\sigma_{H2}]$ или $\sigma_{F2} \leq [\sigma_{F2}]$ не выполняются, то помимо указанного в алгоритме перехода на большие значения m и q можно повысить механические характеристики материала венца червячного колеса за счет использования более качественной бронзы или иного способа получения отливки для венца червячного колеса.

Если в циклограмме имеются пиковые нагрузки, то производится проверка передачи на прочность активных поверхностей и на изгиб зубьев червячного колеса в соответствии с указаниями § 5.4. При удовлетворении размеров передачи условиям прочности переходят к расчету геометрических параметров и размеров для контроля взаимного положения боковых поверхностей витков червяка. Затем вычисляется КПД по формулам (5.8) или (5.8a) и определяются силы в зацеплении червячной передачи но формулам табл. 5.5.

Глава 6

планетарные передачи

§ 6.1. Общие сведения и классификация

Планетарным зубчатым называется механизм, содержащий зубчатые колеса, именуемые сателлитым, оси которых подвижены. Сателлиты устанавливаются в водило h (см. механизм A на рис. 6.1, где сателлиты обозначены g), ось вращения которого называется основной. Зубчатые колеса с осями, совпадающими с основной осью, называются центральными колесами (a, b и др. на рис. 6.1), обозначаемые в общем случае буквой k. Центральные колеса и водила, воспринимающие нагрузки от внешних моментов, называются основными звеньями. Число сателлитов обозначают n_w . Обычно $n_w = 3 \div 6$, но встречаются передачи с $n_w = 1$ и $n_w > 6$.

Планетарный механизм, в котором два основных звена связаны с ведущим и ведомым валами, а третье — не вращается (соединено с корпусом), называется планетарной передачей. Если все три основных звена соединены с валами, из которых один ведущий и два ведомых или два ведущих и один ведомый, то передачу называют дифференциалом.

Из большого многообразия различных типов планетарных механизмов ограничимся рассмотрением наиболее распространенных в механических приводах. Для краткого обозначения их широко используются классификационные формулы, в которых указывается число и вид основных звеньев.

Mеханизмы 2k-h (рис. 6.1) в качестве основных звеньев имеют два центральных колеса (2k) и водило (h). Механизм 2k-h с одновенцовыми сателлитами обозначается A, с двухвенцовыми (в зависимости от вида зацеплений с центральными колесами) — B и C, с коническими зубчатыми колесами — E.

Механизм 3k в качестве основных звеньев имеет три центральных колеса (3k). На рис. 6.2 показаны планетарные передачи с двухвенцовым (рис. 6.2, a) и одновенцовым (рис. 6.2, δ) сателлитами, получаемые из механизма 3k остановкой центрального колеса b.

Замкнутые передачи (передачи $\gamma - \delta$) (рис. 6.3) содержат дифференциал (обычно механизм A), основные звенья которого обозначаются α , β и γ . Звено γ вращается c одним из выходных валов. Два других основных звена дифференциала α и β c помощью каких-либо передач (зубчатых, гибкой связью и т.д.), обозначаемых $\alpha - \delta$ и $\beta - \delta$, связаны c другим выходным валом передачи $\gamma - \delta$, который обозначается δ (см. рис. 6.3, a). В передаче на рис. 6.3, δ передачей $\beta - \delta$ является вал, соединяющий основное звено дифференциала β c выходным валом δ , а передачей $\alpha - \delta$ служит механизм A, выполняющий функции тихоходной ступени.

Структурные формулы планетарных передач. При необходимости буквенное обозначение конструктивного варианта планетарной передачи дополняют индексами: нижние индексы относят к основным звеньям, соединенным с внешними валами, причем первый из них указывает звено, передающее наибольший крутящий момент; верхний индекс соответствует невращающемуел звену. Например, передачу 2k-h (см. рис. 6.1, a) при невращающемся колесе b обозначают A_{ha}^b , а при невращающемся водиле $h-A_{ha}^b$.

Структурные формулы для передач, образованных последовательным соединением двух механизмов A (рис. 6.4, a и b), имеют следующий вид $A_{h_1a_1}^{b_1}A_{h_2a_2}^{b_2}$ и $A_{h_1a_1}^{b_1}A_{b_2a_2}^{h_2}$. Здесь знак лигатуры — указывает пару звеньев соседних ступеней, соединенных друг с другом. Звеньям тихоходной ступени присваивают индекс 1, звеньям быстроходной ступени — индекс 2.

Передача $\gamma - \delta$ (рис. 6.3, δ) состоит из двух механизмов A с тремя основными звеньями γ , δ и h_1 . Из вращающихся основных звеньев наибольший момент развивается звеном δ , а неподвижным является водило h_1 . Поэтому структурную формулу такой передачи можно представить $(AA)_{\delta\gamma}^{h_1}$. Однако при этом не представляется возможным однозначно расшифровать схему передачи. Заметив, что со звеном δ связаны основные звенья b_1 и h_2 , принадлежащие обеим ступеням передачи $\gamma - \delta$,

¹ Передачи с невращающимся водилом по определению формально не являются планетарными.

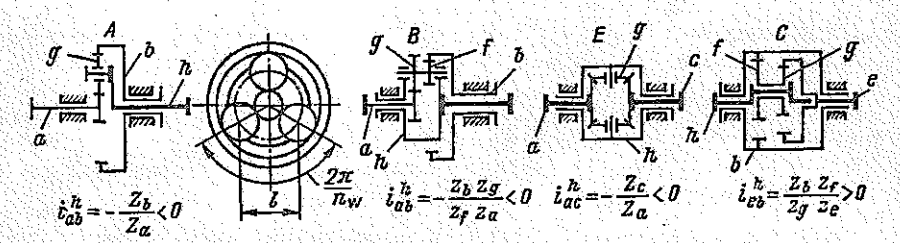
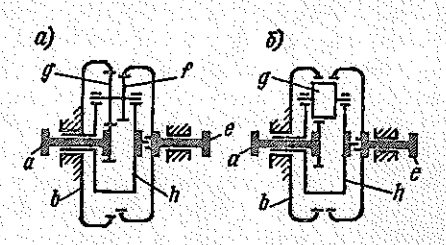


Рис. 6.1. Планетарные механизмы 2k-h (варианты A, B, E $(i^h < 0)$ и C $(i^h > 0)$)

Рис. 6.2. Передачи 3k с двухвенцовым (a) и одновенцовым (б) сателлитом



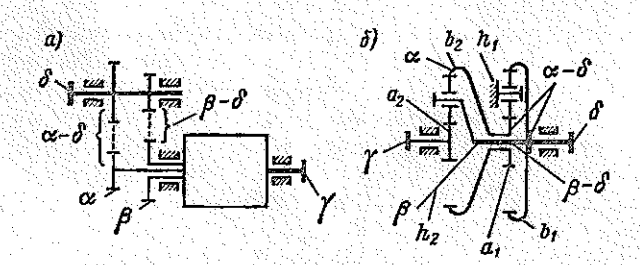


Рис. 6.3. Передачи $\gamma - \delta$

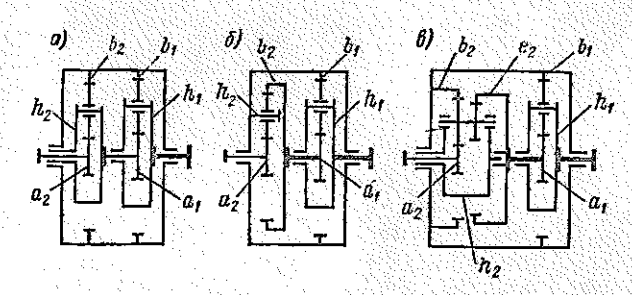


Рис. 6.4. Двухступенчатые планетарные передачи

вместо δ в структурной формуле пишем в скобках (b_1h_2) , а вместо γ – обозначение основного звена a_2 . В результате получаем $(AA)_{(b_1h_2)a_2}^{h_1}$.

Структурная формула передачи, являющейся последовательным соединением передач 3k и A (рис. 6.4, e), имеет вид $A_{h_1a_1}^{b_1}(3k)_{e_2a_2}^{b_2}$.

Предложенные формулы позволяют построить схему передачи, ориентируясь на порядок и место расположения индексов.

§ 6.2. Кинематика планетарных передач

Обозначение передаточного отношения, связывающего относительные угловые скорости двух звеньев, имеет три индекса: два внизу, соответствующие обозначениям этих звеньев (первый из них относится к звену, угловая скорость которого в числителе) и один вверху, соответствующий звену, относительно которого взяты угловые скорости. Например, запись i_{ah}^b означает передаточное отношение между звеньями a и h в движении относительно колеса b, т. е. $i_{ah}^b = (\omega_a - \omega_b)/(\omega_h - \omega_b)$.

Величина i_{ab}^h (или в общем случае i^h) является передаточным отношением передачи с неподвижными осями, полученной из планетарной остановкой водила, и определяется на основе соотношений для передач с неподвижными осями зубчатых колес.

При параллельных осях зубчатых колес передаточное отношение имеет знак плюс, если направления вращения связываемых им звеньев совпадают, и знак минус при противоположных направлениях. В соответствии с этим в передачах A, B и E имеем $i^h < 0$, а в передачах $C - i^h > 0$ (см. рис. 6.1).

Указания по определению передаточных отношений планетарных передач приведены в работе [36]. В табл. 6.1 даны формулы для определения передаточных отношений и угловых скоростей звеньев планетарных передач наиболее распространенных схем. При этом для передачи A используется обозначение $z_b/z_a=p$.

Для планетарных передач, образованных последовательным соединением *ј* ступеней, общее передаточное отношение равно

$$i = i_1 \cdot i_2 \dots i_j$$

где i_1, i_2, \ldots, i_i – передаточные отношения отдельных ступеней.

В передачах $\gamma - \delta$ передаточное отношение $i_{\gamma\delta}$ определяется по формуле

$$i_{\gamma\delta} = i_{\gamma\delta}^2 + i_{\gamma\delta}^{\beta}, \tag{6.1}$$

где

$$i_{\gamma\delta}^{\alpha} = i_{\gamma\beta}^{\alpha} i_{\beta\delta}; \quad i_{\gamma\delta}^{\beta} = i_{\gamma\alpha}^{\beta} i_{\alpha\delta}. \tag{6.2}$$

Здесь $i_{\beta\delta}$ и $i_{\alpha\delta}$ — передаточные отношения соответственно передач $\beta-\delta$ и $\alpha-\delta$.

Коэффициент полезного действия передач $\gamma-\delta$ и их кинематические возможности зависят от сочетания знаков слагаемых в уравнении (6.1). При $i_{7\delta}^2i_{7\delta}^{\beta}>0$ мощность двумя потоками передается передачами $\alpha-\delta$ и $\beta-\delta$ от звена δ или поступает к нему. В этом случае КПД передачи $\gamma-\delta$, как правило, высок. Если $i_{7\delta}^2i_{7\delta}^{\beta}<0$, то направления потоков мощности в передачах $\alpha-\delta$ и $\beta-\delta$ противоположны, и в контуре, образованном этими передачами и дифференциалом α , β , γ , имеется замкнутая

Передаточные отношения и угловые скорости звеньен планетарных передач

Условное	A VAL	Передаточное отношение				
рианта обозначе-	Схема	передачи при ω _h = 0	планетарной передачи	Угловые скорости звеньев		
A_{la}^{r}		$i_{ab}^{h} = -z_b:$ $: z_a = -p$	$i_{ob}^b = 1 - $ $-i_{ab}^b = 1 + p$	$\omega_b = 0; \ \omega_a = (1+p) \omega_h;$ $\omega_g - \omega_h = \frac{2p}{1-p} \omega_h$		
A^q_{hb}		$i_{ab}^{h} = -p$	$i_{bh}^{l} = 1 - $ $-i_{ba}^{l} = 1 + \frac{1}{p}$	$\omega_a = 0; \ \omega_b = (1 + 1/p) \ \omega_h;$ $\omega_g - \omega_h = \frac{2}{p - 1} \ \omega_h$		
Aba		$t_{ab}^{h} = -p$		$\omega_h = 0; \ \omega_a = -p \ \omega_b;$ $\omega_3 - \omega_h = \frac{2p}{p-1} \ \omega_b$		
B_{la}^{l}	g f f f a b x.	$i_{ab}^{i} = \frac{z_b z_g}{z_f z_a}$	$t_{ah}^b = 1 - t_{ab}^h$	$\omega_b = 0; \ \omega_a = \left(1 + \frac{z_b z_g}{z_f z_a}\right) \omega_h;$ $\omega_g - \omega_h = \omega_f - \omega_h = -\frac{z_b}{z_f} \omega_h$		
C_{eh}^b		$i_{cb}^h = \frac{z_b z_f}{z_g z_g}$	$\vec{\eta}_{he} = \frac{1}{1 - i \frac{\eta_{eb}}{cb}}$	$\omega_b = 0; \ \omega_h = \frac{z_g z_c}{z_g z_c - z_b z_f} \ \omega_c,$ $\omega_g - \omega_h = \omega_f - \omega_h = \frac{z_b}{z_f} \ \omega_h$		
(3k) ba		$l_{ab}^{h} = -\frac{z_b}{z_a}$ $l_{cb}^{h} = \frac{z_b z_f}{z_d z_c}$	$i_{ae}^b = \frac{1 - i_{ab}^h}{1 - i_{cb}^h}$	$\omega_b = 0; \ \omega_a = i^b_{ac} \omega_c,$ $\omega_h = \frac{1}{1 - i^b_{ab}} \omega_a,$ $\omega_g - \omega_h = \omega_f - \omega_h = -\frac{z_b}{z_g} \omega_h$		
Примечание. Для передачи $(3k)_{ea}^b$ с одновенцовым сателлитом справедливы формулы при $z_f=z_g$.						

(циркулирующая) мощность, вызывающая дополнительные потери на трение. При $i_{\gamma\delta}^{\gamma}i_{\gamma\delta}^{\beta}<0$ передаточное отношение $i_{\delta\gamma}=1/(i_{\gamma\delta}^{\gamma}+i_{\gamma\delta}^{\beta})$ неограниченно растет с приближением к единице отношения $|i_{\gamma\delta}^{\alpha}/i_{\gamma\delta}^{\beta}|$. Но при этом неограниченно растет и отношение замкнутой и передаваемой мощностей. В связи с этим использование высокого кинематического эффекта (получение больших значений $|i_{\delta\gamma}|$) связано с неизбежностью низкого КПД,

В табл. 6.2 приведены значения передаточных отношений и угловых скоростей звеньев для двухступенчатых и замкнутых планетарных передач, составленных из двух механизмов A.

§ 6.3. Моменты, действующие на основные звенья

Пренебрегая потерями на трение и приписывая знак плюс мощностям ведущих основных звеньев и знак минус мощностям ведомых, для передачи с тремя основными звеньями μ , ν и τ при постоянных угловых скоростях имеем

$$T_{\mu}\omega_{\mu}+T_{\nu}\omega_{\nu}+T_{\tau}\omega_{\tau}=0.$$

Если $\omega_{\tau} = 0$, то отсюда находим:

$$T_{\mu}(\omega_{\mu} - \omega_{\nu}) + T_{\nu}(\omega_{\nu} - \omega_{\nu}) = 0;$$

$$T_{\mu}/T_{\nu} = -(\omega_{\nu} - \omega_{\nu})/(\omega_{\mu} - \omega_{\nu}) = -1/i_{\mu\nu}^{\tau}.$$
(6.3)

Таким образом, отношение моментов основных звеньев обратно пропорционально отношению угловых скоростей этих звеньев относительно третьего основного звена с обратным знаком. Например, отношение моментов основных звеньев a и h передачи A имеет вид

$$T_a/T_h = -1/i_{ab}^b = -1/(1-i_{ab}^h) = -1/(1+p).$$

В табл. 6.3 приведены зависимости между моментами, действующими на основные звенья одноступенчатых планетарных передач, указанных в табл. 6.1. Для передач C и 3k, которые характеризуются пониженным КПД, в формулах, связывающих моменты на внешних валах, введен КПД, значения которого даны в § 6.8. В остальных рассмотренных случаях потерями на трение допустимо пренебречь.

В табл. 6.4 даны соотношения между моментами, действующими на основные звенья двухступенчатых передач по схемам, указанным в табл. 6.2. В приведенных здесь схемах замкнутых передач нет неблагоприятного для КПД явления циркуляции мощности. На этом основании в расчетных формулах потери на трение не учтены, как и в схемах с последовательным соединением ступеней.

§ 6.4. Силы, действующие в зацеплении и на опоры основных звеньев и сателлитов

Силы в зацеплении зубчатых колес определяются по общим зависимостям, приведенным в § 2.1. В рассматриваемых схемах планетарных передач к сателлитам не приложен внешний момент, поэтому расчет сил в зацеплении удобно производить по значению внешнего момента, дей-

ехашізмов А	Угловая скорость	сатстлита	$\omega_{a_1} - \omega_{a_1} = \frac{2p_1}{1 - p_1} \omega_{a_1};$ $\omega_{a_2} - \omega_{a_2} = \frac{2p_2}{1 - p_2} \omega_{a_2}$	$\omega_{u_1} - \omega_{u_1} = \frac{2p_1}{1 - p_1} \omega_{u_1};$ $\omega_{d_2} - \omega_{u_2} = -\frac{2p_2}{1 - p_2} \omega_{b_2}$	$\omega_{o_1} - \omega_{o_1} = \frac{2p_1}{p_1 - 1} \omega_{b_1};$ $\omega_{o_2} - \omega_{o_2} = -\frac{2p_2}{p_2 (p_1 + 1)} \omega_{o_2}$	$\begin{aligned} \omega_{q_1} - \omega_{h_1} &= \frac{2p_1}{p_1 - 1} \omega_{h_1}; \\ \omega_{q_2} - \omega_{h_2} &= -\frac{2p_2 (p_1 + 1)}{p_1 (p_2 - 1)} \omega_{h_2} \end{aligned}$
Передаточные отношения и угловые скорости передач, составленных из двух механизмов А	Угловая	основного звена	$\omega_{b_1} = \omega_{b_2} = 0;$ $\omega_{a_2} = (1 + p_2)(1 + p_1)\omega_{a_2};$ $\omega_{a_1} = \omega_{b_2} = (1 + p_1)\omega_{b_1};$	$\omega_{b_1} = \omega_{h_2} = 0;$ $\omega_{a_2} = -p_2 (1 + p_1) \omega_{h_1};$ $\omega_{a_1} = \omega_{b_2} = (1 + p_1) \omega_{h_1};$	$\omega_{h_1} = 0; \ \omega_{b_1} = \omega_{h_2};$ $\omega_{a_2} = [p_2(1+p_1)+1] \omega_{b_1};$ $\omega_{b_2} = \omega_{a_1} = -p_1\omega_{b_1}$	$\begin{aligned} \omega_{b_1} &= 0; \ \omega_{b_1} &= \omega_{b_2}; \\ \omega_{b_2} &= \left[1 - (p_1 + 1) (p_2 + 1)\right] \omega_{b_1}; \\ \omega_{a_1} &= \omega_{b_2} &= -p_1 \omega_{b_1} \end{aligned}$
ния и угловые скорости в	Tenensteine orthographia	and a superior of the control of the	$i_{a_2b_1} = i_{a_2b_2}^{b_2} i_{a_1b_2}^{b_1} = (1 + p_2)(1 + p_1)$		$l_{s_0} = p_1(1+p_1) + 1$	$l_{p_0} = 1 - (p_1 + 1)(p_2 + 1)$
Передяточные отноше	, vav.					
	Условное	варианта	$A_{h_1a_1}^{b_1}A_{h_2a_2}^{b_2}$	$A_{h_1a_1}^{b_1}A_{b_2a_2}^{h_2}$	(44) ³ 4112) 42	ته (توآ <mark>ل</mark> ها (۲۷))

Соотношения между моментами, действующими на основные звенья планетарных передач

Условное обозначение варианта	Соотношение моментов	1 A
A	$T_a = -T_h/(p+1); \ T_b = -T_h p/(p+1)$	
В	$T_a = -T_h z_a z_f / (z_a z_f + z_b z_g);$ $T_b = -T_h z_b z_g / (z_a z_f + z_b z_g)$	\$; ; :: ()
С	$T_b = -T_c z_f z_b / (z_c z_g);$ $T_h = -T_c \frac{z_c z_g - z_b z_f}{z_c z_g} \frac{1}{\eta_{he}^b}$ при $P_h > 0;$ $T_h = -T_c \frac{z_c z_g - z_b z_f}{z_c z_g} \eta_{ch}^b$ при $P_h < 0$	
3 <i>k</i>	$T_{a} = -T_{e} \frac{z_{a}}{z_{a} + z_{b}} \left(1 - \frac{z_{b}z_{f}}{z_{g}z_{e}} \right) \frac{1}{\eta_{ae}^{b}} \text{при } P_{a} > 0;$ $T_{a} = -T_{e} \frac{z_{a}}{z_{a} + z_{b}} \left(1 - \frac{z_{b}z_{f}}{z_{g}z_{e}} \right) \eta_{ae}^{b} \text{при } P_{a} < 0;$ $T_{b} = -T_{e} \frac{z_{b}}{z_{a} + z_{b}} \left(1 + \frac{z_{a}z_{f}}{z_{g}z_{e}} \right)$	

Примечания: 1. Схемы передач см. в табл. 6.1. 2. См. примечание к табл. 6.1. 3. P>0 для ведущих и P<0 для ведомых звеньев планетарной передачи. 4. Значения КПД η см. § 6.8.

ствующего на центральное колесо, с использованием формул, приведенных в табл. 6.3. 6.4.

Силы в опорах сателлитов находят с использованием расчетных схем (табл. 6.5) для распространенных типов планетарных передач с прямозубыми цилиндрическими и зубчатыми колесами. В таблице представлены случаи, когда опоры сателлита размещены в отверстиях щек водила. Варианты с подшипниками, размещенными внутри обода сателлита, рассчитываются по тем же схемам.

Силы в зацеплении сателлита с *i*-м центральным колесом рассчитывают для наиболее нагруженного сателлита по формулам:

$$F_i = \frac{2T_i\Omega}{n_w (d_w)_i}; \quad F_r = F_i \operatorname{tg}(\alpha_w)_i, \tag{6.4}$$

где Ω — коэффициент, учитывающий неравномерность распределения нагрузки между сателлитами (см. § 6.5).

В расчетах опор сателлитов быстроходных планетарных передач необходимо учитывать центробежную силу, Н, по формуле

$$F_{n} = 1.1 \cdot 10^{-5} V_{g} \rho_{m} n_{h}^{2} r_{h}, \tag{6.5}$$

Условное обозначение	Соотношения моментов
варианта	Ведущее звено Промежуточное звено
$A_{h_1a_1}^{b_1}A_{h_2a_2}^{b_2}$	$T_{a_2} = -T_{h_1} \frac{1}{(p_2+1)(p_1+1)}$ $T_{a_1} = -T_{h_2} = -T_{h_1}/(p_1+1);$ $T_{b_1} = -T_{h_1}p_1/(p_1+1);$ $T_{b_2} = -T_{h_1} \frac{p_2}{(p_2+1)(p_1+1)}$
$A_{h_1a_1}^{b_1}A_{b_2a_2}^{h_2}$	$T_{a_2} = T_{h_1} \frac{1}{p_2 (p_1 + 1)}$ $T_{a_1} = -T_{b_2} = -T_{h_1}/(p_1 + 1);$ $T_{b_1} = -T_{h_1} p_1/(p_1 + 1);$ $T_{h_2} = -T_{h_1} \frac{p_2 + 1}{p_2 (p_1 + 1)}$
$(AA)_{(0_1k_1)}^{h_1}{}_{(0_2k_1)}{}_{(2}$	$T_{\gamma} = T_{a_{2}} = T_{a_{1}} = T_{a_{1}} = T_{a_{1}} = T_{a_{1}} = T_{a_{2}} = T_{a_{1}} = T_{a_{1}} = T_{a_{2}} = T_{a_{1}} = T_{a_{1}} = T_{a_{2}} = T_{a_{1}} = T_{a_{1}$
$(AA)^{h_1}_{(b_1b_2)a_2}$	$T_{q} = T_{a_{2}} = T_{b_{2}} = T_{b_{2}} = T_{b_{2}} / [(p_{1} + 1)(p_{2} + 1) - 1];$ $T_{q} = T_{a_{2}} = T_{b_{2}} = T_{b_{2}} = T_{a_{1}} = T_{b_{2}} = T_{b_{2}} / [(p_{1} + 1)(p_{2} + 1) - 1];$ $T_{b_{1}} = T_{b_{2}} = T_{b_{2}} / [(p_{1} + 1)(p_{2} + 1) - 1];$ $T_{b_{1}} = T_{b_{2}} = T_{b_{2}} / [(p_{1} + 1)(p_{2} + 1) - 1];$ $T_{b_{1}} = T_{b_{2}} = T_{b_{2}} / [(p_{1} + 1)(p_{2} + 1) - 1];$ $T_{b_{1}} = T_{b_{2}} = T_{b_{2}} / [(p_{1} + 1)(p_{2} + 1) - 1];$ $T_{b_{1}} = T_{b_{2}} = T_{b_{2}} / [(p_{1} + 1)(p_{2} + 1) - 1];$ $T_{b_{1}} = T_{b_{2}} = T_{b_{2}} / [(p_{1} + 1)(p_{2} + 1) - 1];$ $T_{b_{1}} = T_{b_{2}} = T_{b_{2}} / [(p_{1} + 1)(p_{2} + 1) - 1];$ $T_{b_{1}} = T_{b_{2}} = T_{b_{2}} / [(p_{1} + 1)(p_{2} + 1) - 1];$ $T_{b_{1}} = T_{b_{2}} = T_{b_{2}} / [(p_{1} + 1)(p_{2} + 1) - 1];$ $T_{b_{1}} = T_{b_{2}} = T_{b_{2}} / [(p_{1} + 1)(p_{2} + 1) - 1];$ $T_{b_{1}} = T_{b_{2}} = T_{b_{2}} / [(p_{1} + 1)(p_{2} + 1) - 1];$ $T_{b_{1}} = T_{b_{2}} = T_{b_{2}} / [(p_{1} + 1)(p_{2} + 1) - 1];$ $T_{b_{1}} = T_{b_{2}} = T_{b_{2}} / [(p_{1} + 1)(p_{2} + 1) - 1];$ $T_{b_{1}} = T_{b_{2}} = T_{b_{2}} / [(p_{1} + 1)(p_{2} + 1) - 1];$ $T_{b_{1}} = T_{b_{2}} / [(p_{1} + 1)(p_{2} + 1) - 1];$ $T_{b_{1}} = T_{b_{2}} / [(p_{1} + 1)(p_{2} + 1) - 1];$ $T_{b_{1}} = T_{b_{2}} / [(p_{1} + 1)(p_{2} + 1) - 1];$
Примечан	ине. Схемы передач см. в табл. 6.2.

где V_g — объем вращающихся относительно водила частей узла сателлита, мм³; ρ_m — плотность материала, кг/мм³ (для стального сателлита и подшинника качения $\rho_m = 7.8 \cdot 10^{-6}$ кг/мм³); n_h — частота вращения водила, мин⁻¹; r_h — радиус расположения центра тяжести сателлита относительно основной оси планетарной передачи, мм (для передач A, B, C, 3k $r_h = a_w$).

В передачах A, B с цилиндрическими колесами F_u вызывает увеличение нагрузки на радиальные опоры сателлитов или осевые опоры конических сателлитов в передачах E. В передачах C и 3k возможна определенная разгрузка радиальных опор сателлитов, поскольку центробежная сила и радиальные силы, действующие на сателлит со стороны централь-

Таблица 6.5 пач (колеса прамозубые)		Окружные силы	$F_t = \frac{2T_a\Omega}{n_h(d_n)_a} = \frac{2T_b\Omega}{n_h(d_h)_b};$ $(F_t)_a = (F_t)_b \text{ при } x_a + x_a = x_b - x_g$	$(F_{l})_{a} = \frac{2T_{a}\Omega}{n_{w}(d_{w})_{a}};$ $(F_{l})_{b} = \frac{2T_{b}\Omega}{n_{w}(d_{w})_{b}};$	$(F_l)_b = \frac{2T_b}{(d_w)_b}$; $(F_l)_c = \frac{2T_c}{(d_w)_c}$ upu $n_w = 1$	$(F_{I})_{a} = \frac{2T_{a}\Omega_{a}}{n_{b}(d_{a})_{a}};$ $(F_{I})_{b} = \frac{2T_{b}\Omega_{b}}{n_{b}(d_{a})_{b}};$ $(F_{I})_{c} = \frac{2T_{b}\Omega_{b}}{n_{b}(d_{a})_{c}};$
на опоры сателлитов планетарных перед	Реакции на опоры сателлита в плоскости	вертикальной горизоптальной	16.50 - (5.78) Rex 4.27.8	Rig (Fr)a (Fr)b Rig Pick (Fr)a (Fr)b	Rey (F) 6 (F;)e Rex (F,)e (F,)e	Riy [16,36-16,34] Rix A [16,34-16,36]
Расчетные схемы для определения реакций на опоры сателлитов планетарных передач (колеса прамозубые)	Схема сателлита и силы в зацеплениях	с центральными колесами	$\begin{array}{c c} x & y & y & y \\ \hline x & y & y & y \\ \hline x & y & y & y \\ \hline x & y & y & y \\ \hline x & y & y & y \\ \hline x & y & y & y \\ \hline x & y & y & y \\ \hline x & y & y & y \\ \hline x & y & y & y \\ \hline x & y & y & y \\ \hline x & y & y & y \\ \hline x & y & y & y \\ \hline x & y & y & y \\ \hline x & y & y & y \\ \hline x & y & y & y \\ \hline x & y & y & y \\ \hline x & y & y & y \\ \hline x & y & y & y \\ \hline x & y & y & y \\ x$	$\begin{pmatrix} F_r \rangle_b & b & \begin{pmatrix} F_t \rangle_b \\ \begin{pmatrix} F_r \rangle_b & b \\ \begin{pmatrix} F_r \rangle_b \end{pmatrix} \end{pmatrix}$		(Fr)b (Fr)e (File
	Обозначение	передачи	*	a	C	$3k \operatorname{npg}_{(d_a)_b} > (d_a)_c$

ных колес с внутренними зубьями, направлены в противоположные стороны.

При проектировочном расчете передач А, когда масса сателлита неизвестна, можно воспользоваться зависимостью

$$F_{\rm n} = 8,55 \cdot 10^{-11} \, (d)_g^2 \, b n_h^2 a_w \lambda_0, \tag{6.6}$$

где $(d)_{\theta}$, b — делительный диаметр и ширина обода сателлита, мм; λ_0 — коэффициент, равный отношению массы сателлита и вращающихся относительно водила частей его опор к массе сплошного стального цилиндра с диаметром $(d)_{\theta}$ и высотой b. Принимают $\lambda_0 \approx 0.5 \div 0.7$ при размещении подшипников качения внутри обода сателлита и $\lambda_0 \approx 1.1 \div 1.3$, если подшипники сателлитов установлены в отверстиях щек водила.

Силы, действующие на опоры основных звеньев, определяются силами в зацеплениях для центральных колес или в опорах сателлитов для водила. Кроме того, на основные звенья, соединенные с внешними валами планетарной передачи, дополнительно действуют реакции (поперечные силы или изгибающие моменты) со стороны соединительных муфт двигателя и исполнительного механизма, как отмечено в гл. 13.

При числе сателлитов $n_w \ge 2$ опоры *i*-го центрального колеса воспринимают силу, определяемую по формуле

$$F_{\text{orf}\,i} = \frac{2T_i (\Omega - 1) \,\mathrm{v}}{(d_w)_i \cos{(\alpha_w)_i (n_w - 1)}},\tag{6.7}$$

где v — коэффициент, учитывающий влияние сочетания погрешностей изготовления и монтажа. При самом неблагоприятном сочетании погрешностей, вероятность которого равна нулю, v=1. В практических расчетах рекомендуют принять v=0.8.

Опоры водила передач A, B, 3k при $n_w \geqslant 2$ воспринимают силу, рассчитываемую по формуле

$$F_{\text{on}h} = \frac{2T_h(\Omega - 1)\nu}{a_w(n_w - 1)}.$$
 (6.8)

При значениях коэффициента $\Omega \leqslant 1,2$ силы $F_{\text{on}\,t}$ и $F_{\text{on}\,t}$ малы и их влиянием можно пренебречь.

§ 6.5. Распределение нагрузки между сателлитами

Мощность в планстарных передачах от ведущего вала к ведомому передастся несколькими параллельными потоками, число которых равно числу сателлитов n_w . Благодаря использованию эффекта многопоточности и применению внутреннего зацепления, масса и габаритные размеры планетарных передач меньше, чем у рядных. Это достоинство реализуется при обсспечении достаточно равномерного распределения нагрузки между сателлитами, характеризуемого коэффициентом неравномерности

$$\Omega = F_{n \text{ max}}/F_{nn}$$

где $F_{n \max}$ — нормальная сила наиболее загруженного сателлита; F_{nm} — нормальная сила в зацеплении одного сателлита, найденная в предположении равномерного распределения нагрузки между сателлитами.

Распределение нагрузки между сателлитами рассмотрим в простейних предположениях, но без ущерба для выявления конструктивных мер, направленных к снижению величин Ω .

Имеем передачу A с неподвижными основными звеньями b и h. Полагаем, что деформациями опор центрального колеса a можно пренебречь, а при приложении незначительного момента к этому колесу (вызывающего пренебрежимо малые деформации) зазоры выбираются только в зацеплении с одним из сателлитов, а в остальных (n_w-1) сателлитах имеют место зазоры $\Delta_1, \Delta_2, \ldots, \Delta_{n_w-1}$. Полагаем далее, что при приложении

к центральному колесу момента $T_a = 0.5 \, (d_b)_a \sum_{i=1}^{n_w} F_{ni}$ (где $(d_b)_a$ — диаметр

основной окружности; $\sum_{i=1}^{n_w} F_{ni}$ — сумма нормальных сил в зацеплениях с

 n_w сателлитами) колесо a за счет деформаций зубьев, опор сателлитов и других элементов поворачивается на некоторый угол, которому соответствует перемещение по дуге окружности $(d_b)_a$, равное δ_b . При этом величина $F_{n\max} = C\delta_b$, где $C = F_{ni}/(\delta_b - \Delta_i)$ — коэффициент жесткости. В результате находим, что

$$\Omega = \frac{F_{n \max}}{F_{nm}} = \frac{C\delta_b}{\sum_{i=1}^{n_w} F_n/n_w} = 1 + \frac{C}{\sum_{i=1}^{n_w} F_n} \sum_{i=1}^{n_w-1} \Delta_i.$$
 (6.9)

С приближением Ω к единице уменьшается величина $F_{n \max}$ по которой выполняется расчет на прочность и, следовательно, снижаются габаритные $\binom{n_w-1}{n_w-1}$

размеры и масса передачи. Величина $\sum_{i=1}^{n_w-1} \Delta_i = 0$ достижима в так назы-

ваемом статически определимом планетарном механизме. Однако конструкция такого механизма рациональна только в том случае, если $n_w=3$. При этом центральное колесо не должно иметь радиальных опор для возможности самоустанавливаемости, обеспечиваемой силами в зацеплениях с тремя сателлитами. Основное звено без радиальных опор называется плавающим. На рис. 6.5 показано плавающее центральное колесо a, крутящий момент к которому подводится с помощью соединительной двойной шарнирной муфты, допускающей смещение оси для обеспечения силового замыкания в зацеплении с тремя сателлитами. При равномерном размещении сателлитов по окружности их центров, пренебрегая силами трения и действием реактивного момента со стороны соединительных муфт, можно принять $F_{n1}=F_{n2}=F_{n3}$.

Плавающим может быть любое из трех основных звеньев или одновременно два из них. При $n_w > 3$ применение плавающих звеньев также уменьшает величину Ω , однако в существенно меньшей степени, чем при $n_w = 3$. Дальнейшее снижение величины Ω при $n_w > 3$ достигается, в частности, за счет повышения точности изготовления. При очень высоких точностях в высоконагруженных передачах (при больших величинах

 $\sum_{i=1}^{n_{W}} F_{n}$, значение которых растет с увеличением передаваемого момента

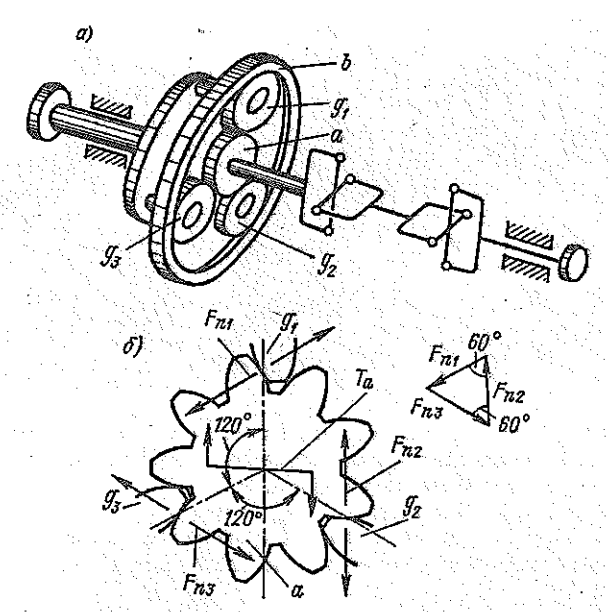


Рис. 6.5. Планетарная передача *А* с плавающим пентральным колесом *a* (*a*) и система сил в зацеплении центрального колеса с сателлитами (*б*)

и допускаемых напряжений) величина Ω может быть близка к единице при отсутствии плавающих основных звеньев, существенно усложняющих конструкцию передачи. Другой эффективной мерой выравнивания нагрузки между сателлитами при $n_w > 3$ является снижение величины C [см. формулу (6.9)]. С этой целью, как рекомендовано в работе [42], можно применить оси сателлитов с высокой податливостью. Одним из наиболее рациональных приемов является использование у центрального колеса b обода с высокой податливостью.

На рис. 6.6, а схематично показана планетарная передача, у которой из-за погрешностей изготовления вместо $n_w = 4$ сателлитов временно находятся в зацеплении $n'_{w} = 2$ диаметрально противоположных сателлита. Деформация колеса b происходит под действием сил F'_{n1} , F'_{n3} , превышающих среднюю нормальную силу $(F_n)_m$, которая бы действовала при равномерном распределении нагрузки между $n_w = 4$ сателлитами. При дальнейшем увеличении передаваемой нагрузки деформация центрального колеса ь (во много раз превосходящая перемещения, вызванные деформациями зубьев и опор сателлитов) компенсирует погрешности в зацеплении сателлитов g_2 и g_4 . В итоге (рис. 6.6, 6) в зацеплении будут находиться все сателлиты, воспринимающие соответственно силы F_{n1} , F_{n2} , F_{n3} , F_{n4} . Показанный на рис. 6.5 вариант передачи момента к плавающему основному звену посредством шарнирных муфт возможен, но обычно нецелесообразен из-за их больших осевых и диаметральных размеров. Наибольщее распространение для этой цели получили двойные зубчатые муфты (см. гл. 13), представленные схематично на рис. 6.7, а, где с помощью зубчатых муфт предусмотрена возможность плавания обоих центральных

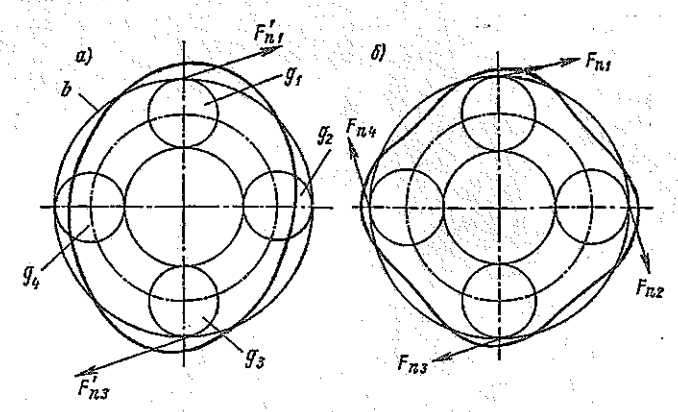


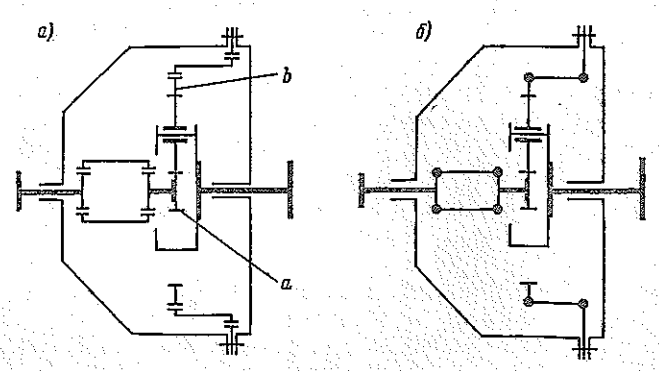
Рис. 6.6. Использование центрального колеса b с ободом высокой податливости для выравнивания нагрузки между сателлитами при $n_{\psi} > 3$

колес *а* и *b*. Та же передача на рис, 6.7, *б* представлена в более упрощенном виде, используемом в дальнейшем для изображения компоновочных схем (см. § 14.2).

График для определения ориентировочных значений коэффициента Ω для планетарных передач A с известными диаметрами зубчатых колес при числе сателлитов $n_w \geqslant 3$ и степени точности зубчатых колес $n_{\rm cr,\, r} = 5 \div 8$ представлен на рис. 6.8 в зависимости от параметра

$$Q = \frac{n_w b_w (d_w)_a / (n_{\text{cr. }r} - 3) [1 + 0.01 p (d_w)_a]}{10 T_a}, \tag{6.10}$$

где n_w — число сателлитов; b_w — ширина зубчатого венца, мм; $(d_w)_a$ — делительный диаметр центрального колеса a, мм; $p=z_b/z_a$ — параметр планетарной передачи A; T_a — расчетный крутящий момент по § 2.3, $H \cdot M$.



Рис, 6.7. Схематическое изображение двойных зубчатых соединительных муфт, применяемых для передачи крутящего момента к плавающим звеньям (центральным колесам a и b передачи A)

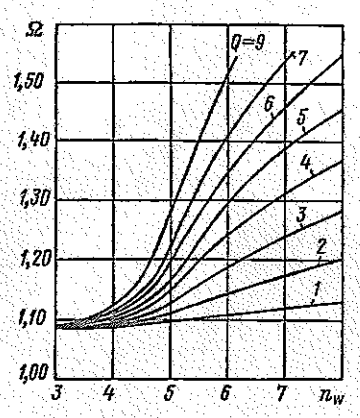


Рис. 6.8. Коэффициент неравномерности распределения нагрузки между сателлитами Ω для планетарных передач A с плавающим центральным колесом a и центральным колесом b с податливым ободом

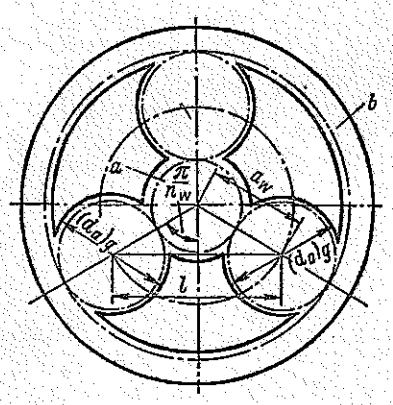


Рис. 6.9. Условие соседства сателлитов планетарной передачи А

Формула (6.10) и график, изображенный на рис. 6.8, получены для передач с одним плавающим звеном при $n_w=3$, а при $n_w>3$ для передач с двумя плавающими звеньями, из которых одно — центральное колесо b с податливым ободом. Ощибка межосевого расстояния и расстояния между соседними сателлитами в передаче с $(d_w)_b=250\div1000$ мм принята $\Delta=70\div120$ мкм при $n_{\rm cr.\,\tau}=5\div6$.

§ 6.6. Условия сборки

В механизмах A, B и 3k для обеспечения зазора между сателлитами (рис. 6.9) необходимо выполнить условие соседства

$$(d_a)_g < l = 2a_w \sin{(\pi/n_w)}.$$
 (6.11)

Для предупреждения значительных потерь на вентиляцию и барботаж принимают $l-(d_a)_g\geqslant 0.5m$.

Оси зубчатых колес зацеплений a-g, b-g, b-f, e-f и др. (см. рис. 6.1, 6.2) совпадают, и поэтому должны выполняться следующие условия соосности:

в передаче
$$A$$
 и B $(a_w)_a = (a_w)_b$;
в передаче C $(a_w)_b = (a_w)_c$;
в передаче $3k$ $(a_w)_a = (a_w)_b = (a_w)_c$.

В табл. 6.6 условия соосности выражены через числа зубьев и модули. При $n_w > 1$ для возможности сборки передач необходимо выполнить условие $\frac{1}{z_b + z_d} / n_w = \text{число целое.}$ (6.13)

¹ Условие по формуле (6.13) необходимо выполнить также и для зацеплений колес a-g, b-g в передачах 3k.

Обозна- чение меха- низма	При равенстве углов за- цепления в полюсах <i>a-g</i> и <i>b-g</i> или <i>a-g</i> и <i>b-f</i> или <i>a-f</i> ; <i>b-g</i> и <i>c-f</i>	При неравенстве углов заценления в полюсах $a-g$ и $b-g$; или $a-g$ и $b-f$; или $a-g$; $b-g$ и $e-f$
A	$z_a + 2z_g = z_b$	$\frac{z_a + z_g}{\cos(\alpha_{tw})_a} = \frac{z_b - z_g}{\cos(\alpha_{tw})_b}$
В	$z_a + z_g = z_b - z_f$	$\frac{z_a + z_g}{\cos(\alpha_{tw})_a} = \frac{z_b - z_f}{\cos(\alpha_{tw})_b}$
С	$z_b - z_f = z_c - z_g$	$\frac{z_b - z_f}{\cos(\alpha_{tw})_b} = \frac{z_c - z_g}{\cos(\alpha_{tw})_c}$
3 <i>k</i>	$z_a + 2z_g = z_b;$ $z_b - z_g = z_c - z_f$	$\frac{z_a + z_g}{\cos(\alpha_{tw})_a} = \frac{z_b - z_g}{\cos(\alpha_{tw})_b} = \frac{z_e - z_f}{\cos(\alpha_{tw})_e}$

Примечание. В таблице приведены формулы для передач с прямозубыми колесами и с равными модулями во всех полюсах зацепления.

В передачах с двухвенцовыми сателлитами B, 3k для упрощения сборкі обычно назначают числа зубьев, центральных колес, кратными n_w . В этох случае при нарезании зубьев всех сателлитов данной передачи с помощьк специального приспособления совмещают плоскости симметрии двуз зубьев (или впадин), принадлежащих соответственно венцам f и (рис. 6.10). Соответственно на центральных колесах отмечают впадинь (или зубья), расположенные под углом $2\pi/n_w$ для последующей сборкі по меткам 1, 2.

Имеется и другая возможность сборки передач с двухвенцовыми са теллитами при произвольно назначенных числах зубьев: сателлиты выпол няют с регулируемым взаимным угловым положением венцов f и g. Однак конструкция сателлита в этом случае усложняется.

§ 6.7. Подбор чисел зубьев

Подбор чисел зубьев производят с учетом заданного передаточног числа редуктора (с определенной степенью приближения) и требовани к прочности на изгиб зубьев. Задача облегчается благодаря тому, чт одинаковые или близкие по значению передаточные отношения могу быть получены при различных сочетаниях чисел зубьев. В быстроходны передачах при $v > 50~{\rm M\cdot c^{-1}}$ избегают иметь общие множители у чисе зубьев сцепляющихся колес, а также кратность чисел зубьев центральны колес и $n_{\rm w}$.

Ниже даны указания к подбору чисел зубьев некоторых наиболе распространенных типов планетарных передач.

Передачи по схеме 2k-h типа A. По заданному передаточному числ редуктора определяют необходимую величину $p=-i^h_{ab}$. Задают числ зубьев центрального колеса z_a или определяют его максимально допуст

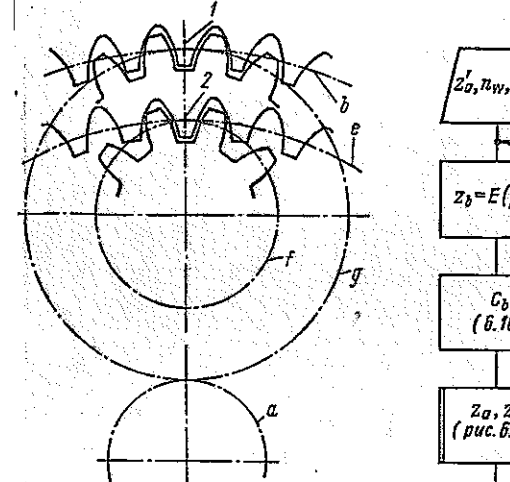


Рис. 6.10. Метки на центральных пубчатых колесах b и e передачи 3k для правильной сборки

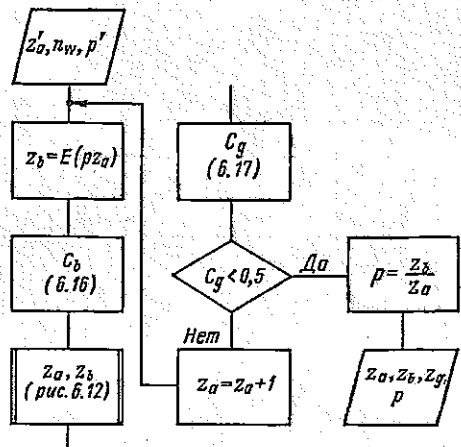


Рис. 6.11. Схема алгоритма подбора чисел зубьев планетарной передачи A: Условие соосности удовлетворяется при равенстве суммарных коэффициентов смещения $(x_2)_{c_2} = (x_3)_{c_3} = 0$

мую величину, лимитируемую прочностью зубьев на изгиб [см. формулу (2.98)]. Вычисляют орнентировочное значение числа зубьев центральюго колеса $b: z_b \approx z_a p$. Исходя из условия соосности (6.12) находят одно в возможных чисел зубьев сателлита

$$z_g = 0.5 (z_b - z_a) + 9. ag{6.14}$$

величина 9 может принимать значения, равные 0; \pm 0,5; \pm 1, при одном 3 которых удовлетворяется условие (6.14). По величине 9 подбирают оэффициенты смещения зубчатых колес (см. § 2.1). В частности, при 9 = 0 праведливо соотношение коэффициентов смещения $x_b - x_a = x_a + x_a$.

Схема алгоритма подбора чисел зубьев планетарной передачи A при $_{w}=3\div6$ и $(x_{\Sigma})_{aa}=(x_{d})_{ba}=0$ дана на рис. 6.11, 6.12.

При подборе чисел зубьев планетарной передачи A известно: начальое значение параметра p', зависящее от требуемого передаточного числа; число сателлитов n_w , удовлетворяющее условию соседства по форуле (6.11); максимальное число зубьев $z_{1 \text{ max}}$ шестерни (исходя из расчета в прочность). С помощью табл. 6.10 можно найти предварительное начение числа зубьев z'_a центрального колеса a и центрального колеса b:

$$z_b' = E(p'z_a'),$$
 (6.15)

це E — обозначает целую часть выражения в скобках. Для удобства эдбора чисел зубьев можно ввести вспомогательные функции C_b , C_g . Функция

 $C_b = \frac{z_b' + z_a'}{n_w} - E\left(\frac{z_b' + z_a'}{n_w}\right) \tag{6.16}$

іращается в нуль при удовлетворении условия (6.13). Если это условие обеспечено, то C_b может принимать (n_w-1) численное значение,

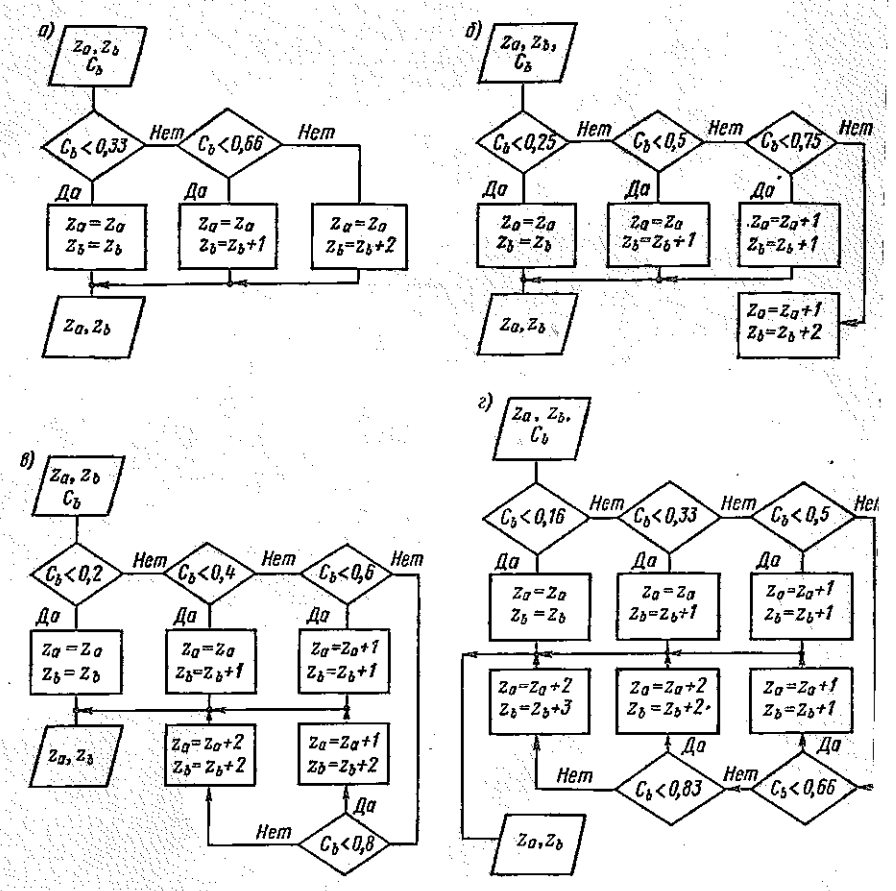


Рис. 6.12. Схема алгоритма подбора чисел зубьев центральных колес z_{σ} передачи A из условия сборки при числе сателлитов: $a-n_{w}=3$; $\delta-n_{w}=6$

зависящее от n_w . Например, при $n_w=3$ возможны значения C_b , равнь 0,3 (3); 0,6 (6). Принимая увеличенные значения чисел зубьев (при сохр нении ранее найденного модуля зацепления): $z_a''=z_a'+k_a$ или $z_b''=z_b'+k$ где $k_a=1,\ 2,\ \ldots,\ k_b=1,\ 2,\ \ldots,$ можно найти сочетания чисел зубьев z_b , при которых $C_b=0$.

 $C_g = rac{z_b'' - z_a''}{2} - E\left(rac{z_b'' - z_a''}{2}
ight)$ (6.1)

обращается в нуль при удовлетворении условия (6.12) в частном случ равенства коэффициентов $(x_{\Sigma})_{ag} = (x_d)_{bg} = 0$. О том, что условие (6.1 в указанном частном случае не обеспечено, свидетельствует результ $C_g = 0.5$. При сохранении равенства $(x_{\Sigma})_{ag} = (x_d)_{bg} = 0$ следует приня $z_a''' = z_a'' + 1$ и повторить процедуру подбора чисел зубьев до тех по пока не будет достигнуто одновременно $C_b = C_a = 0$. Иная возможнос

когда условие (6.12) обеспечивается путем подбора значений $(x_{\Sigma})_{ag} \neq (x_d)_{bg} \neq 0$, рассмотрена в работе [42].

В заключение следует найти уточненное значение $p = z_b/z_a$ и оценить допустимость отклонения фактического числа i = f(p) от заданного i'.

Передачи 3k. Для передач с $n_w = 3$ и кратными n_w числами зубьев центральных колес z_a , z_b , z_e по заданному передаточному числу i_{ae}^b (при невращающемся колесе b) можно подобрать значения чисел зубьев с помощью табл. 6.7. Та же таблица может быть использована для подбора чисел зубьев передач 3k с невращающимся центральным колесом e, если учесть зависимость $i_{ab}^e = 1 - i_{ae}^b$.

Для вариантов значений i_{ae}^b , отмеченных в табл. 6.7 звездочкой, сочетания чисед зубьев удовлетворяют равенству

$$(a)_a = (a)_b = (a)_e.$$
 (6.18)

В остальных случаях удовлетворено лишь равенство

$$(a)_b = (a)_{et}$$
 (6.19)

при этом имеются неравенства:

$$z_a + z_g < z_b - z_g; \quad (a)_a < (a)_b,$$
 (6.19a)

или

$$z_a + z_g > z_b - z_g; \quad (a)_a > (a)_b.$$
 (6.195)

Для варианта (6.19а) допускается принимать межосевое расстояние $a_w = (a)_b = (a)_e$. Поскольку $(a)_a < a_w$, то зацепление a-g должно выполняться с коэффициентами смещения $x_a + x_g > 0$. Для варианта (6.19б) рекомендуют ориентировочное соотношение: $a_w \approx (a)_a - (0.2 \div 0.4) \left[(a)_a - (a)_b \right]$. Поскольку $(a)_a > a_w$, то $x_a + x_g < 0$.

При оценке относительной целесообразности вариантов сочетаний чисел зубьев по зависимостям (6.18), (6.19), обеспечивающих передаточное число редуктора, близкое к заданному, необходимо сравнить прочность зубчатых колес на изгиб как с внешними, так и с внутренними зубьями с учетом конкретных значений коэффициентов смещения.

Подбор чисел зубьев для передач 3k с одновенновым сателлитом, а также планетарных передач 2k-h других типов, не рассмотренных в данном параграфе, можно произвести по указаниям, данным в работе [42].

§ 6.8. Коэффициент полезного действия

Величину η планетарных передач выражают через коэффициент потерь ψ^h передачи, полученной в результате остановки водила ($\omega_h = 0$). Вид функции $\eta = f(\psi^h)$ определяется конкретной кинематической схемой. Коэффициент потерь ψ^h равен сумме коэффициентов потерь в i зацеплениях ψ^h_i и j опорах ψ^h_i :

$$\psi^{h} = \sum_{i} \psi^{h}_{si} + \sum_{i} \psi^{h}_{rij}, \tag{6.20}$$

причем число членов суммирования i и j определяют по нижеследующим правилам.

Таблица 6.7 Числа зубьев планетарной передачи 3k (при исподвижном центральном колесе b) для обеспечения передаточного числа i_{ac}^{b}

1 ,6		Чн	сло зуб	ьев		jb.		Чи	сло зуб	ьев	
'ac	z _a	ъ	z _e	zg	z_f	'ae	z _a	z_b	Ξe.	z_g	zj
35,00 35,00* 35,00* 35,10* 35,10* 35,10* 35,20* 35,28* 35,28* 35,36* 35,40 35,71* 36,00* 36,00* 36,00* 36,00* 36,73 36,96 37,46 38,72 38,90 38,91 39,06 39,28 39,56 39,76 40,00* 40,00* 40,00* 40,00* 40,00* 40,60* 40,50* 40,50* 40,50* 40,50* 40,50* 40,50* 40,50* 40,50* 40,50* 40,6	99 12 18 15 15 15 18 21 18 18 18 18 18 18 18 18 18 18 18 18 18				11 15 21 30 20 27 24 33 22 24 27 18 31 34 328 35 32 25 28 35 25 28 35 26 32 20 17 24 33 26 32 20 17	41,60* 41,70 41,72 41,84 41,89* 42,17* 42,43* 42,45 42,62 42,63 43,16 43,42 43,98 44,07 44,33* 44,38 44,70 44,85 44,90 45,00* 45,00* 45,03* 45,33* 45,33* 45,33* 45,33* 45,33* 46,04 46,45 47,09 47,67* 48,22* 48,40 48,53* 48,57* 49,07 49,28 49,71* 49,87 50,00* 50,40* 50,52	15 21 12 18 18 12 11 15 18 15 11 15 11 18 11 15 11 18 11 11 11 11 11 11 11 11 11 11 11		<u>-</u> -		27 27 37 20 34 30 24 27 16 25 31 32 38 35 28 31 18 32 24 25 26 15 21 28 13 18 36 32 27 27 28 29 29 20 30 20 31 31 31 31 31 31 31 31 31 31 31 31 31
	3 1 A 3 1 4 1										

50,55 1 51,00* 1 51,09 1 51,38 1 51,76 1 52,47 2 52,47 2 52,61 2 52,76 53,00 1 53,32 1 54,18 2 54,73 2 54,86* 2 55,00* 1 55,00* 1 56,00* 1 56,00* 57,15 2 57,48 1 57,57* 2 57,57* 2 57,57* 2 57,57* 2 59,05 1 59,05 1 59,06 1 60,42 60,46 61,48 61,40 61,71* 2	21 1 15 1 15 1 12 18 1 15 21 1 18 1 15 2 1 1 15 2 1 1 1 1 1 1 2 1	z _b 05 14 20 96 69 63 78 96 05 14 60 87	2e 96 105 108 87 63 60 72 90 96 105 54	z _g 43 46 51 40 29 23 32 37 44	34 37 39 31 23 20 26 31	65,00* 65,06 65,31 66,00* 66,00 66,00* 67,16	18 12 9 12 21 21	26 96 57 66 78 78 105	90 54 60 72 75 99	39 22 29 33 28	33 19 23 27 25 36
50,73 2 51,00* 1 51,09 1 51,38 1 51,76 1 52,41 2 52,57 1 52,57 1 52,61 2 52,76 53,32 1 54,18 2 54,73 2 54,73 2 54,86* 2 55,00* 1 55,00* 1 56,00* 1 57,00* 1 57,15 2 57,48 1 57,57 2 57,57 2 57,48 1 59,05 1 60,46 61,28 61,40 61,71* 2	21 1 15 1 15 1 12 18 1 15 21 1 18 1 15 2 1 1 15 2 1 1 1 1 1 1 2 1	14 20 96 69 63 78 96 05 14 60 87	105 108 87 63 60 72 90 96 105	46 51 40 29 23 32 37 44	37 39 31 23 20 26 31	65,06 65,31 66,00* 66,00 66,00* 67,16	12 9 12 21 21	57 66 78 78 105	54 60 72 75	22 29 33 28	19 23 27
51,00* 1 51,09 1 51,09 1 51,38 1 51,75 1 51,76 1 52,41 2 52,57 1 52,61 2 52,57 1 52,61 2 52,76 53,00 1 54,18 2 54,20 1 54,73 2 54,86* 2 55,00* 1 55	21 1 15 1 15 1 12 18 1 15 21 1 18 1 15 2 1 1 15 2 1 1 1 1 1 1 2 1	14 20 96 69 63 78 96 05 14 60 87	108 87 63 60 72 90 96 105	51 40 29 23 32 37 44	39 31 23 20 26 31	65,06 65,31 66,00* 66,00 66,00* 67,16	12 9 12 21 21	57 66 78 78 105	54 60 72 75	22 29 33 28	19 23 27
51,09 51,38 51,75 51,76 51,76 11 551,76 12 552,41 12 52,57 52,61 12 52,57 53,00 12 55,00* 13 55,00* 15 55,00* 15 55,00* 15 55,00* 15 55,00* 15 55,00* 15 55,00* 15 55,00* 15 55,00* 15 55,00* 15 55,00* 11 55,00* 11 55,00* 11 55,00* 12 55,00* 13 55,00* 14 15 15 15 15 15 15 15 15 15 15 15 15 15	18 1 15 12 18 15 18 1 18 1 1 18 1 1 1 1 1 1 1 1 1	20 96 69 63 78 96 05 14 60 87	87 63 60 72 90 96 105	51 40 29 23 32 37 44	31 23 20 26 31	65,31 66,00* 66,00 66,00* 67,16	9 12 21 21	66 78 78 105	60 72 75	29 33 28	23 27
51,09	15 12 18 15 21 18 11 18 11 18 11 18 15 21 18 15 21 18 15 21 18 15 21 18 15 21 18 15 21 18 18 18 21 21 21 21 21 21 21 21 21 21 21 21 21	96 69 63 78 96 05 14 60 87	87 63 60 72 90 96 105	29 23 32 37 44	23 20 26 31	66,00* 66,00 66,00* 67,16	12 21 21	78 105	75	33 28	27 25
51,75 1 51,76 1 52,41 2 52,56 1 52,56 1 52,56 1 55,00 1 55,00 1 55,00 1 55,00 1 55,00 1 55,00 1 55,00 1 55,00 1 55,00 1 55,00 1 55,00 1 56,00	18 15 21 18 1 1 9 18 15 21 12 21	63 78 96 05 14 60 87	60 72 90 96 105	29 23 32 37 44	20 26 31	66,00 66,00* 67,16	21	105			25
51,76 52,41 52,57 11 52,51 52,57 53,00 15 53,32 11 54,18 25 54,73 54,86* 55,00* 15 55,00* 15 55,00* 15 55,00* 15 55,00* 15 55,00* 15 55,00* 11 55,	15 21 18 1 21 1 9 18 15 21 12 21	78 96 05 14 60 87	72 90 96 105	23 32 37 44	26 31	66,00* 67,16	21	105	99	ا ۔۔ ا	
52,41	21 18 1 21 1 9 18 15 21 12 21	96 05 14 60 87 96	90 96 105	37 44	31	67.16				42	- 36
52,41	18 1 9 18 15 21 12 21	05 14 60 87 96	96 105	44			18	117	108	50	41
52,57 1 52,61 2 52,61 2 53,30 1 53,32 1 54,18 2 54,20 1 54,73 2 54,86* 2 55,00* 1 56,00* 1 56,00*	21 1 9 18 15 21 12 21	14 60 87 96	105			67,86	9	48	45	20	1
52,76 53,00 1 53,32 1 54,38 2 54,20 1 54,73 2 54,86* 2 55,00* 1 55	9 18 15 21 12 21	60 87 96	105		35	68,30	18	99	93	40	34
53,00 1 53,32 1 54,18 2 54,18 2 54,73 1 54,73 1 55,00* 1 55,00* 1 55,00* 1 55,00* 1 56,00* 1 56,00* 1 57,15 2 57,57* 2 57,57* 2 58,74 1 59,08 1	18 15 21 12 21	87 96	54 I	47	38	68,41	15	90	84	37	3
53,32	15 21 12 21	96		26	20	69,00*	18	72	69	27	24
54,18 2 54,20 1 54,73 2 55,4,86* 2 55,00* 1 55,00* 1 55,00* 1 56,00* 1 56,00* 1 56,00* 1 56,00* 1 56,00* 1 57,00* 2 57,48 1 57,57,57* 2 57,48 1 57,57,57* 2 58,34 1 58,74 1 58,74 1 59,05 1 59,05 1 59,05 1 59,05 1 59,05 1 60,42 1 60,42 1 60,46 61,28 1 61,40 61,71* 2	21 12 21		81	35	29	69,09	21	108	102	43	3
54,20	12 21		87	41	32	69,15	15	66	63	25	22
54,73	21	72	69	25	22	69,75	21	78	75	29	20
54,86* 255,00* 1 555,00* 1 555,00* 1 555,00* 1 556,00* 1 566,00* 1 566,00* 1 577,00* 1 577,57* 2 577,57* 2 577,57* 2 575,57* 2 575,57* 2 575,57* 2 575,57* 2 575,57* 2 60,42 1 60,42 1 60,42 1 60,42 1 60,42 1 61,40 61,71* 2		51	48	20	17	69,89*	18	120	111	51	42
55,00* 1 55,00* 1 55,00* 1 55,00* 1 556,00* 1 566,00* 1 566,00* 1 57,00* 2 57,00* 2 57,70* 2 57,57* 2 57,57* 2 58,34 1 58,74 1 58,74 1 58,74 1 58,74 1 58,74 1 58,74 1 58,74 1 58,74 1 58,74 1 58,74 1 58,74 1 68,74 1		96	90	38	32	70,01	12	57	54	23	20
55,00		17	108	48	39	70,08	12	81	75	34	28
55,00* 1 55,00* 1 55,00* 1 56,00* 1 56,00* 1 56,00* 1 57,00* 57,15 2 57,15 2 57,57* 2 57,57* 2 58,34 1 58,74 1 58,74 1 58,74 1 59,05 1 59,05 1 59,05 1 60,46 2 60,46 2 60,46 2 60,46 1 61,28 1 61,40 61,71* 2		72	66	30	24	71,22	18	99	93	41	3
55,00* 1 56,00* 1 56,00* 1 56,00* 1 56,00* 1 57,00* 1 57,15 2 57,15 2 57,48 1 57,57* 2 57,57* 2 58,34 1 58,74 1 58,74 1 58,74 1 58,74 1 59,05 1 59,05 1 59,05 1 60,42 1 60,42 1 60,42 1 60,42 1 61,28 1 61,40 1 61,71* 2		60	57	22	19	71,61	15	90	84	38	3.
56,00* 56,00* 1 56,00* 1 56,00* 1 57,00* 57,15 2 57,18 2 57,57* 2 57,57* 2 58,34 1 58,74 1 58,74 1 58,74 1 59,05 1 59,08 1 59,08 1 59,08 1 59,08 1 60,42 1 60,42 1 60,42 1 60,42 1 61,14 1 61,14 1 61,40 61,71* 2		81	75	33	27	71.79	21	108	102	44	30
56,00* 1 56,00* 1 56,00* 1 57,00* 1 57,15 2 57,15 2 57,57* 2 57,57* 2 58,74 1 58,74 1 58,74 1 58,74 1 59,05 1 59,05 1 59,05 1 59,05 1 59,65 1 60,42 1 60,42 1 60,46 2 60,46 2 61,28 1 61,28 1 61,28 1		08	99	45	36	73,71	12	81	75	35	2º 2.
56,00* I 56,00* I 57,00* I 58,74 I 68,74 I 61,14 I 61,28 I 61,40 61,71* 2		45	42	18	15	73,71	15	66	63	26	1 2
56,00* 1 57,00* 57,00* 57,105 2 57,15 2 57,57 2 57,57* 2 58,34 1 58,74 1 58,74 1 59,05 1 59,05 1 59,05 1 59,65 1 60,42 1 60,46 2 60,46 2 61,14 1 61,28 1 61,40 61,71* 2		99	90	42 24	33. 21	73,87 74,28*	18 21	75	72 78	28 30	2.
57,00* 57,15 27,15 27,15 27,15 27,15 27,17 27 27,17 27 27 27 27 27 27 27 27 27 27 27 27 27		66 90	63 84	36	30	74,26	9	81 51	48	21	1
57,15 2 57,48 1 57,57 2 57,57* 2 58,74 1 58,74 1 58,74 1 59,05 1 59,08 1 59,08 1 59,08 1 59,65 1 60,42 1 60,46 2 61,44 1 61,40 61,71* 2		63	57	27	21	74,67*	18	102	96	42	3
57,48 1 57,57 2 57,57* 2 58,34 1 58,74 1 59,08 1 59,08 1 59,15 2 59,50* 1 59,65 1 60,42 1 60,42 1 61,14 1 61,28 1 61,40 61,71* 2		20	111	49	40	75,00*	21	111	105	45	3
57,57 2 57,57* 2 58,34 1 58,74 1 59,08 1 59,08 1 59,15 2 59,50* 1 59,65 1 60,42 1 60,42 1 61,14 1 61,28 1 61,40 61,71* 2		11	102	46	37	75,40*	15	93	87	39	3.
57,57* 2 58,34 1 58,74 1 58,74 1 58,74 1 58,74 1 58,74 1 59,08 1 59,08 1 59,15 2 59,50* 1 60,46 2 60,46 2 60,46 1 61,14 1 61,28 1 61,40 61,71* 2		72	69	26	23	76,00*	12	60	57	24	2
58,34 1 58,74 1 58,74 1 59,05 1 59,05 1 59,15 2 59,50* 1 59,65 1 60,42 1 60,46 2 61,44 1 61,28 1 61,40 61,71* 2		99	93	39	33	78,00*	12	84	78	36	30
58,74 1 58,74 1 59,05 1 59,08 1 59,15 2 59,50* 1 59,65 1 60,42 1 60,42 1 60,46 2 61,14 1 61,28 1 61,40 61,71* 2		84	78	34	28	78.17	18	75	72	29	2
58,74		75	69	31	25	78,20	18	105	99	43	3
59,05 1 59,08 1 59,15 2 59,50* 1 59,65 1 60,42 1 60,46 2 60,46 2 61,14 1 61,28 1 61,40 61,71* 2		02	93	43	34	78.28	21	114	108	46	40
59,08		60	57	23	20	78.95	21	84	81	31	2
59,15 2 59,50* 1 59,65 1 60,42 1 60,46 2 61,14 1 61,28 1 61,40 61,71* 2		93	87	37	31	79.17	15	96	90	40	3
59,50* 1 59,65 1 60,42 1 60,46 2 61,14 1 61,28 1 61,40 61,71* 2		20	ıii l	50	41	79.20*	15	69	66	27	2
59,65 1 60,42 1 60,46 2 61,14 1 61,28 1 61,40 61,71* 2		54	51	21	18	81,17	21	114	108	47	4
60,42 1 60,46 2 61,14 1 61,28 1 61,40 61,71* 2		ii l	102	47	38	81,33	18	105	99	44	3
60,46 2 61,14 1 61,28 1 61,40 61,71* 2		69	66	25	22	81,81	9	54	51	22	1
61,14 1 61,28 1 61,40 61,71* 2	21 1	02	96	40	34	82,24	12	63	60	25	2.
61,28 1 61,40 61,71* 2	15 1	02	93	44	35	82,74	15	96	90	41	3.
61,40 61,71* 2	15	84	78	35	29	83,08	21	84	81	32	29
61,71* 2		66	60	28	22	83,33*	18	78	75	30	2
		75	72	27	24	84,57*	21	117	111	48	4
	18	93	87	38	32	84.89	15	72	69	28	25
62,05 1		75	69	32	26	85,00	18	108	102	45	30
62,22* 1	18 1	14	105	48	39	86,80*	15	99	93	42	36
62.24		48	45	19	16	87,84	12	63	60	26	23
62,99 2		02	96	41	35	*88,00	21	87	84	33	30
64.00* 1		63	60	24	21	88,04	21	120	114	49	43
64,29 1		69	66	26	23	88,29	9	54	51	23	20
64,80* 1	15	87	81	36	30	88.66	18	81	78	31	28
64,85 1		17	108	49	40	88,76	18	111	105	46	40
				I							

_				11.0					4.34	<u> </u>		
1	i _{ae}		Чн	сло зуб	ьев	7.4	iae	1 1 2 2	Чu	сло зуб	ьев	
1	ae	z _a	z _b	z _e	Z _g	zŗ	ae	za	zb	z _e	z_g	zŗ
	89,97	15	72	69	29	26	116,00*	18	90	87	36	33
1	90,95	15	102	96	43	37	118,86*	21	99	96	39	36
1	91,12	21	120	114	50	44	120,00*	9 :	63	60	27	24
1	92,10	18	111	105	47	41	121.17	15	84	81	34	31
1	93,07	21	90	87	34	31	122,23	18	93	90	37	34
1	93,39	18	81	78	32	29	122,59	12	75	72	31	28
1	94,50*	12	66	63	27	24	124,70	21	102	99	40	37
1	94,67	15	102	96	44	38	127,28	15	84	18	35	32
1	96,00*	9	57	54	24	21	127,82	18	93	90	38	35
1	96,00*	15	75	72	30	27	128,95	9	66	63	28	25
ł	96,00*	18	114	108	48	42	129,49	12	75	72	32	29
ŀ	97,54	21	90	87	35	32	129,91	21	102	99	41	38
	99,00*	18	84	81	33	30	134,33*	18	96	93	39	36
1	100,02	18	117	111	49	43	134,40*	15	87	84	36	33
	101,41	12	69	66	28	25	136,00*	21	105	102	42	39
1	102,23	15	78	75	31	28	137,16	9	66	63	29	26
1	102,86*	21	93	90	36	33	137,50*	12	78	75	33	30
1	103,54	18	117	111	50	44	141,02	18	99	96	40	37
1	104,05	. 9	60	57	25	22	141,71	15	90	87	37	34
ı	104,78	18	87	84	34	31	142,23	21	108	105	43	40
ŀ	107,66	12	69	66	29	26	145,76	12	81	78	34	31
1	107,67*	18	120	114	51	45	147,03	18	99	96	41	38
١.	107,82	15	78	75	32	29	147,81	21	-108	105	44	41
ı	108,31	21	96	93	37	34	148,34	15	90	87	38	35
1	109,93	18	87	84	35	32	153,31	12	81	78	35	32
1	111,39	9	60	57	26	23	154,00*	18	102	99	42	39
1	113,16	21	96	93	38	35	154,28*	21	111	108	45	42
1	114,40*	15	81	78	. 33	30	156,00*	15	93	90	39	36
1	115,00*	12	72	69	30	27	160,90	21	114	111	46	43
L		3 3 4 4 6								<u> </u>		

Примечания: 1. Таблица составлена для передач с зубчатыми колесами одного модуля: $m_a=m_b=m_c$. 2. Звездочкой отмечены передачи, в которых $z_a+z_g=z_b-z_g=z_c-z_f$ и, следовательно, $(\alpha_{tw})_a=(\alpha_{tw})_b=(\alpha_{tw})_c$ и $x_a+x_g=x_b-x_g=x_c-x_f$. 3. Для всех случаев значения z_a ; z_b и z_c кратны 3 (в некоторых случаях – 2). Следовательно, таблица предназначена для передач с числом сателлитов $n_w=3$ (а иногла и $n_w=2$). 4. Для всех случаев $z_b-z_g=z_c-z_f$. Следовательно, также $(\alpha_{tw})_b=(\alpha_{tw})_c$ и $x_b-x_c=x_c-x_f$. 5. Для всех случаев $z_b>z_c$; $z_g>z_f$: $z_g>z_g$.

- 1. Разветвление потока мощности от центрального колеса на несколько сателлитов не влияет на потери в зацеплении, поэтому суммируют коэффициенты потерь только для одного потока мощности.
- 2. Для передач 2k-h в сумме $\sum_i \psi_{ii}^h$ должны быть учтены два члена (по числу центральных колес). Для передач 3k учитывают только два члена для зацеплений центральных колес с внутренними зубьями; но пренебрегают потерями в зацеплении центрального колеса с наружными зубьями. При рассмотрении конкретных кинематических схем индекс i заменяют обозначением центральных колес a, b, e. Ориентировочное значение коэффициента потерь ψ_{ij}^h рассчитывают по формуле (2.45), подставляя вместо индексов 1 и 2 индексы соответствующей пары зубчатых колес планетарной передачи.
- 3. При определении суммы $\sum_{j} \psi_{nj}^{h}$ учитывают полное число подшипников основных звеньев и сателлита. Ориентировочное значение коэффи-

циента потерь ψ_{nj}^h определяют по формуле (10.11) с учетом всех действующих нагрузок, включая центробежную для сателлита и реакции соединительных муфт на внешних валах для основных звеньев.

Примечание. В планетарных передачах с подшипниками качения при $n_w \geqslant 3$ при расчете потерь в опорах допустимо принять следующие упрощения. Если со стороны двигателя или исполнительного механизма к внешним валам не приложены существенные силы или изгибающие моменты, то пренебрегают потерями в опорах центральных колес и водила.

В передачах 2k-h при невысокой частоте вращения водила $n_h < 500 \div 800$ мин⁻¹

обычно пренебрегают потерями в опорах сателлитов.

В передачах 3k потери в опорах сателлитов можно не учитывать, еслинесколько завысить значение коэффициента трения в зацеплении до $f_3 = 0.11$, независимо от относительной окружной скорости v^b .

Эти упрощения не распространяются на планетарные передачи с $n_{\rm w}=1$ (например, по схеме C).

В табл. 6.8, 6.9 приведены формулы для определения КПД распространенных схем одно- и двухступенчатых передач. В рассмотренных замкнутых передачах нет циркуляции мощности, поэтому КПД высок. Для других схем замкнутых передач и дифференциалов КПД может быть рассчитан по общим зависимостям, рекомендованным в работе [42].

При обозначении η планетарных передач в табл. 6.8, 6.9 указаны два нижних индекса, соответствующих последовательно ведущему и ведомому (в абсолютном движении) звеньям; верхний индекс соответствует неподвижному звену. В обозначении ψ^h нижние индексы опускают, так как направление потока мощности не оказывает существенного влияния на эту величину.

В приведенных в данном параграфе формулах КПД не учтены гидравлические потери. Для уменьшения этих потерь в планетарных передачах при окружных скоростях $v > 5 \text{ м} \cdot \text{c}^{-1}$ на колесах с внутренними зубьями не рекомендуется прибегать к смазке зацеплений погружением в масляную

Таблица 6.8 Формулы для определения КПД передач A, B, C, 3k (с подшиниками качения)

Условное обозначение варианта	Величина и	Ų ^b
Al _{ha} Al _h Al _{ha} Bl _{ha}	$\eta_{ah}^{b} = \eta_{ha}^{b} = 1 - p \psi^{h}/(p+1)$ $\eta_{bh}^{a} = \eta_{bb}^{a} = 1 - \psi^{h}/(p+1)$ $\eta_{ab}^{b} = \eta_{ba}^{b} = 1 - \psi^{h}$ $\eta_{ab}^{b} = \eta_{ba}^{b} = 1 - i \eta_{ab}^{h} \psi^{h}/(i \eta_{ab}^{b} - 1)$	$\psi^h = \psi^h_{3a} + \psi^h_{3b} + \psi^h_{6}$
C_{ch}^{b}	$\eta_{he}^{b} = 1/(1+ 1-\hat{\eta}_{he}^{e} \psi^{h})$	$\Psi^h = \Psi^h_{3b} + \Psi^h_{3e} + \Psi^h_{n}$
(3k) ^b _{ea}	$\eta_{ae}^b \approx \frac{0.98}{1 + \left(\frac{i_{ae}^b}{1 + z_b/z_a} - 1\right)\psi_{cb}^h}$	$\psi_{eb}^h = \psi_{3b}^h + \psi_{3e}^h$

Примечания: 1. Схемы передач см. в табл. 6.1. 2. Для передачи (3k) $_{ca}^{b}$ при условни $z_{b}>z_{c}$.

Формулы для определения КПД передач, составленных из двух механизмов А (с подприниками качения)

Условное обозначение варианта	Ведичина п	14 M 14 M
$A_{h_1a_1}^{b_1}A_{h_2a_2}^{b_2}$	$\eta_{a_2h_1} = \eta_{a_2h_2}^{b_2} \eta_{a_1h_1} = \left(1 - \frac{p_2\psi^{h_2}}{p_2 + 1}\right) \left(1 - \frac{p_1\psi^{h_1}}{p_1 + 1}\right)$	
$A_{h_1a_1}^{b_1}A_{b_2a_2}^{h_2}$	$\eta_{a_2h_1} = \eta_{a_2h_2}^{b_2} \eta_{a_1h_1}^{h_1} = (1 - \psi^{h_2}) \left(1 - \frac{p_1 \psi^{h_1}}{p_1 + 1} \right)$	
$(AA)_{(b_1b_2)a_2}^{h_1}$	$\eta_{a_2 (b_1 b_2)} = 1 - \left[\left(1 - \frac{1}{p_1 p_2 + p_2 + 1} \right) \psi^{b_2} + \frac{p_1 p_2 \psi^{b_1}}{p_1 p_2 + p_2 + 1} \right]$	
$(AA)_{(b_1b_2)a_2}^{h_1}$	$\eta_{a_2 (b_1 b_2)} = 1 - \left[\left(1 + \frac{p_1}{p_1 p_2 + p_2 + p_1} \right) \psi^{b_2} - \frac{p_1 (p_2 + 1) \psi^{b_2}}{p_1 p_2 + p_2 + p_2} \right]$, ,
Примечание	. Схемы передач см. в табл. 6.2.	<u> </u>

ванну. В подобных случаях используется струйная циркуляционная смазка (см. гл. 19). При меньших окружных скоростях колеса с внутренними зубьями допускается погружать в масляную ванну, но не более чем на высоту зуба.

§ 6.9. Расчет геометрии зацепления и прочности планетарных передач

При расчете геометрии зацепления и прочности некоторого зацепления планетарной передачи зубчатым колесам помимо принятых буквенных обозначений (см. рис. 6.1 и табл. 6.1) присваиваются индексы 1 и 2 соответственно меньшему и большему элементу сцепляющейся пары. Так, например, при расчете зацепления a-g при $z_g \geqslant z_a$ индекс 1 закрепляется за обозначениями, относящимися к центральному колесу a, а индекс 2 относится к сателлиту g. Возможные сочетания зубчатой пары шестерня—колесо для основных типов планетарных передач представлены на рис. 6.13. Значения u и других параметров передач, выделенных из планетарных механизмов A, B и 3k, приведены в табл. 6.10. Для расчета геометрии зацепления планетарных передач в основном используются зависимости и соответствующие схемы алгоритмов из § 2.1 с учетом некоторых особенностей внутреннего зацепления, отмеченных ниже.

Значение торцового коэффициента перекрытия ε_{r} для передач внутреннего зацепления без профильной модификации, с исходным контуром инструмента по ГОСТ 13755—81 с несмещенными зубчатыми колесами при $x_1 = x_2 = 0$ определяется по формуле (2.24), в которой ε_{a1} и ε_{a2} выбирают по графику, изображенному на рис. 6.14 в зависимости от числи зубьев шестерни z_1 . Величину ε_{a2} рассчитывают по формуле

$$\varepsilon_{a2} = h_{a2}/(p_{bt} \sin \alpha_{tw}), \tag{6.21}$$

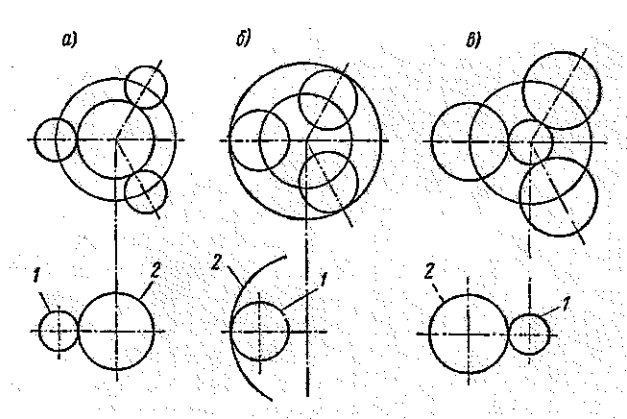


Рис. 6.13. Зацепление центральных колес с сателлитами в планетарной передаче: a — внешнее (делительный диаметр центрального колеса больше, чем сателлита); b — внутреннее; a — внешнее (делительный диаметр центрального колеса меньше, чем сателлита); a — шестврия: a — колесо

Таблица 6.10

Значения величин $d_{w1},\ d_1,\ u,\ T_{1(i)},\ N_{c1(i)},\ N_{c2(i)},\ N_{HE1},\ N_{HE2},\$ используемых при расчете зубьев механизма $A,\ B$ и 3k

Тип меха- низма	Рас- считы- ваемая пере- дача	43	d _I	$u=\frac{z_2}{z_1}$	T10	Na(i)	N _{22(d})
A*	,	$(d_w)_a$	(d) _a	npu z _g /z _a	$z_{g} \geqslant z_{a}$ $T_{a(i)}/n_{w}$	$60(n_{a(i)}-n_{h(j)})n_wt_{h(i)}$	Ne1(4)/(unw)
B 3k	a-g	$(d_w)_g$	(<i>d</i>) _g	npu Z _{al} Z _g		$N_{c2(i)}u/n_w$	$60([n_{a(i)}-n_{h(i)}])n_wt_{h(i)}$
A * 3k	b-g	$(d_w)_g$	(d)g	z _b /z _g	$T_{b(l)}/(im_w)$	$N_{c2(j)}u/n_{iv}$	$60(n_{b(i)}-n_{h(i)})n_wt_{h(i)}$
В	b-f	$(d_w)_f$	(d) _f	z _b /z _f	$T_{b(i)}/(un_w)$	$N_{c2(i)}u/n_w$	$60(n_{b(i)}-n_{h(i)} n_wt_{h(i)}$
3 <i>k</i>	e-f	$(d_w)_f$	(d) _f	z_e/z_f	$T_{c(i)}/(un_w)$	$N_{e2(i)}u/n_w$	$60(n_{ei}-n_{h(i)})n_wt_{h(i)}$

^{*} Для проектировочных расчетов передач A удобно воспользоваться соотношениями $z_g=z_a(p-1)/2=z_b(p-1)/2p$, справедливыми при суммарных коэффициентах смещения $(x\Sigma)_{ag}=(xd)_{bg}=0;\ z_g>z_a$ при p>3 и $z_g< z_a$ при p<3. Здесь величина $p=z_b/z_a$.

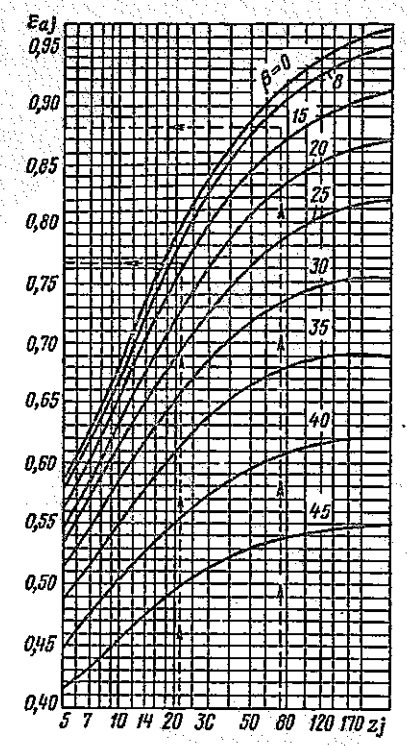


Рис. 6.14. График для определения частных коэффициентов перекрытия ε_a для передачи внутреннего зацепления с прямозубыми колесами. (Следует принять j=1 для пестерии, j=2 для колеса при $z_2 > 60$)

где $p_{bi}=2,95m$ при $\beta=0$ или определяют по графику, представленному на рис. 6.14, если число зубьев колеса $z_2>60$. При проектировочном расчете высоту головки зуба колеса можно принять $h_{a2}\leqslant m$.

В задании на расчет планетарной передачи приводят гистограмму нагружения одного из основных звеньев (рис. 6.15, a), на котором моменты и частоты вращения основного звена обозначены соответственно $T_{0.3(i)}$ и $n_{0.3(i)}$. Частоты вращения и моменты других основных звеньев определяют из соотношений, приведенных в § 6.2 и 6.3.

В качестве примера рассмотрим планетарную передачу A (см. рис. 6.1), в которой $p=z_b/z_a\geqslant 3$ и, следовательно, $z_g>z_a$. Выделяем две передачи a-g и b-g. В передаче a-g $z_1=z_a$; $d_1=(d)_a$; $d_{w1}=(d_w)_a$; $z_2=z_g$; $d_2=(d)_g$; $d_{w2}=(d_w)_g$; $u=z_2/z_1=z_g/z_a$. Пусть циклограмма нагрузок задана для центрального колеса a, т. е. $T_{0.3(i)}=T_{a(i)}$, тогда для шестерни передачи a-g (см. рис. 6.13, e) $T_{1(i)}=T_{a(i)}/n_w$. По формуле (2.50) для передачи a-g $\gamma_{w1}=n_w$; $\gamma_{w2}=1$, число циклов $N_{c1(i)}$ определяют по частоте вращения взятой относительно водила, т. е.

$$N_{c1\ (i)} = 60 (|n_{a\ (i)} - n_{h\ (i)}|) n_w t_{h\ (i)};$$

 $N_{c2\ (i)} = N_{c1\ (i)}/(n_w u).$

Формулы для расчета $N_{cj\,(i)}$ основных типов планстарных передач приведень

в табл. 6.10, в том числе и для передачи A при p < 3.

Расчет планетарных передач с прямозубыми стальными колесами выполняют по следующим формулам:

проектировочный расчет зубьев на прочность активных поверхностеі

$$d_{w1} \ge 716 \sqrt[3]{\frac{T_{H1}K_{H\Sigma}K_{Hc}(u\pm 1)}{(\psi_{bd})_1 u \left[\sigma_H\right]^2}}; \tag{6.22}$$

$$b_{w} \ge \frac{147 \cdot 10^{6} T_{H_{1}} K_{Hu} K_{Hu} K_{Hu} (u \pm 1) Z_{H}^{2} Z_{e}^{2}}{d_{w1}^{2} u \left[\sigma_{H}\right]^{2}}; \qquad (6.2)$$

проверочный расчет зубьев на прочность активных поверхностей

$$\sigma_{H} = \frac{12120Z_{H}Z_{c}}{d_{w1}} \sqrt{\frac{T_{H1}K_{Hx}K_{Hx}K_{Hy}(u \pm 1)}{b_{w}u}} \leq [\sigma_{H}]; \qquad (6.24)$$

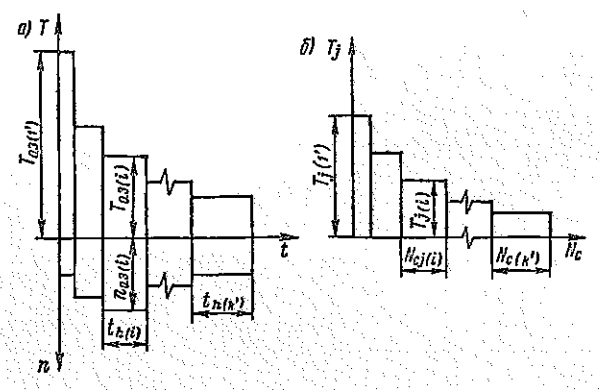


Рис. 6.15. Гистограмма нагружения основного звена планетарной передачи (а) и циклограмма нагружения для шестерни или колеса j, выделенной из рассматриваемой планетарной передачи (б)

проектировочный расчет зубьев на изгиб

$$d_1 \geqslant \sqrt[3]{\frac{2 \cdot 10^3 T_{F_1} z_1 K_{F_r} K_{F\Sigma}}{(\psi_{bd})_1} \left(\frac{Y_F}{[\sigma_F]}\right)}; \tag{6.25}$$

$$b_{w} \geqslant \frac{2 \cdot 10^{3} T_{F1} z_{1} K_{F\Sigma} K_{Fc}}{d_{1}^{2}} \left(\frac{Y_{F}}{\left[\sigma_{F}\right]}\right), \tag{6.26}$$

проверочный расчет зубьев на изгиб

$$\sigma_{F1} = 2 \cdot 10^3 T_{F1} K_{F\alpha} K_{F\Sigma} K_{F\alpha} Y_{F1} / (b_w d_1 m) \leq [\sigma_{F1}];$$
 (6.27)

$$\sigma_{F2} = \sigma_{F1} Y_{F2} / Y_{F1} \le [\sigma_{F2}].$$
 (6.28)

В формулах (6.25), (6.26) в круглых скобках подставляют большее из значений $Y_{FI}/[\sigma_{FI}]$ или $Y_{F2}/[\sigma_{F2}]$. В формулах (6.22)—(6.28) моменты T_{HI} , T_{FI} определяют в соответствии с указаниями, данными в § 2.3, причем момент на шестерне $T_{I(I)}$ (на *I*-й ступени нагрузки) в рассчитываемом зацеплении находят по формулам из табл. 6.10. Коэффициент (ψ_{bd})₁ = b_w/d_{w1} для планетарных передач A, B, 3k принимают по табл. 6.11. Остальные величины K_{Hv} , K_{Fv} , K_{Hu} , K_{Fu} , Y_{F1} , Y_{F2} , входящие в формулы (6.22)—(6.28), пояснены в § 2.3. При проектировочном расчете пренебрегают возможным отличием значений коэффициентов K_{Fu} для шестерни и колеса. Для передач с прямозубыми колесами принимают $K_{Hu} = 1$, и в зависимости от точности изготовления $K_{Fu} = 0.75$ или $K_{Fu} = 1.0$. В формулы (6.22)—(6.24) входит начальный диаметр d_{w1} , а в (6.25)—(6.28) делительный диаметр d_1 . Для несмещенных зубчатых колес (см. § 2.1) имеем равенство $d_{w1} = d_1$.

Следует обратить внимание, что параметры, зависящие от скорости в зацеплении (K_{Hv} , K_{Fv} , K_{Hw} , K_{Fw} и др.), должны определяться по относительной окружной скорости

$$v^{h} = \frac{\pi (d_{w})_{a}}{60 \cdot 10^{3}} |n_{a}^{h}| = \frac{\pi (d_{w})_{b}}{60 \cdot 10^{3}} |n_{b}^{h}|, \tag{6.29}$$

Ориентировочные значения коэффициента $(\psi_{bd})_1 = b_w/d_{w1}$ для механизмов $A,\ B,\ 3k$

Тип меха- низма	(ψ _{bd}) ₁	Примечание
A	$(\psi_{bd})_a = b_w/(d_w)_a = p(\psi_{bd})_b \le 0,75$ при $p \ge 3$; $(\psi_{bd})_g = b_w/(d_w)_g = \frac{2p}{p-1}(\psi_{bd})_b$ при $p < 3$	$(\psi_{bd})_b = b_w/(d_w)_b \le 0.12 \div 0.18;$ $p = z_b/z_a$
В	$(\psi_{bd})_a = b_w/(d_w)_a \le 0.75;$ $(\psi_{bd})_f = b_w/(d_w)_f \le 0.75$	$(\psi_{bd})_a$ при $n_w = 3;$ $(\psi_{bd})_b = b_w/(d_w)_b \le 0,12 \div 0,18$
3 <i>k</i>	$(\psi_{bd})_f = b_w/(d_w)_f = 0.30 \div 0.35$	Для схемы с $z_b > z_c$ величина $(\psi_{bd})_g = b_w/(d_w)_g$ определяется при расчете на прочность зубьев

где $|n_a^h| = |n_a - n_h|$; $|n_b^h| = |n_b - n_h|$ — частота вращения центрального ко леса a, b в движении относительно водила h (см. табл. 6.1).

Пренебрегая влиянием изменения скорости, величину v^h определяют при частоте вращения центрального колеса соответствующей расчетным моментам T_{H1} или T_{F1} .

Коэффициенты неравномерности распределения нагрузки в зацеплениях планетарных передач с $n_w \ge 2$ до приработки активных поверхностей зубьев определяют по формулам:

$$K_{H\Sigma}^{0} = \Omega + K_{H\beta}^{0} - 1; \quad K_{F\Sigma}^{0} = \Omega + K_{F\beta}^{0} - 1$$
 (6.30)

и с учетом приработки - по формулам

$$K_{H\Sigma} = \Omega + (K_{H\beta}^0 - 1) K_{Hw}; \quad K_{F\Sigma} = \Omega + (K_{F\beta}^0 - 1) K_{Fw}.$$
 (6.31)

Здесь Ω — коэффициент неравномерности распределения нагрузки между сателлитами (см. § 6.5); K_{HB}^0 , K_{FB}^0 — коэффициенты, учитывающие неравномерное распределение удельной нагрузки по ширине зубчатого венца k_{Hw} , k_{Fw} — коэффициенты, учитывающие приработку активных поверхностей зубъев (см. рис. 2.16).

Уточненные значения коэффициентов Ω , $K_{H\beta}^0$ можно определить на стадии проверочного расчета по данным работы [42]. При неравномер ном распределении нагрузки между сателлитами ($\Omega \neq 1$) допустимо при нять $K_{F\Sigma}^0 = K_{H\Sigma}^0$. При проектировочном расчете принимают $K_{Hw} = K_{Fw} = 1$ поэтому $K_{H\theta} = K_{H\theta}^0$ и $K_{F\theta} = K_{F\theta}^0$.

Ниже даны указания к проектировочным расчетам передач А и 3к.

Планетарная передача А. При проектировочном расчете использую: ориентировочные значения коэффициента Ω . При $n_w = 3$ для передач с плавающим центральным колесом $a \Omega = 1,03$; для передач с плавающим колесом b или водилом $h \Omega = 1,05$. Если в передаче использованы дви плавающих звена, то коэффициент Ω принимают по меньшему значению найденному для каждого центрального колеса или водила порознь. В пере дачах с $n_w = 4 \div 6$ следует предусмотреть плавающее центральное колесов с податливым ободом (см. § 6.5), тогда $\Omega = 1,1 \div 1,2$ (наличие второго

плавающего звена в этом случае практически не требует поправки величины Ω). При использовании приведенных выше рекомендаций подразумевается, что соединительная муфта плавающего звена имеет два зубчатых сочленения, или одно зубчатое сочленение, но отношение длины промежуточной детали (вала, полой оболочки) к расчетному диаметру муфты $l_{\rm M}/d_{\rm M}>2$ (см. рис. 16.9). Точность зубчатых колес принята не грубее 7-й степени при $n_{\rm w}=3$ и не грубее 6-й степени при $n_{\rm w}>3$ (ГОСТ 1643—81).

Ориентировочное значение коэффициента $K_{H\beta}^0$ в зацеплении a-g определяют по графику, изображенному на рис. 6.16, в зависимости от предварительно назначенного коэффициента $\psi_{bd} = b_w/(d_w)_a$. При расчете зацепления b-g ориентировочно принимают $K_{H\beta}^0 = 1,1$, если центральное колесо b жестко закреплено в корпусе или на валу, и $K_{H\beta}^0 = 1,05$ — при плавающей конструкции этого колеса.

Диаметр шестерни d'_{w1} определяется по схеме алгоритма, представлен ной на рис. 6.17, в начальном предположенив, что лимитирует контакт ная прочность зубьев в зацеплении a-g. Если лимитируют напряжения изгиба зубьев в зацеплении a-g, то снова определяется необходимый диаметр шестерни d'_{w1} . Подбор чисел зубьев и модуля зацепления по данному алгоритму исключает чрезмерное завышение коэффициента запаса по изгибу. Приняты ограничения $z_{1 \min} = 16$, $z_{b \max} = 120$, связанные с технологией обработки зубьев. После уточнения коэффициентов $K_{H\Sigma}$, $K_{F\Sigma}$, K_{Hp} , корректируется величина b_w во избежание неоправданного завышения осевого размера при подборе дискретных значений модуля и чисел зубьев. При этом принято конструктивное ограничение минимальной величины $(\psi_{bd})_{\min} = b_w/(d_w)_b = 0,08$. Схемы соответствующих алгоритмов приведены на рис. 6.18 – 6.21.

Для зацепления b-g при уже известных величинах b_w и d_w подбирают марку материала, способ термообработки и твердость центрального колеса b (рис. 6.22). Предельные напряжения для центрального колеса b при условии $(\sigma_H)_b \le [\sigma_H]_b$ и $(\sigma_{Fb}) \le [\sigma_F]_b$ определяются по формулам:

$$(\sigma_{H \text{ lim}})_b \ge \frac{(\sigma_H)_b [S_H]_b}{(Z_R)_b (Z_v)_b (K_{HL})_b};$$
 (6.32)
 $(\sigma_{F \text{ lim}}^0)_b \ge \frac{(\sigma_F)_b [S_F]_b}{(K_{FC})_b (K_{FL})_b}.$ (6.33)

В формуле (6.32) можно принять совокупное значение коэффициентов $[S_H]_b/[(Z_R)_b\,(Z_v)_b\,(K_{HL})_b]\approx 1,16$ для случая термического улучшения материала и 1,2 в случае упрочнения и шлифования активных поверхностей зубъев колеса b. В формуле (6.33) совокупное значение коэффициентов $[S_F]_b/[(K_{FC})_b\,(K_{FL})_b]\approx 1,65 \div 2,54\,$ для термического улучшения, а при поверхностном упрочнении 1,70 \div 2,27 для цементации и 2,0 \div 2,2 для азо-

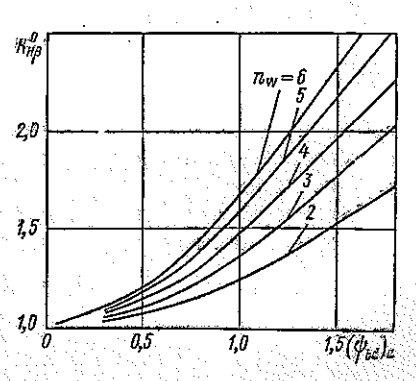


Рис. 6.16. Коэффициент неравномерности распределения нагрузки K_{HB}^{0} по ширине зубчатого венца центрального колеса с внешними прямыми зубьями

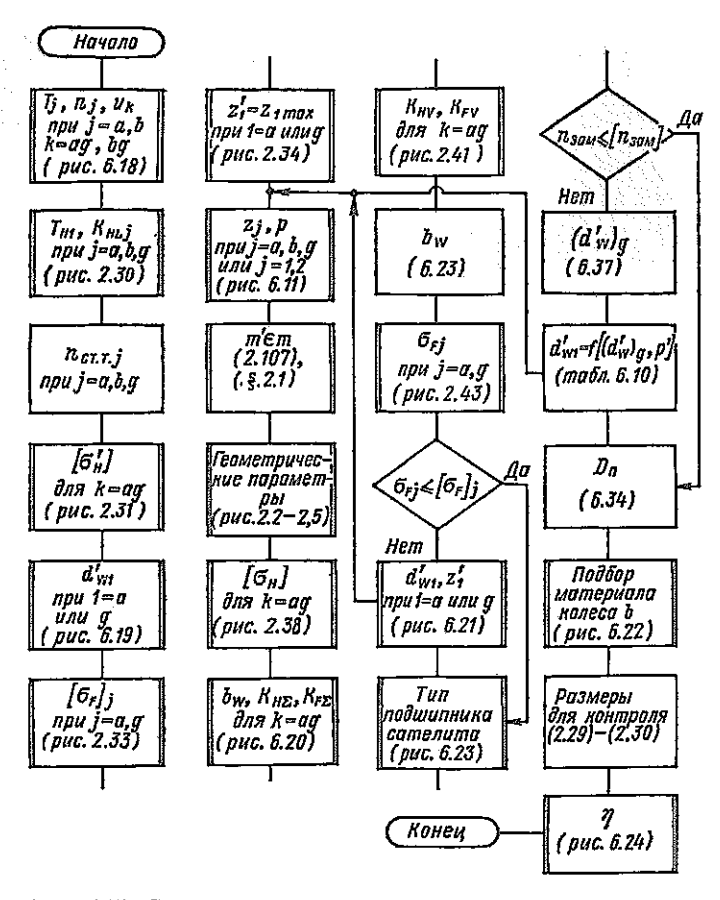


Рис. 6.17. Схема алгоритма проектировочного расчета планетарной передачи A

тирования. Здесь меньшие значения принимают при действии нереверсивной нагрузки на планетарную передачу и большие — при реверсивной нагрузке на нее.

Для опоры сателлита рекомендуется подобрать подшипник качения с наружным диаметром, равным

$$D_{\rm n} = (0.65 \div 0.75) (d_{\rm w})_{\rm g}, \tag{6.34}$$

что дает возможность разместить его в отверстии обода (см. рис. 18.13), диаметр которого равен $D_{\rm n}$. При необходимости принимают $D_{\rm n} \approx (d_w)_{\rm g}$, и подшипник устанавливают в отверстиях щек водила (см. рис. 18.16). Для подшипников без наружного кольца (см. рис. 18.14) $D_{\rm n}$ — диаметр наружной дорожки качения. По табл. 6.12, 6.13 подбирают значения коэффициентов K_D , учитывающего тип подшипника, и $\theta_{\rm n}$, учитывающего конструкцию опоры. Число замен $n_{\rm зам}$ подшипников за полный срок

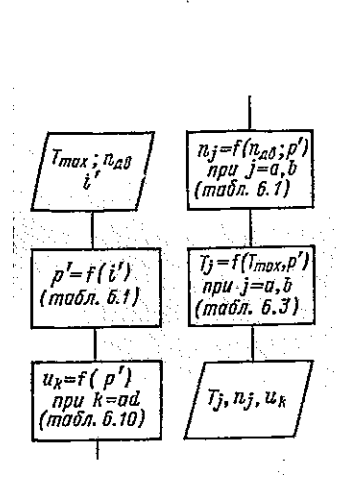


Рис. 6.18. Схема алгоритма для определения крутящего момента T_j , частоты вращения n_j и передаточного числа u_j для зацеплений планетарной передачи A

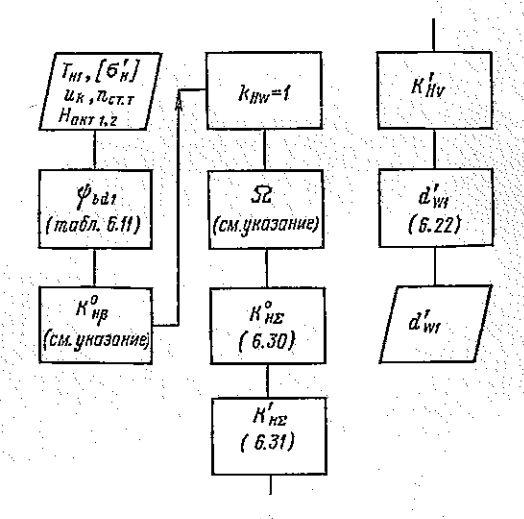


Рис. 6.19. Схема алгоритма расчета начального диаметра шестерни d'_{w1} , лимитируемого контактной прочностью зубьев:

Для передачи A индекс 1=a или g (см. табл. 6.10); коэффициенты $K_{H\beta}^0$ (рис. 6.16), Ω (§ 6.9) для зацепления k=ag. Для передачи 3k 1=f; $K_{H\beta}^0$ (рис. 2.15), $\Omega=\Omega_{ef}$ (§ 6.9) для k=ef

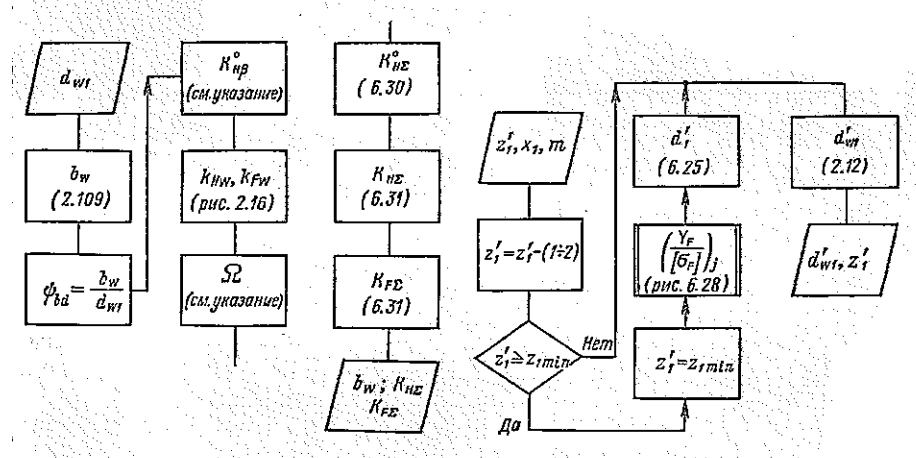


Рис. 6.20. Схема алгоритма для определения ширины зубчатого венца b_w и коэффициентов $K_{H\Sigma}$, $K_{F\Sigma}$: Для передачи A индекс 1=a или g (см. табл. 6.10); геометрические параметры α_{rw} коэффициенты $K_{H\Sigma}^0$ (рис. 6.16) и Ω (6.10) для зацепления k=ag. Для передачи 3k индекс I=f; α_{rw} ϵ_x , $K_{H\Sigma}^0$ (рис. 2.15) и $\Omega=\Omega_{ef}$ (§ 6.9) для зацепления k=ef

Рис. 6.21. Схема алгоритма расчета начального диаметра шестерни d'_{wl} , лимитируемого изгибной прочностью зубьев и уточнение числа зубьев. Для передачи A индекс j=a, g; 1=a или g (см. табл. 6.10); $z_{1min}=16$. Для передачи 3k j=e, f; 1=f; z_{1min} (см. табл. 6.7) для $z_{gg}^{h} \rightarrow t'$

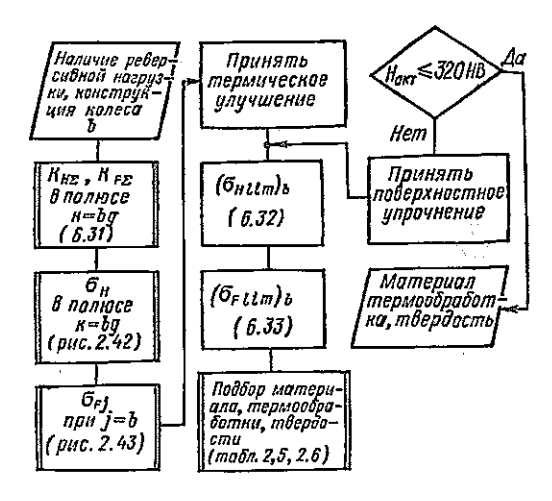


Рис. 6.22. Схема алгоритма подбора материала, твердости и способа термообработки центрального колеса b планетарной передачи A

Значения коэффициента K_D

 K_{D_1} МПа, для подшинников серий Тип подшинников средней легкой средней легкой широкой широкой Роликоподшипник радиальный однорядный (ГОСТ 8328-75*) 4,4 6,7 5.4 7.8 Роликоподшинник конический одноряд-5,5 7,3 7,2 9,6 ный (ГОСТ 333-79) Родикоподшипник радиальный сферический двухрядный (ГОСТ 5721 – 75) 5,5 7,5

Значення коэффициента 9_п

Величина 9, при отношении диаметpob $D_{\rm II}/(a_{\rm W})_{\rm g}$ Конструкция опоры сателлита 0,65 0.7 0,75 1,0 Наружные кольца подшипников установ-0,35 0.43 0,47 лены внутри обода сателлита 0,43 Подшипники без наружных колец уста-0.530,58 новлены внутри обода сателлита Наружные кольца подшипников установ-1.0 лены в отверстиях щек водила

Таблица 6.13

Таблица 6.12

службы редуктора, обеспечивающих их заданную долговечность, определяют по формуле

$$n_{\text{agas}} = \left[\frac{2 \cdot 10^3 (T_o)_{\text{pacy}} \Omega K_{\text{nep. n}} K_0 (p-1)}{n_w (d_w)_o^3 K_D 9_n n_n K_{\text{Kay}}} \right]^{m'} L'_E - 1,$$
 (6.35)

где эквивалентное число миллионов оборотов подшипника (в относительном движении) за полный срок службы равно

$$L'_{E} = \frac{120 \cdot 10^{-6}}{(p-1)} \sum_{i} \left[\frac{T_{ai}}{(T_{a})_{\text{pacq}}} \right]^{m'} n_{ai} t_{Li}.$$
 (6.36)

При $n_{\text{зам}} < 0$ замена подшипников сателлита не требуется. Если $n_{\text{зам}}$ превышает допускаемое значение $[n_{\text{зам}}]$, следует принять большие значения коэффициентов K_D , θ_n . Возможно также варьирование параметров $n_n/K_{\text{нер. р.}}$, $K_{\text{кач}}$. В формулах (6.35), (6.36) обозначено:

- $n_{\text{зам}}$ число замен подшипников за полный срок службы планетарной передачи;
 - Ω коэффициент неравномерности распределения нагрузки между сателлитами;
- $K_{\rm нер.\, n}$ коэффициент, учитывающий неравномерность распределения нагрузки между подшипниками, размещенными в одной опоре. Принимают $K_{\rm нер.\, n}=1$ при $Kn_{\rm n}\leqslant 2$; $K_{\rm нер.\, n}=1.3\div 1.4$ при $Kn_{\rm n}=3\div 4$, если обеспечена высокая жесткость оси сателлита и точность подшипников не ниже 5-6 класса по Γ OCT 520-71*:
 - K_5 коэффициент безопасности; принимают $K_6=1,1$ для планетарных передач, воспринимающих нагрузки с умеренными толчками и вибрацией;
 - $n_{\rm n}$ число подшипников качения в опоре одного сателлита. Рекомендуют $n_{\rm n}=1\div 2$ для радиальных шарикоподшипников и сферических роликоподшипников; $n_{\rm n}=2$ для радиальных и радиально-упорных роликоподшипников (реже используют $n_{\rm n}>2$);
 - $K_{\text{кач}}$ коэффициент качества подшипника. Принимают $K_{\text{кач}}=1,0\div\div1,45$ (см. гл. 10);
 - m' показатель степени. Принимают m'=3 для шарикоподшипников; m'=3,33 для роликоподшипников;
- T_{ai} , n_{ai} , t_{Li} соответственно момент, частота вращения центрального колеса a, а также время работы на i-й ступени гистограммы (см. рис. 6.15);
 - $(T_a)_{\text{расч}}$ расчетное значение крутящего момента на валу центрального колеса a (обычно приравнивают наибольшему из действующих моментов).

Если по табл. 6.12 и 6.13 не удается подобрать необходимое сочетание коэффициентов $K_D \vartheta_n$, то несущая способность подшинника сателлита лимитирует габаритные размеры планетарной передачи. В этом случае следует

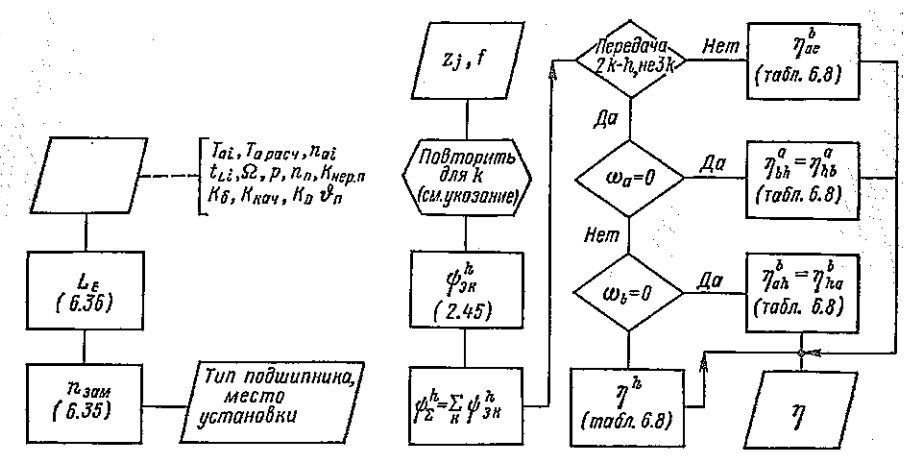


Рис. 6.23. Схема алгоритма подбора подпилника сателлита планетарной передачи *А*

Рис. 6.24. Схема алгоритма расчета КПД: Для передачи A зацепление k=ag, bg; коэффициент трения $f_3=f(v^b)$ (см. рис. 2.9). Для передачи 3k зацепление k=bg, ef; $f_3=0,11$

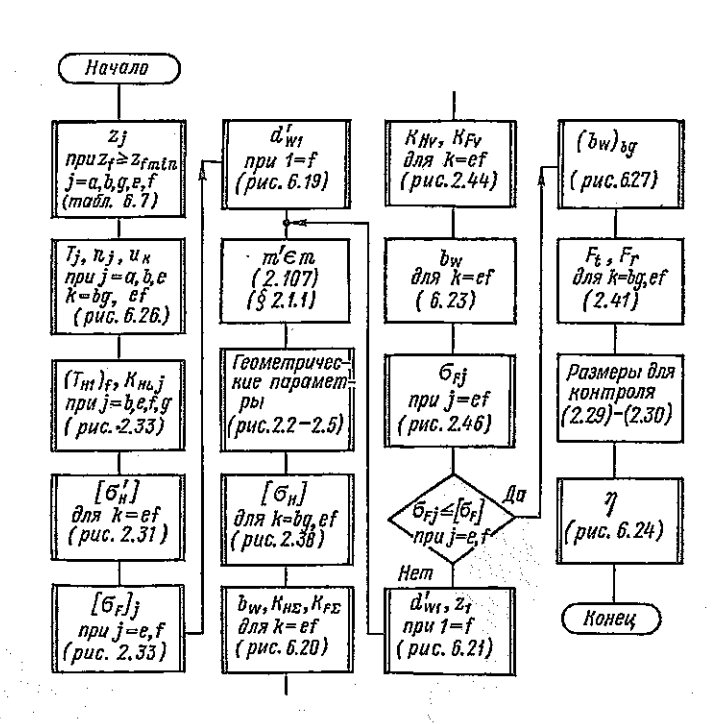


Рис. 6.25. Схема алгоритма проектировочного расчета передачи 3k

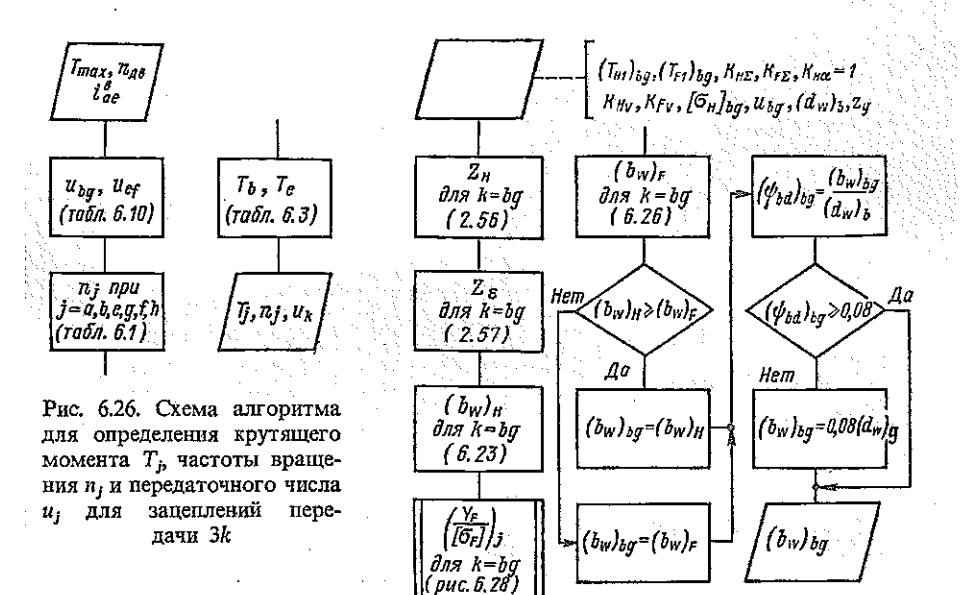


Рис. 6.27. Схема алгоритма расчета ширины зубчатого венца $(b_w)_{ba}$ для передачи 3k

определить диаметр сателлита, при котором может быть подобран подшиник требуемой долговечности $L_E = L_E'/(n_{\mathrm{3aM}} + 1)$:

$$(d_{w})_{g} \geqslant \sqrt{\frac{2 \cdot 10^{3} (T_{a})_{\text{pact}} \Omega K_{\text{Bep. n}} K_{6} (p-1) L_{E}^{1/m^{2}}}{n_{w} K_{D} \theta_{n} n_{n} K_{\text{gat}}}}.$$
(6.37)

Величины, входящие в формулу (6.37), пояснены выше. В итоге по величине $(d_w)_g$ с помощью табл. 6.10 определяют требуемый диаметр шестерни d_{w1} (при $p\geqslant 3$ $d_{w1}=(d_w)_g=2$ $(d_w)_g/(p-1)$, при p<3 $d_{w1}=(d_w)_g$).

Схема алгоритма подбора подшипника качения для опоры сателлита дана на рис. 6.23. Проектировочный расчет завершается определением КПД (рис. 6.24).

Передача 3k. При расчете передач 3k принимают различные коэффиниенты Ω для каждого зацепления. Для конструкций передач с $n_w = 3$ при неподвижном центральном колесе b и плавающем центральном колесе e (см. рис. 20.13) принимают $\Omega_{ag} = 2,0 \div 2,5$; $\Omega_{ef} = 1,0 \div 1,1$; $\Omega_{bg} = \Omega_{ef} - (\Omega_{ag} - 1) z_b/[i_{ae}^b - 1) z_a]$. Точность зубчатых колес принимают по 7-й степени (ГОСТ 1643-81). Ориентировочное значение коэффициента $K_{H\beta}^0$ для зацепления e-f опредляют по кривой 8 рис. 2.15 в зависимости от коэффициента $(\psi_{bd})_f = (b_w)_f/(d_w)_f$, выбранного по табл. 6.11. Для зацепления b-g принимают ту же величину $K_{H\beta}^0$. Фактические значения коэффициентов $K_{H\beta}^0$ будут меньше указанных, так как в полюсе e-f колесо e имеет плавающую конструкцию с податливым ободом, а в зацеплении b-g, исходя из расчета на прочность, коэффициент $(\psi_{bd})_g = (b_w)_g/(d_w)_g < (\psi_{bd})_f$.

Размеры зубчатых колес определяют по схеме алгоритма, представленного на рис. 6.25. Для выполнения проектировочного расчета необ-

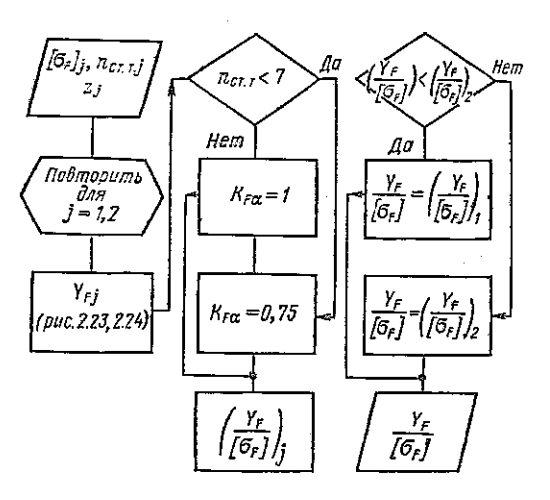


Рис. 6.28. Схема алгоритма расчета минимальной величины $Y_F/[\sigma_F]$: Для передачи A индекс 1=g или a; 2=b (см. табл. 6.10). Для передачи 3k 1=g, f; 2=b, e

ходимо по заданному передаточному числу i_{ae}^b принять сочетание чисел зубьев по табл. 6.7, учитывая, что при большем числе зубьев z_f КПД будет выше.

В качестве первого приближения принимают, что лимитирует контактная прочность зубьев в зацеплении e-f. Однако во многих передачах (особенно при больших величинах i_{ae}^b) лимитирующей может быть прочность на изгиб зубьев в том же зацеплении, поэтому выполняется ее проверка.

Если таковая не обеспечена, то во втором приближении следует подобрать новое значение числа зубьев $z_f = z_f - (1 \div 2)$, оставаясь в пределах допускаемого отклонения от заданного значения передаточного числа i_{ae}^b . На случай, если эта мера недостаточно эффективна или необходимое сочетание чисел зубьев отсутствует, в схеме алгоритма предусмотрено определение диаметра сателлита $(d_w)_f$, исходя из прочности зубьев на изгиб (рис. 6.26-6.28).

Во избежание завышения габаритных размеров передачи производится корректировка расчетной ширины зубчатого венца $(b_w)_{ef}$ в зацеплении e-f. Диаметры зубчатых колес в зацеплениях a-g и b-g определяют по значению модуля, найденному ранее из расчета зацепления e-f.

Таким образом, проектировочный расчет зацепления b-g сводится к получению ширины зубчатого венца $(b_w)_{bg}$, а прочность зацепления a-g контролируют уже на стадии проверочного расчета. Расчет завершает определение усилий в зацеплении, необходимых для подбора подшинников сателлита, а также значений КПД.

Подшипники сателлита выбирают конструктивно (см. указания в гл. 10), затем выполняют проверочный расчет их несущей способности.

Глава 7

ВОЛНОВЫЕ ЗУБЧАТЫЕ ПЕРЕДАЧИ

§ 7.1. Общие сведения

Волновая зубчатая передача является конструктивной разновидностью иланетарной передачи с одним центральным колесом и внутренним зацеплением, у которой сателлит выполнен тонкостенным с гибким зубчатым ободом, деформируемым во время работы передачи. Особенность конструкции водила такой передачи заключается в том что шип, на котором вращается сателлит, преобразован в центральный кулачок или в какое-либо устройство (в дальнейшем называемое генератором h), деформирующее гибкий сателлит таким образом, что он входит в зацепление е жестким центральным колесом С в нескольких зонах зацепления. При вращении генератора h зоны деформации и зацепления перемещаются по окружности, вызывая вращение гибкого сателлита (называемого гибким колесом F) относительно жесткого колеса С. Так как вращение генератора сопровождается гармоническим деформированием гибкого колеса, передача получила название волновой. При двух зонах зацепления колес С и $F(n_w=2)$ передача называется двухволновой, а при трех зонах $(n_w=3)$ трехволновой. Наибольшее применение имеют двухволновые передачи. Для снятия вращения с гибкого колеса его выполняют в виде тонкостенного стакана, переходящего в вал, или в виде трубы, связанной с валом зубчатой муфтой (рис. 7.1).

Наиболее стабильная деформация гибкого колеса (в двухволновой передаче), при которой обеспечивается устойчивая работа зацепления, получается при кулачковом генераторе, выполненном в виде овального кулачка с одетым на него подшипником качения, имеющим податливые кольца. Такой подшипник называется гибким подшипником. Формы овала

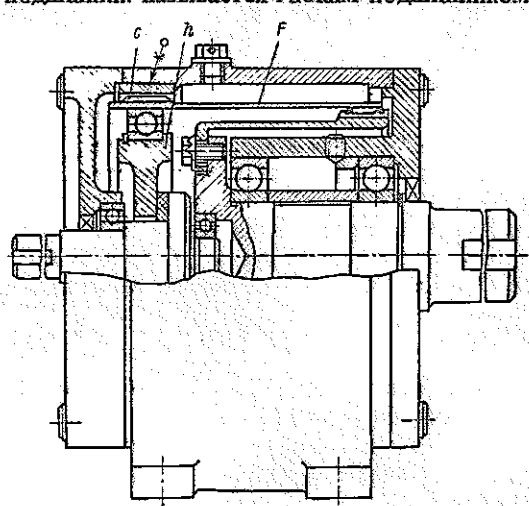


Рис. 7.1. Конструкция волновой передачи

и параметров деформации при заданных профилях зубьев могут быть выбраны такими, что в зацеплении гибкого и жесткого колес (в каждой зоне одновременно) будет находиться под нагрузкой большое число пар зубьев. При эвольвентных зубьях гибкого и жесткого колес целесообразно овал выполнять в форме эллипса.

Наличие нескольких зон зацепления при большой многопарности контакта зубьев предопределяет относительно высокую нагрузочную способность и кинематическую точность волновых зубчатых передач. Если передаваемая нагрузка равномерно распределяется между зонами зацепления (при $n_w \geqslant 2$), то силы в зонах зацепления не нагружают опоры звеньев C, F и h. Пространство внутри гибкого колеса может быть рационально использовано для размещения опор тихоходного вала, быстроходных ступеней или двигателя.

Основными причинами потери работоспособности волновых передач являются износ зубьев, усталостные поломки гибкого колеса или выкрашивание поверхностей тел качения и беговых дорожек гибкого подшипника. Проектировочный расчет выполняют в соответствии с условным критерием, обеспечивающим необходимую износостойкость поверхностей зубьев. Геометрический расчет зацеплений (назначение модуля, числа зубьев) сопряжен с подбором наружного диаметра гибкого подшипника генератора волн. Так как работоспособность гибкого подшипника во многих случаях ограничивает долговечность волновой передачи, необходим проверочный расчет подобранного подшипника. К вычерчиванию волновой передачи приступают после проведения расчета на выносливость гибкого колеса и проверки зацеплений на интерференцию головок зубьев гибкого и жесткого колес. КПД волновой передачи составляет $\eta = 0,60 \div 0,85$, и поэтому спроектированный редуктор рассчитывают на нагрев с учетом режима работы.

§ 7.2. Кинематические схемы волновых передач

Волновым передачам присваивают обозначение в соответствии с обозначениями основных звеньев, данных в работе [14]: C — жесткое колесо; F — гибкое колесо; h — генератор волн. Кинематические схемы простой волновой передачи C - F - h представлены на рис. 7.2. На рис. 7.2, a диаметр гибкого колеса F меньше диаметра жесткого колеса C, генератор волн размещен внутри гибкого колеса. На рис. 7.2, a гибкое колесо больше жесткого колеса, генератор волн охватывает гибкое колесо. Длина замкнутых контуров сцепляющихся зубчатых колес F и C должна содержать целое число зубьев. Это условие сборки выполняется, если

$$z_C - z_F = k n_w, (7.1)$$

где z_C , z_F — число зубьев колес C и F; k — коэффициент кратности, $k=\pm 1,\ \pm 2,\ \ldots;\ n_w$ — число волн деформации.

Передаточное число волновой передачи выражают через передаточное отношение при неподвижном генераторе волн путем простого перемещения индексов в соответствии с указаниями по определению передаточных отношений планетарных передач (см. работу [36]).

Передаточное отношение передачи C-F-h при неподвижном жестком колесе определим с учетом условия сборки (7.1) в виле

$$i_{hF}^{C}=1/i_{Fh}^{C}=1/(1-i_{FC}^{h})=$$
 = $1/(1-z_{C}/z_{F})=-z_{F}/(kn_{w})$. (7.2) При $k\geqslant 1$ (рис. 7.2, a) $i_{hF}^{C}<0$ и вращение входного и выходного валов происходит в противоположном направлении.

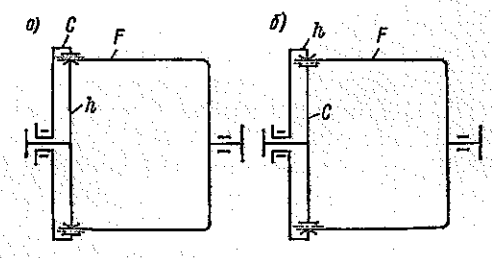


Рис. 7.2. Кинематические схемы волновой передачи C-F-h

Из волновых передач возможна компоновка дифференциально замкнутых передач по аналогии со схемами планетарных передач. Разработаны конструкции редукторов, представляющие последовательное соединение передач типа A и C-F-h (см., например, работу [14]).

Число зубьев волновой передачи определяют в зависимости от передаточного отношения, числа волн и коэффициента кратности k из формулы (7.2). Чем больше коэффициент кратности, тем больше разность между максимальной и минимальной деформацией гибкого колеса и выше уровень напряжений в нем. Для снижения напряжений в гибком колесе при его деформации принимают коэффициент кратности k=1. При увеличении числа волн растут неравномерность распределения нагрузки между зонами зацепления и напряжения в гибком колесе. Обычно конструируют передачи с двумя волнами деформации $n_w=2$.

При увеличении числа зубьев ($z_F > 600$) возрастают требования к точности изготовления колес и жесткости элементов волновой передачи, а при $z_F < 140$ снижается выносливость на изгиб зубьев и обода гибкого колеса. Эти ограничения определяют диапазон рекомендуемого передаточного отношения $70 < |i_{hF}^C| < 300$ для схемы C - F - h. Наибольшее передаточное отношение при заданном диаметре гибкого колеса ограничено также минимальным значением модуля, который можно применять из технологических условий (отечественная промышленность выпускает серийно долбяки с $m \ge 0.3$ мм).

Генераторы волн должны иметь высокую радиальную жесткость, исключающую радиальную деформацию гибкого колеса под нагрузкой. Это требование к конструкции наиболее просто обеспечивают в схемах с $k \ge 1$, когда генератор волн размещают внутри гибкого колеса.

Габаритные размеры, масса и момент инерции вращающихся звеньев передач (рис. 7.2, 6) больше, чем у передач (рис. 7.2, а). При ограниченных габаритных размерах нарезание внутренних зубьев на гибком колесе возможно только долбяком, параметры которого изменяются при переточках. По этим причинам передачи по схеме, представленной на рис. 7.2, 6, практически не применяют.

§ 7.3. Расчет активных поверхностей зубьев волновых передач

Условным критерием расчета зацеплений волновых передач являются максимальные давления в контакте, так как боковые поверхности зубьев на всей глубине захода практически совпадают. Неравномерность распре-

деления давления по ширине зубчатого венца связана с перекосом образующих и кручением тела гибкого колеса. Неравномерность распределения нагрузки между зубьями обусловлена неодинаковой глубиной захода зубьев, функцией зазора между активными поверхностями зубьев и погрешностями шагов.

Диаметр гибкого колеса F передачи C-F-h определяют по формуле проектировочного расчета, данного в работе [42]

$$d_F \ge 10 \sqrt[3]{\frac{2T_F K_U \mu^2 \sin{(2\alpha)}}{K_L [C_p] (K_b')^2 K_v^2}},$$
(7.3)

где T_F — момент на гибком колесе F, $H \cdot M$; K_U — коэффициент радиальной деформации, равный отношению максимальной радиальной деформации U к модулю зубьев m; $K_L = L/d_F$ — относительная длина гибкого колеса, выполненного в виде цилиндрического стакана или трубы.

Коэффициент µ, учитывающий снижение неравномерности распределения давления по длине зубьев вследствие износа и деформации гибкого колеса, представлен на рис. 7.3.

Условный коэффициент допускаемых давлений $[C_p]$ и эффективный коэффициент глубины захода зубьев $K_h' = K_h h_3/m$ для стальных зубчатых колес определяют в зависимости от числа зубьев:

Коэффициент K_v (рис. 7.4) зависит от средней скорости скольжения зубьев

$$v_s = 1.04 \cdot 10^{-4} K_U m n_h / \cos \alpha$$
,

где v_s — средняя скорость скольжения, м·с⁻¹; m — модуль, мм; n_h — частота вращения генератора волн, мин⁻¹.

При выполнении проектировочного расчета предварительное число зубьев гибкого колеса находят из формулы (7.2), а неизвестные коэффициенты принимают $K_U=1,0\div 1,2;~K_v=1,0;~\mu=0,5\div 0,6;~K_L=0,8\div 1,0;~h_1=1,4m$. Относительная ширина зубчатого венца может быть выбрана из диапазона $\psi_{bd}=b_w/d_F=0,15\div 0,25$. Увеличение параметра $\psi_{bd}>0,22$ не приводит к снижению максимальных давлений, так как одновременно с увеличением ширины венца возрастает неравномерность распределения давлений вдоль зубьев.

Для проверочного расчета зацеплений по формуле (7.3) необходимо определить окончательные размеры зубчатых колес с учетом дискретного ряда размеров наружного диаметра гибкого подшипника и условия работы зацепления без интерференции.

Приемлемая форма зубьев колес F и C, при которой интерференция практически исключена, достигается при коэффициентах смещения исходного контура x, определяемых по формулам:

для гибкого колеса с внешними зубьями

$$x_F = 3 + z_F/100; (7.4)$$

для жесткого колеса с внутренними зубыми

$$x_C = x_F - 1 + K_U (1 + 5 \cdot 10^{-5} K_U Z_F), \tag{7.5}$$

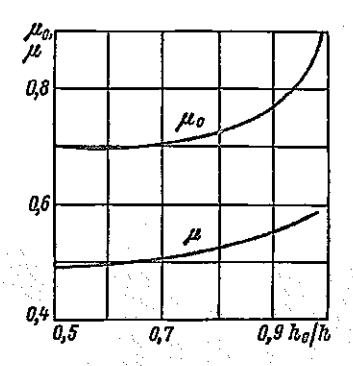


Рис. 7.3. График для определения коэффициентов μ_0 и μ

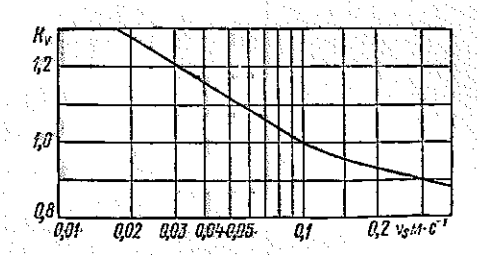


Рис. 7.4. График для определения коэффициента K_0

Профильный угол зубьев колеса F для указанного смещения x_F составляет $\alpha_F = \arccos \left[0.47z_F/(0.51z_F + 3)\right] \approx \alpha$.

Выносливость при изгибе гибкого колеса, как правило, обеспечивается при толщине гибкого колеса под зубьями $h=d_F/100\approx D/99$, где D- наружный диаметр гибкого подшинника. При указанных толщине h и коэффициенте смещения

$$D = m \left[z_F + 5,88 - 1,96 \left(h_a^* + c^* \right) \right]. \tag{7.6}$$

Чтобы удовлетворить условию (7.6) при дискретных диаметрах D гибкого подпинника (табл. 7.1), ряде модулей m, коэффициентах высоты головки h_a^* и радиальном зазоре c^* , можно воспользоваться алгоритмом, представленным на рис. 7.5. Окончательно принятое число зубьев z_F должно удовлетворять заданному передаточному отношению с допускаемым отклонением.

Таблица 7.1 Гибкие шарикоподивиники для генераторов воли (см. рис. 7.7, а)

Условное обозначение	d'	D	В	F	D _w	Предельная частота вра- щения, мин 1
815 818 822 824 830 836 844 848 860 862 872	75 90 110 120 150 180 220 240 300 310 360	100 120 150 160 200 240 300 320 400 420 480	15 18 24 24 30 35 45 45 48 60 70	1,0 1,5 2,5 3,5	9,128 11,E13 14,228 14,288 19,050 22,225 28,575 28,575 36,513 36,513 44,450	3000 2000 1600

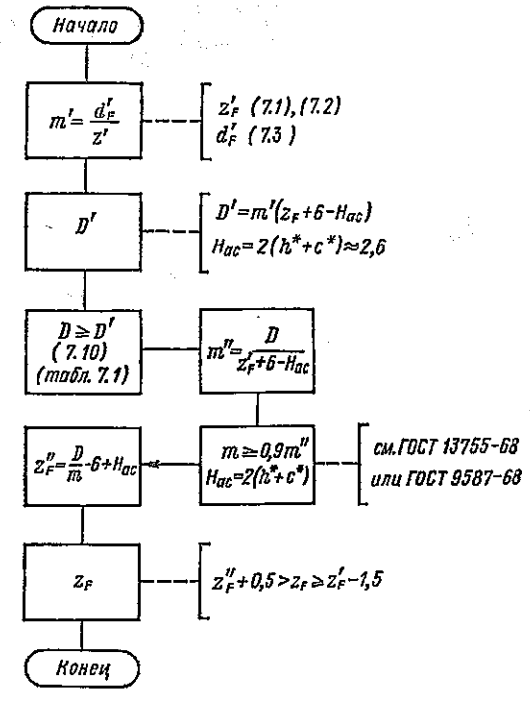


Рис. 7.5. Схема алгоритма подбора модуля и числа зубьев гибкого колеса

Днаметры вершин зубьев d_a и впадин d_f гибкого и жесткого колес вычисляют по формулам:

$$d_{aF} = mz_F + 2(x_F + K_F) m; \quad d_{aC} = mz_C + 2(x_C - h_a^*) m;$$

$$d_{fF} = mz_F + 2(x_F - h_a^* - c^*) m; \quad d_{fC} = mz_C + 2h_C,$$

где коэффициент $K_F=0,4$ при глубине захода $h_1=1,4m$, а высота зубьев h_C зависит от числа зубьев и коэффициента смещения долбяка [42].

§ 7.4. Расчет долговечности гибкого подшинника генератора волн и гибкого колеса на выносливость

Долговечность L гибких шариковых подшинников (млн. об) волновых передач может быть определена в соответствии с материалами ISO-281/1—77 (см. также работу [4, стр. 95-96])

$$L = [(Q_{e\mu}/Q_{e\mu})^{3,33} + (Q_{e\nu}/Q_{e\nu})^{3,33}]^{-0.9},$$
 (7.7)

где Q_e — эквивалентная нагрузка; Q_c — динамическая грузоподъемность в контакте тел качения с кольцами подшипника, Н. Символ μ или ν закрепляют за кольцом, которое, соответственно, вращается или неподвижно относительно вектора нагрузки.

В генераторах волн с гибким подшипником внутри колеса F относительно вектора нагрузки вращается наружное кольцо (символ μ), а внутреннее кольцо остается при этом неподвижным (символ ν).

Динамическая грузоподъемность точечного контакта составляет

$$Q_c = 100 \left(\frac{f_r}{f_r - 1}\right)^{0.41} \frac{(1 \mp \gamma)^{1.39}}{(1 \pm \gamma)^{1.3}} \gamma^{0.3} D_w^{1.8} z_{\text{in}}^{-1/3}, \tag{7.8}$$

где $f_r = r/R$ — отношение радиуса дорожки качения в диаметральной плоскости к радиусам шарика; $\gamma = D_w/d_m$ — отношение диаметра шарика к диаметру по центрам тел качения; z_{uv} — число шаров.

Верхний знак в формуле (7.8) принимают для контактов тел качения с внутренним, а нижний — для контактов с наружным кольцом подшипника.

В стандартизованных гибких подшипниках $f_r = 1,04$; $\gamma = 0,104$; $z_{\rm m} = 23$. По формуле (7.8) определяем

$$Q_{c\mu} \approx 81,4D^{1,8}; \quad Q_{c\nu} \approx 56,8D^{1,8}.$$

Эквивалентная нагрузка в контактах с вращающимся и неподвижным кольцами составляет соответственно

$$Q_{e\mu} = \left(\frac{1}{z_{in}} \sum_{j=1}^{j=z} Q_j^3\right)^{1/3}; \quad Q_{ev} = \left(\frac{1}{z_{in}} \sum_{j=1}^{j=z} Q_j^{10/3}\right)^{0,3}.$$

Нагрузки Q_j , действующие на тела качения, обусловлены радиальными составляющими усилий в зонах зацепления волновой передачи. Протяженность зоны зацепления волновой передачи составляет $22-29^\circ$ и сопоставима с угловым расстоянием между телами качения $\gamma_{\rm m}=360^\circ/z_{\rm m}=15,7^\circ$. Вследствие высокой податливости гибкого колеса и наружного кольца подпипника радиальные составляющие усилий в зонах зацепления $F_r=2T_F$ tg $\alpha/(n_{\rm m}d_F)$ воспринимают один или два тела качения в каждой из зон зацепления. Примем для стандартизованных подшипников $z_{\rm m}=23;\ n_{\rm w}=2;$ нагрузки на тела качения с номерами $j\ (j=1,\ 11,\ 12);\ Q_1=F_r;\ Q_{11}=Q_{12}=F_r/2$ и тогда $Q_{e\mu}=0.379F_r;\ Q_{e\nu}=0.412F_r$. Подстановка полученных результатов в исходную зависимость (7.7) позволяет определить расчетную долговечность гибкого подшипника двухволновой перелачи:

$$L = 2.14 \cdot 10^6 D_w^{5.4} / F_r^3, \tag{7.9}$$

где F_r — радиальная составляющая усилия в зацеплении (H), $F_r = T_F \times 10^3 \, \mathrm{tg} \, \alpha/d_F$.

Число оборотов гибкого подшипника относительно вектора нагрузки составляет

$$L = 60 \cdot 10^{-6} | n_h - n_F | L_{h_0}$$

где $|n_h - n_F|$ — абсолютная величина разности частоты вращения генератора волн h и гибкого колеса F; L_h — долговечность подшипника, ч.

Из последних зависимостей при подстановке $D_w \approx 0.091D$, $\alpha \approx 25^\circ$ г $d_F \approx 1.077D$ следует формула проектировочного расчета для схемы алго ритма, представленного на рис. 7.5,

$$D \ge 2.26T_F^{0.357} \left(L_h \left[n_h - n_F \right] \right)^{0.119}. \tag{7.10}$$

Усталостные поломки гибкого колеса возможны при действии перемен ных нормальных и касательных напряжений, превосходящих пределы вы носливости материала гибкого колеса. Место действия максимальных касательных напряжений не совпадает с местом действия наибольции нормальных местных напряжений изгиба обода и зуба, поэтому коэффициенты запаса по нормальным и касательным напряжениям рассчитывают раздельно [14].

Номинальные напряжения кручения на поверхности гибкого колест в месте перехода к утолщенной стенке под зубчатым венцом со стороны подвода крутящего момента определяют с учетом неравномерности распределения по периметру

$$\tau_a = 0.2 (1 - R_s) T_F \cdot 10^3 / (h_0 \rho^2); \quad \tau_m = (1 + R_s) \tau_a / (1 - R_s),$$

где R_{τ} — коэффициент асимметрии цикла касательных напряжений ($R_{\tau}=0$ и $R_{\tau}=-1$ соответственно при реверсивной и нереверсивной нагрузке T_F); h_0 — минимальная толщина стенки обода; ρ — радиус кривизны срединной поверхности недеформированного гибкого колеса.

Коэффициент запаса по касательным напряжениям вычисляют с уче том коэффициентов перехода от предела выносливости образца к пределу выносливости детали

$$S_{\tau} = \tau_{-1}/[K_{\tau}\tau_a/(\varepsilon_{\tau}\beta_{\tau}) + \psi_{\tau}\tau_m] \geqslant [S_{\tau}] = 1.5 \div 1.8,$$

где коэффициент чувствительности к асимметрии цикла $\psi_* \approx 0.1.$

Для фрезерованных зубьев коэффициенты концентрации напряжений K_{τ} и состояния поверхности β_{τ} принимают в зависимости от предела прочности материала гибкого колеса

σ,	MΓ	Ia				•			700	800	900 1,55	1000	1200
K.		•						•	1,49	1,52	1,55	1,58	1,60
β,.				٠					0,88	0,85	0,82	0,78	0,72

Коэффициент ε_{τ} зависит от диаметра d гибкого колеса, примыкающего к зубчатому венцу

Максимальные местные напряжения цикла σ'_{max} действующие на переходных поверхностях зубьев в зоне зацепления, определяют приближенно методом суперпозиции местных напряжений от изгиба обода $\sigma_{F max}$ и изгиба зуба σ_{ii} [42]. Минимальные местные напряжения $\sigma'_{min} = \sigma_{F min}$ рассчитывают также для переходной поверхности зуба в сечении между зонами зацепления. Амплитудные и средние местные напряжения цикла находят по формулам:

$$\sigma'_{a} = (\sigma'_{\text{max}} - \sigma'_{\text{min}})/2 = 0.35\sigma_{it} + 0.5 (\sigma_{F\text{max}} - \sigma_{F\text{min}});$$

$$\sigma'_{it} = (\sigma'_{\text{max}} + \sigma'_{\text{min}})/2 = 0.35\sigma_{it} + 0.5 (\sigma_{F\text{max}} + \sigma_{F\text{min}}).$$

Таблица 7.2

Значение коэффициента Y_F

Напряжения изгиба обода вычисляют с учетом теоретических коэффициентов концентрации напряжений и ужесточающего влияния зубьев

$$\begin{split} \sigma_{F\,\text{max}} &\approx 1,56 E h \rho^{-1} \beta' \big|_{\phi=0}; \\ \sigma_{F\,\text{min}} &\approx 1,43 E h \rho^{-1} \beta' \big|_{\phi=\pi/n_w}, \end{split}$$

где h — толщина стенки гибкого колеса под зубъями; E — модуль упругости (для стали E = $2.1 \cdot 10^5$ МПа).

Изменение относительной кривизны β' для деформации гибкого колеса по эллипсу $U=K_{L}m\cos{(2\phi)}$

Число	Величина У _Г								
зубьев гиб- кого ко- леса <i>z</i> г	c*=0,25	c*=0,35	$c^{*}=0.50$						
150 200 300 400 500 600	1,35 1,39 1,44 1,50 1,54 1,57	1,38 1,42 1,48 1,52 1,57 1,61	1,46 1,49 1,54 1,60 1,63 1,67						

$$\beta'|_{\varphi=0}\approx 3K_Um/\rho; \quad \beta'|_{\varphi=\pi/2}\approx -3K_Um/\rho.$$

Местные напряжения изгиба зубьев рассчитывают с учетом распределения нагрузки между зубьями и по ширине зубчатого венца для передач C-F-h:

$$\sigma_{\rm u} \approx 632 \mu Y_F \sqrt{\frac{T_F \cdot 10^3 \sin 2\alpha}{d_F^3 K_L}}.$$

Коэффициент Y_F принимают в зависимости от числа зубьев гибкого колеса z_F и коэффициента радиального зазора c^* (табл. 7.2), а μ — по рис. 7.3.

При определении коэффициента запаса по нормальным напряжениям вводят коэффициенты ϵ_{σ} , β_{σ} , K_{σ} , учитывающие размеры колес, состояние поверхности и отличие теоретических коэффициентов концентрации напряжений от эффективных

$$S_{\sigma} = \sigma_{-1}/[K'_{\sigma}\sigma'_{\alpha}/(\varepsilon_{\sigma}\beta_{\sigma}) + \psi_{\sigma}\sigma'_{m}] \leq [S_{\sigma}] = 1.5 \div 1.8.$$

Принимают $\epsilon_{\sigma}=0.95\div 1.0;\; \psi_{\sigma}=0.2;\; \beta_{\sigma}=\beta_{\tau}$ и

$$K'_{\sigma} \approx [1 + A_{\sigma}/\sigma_{-1}]^{-1},$$

где коэффициент A_{σ} выбирают в зависимости от числа зубьев гибкого колеса

§ 7.5. Конструирование волновых передач

Оригинальными деталями волновых передач являются гибкое колесо, гибкий подшинник и кулачок генератора волн.

Гибкие колеса выполняют в виде стаканов (рис. 7.6, a, δ) или цилиндрической оболючки со свободными тордами (рис. 7.6, a). Деформация гибкого колеса генератором совровождается осевыми смещениями сечений: торды колеса становятся неплоскими и деформируют дно стакана. Для снижения нагрузок на генератор воли и напряжений в стакане толщину дна принимают $h_a = h_0$ и дно плавно сопрягают с силовым поясом диаметра $d_3 \leq 0.65D$. Радиус сопряжения дна стакана и стенки $R = (3 \div 4) h_0$, длина стенки стакана $L = (0.8 \div 1.0) d_F$. Толщина степки стакана

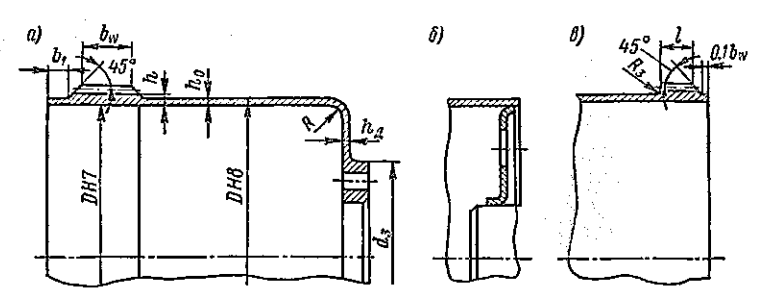


Рис. 7.6. Конструкции гибких колес передач C-F-h

 $h_0 = (0,5 \div 0,9) \, h$ меньше толщины h = D/99 в месте расположения зубьев, что обеспечивает более высокую жесткость зубчатого венца и снижает перекос зубьев за счет повышенной деформации гладкой части стенки стакана. Для этой же цели применяют участки стенок, выступающие за край зубчатого венца на расстояние $b_1 = (0,05 \div 0,06) \, d_F$. Выступающие участки стенок одновременно способствуют снижению концентрации напряжений на наружном торце зубчатого венца. Зубья гибких колес снабжают фасками под углом 45°, плавно сопрягаемыми с наружной поверхностью стакана по радиусам $R \approx (0,03 \div 0,05) \, D$.

Форма заготовок гибких колес существенно упрощается, если стакан выполняют сварным (рис. 7.6, 6) или оболочку соединяют с валом (или корпусом) зубчатым сочленением (рис. 7.6, a). Радиальная деформация гибкого колеса в зубчатом сочленении мала, поэтому в передаче нагрузки участвует большое число зубьев. Длина зубьев сочленения может быть принята $l \approx (0.4 \div 0.5) b_{yy}$ а радиус сопряжения $R_3 = (0.3 \div 0.5) m$.

Гибкие сварные зубчатые колеса изготавливают из сталей маров $30 \text{X}\Gamma \text{CA}$, $35 \text{X}\Gamma \text{CA}$ или стали 20 X при большом диаметре. Для несвариваемых колес используют стали марок 40 XH, 45 XH, 35 XM, 30 XH 3A и др. с твердостью после улучшения 300-350 HB и пределом выносливости $\sigma_{-1} \geqslant 350$ МПа.

Гибкие шариковые подшинники изготавливают в соответствии с ГОСТ 23179—78 (рис. 7.7). Наибольшая толщина наружного и внутреннего колец (см. табл. 7.1) составляет

$$h_{\rm n} = h_{\rm n} = 0.25 (D - d - 2D_{\rm w}) + h_{\rm w},$$

где $h_{\rm x}$ — глубина желобов колец, $h_{\rm x}=0.057D$.

Во избежание усталостных поломок колец изготовление прорезей в буртах для установки шаров не допускается. При сборке подшипника шары вводят между эксцентрично установленными кольцами и затем распределяют равномерно по окружности при одновременном совмещении центров колец. Равные угловые шаги между соседними телами качения обеспечивают сепараторами. Сепараторы выполняют из текстолита или фенола и центрируют телами качения (рис. 7.7).

После установки гибкого подшипника на кулачок угловая скорость побой точки сепаратора сохраняется постоянной, так как сепаратор не деформируется. Шары катятся по желобам деформированных колец с одинаковой линейной скоростью, но с различными угловыми скоростями

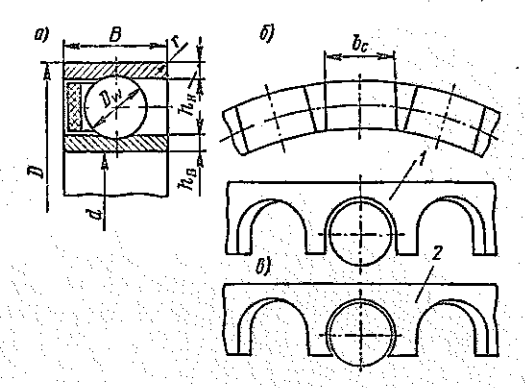


Рис. 7.7. Конструкция гибкого шарикового подшипника и сепараторов:
1 – сепаратор, свободно вкладываемый; 2 – сепаратор с защелкиванием на шарах

Чтобы избежать набегания шаров на перемычки сепаратора и поломки перемычек, ширина гнезда в окружном направлении должна быть больше диаметра шара (рис. 7.7):

$$b_c \approx D_w + K_U m$$
.

Посадочную поверхность для подшипника качения на кулачке выполняют с допуском js6, а в гибком колесе — с допуском H7.

Кулачок генератора волн профилирует по эквидистанте к заданной форме гибкого колеса. Для облегчения напрессовки гибкого подшипника, выполняют фаску размером $S \times 45^\circ$ ($S = 2K_Um$). Осевую фиксацию свободно вкладываемого сепаратора осуществляют шайбой 1 (рис. 7.8, a). Канавка 2 необходима для выхода шлифовального круга или чашечного резца, которыми профилируют кулачок. Кулачки генераторов волн должны иметь высокую радиальную жесткость, исключающую деформацию кулачка при действии рабочей нагрузки. Для равномерного распределения нагрузки между зонами зацепления генераторы волн выполняют плавающими

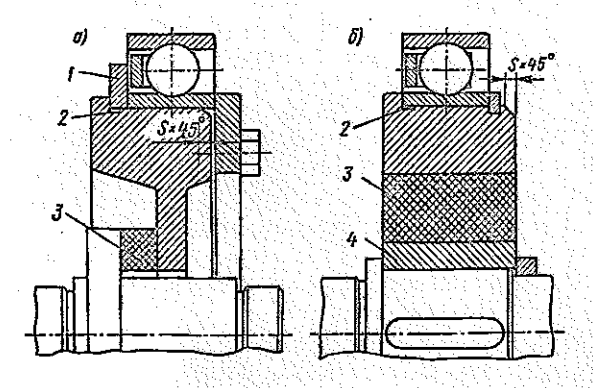


Рис. 7.8. Конструкции плавающих генераторов принудительной деформации

в радиальном направлении. Плавающую установку генераторов обеспивают упругими резиновыми элементами 3, которые методом вулкан зации или клеем соединяют с входным валом и кулачком генератор Промежуточная втулка 4 (рис. $7.8, \delta$) облегчает процесс вулканизаци и сборки генератора волн.

Жесткие колеса волновых передач проектируют с более широки зубчатым венцом $(b_w)_C = (b_w)_F + (2 \div 4)$ мм, что позволяет снизить требо вания к точности осевой фиксации гибкого колеса. Если твердост колеса F выше твердости колеса C, то выполняют $(b_w)_F > (b_w)_C$. Ради альная деформация жесткого колеса под действием нагрузок в зацеплиниях не должна превышать 0,05m. Это условие соблюдается при выбог толщины обода под зубьями $h = (0,17 \div 0,18)\,d_C$. Для предотвращени проворота жесткого колеса относительно корпуса используют цилиндрические или конические шпонки, которые устанавливают с торца, реж при засверловке стенки корпуса по радиусу. При клеевом соединени жесткого колеса с корпусом толщина обода может быть принята $h \approx 0,03d_C$. Жесткие колеса изготавливают из сталей 40X, 40XH, 30XГСл с термообработкой до твердости 240-280 HB.

Плавающую подвеску жестких колес с помощью зубчатых сочленени применяют при жесткой установке генераторов волн. Конструировани плавающих зубчатых колес рассмотрено на с. 288.

Глава 8

РЕМЕННЫЕ ПЕРЕДАЧИ

§ 8.1. Типы ремней. Кинематика. Геометрические зависимости

В зависимости от профиля сечения ремня различают плоскоременную, клиноременную и поликлиновую передачи. Разновидностью ременной передачи является зубчатоременная, передающая усилие за счет зацепления со шкивами. (В связи с ограниченным использованием плоскоременная передача в настоящем пособии не рассматривается.)

Клиновые ремни выполняются прорезиненными и имеют сечение трапецеидальной формы. Тяговым элементом является корд из химических волокон в виде нескольких слоев кордткани или шнура. Благодаря повышенному сцеплению со шкивами, обусловленному эффектом клина, несущая способность клиновых ременных передач выше, чем плоскоременных. Клиновые ремни производят нормального и узкого ссчений. Скорость клиновых ремней нормального сечения обычно не превышает $v=25 \div 30 \text{ м} \cdot \text{c}^{-1}$. Узкие ремни обладают в 1,5-2 раза большей несущей способностью, чем ремни нормальных сечений той же высоты, могут работать при более высоких скоростях и с большей частотой перегибов.

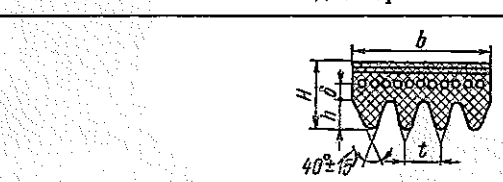
Поликлиновые ремни работают со скоростями до 40 м·с⁻¹, позволяют равномерно распределить нагрузку между рабочими поверхностями, имеют меньшие габаритные размеры. Размеры клиновых и поликлиновых ремней приведены в табл. 8.1, 8.2. Выбор типа клинового и поликлинового

Таблица 8.1 новные размеры приводных клиновых ремней и минимальные диаметры шкивов (см. табл. 8.9)

Тип ремия		Размеры се- чения, мм			:				
Do 100 100 100 100 100 100 100 100 100 10	Обозна- чение сечения	b_p	<i>b</i> ₀	h	Площадь сечения <i>А</i> , мм ²	Предельная длина L, мм	Масса I м длины <i>q_m</i> , кг/м	Мини- мальный диаметр меньшего шкива d _{pl} , мм	
Нормального сечения (ГОСТ 1284-80)	О А Б	8,5 11 14	10 13 17	6,0 8,0 10,5	47 81 138	400 - 2500 560 - 4000 800 - 6300	0,06 0,105 0,18	63 90 125	
Узкого сечения РТМ 51-15-15-70)	УО УА УБ	8,5 11 14	10 13 17	8 10 13	56 95 158	630 – 3550 800 – 4500 1250 – 8000	0,07 0,12 0,2	63 90 140	

Таблица 8.2

Эсновные размеры поликлиновых ремней по РТМ 38-40528—74 и минимальные диаметры шкивов



Обоз- наче-	Pas	меры с	ечения,	ММ	Предельная	Число	ребер <i>z</i>	Масса I м длины ремня	Мини- мальный днаметр	
ния ние ние	δ	t	Н	h	дэнна <i>L</i> , мм	реко- мен- дуемое	допус- каемое	с 10 ребрамн q _{m10} , кг/м		
КЛ	1,0 2,4	2,4 4,8	4,0 9,5	2,35 4,85	400 - 2000 1250 - 4000	2-36 4-20	36 50	0,09 0,45	40 80	

ремня производится в соответствии с данными табл. 8.3 или по графику, изображенному на рис. 8.1, в зависимости от передавлемой мощности и частоты вращения меньшего шкива.

Зубчатые ремии обеспечивают синхронность вращения валов, компактность привода, требуют малое предварительное натяжение. Зубчатоременные передачи применяют при скоростях $v=25\div 50~{\rm M\cdot c^{-1}}$ и выше в зависимости от значения модуля), передаточных отношениях $u\leqslant 12$ в некоторых случаях $u\leqslant 20$) и мощностях до 1000 кВт.

Кинематические параметры ременных передач: скорость ремня

$$v = \pi n_1 d_{\rm pl} / 10^3 \cdot 60; \tag{8.1}$$

Выбор типов клиновых и поликлиновых ремней

Тип ремня	Обозна- чение сечения	Момент на быстроходном валу T_1 , H -м	Тип ремня	Обозна- чение сечения	Момент і быстрохо, ном валу T_1 , Н \cdot м
Клиновой нормального	O A	<30 15-60	Клиновой узкий	УО УА УБ	<150 90-400 300-200
сечения	Б	45-150	Поликлиновые	К Л	<40 18-400

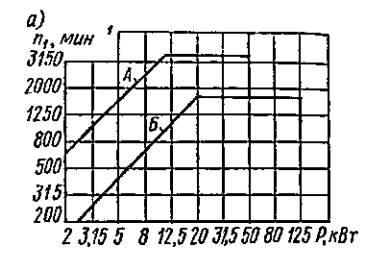
Примечание. Для повышения срока службы и КПД из возможных (при заданом значении T_1) сечений ремия рекомендуется брать меньшее.

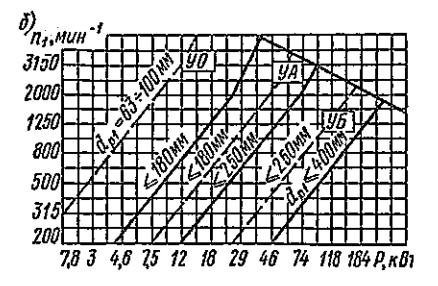
передаточное отношение

$$u = \frac{n_1}{n_2} = \frac{d_{p2}}{d_{p1}(1-\xi)},$$
 (8.

где n_1 — частота вращения, мин $^{-1}$; $d_{\mathfrak{p}_1}$ — расчетный диаметр малого шкі ва, мм; ξ — коэффициент скольжения, ξ = 0,01 ÷0,02.

Основными геометрическими параметрами клиноременных переда (рис. 8.2) являются диаметры шкивов $d_{\rm p1}$ и $d_{\rm p2}$, межосевое расстояние длина ремня L и угол обхвата на меньшем шкиве α_1 .





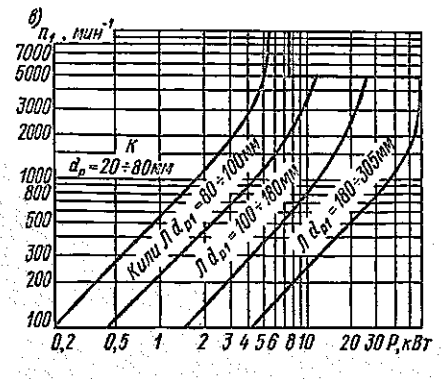
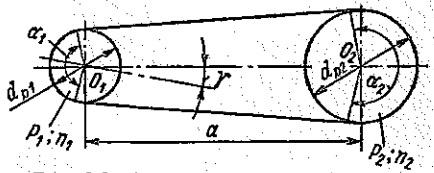


Рис. 8.1. К выбору сечения клинового ремня: a — нормальное сечение (тип O применяется для мощности P < 2 кВт); b — узкое сечение [11]; b — поликлиновый ремень [11]

Ориентировочный расчетный диаметр меньшего шкива $d_{\rm pl}$ клиюременной передачи определяется соответствии с табл. 8.1. (За расчетный диаметр принимается диаметр расположения несущего слоя ремня (см. табл. 8.9.) Ориенти-



ремня (см. табл. 8.9.) Ориенти- Рис. 8.2. Схема ременной передачи ровочный диаметр меньшего шкива (мм) поликлиновой передачи при

величине момента $T_1 \leqslant 250 \text{ H} \cdot \text{м}$

$$d_{\rm pl} \approx 30 \sqrt[3]{T_{\rm i}}.$$
 (8.3)

Диаметр большего шкива клиновой и поликлиновой передач

$$d_{p2} = d_{p1} (1 - \xi) u. \tag{8.4}$$

Найденные диаметры шкивов следует округлить до ближайших стандартных значений, равных 63; 71; 80; 90; 100; 112; 125; 140; 160; 180; 200; 224; 250; 280; 315; 355; 400 ... мм (ГОСТ 20889-75-ГОСТ 20898-75).

Межосевое расстояние для клиновых передач определяется по формуле

$$a_{\min} = 0.55 (d_{p1} + d_{p2}) + h,$$
 (8.5)

где h — высота ремня (см. табл. 8.1).

Обычно для увеличения долговечности ремня принимают $a > a_{\min}$ и руководствуются следующими данными:

Длина ремня рассчитывается по формуле

$$L = 2a + \pi (d_{p1} + d_{p2})/2 + (d_{p2} - d_{p1})^2/(4a).$$
 (8.6)

Минимальная длина ремня из условня обеспечения необходимой долговечности равна

$$L_{\min} \geqslant v/i,$$
 (8.7)

где i — частота пробега ремня в секунду; для клиновых и поликлиновых ремней $i_{\max} = 20 \div 30$.

Если длина ремня, найденная по формуле (8.6), не удовлетворяет неравенству (8.7), то ее увеличивают. Расчетную длину L округляют до ближайшего стандартного значения, равного 400; 450; 500; 560; 630; 710; 800; 900; 1000; 1120; 1250; 1400; 1600; 1800; 2000.

По выбранной длине ремня определяют действительное межосевое расстояние

$$a = 0.25 \left[L - \Delta_1 + \sqrt{(L - \Delta_1)^2 - 8\Delta_2} \right],$$
 (8.8)

где $\Delta_1 = 0.5\pi (d_{p1} + d_{p2}); \ \Delta_2 = 0.25 (d_{p2} - d_{p1})^2.$

Угол обхвата на меньшем шкиве (рис. 8.1)

$$\alpha_1 = 180^\circ - 57.3^\circ (d_{\rm p2} - d_{\rm p1})/a.$$
 (8.9)

Обычно принимают $\alpha_1 \ge 120^\circ$, но при необходимости можно взять $\alpha_1 \ge 90^\circ$.

Основными геометрическими характеристиками зубчатого ремня явля ются модуль m, число зубьев ремня z, и длина ремня L.

Модуль ремня определяется по формуле (8.29). Число зубьев меньшего шкива z_1 в зависимости от модуля и частоты вращения определяется из табл. 8.4.

Число зубьев большого шкива равно

$$z_2 = z_1 u, \tag{8.10}$$

rде u — передаточное число.

Ширина ремня b в зависимости от модуля выбирается из табл. 8.5 Предварительное значение длины ремня L' подсчитывается по формуле (8.6). По величине L' находят ориентировочное значение числа зубьев ремня

$$z_{\rm p}' = L'/(\pi m),$$
 (8.11)

после чего его округляют до рекомендуемых значений (табл. 8.6). Окончательная длина ремня определяется по формуле

$$L = \pi m z_{p} \qquad (8.12)$$

с округлением до нормализованных значений (табл. 8.6). Межосевое расстояние предварительно принимают равным

$$a' = (0.5 \div 2.0) (d_1 + d_2),$$
 (8.13)

где d_1 и d_2 — диаметры делительных окружностей шкивов:

$$d_1 = mz_1; \quad d_2 = mz_2. \tag{8.14}$$

Окончательное значение a определяют по формуле (8.8). Число зубьев ремня, находящихся в зацеплении с малым шкивом, равно

$$z_{p0} = z_1 \alpha_1 / 360^{\circ}, \tag{8.15}$$

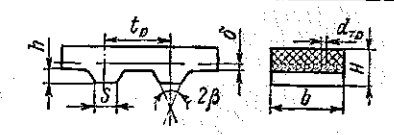
где α_1 — угол обхвата на меньшем шкиве [см. формулу (8.9)].

Таблица 8.4

Выбор числа зубьев меньшего шкива

Модуль ремня <i>т</i> , мм	Частота враще- иня_меньшего шкива n ₁ , мин	Число зубьев меньшего шкива z ₁ (не менес)	Модуль ремня <i>т</i> , мм	Частота вращения меньшего шкива n ₁ , мин	Число зубьев меньшего шкива г ₁ (не менее)
2	500 3000 3500 4500 5000 6800 7000 7500	12 14 16 18	5	500 •1000 – 1500 2000 – 3000 3500 – 4000	16 18 20 22
3	500 - 1000 1500 - 2000 2500 - 3500 4000 - 5000	12 14 16 18	7	500 1000 1500 2000	20 22 24 26
4 (4)	500 1000 1500 — 2000 2500 — 3500	14 16 18 20	10	500 1000 1500 2000	20 22 24 26 – 28

Основные параметры зубчатых ремней по ОСТ 38-05114-76



Параметры			Моду	ль <i>т</i> , мм	I :	
Hapanespa	2	3	4.	5	7	10
Шаг ремня $t_p = \pi m$ Общая толщина рем- ня H , мм	6,28 3,00	9,42 4,0	12,57 5,0	15,71 6,5	21,99 11,0	31,42 15,0
Высота зуба <i>h</i> Наименьшая толщи- на зуба	1,5 1,8	2,0 3,2	2,5 4,4	3,5 5,0	6,0 8,0	9,0 12,0
Угол профиля зуба 28,°	50	40	40	40	40	40
Диаметр троса $d_{\text{тр}}$, мм Ширина ремня b , мм	0,36 8; 10; 12,5	0,36 12,5; 16; 20	0,36/0,65 20; 25; 32; 40		0,65 50; 63; 80	0,65 50; 63; 80
Расстояние от оси троса до впадины рем ня б. мм	0,6	0,6	0,8	0,8	0,8	0,8
Допускаемая удельная окружная сила $[q_0]$, $H/мм$		10	15/25	35	40	60

Таблија 8.6

Число зубьев и длина зубчатого ремия

Число	[Д.	лина ремня L	при модуле т	, мм		
зубьев ремня г _р	2	3	4	5	7	10	
32 36 40 45 50 56 63 71 80 90 100 112 125 140 160	201 226,1 251,2 282,6 314 351,7 395,6 445,9 502,4 565,2 628 703,4 785	339,1 376,8 423,9 471 527,5 593,5 668,8 753,6 847,8 942 1055 1177,5 1318,8 1507,2			989,1 1099 1230,9 1384,7 1560,6 1758,4 1978,2 2198 2461,8 2747,5	 1570 1758,4 1978,2 2229,4 2512 2826 3140	

§ 8.2. Расчет ременных передач

Клиноременная передача. Допускаемая мощность, кВт, которую можпередать один клиновой ремень данного сечения, рассчитывается и формуле

$$[P] = (P_0 C_\alpha C_L + \Delta P_{11}) C_p, \tag{8.1}$$

где P_0 — мощность, передаваемая одним ремнем при $z_{\rm m}=2$; u=1; $\alpha:=180^\circ$; $v_{\rm m}=1$, длине L_0 , долговечности $t_{\rm h}$ и спокойной работе (рис. 8.3 C_L — коэффициент, учитывающий влияние на долговечность длины ремн (табл. 8.7) в зависимости от отношения данной длины ремня к исходно L_0 (см. рис. 8.3), C_a — коэффициент, учитывающий влияние на тяговуг способность угла обхвата.

Ниже приводятся значения коэффициента C_{α} в зависимости от величины α_1 :

C_2							
$C_{\mathfrak{x}}$ °							

Коэффициент C_p учитывает режим работы передачи. При односменноі работе этот коэффициент имеет следующие значения:

Характер	нагрузки	•	•	спокойная	умеренные	значительные	ударная и резко
					колебания	колебания	переменная
$C_{\rm p}$				1	0,98 0,8	0,8-0,7	0,7 - 0,6

При двух- и трехсменной работе коэффициенты режима соответственис принимаются: $C_{\rm p2} = 0.87 C_{\rm p}$; $C_{\rm p3} = 0.72 C_{\rm p}$.

Поправка $\Delta P_{\rm H}$, учитывающая уменьшение влияния на долговечность изгиба ремня на большем шкиве с увеличением передаточного отношения, рассчитывается по формуле

$$\Delta P_{ii} = 10^{-4} \Delta T_{ii} n_1, \tag{8.17}$$

где ΔT_n — поправка к моменту на быстроходном валу в зависимости от передаточного отношения (табл. 8.8); при $u=1,0\div 1,02$ $\Delta T_n=0$; n_1 — частота вращения быстроходного вала, мин⁻¹.

Необходимое число ремней с учетом неравномерности распределения нагрузки между ремнями равно

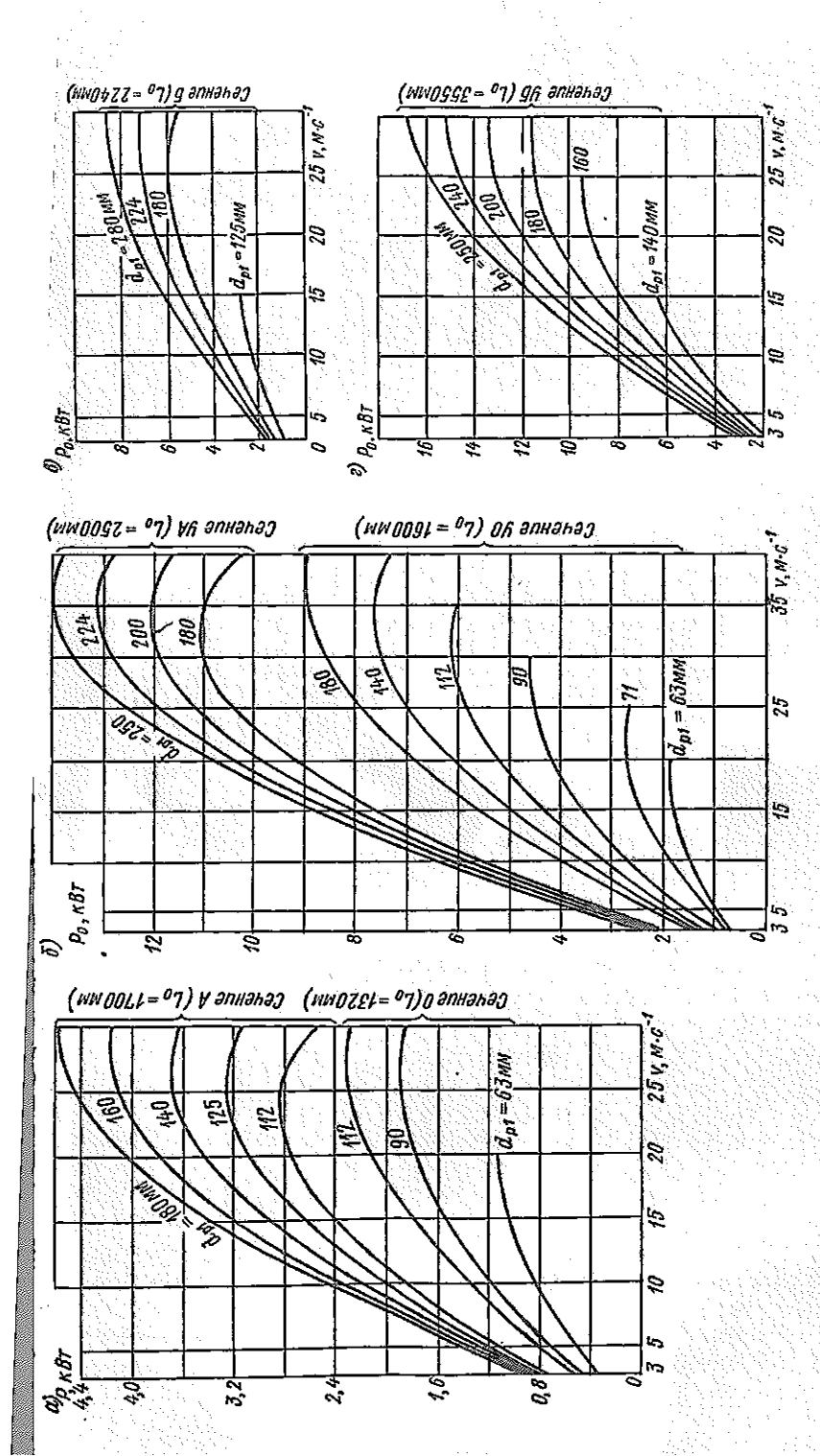
$$z = P/[P] C_{z}, \tag{8.18}$$

где P — заданное значение передаваемой мощности, кВт; C_z — коэффициент числа ремней.

Для поликлинового ремня число ребер определяется по формуле

$$z = 10P/[P] \tag{8.19}$$

(рекомендуемое и допускаемое число ребер указано в табл. 8.2).



2 - VB Рис. 8.3. Значения P_0 для клиновых ремней: a — сечения O и A; b — VO и VA; b — \overline{b} ;

Коэффициент C_L

	Величина C_L дл	я типов ремней		Величина C_L дл	я типов ремней
L/L ₀	клинового нормального сечения	клинового узкого и поли- клинового	L/L_0	клинового нормального сечения	клинового узкого и поли- клинового
0,3 0,4 0,5 0,6 0,8 1,0	0,79 0,82 0,86 0,89 0,95 1,0	0,80 0,85 0,89 0,91 0,96 1,0	1,2 1,4 1,6 2,0 2,11	1,04 1,07 1,10 1,15 1,20	1,03 1,06 1,08 1,12 1,15

Таблица 8.4

Поправка $\Delta T_{\rm H}$, Н \cdot м

		Тип ремня											
Передаточное отношение и	Клиновой	нормально	го сечения	Клиново	ой узкий	Поликлиновой							
011104211111	0	A	Б	УО	УА	K	Л						
1,03 — 1,07 1,08 — 1,13 1,14 — 1,20 1,21 — 1,30 1,31 — 1,40 1,41 — 1,60 1,61 — 2,39 2,40 и более	0,08 0,15 0,23 0,3 0,35 0,38 0,4 0,5	0,2 0,4 0,6 0,8 0,9 0,11 0,11	0,5 1,1 1,6 2,1 2,3 2,6 2,9 3,1	0,3 0,6 0,9 1,2 1,4 1,5 1,7	0,7 1,4 2,1 2,8 3,1 3,5 3,8 4,2	0,1 0,2 0,3 0,44 0,5 0,55 0,6 0,7	0,9 1,8 2,7 3,6 4,0 4,5 5,0 5,4						

Сила предварительного натяжения одного клинового ремня, Н, рассчитывается по формуле

$$F_0 = 780P/(vC_aC_pz) + q_mv^2, (8.20)$$

где q_m — масса 1 м длины ремня (табл. 8.1).

Сила предварительного натяжения поликлинового ремня с числом ребер z равна

$$F_0 = 780P/(vC_2C_p) + 0.1q_{m10}zv^2, (8.21)$$

где q_{m10} — масса 1 м длины ремня с 10 ребрами (табл. 8.2). Сила, действующая на вал,

$$F_r = 2F_0 z \sin{(\alpha_1/2)} \tag{8.22}$$

(для поликлинового ремня z = 1).

Клиновой ремень работает с переменным напряжением, меняющимся 4 раза за один пробег. Долговечность его зависит в основном от усталостной прочности, которая определяется напряжением, а также числом циклов их изменения. Под влиянием циклического деформирования и сопровождающего его внутреннего трения в ремне возникает усталостное разрушение.

В основе методов расчета на долговечность лежит уравнение кривой сталости, которая в данном случае имеет вид:

$$\sigma_{\max}^m \cdot 3600 z_m t_h (v/L) = \sigma_v^m N_0,$$
 (8.23)

де σ_{\max} — макеимальное напряжение цикла изменения напряжений, МПа; t_{m} — число шкивов; t_{h} — долговечность, ч; (v/L) — частота пробегов ремня секунду; σ_{y} — предел выносливости для материала ремня, $\sigma_{y} = 9$ МПа при m = 11; $N_{0} = 10^{7}$ — базовое число циклов.

Долговечность ремня рассчитывается по формуле

$$t_{k} = \left(\frac{\sigma_{y}}{\sigma_{\text{max}}}\right)^{m} \frac{10^{7} v_{ik}}{3600 (v/L) z_{in}},$$
 (8.24)

гле

$$\sigma_{\text{max}} = \sigma_{\text{p}} + \sigma_{\text{u}}. \tag{8.25}$$

Коэффициент v_{ii} в формуле (8.24) учитывает разную степень влияния напряжений изгиба на малом и большом шкивах. Значения v_{ii} приведены на рис. 8.4.

Напряжение растяжения в ремне, МПа

$$\sigma_{p} = F_{0}/(bh) + [q_{0}]/(2h) + \sigma_{u}$$
 (8.26)

Напряжение от центробежных сил, МПа

$$\sigma_{\rm u} = 10^{-6} \rho_{\rm m} v^2, \tag{8.27}$$

где ρ_m — плотность материала ремня, кг/м³; для клиновых и поликлиновых ремней $\rho_m = 1250 \div 1400 \text{ кг/м³}$.

Напряжение изгиба в ремне на меньшем шкиве, МПа

$$\sigma_{\rm II} = E_{\rm II} \delta/d_{\rm pl}, \tag{8.28}$$

где $E_{\rm u}$ — модуль упругости при изгибе; $E_{\rm u} = 80 \div 100$ М.Па для прорезиненных ремней.

Зубчатоременная передача. Модуль зубчатоременной передачи, исходя из усталостной прочности зубьев ремня, определяют по упрощенной зависимости

$$m \approx 35 \sqrt[3]{P/n_1},\tag{8.29}$$

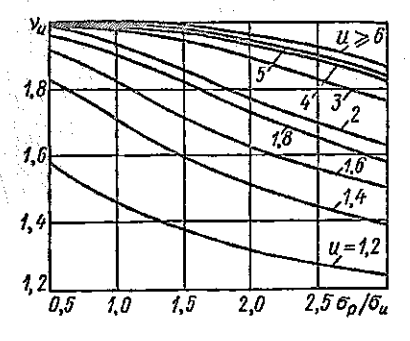
где P — мощность, передаваемая ремнем, кВт; n_1 — частота вращения малого шкива, мин $^{-1}$.

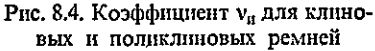
Полученное значение модуля округляют до нормализованного (см. табл. 8.5).

Удельная окружная сила, передаваемая зубчатым ремнем, равна

$$q = [q_0] C_p C_u C_z, \tag{8.30}$$

где $[q_0]$ – допускаемая удельная окружная сила (см. табл. 8.5); C_p – коэффициент режима (см. с. 156); C_u – коэффициент, учитывающий передаточное число, вводимый только для ускорлющих передач; C_z – коэффициент, учитывающий число зубьев, находящихся в зацеплении:





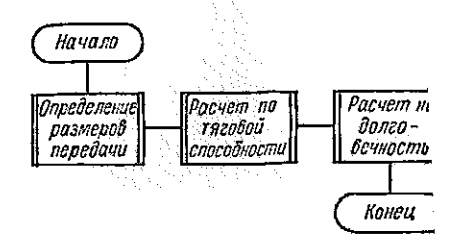


Рис. 8.5. Схема алгоритма расчета клине ременной передачи

Требуемая ширина ремня рассчитывается по формуле

$$b = \frac{2T_1/d_1}{q - q_m v^2},\tag{8.31}$$

где q_m — масса 1 м длины ремня шириной 1 см:

Величина b округляется до нормализованного ряда (мм): 8; 10; 12,5; 16; 20; 25; 32; 40; 50; 63; 80.

Сила предварительного натяжения определяется по формуле

$$F_0 = (1,1 \div 1,3) F_{ii} = (1,1 \div 1,3) q_m b v^2.$$
 (8.32)

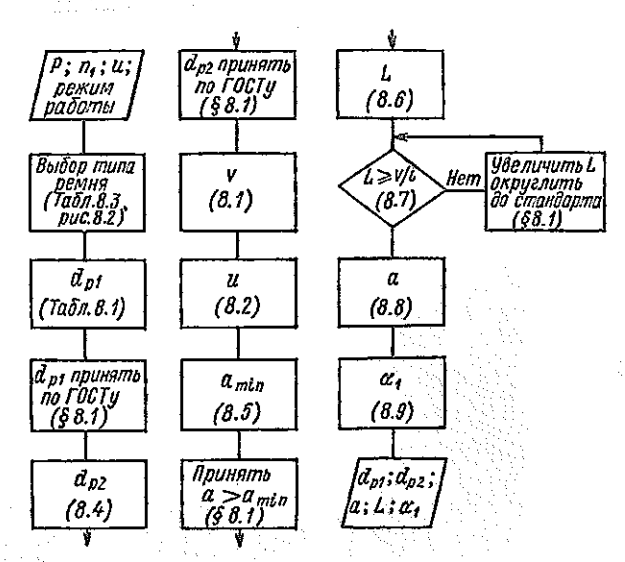
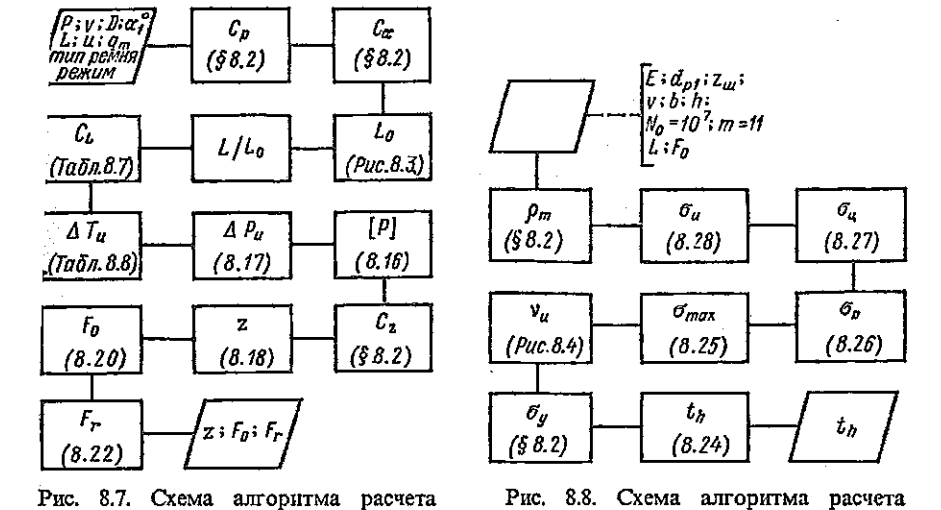


Рис. 8.6. Схема алгоритма определения размеров клиноременной передачи



Сила, действующая на вал, равна

клиноременной передачи по тяговой

способности

$$F_r = (1.0 \div 1.2) F_t,$$
 (8.33)

клиноременной передачи на долговеч-

ность

где $F_1 = 2T_1/d_1$.

На рис. 8.5-8.8 приведены схемы алгоритмов геометрического расчета по тяговой способности и на долговечность клиноременных передач.

В качестве исходных данных обычно принимают передаваемую мощность P (или момент на быстроходном валу T_1), частоту вращения быстроходного вала n_1 , передаточное отношение u, угол наклона передачи γ , режим работы.

§ 8.3. Шкивы ременных передач

Шкив ременной передачи (рис. 8.9) состоит из обода, ступицы и соединяющего их диска. Шкивы изготовляют из чугуна, стали, легких сплавов и неметаллических материалов. Чугун СЧ 15-32 и других марок применяют при скоростях $v \le 30~\text{m}\cdot\text{c}^{-1}$. Модифицированные чугуны и стальное литье применяют при $v \le 45~\text{m}\cdot\text{c}^{-1}$. Шкивы из алюминиевых сплавов, а также сварно-штампованные шкивы имеют минимальную массу и могут быть использованы при $v \le 80 \div 100~\text{m}\cdot\text{c}^{-1}$. Шкивы из неметаллических материалов отличаются повышенным трением. Ступица шкива может располагаться симметрично или несимметрично относительно обода и устанавливаться на вал с натягом.

$$D_{\rm H} = d_{\rm p} + 2h_0. {(8.34)}$$

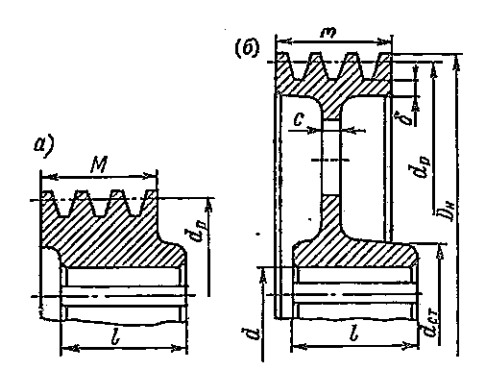
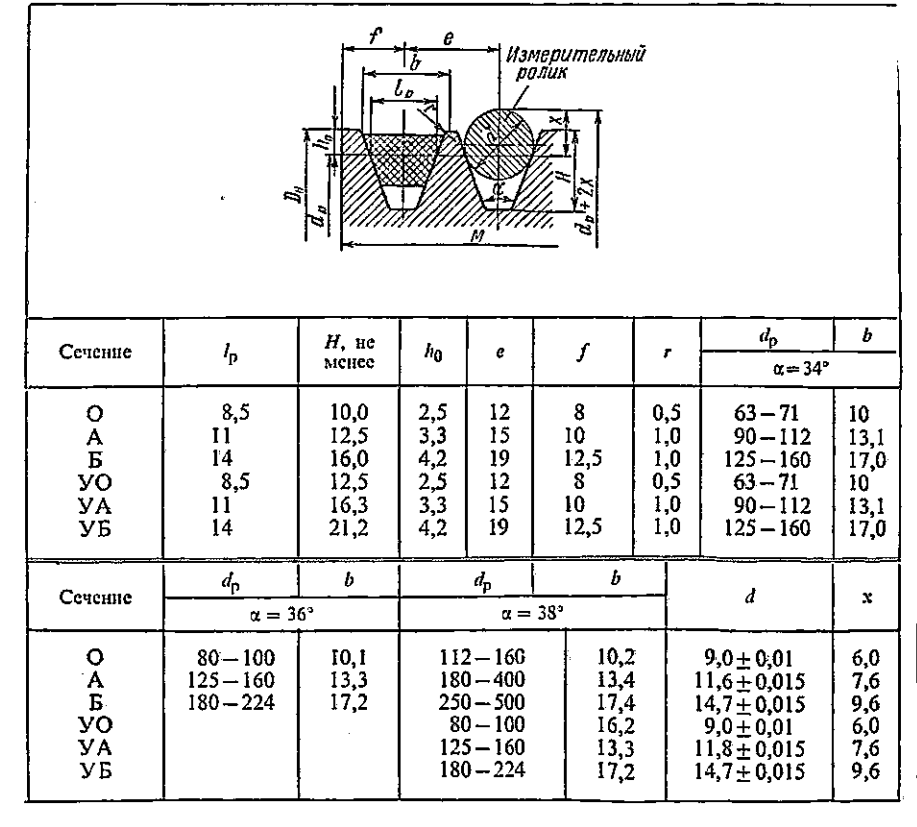


Рис. 8.9. Шкивы для клиновых ремнеі a — ступица без диска; b — ступиц с диском

Таблица 8.1 Основные размеры (мм) профиля канавок литых и точеных шкивов для клиновыю ремней нормального и узкого сечений



Конструкция шкива определяется его диаметром, типом выбранного жиня и числом ремней. Шкивы диаметров $d_{\rm p}=63\div100$ мм выполняются онолитными, точеными с выступающей односторонней ступицей или без зе по ГОСТ 20889 — 75 — ГОСТ 20891 — 75*. Шкивы диаметров $d_{\rm p}=20\div400$ мм изготовляются с диском и укороченной или удлиненной гупицей по ГОСТ 20892 — 75 — ГОСТ 20894 — 75. Шкивы диаметров p>180 мм изготовляются со спицами по ГОСТ 20895 — 75 — ОСТ 20897 — 75.

Указанные стандарты регламентируют для каждого диаметра шкива і типа используемого ремня число канавок и:

$$d_{\rm p}, \, {\rm MM}$$
 $\leq 90 \, 90 - 100 \, > 100$

Размеры профиля канавок шкивов и контроля по ГОСТ 20898-75 приведены в табл. 8.9. Ширина ступицы l (рис. 8.9, a, b) назначается в зависимости от диаметра расточки шкива:

Ширина шкива M определяется по данным табл. 8.10. Остальные размеры клинового шкива могут быть приняты ориентировочно (см. рис. 8.9, a, δ): $c=8\div14$ мм; $\delta=6\div10$ мм в зависимости от типа ремня. Основные размеры профиля канавок поликлинового шкива приведены в табл. 8.11.

Наружный диаметр поликлинового шкива равен

$$D_{\rm tr} = d_{\rm p} - 2\delta. \tag{8.35}$$

Ширина шкива рассчитывается по формуле

$$M = (z - 1)t + 2l. (8.36)$$

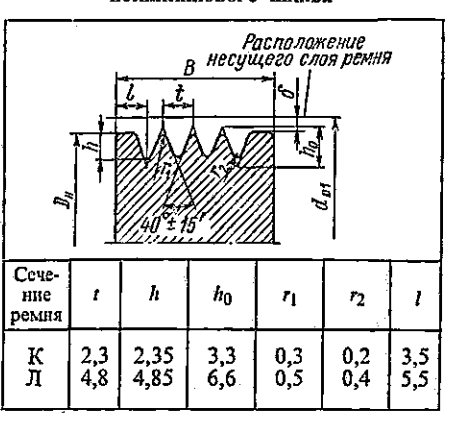
Шкив зубчатого ремня (рис. 8.10) представляет собой зубчатое колесо, головки зубьев у которого срезаны до днаметра, расположенного ниже

Таблица 8.10

Ширина клипового шкива по
ГОСТ 20889-75-ГОСТ 20897-75

Ширина M при числе ремней zСечение ремня 3 1 5 16,0 28,0 40,0 52,0 0 20.0 35.0 50.0 65.0 A 80.0 Б 25,0 44.0 63.0 82.0 101.0

Таблица 8.11 Основные размеры профиля канавок поликлинового шкива



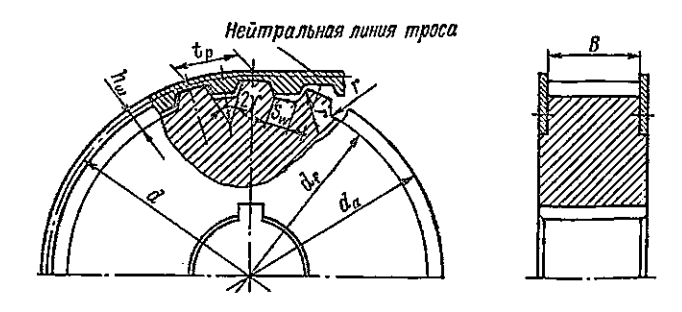


Рис. 8.10. Шкив зубчатоременной передачи

делительной окружности d (совпадающей с нейтральным слоем ремня на величину 2 δ . Основные геометрические параметры шкива:

Модуль зацепления $m = t_p/\pi$	
Диаметры:	•
делительной окружности $d=mz$	
окружности выступов $d_a = d - 2\delta + k$	
окружности впадин $d_f = d_a - 1.8m$	
Ширина шкива $B = b + m$ ($b -$ ширина	ремня)
Угол впадины:	
при $m \le 2$ мм	
при $m > 2$ мм $2\gamma = 40 + 2^{\circ}$	

Расстояние от впадины зуба ремня до средней линии металлического троса $\delta=0.6$ мм при m, равном 2, 3, 4 мм и $\delta=1.3$ мм при $m=4\div10$ мм. Поправочный коэффициент k учитывает нагрузку и податливость троса, улучшающих распределение нагрузки между зубьями ремня на дуге обхвата

$$k=0,15F_t\lambda z/b,$$

где F_i — окружная сила, определяемая по наибольшему крутящему моменту T_1 , H; λ — коэффициент продольной податливости троса, мм²/H. Ниже приведены значения коэффициента λ в зависимости от m

т, мм .					٠	2	3	4	5	7	10
λ , MM^2/H						0,0018	0,0025	0,003	0,0013	0,0019	0,0025

Глава 9

ВАЛЫ, ОСИ И СОЕДИНЕНИЯ ВАЛ-СТУПИЦА МЕХАНИЧЕСКИХ ПЕРЕДАЧ

§ 9.1. Конструпрование валов и осей и порядок проектирования

На первом этапе проектирования валов и осей составляют конструктивную и расчетную схемы, определяют действующие нагрузки. Затем по формулам проектировочного расчета находят диаметры входного, выходного или промежуточного сечения вала, выбирают номинальные

циаметры соединений, назначают высоту заплечиков, галтелей, фасок. Для полностью спроектированного вала уточняют расчетную схему, проводят расчеты на выносливость, статическую прочность и жесткость. Обоснованность назначенных конструктивно типа и размеров соединений вал — ступица должна быть также подтверждена соответствующими проверочными расчетами.

Валы редукторов можно подразделить на входные (быстроходные), выходные (тихоходные) и промежуточные. Большинство входных валов рядных, планетарных и червячных редукторов выполняют за одно целое с зубчатыми венцами (вал-шестерни на рис. 9.1, a-e) или червяками. Выходные валы передач изготавливают с посадочными шейками диаметром d_c для насадных зубчатых или червячных колес (рис. 9.1, c, d). Входные и выходные валы обычно имеют выступающий из корпуса редуктора консольный участок с диаметром d_c , предназначенный для сопряжения с полумуфтой, шкивом или звездочкой цепной передачи. В конструкциях навесных редукторов выходной вал выполняют полым (рис. 9.1, d) и насаживают на вал приводного агрегата. Промежуточный вал-шестерня многоступенчатого редуктора показан на рис. 9.1, e.

Валы взаимодействуют с насаженными на них деталями и подпииниками. Фиксирование насаженных деталей от проворота осуществляют проночными, зубчатыми (шлицевыми) соединениями и соединениями с гарантированным натягом. Условия сборки на одном валу деталей с различными посадками и типами соединений, а также требования к осевой фиксации деталей обусловливают неизбежность в подавляющем большинстве случаев ступенчатой конструкции вала.

Оси сателлитов обычно выполняют с постоянным диаметром по всей длине (рис. 9.1, ж), что позволяет при выборе посадок в системе вала применять высокопроизводительное бесцентровое шлифование. Сборка узла сателлита упрощается при использовании ступенчатой оси (рис. 9.1, 3) с посадками в системе отверстия.

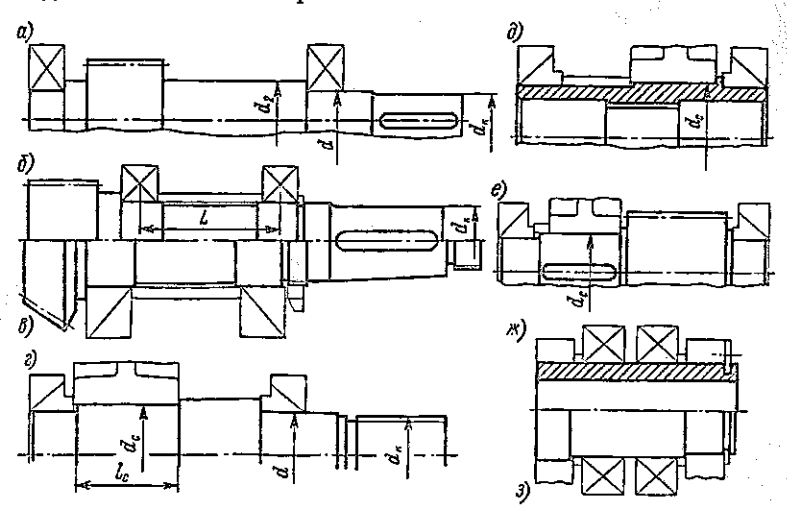


Рис. 9.1. Конструкция валов редукторов

Осевые размеры валов и осей выявляют в процессе эскизной компновки передачи в соответствии с рекомендациями к определению полжения подшипников (гл. 15) и ширины зубчатых венцов. Наприме расстояние между опорами червячного колеса составляет $L = (0,50 \div 0,75) d_2$ (d_2 — диаметр червячного колеса), а для консольной шестерн $L \geqslant 2d$ (d — внутренний диаметр подшипников качения). Длина консольног участка вала должна быть согласована с длиной ступицы полумуфты шкива или звездочки.

Диаметры консольных участков $d_{\rm g}$ (мм) входного или выходного вало (рис. 9.1, $a-\varepsilon$) весьма приближенно могут быть приняты

$$d_{\kappa} = 17 \sqrt[3]{T/[\tau]}, \tag{9.1}$$

где T — крутящий момент, передаваемый валом, $H \cdot M$; $[\tau] = (0.025 \div 0.030)$ σ_0 , МПа. Здесь меньшие значения $[\tau]$ относятся к входным валам, а большие — к выходным. По формуле (9.1) получают диаметр d_{κ} , близкий к диаметру вала электродвигателя, затем его согласовывают с посадочным диаметром ступицы стандартных муфт. Размеры цилиндрических консольных участков валов округляют до стандартного по ГОСТ 12080 — 75, а конических — по ГОСТ 12081 — 75.

Диаметр посадочной шейки подшипника качения $d \approx 1,1d_{\rm K}$ (рис. 9.1, a) и наружный диаметр упорного бурта d_2 принимают в соответствии с каталожными данными выбранного подшипника из работы [4]. Перепад последовательных ступеней диаметров d_i и d_{i+1} промежуточных и выходных валов регламентирован условиями свободного прохода деталей до мест их посадок с натягом и должен назначаться минимальным $d_{i+1} - d_i \leqslant d_i/4$. Диаметр подступичной части вала можно принять $d_c \approx (0.37 \div 0.45) a_w$, где a_w — межосевое расстояние. Полученные тем или иным способом диаметры отдельных участков округляют до ближайшего значения по ГОСТ 6636 — 69 из ряда R40.

Выбор материала вала-шестерни предопределен требованиями к поверхностной твердости и выносливости при изгибе зубьев (см. гл. 2).

Осевое фиксирование деталей, устанавливаемых на вал или ось, обеспечивают упорными буртами, пружинными или разрезными кольцами, гайками и концевыми шайбами. Примеры применения этих элементов для осевого фиксирования подшипников качения рассмотрены в гл. 19. При отношении длины к диаметру посадочной поверхности L/d < 0.7 необходим упорный бурт и принудительный поджим детали к бурту, чтобы избежать ее перекоса относительно вала. Поджим может быть осуществлен к одному упорному бурту всего пакета деталей, дистанционных втулок и подшипников качения, установленных на вал.

Для осевой фиксации полумуфт, шкивов ременных и звездочек цепных передач могут быть использованы установочные винты. Конический или цилиндрический конец установочного винта, завинченного в ступицу, входит в соответствующую засверловку или проточку на валу и фиксирует ступицу от осевых смещений (рис. 15.1). Засверловки на валу или шпонке выполняют в процессе сборки.

Типы поднутрения для шлифуемых посадочных мест и упорных буртов представлены на рис. 9.2. Рекомендуемые соотношения размеров поднутрения \dot{r} , R, b (см. работу [3]). Для плотного прилегания торцов

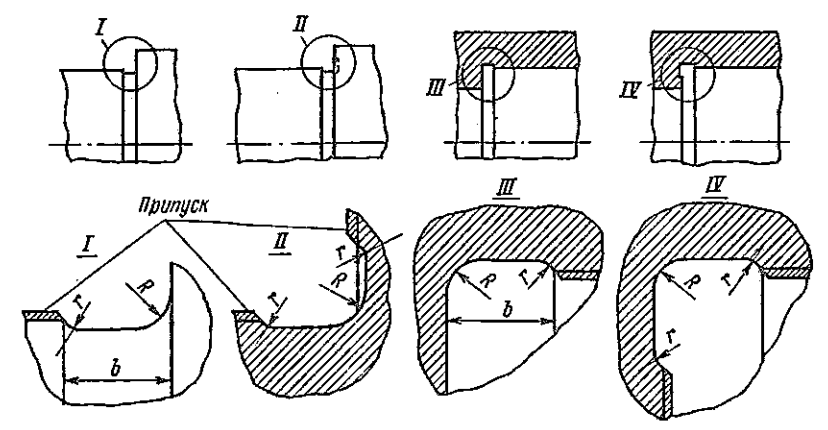


Рис. 9.2. Поднутрение посадочных мест и упорных буртов

насаживаемой детали к упорному бурту при отсутствии поднутрения необходимо согласовывать размеры галтели радиусом r с размерами фаски C или радиусом R на сопрягаемой детали (рис. 9.3, табл. 9.1). Коэффициент концентрации напряжений зависит не только от r/d_i , но также и от d_{i+1}/d_i . При резком перепаде диаметров, а также при малых радиусах галтелей, создающих значительную концентрацию напряжений, снижение концентрации напряжений на 20-40% может быть достигнуто с помощью разгружающих канавок I (рис. 9.3, a). Можно рекомендовать также применение дистанционных колец, при которых надобность в упорных буртах отпадает. Дистанционное кольцо 2 применяют также при несогласованной высоте упорного бурта и колец подшипника качения (рис. 9.3, a).

На участках вала, предназначенных для посадок с натягом, выполняют скосы и фаски для облегчения монтажа (рис. 9.4). Размеры скосов и фасок принимают в зависимости от диаметра вала:

Диаметр вала d_1 , d_2 ,	MM	•			30 - 45	45 - 70	70 - 100	100 - 150
Фаска с, мм						2,5	3	4
Размер скоса а, мм					3	5	5	8
Угол скоса α,						30	30	10

Для снижения концентрации напряжений при достаточно длинной ступице (L/d > 0.7) в соединениях с гарантированным натягом без упорных буртов

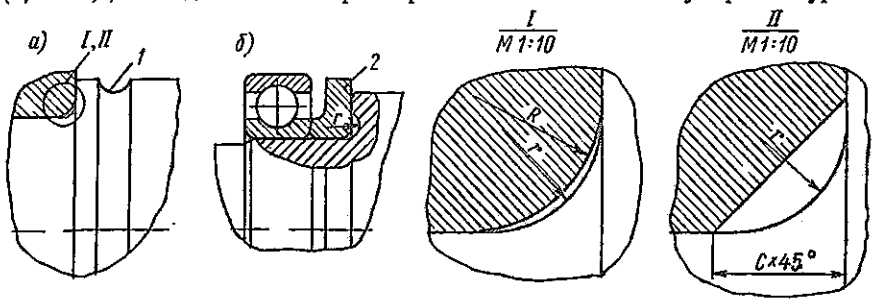


Рис. 9.3. Сопряжения участков вала в местах установки насаживаемых деталей

Таблица Размеры раднусов и фасок (мм) в соприжении соседних участков валов

Пилическа по то	Значе	7 RIH	Значения R, C				
Днаметр вала	номинальные	допускаемые	номинальные	допускаемые			
18 - 30 30 - 50 50 - 80	1,5 2,0 2,5	± 0,5	2,0 2,5 3,0	± 0,5			
80-120 120-150	3,0 4,0	± 1,0	4,0 5,0	±1,0			

рекомендуют выполнять посадочные диаметры с увеличением на 5% по сравнению с соседними участками вала (рис. 9.5, a). При уменьшенной длине ступицы применяют разгружающие выточки (рис. 9.5, b) или фасонные ступицы, утончающиеся к концам (рис. 9.5, a). Эти меры позволяют снизить концентрацию напряжений на 15-25%.

В местах перехода от диаметра d_i без насаженной детали к большему диаметру d_{i+1} вала предусматривают галтели с радиусом закругления $r\approx 0,4\,(d_{i+1}-d_i)$. Для повышения запаса выносливости переходных участков на шлицевых валах выполняют проточку K глубиной до диаметра d шлицев (рис. 9.6,6). В торсионных валах с этой же целью принимают диаметр гладкого участка вала $d_0=(0,7\div0,9)\,d$ (рис. 9.6,a). Длину участка для выхода шлицевых фрез определяют (рис. 9.6,6) в зависимости от наружного диаметра фрезы $D_{\phi p}$. Участки выхода фрезы могут распространяться на упорные бурты и шейки валов, предназначенные для размещения подпипников качения. Короткие эвольвентные зубья на консольных участках валов могут быть нарезаны методом обкатки на зубодолбежном станке. В этом случае проточка K не только способствует снижению концентрации напряжений, но также необходима для выхода полбяка.

Уменьшение шероховатости поверхностей шлифованием и полированием наиболее напряженных участков (галтелей и др. концентраторов) существенно повышает выносливость валов и осей. Снижению изнашивания участков валов, сопряженных с уплотнениями, способствует закалка всего вала или местная закалка токами высокой частоты. Закалке пол-

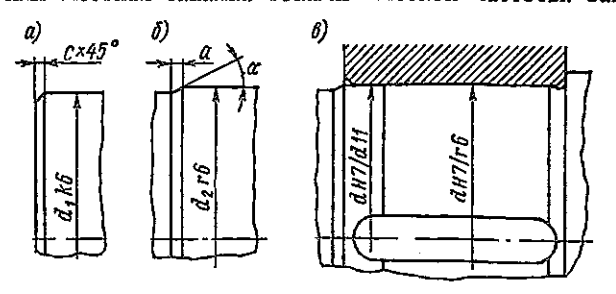


Рис. 9.4. Фаски и скосы на валах в месте посадки деталей с натягом

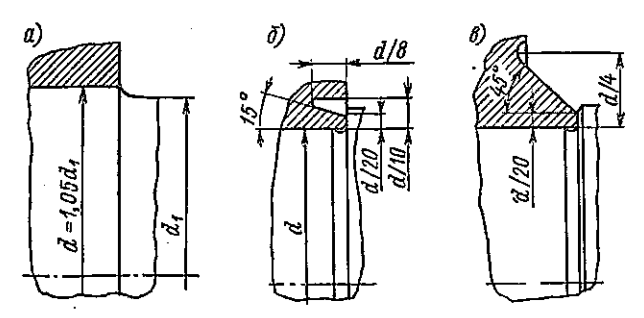


Рис. 9.5. Снижение концентрации напряжений в месте посадки с гарантированным натягом

лежат валы, несущие подвижные вдоль оси зубчатые колеса, а также валы часто разбираемых узлов.

Посадки на участке вала, сопрягаемого с подшипниками качения, и допуск на биение упорных буртов рассмотрены на с. 328. Указания к выбору посадок для зубчатых колес даны на с. 243, полумуфт — на с. 229, шкивов — на с. 161. Допуски и посадки шлицевых и шпоночных соединений рассмотрены в § 9.3, 9.4. На рис. 16.16, 16.20 представлены рабочие чертежи валов-шестерен и червяков.

§ 9.2. Проверочные расчеты валов и осей

Расчетные схемы валов и осей редукторов представляют в виде ступенчатых или гладких балок на шарнирных опорах. Подшипники, одновременно воспринимающие осевые и радиальные нагрузки, заменяют шарнирно неподвижными опорами, а подшипники, воспринимающие только радиальные силы — шарнирно подвижными опорами. Положение шарнирной опоры определяют с учетом угла контакта α подшипника качения (с. 186). При $\alpha=0$ для радиальных подшипников положение опоры принимают в середине ширины подшипника. Невращающиеся относительно вектора нагрузки оси сателлитов могут рассматриваться как статически неопределимые балки с упругой заделкой.

Нагрузки, передаваемые валам и осям со стороны насаженных на них деталей, приводят к центру соединения в виде сосредоточенного кру-

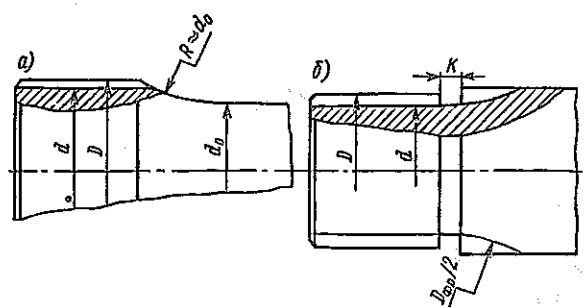


Рис. 9.6. Рациональная форма шлицевых участков валов

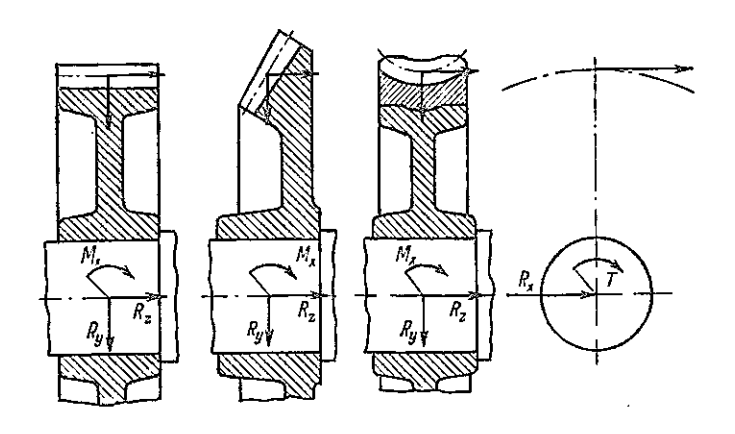


Рис. 9.7. Приведение расчетных нагрузок к оси вала

тящего момента T, осевой R_z , радиальных R_x , R_y сил и моментов M_x , M_y , действующих в двух взаимно перпендикулярных плоскостях (рис. 9.7).

Для приведения сил к геометрической оси вала распределенную нагрузку в зацеплении заменяют сосредоточенной силой, приложенной в середине зубчатого венца. Определение сосредоточенной силы и ее проекций рассмотрено в § 2.1 для цилиндрических, в § 4.2 для конических и в § 5.1 для червячных колес. На валы основных звеньев планетарных передач от усилий в зацеплениях передается только часть нагрузки (см. § 6.4), обусловленная неравномерным распределением нагрузки между сателлитами.

Нагрузки на консольные участки валов, обусловленные погрешностями монтажа и изготовления втулочно-пальцевых и зубчатых муфт, рассмотрены в § 13.2, 13.3.

Осевые моменты инерции и сопротивления определяют с учетом ослабления сечений шпоночными канавками и шлицевыми пазами как для круглых сечений с эффективным диаметром:

для вала со шпоночной канавкой глубиной t

$$d_{ab} \approx d - 0.5t$$
;

для шлицевого вала с наружным D и внутренним d диаметрами

$$d_{\text{3th}} \approx D - 0.657 (D - d).$$

Если на вал напрессована ступица диаметром D и длиной L, то эквивалентный диаметр участка вала принимают равным $d_{3\phi}$. Величину $d_{3\phi}$ при $D/d \geqslant 1,7$ определяют из рис. 9.8 в зависимости от относительного натяга N/d и величины отношения L/d.

Расчет валов (осей) на выносливость ведут по наибольшей длительно действующей нагрузке с учетом режима нагружения (см. с. 40). За наибольшую длительно действующую нагрузку принимают нагрузку, повторяемость которой за время работы составляет не менее 10³ циклов.

В нескольких сечениях вала, выбираемых с учетом концентраторов и эпюр моментов, определяют коэффициент запаса прочности на выносливость и сравнивают его с допускаемым:

$$S = S_{\sigma}S_{\tau}/\sqrt{S_{\sigma}^{2} + S_{\tau}^{2}} \geqslant [S];$$

$$S_{\sigma} = \sigma_{-1}/(\sigma_{a}K_{\sigma D}/K_{c\sigma} + \psi_{\sigma}\sigma_{m});$$

$$S_{\tau} = \tau_{-1}/(\tau_{a}K_{\tau D}/K_{c\tau} + \psi_{\tau}\tau_{m}).$$

$$(9.2)$$

Механические характеристики σ_{-1} , τ_{-1} материалов даны в гл. 2. Амплитудные и средние значения нормальных и касательных напряжений определяют по зависимостям:

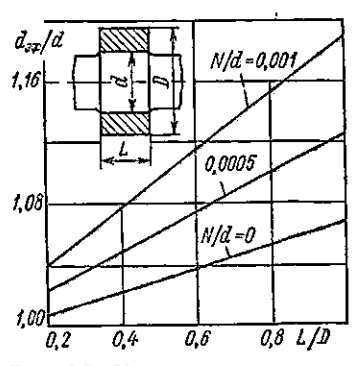


Рис. 9.8. К определению эквивалентного расчетного диаметра участка вала со ступицами, установленными с натягом

$$\sigma_a = 0.5 (1 - R_o) M/W_u;$$
 $\sigma_m = 0.5 (1 + R_o) M/W_u;$
 $\tau_a = 0.5 (1 - R_o) T/W_p;$ $\tau_m = 0.5 (1 + R_o) T/W_p.$

Изгибающий момент $M = \sqrt{M_x^2 + M_y^2}$, где M_x и M_y – изгибающие моменты во взаимно перпендикулярных плоскостях.

Влиянием осевых и перерезывающих сил на напряжение обычно пренебрегают. Для валов и осей, вращающихся относительно векторов нагрузок, коэффициент асимметрии цикла изменения нормальных напряжений назначают $R_{\sigma}=-1$, а для невращающихся относительно векторов нагрузок $R_{\sigma}=0$. Обычно для валов, работающих при нереверсивной нагрузке, принимают $R_{\tau}=0$, а для валов реверсируемых передач $R_{\tau}=-1$.

При эквивалентном числе циклов изменения напряжений изгиба или кручения больше базового $N_0=4\cdot 10^6\,(N_{\rm EG}>N_0$ и $N_{\rm E\tau}>N_0)$ принимают $K_{\rm c\sigma}=K_{\rm c\tau}=1$. При числе циклов изменения напряжений меньше базового

$$K_{c\sigma} = K_{c\tau} = \sqrt[m]{N_0/N_E}.$$

Если коэффициент $K_c > 1.7$, то ограничивают $K_c = 1.7$. Для нормализованных и улучшенных валов принимают $m = 6 \div 7$. Для сечений упрочненных валов с концентраторами $m = 8 \div 9$. Принятые здесь показатели степени m используют также при определении эквивалентного числа циклов (см. стр. 42).

Для нормализованных и улучшенных легированных сталей при $\sigma_{\rm n} > 800$ МПа принимают коэффициенты чувствительности к асимметрии цикла $\psi_{\rm o} = 0.3 \div 0.4$; $\psi_{\rm c} = 0.15 \div 0.20$. Для сечений валов, подвергнутых поверхностному упрочнению (цементации, азотированию), выбирают соответствению $\psi_{\rm o} = 0.6$; $\psi_{\rm c} = 0.4$ и $\psi_{\rm o} = 0.8$; $\psi_{\rm c} = 0.5$.

Коэффициенты перехода от пределов выносливости образца к пределу выносливости деталей вычисляют по формулам:

$$K_{\sigma D} = (K_{\sigma}/\varepsilon_{\sigma} + K_{\sigma}^{\Pi} - 1)/K_{y}; \quad K_{\tau D} = (K_{\tau}/\varepsilon_{\tau} + K_{\tau}^{\Pi} - 1)/K_{y},$$

где эффективные коэффициенты концентрации напряжений K_{σ} , K_{ν} , коэф-

фициенты влияния абсолютных размеров ε_{σ} , ε_{σ} коэффициенты, учитывак щие шероховатость поверхности $K_{\sigma}^{n} \approx K_{\tau}^{n}$ и упрочняющую обработку K определяют по справочным таблицам или графикам (см., например работу [36, с. 67—74]). Если в рассматриваемом сечении имеется нескольк концентраторов напряжений, то учитывают лишь тот, у которого отношение $K_{\sigma}/\varepsilon_{\sigma}$ больше.

Допускаемые значения коэффициента запаса принимают $[s]=1,3\div1,5$ если известны фактические нагрузки, расчетная схема и достоверны меха нические характеристики материала. Большие значения коэффициентог запаса $[s]=1,6\div2,0$ принимают для коротких валов и осей $(L/D\leqslant3)$ в связи с приближенностью расчетной схемы и отклонением действительного значения коэффициента асимметрии цикла от принятого в расчете. Если s<[s] и увеличение размеров сечения невозможно, то наиболее эффективным способом повышения выносливости является применение упрочняющей обработки.

Расчет валов (осей) на статическую прочность ведут по наибольшей кратковременной нагрузке, которую определяют исходя из наиболее тяжелых условий работы с учетом динамических нагрузок и колебаний. В нескольких сечениях вала, назначаемых с учетом эпюры моментов и размеров сечений, определяют коэффициент запаса прочности по пределу текучести и сравнивают его с допускаемым $[s_1] = 1,5 \div 2,0$

$$s_{\rm r} = s_{\rm or} s_{\rm rr} / \sqrt{s_{\rm or}^2 + s_{\rm rr}^2} \le [s_{\rm r}].$$
 (9.3)

Здесь $s_{\text{от}} = \sigma_{\text{т}} W_u / M_{\text{max}}$; $s_{\text{тт}} = \tau_{\text{т}} / (T_{\text{max}} / W_p + 1,33 Q_{\text{max}} / A)$, где M_{max} , T_{max} , $Q_{\text{max}} - 1$ наибольшие значения изгибающего и кругящего моментов и перерезывающей силы в рассчитываемом сечении; $\sigma_{\text{т}}$, τ_{r} — предел текучести материала вала по нормальным и касательным напряжениям (см. табл. 2.2); A — площаль сечения.

Для большинства редукторных и приводных валов наибольшие кратковременные нагрузки пропорциональны длительно действующим. В этом случае для определения кратковременных нагрузок достаточно умножить значения длительно действующих расчетных усилий на коэффициент пропорциональности, который может быть принят равным отношению пускового момента приводного электродвигателя к номинальному моменту.

§ 9.3. Шпоночные соединения

Наиболее распространены призматические шпонки (рис. 9.9), размеры сечений которых выбирают в зависимости от диаметра вала d. Материал шпонок — сталь 45 или Стб с пределом прочности $\sigma_0 = 590 \div 750$ МПа. Длину призматических шпонок l (мм) выбирают из стандартного ряда в соответствии с расчетом на смятие по боковым сторонам шпонки

$$l_{\rm p} \ge 2T \cdot 10^3 / \{d(h - t_1) [\sigma_{\rm cm}]\},$$
 (9.4)

где T — наибольший крутящий момент с учетом динамических нагрузок при пуске или внезапном торможении, $H \cdot M$; h — высота шпонки; t_1 — заглубление шпонки в вал, $t_1 \approx 0.6h$, мм.

Рабочая длина шпонки l_p равна длине l призматической шпонки с плоскими торцами. При скругленных торцах $l = l_p + b$, где b — ширина

шпонки. Если для принятой конструктивно длины ступицы не может быть подобрана шпонка соответствующей длины, то применяют шлицевое соединение или комбинацию призматической шпонки и соединения с гарантированным натягом.

Допускаемые напряжения для шпонки назначают в зависимости от предела текучести от материала шпонки или сопряженных деталей, если их прочность ниже прочности шпонки:

$$[\sigma_{cM}] = \sigma_{\tau}/[s].$$

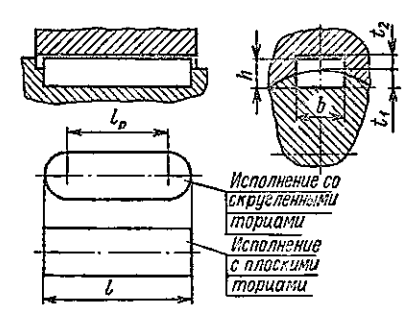


Рис. 9.9. Соединение с призматической шпонкой

При нереверсивной малоизменяющейся нагрузке $[s]=1,9\div2,3;$ при нереверсивной нагрузке с частыми пусками и остановами $[s]=2,9\div3,5.$ При реверсивной нагрузке указанные значения [s] повышают на 30%. Для шпонок из чистотянутой стали 45 принимают $\sigma_{\tau}\approx350$ МПа, из стали Ст6 $\sigma_{\tau}=450$ МПа. Для ступиц из чугуна марки СЧ 18-36 принимают $\sigma_{\tau}=130$ МПа.

Для установки шпонки в паз вала рекомендуют переходную посадку P9/h9, а в паз отверстия H9/h9 или $J_{\rm S}9/h9$ — посадки с зазором. Сборка соединения без смятия рабочих поверхностей возможна, если перекос шпонки $\Delta_{\rm n}$ относительно пазов ступицы и вала на длине соединения $l_{\rm p}$ не превышает величину зазора в сопряжении. Относительный поворот $\gamma = \Delta_{\rm c}/d$ ступицы и вала компенсирует смещение $\Delta_{\rm c}$ шпоночного паза относительно осей отверстия и вала, но приводит к несовпадению рабочих поверхностей. Для снижения неравномерности распределения напряжений по длине и высоте шпонки, а также свободной сборки соединения устанавливают допуск на перекос $\delta_{\rm n} \leqslant 0.5\delta_{\rm m}$ и на смещение $\delta_{\rm c} \leqslant 2\delta_{\rm m}$, где $\delta_{\rm m}$ — допуск на ширину шпоночного паза.

При изготовлении шпоночного паза на валу дисковой фрезой коэффициент концентрации напряжений меньше, чем при изготовлении пальцевой фрезой. Дисковая фреза обеспечивает также более точное изготовление паза, однако необходимо предусматривать место для свободного выхода фрезы.

Цилиндрические шпонки (штифты) удобны для установки с торца ступицы. Отверстия под эти шпонки изготавливают при сборке, в сопряжении обеспечивают посадку с натягом H7/r6. Диаметр шпонки $d \approx (0.13 \div 0.16) \, d_{\scriptscriptstyle D}$, где $d_{\scriptscriptstyle B}$ — диаметр вала. В соответствии с ГОСТ 3128 — 70 d должен быть равен 6; 8; 10; 12; 16 мм. Размер $l \approx (3 \div 4) \, d$ согласовывают с рядом чисел: 12; 14; 16; 20; 25; 30; 35; 40; 45; 50; 55; 65.

Число шпонок, необходимое для передачи заданного максимального момента, определяют по формуле

$$z = 16T \cdot 10^{3} / \{\pi d_{\rm B} dl \left[\sigma_{\rm CM}\right]\}. \tag{9.5}$$

Допускаемые напряжения для круглых и конических шпонок можно увеличить на 25-30% по сравнению с призматическими шпонками в связи с более точной расчетной схемой и полным совпадением пазов в валу и ступице.

§ 9.4. Шлицевые (зубчатые) соединения

Шлицевые соединения выполняют с прямобочным по ГОСТ 1139-80 (рис. 9.10, a-e), эвольвентным по ГОСТ 6033-80 (см. рис. 9.10, z-e) или треугольным профилем. У эвольвентных соединений нагрузочная способность выше, чем у прямобочных. Номинальная площадь контакта эвольвентных зубьев больше или равна площади контакта прямобочных шлицев тяжелой серии, а коэффициент концентрации напряжений на валу меньше. Соединения с треугольным профилем зубьев имеют ограниченную область применения, например, для соединения торсионных валов или тонкостенных валов и ступиц. В большинстве случаев соединения с треугольным профилем могут быть заменены эвольвентными, и поэтому ниже исключены из рассмотрения.

Наружный диаметр и длину шлицевого соединения задают при конструировании вала. Длина шлицев может быть принята $l \leq 1,5D$. При l > 1,5D резко возрастает неравномерность распределения удельной нагрузки по длине соединения и трудоемкость изготовления. При проектировании соединений необходимо учитывать, что для изготовления шлицев протяжкой в ступице следует выполнять сквозное отверстие. В глухих

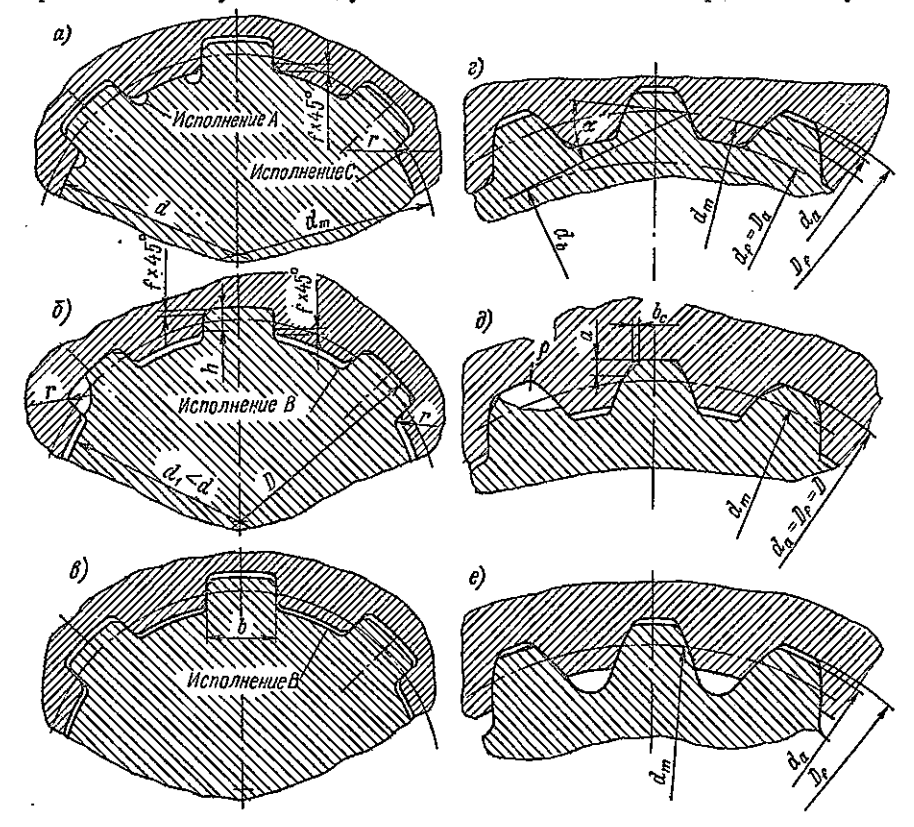


Рис. 9.10. Шлицевые соединения с прямобочными и эвольвентными профилями

отверстиях ступиц с необходимой точностью возможно изготовление только эвольвентных шлицев ограниченной длины (l < 0.4D) методом обкатки на зубодолбежных станках.

Выбор пипа центрирования зависит от требований к точности центрирования, твердости ступицы и вала, а также от нагрузок, действующих на соединение.

Центрирование по наружному или внутреннему диаметрам обеспечивает более высокую точность взаимного положения вала и ступицы. Если твердость ступицы H < 350 HB, то применяют центрирование по наружному диаметру: ступицы обрабатывают протяжкой или долбяком, наружный диаметр шлицевого вала шлифуют. Радиус скругления r или р впадины ступицы должен быть больше, чем фаска $f \times 45^\circ$ на прямобочных (рис. $9.10, \delta$) или $a \times b_c$ на эвольвентных зубьях (рис. $9.10, \delta$) (a = 0.05m, $b_c = 0.1m$).

К центрированию по внутреннему диаметру приходится прибегать при твердости деталей соединения H > 350 HB, когда затруднена калибровка ступицы протяжкой или дорном после термообработки. В этом случае окончательную обработку отверстия в ступице осуществляют на внутришлифовальном станке, а шлифование пазов вала обеспечивают профилированными кругами. Форма дна шлифуемой впадины на валах может быть принята в соответствии с рис. 9.10, a для прямобочных зубьев (исполнение A или C), а для эвольвентных зубьев — плоская форма дна (рис. 9.10, a).

Центрирование по наружному или внутреннему диаметрам с минимальными зазорами или натягом следует применять при нагружении соединения радиальной силой или изгибающим моментом. В этом случае боковые поверхности шлицев могут быть частично или полностью разгружены от восприятия радиальной силы, а также опрокидывающего момента и могут передавать кругящий момент при меньших относительных перемещениях шлицевого вала и ступицы, что способствует снижению изнашивания соединения.

Центрирование по боковым поверхностям зубьев применяют в условиях динамического или реверсивного нагружения большим крутящим моментом, а также при жестких требованиях к величине мертвого хода. В курсовом проектировании этот тип центрирования обычно не используют.

Допуски и посадки прямобочных шлицевых соединений назначают в соответствии с ГОСТ 1139-80. Предпочтительно применение посадок; для центрирующего наружного диаметра D-H7/f7, H7/f7; для центрирующего внутреннего диаметра d-H7/g6, $H7/j_56$.

По нецентрирующим диаметрам предусматривают значительный зазор: для наружного диаметра — H12/a11; для внутреннего диаметра — H11/a11. При центрировании по наружному диаметру предпочтительно применение посадок боковых сторон зубьев F8/f7, F8/j_s7, а при центрировании по внутреннему диаметру — F10/f9, F10/j_s7. Предельные отклонения от параллельности сторон зубьев вала и впадин втулки относительно оси центрирующей поверхности не должны превышать на длине 100 мм: 0,03 мм — в соединениях повышенной точности и 0,05 мм — в соединениях нормальной точности.

Обозначение соединения с прямобочными зубьями должно содержать букву, обозначающую поверхность центрирования; число зубьев z и номи нальные размеры d, D, b соединения; обозначения посадок днаметро и размера b, помещенные после соответствующих размеров. Допускаетс не указывать в обозначении допуски нецентрирующих диаметров.

Пример обозначения соединения с центрированием по наружному ди аметру, числом зубьев z=10, внутренним диаметром d=72 мм, наружным ди аметром D=82 мм, шириной зуба b=12 мм, посадками по наружному ди аметру H7/j_s6, по внутреннему—H11/a11 и по размеру b F8/f8: $D-10\times72$ H11/a11 \times 82H7/j_s6 × 12F8/f8. Пример условного обозначения ступицы и вала того же соединения соответственно: $D-10\times72$ H11 × 82H7 × 12F8; $D-10\times72$ a11 × 82j_s6 × 12f8.

Допуски и посадки эвольвентных шлицевых соединений назначают в соответствии с ГОСТ 6033—80. Стандарт устанавливает два вида допусков ширины впадины втулки и толщины зуба вала: $T_e(T_s)$ — допуск ширины впадины втулки (толщины зуба вала), контролируемый в случаях, когда не применяют комплексный калибр; T — суммарный допуск, включающий отклонение собственно ширины впадины (толщины зуба) и отклонение формы и расположения элементов профиля впадины (зуба), контролируемый комплексным калибром. Для сопряжения зуба вала и впадины ступицы принята система отверстия. Установлены следующие ряды основных отклонений: для ширины впадины ступицы — Н и три степени точности: 7, 9, 11; для толщины зуба вала — г, р, п, k, h, g, f, d, c, а и пять степеней точности: 7, 8, 9, 10, 11. Поля допусков обозначают в виде числа, показывающего степень точности, за которым следует буква, указывающая основное отклонение.

При центрировании соединения по боковым сторонам зубьев для предпочтительного применения рекомендуют следующие посадки по боковым поверхностям зубьев: 7H/9r, 7H/8p, 7H/7n, 7H/8k, 7H/7h, 9H/8k, 9H/9h, 9H/9g, 9H/7f, 9H/8f, 11H/10d.

При центрировании по наружному диаметру предпочтительными являются посадки: H7/n6, H7/j_s6, H7/h6, H7/g6, H7/f7. Поля допусков ширины впадины ступицы принимают 9H и 11H, а поля допусков толщины зуба вала 9h, 9g, 9d, 11c и 11a.

При плоской форме дна впадины пазов вала допускается центрирование по внутреннему днаметру. Предпочтительными являются посадки: H7/n6, H7/h6, H7/g6. Поля допусков ширины впадины ступицы и толщины зуба вала выбирают те же, что и при центрировании по наружному днаметру.

Обозначение эвольвентных шлицевых соединений содержит: номинальный диаметр соединения D; модуль m; обозначение посадки соединения, помещаемое после размеров центрирующих элементов; номер стандарта.

Пример обозначения соединения D=70 мм; m=3 мм с центрированием по боковым сторонам зубьев и посадкой по боковым поверхностям зубьев 9H/8k: $70 \times 3 \times 9$ H/8k Γ OCT 6033-80.

Пример обозначения вала и ступицы того же соединения соответственно: $70 \times 3 \times 8k$ ГОСТ 6033 - 80; $70 \times 3 \times 9H$ ГОСТ 6033 - 80.

Пример обозначения соединения D=60; m=2 мм с центрированием по наружному диаметру и посадкой по диаметру центрирования H7/h6: $60 \times \text{H7/h6} \times 2$ ГОСТ 6033-80.

Пример обозначения соединсния D=60; m=2 мм с центрированием по внутреннему диаметру и посадкой по диаметру центрирования H7/g6: $i60 \times 2 \times H7/g6$ ГОСТ 6033-80.

Расчет шлицевых соединений выполняют по условным напряжениям $\sigma = 2T \cdot 10^3/(zlhd_m)$:

на смятие

$$\sigma \leqslant [\sigma_{\rm ex}];$$
 (9.6)

на изнашивание

$$\sigma \leqslant \left[\sigma_{\text{HBH}}\right] K_{cE}. \tag{9.7}$$

Здесь T — расчетный крутящий момент, передаваемый соединением, $\mathbf{H} \cdot \mathbf{m}$; l, d_m — длина и средний диаметр соединения, \mathbf{m} ; h — высота поверхности контакта зубьев (h = 0.9m — для эвольвентных и h = (D-d)/2 - 1.4f — для прямобочных шлицевых соединений), \mathbf{m} ; $[\sigma_{\text{изн}}]$ — условные допускаемые напряжения при расчете соединения на изнашивание, \mathbf{M} Па (табл. 9.2); K_{cE} — коэффициент, учитывающий число оборотов соединения и режим нагрузки [см. формулу (9.10)].

Таблица 9.2 Допускаемые напряжения [С_{пэн}] (МПа) при расчете шлицевых соединений на изнациявание*

Относите параметры п		Тег	омическая с	обработка і	и твердости	ь вала (сту	пицы)			
d _m F	М	Без об⊷	Улуч-		Закалка	A. A.	Цементация			
$\psi = \frac{mn}{2T}$	$\varepsilon = \overline{Fl}$	работки 20 HRC	шение 28 HRC	40 HRC 45 HRC		52 HRC	или азотиро- вание 60 HRC			
0,59	0	38	42	55	69	75	83			
	0,25	21	23	29	36	39	44			
	0,50	18	21	25	32	35	39			
0,50	0	47	55	67	85	92	100			
	0,25	32	37	47	60	66	72			
	0,50	22	26	34	42	45	50			
0,42	0	65	76	92	116	127	141			
	0,25	42	49	60	75	82	91			
	0,50	35	41	50	63	68	76			
0,35	0	73	85	105	130	142	158			
	0,25	52	60	77	97	105	117			
	0,50	38	45	60	75	80	90			

^{*} Указанные напряжения следует снижать: на 25 %—при работе с частыми реверсами; на 40 %— при ограниченной смазке или смазке с загрязнением; в 2,5—3 раза — при осевых перемещениях ступицы относительно вала под нагрузкой (например, в плищевых соединениях шарнирных муфт); указанные напряжения можно повысить при нулевом зазоре по центрирующему диаметру: на 25-30%— при $\varepsilon=0$; на 35-40%— при $\varepsilon=0,25$, на 40-45%— при $\varepsilon=0,50$.

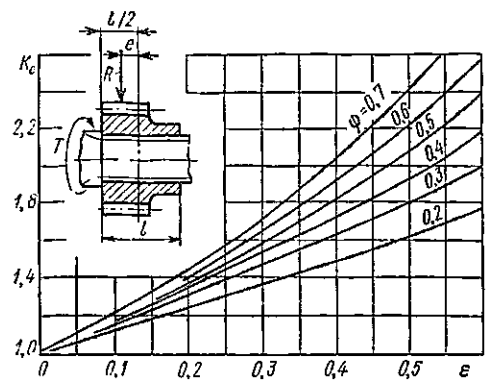


Рис. 9.11. Коэффициент K_e в зависимости от параметров: $\varepsilon = M/(lF)$ и $\psi = 0.5 d_m F/T$

В соответствия с ГОС 21425-75 допускаемые напри жения при расчете зубчаты соединений на смятие определяют по формуле

$$[\sigma_{\rm cm}] = \sigma_{\rm r}/([s] K_{\rm a} K_{\rm cm}), (9.8)$$

где $\sigma_{\rm T}$ — предел текучести мате риала зубьев детали меньше твердости, МПа (для материа лов с поверхностным упрочне нием принимают предел теку чести поверхностного слоя) [s] = 1,25 \div 1,40 — коэффициент запаса (нижние значения для незакаленных поверхностей

верхние — для закаленных); $K_{\rm a} = T_{\rm max}/T$ — коэффициент динамичности нагрузки ($T_{\rm max}$ — максимальный момент, действующий на соединение, например, при пусках или торможении); $K_{\rm cm}$ — коэффициент, учитывающий неравномерность распределения напряжений смятия по рабочим поверхностям зубьев.

Величина $K_{\rm cm}$ зависит от точности изготовления, сочетания внешних нагрузок (радиальной силы R и опрокидывающего момента M), крутильной жесткости вала и ступицы $K_{\rm cm}=K_{\rm n}K_{\psi}K_{\beta}$.

Если начальная погрешность шагов и непараллельность зубьев осям вала и ступицы на длине соединения L не более 0,02 мм, то коэффициент, учитывающий погрешности изготовления, $K_n=1,1\div 1,2$. При более грубом изготовлении принимают $K_n=1,3\div 1,6$.

Коэффициент неравномерности распределения нагрузки между зубьями K_{ψ} зависит от безразмерного параметра $\psi=0.5d_mR/T$, отражающего влияние силы R, нормальной к оси соединения:

$$\psi$$
 0,30 0,35 0,40 0,45 0,50 0,55 0,60 0,65 0,70 0,75 K_{\circ} 1,6 1,7 1,8 1,9 2,0 2,1 2,2 2,4 2,7 3,0

Коэффициент неравномерности распределения нагрузки по длине соединения обычно определяют по формуле

$$K_{\beta} = K_l + K_c - 1,$$
 (9.9)

в которой коэффициент K_l учитывает кручение вала и ступицы на длине соединения l, а коэффициент K_e — действие на ступицу опрокидывающего момента M. Формула (9.9) справедлива при концентрации нагрузки у одного и того же сечения соединения от кручения вала и действия опрокидывающего момента. Например, на рис. 9.11 место подвода крутящего момента (слева) совцадает с местом концентрации нагрузки от действия опрокидывающего момента (сила R, создающая опрокидывающий момент M=Re, смещена от середины соединения влево). При смещении e в сторону, противоположную месту приложения крутящего момента, коэффициент $K_{\mathfrak{g}}$ принимают равным большему из значений K_l и K_e .

Коэффициент K_l для прямобочных зубчатых соединений $^{\circ}$

Серия	Наружный диа-	Be	личина <i>К</i> ј при	отношении L	/D
Серия	метр соедине- ния <i>D</i> , мм	0,75	0,1	1,25	1,5
Легкая	До 26	1,20	1,3	1,5	1,7
	30 — 50	1,30	1,5	1,7	2,0
	50 — 120	1,50	1,8	2,2	2,6
Средняя	До 19	1,34	1,6	1,85	2,1
	20-30	1,40	1,7	2,0	2,3
	32-50	1,60	1,9	2,4	2,8
	54-112	1,80	2,4	2,9	3,5
	Св. 112	2,05	2,8	3,4	4,1
Тяжелая	До 23	1,65	2,0	2,5	3,0
	23-32	1,85	2,4	2,9	3,5
	35-65	2,05	2,7	3,4	4,1
	72-102	1,90	2,9	3,6	4,3
	Св. 102	2,00	3,1	3,9	4,7

^{*} Расчетная длина шлицевого соединения L при определении коэффициента K_I должна быть выбрана в зависимости от соотношения наружного диаметра ступицы $D_{\rm CT}$ и среднего диаметра соединения $d_{\rm m}$, а также схемы конструкции соединения. Если $D_{\rm CT}/d_{\rm m} \ge 1.8$, то L=I. Если $D_{\rm CT}/d_{\rm m} = 1.4 + 1.6$, то L=1.1I при одностороннем подводе и съеме крутящего момента к ступице и валу; L=0.8I при противоноложных сторонах подвода и съема крутящего момента со ступицы и вала.

В общем случае принимают параметры $\varepsilon = M/(lR)$ и $\psi = 0.5d_mR/T$, для шлицевого соединения прямозубого колеса с валом (рис. 9.11) — $\psi = d_m/(d_w \cos \alpha_w)$; $\varepsilon = e/l$. Для повышения нагрузочной способности шлицевого соединения косозубого колеса осевое усилие в зацеплении следует направлять в сторону уменьшения опрокидывающего момента от радиальной силы. Если радиальная сила, действующая на соединение, мала, то для определения коэффициента K_e можно использовать зависимость

$$K_c = 1 + 6d_m M/(K_{\psi}lT).$$

Для прямобочных шлицевых соединений значения коэффициента K_I даны в табл. 9.3. Для эвольвентных шлицевых соединений можно использовать зависимость коэффициента K_I от безразмерного параметра $\xi = L/\sqrt{Dm}$, где L — условная длина соединения (см. примечания к табл. 9.3); D — наружный диаметр, мм; m — модуль эвольвентного соединения.

$$\xi$$
 1,5 2,0 3,0 4,0 5,0 6,0 7,0 K_{ℓ} 1,36 1,6 2,2 2,84 3,6 4,26 5,0

Для известной гистограммы нагрузок и частот вращения коэффициент K_{cE} определяют по формуле

$$K_{cE} = \sqrt[3]{\sum_{i} (T_{i}/T)^{3} N_{i}/N_{0}},$$
(9.10)

где N_i — число оборотов соединения относительно вектора нагрузки при действии кругящего момента T_i ; N_0 — условное базовое число оборотов соединения относительно вектора нагрузки, $N_0=10^8$.

§ 9.5. Цилиндрические и конические соединения с гарантированным натягом

Посадки с натягом H7/p6, H7/z6, H7/z6, H7/z7, H7/z7 обеспечивак хорошее центрирование и, в большинстве случаев, надежное осевое кре ление ступиц. Деформации изгиба и кручения вала и обусловления этими деформациями микроперемещения уменьшаются при снижени отношения длины l к диаметру соединения d. Для предотвращени контактной коррозии рекомендуют принимать $l/d \le 1,2$. Упорный буг применяют для точной фиксации на валу насаживаемых червячных ил конических колес, а также для исключения перекоса относительно короких ступиц при l/d < 0,7.

Сборку соединений с натягом осуществляют запрессовкой, температуу ным деформированием или гидропрессованием. При температурном деформировании достигается наибольшее сопротивление смещению сопряженных деталей, так как в контакте можно исключить адсорбированных слой смазки, шероховатости не сглаживаются и не уменьшают натя После нагрева ступицы до температуры 9_2 и охлаждения вала до температуры 9_1 в соединении необходимо обеспечивать дополнительный зазор S_{\min} (мкм), приравниваемый минимальному зазору в посадке H7/g6:

$$N_{\text{max}} + S_{\text{min}} \le d \cdot 10^3 \left[\alpha_2 (\theta_2 - \theta) - \alpha_1 (\theta_1 - \theta) \right],$$

где $N_{\rm max}$ — максимальный натяг в соединении, мкм; ϑ — температура ступицы и вала в исходном состоянии; α_2 , α_1 — коэффициенты линейного расширения ступицы и вала (принимают $\alpha=1,2\cdot 10^{-5}~{\rm K}^{-1}$; $\alpha=1\cdot 10^{-5}~{\rm K}^{-1}$ соответственно для стали и чугуна).

При нагреве только ступицы $\vartheta_1 = \vartheta$ и

$$\vartheta_2 \geqslant \vartheta + 10^{-3} (N_{\text{max}} + S_{\text{min}})/(\alpha_2 d);$$
 (9.11)

при охлаждении только вала $\vartheta_2 = \vartheta$

$$\vartheta_1 \leqslant \vartheta - 10^{-3} (N_{\text{max}} + S_{\text{min}})/(\alpha_1 d).$$
 (9.12)

Для сборки прессованием соединения с призматической шпонкой следует предусматривать направляющий цилиндрический участок вала с допуском по d11 (см. рис. 9.4, s), который облегчает совмещение шпоночного паза в ступице со шпонкой вала. Чтобы увеличить посадочную длину соединения с натягом, там, где это возможно, шпонку выпускают за пределы ступицы на длину приблизительно 0,6b. Установка призматической шпонки позволяет повысить надежность и уменьшить расчетный момент T_{r} воспринимаемый соединением с гарантированным натягом

$$T_{r,s} = T - T_{us}$$

где $T_{\rm m}=0.5\cdot 10^{-3}d\,(h-t_1)\, [\sigma_{\rm cm}]\, l_{\rm p}$ — момент, воспринимаемый шпоночным соединением, Н·м (см. § 9.3).

Для облегчения монтажа и демонтажа соединений, подвергаемых частым сборкам и разборкам (например, в испытательных стендах), применяют гидропрессование: масло под давлением подводят через отверстия в валу или ступице в кольцевую канавку между сопряженными поверхностями.

Сопротивление относительному смещению соединяемых деталей пропорционально давлению р и коэффициенту трения f на сопряженных поверхностях. В общем случае действия на соединение осевой силы S (H) и крутящего момента $T(\mathbf{H} \cdot \mathbf{m})$ с учетом коэффициента запаса сцепления $K_{\rm cu}$ необходимое давление следует выбирать по формуле

$$p \ge K_{\rm cn} \sqrt{S^2 + (2T \cdot 10^3/d)^2/(\pi dlf)}$$
. (9.13)

Коэффициент трения для стальных и чугунных деталей определяют в зависимости от способа сборки: f = 0.08 -при сборке прессованием; f = 0.12 — при сборке гидропрессованием; f = 0.14 — при сборке температурным деформированием.

Для ответственных соединений принимают $K_{\rm cu}=2.5\div3.0$. Если в соединении устанавливают призматическую шпонку, то коэффициент запаса сцепления может быть выбран минимальным $K_{\rm cu}=1,3\div1,5.$

При действии на соединение опрокидывающего момента M (H \cdot м) для

предупреждения раскрытия стыка, развития контактной коррозии и осевого смещения ступицы минимальное давление должно составлять не менее 25% от среднего давления р. Из этого условия следует

$$p \ge 16M \cdot 10^3 / (\pi dl^2).$$
 (9.14)

По наибольшему из приведенных значений [см. формулу (9.13) или (9.14)] давления р в соответствии с известным решением Ляме определяют вероятностный минимальный натяг $N_{v \min}$ (мкм) и подбирают соответствующую посадку

$$N_{p \min} = 10^3 pd \left(C_1 / E_1 + C_2 / E_2 \right) + U. \tag{9.15}$$

Здесь

$$U = 1.2 (R_{z_1} + R_{z_2}), C_1 = (d^2 + d_1^2)/(d^2 - d_1^2) - \mu_1;$$

$$C_2 = (d_2^2 + d_1^2)/(d_2^2 - d_1^2) + \mu_2,$$

где E_1 , μ_1 и E_2 , μ_2 — модуль упругости первого рода и коэффициент Пуассона соответственно охватываемой и охватывающей деталей (для стали принимают $E=2,1\cdot 10^5$ МПа, $\mu=0,3$; для чугуна $E=(1,0\div$ \div 1,5) 10⁵ МПа, $\mu = 0,25$); R_{z_1} , R_{z_2} – высота неровностей профиля поверхности охватываемой и охватывающей деталей, мкм; d_1 – диаметр отверстия в охватываемой детали (валу или оси), мм; d_2 – наружный диаметр охватывающей детали (ступицы), мм.

Вероятностный минимальный натяг является функцией гарантированного минимального и максимального натягов N_{\min} , N_{\max} , а также полей допусков N_D , N_d охватывающей и охватываемой деталей

$$N_{p \min} = 0.5 (N_{\min} + N_{\max}) - c \sqrt{N_D^2 + N_d^2}$$

Обычно выбирают c=0.5, что соответствует вероятности P=0.9986обеспечения условия $N_{p \min} < N < N_{p \max}$

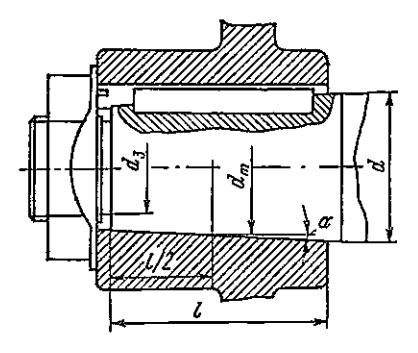


Рис. 9.12. Коническое соединение с гарантированным натягом

Для предупреждения остаточнь пластических деформаций на сопряжен ной поверхности охватывающей детал (ступицы) следует выполнить условие

$$N_{p \text{ max}} < 0.5 \cdot 10^3 d (C_1/E_1 + C_2/E_2) [1 - (d/d_2)^2] \sigma_{r2} + U,$$

где σ_{r2} — предел текучести материал ступицы, МПа.

Вероятностный максимальный натя равен

$$N_{p \max} = 0.5 (N_{\min} + N_{\max}) + c \sqrt{N_D^2 + N_a^2}$$

В конических соединениях натяг создают осевым смещением ступиць относительно вала. Так как упорный бурт на валу не выполняют в конических соединениях не может быть обеспечена высокая точности фиксации ступицы на валу. Для посадки ступицы на вал без перекос отношение длины соединения к наибольшему диаметру должно состав лять 1/d > 0.7.

Относительная простота безударной сборки и демонтажа, высокая надежность при действии радиальных сил и опрокидывающих моментог обеспечивает все более широкое применение конических соединений для концевых участков валов редукторов и электродвигателей (рис. 9.12, a) В соответствии с ГОСТ 12081 – 75 принимают конусность таких соединений $K = (d-d')/L = 2 \lg \alpha = 0,1$. Относительное осевое смещение ступицы и вала осуществляют гайкой.

Осевое усилие S, создаваемое гайкой, и давление на сопряженной поверхности, связаны зависимостью

$$p = S/[\pi d_m l (f + tg \alpha) \cos \alpha].$$

В связи с разбросом в значениях коэффициента трения f и сложностью контроля усилия затяжки гайки рассматриваемое коническое соединение применяют в сочетании с призматической шпонкой, повышающей надежность.

Осевое усилие S, необходимое для передачи крутящего момента T (H · м), определяют по формуле

$$S \ge 2 \cdot 10^3 K_{cu} T \cos \alpha (f + \text{tg } \alpha) / (fd)$$

где $K_{\rm cu}$ — коэффициент запаса сцепления, $K_{\rm cu}=1,3.$

Исходя из допускаемого напряжения [σ] (см. стр. 196) для наименьшего сечения d_3 (рис. 9.12, a), найдем осевую силу $S = \pi d_3^2 \left[\sigma\right]/4$ и допускаемый крутящий момент

$$[T] \leqslant \frac{\pi d_3^2 [\sigma] f d}{8 \cdot 10^{-3} K_{\text{cu}} (f + \text{tg} \, \alpha) \cos \alpha}. \tag{9.16}$$

Глава 10

подшипники качения

§ 10.1. Общие сведения

При курсовом проектировании механических передач в качестве опор ращающихся деталей используют, как правило, стандартные подшипники ачения, которым и посвящена настоящая глава. Необходимые сведения в подшипниках скольжения даны в работах [29], [39]. Основными параметрами, характеризующими типоразмер подшипника, являются: динамическая С и статическая грузоподъемность C_0 (см. приложение 4), предельная настота вращения n и диаметральный зазор 2∂ .

Нагрузочная способность подшипников заданного диаметра и серии зависит от типа подшипника (рис. 10.1). С увеличением диаметра подшипника, а также при переходе от легких серий к более тяжелым нагрузочная способность возрастает, а предельная частота вращения снижается. Отношение долговечностей сравниваемых подшипников равно отношению их динамических грузоподъемностей в степени 3 и 3,33 соответственно для шариковых и роликовых подшипников. Роликоподшипники в сравнении с шариковыми обладают меньшей быстроходностью, более высокой несущей способностью (рис. 10.1) и жесткостью, но более чувствительны к перекосам осей колец.

Это означает, что при заданном угле перекоса несущая способность роликового подшипника снижается больше, чем шарикового. Поэтому применение роликоподшипников сопровождается повышенными требованиями к точности посадочных поверхностей под наружные кольца, жесткости элементов конструкции (в первую очередь валов) и точности фиксирования колец.

При выборе подшипников необходимо принимать во внимание не только конструктивные, но и экономические соображения. При $d < < 55 \div 60$ мм одними из самых дешевых являются радиальные однорядные шарикоподшипники, которые нашли благодаря этому широкое распространение. Однако использование этих подшипников не всегда приводит к рациональному и наиболее дешевому варианту конструкции. Замена шарикоподшипников более дорогими роликоподшипниками часто позволяет существенно снизить размеры и массу опорного узла или увеличить промежуток времени между заменой подшипников (см. работу [36], рис. 19.16).

Условные обозначения подшипников разделяют на основные и дополнительные.

Основные условные обозначения характеризуют внутренний диаметр подшипника, серию, тип и конструктивные особенности.

Для подшилников с внутренним диаметром $20 \le d < 500$ первые две цифры (справа налево), умноженные на пять, определяют внутренний диаметр.

Третья цифра указывает серию подшипника: 8, 9—сверхлегкая; 1—особолегкая; 2—легкая; 3—средняя; 4—тяжелая; 5—легкая широкая; 6—средняя широкая.

Четвертая цифра справа обозначает тип подшипника: 0 — радиалы шариковый; 1 — радиальный шариковый сферический; 2 — радиалын с короткими цилиндрическими роликами; 3 — радиальный роликов

MM 8 11 а тирокая и серий при внутрением диаметре средняя частота пегкая предельная тяжелая Рис. 10.1. Сравнительные параметры подшинников различных типов RRHOOCS грузоподъемность *____* вруодпп динамическая средняя ı тяжелая Ġ 1111111 08=20

сферический; 4 — радиальный длинными цилиндрическими рликами; 5 — радиальный с вит ми роликами; 6 — радиалы упорный шариковый; 7 — ролив вый конический; 8 — упорный шриковый; 9 — упорный ролик вый. Цифры, следующие за че вертой, характеризуют конструтивные особенности исполнень внутреннего или наружного колец.

Дополнительные условные обс значения проставляют через дефи слева и справа от основных Класс точности подшипника (0, 6 5, 4, 2—в порядке возрастания указывают слева от основного условного. Диаметральный зазој подшипников обозначают номе ром дополнительного ряда и указывают перед классом точности подшипника.

Пример обозначения: 3-0-42109 — подщипник d = 45 мм, особолегкой серии, радиальный, с короткими цилиндрическими роликами, однорядный (типа 2000, исполнения 42000), класса точности 0, с диаметральным зазором по ряду 3.

§ 10.2. Характеристика основных типов подшинников качения

Радиальные шариковые однорядные подшиники (рис. 10.2) воспринимают как радиальные, так и ограниченные двусторонние осевые нагрузки. Они обеспечивают осевое фиксирование вала в двух направлениях, но из-за малой радиальной и осевой жесткости точность фиксирования относительно невелика. Высокоскорост-

ные подшипники изготавливают с массивным стальным, латунным или бронзовым сепаратором. Радиальные шарикоподшипники типа 0000 выпускают в различных исполнениях, основные из которых представлены на рис. 10.2. Канавка на наружном кольце подшипников

исполнений 50000 предназначена для осевого фиксирования пружинными кольцами. Исполнения 60000 и 80000 используют для опорных узлов, работающих в загрязненных условиях.

Радиальные подшипники с короткими цилиндрическими роликами (рис. 10.3) предназначены для восприятия радиальных нагрузок. Подшипники исполнений 12000 и 42000 могут также воспринимать умеренную одностороннюю, а подшипники исполнений 6200 и 92000—

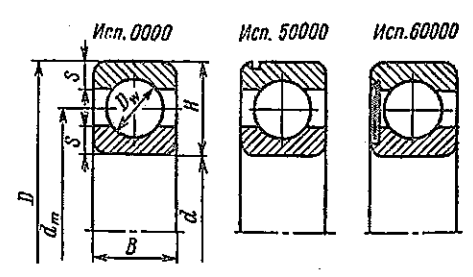


Рис. 10.2. Радиальные шариковые однорядные подшипники типа 0000 Ориентировочные соотношения, рекомендуемые при вычерчивании подшипников: $D_w =$

= 0.6H; S = 0.3H; H = 0.5(D - d)

двустороннюю осевую нагрузку. Подщипники исполнений 292000 и 502000 соответственно без внутреннего или наружного кольца используют в узлах с ограниченными диаметральными размерами (рис. 18.14, а).

Радиальные игольчатые роликоподшинники (рис. 10.4) воспринимают только радиальную нагрузку. Обладают высокой нагрузочной способностью и малыми диаметральными размерами в сравнении с подшипниками других типов, имеют сравнительно небольшие значения n.

Радиальные шариковые двухрядные сферические (самоустанавливаюиниеся) подшинники (рис. 10.5, а) используют для восприятия радиальных нагрузок обычно в тех узлах, где не представляется возможность обеспечить достаточную соосность осей колец подшипника. Внутренняя беговая дорожка наружного кольца имеет сферическую поверхность, что неблагоприятно сказывается на контактной прочности в сравнении с шариковыми подшипниками типа 0000. Радиальные роликовые двухрядные

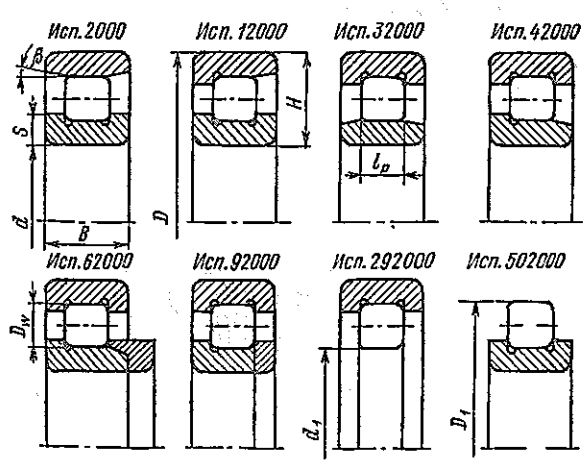


Рис. 10.3. Радиальные подшипники с короткими цилиндрическими роликами типа 2000 Ориентировочные соотношения, рекомендуемые при вычерчивании подшипников: $D_w = l_p = 0.5H$; для широких серий $l_p = 1.5D_w$; S = 0.35H; H = 0.5 (D - d); $\beta = 10^\circ$

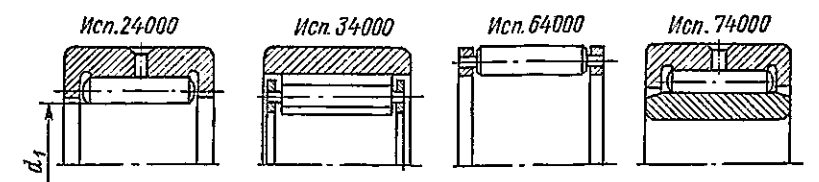


Рис. 10.4. Радиальные игольчатые подшилники типа 4000

сферические подшипники с бочкообразными роликами (рис. 10.5, 6) отли чаются от сферических шарикоподшипников повышенной нагрузочной способностью и жесткостью.

Радиально-упорные шариковые подшинники (рис. 10.6) выпускаются в пяти основных исполнениях в различных модификациях, отличающихся углом контакта с, возможностью раздельного монтажа внутреннего и наружного колец и т. д. Угол контакта у подшипников 6000 и 36000 равен 12°, у подшилников 46000, 116000 и 176000 – 26°, а у подшилников 66000 - 36°. С увеличением угла контакта в осевом направлении нагрузочная способность и жесткость возрастают, а в радиальном - уменьшаются. Подшипники с большими углами контакта имеют меньшую быстроходность из-за отрицательного влияния повышенного скольжения. вызываемого гироскопическим эффектом. У подшипников исполнения 6000 наружное и внутреннее кольца можно монтировать и демонтировать раздельно. Рассматриваемые подшипники используют для восприятия комбинированных (радиальных и осевых) или только осевых нагрузок, Каждый из подшипников (кроме 116000 и 176000) может воспринимать осевую нагрузку только одного направления. В четырехточечных подшипниках 116000 и 176000 касание шариков и колец происходит в четырех точках, и поэтому они могут воспринимать двустороннюю осевую нагрузку.

Радиально-упорные подшипники 36000, 46000 и 66000 поставляются сдвоенными в трех модификациях: 2, 3, 4, которые указываются на месте шестой цифры основного обозначения (рис. 10.7). Сдвоенные подшипники

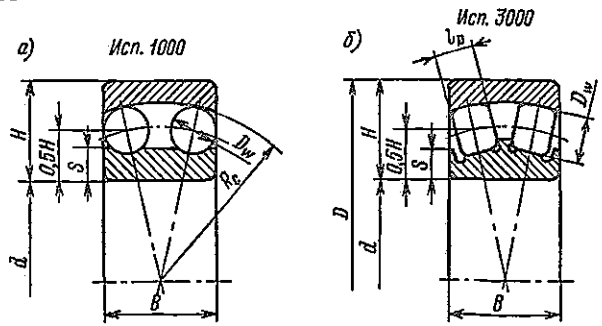


Рис. 10.5. Радиальные шариковые и роликовые двухрядные сферические подшилиники типа 1000 и 3000 Ориситировочные соотношения, рекомендусмые при вычерчивании подшилиников: шариковые $-D_w = 0.5H$; S = 0.35H; H = 0.5 (D-d); $R_c = 0.45D$; роликовые $-D_w = 0.5H$; S = 0.3H; H = 0.5 (D-d); $R_c = 0.45D$; $I_0 = 0.36B$

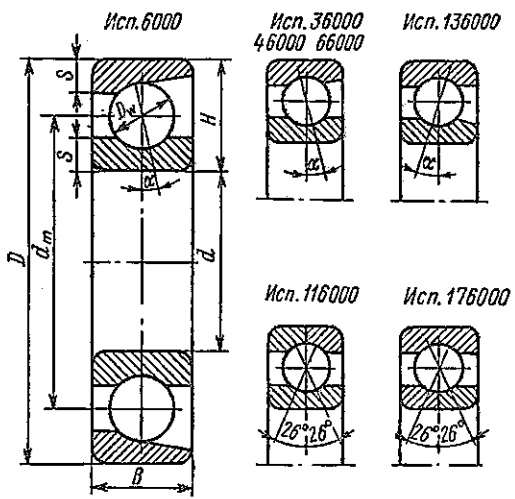


Рис. 10.6. Радиально-упорные шариковые однорядные подшипники типа 6000 Ориентировочные соотношения, рекомендуемые при вычерчивании подшипников: $D_w = 0.6H$; S = 0.3H; H = 0.5 (D - d)

модификаций 206000 и 306000 не требуют предварительного регулирования осевой игры при сборке. В рабочем состоянии устранение исходных диаметральных и осевых зазоров в этих подшипниках осуществляют затяжкой соответствующих колец.

Радиально-упорные роликовые однорядные (конические) подшипники (рис. 10.8) имеют разъемную конструкцию, что позволяет производить раздельно монтаж и демонтаж колец. У стандартных подшипников исполнений 7000 и 67000 угол конусности $\alpha=10\div17^\circ$, а у подшипников 27000 — $\alpha=25\div29^\circ$. Повышенные радиальные нагрузки и двусторонние осевые могут воспринимать двухрядные конические роликоподшипники исполнений 97000 или 47000, а также четырехрядные — 77000.

Упорные подшинники шариковые типа 8000 и роликовые типа 9000, предназначенные для восприятия осевых нагрузок, в механических передачах находят ограниченное применение.

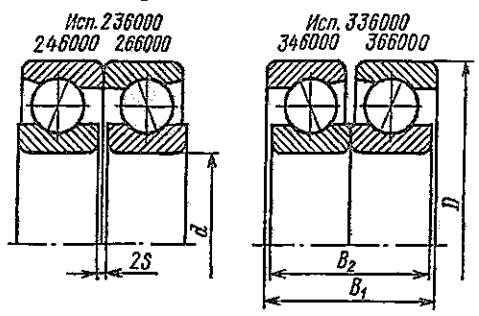


Рис. 10.7. Радиально-упорные шариковые сдвоенные подшипники

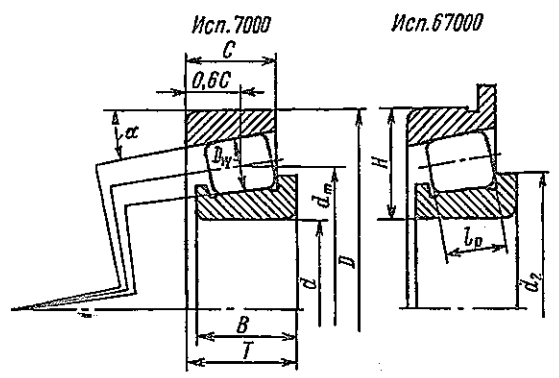


Рис. 10.8. Радиально-упорные роликовые однорядные подшипники типа 7000 Ориентировочные соотношения, рекомендуемые при вычерчивании подшипников: $D_w = 0.5H$; $I_p = 0.8C$; $d_m =$

$= 0.5 (D+d); H = 0.5 (D-d); d_2 = 0.48 (D+d)$ 8 10.3. Pacuet подцининию качения

Расчет подшипников обычно производят по критерию динамической грузоподъемности C и статической грузоподъемности C_0 , а подшипников вращающихся с частотой вращения менее 1 мин⁻¹, только по критерию статической грузоподъемности C_0 .

Проверочный расчет на долговечность сводится к проверке неравенства

$$L \geqslant L_{E_2} \tag{10.1}$$

где L — долговечность подшипника, млн. об.; L_E — эквивалентная долговечность, которую подшипник должен выдержать за полный срок службы, млн. об.

Величина L стандартного подшипника определяется по динамической грузоподъемности C и по приведенной расчетной нагрузке $P_{\rm pacu}$, действующей на подшипник:

$$L = (CK_{\text{Eag}}/P_{\text{pacg}})^{m'}, \tag{10.2}$$

где m'=3 для шарикоподшипников и m'=3,33 для роликоподшипников. Для стандартных подшипников класса точности 0 расчетно-экспериментальные значения C даны в справочниках и каталогах по подшипникам качения (см. работы $[3, 4, 44]^{1}$), а для подшипников, наиболее часто используемых при курсовом проектировании передач, — в приложении 4. Коэффициент $K_{\rm кач}$ выбирают в зависимости от класса точности полиципника.

Класс точности 0 6 5 Коэффициент
$$K_{\text{Kay}}$$
 1 1,05 1,1

Величину $P_{\text{расч}}$ приравнивают приведенной нагрузке P, соответствующей, как правило, максимальной из действующих нагрузок (см. рис. 2.11).

¹ Значения С и С₀ даны в указанных источниках в кгс.

Приведенную нагрузку для любой ступени нагружения можно определить по формуле

 $P = (XVF_r + YF_a)K_6K_T. (10.3)$

В формуле (10.3) F_r и F_a — радиальная и осевая нагрузка на подшилник, Н. Температурный коэффициент $K_T=1$ при рабочей температуре подшипника $9<105\,^{\circ}\mathrm{C}$ и $K_T=(108+0.49)/150$ при $9=105\div250\,^{\circ}\mathrm{C}$. Коэффициент безопасности K_5 назначают в зависимости от условий работы опорного узла (см. работу [36], табл. 19.2). Для подшипников механических передач при курсовом проектировании обычно принимают $K_6=1.3$. Коэффициент вращения V=1.2 при вращении относительно вектора радиальной нагрузки наружного кольца. В противном случае V=1. Исключение представляют шариковые сферические и упорные подпишники, для которых в любом случае V=1. Коэффициенты радиальной и осевой нагрузок X и Y определяют в зависимости от типа подпишника и соотношения нагрузок F_r и F_a (табл. 10.1).

Для радиальных подшипников, нагруженных только радиальной силой $(F_a=0)$; X=1; Y=0; $P=VF_rK_6K_T$. Для радиально-упорных подшипников, а также радиальных шариковых подпипников, воспринимающих радиальную и осевую нагрузку, под действием силы F_r возникает осевая составляющая S_r . Для радиальных и радиально-упорных шарикоподшипников $S_r=eF_r$, а для роликоподшипников $S_r=0.83eF_r$. Значения e даны в табл. 10.1. Предварительные значения e для шарикоподшипников исполнения g0000 (g000 пределяются по формуле

$$e = 0.574 (F_r/C_0)^{0.215}$$
 (10.4)

Для схем установки подшипников, показанных на рис. 10.9 (где S — сумма внешних осевых нагрузок, приложенных к валу), значения X, Y, F_a находят по алгоритму, представленному на рис. 10.10. При использованим алгоритма индекс 1 присваивается опоре, для которой направление вектора S_r совпадает с направлением вектора S_r . При расчете подшипников

Таб.ища 10.1 Значения коэффициентов радиальной X и осевой Y нагрузок

					_	
Tun	Угол	e	$F_a/VF_r \le e$		$F_a/VF_r > e$	
подшипника	α,°		X	Y	X	Y
Шариковый раднальный	0	$0.518(F_a/C_0)^{0.24} \geqslant 0.19$	1	0	0,56	1-X
Шариковый радиально- упорный	12	$0,631(F_a/C_0)^{0,175} \ge 0,3$	1	0	0,45	e
	18-20	0,57	1	0	0,43	1
	24-26	0,68	1	0	0,41	0,87
	28 – 36	0,95	1	0	0,37	0,66
Роликовый радиально- упорный	-	1,5 tg α	1	0	0,40	0,4 ctg α

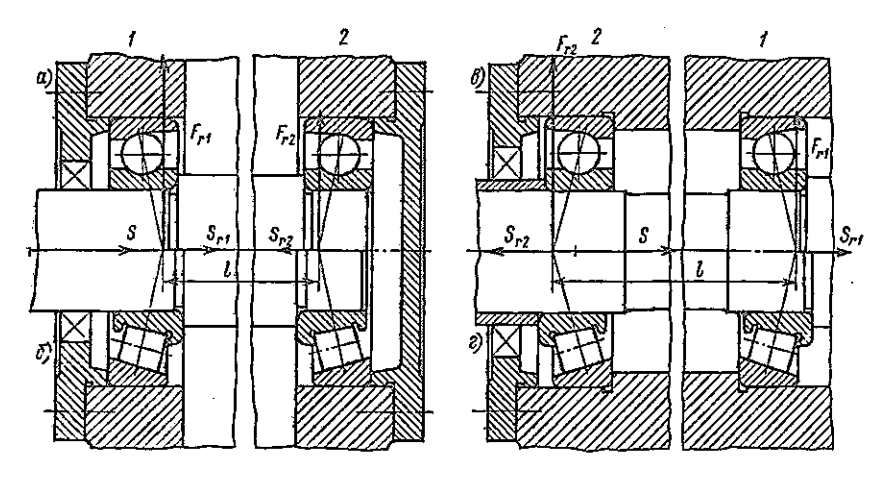


Рис. 10.9. Схемы установки радиально-упорных подшипников: a, δ — схемы установки «враспор»; e, e — схемы установки «врастяжку»

радиальная нагрузка F, и внешняя осевая нагрузка S считаются заданными в зависимости от внешних силовых факторов.

Эквивалентную долговечность подшипника за полный срок службы определяют по формуле

$$L_E = \frac{60 \cdot 10^{-6}}{n_{\text{sam}} + 1} \sum_{i=1}^{k} (P_i / P_{\text{pact}})^{m'} n_i L_{hi}.$$
 (10.5)

Параметры n_i , L_{hi} соответствуют частоте вращения (мин $^{-1}$) и продолжительности работы (ч) при действии приведенной нагрузки P_i (рис. 10.11), для определения которой используют зависимость (10.3). Если замена подпинников в процессе эксплуатации не предусмотрена (число замен $n_{\rm 3am}=0$), то L_{h1} , L_{h2} , ..., L_{hk} равны продолжительности работы при указанных нагрузках за полный срок службы механизма.

Для передач с постоянным передаточным отношением при нереверсивной нагрузке, а также при реверсивной нагрузке у передач с прямозубыми колесами приведенная нагрузка P_i прямо пропорциональна значению передаваемого момента T_i , и поэтому формулу (10.5) можно представить в виде

$$L_E = \frac{60 \cdot 10^{-6}}{n_{\text{sam}} + 1} \sum_{i=1}^{k} (T_i / T_{\text{pace}})^{m'} n_i L_{hi}.$$
 (10.6)

При постоянных нагрузке и частоте вращения

$$L_E = 60 \cdot 10^{-6} n L_h / (n_{33M} + 1), \tag{10.7}$$

где n — частота вращения, мин $^{-1}$; L_h — продолжительность работы подшипника за полный срок службы, ч.

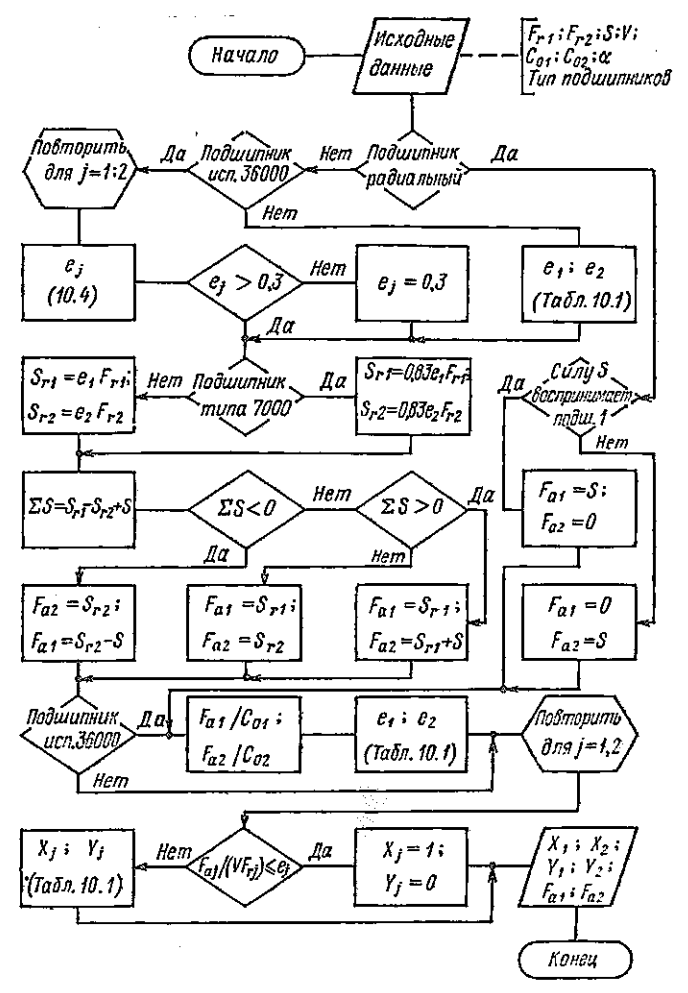
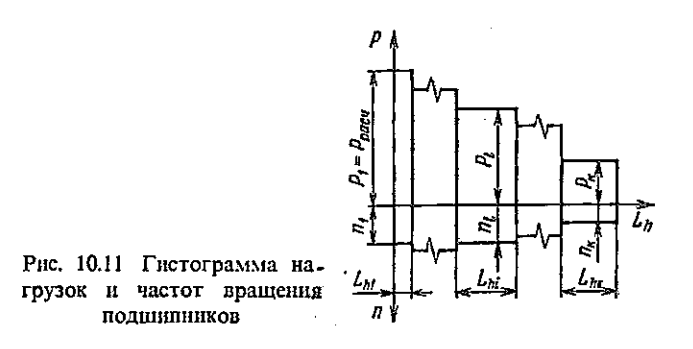


Рис. 10.10. Алгоритм определения параметров X, Y, F_a раднально-упорных и шариковых раднальных подшинников



В реверсивных передачах с непрямыми зубьями

$$L_E = \frac{60 \cdot 10^{-6}}{n_{\text{3aM}} + 1} \left\{ \left[\sum_{i=1}^k \left(\frac{T_i}{T_{\text{pacq}}} \right)^{m'} n_i L_{hi} \right]_{\mu} + \left(\frac{P_{\text{pacq}\nu}}{P_{\text{pacq}\nu}} \right)^{m'} \left[\sum_{i=1}^k \left(\frac{T_i}{T_{\text{pacq}}} \right)^{m'} n_i L_{hi} \right]_{\nu} \right\}.$$
(10.

Индексами µ и v отмечены величины, относящиеся соответственн к каждому из двух направлений нагрузки.

Величина $n_{\text{зам}}$ зависит от особенностей конструкции, эксплуатации обслуживания, требований к габаритным размерам узлов с подшипникам и др. Замена подпипников в планетарных передачах, как правилс намного более трудоемкий и ответственный процесс, чем в рядных, 1 поэтому для планетарных передач стремятся обеспечить $n_{\text{зам}}=0$. При курсовом проектировании целесообразно принять $n_{\text{зам}}=0\div 2$.

Подбор радиальных подшипников производят по динамической грузоподъемности

$$C = L_E^{1/m'} P_{\text{pact}} / K_{\text{kay}}. \tag{10.9}$$

Подбор радиально-упорных подшипников возможен только методом последовательных приближений. На первом шаге подшипник выбирают по значению C, найденному из выражения (10.9) в предположении, что на подшипник действует только радиальная сила F_{r_r} с последующим проверочным расчетом, который дан выше. Итерационный процесс считается законченным при выполнении условия $L \geqslant L_E$.

Подбор встроенных подшипников сателлитов передач типа A (см. рис. 18.13) имеет ряд особенностей. При вычислении приведенной нагрузки P по формуле (10.3) учитывают, что относительно вектора радиальной нагрузки вращается наружное кольцо, и поэтому принимают V=1,2. При определении эквивалентной долговечности подшипника в формуле (10.6) подставляют $n_l = |n_{sl} - n_{bl}|$.

Найденные из формулы (10.2) значения долговечности L подшипников соответствуют нормальным условиям смазки (консистентная смазка или разбрызгивание) при 10%-ной вероятности появления усталостного выкрашивания (90%-ная вероятность безотказной работы опоры). В практике конструирования встречаются опоры, которые работают как в условиях недостаточной смазки, так и при оптимальном смазочном режиме. Иногда 90%-ная вероятность безотказной работы опоры является избыточной, а в некоторых ответственных механизмах явно недостаточной.

Учет влияния последних факторов на долговечность подшипников осуществляют коэффициентами a_1 и a_{23} , подставляемыми в правую часть формулы (10.2):

$$L_{na} = a_1 a_{23} L = a_1 a_{23} (CK_{\text{Ray}}/P_{\text{pacy}})^{m'}, \qquad (10.10)$$

где L_{na} — долговечность подшипника при вероятности безотказной работы (100-n)% и при заданных условиях смазки.

Коэффициент долговечности a_1 при заданной вероятности безотказной работы имеет следующие значения (ГОСТ 18855—82):

Значения коэффициента условий работы a_{23} лежат в диапазоне от 0,1 до 5,0 и зависят от кинематической вязкости смазки, частоты вращения и диаметра подшипника. При смазке подшипника масляным туманом $a_{23} \le 1$, а при расходе проточной смазки через нагруженную зону подшипника в диапазоне от 0,5 до 1,0 л/мин на 10 кН радиальной нагрузки $a_{23} \ge 2$. Для подшипников качения, работающих в нормальных условиях, как правило, принимают $a_{23} = 1$.

Расчет статической грузоподъемности подшипников сводится к проверке неравенства:

$$P_0 \leq C_0$$

Статическая грузоподъемность C_0 равна нагрузке, вызывающей общую остаточную деформацию наиболее нагруженного тела качения с дорожкой качения, равной $10^{-4}D_w$ (D_w — диаметр тела качения из рис. 10.2-10.8). Значения C_0 даны в каталогах. Приведенную статическую нагрузку P_0 для радиальных и радиально-упорных подшипников определяют как максимальное из двух значений

$$P_0 = X_0 F_r + Y_0 F_a$$
 is $P_0 = F_r$

Числовые значения коэффициентов радиальной X_0 и осевой Y_0 нагрузок приведены в работе [4, стр. 136].

Расчет коэффициента потерь на трение в подшитниках качения производится по формуле

$$\psi_{n} = \sum_{j=1}^{n_{n}} T_{rpj} n_{j} / (Tn)_{p.o}, \qquad (10.11)$$

где $T_{\text{тр},n_j}$ – момент трения и частота вращения j-го подшипника; $n_{\text{п}}$ – число подшипников в опоре (редукторе); $(Tn)_{\text{p,o}}$ – произведение момента и частоты вращения рабочего органа.

Приближенное значение момента трения определяют из зависимости

$$T_{\rm TP} = 0.5 f F_r d,$$
 (10.12)

где f — коэффициент трения в подшипнике (см. работу [4, с. 148]); d — внутренний диаметр подшипника; F_r — радиальная нагрузка на подшипник.

Ориентировочные значения коэффициентов f составляют: для радиальных шариковых однорядных подшипников — 0,0015; для радиальных с цилиндрическими роликами — 0,0011; для радиально-упорных шариковых однорядных — 0,002; для радиально-упорных роликовых — 0,0018.

Для подшинников сателлитов планетарных передач в формулу (10.11) подставляется относительное значение $n_t = |n_{ai} - n_{bi}|$ (см. с. 110).

Глава 11

РАСЧЕТ РЕЗЬБОВЫХ СОЕДИНЕНИЙ

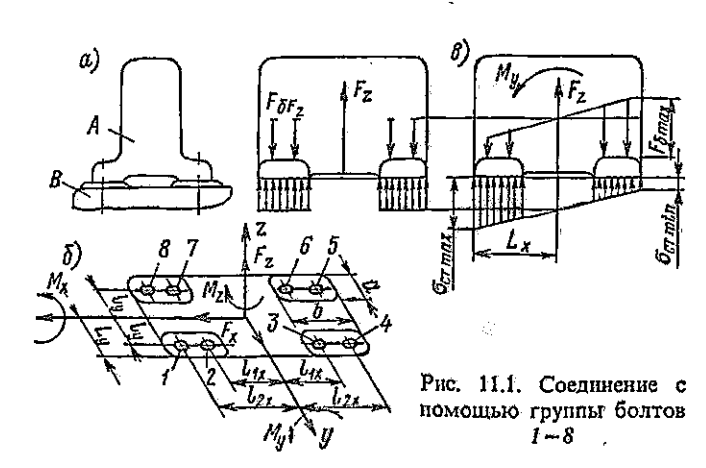
§ 11.1. Определение внешних нагрузок, действующих на болт в групповом болтовом соединении

Общие положения приближенного определения осевой нагрузки, действующей на болт, рассмотрим на примере крепления корпуса некоторого агрегата A (например, корпуса редуктора) к основанию B (рис. 11.1, a) с помощью z болтов равномерно распределенных по поверхности стыка (фигуры, образованной местами соприкосновения деталей A и B). Центр тяжести этой фигуры (в данном случае составленной из четырех прямоугольников) принимаем за начало системы координат с осями x, y, z и за центр приведения сил, действующих на корпус (рис. 11.1, δ).

Из системы уравнений статики найдены составляющие главного момента M_x , M_y , M_z и главного вектора F_x , F_y , F_z системы внешних нагрузок. Моменты M_x и M_y являются обычно основными нагрузками, вызывающими растяжение болтов и смятие стыка. Их совместное действие вызывает максимальное усилие растяжения в болте 4 и максимальные напряжения смятия в угловой точке стыка в зоне болта 8 (рис. 11.1, 6, 6). Нагрузки F_x , F_y и M_z , действующие в плоскости стыка, могут восприниматься силами сцепления, возникающими в плоскости стыка от затяжки болтов, работающими на срез болтами, установленными без зазора, или специально предусмотренными для этой цели штифтами.

Считая, что предварительная затяжка одинакова для всех болтов и обеспечивает нераскрытие стыка при действии внешних нагрузок, и предполагая, что нагрузка между болтами и по поверхности стыка изменяется по линейному закону, получают наибольшую растягивающую внешнюю силу, действующую на болт,

$$F_{\text{BH}} = \frac{F_z}{z} + \frac{M_x l_{y \max}}{\sum_{i=1}^{n} l_{iy}^2} + \frac{M_y l_{x \max}}{\sum_{i=1}^{n} l_{ix}^2}.$$
 (11.1)



§ 11.2. Определение силы затяжки $F_{\text{зат}}$ и расчетной осевой силы $F_{6,\text{расч}}$ болта (винта) группового соединения

В расчетной практике принимают

$$F_{337} = v(1 - \chi) F_{609} \tag{11.2}$$

где ν — коэффициент затяжки; для соединений, не требующих герметичности $\nu=1,5\div 2,0$ при $F_{\rm BH}={\rm const}$ и $\nu=2,5\div 4,0$ при $F_{\rm BH}\neq{\rm const}$; $\chi-{\rm ко}$ эффициент внешней нагрузки; для проектировочного расчета и соединений из стальных и чугунных деталей рекомендуют $\chi=0,2\div 0,3$.

В общем случае значение у определяют из зависимости

$$\chi = 1/(1 + \sum_{G} \lambda / \sum_{\Phi} \lambda), \tag{11.3}$$

где в соответствии с рис. 11.2 имеем:

$$\sum_{6}\lambda=\lambda_{6}+\lambda_{m};\quad \sum_{\varphi}\lambda=\lambda_{\varphi 1}+\lambda_{\varphi 2},$$

здесь $\lambda_{\bar{0}},~\lambda_{u},~\lambda_{\varphi l},~\lambda_{\varphi 2}$ — соответственно коэффициенты податливости болта, шайбы и соединяемых фланцев,

Коэффициент податливости для болта постоянного сечения с размером l' между опорными торцами головки и гайки определяется по формуле

$$\lambda_5 = (1/E_5) (4l'/\pi d^2 + 0.9/d);$$

для болта с переменным сечением

$$\lambda_6 = (1/E_6) \left[\sum_{i=1}^n (l_1/A_i) + 0.9/d \right],$$

где E_6 — модуль упругости первого рода для материала болта; d — наружный диаметр резьбы болта; l_l и A_l — соответственно длина и площадь поперечного сечения i-го участка болта переменного сечения.

Значение $\sum_{\Phi} \lambda$ условно принимается равным

коэффициенту податливости детали, имеющей форму усеченного конуса в случае соединения шпилькой или винтом (рис. 11.3, a) и двух усеченных конусов при соединении болтом (рис. 11.3, 6).

Податливость одного усеченного конуса

$$\lambda_{\phi} = \frac{1}{\pi E_{\phi} d_0 \lg \alpha} \ln \frac{(a + 2l \lg \alpha - d_0)(a + d_0)}{(a + 2l \lg \alpha + d_0)(a - d_0)},$$

где a — размер, равный диаметру опорной поверхности шайбы или гайки ($a\approx 1,6d$); tg $\alpha\approx 0.4\div 0.5$, остальные размеры ясны из рис. 11.3.

Ориентировочные размеры фундаментных

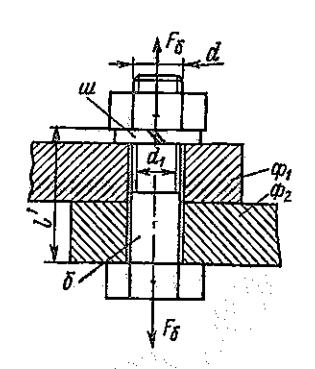


Рис. 11.2. Соединение единичным болтом, загруженным осевой силой

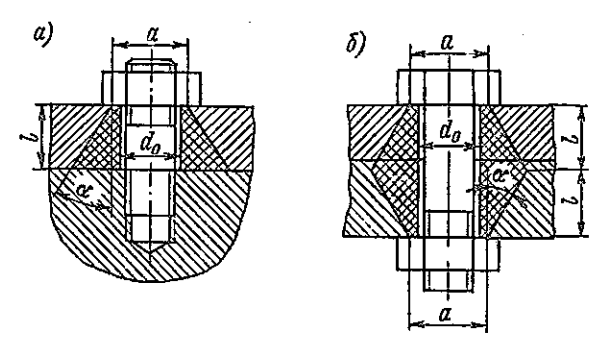


Рис. 11.3. К определению коэффициента податливости $\sum_{a} \chi$

болтов и присоединительных фланцев корпуса редуктора определяют в зависимости от величины крутящего момента на тихоходном валу в соответствии с рекомендациями гл. 17.

Проверяют условие нераскрытия стыка

$$\sigma_{\rm cr\,min} = z F_{3a\tau} / A_{\rm cr} - (1 - \chi) (F_z / A_{\rm cr} + M_x L_y / J_{\rm cr\,x} + M_y L_x / J_{\rm cr\,y}) \geqslant [\sigma_{\rm cr\,min}], (11.4)$$

где $A_{\rm cr}$ — площадь поверхности стыка (на рис. 11.1, б $A_{\rm cr}=4ab$); $J_{\rm cr}_x$ и $J_{\rm cr}_y$ — моменты инерции площади стыка относительно осей x и y; $\left[\sigma_{\rm cr}_{\rm min}\right]$ — минимальное допустимое напряжение сжатия в стыке, обеспечивающее жесткость и нераскрытие его. Для металлических сопряженных поверхностей $\left[\sigma_{\rm cr}_{\rm min}\right] = 1 \div 1,5$ МПа.

Если при принятом z условие (11.4) не выполняется, то $F_{\rm sar}$ увеличивают до значения, определяемого зависимостью

$$F_{\text{sat}} = \{ \left[\sigma_{\text{cr} \, \text{min}} \right] + (1 - \chi) \left(F_z / A_{\text{cr}} + M_x L_y / J_{\text{cr} \, x} + M_y L_x / J_{\text{cr} \, y} \right) A_{\text{cr}} / z. \quad (11.5)$$

Расчетная осевая сила болта определяется из выражения

$$F_{6, \text{pacu}} = 1,3F_{3ar} + \chi F_{8n}, \tag{11.6}$$

где коэффициентом 1,3 учитывается влияние касательных напряжений, вызванных моментом сопротивления в резьбе при затяжке соединения.

§ 11.3. Определение диаметра болта при $F_{\rm m}={ m const}$

Внутренний диаметр резьбы болта

$$d_1 = \sqrt{4F_{6, \text{pacy}}/(\pi [\sigma])},$$
 (11.7)

где [о] - допускаемое напряжение растяжения,

$$[\sigma] = \sigma_{\tau}/[s]; \tag{11.8}$$

 σ_{τ} — предел текучести материала болта (табл. 11.1); [s] — допускаемый коэффициент запаса прочности, $[s]=1,6\div2,0$ при затяжке, контролируемой динамометрическим ключом; $[s]=1,3\div1,5$ при контроле затяжки замером удлинения болта.

Механические характеристики материалов резьбовых деталей

Класс	σ _{B min}	σ _{в max}	σ-1	σ _{-ip.c.}	Марка стали		
проч- ности		M	Па		Болт	Гайка	
3,6 4,6 5,6 6,6 8,8 10,9	300 400 500 600 800 1000	490 550 700 800 1000 1200	200 240 300 360 640 900	97 130 160 195 260 320	Ct3; 10 20 30; 35 35; 45; 40Г 35X; 38XA 40Г2; 40X; 30XГСА	Ст3 Ст3 10 15 20; 35; 45 35X; 38XA	

Примечание. Класс прочности болтов обозначается двумя числами: первое число, умноженное на 100, определяет минимальное значение $\sigma_{\rm B}$ (МПа), второе, делимое на 10, соответствует примерному значению $\sigma_{-1}/\sigma_{\rm B}$.

При неконтролируемой затяжке для проектировочного расчета коэффициент [s] определяют по приближенной зависимости:

$$[s] = 2200k/[900 - (70\,000 - F_{6,\text{pacy}})^2 \, 10^{-7}],$$
 (11.9)

где k=1 для болтов из нелегированных сталей и k=1,25 для болтов из легированных сталей; если $F_{6,\,\mathrm{pacq}}>70\,000$ H, в формуле (11.9) принимают $F_{6,\,\mathrm{pacq}}=70\,000$ H.

§ 11.4. Определение диаметра болта при $F_{\scriptscriptstyle \mathrm{BH}} eq \mathrm{const}$

При действии внешней нагрузки, изменяющейся от $F_{\text{ви max}}$, внутренний диаметр резьбы болта определяют по формуле

$$d_1 \geqslant \sqrt{\frac{2K_{\sigma}\chi \left(F_{\text{DH max}} - F_{\text{BH min}}\right)\left[s_a\right]}{\pi\varepsilon_{\sigma}\sigma_{-1p.c}K_{y}\beta}},$$
(11.10)

где K_{σ} – эффективный коэффициент концентрации напряжений в резьбе; $[s_a]$ – допустимый коэффициент запаса прочности; ε_{σ} – коэффициент влияния абсолютных размеров болта; $\sigma_{-1p,c}$ – предел выносливости материала при знакопеременном симметричном растяжении сжатии (табл. 11.1); K_y – коэффициент, учитывающий технологическое упрочнение резьбы (K_y = 1,0 при нарезанной резьбе и K_y = 1,25 при накатанной); β – коэффициент конструктивного упрочнения (β = 1,0, если гайка работает на сжатие, и β = 1,35 ÷ 1,6, если тело гайки частично или по всей высоте работает на растяжение).

В формуле (11.10) рекомендуется принимать: $\chi = 0.25$; $[s_a] = 3.0 \div 3.6$; $K_{\sigma}/\varepsilon_{\sigma} = 9$ для болтов из углеродистых сталей и $K_{\sigma}/\varepsilon_{\sigma} = 11$ для болтов из легированных сталей.

§ 11.5. Проверзуный расчет болтов на прочность

Расчет болта на статическую прочность. Условие прочности

$$s = \sigma_{\tau}/\sigma \geqslant \lceil s \rceil, \tag{11.11}$$

где $\sigma = 4F_{6 \, \mathrm{pacy}}/(\pi d_1^2)$.

Расчет болта на циклическую прочность. При изменении внешней нагрузки от $F_{\rm BH\ min}$ до $F_{\rm BH\ max}$ коэффициент запаса прочности $s_{\rm a}$ находится из отношения

$$s_{a} = \sigma_{a \text{ lim}}/\sigma_{a} \geqslant [s_{a}], \qquad (11.12)$$

где $\sigma_{a \text{ lim}}$ – предел выпосливости болта при коэффициенте асимметрии цикла изменения напряжений R=-1 находится из формулы

$$\sigma_{a \text{ lim}} = \varepsilon_{\sigma} \sigma_{-1 \text{ n. c}} K_{\nu} \beta / K_{\sigma}$$

Здесь є определяется в зависимости от диаметра болта:

Коэффициент K_{σ} находится из зависимости

$$K_{\sigma} = 1 + q_{\sigma} (\alpha_{\sigma} - 1),$$

где q_{σ} — коэффициент чувствительности материала к концентрации напряжений ($q_{\sigma}=0.55$ для углеродистых сталей и $q_{\sigma}=0.75$ для легированных); α_{σ} — теоретический коэффициент концентрации напряжения (для метрической резьбы по СТ СЭВ 180-75 $\alpha_{\sigma}\approx 10$ для плоскосрезной впадины резьбы и $\alpha_{\sigma}=8$ для закругленной).

Действующая амплитуда напряжений

$$\sigma_{\rm a} = 2\chi (F_{\rm BH \, max} - F_{\rm BH \, min})/(\pi d_1^2).$$

§ 11.6. Расчет единичного болтового соединения, загруженного силой, действующей в плоскости стыка

Нагрузки, действующие в плоскости стыка, обычно воспринимаются работающими на срез болтами (болты установлены в отверстия скрепленных деталей без зазора) или специально предусмотренными для этой цели штифтами. В этом случае стержень болта (рис. 11.4) или штифта рассчитывают по напряжениям среза и смятия.

Условие прочности на срез

$$\tau = 4Q/(\pi d_0^2) \le [\tau].$$
 (11.13)

Условие прочности на смятие

$$\sigma_{\text{cm1}} = 4Q/(\pi l_1 d_0) \leqslant [\sigma_{\text{cm}}]_1;$$

$$\sigma_{\text{cm2}} = 4Q/(\pi l_2 d_0) \leqslant [\sigma_{\text{cm}}]_2.$$
(11.14)

Примечание. С ростом отношения $l_{1(2)}/d_0$ увеличивается неравномерность распределения напряжений смятия по высоте стержия болта (штифта). Поэтому, если в конструкции принято $l_{1(2)} > d_0$, то в формуле (11.14) следует подставлять $l_{1(2)} = d_0$.

Допускаемые напряжения: $[\tau] = 0.4\sigma_{\tau}$ при постоянной нагрузке и $[\tau] = (0.2 \div 0.25) \sigma_{\tau}$ при переменной нагрузке; $[\sigma_{cm}] \simeq 0.8\sigma_{\tau}$ для стали

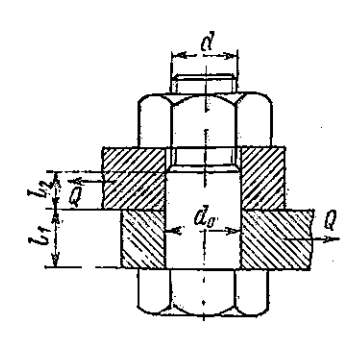


Рис. 11.4. Единичное болтовое соединение, загруженное силой, действующей в плоскости стыка

и $[\sigma_{cM}] \approx 0.8\sigma_{B,p}$ для чугуна, где $\sigma_{B,p}$ — предел прочности чугуна на растяжение.

Найденные по формулам (11.14) напряжения сравнивают с допускаемыми напряжениями для менее прочного материала деталей соединения (болта или фланца).

§ 11.7. Порядок выполнения расчета группового болтового соединения

Расчет ведут в следующей последовательности.

1. Определяют значение и направление внешних силовых факторов, действующих на корпус.

- 2. Определяют центр тяжести опорной поверхности стыка, который принимают за начало системы координат с осями x, y, z (см. рис. 11.1) и за центр приведения сил и моментов, действующих на корпус.
- 3. Из зависимости (11.1) определяют внешнюю осевую силу, действующую на наиболее загруженный болт.
 - 4. Из формулы (11.2) определяют силу затяжки болта.
- 5. По формуле (11.4) проверяют условие нераскрытия стыка. Если условие (11.4) не удовлетворяется, то из выражения (11.5) находят новое значение $F_{\rm var}$.
- 6. В соответствии с формулой (11.6) находят расчетную осевую силу болта.
- 7. Из зависимостей (11.7) (11.9) определяют внутренний диаметр d_1 (см. рис. 11.2) резьбы болта, определяемый статической прочностью.
 - 8. Из выражения (11.10) находят внутренний диаметр d_1 резьбы болта

из расчета на циклическую прочность.

- 9. Из двух значений d_1 , найденных по формулам (11.7) и (11.10), принимают больший и по табл. 11.2 находят диаметр болта d. Если принятое значение d окажется существенно меньше, чем значение, найденное по рекомендациям гл. 17, то размеры фланцев корпуса необходимо изменить в соответствии с новым значением d и произвести проверку по (11.4).
- 10. В соответствии с зависимостью (11.3) уточняют χ и по формулам (11.11) и (11.12) выполняют проверочные расчеты на статическую и циклическую прочность.
- 11. Определяют силы в плоскости стыка, действующие на каждый болт соединения от нагрузок F_x , F_y и M_z .

Таблица 11.2 Основные размеры (мм) метрической резьбы

đ	d_2	d ₁	P	d	d_2	d ₁	P
M6	5,350	4,918	1,0	M(18)	16,376	15,294	2,5
M8	7,188	6,647	1,25	M20	18,376	17,294	2,5
M10	9,026	8,376	1,5	M(22)	20,376	19,294	2,5
M12	10,863	10,106	1,75	M24	22,051	20,752	3,0
M(14)	12,701	11,835	2,0	M(27)	25,051	23,752	3,0
M16	14,701	13,835	2,0	M30	27,727	26,211	3,5

Сила, действующая на і-й болт соединения,

$$\bar{Q}_i = \bar{Q}_{iF_X} + \bar{Q}_{iF_Y} + \bar{Q}_{iM_Z},$$
 (11.15)

где

$$Q_{iF_x} = \frac{F_x}{z}; \quad Q_{iF_y} = \frac{F_y}{z}; \quad Q_{iM_z} = M_z \sqrt{x_i^2 + y_i^2} / \sum_{i=1}^{z} (x_i^2 + y_i^2).$$

Допускается суммирование по формуле (11.15) производить графически. 12. Проверяют условие отсутствия неупругого сдвига деталей

$$Q_{i \max} \leqslant F_{\text{3aT}} f_{\text{cr}} / K_{\text{cib}} \tag{11.16}$$

где $Q_{i\,\,\mathrm{max}}$ — максимальное значение Q_i , найденное из (11.15); f_{cr} — коэффициент трения ($f=0,15\div0,2$ для стали по стали или чугуну); K_{cu} — коэффициент запаса сцепления ($K_{\mathrm{cu}}=1,3\div1,5$ при статической нагрузке и $K_{\mathrm{cu}}=1,8\div2,0$ при переменной).

13. Если условие (11.16) не выполняется, то устанавливают несколько болтов без зазора или штифтов, прочность которых проверяют по (11.13) и (11.14).

Глава 12

УКАЗАНИЯ К ВЫБОРУ ТИПОВ ПЕРЕДАЧ И ПРОВЕДЕНИЮ НАУЧНЫХ ИССЛЕДОВАНИЙ ПРИ КУРСОВОМ ПРОЕКТИРОВАНИИ

§ 12.1. Общие сведения

Механический привод с заданным режимом работы, характеризуемым зависимостями T=f(t) и n(t) нагрузки и частоты вращения от времени, и общего передаточного отношения i_{c0} может быть осуществлен с использованием различных типов рассмотренных выше передач и их сочетаний. Многовариантность решений и различие их по таким важнейшим показателям, как масса, габаритные размеры, КПД, технологичность, виброактивность и др., являются причиной актуальности рекомендаций, способствующих получению оптимальных решений.

Приведем краткие сравнительные данные некоторых наиболее распространенных типов передач.

Из всех видов механических передач наибольшее распространение получили передачи с цилиндрическими зубчатыми колесами. Привод, составленный из этих передач, имеет минимальную массу, габаритные размеры (рис. 12.1) и потери на трение. Обычно коэффициент потерь одноступенчатой цилиндрической передачи $\psi = 0.01 \div 0.02$ (см. § 2.1), но при высоких скоростях и точности и обеспечении минимальных потерь на размешивание и разбрызгивание масла может достигать и меньших значений. Наибольшее распространение получили одно-, двух- и трехступенчатые цилиндрические передачи (см. рис. 1.3), но при необходимости исполь-

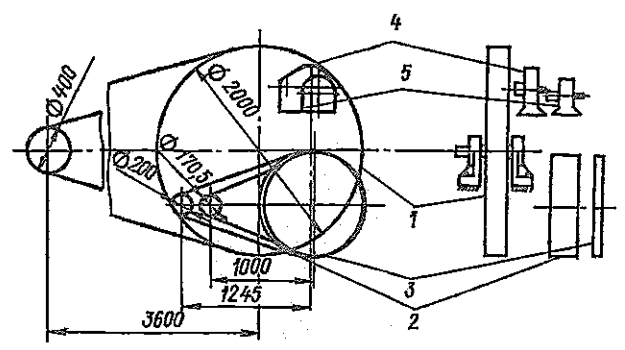


Рис. 12.1. Габаритные размеры различных типов передач с передаваемой мощностью 50 кВт при u=5 и частоте вращения тихоходного вала 200 об/мин: I- плоскоременная передача; 2- клиноременная передача; 3- передача с трехрядной цепью ПРУ; 4- редуктор одноступенчатый цилиндрический; 5- планетарный редуктор

зуют передачи с существенно большим числом ступеней и общее передаточное отношение i_{05} практически не ограничено.

Сведения о КПД цилиндрических передач приведены в § 2.1. Ориентировочные значения коэффициента потерь ψ различных типов механических передач даны на рис. 12.2. Кривыми ЦЗП представлены значения коэффициента потерь ψ передач, составленных из цилиндрических передач (эти кривые относятся и к передачам, составленным из механизмов A). Отдельные участки этих кривых отмечены арабскими цифрами 1-6.

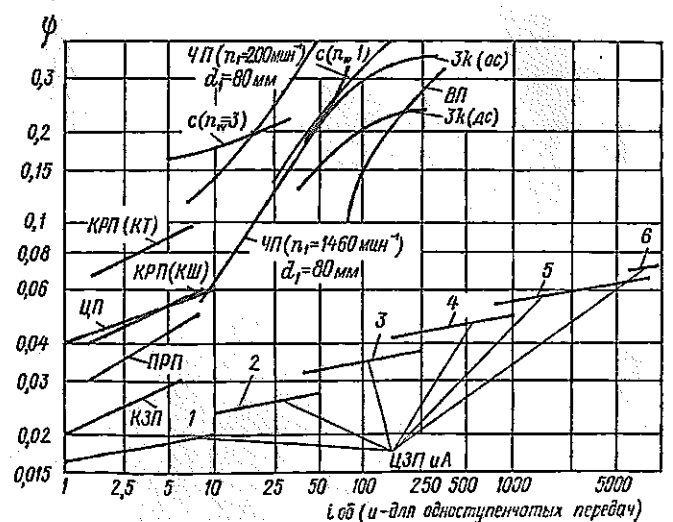


Рис. 12.2. Значения коэффициента ψ для различных тишов передач: ЦЗП и A – привод, составленный из одно- и многоступенчатых цилиндрических зубчатых передач или из планетарных передач A; $K3\Pi$ – коническая зубчатая передача; $\Pi P\Pi$ – плоскоременная передача; $KP\Pi$ (КП) – клиноременная передача (корд-шиур); $KP\Pi$ (КТ) – клиноременная передача (корд-шиур); $KP\Pi$ (КТ) – клиноременная передача; $M\Pi$ – червячная передача; $M\Pi$ – червячная передача; $M\Pi$ – волновая передача; $M\Pi$ – механизм $M\Pi$ с одним $M\Pi$ – $M\Pi$ в тремя сателлитами $M\Pi$ с одновенцовым (ДС, см. рис. 6.2, $M\Pi$) и с одновенцовым сателлитом ($M\Pi$), рис. 6.2, $M\Pi$ 0 и с одновенцовым сателлитом ($M\Pi$ 0, см. рис. 6.2, $M\Pi$ 0)

соответствующими числу ступеней. Так, при $i_{ob} = 100$ и $i_{ob} = 10\,000$ имее соответственно три и шесть ступеней.

Цилиндрические передачи используются при мощностях, начиная (очень малых, характерных для приборов, и кончая измеряемыми многим тысячами киловатт. Практически для передач, составленных из цилиндрических зубчатых колес, ограничений по мощности нет. Исключение являются ограничения, связанные с возможностями транспортировки.

Передачи с коническими зубчатыми колесами применяются при перт секающихся осях зубчатых колес. Межосевой угол Σ может изменяться широком диапазоне значений ($10^{\circ} < \Sigma < 180^{\circ}$), но наибольшее распростра нение получили передачи с $\Sigma = 90^{\circ}$. По сравнению с цилиндрическим конические передачи имеют большую массу и габаритные размеры, слом нее в изготовлении, а также при монтаже из-за необходимости точної фиксации осевого положения зубчатых колес; коэффициент ψ этих пере дач больше, чем в цилиндрических приблизительно в 1,5 раза (см. табл. 2.5 и рис. 12.2). Однако конические передачи широко используются, поскольку по условиям компоновки очень часто возникает необходимость в передаче движения между валами с пересекающимися осями. Из рис. 12.3 ясно, чтс при необходимости иметь минимальное значение размера L_b предпочтителен вариант с коническими зубчатыми колесами.

Червячные передачи по сравнению с зубчатыми характеризуются меньшей интенсивностью шума и виброактивностью, большей плавностью работы, возможностью получения в одной сцепляющейся паре передаточного числа и до 80, а в отдельных случаях и существенно больших значений [36, 53]. Передача движения между скрещивающимися валами в отдельных случаях является существенным достоинством червячных передач, обеспечивающим более рациональную компоновку механизмов. Однако при выборе типа привода надо учитывать, что по сравнению с зубчатыми червячные передачи имеют следующие недостатки: повышенную стоимость; большие в три-четыре раза потери на трение (см. рис. 12.2, где значение у одноступенчатой червячной передачи представлено кривыми ЧП), а следовательно, и большие эксплуатационные расходы: необходимость применения дорогостоящих бронз. В связи с этим червячные передачи применяют при ограниченной мощности (обычно не более 50 кВт), но, как правило, при существенно меньшей в тех случаях. когда предъявляются повышенные требования к плавности и бесшумности привода. Червячные передачи незаменимы там, где требуется высокая

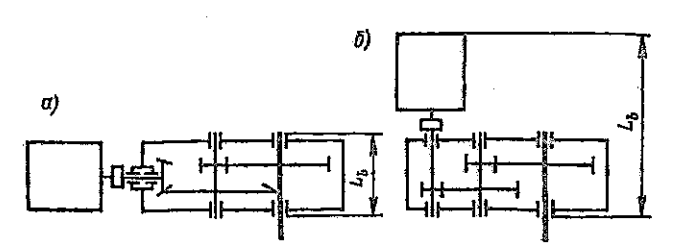


Рис. 12.3. Компоновочные схемы передач: a – коническоцилиндрическая; δ — цилиндрическая

инематическая точность, например в приводах делительных устройств цеталлорежущих станков, в механизмах наведения телескопов и др.

При выборе типа передачи необходимо учитывать, что масса и газритные размеры червячной передачи больше, чем у заменяющей ее вредачи, составленной из зубчатых пар цилиндрических или конической сочетании с цилиндрическими (в том числе и планетарными) при выоких значениях $H_{\rm orr}$.

Большое распространение получили передачи с гибкой связью. Плоскоременные, клиноременные и зубчатоременные передачи используются в эсновном там, где необходимо обеспечить плавность и бесшумность работы, минимальную виброактивность. В отдельных случаях успешно реализуется достоинство этих передач, заключающееся в возможности передавать энергию на значительные расстояния при простейшей струкгурной схеме привода (два шкива и гибкая связь), при отсутствии возможности обеспечить достаточно точное взаимное расположение агрегатов, которым принадлежат ведущий и ведомый валы передачи.

Существенными недостатками ременных передач по сравнению с зубчатыми являются следующие: значительно большие габаритные размеры (а нередко и масса), что наглядно представлено на рис. 12.1; большие потери на трение (см. рис. 12.2) и низкая долговечность ремней (1000 — 5000 ч).

Наличие проскальзывания ремня относительно шкивов, являющееся в отдельных случаях полезным свойством (предохранение от перегрузок), в свою очередь накладывает ограничения на область применения ременных передач (за исключением зубчатоременных).

Размеры цепных передач и потери на трение в них обычно значительно меньше, чем в ременных, однако по этим показателям, а также по плавности работы и виброактивности, они существенно уступают зубчатым передачам (см. рис. 12.1 и 12.2). В связи с этим применение цепных передач оправдано, как правило, только при значительных межосевых расстояниях, при которых замена их зубчатыми передачами связана с усложнением привода, увеличением числа деталей и не дает преимуществ в отношении потерь на трение (рис. 12.4 и 12.2).

Для решения вопроса о выборе типа привода весьма существенным является определение стоимости энергии, затрачиваемой на преодоление

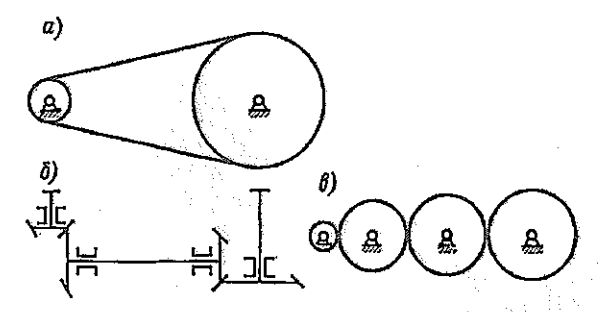


Рис. 12.4. Кинематические схемы передач: a — гибкой связью; δ — с коническими зубчатыми колесами; ϵ — с цилиндрическими зубчатыми колесами

сил трения в передачах. Разпость стоимости энерии D (руб.), затрачи емой на преодоление сил трения в рассматриваемой передаче (с коэ фициентом потерь ψ) и в предназначенной для тех же условий переда с цилиндрическими зубчатыми колесами (коэффициент потерь $\psi_{\rm u}$), определяется по формуле

$$D = P (\psi - \psi_n) t_h e,$$

где P — передаваемая мощность, кВт; t_h — продолжительность работы : весь срок службы, ч; e — стоимость 1 квт · ч электроэнергии, руб.

Если, например, при P=50 кВт, $t_h=32\,000$ ч, e=0,04 руб. клинор менную передачу заменить передачей с цилиндрическими зубчатым колесами, то при $\psi-\psi_{\rm u}=0,04-0,02=0,02$ получим D=1280 руб. Эт значение D существенно превышает стоимость цилиндрического редуктор: К этому надо добавить, что долговечность ремней обычно не превышает 5 000 ч и затраты на ремни за указанное время превышают стоимост цилиндрического редуктора, заменяющего ременную передачу.

Приведенные сведения о сравнительных коэффициентах потерь неко торых типов передач необходимо учитывать при выборе типов передач При рассмотрении этого вопроса важное значение имеет еще и парамет

$$\varphi = \sum P_i t_{lii} / (P_{AB} t_{lix}),$$

где P_i — мощность, передаваемая за время t_{hi} ; $P_{дв}$ — номинальная мощності двигателя; t_{hk} — календарное время службы передачи, включая простои

Естественно, что с увеличением ф и передаваемой мощности следует назначать меньшие у привода. При очень малых значениях о, характерных, например, для редко используемых грузоподъемных машин, валоповоротных устройств, редко включаемых механизмов управления и т. д., допустимо применение передач с повышенными значениями Ф, если при этом упрощается конструкция и снижается масса привода. Но если предъявляются высокие требования к бесшумности и плавности работы, к получению минимально возможной виброактивности, то и при значительных величинах ф могут быть использованы передачи с повышенными значениями коэффициента потерь (передачи червячные, волновые, ременные и др.). Однако и при этих требованиях надо стремиться к изысканию типа привода, обеспечивающего по возможности меньшие потери на трение. Для этого при больших значениях i_{ob} следует применить передачу с минимальной виброактивностью только для быстроходной ступени, которая обычно и является основным источником шума и вибраций. Остальные спупени (с пониженной частотой вращения) выполняются с цилиндрическими зубчатыми колесами. Такой пример показан на рис. 12.5. Здесь надо отметить, что при малом отношении $T_{\text{пем}}/T_{\text{тих}}$ ($T_{\text{рем}}$ – момент ведомого вала ременной передачи, $T_{\text{тих}}$ – момент тихоходного вана редуктора) размер ременной передачи может оказаться не превышающим размеры корпуса редуктора (что и имеет место в варианте, приведенном на рис. 12.5, а). При этом общая компоновка агрегата получается даже более благоприятной по сравнению с имеющей место при замене ременной передачи зубчатой парой (рис. 12.5, б). С целью снижения коэффициента потерь привода целесообразно также односту-

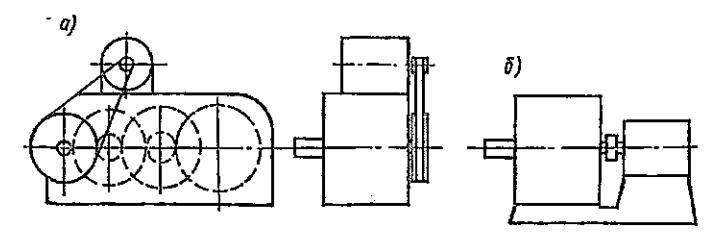


Рис. 12.5. Редуктор с быстроходной ступенью, осуществленной ременной (a) и зубчатой (б) передачами

пенчатую червячную передачу заменить двухступенчатой червячно-цилиндрической (см. рис. 1.5, д и рис. 20.17) с возможно большим углом подъема винтовой линии червяка.

Среди мероприятий, направленных на снижение массы, габаритных размеров, стоимости и повышение надежности механического привода, особого внимания заслуживает использование мотор-редукторов, представляющих собой агрегат, состоящий, например, из зубчатого рядного или планетарного редуктора (рис. 12.6, а) и электродвигателя. При этом корпус редуктора скрепляется с корпусом фланцевого электродвигателя (рис. 12.6, а, 20.9, 20.11 и др.). Масса и габаритные размеры мотор-редуктора значительно меньше, чем предназначенной для той же цели установки, составленной из редуктора 1, электродвигателя 2, соединительных муфт 3 и 4, рамы 5 (сравните размер L на рис. 12.6, a и b). Наибольшей компактностью отличаются установки с так называемыми навесными моторредукторами (рис. 12.6, в). В этом случае тихоходный вал выполняется полым для размещения редуктора на выходном валу приводимого в движение агрегата б. При этом отсутствуют не только соединительные муфты как самостоятельные сборочные единицы, но и нет опорной рамы. Реактивный момент от корпуса редуктора передается на корпус агрегата б.

Наиболее характерные диапазоны передаточных отношений различных типов передач указаны в посвященных им главах (см. также в предметном указателе «передаточные отношения ...»). Ориентировочные значения передаточных отношений одноступенчатых и многоступенчатых передач были приведены на рис. 12.2.

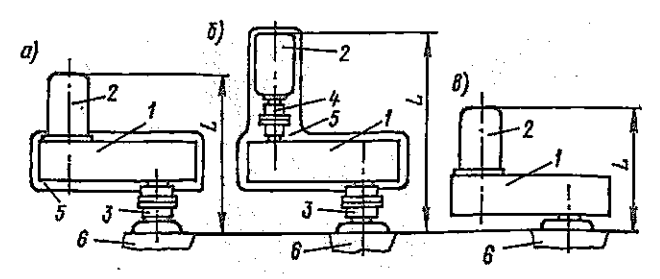


Рис. 12.6. Компоновочные схемы различных типов механических приводов

§ 12.2. Приближенные расчеты зубьев цилиндрических передач на контактную прочность

Для облегчения поиска наиболее рациональных вариантов передачиспользуют упрощенные математические модели с осредненными значе ниями ряда коэффициентов. При этом упрощения не должны сколь-либо существенно влиять на конечные результаты сравнений различных вариантов передач. Для приближенных расчетов использованы предусмотренные в ГОСТ 21354-75* комплексный коэффициент контактных напряжений K_0 и допускаемое значение коэффициента контактных напряжений $[C_H] = ([\sigma_H]/Z_M)^2$. При этом имеем следующие зависимости для проверочного и проектировочного расчетов:

$$K_0 = 2 \cdot 10^3 T_{H1} (u \pm 1) / (b_w d_{w1}^2 u) \le \lceil K_0 \rceil;$$
 (12.1)

$$d_{w1} = 10 \sqrt[3]{2T_{H1} (u \pm 1)/(\psi_{bd} u [K_0])}, \qquad (12.2)$$

где

$$[K_0] = [C_H]/(K_{H_2}K_{H_0}K_{H_v}Z_H^2Z_t^2).$$
 (12.3)

При $\beta = 0$ в (12.3) имеем

$$[C_H] = [C_H]_{\text{прям}}, \tag{12.4}$$

где $[C_H]_{\text{прям}}$ приравнивается меньшему из двух значений соответственно для шестерни и колеса $(j=1,\ 2),$

$$[C_H]_j = [C_{Hb}]_j K_{HLj}^2,$$
 (12.5)

 $[C_{Hb}]_{I}$ находится из табл. 12.1;

$$K_{HLi}^2 = \sqrt[3]{N_{H0i}/N_{HEi}}.$$
 (12.6)

Таблица 12.1

Значения $\{C_{Hb}\}$ для передач со стальными шестерней и колесом

Твердость	Термообработ-	Твердость	Термическая и термохимическая обработка			
рабочих поверхностей НВ	верхностей ция или улуч- поверхностей		Цементация или нитро- цементация	Поверхност- ная закалка	Объемная закалка	
230 240 250 260 270 280 290 300 310 320 330 340	3,16 3,40 3,66 3,92 4,19 4,47 4,75 5,05 5,36 5,67 6,00 6,33	40 42 44 46 48 50 52 54 56 58 60 62	14,59 15,69 16,83 18,01 19,23	7,32 7,90 8,50 9,12 9,76 10,43 11,11 11,82 12,55	6,85 7,46 8,09 8,75 9,44 10,16 — — —	

Примечание. Значения $[C_{Hb}]$ получены по формуле (14.64) из работы [36]. Для азотированных зубчатых колес $[C_{Hb}]=10.5$ МПа.

При постоянной частоте вращения

$$N_{HEI} = 60n_i \gamma_{wi} t_{hE}, \tag{12.7}$$

 γ_{wj} см в § 2.3,

$$t_{hE} = \sum_{1}^{k} (T_{1(i)}/T_{H1})^{3} t_{hi}.$$
 (12.8)

Величины, входящие в (12.8), пояснены на стр. 32 и рис. 2.11. При $\beta \neq 0$

$$[C_H] = [C_H]_{\text{koc}} \tag{12.9}$$

При $H_{\text{окт1}} > 350 \text{ HB}$ и $H_{\text{окт2}} > 350 \text{ HB}$ величина $[C_H]_{\text{кос}}$ приравнивается меньшему из двух значений из формулы (12.5). При $H_{\text{акт}}$ одного или обоих сцепляющихся зубчатых колес $\leq 350 \text{ HB}$ и $x_1 = x_2 = 0$

$$[C_H]_{\text{ROC}} = 0.5 ([C_{H1}] + [C_{H2}]),$$
 (12.10)

где $[C_{H1}]$ и $[C_{H2}]$ определяют по формуле (12.5). Величина $[C_{H}]_{\text{вос}}$ из (12.10) не должна превышать более чем на 40% меньшее из двух значений $[C_{H1}]$ и $[C_{H2}]$.

В приближенных расчетах принимают $K_{H\rho}=1,15$. Далее при $\beta=0$ и $\beta\neq 0$ принято соответственно $K_{H\nu}=1,14$; $K_{H\alpha}=1$; $Z_H^2Z_e^2=2,5$ и $K_{H\nu}=1,09$; $K_{H\alpha}=1,1$; $Z_H^2Z_e^2=1,8$. При этих данных из (12.3) имеем.

при $\beta = 0$

$$[K_0] = [K_0]_{\text{npast}} = 0.31 [C_H]_{\text{npast}};$$
 (12.11)

при $\beta \neq 0$

$$[K_0] = [K_0]_{\text{koc}} = 0.40 [C_H]_{\text{koc}}.$$
 (12.12)

Коэффициенты $[C_H]$ и $[K_0]$ связаны прямо пропорциональной зависимостью с допускаемой нагрузкой и близкой к обратно пропорциональной — с массой зубчатой пары (стр. 212). Это обстоятельство существенно упрощает сравнение несущей способности при различных параметрах передач и поиск вариантов с наиболее благоприятными массогабаритными показателями.

При заданных d_{w1} , b_{w} и u, т. е. при известных габаритных размерах зубчатой пары и, следовательно, в известной степени — массы ее, коэффициент $[K_0]$ содержит полную информацию о несущей способности, поскольку в него входят все параметры, влияющие на этот показатель. В связи с этим для сравнения несущей способности зубчатых пар при различных материалах, режимах работы, геометрии зацепления (при варьировании величин β , z, x_1 , x_2), точности и других показателей достаточно сопоставить соответствующие значения $[K_0]$. Накопленные сведения о значениях $[K_0]$ в различных машинах (так, в передачах на винт самолета или вертолета $[K_0] \approx 4,5 \div 5,4$ МПа; в судовых турбозубчатых передачах с термоулучшенными зубчатыми колесами $[K_0] \approx 0,6 \div 0,8$ МПа; при той же термообработке в передачах углеразмольных и цементных мельнии $[K_0] \approx 0,8$ МПа и т. д.) позволяют с незначительной затратой времени найти размеры сравниваемых вариантов передача.

Воспользуемся коэффициентами K_0 для сравнения несущей способности косозубых и прямозубых передач. Отношение несущей способности косозубых и прямозубых цилиндрических передач [см. формулу (12.3)]

$$\phi_{\text{koc/npsm}} = [K_0]_{\text{koc}} / [K_0]_{\text{npsm}} = \frac{\{ [C_H] / K_{H\alpha} K_{H\beta} K_{Hc} Z_H^2 Z_{\epsilon}^2 \}_{\text{koc}}}{\{ [C_H] / K_{H\alpha} K_{H\beta} K_{Hc} Z_H^2 Z_{\epsilon}^2 \}_{\text{ppsm}}}.$$
(12.13)

При принятых выше усредненных значениях ряда коэффициентов из выражений (12.11) и (12.12) получим

$$\phi_{\text{koc}}/_{\text{прям}} = 1,29 \left[C_H \right]_{\text{koc}}/\left[C_H \right]_{\text{прям}}.$$
(12.14)

Если $H_{\rm akr1}$ и $H_{\rm akr2}$ превышают 350 HB, то $\phi_{\rm koc/npam}\approx 1,29$. Если же $H_{\rm akr2}<350$ HB, то с ростом значения $H_{\rm akr1}-H_{\rm akr2}$ увеличивается отношение $\phi_{\rm koc/npam}$ [см. формулы (12.13) и (12.14)]. В связи с этим в ряде случаев (например, при затруднениях, связанных с получением колес с большим значением $H_{\rm akr2}$ при достаточно высокой точности) применение косозубых передач по сравнению с прямозубыми позволяет существенно увеличить несущую способность, например, до 80 %.

§ 12.3. Зависимости для расчета передач A и 3k с прямыми зубыми

Передача A. Проверочный и проектировочный расчеты передач A (см. рис. 6.1) из условия контактной прочности зацепления a-g выполняют с помощью следующих зависимостей, полученных из (12.1):

$$K_{0a} = \frac{2 \cdot 10^3 T_{Ha} (p+1)}{(b_w)_a (d_w)_a^2 (p-1) n_w} \le [K_{0a}]; \tag{12.15}$$

$$(d_w)_{aH} = 10 \sqrt[3]{\frac{2T_{Ha}(p+1)}{(\Psi_b d)_a n_w (p-1) [K_{0a}]}};$$
(12.16)

$$(b_w)_{aH} = \frac{2 \cdot 10^3 T_{Ha} (p+1)}{(d_w)_a^2 n_w (p-1) [K_{0a}]},$$
(12.17)

где $(b_w)_a$ — ширина зубчатого венца в зацеплении a-g; T_{Ha} — расчетный момент центрального колеса a; $(d_w)_a$ — начальный диаметр центрального колеса a; $[K_{0a}]$ — комплексный коэффициент контактных напряжений для зацепления a-g; $(\psi_{bd})_a$ — см. гл. 6 (обычно принимают $(\psi_{bd})_a \approx 0,6 \div 0,7$, но не более 0,18p).

В приближенных расчетах при выборе типов передач предполагается, что твердости активных поверхностей зубьев в паре a-g одинаковы, что является наиболее характерным вариантом для передач A, поскольку центральные колеса и сателлиты, как правило, цементованные и закаленные либо азотированные.

Для планетарных передач в формуле (12.3) принимают $K_{Hv}=1,09$; $K_{Hz}=1$; $Z_H^2Z_z^2=2,5$ и вместо $K_{H\mathfrak{g}}$ подставляют $K_{H\mathfrak{L}}$ (см. стр. 30), принимаемый равным 1,3. Учитывая зависимость (12.5), получим

$$[K_{0a}] = 0.283 [C_{Hb}]_a K_{HLa}^2$$
 (12.18)

В расчетах для сравнения размеров передач принимаем $H_{akr.g} = 58$ HRC.

При этом $[C_{Hb}] = 16,83$ (см. табл. 12.1) и

$$[K_{0a}] = 4{,}763K_{HLa}^{2} \tag{12.19}$$

где

$$K_{HLa}^2 = \sqrt[3]{N_{HOa}/N_{HEa}};$$
 (12.20)

$$N_{HEa} = 60 \ pn_{\text{THX}} \ n_w t_{hE}. \tag{12.21}$$

Частота вращения тихоходного основного звена $n_{\text{тих}}=n_h$ при $n_b=0$ и $n_{\text{тих}}=n_b$ при $n_h=0$, тогда

$$t_{hE} = \sum_{i=1}^{k} \left(T_{\text{o.3 (i)}} / T_{\text{o.3 pace}} \right)^3 t_{h(i)}, \tag{12.22}$$

где $T_{0.3}$ — момент, действующий на какие-либо из основных звеньев (см. рис. 6.15); $T_{0.3\,\mathrm{pacq}}$ — максимальный из длительно действующих моментов (на рис. 6.15 имеем $T_{0.3\,\mathrm{pacq}} = T_{0.3\,\mathrm{(17)}}$).

Из условия прочности зубьев на изгиб диаметр $(d)_{aF}$ центрального

колеса а определяется по формуле

$$(d)_{aF} \geqslant 10 \sqrt[3]{\frac{2T_{Fa}z_{a}K_{F\nu}K_{F\Sigma}\theta_{F}}{(\psi_{bd})_{a}n_{w}}},$$
 (12.23)

где θ_F принимается равным большему из двух значений:

$$\theta_g = (Y_F K_{Fa}/[\sigma_F])_g; \ \theta_b = (Y_F K_{Fa}/[\sigma_F])_b$$

соответственно для сателлита g и центрального колеса a. Приняв $K_{Fr}=1,16,\ K_{F\Sigma}=1,3,\$ из (12.23) получим

$$(d)_{aF} \ge 14.4 \sqrt[3]{\frac{T_{Fa}z_a\theta_F}{(\psi_{bd})_a n_w}}.$$
 (12.24)

Для сателлитов и центрального колеса, выполненных из легированных сталей, подвергнутых цементации или нитроцементации, принимаем $[\sigma_F]_g = 380 \ \mathrm{M}\Pi \mathrm{a}$. Для колеса b, подвергнутого термическому улучшению или нормализации (если $H_{\mathrm{ast}} \geq 280 \ \mathrm{HB}$), принимаем $[\sigma_F]_b = 290 \ \mathrm{M}\Pi \mathrm{a}$ и $[\sigma_F]_b = 190 \ \mathrm{M}\Pi \mathrm{a}$ соответственно для нереверсивной и симметричной реверсивной нагрузок. Если колесо b из азотированной легированной стали, то $[\sigma_F]_b = 300 \ \mathrm{M}\Pi \mathrm{a}$ при реверсивной и нереверсивной нагрузке.

Если зубчатые колеса a и g из легированных сталей цементованные или нитроцементованные (см. табл. 2.6), то в формуле (12.24) $\theta_F = \theta_{Fg} = 7.9 \cdot 10^{-3}$. При колесе b, подвергнутом термическому улучшению, $\theta_F = \theta_{Fb} \approx 9.9 \cdot 10^{-3}$ при нереверсивной нагрузке и $\theta_F = \theta_{Fb} \approx 12 \cdot 10^{-3}$ при ре-

версивной симметричной нагрузке.

Перейдем к определению диаметра $(d_w)_{an.\kappa}$ центрального колеса a из условия обеспечения требуемого эквивалентного числа миллионов оборотов роликоподшипников сателлитов при числе замен их за полный срок службы, равном n_{1200} , вычисляемого по формуле

$$L_E = L_E'/(n_{\text{\tiny SBM}} + 1).$$

Из выражения (6.37) при $K_{\rm sep,n}=1,1$; $K_{\delta}=1,3$; $n_{\alpha}=2$; $K_{\rm gau}=1,1$ $\Omega=1,1$ имеем

$$(d_w)_{un. \kappa} = 22.5 \sqrt[3]{\frac{T_{opacy}(L_E)^{0.3}}{n_w (p-1)^2 K_D \theta_{\rm B}}},$$
 (12.25)

где коэффициенты K_D и 9_n беругся из табл. 6.12 и 6.13.

Величина $n_{\text{зам}}$ указывается в задании на курсовой проект. Обычно $n_{\text{зам}} = 0 \div 4$. Величина L_E при $n_b = 0$ (или $n_h = 0$) определяется по формуле (6.36). При постоянной частоте вращения (что характерно для заданий на курсовое проектирование)

$$L_E = 120 \cdot 10^{-6} p (n_{\text{rus}} t_{hE})/(p-1),$$
 (12.26)

где $n_{\text{тих}} = n_h$ при $n_b = 0$ и $n_{\text{тих}} = n_b$ при $n_h = 0$.

Из формул (12.25) и (12.26) следует, что при заданных n_w , K_D , ϑ_n и p диаметр $(d_w)_{an,k}$ увеличивается с ростом $n_{rix}t_{bE}$ и с уменьшением n_{tan} и p. Особенно велико влияние снижений p при значениях этого параметра меньших 4-4,5. При малых p и больших $n_{rix}t_{bE}$ обычно $(d_w)_{an,k} > (d_w)_{ah}$. Начиная с некоторого значения величины $n_{rix}t_{hE}/(p-1)^2$ планетарная передача по массо-габаритным показателям может уступать рядной передаче. Это имеет особо важное значение при выборе схем передач.

Если число ступеней привода $n_{\rm cr} > 1$, то при распределении общего передаточного отношения $i_{\rm общ}$ между отдельными ступенями следует выдержать условие

$$(d_w)_{aH} \geqslant (d_w)_{an.\kappa}. (12.27)$$

Из выражений (12.16) и (12.25) находим зависимость для определения p, при котором удовлетворено условие (12.27). При $N_{HEa} \geqslant N_{H0}$ (т. е. при $K_{HLa}^2 = 1$) имеем

$$p \geqslant \sqrt{\frac{0.41 \left(n_{\text{tit}} t_{hE}\right)^{0.3} \left(\psi_{bd}\right)_{o} \left[K_{0o}\right]}{K_{D} \vartheta_{\text{ti}} \left(n_{\text{sam}} + 1\right)^{0.3}} + 1}.$$
 (12.28)

Выяснение вопроса об определении р, удовлетворяющего условию (12.27) при различных режимах работы и конструктивных решениях, может служить темой исследования при выполнении курсового проекта.

Передачи 3k (см. рис. 6.2). Размеры этих передач из условия контактной прочности зубьев определяются по формулам:

$$(d_w)_{eH} \ge 10 \sqrt[3]{\frac{2T_{He}u_e(u_e-1)}{(\psi_{bd})_f n_w[K_{0e}]}};$$
 (12.29)

$$(b_w)_{bH} \geqslant \frac{2 \cdot 10^3 T_{Hb} (u_b - 1)}{(d_w)_b^2 n_w [K_{0b}]}.$$
 (12.30)

Зависимость между моментами T_{Hb} и T_{He} дана в табл. 6.3. Величины $u_c = z_c/z_f$ и $u_b = z_b/z_g$ находят по числам зубьев, приведенным в табл. 6.7 и выбранным в зависимости от заданной (или установленной при выборе типа передачи) величины i_{ac}^b . Значения $(\psi_{bd})_f$ даны в табл. 6.11.

В упрощенных расчетах полагают, что сателлит и колеса e и b из талей, подвергнутых термическому улучшению с $H_{\rm agr} \approx 280 \div 320$ HB. Далее принимают [см. формулу (12.18) и табл. 12.1]:

$$[K_{0e}] = [K_{0b}] = 0.283 [C_{Hb}] K_{HL}^2;$$
 (12.31)

$$K_{HL}^2 = \sqrt[3]{N_{H0}/N_{HE}};$$
 (12.32)

$$N_{HE} = 60 (n_a - n_b) k t_{hE}. ag{12.33}$$

Здесь n_g-n_h находят из табл. 6.1; коэффициент $k=n_w z_f/z_e$. Если $n_w z_f/z_e < 1$, то принимают k=1. Величину t_{hE} определяют по формуле (12.22).

Из условия прочности зубьев на изгиб размеры $(d)_{Fe}$ и $(b_w)_{Fb}$ определяют

по формулам:

$$(d)_{Fc} \ge 14.4 \sqrt[3]{\frac{T_{Fc}u_e^2\theta_{FZ_f}}{(\psi_{bd})_f n_w}};$$

$$(b_w)_{Fb} \ge \frac{3T_{Fb}z_{\theta}\theta_{F}}{(d)_a^2 u_b n_w}.$$
(12.34)

$$(b_w)_{Fb} \geqslant \frac{3T_{Fb}z_g\theta_F}{(d)_q^2 u_b n_w}$$
 (12.35)

Значения θ_F даны на стр. 209.

§ 12.4. Определение массы зубчатых колес цилиндрических передач на стадии выбора схемы

В зависимости от схемы и кинематических параметров несущая способность зубчатой передачи может ограничиваться контактной прочностью зубьев, прочностью их на изгиб и работоспособностью полиципников. В большинстве случаев при нагрузке, лимитируемой контактной прочностью активных поверхностей, варьируя число зубьев, удается обеспечить необходимую прочность на изгиб зубьев. Однако в некоторых типах планетарных передач из-за ограничений, связанных с подбором чисел зубьев, несущая способность лимитируется не контактной, а прочностью на изгиб зубьев. Это, в частности, относится к передачам 3k (начиная с некоторого значения i_{ac}^b , зависящего от отношения $[\sigma_H]/[\sigma_F]$, реверсивности нагрузки и других факторов) и к передачам С с внутренними зацеплениями при и, близком к единице.

Расчеты зубчатых передач, как правило, базируются на предположении существования длительного предела выносливости. Что же касается подшипников качения, то в действующих рекомендациях их несущая способность непрерывно снижается с ростом числа циклов перемен напряжений при постоянном показателе степени ти уравнения кривой выносливости. Поэтому, начиная с некоторого значения числа циклов перемен напряжений, допускаемая нагрузка в зубчатых передачах остается постоянной, а у подшипников качения продолжает падать. В связи с этим несущая способность некоторых типов передач может лимитироваться работоспособностью подшинников. Это, в частности, наблюдается в тех случаях (характерных, например, для передач А), когда размеры полости для размещения подшипников сателлитов определены из услови: контактной выносливости зубьев,

Возможность ограничения несущей способности передач работоспособ ностью подшипников возрастает с увеличением продолжительности работь и частоты вращения подшипников. В связи с этим на выбор типо передач во многих случаях существенное влияние оказывает парамет $n_{\text{тих}}t_{\text{hE}}$, где $n_{\text{тих}}$ – частота вращения тихоходного вала проектируемой пере дачи; t_{hE} – эквивалентное время работы за полный срок службы [36]

Зависимости для определения массы инстерни и колеса. Объем цилиндрического зубчатого колеса $V=0.25\pi b_w d_w^2 K_3$, где K_3 — коэффициент заполнения, равный отношению объема зубчатого колеса к объему цилиндра с диаметром d_w и высотой b_w . Ориентировочно для шестерни можно принять $K_{31}=1\div 2$; для колеса с внешними зубъями $K_{32}=0.6\div 1$ (см также [25]); для колеса с внутренними зубъями $K_{32}\approx 0.3\div 0.35$ [43].

Масса шестерни и колеса

$$(G_m)_{1\text{cr}} = 0.25\pi b_w (d_{w1}^2 K_{31} + d_{w2}^2 K_{32}) \rho_m =$$

$$= 0.25\pi b_w d_{w1}^2 (K_{31} + u^2 K_{32}) \rho_m$$
(12.36)

Подставив в формулу (12.36) значение $b_v d_{w1}^2$ из выражения (12.1), приняв для стали плотность $\rho_m = 7.8 \cdot 10^{-6}$ кг/мм³ и заметив, что $T_{H1} = T_{H2}/u$, получим значение массы $(G_{mH/1ct})$ (кг) шестерни и колеса из условия обеспечения контактной прочности активных поверхностей зубьев

$$(G_{mH})_{1cT} = 12.2 \cdot 10^{-3} T_{H2} (\chi_H)_{1cT},$$
 (12.37)

где $(\chi_H)_{1 {
m cr}}$ для одноступенчатой рядной передачи,

$$(\chi_H)_{1c\tau} = (u \pm 1) (K_{31} + u^2 K_{32})/(u^2 [K_0]).$$
 (12.38)

Подставив в формулу (12.36) значение $b_w d_1^2$ из выражения (2.74), получим значение массы $(G_{mF})_{1 \text{ст}}$ (кг) шестерни и колеса из условия обеспечения прочности на изгиб зубъев (кг)

$$(G_{mF})_{1cr} = 12.2 \cdot 10^{-3} T_{F2} (\chi_F)_{1cr},$$
 (12.39)

где для одноступенчатой рядной передачи

$$(\chi_F)_{1\text{cr}} = K_{F\alpha} K_{F\beta} K_{F\sigma} (Y_F / [\sigma_F]) z_1 (K_{31} + u^2 K_{32}) / u.$$
 (12.40)

В формулу (12.40) вместо $(Y_F/[\sigma_F])$ подставляется меньшее из двух значений $Y_{F1}/[\sigma_{F1}]$ или $Y_{F2}/[\sigma_{F2}]$. При $\beta=0$ имеем $K_{F\alpha}=1$ при $n_{c\tau}>7$ и $K_{F\alpha}=0.75$ при $n_{c\tau}\leqslant 7$ (см. стр. 40).

Зависимости для определения суммарной массы щилиндрических зубчатых колес рядной одноноточной передачи и указания к разбивке i_{00} между ступенями. Тихоходной ступени присваивается обозначение I, последующим соответственно II, III,..., n (рис. 12.7). Передаточные числа этих ступеней (z_2/z_1) обозначают u_i , u_{ii} ,..., u_{ii} . Общее передаточное отношение $i_{00} = u_1 u_{11} \dots u_{ii}$.

Момент на колесе у-й ступени $T_{Hv} = T_{H_{TEX}}/(u_l u_{ll} \dots u_{v-1})$.

Масса шестерни и колеса v-й ступени [см. формулы (12.37) и (12.38)]

$$(G_{mH})_{v} = 12.2 \cdot 10^{-3} T_{H \text{ THX}} (\chi_{H})_{v} / (u_{1} u_{11} \dots u_{v-1}),$$
 (12.41)

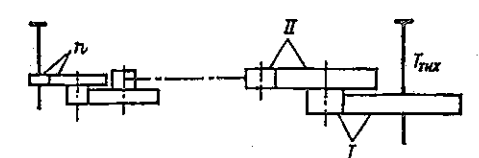


Рис. 12.7. Схема передачи, составленной из *n* ступеней

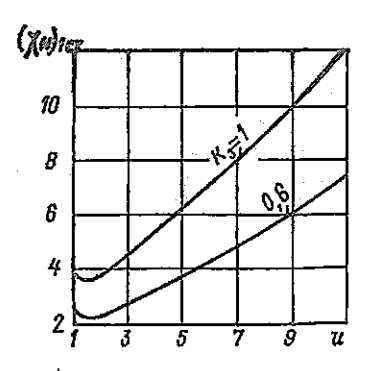


Рис. 12.8. Значения $(\chi_H)_{let}$ одноступенчатой цилиндрической передачи при $[K_0] = 1$

где

$$(\chi_H)_v = (u_v \pm 1) (K_{31v} + u_v^2 K_{32v}) / (u_v^2 [K_{0v}]). \tag{12.42}$$

При v = 1 имеем $(G_{mH})_v = (G_{mH})_{1 \text{cr}}$ [см. выражение (12.37)]. Суммарная масса зубчатых колес n-ступенчатой передачи

$$\sum_{1}^{n} (G_{mH})_{v} = 12.2 \cdot 10^{3} T_{H_{TBX}} (\chi_{H})_{n \, cr}, \qquad (12.43)$$

где

$$(\chi_H)_{n \text{ cr}} = \sum_{1}^{n} [\chi_{H\nu}/(u_1 u_{11} \dots u_{\nu-1})].$$
 (12.44)

Для двухступенчатой цилиндрической передачи с внешними зацеплениями при $K_{\mathfrak{11v}}=K_{\mathfrak{32v}}=1$ из формулы (12.42) и (12.44) имеем

$$(\chi_H)_{2cr} = \frac{1}{[K_{01}]} \left\{ \frac{(u_{\rm I}+1)(1+u_{\rm I}^2)}{u_{\rm I}^2} + \frac{(u_{\rm II}+1)(1+u_{\rm II}^2)[K_{0I}]}{u_{\rm I}u_{\rm II}^2[K_{0II}]} \right\}. \quad (12.45)$$

На основании выражения (12.38) на рис. 12.8 даны значения $(\chi_H)_{1 \text{cr}}$ в зависимости от $i_{o6}=u$ при $K_{a1}=K_{a2}=1$, $K_{a1}=K_{a2}\approx 0,6$ и $[K_0]=1$. На рис. 12.9 и 12.10 даны полученные по формуле (12.44) значения $(\chi_H)_{2 \text{cr}}$ и $(\chi_H)_{3 \text{cr}}$ в зависимости от u_1 для различных значений $i_{o6}=u_1u_{11}$ (рис. 12.9) и $i_{o6}=u_1u_{11}u_{11}$ (рис. 12.10) при отношениях

$$[K_{01}]/[K_{011}] = [K_{01}]/[K_{0111}] = 1.$$

В графике, приведенном на рис. 12.10, величина $u_{\rm II}$ промежуточной ступени II принята равной величине $u_{\rm I(2cr)}$ ступени I двухступенчатого редуктора (см. рис. 12.9) с $i_{\rm ob(2cr)} = i_{\rm ob(3cr)}/u_{\rm I(3cr)}$ при минимальном значении $(\chi_H)_{\rm 2cr}$.

Величина (χ_H) прямо пропорциональна суммарной массе зубчатых колес $\sum_{1}^{n} (G_{mH})_v$ и поэтому сопоставление (χ_H) различных типов передач позволяет получить представление об их сравнительных массах, что так важно при выборе типа передачи.

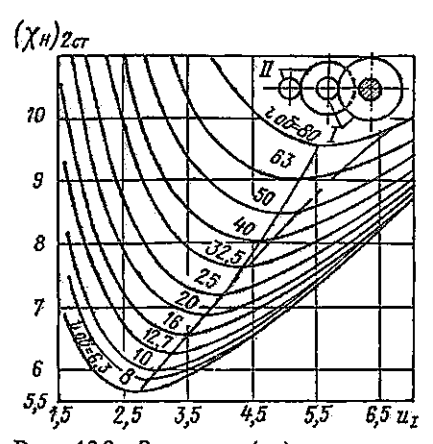


Рис. 12.9. Значения $(\chi_H)_{2c\tau}$ двухступенчатой цилиндрической передачи в зависимости от $i_{0\bar{0}}$ при $K_{31}=K_{32}=1$ и $\lceil K_{0\bar{1}} \rceil = \lceil K_{0\bar{1}\bar{1}} \rceil = 1$

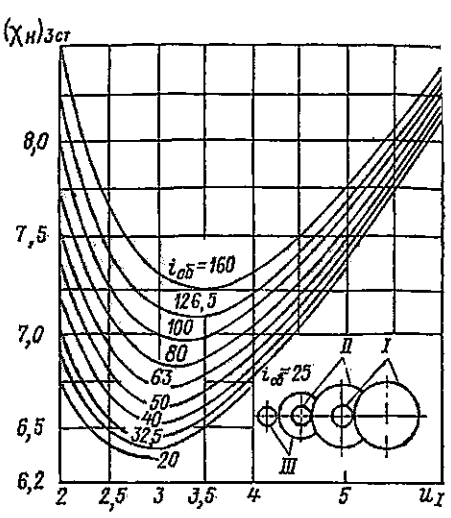


Рис. 12.10. Значения $(\chi_H)_{3c\tau}$ трехступенчатой цилиндрической передачи при $K_{31} = K_{32} = K_{33} = 1$ и $[K_{01}] = [K_{011}] = [K_{011}]$

В зависимости от i_{06} редукторы выполняют одно- и многоступенчатыми. В одной паре шестерня — колесо можно осуществить передаточное число u, достигающее нескольких десятков, но это целесообразно только в специальных случаях. Обычно в одноступенчатых редукторах назначают $u \leqslant 7 \div 8$. При больших u габаритные размеры и масса одноступенчатого редуктора больше, чем двухступенчатого. Об этом, в частности, свидетельствует сравнение размеров передач, показанных на рис. 12.11, с $i_{05} = 10$.

Из рис. 12.8 и 12.9 находим, что при $i_{06} = 10 \ (\chi_H)_{\rm lcr}/(\chi_H)_{\rm 2cr} = 11/6 = 1,3.$ Преимущества, связанные с увеличением числа ступеней по мере роста i_{06} , можно обнаружить также и из графика, приведенного на рис. 12.12, на котором нанесены значения (χ_H) , соответствующие разбивкам i_{06} среди ступеней редуктора, обеспечивающим минимальное значение $\sum_{i=1}^{n} G_{inH} (n, cr)$.

Из рис. 12.9 и 12.10 следует, что в зоне минимальной величины (χ_H) в значительном диапазоне изменения u_1 величина $d(\chi_H)/du_1$ очень мала.

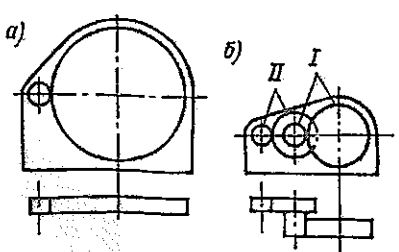


Рис. 12.11 Редукторы: a — одноступенчатый; b — двухступенчатый

Следовательно, без ощутимой потери в массе $\sum_{i=0}^{n} G_{mH,\{n\,c\,r\}}$ можно варьировать величины $u_{\rm I}$ и $u_{\rm H}$ при заданном $i_{\rm o6}$ в достаточно широком диапазоне с целью удовлетворения тем или иным конструктивным требованиям.

Примечания: 1. Для коническо-пилиндрических передач (рис. 1.4) значения u_1 , найденные из рис. 12.9, рекомендуется увеличивать на 20-25%, 2. Если $i_{00} > 25$,

го величину и из рис. 12.9 рекомендуется назначать, руководствуясь кривой, показанной штрихпунктирной линией. При этом обычно не требуется внесение корректив, связанных с возможным пересечением цилиндра вершии колеса быстроходной ступени с тихоходным валом.

Значительную часть $\sum_{1}^{n} (G_{mH})_{v}$,

как следует из выражений (12.43)—(12.45), составляет масса тихоходной ступени I. В связи с этим для тихоходной ступени следует назначать, по возможности, наибольшее значение $[K_{01}]$.

Если в многоступенчатой передаче (см. рис. 12.7) с внеш-

 $(\chi_{H})_{H}$ 10 g 8 7 6 5 4 3 2 1 1,52 3 + 567810 15 20 304050 80100150 1a5

Рис. 12.12. График зависимостей (χ_H) от i_{00} для различных вариантов передач при $[K_0]=1$: 1, 2, 3 — одно-, двух- и трехступенчатая цилиндрические передачи; 4 — передача A (см. рис. 6.1); 5 — передача $A_{h_1a_1}^{b_1}A_{h_2a_2}^{b_2}$; 6 — передача 3k

ними зацеплениями $u_{\rm I}=u_{\rm II}=\ldots=u_n=u$; $[K_{0\rm I}]=[K_{0\rm II}]=\ldots=[K_{0n}]=$ $=[K_0]$ и во всех ступенях одинаковые значения K_{31} и K_{32} , то из формул (12.42) и (12.44) имеем

$$(\chi_H)_{n \text{ cr}} = \frac{(u+1)(K_{31} + u^2 K_{32})}{u^2 [K_0]} \left(1 + \frac{1}{u} + \frac{1}{u^2} + \dots + \frac{1}{u^{n-1}} \right) =$$

$$= \frac{(u+1)(K_{31} + u^2 K_{32})}{u^2 [K_0]} \frac{u}{u-1} \left(1 - \frac{1}{u^n} \right). \tag{12.46}$$

Из выражений (12.43) и (12.46) находим

$$\sum_{1}^{n} (G_{mH})_{v} = \frac{12,2T_{H\text{THX}}}{10^{3} [K_{0}]} \frac{(u+1)(K_{21} + u^{2}K_{12})}{u^{2}} \frac{u}{u-1} \times \left(1 - \frac{1}{u^{n}}\right) = G_{mH\text{THX}} \frac{u}{u-1} \left(1 - \frac{1}{u^{n}}\right), \qquad (12.47)$$

где $G_{mH \, {
m rex}}$ — масса шестерни и колеса тихоходной ступени.

Из формулы (12.47) следует, что при неограниченно большом n величина $\Sigma (G_{mH})_v$ превышает G_{mH} тих не более чем на u/(u-1) 100 %. Так, при u=5 это превышение составляет около 25 %.

Примечание. При $n=4\div\infty$ $K_{31}=K_{22}=1$ минимальное значение $(\chi_H)_{n\in r}\approx$ $\approx 6.67/[K_0]$ имеется при $u\approx 2.9$. При u=4 в том же интервале значений n имеем минимальное значение $(\chi_H)_{n\in r}\approx 7.06/[K_0]$, т. е. только на 5% больше, чем при u=2.9.

Зависимости для определения суммарной массы зубчатых колес многопоточных рядных передач. Использование многопоточных передач позволяет значительно снизить суммарную массу зубчатых колес.

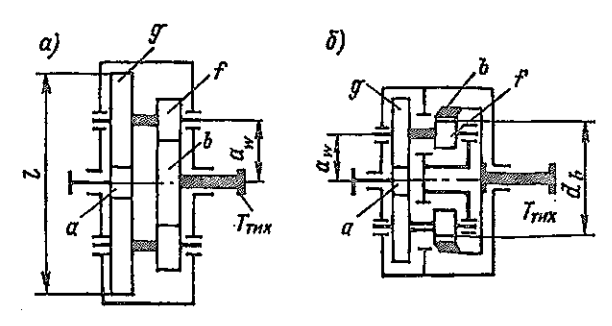


Рис. 12.13. Многопоточные рядные передачи

На рис. 12.13, a показана многопоточная передача с внешними зацеплениями (см. также рис. 20.5), а на рис. 12.13, b — многопоточная передача с одним из центральных колес с внутренними зубьями. На основании формул (12.42) и (12.44) для этих передач находим

$$(\chi_{H})_{ab} = \frac{\Omega}{n_{w} \left[K_{ab}\right]} \left[\frac{(u_{b} \pm 1) n_{w} K_{3f} + u_{b}^{2} K_{3b}}{u_{b}^{2}} + \frac{(u_{b} + 1) (K_{3a} + u_{a}^{2} n_{w} K_{3g})}{u_{b} u_{a}^{2}} \frac{\left[K_{0b}\right]}{\left[K_{0a}\right]},$$

$$(12.48)$$

где Ω — коэффициент, учитывающий неравномерность распределения нагрузки между отдельными потоками; u_w — число потоков; $u_a = z_g/z_a$; $u_b = z_b/z_f$; индексами a и b отмечены коэффициенты $[K_0]$, относящиеся к зацеплениям a-g и b-f; верхний и нижний знаки относятся соответственно к передачам, показанным на рис. 12.13, a и b.

Суммарная масса (кг) зубчатых колес рассмотренных передач [см. формулу (12.43)]

$$\sum G_{mH\ (ab)} = 12.2 \cdot 10^{-3} T_{H_{\text{THX}}} (\chi_H)_{ab}. \tag{12.49}$$

На рис. 12.14 даны значения $(\chi_H)_{ab}$ при равных единице значениях K_{3a} , K_{3b} , K_{3g} , K_{3f} , Ω , $[K_{0a}]/[K_{0b}]$. Сравнивая величины $(\chi_H)_{ab}$ и $(\chi_H)_{2cr}$ (см. рис. 12.9), обнаруживаем, что минимальное значение $(\chi_H)_{2cr}$ однопоточной передачи примерно на 60% и 100% больше, чем $(\chi_H)_{ab}$ соответственно у двух- и трехпоточной.

Зависимости для определения суммарной массы зубчатых колес передач A. Объем зубчатых колес передач A

$$V_A = 0.25\pi b_w \left[(d_w)_a^2 K_{3a} + (d_w)_b^2 K_{3b} + n_w (d_w)_g^2 K_{3g} \right] =$$

$$= 0.25\pi b_w (d_w)_a^2 \left[K_{2a} + p^2 K_{3b} + 0.25n_w (p-1)^2 K_{3g} \right]. \tag{12.50}$$

При сравнении различных типов передач принимают $K_{1a}=K_{2g}\approx 1$; $K_{1b}\approx 0.3\div 0.35$. Заметив, что $T_{Ha}=T_{Hh}/(p-1)$, из выражений (12.15) и (12.50) находим зависимость для суммарной массы зубчатых колес

$$(G_{mH})_A = 12.2 \cdot 10^{-3} T_{Hh} (\chi_H)_A,$$
 (12.51)

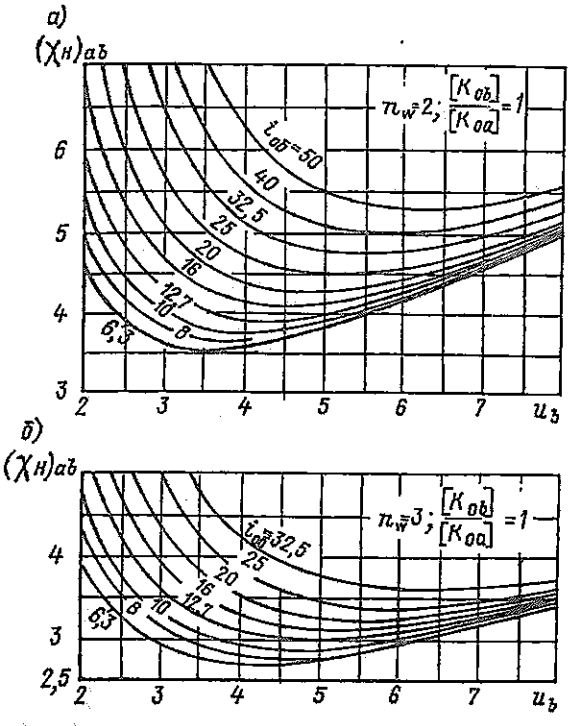


Рис. 12.14. Значения $(\chi_H)_{ab}$ многопоточных передач (см. рис. 12.13)

де

$$(\chi_H)_A = \frac{K_{3a} + p^2 K_{3b} + 0.25 n_w (p-1)^2 K_{3g}}{(p-1) n_w \lceil K_{0a} \rceil}$$
(12.52)

Аналогично на основании (12.23) имеем

$$(G_{mF})_A = 12.2 \cdot 10^{-3} T_{Fh} (\chi_F)_A,$$
 (12.53)

де

$$(\chi_F)_A = \frac{\left[K_{3a} + p^2 K_{3b} + 0.25 n_w (p-1)^2 K_{3g}\right] z_a \theta_F}{(p+1) n_w}$$
(12.54)

Значения θ_F см. на стр. 209.

Сравнение габаритных размеров различных типов передач. С помощью риведенных выше зависимостей для определения размеров элементов ередач зацеплением (см. гл. 2—8 и 12), указаний к эскизной компоновке см. гл. 14) и использованием образцов выполненных конструкций можно олучить основные габаритные размеры различных типов передач.

На рис. 12.15 и 12.16 показаны габаритные размеры различных типов средач. Из анализа данных их рисунков следует, что габаритные размеры средач с высокими твердостями активных поверхностей зубьев намного

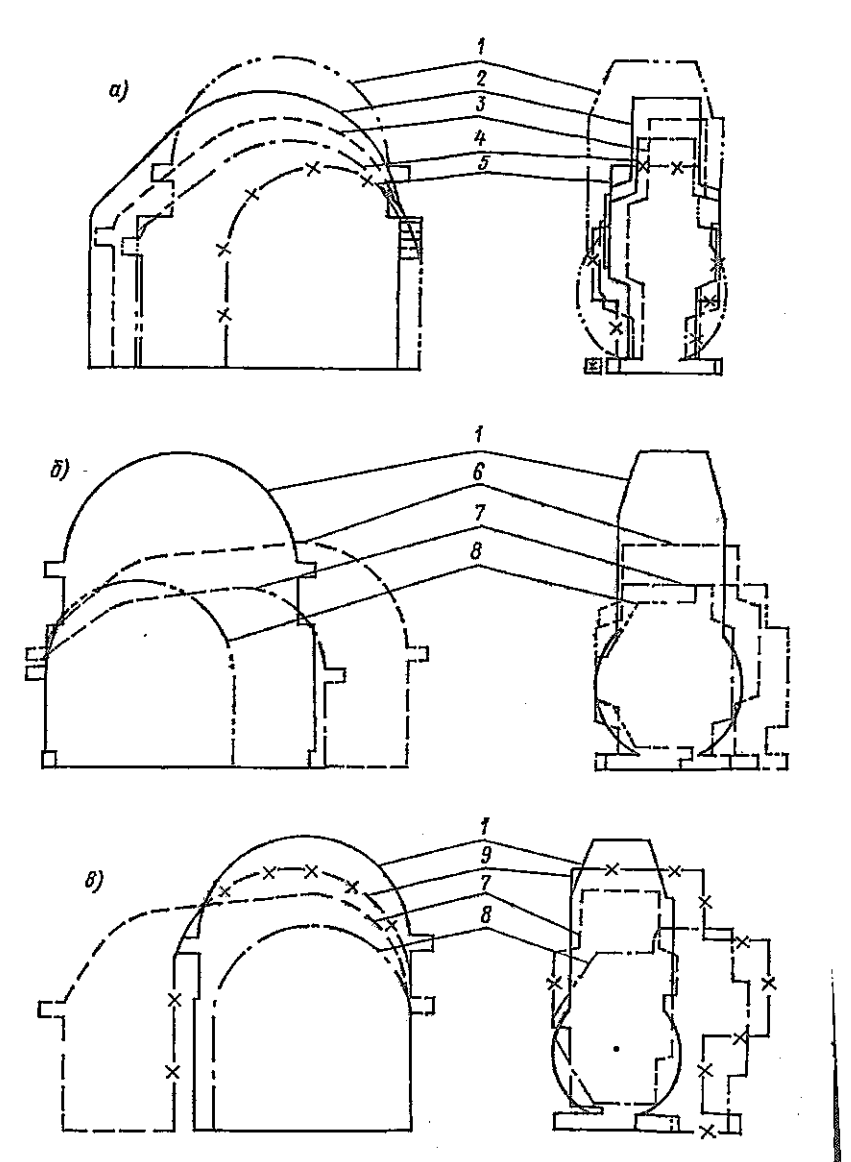
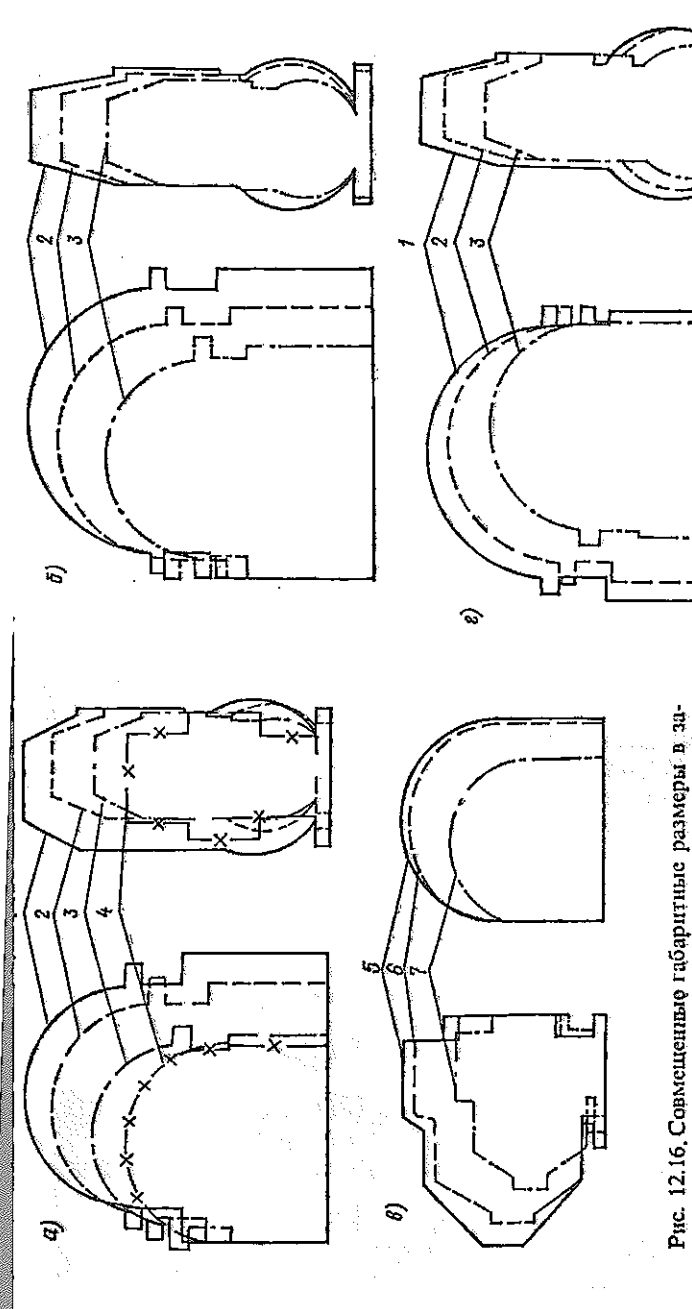


Рис. 12.15. Совмещенные габаритные размеры передач раздичных типов: a — прі $i_{06} = 7$; P = 40 кВт; $t_{hE} = 20\,000$ ч; b — при $i_{06} = 22$; P = 20 кВт; $t_{hE} = 8000$ ч b — при $i_{06} = 50$; P = 10 кВт; $t_{hE} = 1000$ ч; t — червячный редуктор с колесами из оловянистой бронзы; t — одноступенчатый цилиндрический редуктор с косо зубыми колесами ($\beta \neq 0$) при $H_{akt} \approx 300$ НВ и $H_{akt} \approx 58$ HRC; t — одноступенчатый цилиндрический редуктор с прямозубыми колесами (t = 0) при t и при t — t = 58 HRC; t — планетарные редукторы, выполненные по схемам t и при t — t = 58 HRC; t — планетарный цилиндрический редуктор (t = 0) при t — t = t = 58 HRC; t — планетарный редуктор, выполненный по схеме t — планетарный редуктор, выполненный по схеме t — планетарный редуктор, выполненный по



Puc. 12.16, Cornellment radarithme parameter B 3anismicth of Skinbarchthoro brownen: a - npn $i_{o6} = 7$ n P = 40 n n; g n s - npn $i_{o6} = 22$ n P = 20 n n; c - npn $i_{o6} = 50$ n P = 10 n n;

2,3 ÷ чарвячные редукторы с колесами из одовящегой бронзы, рассчитацию по эквивалентному времени the соответственно 20 000, 8000 1000 ч; 4 ← планетарные редукторы, выполценные по схеме Abs с Hasy ≈ 58 HRC при the = 1000 ÷ 20 000 ч; 5, 6, 7 — планетарные редукторы. рыполисяные по скеме $A_{l,\alpha_1}^{p_1}A_{l,\alpha_2}^{p_3}$ с $H_{\rm gar}\approx 58$ НВС, рассинтанные по $\eta_{\rm E}$ соответственно 20 000, 8000 и 1000 ч.

меньше, чем у передач с $H_{\rm akt}$ < 350 НВ. Из рис. 12.15 и 12.16 сле, также, что из представленных вариантов наименьшие габаритные разм у планетарных передач. Габаритные размеры у червячных передач боли чем у зубчатых с высокими значениями $H_{\rm agr}$.

§ 12.5. Элементы исследований при выполнении курсового проек

Приводимые ниже темы неравноценны по сложности и трудоемкок Наиболее сложные могут быть выданы взамен типового задания. Ме сложные и трудоемкие выдают в качестве элементов исследования г выполнении типового задания. Дополнительную затрату времени на следование руководитель компенсирует сложностью и объемом отдельн этапов проекта.

В учебной практике получили распространение задания, в которых качестве элементов исследования выполняются сравнения массо-габаритн показателей и КПД передач различных типов и выбирается вариаз удовлетворяющий заданным требованиям. Настоящее пособие содерж необходимые для этих сравнений сведения, охватывающие основные тип механических передач, включая многопоточные рядные и планетарны

Элементы научных исследований содержат задания, в которых студент самостоятельно выбирают схему привода в соответствии с исходных требованиями, относящимися к КПД, габаритным размерам, взаимном расположению осей рабочего органа и двигателя, виброактивности и д

Темами НИР студентов могут служить выводы формул для опред ления основных размеров многопоточных и в том числе планетарнь передач, базирующихся на критериях изгибной и контактной выносля вости зубьев и работоспособности подпилников. Такие формулы имеют в настоящей главе и некоторых опубликованных работах. Однако вывод зависимостей не даны и охватывают они далеко не все передач

Некоторые вопросы, рассмотренные в настоящей главе, намеренн представлены в незавершенном виде с целью использования их в ка честве тем для проведения исследований в процессе курсового проекти рования, а также при выполнении расчетно-графических работ по курс «Детали машин».

Важным условием для развития творчества и самостоятельности явля ется обращение при курсовом проектировании к результатам новейши исследований, в том числе и зарубежным, а также к методам расчет и конструирования, обычно не используемым в учебном процессе. Изучени этого вопроса может служить основой формирования многочисленны тем студенческих НИР. Ниже даны отдельные конкретные темы иссле дований.

Исследование влияния твердости активных поверхностей зубьев H_{ak} на габаритные размеры и массу зубчатых передач. Снижение масся зубчатых пар с увеличением H_{akt} отмечено в гл. 2 и более подробн в источниках [36, 43].

При курсовом просктировании могут быть выполнены сравнения масси и габаритных размеров передач при различных значениях $H_{\rm akt}$. Наиболе показательным является сравнение передач с $H_{\rm akt} \leqslant 350~{\rm HB}$ и $H_{\rm akt} \geqslant 56~{\rm HR}$ С Результат сравнений зависит от величин $n_{\rm rax} t_{\rm he}$, $n_{\rm sam}$, ψ_{bd} и др. С увели

нием $n_{\text{тих}}t_{hE}$ и снижением n_{3am} увеличиваются размеры и масса опорных 108 с подшипниками качения.

В методах расчета зубчатых передач предполагается существование ительного предела контактной выносливости, тогда как подбор подшипков качения базируют на кривых выносливости, не имеющих горизонльного участка. Поэтому с увеличением $n_{\text{тих}}t_{hE}$ и снижением $n_{\text{зам}}$ истет величина отношения массы опорных узлов с подшипниками качения массе зубчатых пар. Это обстоятельство существенно влияет на кочные результаты сравнения передач с различными значениями $H_{\text{акт}}$ уменьшением $n_{\text{зам}}$ и увеличением ψ_{bd} и $n_{\text{тих}}t_{hE}$ растет удельный вес общей массе редуктора массы опорных узлов с подшипниками качения. омимо этого с увеличением ψ_{bd} растет величина $K_{H\beta}$, что, в свою очередь, казывает влияние на массу передачи.

Таким образом, конечные результаты рассматриваемых сравнений являотся сложной функцией ряда взаимосвязанных переменных и при этом еизбежен большой объем вычислительных работ (в частности, с испольованием сложных аналитических зависимостей для определения массы орпусных деталей, базирующихся на эмпирических соотношениях размеров х элементов).

Разбивка i_{06} между ступенями многоступенчатой передачи. В § 12.4 цаны рекомендации к разбивке i_{06} для двух- и трехступенчатых передач цилиндрическими зубчатыми колесами и одинаковыми для всех ступеней значениями $[K_0]$. Эти данные как ориентировочные могут быть использованы и при неравных значениях коэффициентов $[K_0]$, но при этом величина $\sum_{1}^{n} (G_{nH})_{\nu}$ будет отклоняться от минимального значения.

Из анализа зависимости (12.45), можно, например, обнаружить, что при $|K_{01}| > |K_{01}|$ значение u_1 будет больше, чем при $|K_{01}| = |K_{01}|$.

Из формул (12.3) — (12.7) следует, что величина $[K_0]$ зависит от частот вращения зубчатых колес, которые, в свою очередь, являются функциями неизвестных при разбивке i_{06} значений i_1 , i_1 ... В связи с этим при разбивке i_{06} применяют итерационные методы. Минимизация величины $\sum_{n=1}^{\infty} (G_{mH})_{\nu}$ еще не обеспечивает получение оптимального по массе и габаритным размером варианта передачи в целом, поскольку при этом, в частности, не учитывается влияние массы валов, подшипников и предназначенных для них деталей и элементов корпуса.

Решение этого вопроса с упрощениями, предусмотренными преподавателем, может служить темой исследования при курсовом проектировании. Целесообразны, например, сравнения массо-габаритных показателей двух- и трехступенчатой передач с заданным i_{ob} . Приняв $i_{ob} \approx 50$, получим $(\chi_H)_{2ct} \approx 8,5 > (\chi_H)_{3ct} \approx 6,6$. Далее предстоит выяснить отношение масс упомянутых вариантов редукторов и сравнить его с величиной $(\chi_H)_{2ct}/(\chi_H)_{3ct}$

Разбивку i_{06} в приводе, составленном из передач A по условию минимизации величины $\sum_{n=0}^{\infty} (G_{mH})_v$, можно выполнить с использованием зависимостей (12.51) и (12.52) и данных справочника [42]. Однако несущая способность передач A не всегда определяется контактной прочностью зубьев. Во многих случаях она лимитируется работоспособностью под-

шипников при заданных ограничениях величины $n_{\text{зам}}$. В связи с этим пограциональных способов разбивки $i_{\text{об}}$ с учетом отмеченных факторов явлется актуальной темой исследования.

Выбор типов передач для различных ступеней многоступенчатой и редачи. В практике проектирования используются приводы, составлены из передач различных типов. Так, находят широкое применение коничеси цилиндрические, цилиндро-червячные, червячно-цилиндрические переда и т. д. От выбора типа передач для различных ступеней в больш степени зависят масса, размеры и КПД привода.

Масса зубчатых колес тихоходной ступени обычно превышает сумма ную массу остальных ступеней многоступенчатой передачи [см., наприме формулу (12.47)]. В связи с этим для обеспечения минимальных масс габаритных показателей привода для тихоходной ступени следует выбира передачу, повышенная несущая способность которой заложена как в самс схеме (например, используется эффект многопоточности), так и в выбор материалов и термообработки.

 \dot{M} ноговариантность решений при разбивке i_{06} между передачам различных типов является причиной того, что затронутая тема предста ляет значительный интерес для исследований при курсовом проектиравании.

Исследование передачи А. Несущая способность передачи А в зависи мости от спектра нагружения, твердости активных поверхностей зубьег значений параметров p, (ψ_{bd}) и $n_{\text{тих}}t_{bE}$ может лимитироваться контактно или изгибной выносливостью зубьев и работоспособностью подшипниког С увеличением $n_{\text{тих}}t_{bE}$ и (ψ_{bd}) и снижением p растет величина отношения и несущих способностей, лимитируемых контактной выносливостью зубье и работоспособностью подшипников. На величину ϕ влияет тип подшипников сателлитов, число их, способ установки (внутри сателлита или ищеках водила). Отказ от наружных колец и варьирование толщины обода сателлита и зазора в подшипниках может оказать значительное влияни на величину ϕ [42].

В рассматриваемом исследовании вносятся количественные оценки влияния перечисленных факторов, разрабатываются конструкции опор сателлитов и сравниваются их различные варианты. При этом можно применить и нестандартные многорядные подшипники. Параллельно выполняется сравнение размеров и массы передачи A и рядной передачи Выявляется область значений $n_{\text{тих}}t_{hE}$, $n_{\text{зам}}$ и p, в которой по массо-габаритным показателям передача A уступает рядной передаче.

Из условия контактной выносливости зубьев при заданном передаточном отношении и сравнительно невысоких значениях ω_h вариант A^b_{ha} имеет меньшие массу и габаритные размеры, чем вариант A^b_{ha} [43]. Но если допускаемая нагрузка лимитируется работоспособностью подшипников сателлитов, то преимущества может иметь вариант A^b_{ha} . Это обстоятельство также может служить темой исследований.

Исследование передач 3k. По аналогии с передачами A [см. формулы (12.51)—(12.54)] предлагается найти зависимости для определения масс $(G_{mh})_{3k}$ и $(G_{mF})_{3k}$ зубчатых колес из условия прочности зубьев по напряжениям изгиба и контактным (см. [42, 43]), выявить значения i_{ae}^{b} , при превышении которых $(G_{mh})_{3k} < (G_{mF})_{3k}$, сравнить габаритные размеры и

уммарные массы зубчатых колес передачи 3k и редуктора, составленного из передач A при различных значениях i_{ab} и $n_{res}t_{bc}$.

Сравнение несущей способности различных вариантов зацеплений инпиндрических передач. На стр. 208 дано сравнение несущей способности осозубых и прямозубых передач из условия контактной выносливости,
исходя из упрощенных зависимостей. Дальнейшим развитием этого вопроса
вляется сравнение передач с $\beta \neq 0$ и $\beta = 0$ с учетом влияния на неущую способность косозубых передач переменности приведенной кривизны
в зоне зацепления [43, 49]. При этом удается оценить влияние значений
коэффициентов x_1 и x_2 . Варьирование при данном и величин z_1 , z_1 и z_2 позволяет синтезировать зацепление с повышенной несущей способностью.

Существенное повышение несущей способности передач с $\beta \neq 0$ достигатся переходом от малоотличающихся и невысоких значений $H_{\rm art1}$ и $H_{\rm art2}$ (например, $H_{\rm art1} \geqslant 340$ HB) к варианту с высоким перепадом тверностей (например, $H_{\rm art1} \geqslant 50$ HRC, $H_{\rm art2} = 270 \div 320$ HB). При постановке исследования, связанного с этим вопросом, можно сравнить массу и абаритные размеры косозубых передач для следующих трех вариантов ючетания: 1) $H_{\rm art1} \approx 320$ HB, $H_{\rm art2} \approx 280$ HB; 2) $H_{\rm art1} > 50$ HRC, $H_{\rm art2} \approx 280$ HB; 3) $H_{\rm art1} = H_{\rm art2} \geqslant 50$ HRC. При этом принимают значительную величину t_{hE} (не менее 15 – 20 тыс. ч) и варымруют число замен $n_{\rm sam}$ подпиниников качения, начиная с $n_{\rm sam} = 0$. С уменьшением t_{hE} снижается влияние размеров опорных узлов с подшипниками качения на габаритные размеры и массу редуктора в целом. Эти исследования выполняются использованием метода расчета, приведенного в гл. 2, и уточненного метода по ГОСТ 21354—75* (см. также [42, 49]).

Распределение нагрузки между отдельными парами зубьев зависит от гочности передачи и степени загруженности. При благоприятном распределении нагрузки среди одновременно работающих зубьев эффективно зацепление с $\varepsilon_{\alpha} \ge 2$. Для этого используют исходный контур с увеличенным против предусмотренного в СТ СЭВ 308—76 коэффициентом высоты головки $h_a^* = 1$. Приняв $h_a^* = 1,3$ (при $\alpha = 20^\circ$), можно существенно увелинить несущую способность, лимитируемую как контактной прочностью, гак и прочностью зубьев на изгиб [43].

Темой исследования может служить сравнение массо-габаритных по-казателей передач, соответствующих контурам с $h_a^*>1$ и $h_a^*=1$ при различных точности, значениях $H_{\rm akt}$, K_{HL} и величине передаваемой нагрузки. По мере снижения точности падают преимущества передач с $h_a^*>1$. В случае тихоходных передач при точности, не обеспечивающей благо-приятное распределение нагрузки среди одновременно работающих пар зубьев, представляют практический интерес исследования, связанные с получением больших значений $\alpha_{\rm rw}$ ($\alpha_{\rm rw}\gg 20^\circ$) при использовании исходного контура по СТ СЭВ 308—76.

В работах [12, 13] показано, что в передачах, соответствующих стандартным и нестандартным исходным контурам, не полностью используются возможности эвольвентного зацепления в отношении несущей способности. Автором работы [12] предложен метод, позволивший выявить ранее неизвестные ресурсы этого зацепления. (Оказалось возможным, например, получить прямозубую передачу с $\varepsilon_{\alpha} > 2$ при $\alpha_{rw} \approx 24^{\circ}$, что обеспечивает повыщение несущей способности приблизительно на 70%

по сравнению с передачей, соответствующей стандартному исходном контуру по СТ СЭВ 308-76.) В исследовании, посвященном этому вопрос рассчитываются параметры зацепления и выясняется несущая способност (с использованием, например, метода, приведенного на стр. 66 в работ [43]). Затем выполняется сравнение несущих способностей полученно передачи и передачи с теми же значениями z_1 , u и m, но соответствующей стандартному исходному контуру.

Несущая способность передач с запеплением Новикова (см. гл. : из условия выносливости активных поверхностей зубьев в среднем при близительно в два раза больше, чем у передач с эвольвентным за пеплением (см. рис. 1.6 в работе [43]). Накоплен большой опыт при менения передач Новикова при $H_{\rm akr} \le 340$ НВ. Однако данные, относящиес к этим передачам с $H_{\rm akr} > 350$ НВ, весьма ограничены. Базируясь на методі приведенном в гл. 3, рекомендуют исследования, связанные со сравня нием массо-габаритных характеристик передач с зацеплением Новиков и эвольвентных для следующих сочетаний $H_{\rm akr}$:

1) при $H_{\text{ast}} = 280 \div 320$ HB;

2) в передаче Новикова при $H_{\rm akr}=280\div320$ HB, а в эвольвентної передаче при $H_{\rm akr}\approx58$ HRC. В рассматриваемом случае результаты срав нений зависят от параметра $n_{\rm rux}t_{\rm hE}$ и характера спектра нагружения Варьирование значений этих параметров является необходимым условием данного исследования.

Темой исследования может служить также сравнение многопоточно передачи (см. рис. 12.13, 6) с эвольвентными зацеплениями с такой ж передачей, но имеющей внешнее зацепление Новикова (см. рис. 1.2 в работе [43]).

Сравнение габаритных размеров и массы передач A и B (см. рис. 6.1 B мощных приводах находят применение передачи A с $p\approx 10$. При этом диаметральные габаритные размеры передачи A существенно больше чем у передачи B (см. рис. 6.1, а также рис. 158 B работе [38]). Темо исследования может явиться сравнение суммарных масс зубчатых коле передач A и B и их габаритных размеров.

Сравнение габаритных размеров, массы и КПД червячных передач и за меняющих их зубчатых передач. При этих сравнениях варьируют вели чины i_{00} , $n_{\text{тих}}t_{h\text{E}}$, $H_{\text{акт}}$. Червячную передачу сравнивают с передачам коническо-цилиндрической, коническо-планетарной (см. рис. 20.15) и 3k.

Сравнение массо-габаритных показателей редукторов, предназначенных для очень больших нагрузок. При больших моментах на тихоходном вал (например, $T_{\rm trx} > 0.5 \cdot 10^6~{\rm H\cdot m}$) размеры зубчатых колес рядных переда получаются настолько большими, что во многих случаях не представля ется возможным изготовить их с высокими значениями $H_{\rm art}$. В результат применяют зубчатые пары с $H_{\rm art} = 260 \div 320~{\rm HB}$ и $H_{\rm art} = 200 \div 260~{\rm HB}$

Переход от рядной передачи к планетарной обеспечивает существенно снижение габаритных размеров, благодаря использованию эффекта много поточности и внутреннего зацепления. Отмеченные резервы к снижении размеров зубчатых колес являются причиной возможности перехода к болек качественным материалам и использованию термообработок, обеспечива ющих высокие значения $H_{\rm akt}$. Это обстоятельство, в свою очередь, спо собствует существенному снижению массы и габаритных размеров привода

результате реализации указанных возможностей удается резко снизить вссу и габаритные размеры привода. Оценка этого эффекта является мой исследований, в которых сравнивают габаритные размеры и массу знопоточной передачи с указанными значениями $H_{\rm akt}$ со следующими вменяющими ее вариантами передач привода:

1. $A_{h1a1}^{b1}A_{h2a2}^{b2}$ или $A_{h1a1}^{b1}A_{h2a2}^{b2}A_{h3a3}^{b3}$ с цементованными и закаленными

убчатыми колесами а и д.

2. Двухпоточная передача (см. рис. 12.13) с цементованными и за-аленными зубчатыми колесами.

В обоих сравнениях принять $i_{06} = 20 \div 50$, $T_{\text{тих}} = (0.3 \div 2) \cdot 10^6$ Н м; $i_{06} = 20 \cdot 000$ ч; $n_{\text{tay}} = 0 \div 2$.

Выбор частоты вращения двигателя. С увеличением $n_{\text{дв}}$ обычно сникаются масса и габаритные размеры двигателя, но возрастает (в связи увеличением i_{06}) на некоторую величину (которую обозначим ΔG_m) насса механической передачи. Величина ΔG_m зависит от твердости активных поверхностей зубьев, значения i_{06} , типа передачи и режима работы. Значения ΔG_m уменьшаются с увеличением $H_{\text{акт}}$ и i_{06} и уменьшением $n_{\text{тих}}t_{\text{hE}}$. Из анализа формулы (12.47) и исходных предпосылок к ней следует, что при больших i_{06} (например, при $i_{06} > 80$) отношение величины ΔG_m к массе передачи очень мало и быстро снижается с дальнейшим увеличением i_{06} .

Расчет коэффициента $K_{H\beta}$. Для определения величины $K_{H\beta}$ широко используют предназначенные для проектировочного расчета графики (см. рис. 2.15) или таблицы, в которых из многочисленных влияющих факторов учитывают только параметр ψ_{bd} и схему передачи. Однако эти данные широко используют и при курсовом и даже весьма часто при реальном проектировании ответственных передач как окончательные, т. е. и в проверочном расчете. Для курсового проекта это закономерно, поскольку расчет с учетом деформации, люфтов и погрешностей трудоемок, выходит за рамки учебного проекта и может быть применен только в качестве НИР студентов.

При $\psi_{bd} \leq 1,2$ (характерных для передач с $H_{\text{акт}} \geq 55$ HRC) величину $K_{H\beta}^0$ определяют по формуле (2.61). При этом наиболее сложной и трудоемкой частью работы является определение угла между проекциями осей шестерни и колеса на плоскость зацельно. С этой целью составляют

схему алгоритмов и программу на ЭВМ (см. приложение 3).

Расчет $K_{H\beta}^0$ при $\psi_{bd} > 1,2$ значительно сложнее, поскольку при этом уже надо учитывать деформации кручения и изгиба тела шестерни [37], [38].

Темой НИР может служить расчет продольной модификации для уменьшения неравномерности удельных нагрузок по ширине зубчатых венцов. При этом в случае постоянной нагрузки можно снизить $K^0_{H\beta}$ (см., например, с. 302 в работе [38]) и существенно увеличить несущую способность передачи.

Исследование существенно усложняется при непостоянной нагрузке, так как в этом случае при наличии профильной модификации $K_{H\mathfrak{g}}^0 \neq$ const и надо выполнить поиск оптимального варианта.

Научные работы студентов, связанные с уточнением оценок несущей способности зубчатых передач. По мере совершенствования методов расчета зубчатых передач непрерывно растет число учитываемых факторов,

влияющих на конечные результаты. Расчеты усложняются и использс ние их в учебном процессе без соответствующих корректив станови затруднительным. В связи с этим в курсе «Детали машин» и руковод вах к курсовым проектам используют упрощенные расчеты.

Приведем краткие сведения о некоторых упрощениях, принятых настоящем пособии. При этом даются рекомендации, которые могут бы использованы для проведения исследований в процессе выполнения кур

вого проекта.

- 1. В ГОСТ 21354—75* за расчетную не рекомендуется принима нагрузку, которой соответствует число циклов перемен напряжений, мен шее $0,03\,N_{HE}$, а при определении величин N_{HE} учитывается только та час циклограммы нагружения, которой соответствует число циклов $N_c \leqslant 2,4N$ Для упрощения расчетов эти особенности методики по ГОСТ 21354—7 не учитываются при курсовом проектировании. Однако в ряде случа это может вызвать довольно существенные отклонения от действительны результатов. Выявление циклограмм нагружения, при которых эти откл нения значительны, может служить темой исследования при курсовс проектировании.
- 2. Известно, что с увеличением абсолютной величины суммы скоросте контактирующих точек относительно зоны контакта увеличиваются тол щина масляной пленки, разделяющей сопряженные поверхности, и несу щая способность, лимитируемая сопротивлением развитию усталостного выкрашивания. Для учета отмеченных особенностей допускаемое контакт ное напряжение увеличивают умножением на коэффициент $Z_p = kv^{\delta}$, где Z_v – коэффициент, значение которого выбирается таким, чтобы при v== 5 м \cdot с⁻¹ получить Z_p = 1. По данным исследований [52] и некоторым зарубежным источникам, степень $\delta \approx 0.2$; в ГОСТ 21354-75* приняты более осторожные значения ($\delta_{HB} = 0.1$ при $H_{avr} \leq 350$ HB и $\delta = 0.05$ при $H_{\rm agg} \geqslant 350$ HB). Это связано с недостаточными данными из опыта эксплуатации передач при резко изменяющихся по величине нагрузках и частых пусках и остановках. Таким образом, данный вопрос еще подлежит дальнейшим исследованиям и уточнениям. Темами НИР в данном случае могут служить: 1) сравнение несущей способности передач при различных значениях δ (например, равных 0,1 и 0,2); 2) вывод зависимости для N_{HE} с учетом изменения скорости v. Вторая тема связана с тем, что в ГОСТ 21354-75* и в базирующихся на нем методах нет указаний к расчетам величины N_{HE} с учетом изменения величины v при различных нагрузках. Полученные зависимости следует проиллюстрировать примерами передач с одинаковыми максимальными скоростями $v_{\rm max}$, но существенно отличающимися значениями в при расчетной нагрузке.
- 3. Для упрощения расчетов в настоящем пособии коэффициент $K_{F\infty}$ учитывающий распределение нагрузки между двумя парами зубьев прямозубой передачи, дан только с учетом точности изготовления и для зубчатых пар с $x_1=x_2=0$. В уточненном расчете K_{F2} приравнивается большему из двух значений λ и 9 (см. с. 25 в ГОСТ 21354—75* п с. 106 в справочнике [42], где $K_{F2}=Y_c$) и зависит не только от точности, но и от геометрических параметров зацепления и от нагрузки F_n/b_w , при использованной несущей способности передачи, F_n/b_w зависит от материалов

Исследование влияния точности и перечисленных параметров на нецую способность, лимитируемую прочностью зубьев на изгиб может жить темой НИР студентов.

4. С ростом х уменьшается коэффициент формы зуба Y_F и, следовательно, ижается напряжение у основания зуба. Однако, из этого еще не следует, о во всех случаях несущая способность, лимитируемая прочностью быев на изгиб, у передач с $x_1 > 0$ и $x_2 > 0$ выше, чем у передач с $x_1 = x_2 = 0$.

Темой НИР является сравнение нагрузочной способности из условия рочности зубьев на изгиб передач с $x_1+x_2=0$ (или $x_1=x_2=0$). При гом в соответствии с рекомендацией в ГОСТ 16532—70 принимают $_1=x_2=0$,5. Однако можно назначать и существенно большие значения доводя их, например, до 0,8 и допуская при этом $\mathbf{s}_x=1\div 1$,1. В уканных сравнениях варьируют величины d_{w1} , u, t_{hE} , механические хараксеристики материалов шестерни и колеса и параметры точности.

5. При снижении нагрузки увеличивается K_{Fa} . Это обстоятельство может служить темой исследования с целью внесения корректив в расчет зеличины N_{Fb} .

Глава 13

МУФТЫ

§ 13.1. Общие сведения

Для соединения отдельных узлов и механизмов в единую кинематическую цепь используются муфты, различные типы которых могут также обеспечивать компенсацию смещений соединяемых валов (осевых, радиальных, угловых и комбинированных), улучшение динамических характеристик привода, ограничение передаваемого момента, включение отдельных частей привода и пр.

Наиболее распространенные муфты стандартизованы или нормализованы. Выбор муфт производится в зависимости от диаметра вала и передаваемого крутящего момента

$$T_{\text{pacq}} = kT_{\text{Al}} \leqslant T_{\text{raf.n}}, \tag{13.1}$$

где $T_{\rm Al}$ — наибольший длительно действующий момент; $T_{\rm rafil}$ — табличное значение передаваемого крутящего момента; k — коэффициент, учитывающий режим работы, $k=k_1k_2$; k_1 — коэффициент безопасности, принимаемый равным 1, если поломка муфты не вызывает аварии машины; 1,2 — если поломка муфты ведет к аварии машины; 1,5 — если поломка муфты может привести к человеческим жертвам; k_2 — коэффициент, учитывающий условия работы муфты, $k_2=1$ — при спокойной работе равномерно нагруженных механизмов, $k_2\leqslant 1,5$ при тяжелых условиях работы с ударами неравномерно нагруженных и реверсивных механизмов.

Из большого числа разнообразных муфт ниже приводятся лишь широко применяемые в механических приводах, рассматриваемых в настоящем пособии.

§ 13.2. Соединительные компенсирующие муфты

Из различных типов компенсирующих муфт наибольшее распростра: ние получили зубчатые муфты. Достоинствами этих муфт, обеспечива щими их большое распространение, являются высокая нагрузочная ст собность и компактность, технологичность и возможность использован в широком диапазоне угловых скоростей и передаваемых моменте

Зубчатая муфта (рис. 13.1, a) состоит из двух втулок 1 с внешни зубьями и скрепленных болтами двух обойм 2 с внутренними зубьям Для зубчатых муфт используют эвольвентное зацепление с профил ным углом $a_m = 20^\circ$ и коэффициентом высоты $a_m^* = 0.8$. Центрирован обоймы относительно втулки выполняют, как правило, по наружном диаметру a_m при этом поверхность заготовки по a_m рекомендуется обраблывать по сфере (иногда центрирование производят по боковым граняю в основном при малых скоростях в малоответственных передачах). Зубъвтулки выполняют с линейчатыми (рис. 13.1, a) или криволинейным образующими (рис. 13.1, a). Перекос бочкообразных зубьев (с криволиней ными образующими) не приводит к нежелательному кромочному нагружению зубьев.

Для снижения потерь на трение и увеличения долговечности зубчаты муфт используются масла повышенной вязкости, часто с противозадир ными присадками.

ГОСТ 5006—55* для изготовления втулок и обойм предусматривает материалы с невысокими механическими карактеристиками (сталь 40, 45Л). Большей несущей способностью при тех же размерах обладают муфты

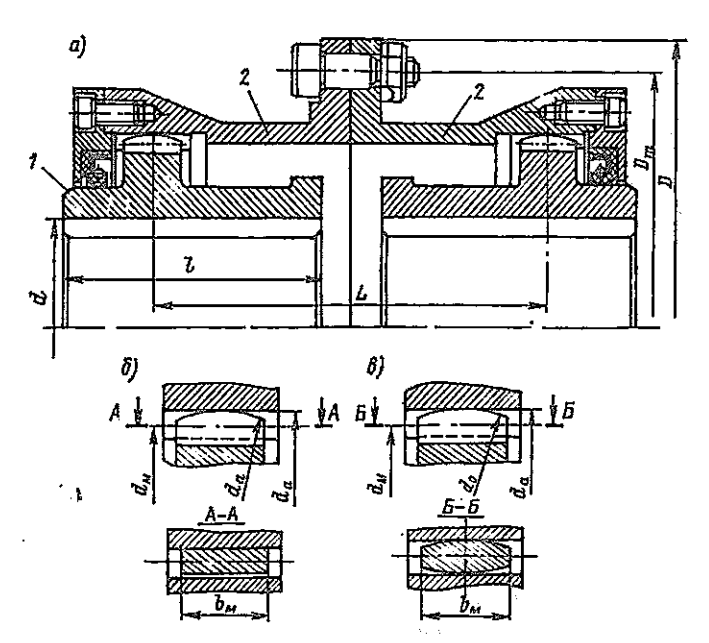


Рис. 13.1. Зубчатая муфта

ОСТ 92-8764—76 «Муфты соединительные зубчатые», где использугся термически улучшенные стали 40Х и 38ХМ по ГОСТ 4543—71. ыльнейшее повышение несущей способности может быть достигнуто за ет применения поверхностного упрочнения зубьев цементацией или азопрованием.

Соединение втулок с валом осуществляется посадкой с гарантированным атягом и шпонкой или шлицами. Осевую фиксацию втулок рекоменду-гся выполнять торцовыми шайбами (см. рис. 15.1).

Зубчатые муфты допускают угловые смещения валов в одном сочлении $\gamma_{\max}=30'$ и радиальные смещения $\Delta_{\max}=\gamma_{\max}L$, где L — расстояние между зубчатыми сочленениями муфты (рис. 13.1).

Выбор основных параметров зубчатого сочленения (модуль $m_{\rm M}$, число кубьев $z_{\rm M}$, ширина зуба $b_{\rm M}$) производится по табл. 13.1. Остальные размеры муфты устанавливаются конструктивно из условия обеспечения минимального диаметрального размера. При этом длина зубчатой втулки ориентировочно определяется из соотношения $l/d=1,2\div1,3$; диаметры D_m и D (рис. 13.1) устанавливаются из расчета болтов, поставленных без зазора.

При работе муфты в условиях смещений соединяемых валов возникает неуравновешенная радиальная сила $F_r \approx (0.2 \div 0.4) \, F_t$ и момент $M_{\pi} \approx (0.1 \div 0.15) \, T$, нагружающие вал ($F_t = 2T/d_{\rm M}$ — окружная сила на расчетном диаметре муфты) [36].

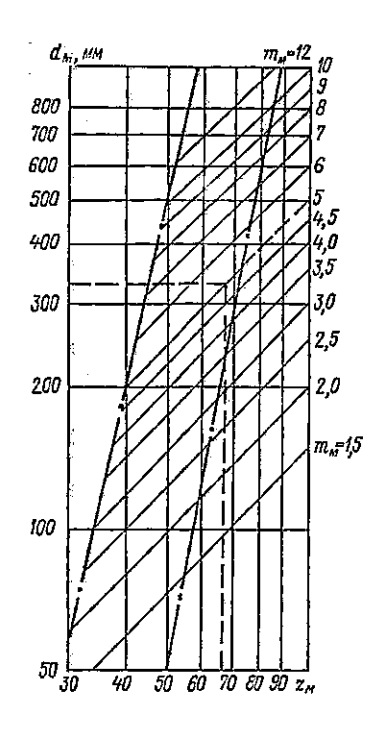
Для обеспечения радиальной подвижности основных плавающих звеньев планетарных передач, с целью компенсации погрешностей изготовления используются зубчатые соединительные муфты, представленные на рис. 16.9; 16.12; 20.10; 20.12. Геометрические параметры зубчатого сочленения соединительных муфт центральных колес с внешними зубьями (рис. 16.9) могут выбираться аналогично параметрам зубчатых муфт по ГОСТ 5006—55. Муфты плавающих центральных колес с внутренними зубьями (см. рис. 16.12) или водила (см. рис. 20.10; 20.12), нарезанные непосредственно на этих деталях, имеют нестандартные параметры: профильный угол $\alpha_{\rm M}=20\div30^\circ$, коэффициент высоты зуба $h_a^a=1\div0.5$.

При проектировании нестандартных муфт расчетный диаметр зубчатого венца (мм) может быть найден по эмпирической формуле

$$d_{\rm M} \geqslant 10 \sqrt[3]{\frac{T}{k_{\rm M}q_{\rm M}}},\tag{13.2}$$

Таблица 13.1 Основные параметры зубчатых соедиштельных муфт по ОСТ 92-8764-76

<i>d</i> , мм	<i>Т</i> , Н·м	$m_{ m M}$, mm	z _M	<i>b</i> _м , мм	<i>d</i> , мм	<i>Т</i> , Н·м	$m_{ m M}$, mm	₹ _M	$b_{ m M}$, mm
25 - 32 28 - 38 32 - 48 45 - 60 55 - 72	500 1000 1600 4000 8000	2 2 2,5 2,5 3,0	26 30 30 38 40	12 12 12 15 20	70 – 92 85 – 102 95 – 112 110 – 125	16 000 25 000 31 500 50 000	3 3 4 4	48 56 48 56	25 25 30 35



где T — крутящий момент, передаваем муфтой, H м; $q_{\rm M}=b_{\rm M}/d_{\rm M}$ — отношение бочей ширины зубчатого венца к расчному диаметру (рекомендуется $q_{\rm M}=0$, \div 0,25); $k_{\rm M}$ — коэффициент, зависящий твердости активных поверхностей зубмуфты; при 40-50 HRC и 58-62 H соответственно $k_{\rm M} \le 6$ и $k_{\rm M} \le 12$.

Значение модуля муфты $m_{\rm M}$ выбирется из графика, приведенного на рис. 12 Выбор расчетного диаметра $d_{\rm M}$ и моду $m_{\rm M}$ зубчатых сочленений, нарезанных и посредственно на плавающих звеньях (срис. 16.9, a; рис. 16.12, b, b, c), рассмотрив п. 16.4.

С целью предупреждения недопустимс интенсивности изнашивания выполняю проверочный расчет по условному давлении Рис. 13.2. Орнентировочная зависимость для выбора модуля $m_{\rm M}$, диаметра $d_{\rm M}$ и числа зубьев $z_{\rm M}$ зубчатых соединительных муфт планетарных передач (рекомендуемые значения лежат в области, выделенной штрих-пунктирными линиями)

$$p = \frac{Tk_h k_{\rm up}}{b_{\rm M} d_{\rm M}^2} \le [p], \tag{13.3}$$

где $k_h=1,11$ и $k_h=1,0$ соответственно при коэффициентах высоты зуба $h_a^*=0,8$ и $h_a^*=1,0$; $k_{\rm up}$ — коэффициент неравномерности удельной нагрузки, равный 1,1 и 1,3 для муфт, нарезанных на жестких деталях или на тонкостенном ободе центральных колес соответственно.

Допускаемое давление ([p], МПа) в зависимости от вида термообработки зубьев:

Термическое улучшение (280 – 320 НВ)		٠		3,6-4,6
Закалка (40-50 HRC)				5,3-6,7
Термохимическая обработка (58 – 62 HRC).				10 - 12

§ 13.3. Упругие муфты

За счет использования в конструкции упругих элементов данные муфты обладают способностью амортизировать толчки и удары, демифировать колебания, разгружать отдельные элементы привода от периодически изменяющихся возмущающих моментов, действующих на вращающиеся массы привода и др.

Упругие муфты выполняют также компенсирующие функции, допуская некоторые радиальные и угловые смещения валов.

Ниже рассмотрены упругие муфты с неметаллическими упругими элементами, наиболее широко применяемые в механическом приводе.

Упругая втулочно-пальцевая муфта (рис. 13.3) передает усилие через зиновые фасонные втулки 3, взаимодействующие с поверхностями отрстий одной из полумуфт 4 и стальными пальцами 2, установленными другой полумуфте 1.

Муфта допускает радиальные смещения валов 0,2-0,5 мм, осевые -

-5 мм и угловые до 1° в зависимости от типоразмера.

Основные размеры элементов муфты могут быть приняты в соответтвии с ГОСТ 21424—75 (табл. 13.2). Данный ГОСТ предусматривает ва типа муфт: тип I—с цилиндрическим отверстием на концы валов ю ГОСТ 12080—66 и тип II—с коническим отверстием на концы валов ю ГОСТ 12081—72 и два исполнения: на длинные концы валов (исполнение 1) и на короткие концы валов (исполнение 2).

Размеры пальцев $(d_n \ l_n)$ и их количество n определяются из расчета на изгиб, при условии обеспечения непревышения давления на поверхности резиновой втулки допускаемого значения, равного p=2 МПа. Ниже приводятся рекомендации выбора этих величин (мм) по ОСТ 92-8737—76 (рис. 13.3).

D	٠	•		٠	•		100	120	140	170	190	220
D_{m}							65	80	100	120	140	170
											24	
$J_{\rm tr}$							19	33	33	42	52	52
											8	

Допускается закрепление полумуфт на валах с помощью шпоночного и зубчатого (шлицевого) соединения, а также установка на коническом валу. При работе муфты в условиях смещений валов возникает радиальное усилие, нагружающее вал, принимаемое условно равным $F_r = (0,1 \div 0,3)\,F_t$, где F_t – окружное усилие, действующее на пальцы муфты.

Упругая муфта с торообразным элементом (рис. 13.4) обладает хорошими компенсирующими свойствами и высокой демпфирующей способностью. Муфта допускает радиальные смещения валов 2—6 мм, осевые —

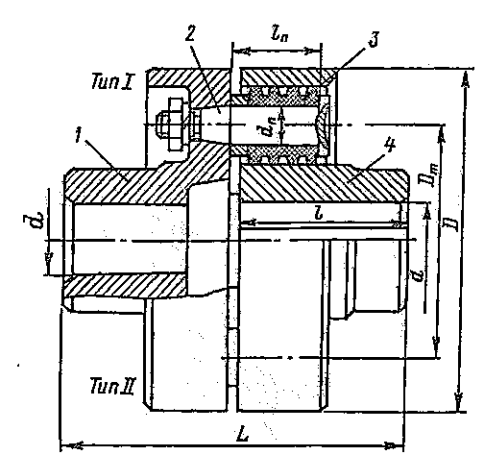


Рис. 13.3. Упругая втулочно-пальцевая муфта (МУВП)

Таблица .

Основные размеры упругой втулочно-пальцевой муфты по ГОСТ 21424—75.

d		T	<i>п</i> , мин-1	D, MM		мм олее	<i>l</i> , не б	Махов	
1 ряд	2 ряд	<i>Т</i> , Н·м	не бол	пее	Tito I	Tnn 11	Тип І	Tim II	MOMCI GD ² , H
20, 22 25, 28 32, 36, 40, 45 40, 45 45, 50, 56	24 30 35, 38, 42 42 48, 55	63 125 250 500 710	5700 4600 3800 3600 3000	100 120 140 170 190	104 125 165 225 226	104 125 165 225 226	50 60 80 110 110	38 44 60 85 85	0,06 0,3 0,6 1,72 2,7
50, 56	55	****	0050	222	000	006	110	85	5,2
63	60, 65, 70	1000	2850	220	286	286	140	107	5,2

до 4-6 мм и угловые до 2° . Недостатком муфты является большой диа метральный размер и появление значительных осевых нагрузок на опоры вызываемых центробежными силами, действующими на упругий элемент Полумуфты 1 и 5 соединены резиновой оболочкой 2 (часто армированной кордом) с помощью нажимных колец 3, состоящих из двух частей, соединенных кольцом 6 и винтами 4.

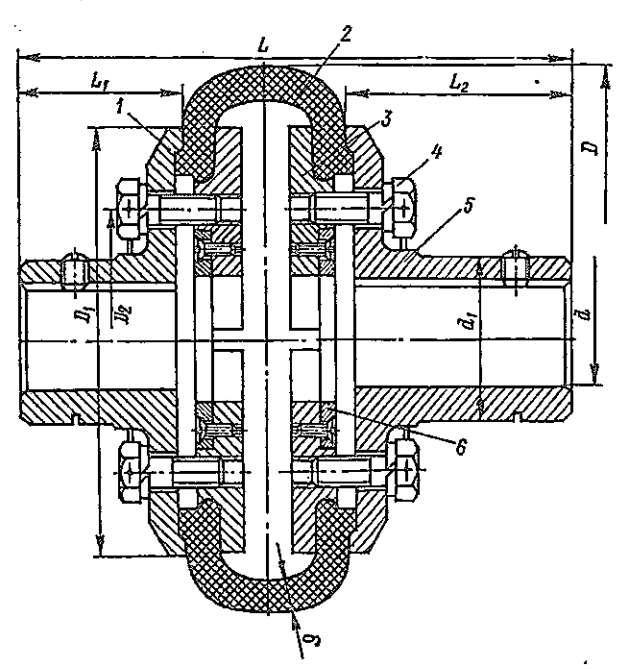


Рис. 13.4. Упругая муфта с торообразной оболочкой по нормали МН 5809-65

Основные параметры (мм) упругой муфты с торообразной оболочкой по нормали МН 5809 – 65 (рис. 13.4)

1 ряд	d 2 ряд	<i>Т</i> , Н·м	л, мин ⁻¹ , наиболь- ший	D	d	Dı	D ₂	L	L_1	L ₂	δ	<i>GD</i> ² , H· м²
20; 22 25; 28 32; 36 40; 45 50; 55	- 30 35; 38 42; 48	37,5 75 180 375 750	4000 3300 2000 2000 1500	125 160 200 250 320	38 48 60 90 110	100 128 155 195 260	95 130	203 268	44,5 60,5 85		12,5 14	0,07 0,30 0,89 3,24 9,67

Основные размеры муфты в соответствии с нормалью МН 5809-65 приведены в табл. 13.3.

§ 13.4. Сцепные управляемые муфты

Сцепные управляемые муфты предназначены для соединения или разъединения валов, а также валов и установленных на них деталей, на ходу или в неподвижном состоянии с помощью специальных механизмов управления. Эти муфты широко используют при частых пусках и остановках, при необходимости изменения режима работы с минимальной затратой времени, что характерно, например, для различных коробок скоростей.

Передача момента осуществляется либо зацеплением (сцепные кулачковые и зубчатые муфты), либо силами трения (фрикционные сцепные муфты).

Сцепные кулачковые и зубчатые муфты имеют значительно меньшие габаритные размеры и массу, чем фрикционные. Необходимым условием нормальной работы сцепных муфт является высокая точность установки соосности соединяемых деталей.

Ниже приводятся данные о зубчатых сцепных муфтах, включаемых в неподвижном состоянии, имеющих широкое распространение благодаря более простой технологии изготовления обычными инструментами и методами, используемыми при производстве зубчатых колес.

Зубчатая сцепная муфта (рис. 13.5) состоит из двух полумуфт, имеющих на цилиндрических поверхностях наружные и внутренние эвольвентные зубья с исходным контуром по ГОСТ 13755—68. Параметры зацепления соответствуют степени точности 8A по ГОСТ 1643—81.

Для облегчения включения торцы зубьев закругляют. Основные параметры зубчатых сцепных муфт по ОСТ 90-0991—75 приведены в табл. 13.4.

Выход из строя муфт происходит по причине износа сопряженных поверхностей зубьев. Для повышения несущей способности муфты изготовляют из стали 40X (ГОСТ 4543—71) с закалкой т. в. ч. до 48—54 HRC или из стали 20X с цементацией и закалкой до твердости 56—62 HRC.

Основными элементами механизма включения муфты являются вилка и сухари, располагающиеся в пазах полумуфт. Для уменьшения трения сухари изготовляют из бронзы (БрАЖ-9-4, ГОСТ 18175—72).

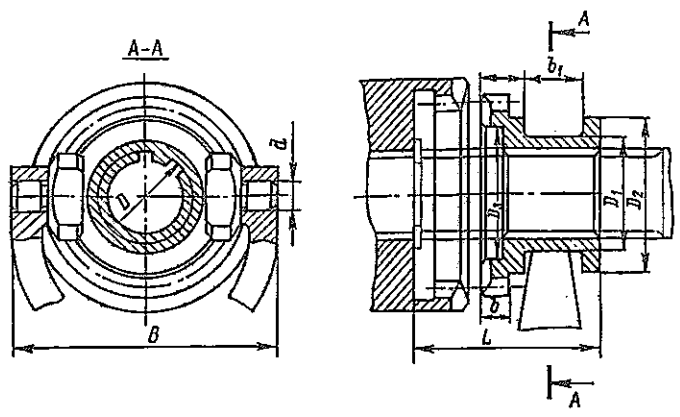


Рис. 13.5. Сцепная зубчатая односторонняя муфта по ОСТ 90-0991 - 75

Tаблица 13.4 Основные параметры (мм) зубчатой сцепной муфты (m=2,0) по ОСТ 90-0991—75 (рис. 13.5)

D	Т, Н∙м	L	Число зубъев г	D_1	D ₂	D3	ь	<i>b</i> ₁	đ
25	400	51	26	32	45	38	8	18	9
28	500	55	28	35	50	42	9	18	
32	630	59	30	40	54	45	9	18	
34	800	62	32	42	58	50	10	18	
38	1250	68	34	48	62	54	12	18	
42	2000	78	38	52	70	62	15	22	10
48	3150	87	42	60	78	68	18	22	
54	4000	91	46	68	86	76	18	22	
60	5000	98	50	75	94	82	20	27	

§ 13.5. Самодействующие муфты

Самодействующие муфты выполняют функции предохранения элементов привода от случайных перегрузок (предохранительные муфты), обеслечивают передачу момента только в одном направлении (обгонные муфты), включают и выключают привод (или его отдельные части) при заданной скорости (центробежные муфты). Включение и выключение самодействующих муфт происходит автоматически. Здесь рассматриваются лишь некоторые типы предохранительных муфт, остальные виды самодействующих муфт рассмотрены в работах [18, 45].

Основными требованиями, предъявляемыми к предохранительным муфтам, являются надежность и безотказность действия, точность срабатывания и быстродействие. При быстронарастающих перегрузках (особенно при ударных нагрузках) предохранительную муфту целесообразно устанавливать по возможности ближе к источнику перегрузок для снижения инершионных нагрузок от вращающихся масс привода. При плавном нарастании перегрузки установка муфты с целью снижения ее массы и габаритных размеров, производится на быстроходном валу.

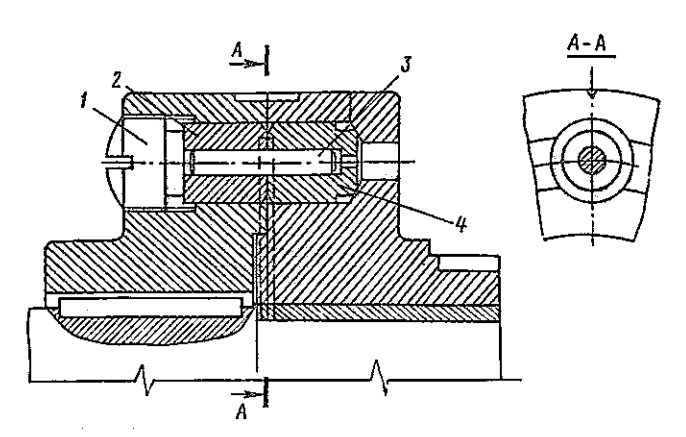


Рис. 13.6. Предохранительная муфта с разрушающимся элементом

Предохранительные муфты с разрушающимся элементом (рис. 13.6) отличаются простой конструкцией и имеют довольно широкое применение. Разрушающимся элементом являются цилиндрические штифты, имеющие гладкую поверхность или снабженные специальной выточкой.

Муфты не обеспечивают высокую точность срабатывания из-за неодинаковой прочности материала; при использовании нескольких штифтов имеет место неравномерность их нагружения. После срабатывания необходима замена разрушающихся элементов. Штифт 3 (рис. 13.6) устанавливается в стальные закаленные втулки 2, 4 и запирается резьбовой пробкой 1. Для удаления штифта и втулок используются специальные отверстия во втулке и полумуфте. На торцах полумуфт имеются канавки, которые предохраняют от задиров штифтами после срабатывания.

Разрушающийся элемент может быть использован не только в соединительной муфте, но и непосредственно в узлах, например в соединении вала с зубчатым колесом или звездочкой. Основные размеры разрушающихся элементов в соответствии с нормалью станкостроения приведены в табл. 13.5. Штифты обычно изготовляют из сталей 40, 45 с термообработкой до твердости 45-55 HRC. Втулки изготовляют из стали 40X (50-60 HRC).

Расчетный момент, разрушающий штифт из условия среза,

$$T_{\rm p} = (z/K_{\rm HP}) (\pi d^2/4) R \tau_{\rm B},$$
 (13.4)

где z — число штифтов; $K_{\rm np}$ — коэффициент неравномерности распределения нагрузки между штифтами: при z=1 $K_{\rm np}=1$; при $z=2\div 3$ $K_{\rm np}=1,2\div 1,3$; d — диаметр штифта; R — радиус расположения штифтов, $\tau_{\rm n}$ — предел прочности при срезе, $\tau_{\rm n}=c\sigma_{\rm n}$, для гладких штифтов $c=0,7\div 0,8$, для штифтов c проточкой $c=0,9\div 1$; $\sigma_{\rm n}$ — предел прочности материала штифта.

В табл. 13.5 приведены также значения усилий среза $F = T_p/Rz$ для различных диаметров штифтов.

Большое распространение в механических приводах имеют фрикционные предохранительные муфты, действие которых основано на относитель-

Усилис среза <i>F</i> , H	d _{iii}	D	d ₁	d_2	d ₃	d ₄	ь	l _t	l ₂	<i>l</i> ₃	l ₄	l ₅	<i>l</i> ₆	R	c ·
70	1,5	10	M16	8	1.	8	11,5	12	18	12	10	3	1	5	3
130	2	10	141 10	0	1	٥	11,5	12	10	12	10				
290	3				2_							4	1,5	8	
530	4	15	M20	12	3	12	12 14	18	30	30 18	15				4
825	5				4										
1200	6				5						24	5			
2100	8	25	M30	22	6	22	24,5	28	45	28			2	12	6
3300	10				8										

ном проскальзывании фрикционных дисков при превышении действующего момента — момента, на который отрегулирована муфта,

На рис. 13.7 представлена конструкция фрикционной предохранительной муфты, выполненной совместно с упругой втулочно-пальцевой. Основными элементами являются корпус 1, имеющий внутренние эвольвентные зубья, соединенный с наружными дисками 2, между которыми расположены внутренние диски 3, соединенные с помощью шлицов с валом 4. Давление на фрикционных дисках создается нажимными устройствами 5, состоящими из набора тарельчатых пружин, расположенных в крышке корпуса 6. При перегрузке привода и срабатывании муфты корпус 1 вращается относительно вала в подшипниках скольжения 7.

Для уменьшения габаритных размеров привода целесообразно встраивать муфту в ступицы зубчатых (рис. 13.8) и червячных колес.

В качестве нажимных устройств применяются тарированные цилиндрические и тарельчатые пружины независимого (см. рис. 13.7) или централизованного действия (рис. 13.8). В последнем случае обеспечивается более равномерное распределение давления на поверхностях трения.

Нажимное устройство на рис. 13.8 состоит из нажимного диска 1 и нажимной гайки 2, между которыми размещаются тарированные пружины 5, сжатые до необходимого усилия тремя болтами 4 и гайками 3. Устройство собирается вне муфты, после чего вворачивается в корпус до соприкосновения нажимного диска с комплектом фрикционных дисков. В таком положении болты освобождаются, в результате чего нажимной

лучшие условия смазки и сбор продуктов изнашивания для сухих муфт Для обеспечения стабильности срабатывания фрикционных предохранительных муфт диски следует предварительно прирабатывать.

Число поверхностей трения, необходимое для передачи заданного момента,

$$z = \frac{8T_{\rm np}}{\pi (D_0^2 - d_{\rm BH}^2) D_{\rm m} p f_{\rm cr}},$$
 (13.5)

где $T_{\rm np}=1,25T_{\rm ном}$ — предельная величина момента, при котором заканчивается срабатывание муфты; $T_{\rm ном}$ — номинальное значение передаваемого крутящего момента; $D_{\rm o}$, $d_{\rm bn}$ — наружный и внутренний диаметры поверхности трения; $D_{\rm m}=(D_{\rm o}+d_{\rm nn})/2$ — средний диаметр поверхности трения.

Число дисков муфты n=z+1. Значения давления $p\leqslant [p]$ и коэффициента трения $f_{\rm cr}$ в зависимости от материала дисков выбираются по табл. 13.8.

Необходимое усилие пружины

$$F_{\rm np} = \frac{0.785 p \left(D_0^2 - d_{\rm sn}^2\right)}{m},\tag{13.6}$$

где т - число пружин, принимаемое конструктивно.

Часть вторая

ОСНОВЫ КОНСТРУИРОВАНИЯ МЕХАНИЧЕСКИХ ПЕРЕДАЧ

Глава 14

ЭСКИЗНАЯ КОМПОНОВКА РЕДУКТОРОВ

§ 14.1. Компоновка одно-, двух- и трехступенчатых редукторов с цилиндрическими и комическими зубчатыми колесами.

Компоновка червячных редукторов

Различные схемы редукторов с неподвижными осями зубчатых колес рассмотрены в гл. 1.

Корпуса цилиндрических редукторов обычно имеют разъем в плоскости осей валов. В этом случае каждый вал с сопрягаемыми деталями (зубчатыми колесами, подшипниками и т. п.) собирают отдельно и в таком виде устанавливают в корпус. Плоскость разъема обычно горизонтальная. Для уменьшения объема незаполненного в редукторе пространства, а также для улучшения условий смазывания всех ступеней многоступенчатого редуктора окунанием плоскость разъема может располагаться под углом к основанию (см. рис. 1.3, д), но при этом усложняется обработка корпуса.

Находят применение редукторы, оси зубчатых колес которых располагаются в вертикальной плоскости (см. рис. 1.3, з). Корпуса таких редукторов имеют один вертикальный или два взаимно перпендикулярных разъема. В последнем случае усложняется конструкция корпуса, но зато исключаются протечки масла из масляной ванны за счет разгерметизации разъема.

Для обеспечения большей компактности редуктора во многих случаях шестерню быстроходной ступени целесообразно сместить из плоскости разъема (см. рис. 1.3, г и с. 14), а опоры ее разместить симметрично относительно зубчатого венца (см. рис. 1.3, в).

В соосных редукторах (см. рис. 1.3, ж) для уменьшения габаритного размера в направлении осей целесообразно устанавливать опоры быстроходного и тихоходного валов в соответствии с конструкцией, показанной на рис. 20.4.

Корпуса конических и коническо-цилиндрических редукторов обычно имеют разъемы по осям зубчатых колес (рис. 1.4 и 20.6). При проектировании таких редукторов необходимо предусматривать возможность регулировки взаимного положения зубчатых колес конической пары. Регулировка осуществляется путем осевых перемещений зубчатых колес с по-

ющью колец или прокладок (см. гл. 18). Удобство монтажа и регулировки заимного положения конических зубчатых колес существенно повышается ри установке опор шестерни в специальный стакан (см. рис. 20.7).

В червячных редукторах разъем корпуса обычно делают по оси червячного колеса. Червяк, имеющий диаметральный габаритный размер меньший, чем подшипники его вала, устанавливают в корпус через отверстия под эти подшипники (см. рис. 20.16). В червячных редукторах зебольших размеров ($a_w \le 200$ мм) разъем корпуса не предусматривается, установка червячного колеса с валом и подшипниками в сборе осуществляется через окно в боковой стенке корпуса. Для червячных редукторов с вертикальным расположением тихоходного вала такую конструкцию корпуса применяют и при существенно больших значениях a_w (см. рис. 20.16). Встречаются конструкции корпусов червячных редукторов с окнами в обеих стенках.

Для устранения защемления подшипников червяка из-за тепловых деформаций деталей передачи с одной стороны его устанавливают два радиально-упорных подшипника, с другой — радиальный подшипник, свободно перемещающийся вдоль оси червяка (см. рис. 20.17). Такая конструкция применяется в редукторах с расстоянием между подшипниками червяка L > 350 мм для длительно работающих передач и L > 500 мм для передач, работающих с частыми остановками. В противном случае червяк устанавливают на два радиально-упорных подшипника (см. рис. 20.16).

Для обеспечения правильного взаимного положения червяка и червячного колеса предусматривают возможность осевых перемещений последнего за счет регулировочных прокладок (см. рис. 20.17).

Двухступенчатые червячные редукторы могут выполняться с двумя разъемами (один по оси колеса тихоходной ступени, другой по осям колеса быстроходной и червяка тихоходной ступени) или с одним разъемом (по оси колеса тихоходной ступени). В последнем случае в корпусе предусматривают цилиндрическое окно, через которое монтируется промежуточный вал в сборе с червячным колесом быстроходной и червяком тихоходной ступеней и подпипниками. Возможны и другие конструктивные исполнения корпусов двухступенчатых червячных редукторов. Например, встречаются передачи, у которых быстроходная и тихоходная ступени оформлены в виде отдельных агрегатов, соединенных в один редуктор.

В червячно-цилиндрических редукторах корпус имеет разъем по осям зубчатых колес.

Рассмотрим последовательность конструирования элементов механической передачи.

После определения основных размеров зубчатых и червячных передач редуктора вычерчиваются габаритные размеры червяков $(d_1 \times b_1)$, зубчатых $d_w \times b$ и червячных колес $(d_{aм2} \times b_2)$. Для этих целей целесообразно воспользоваться миллиметровой бумагой при масштабе чертежа 1:1. Величины зазоров (мм) между зубчатыми (червячными) колесами и внутренними поверхностями стенок корпуса и между торцовыми поверхностями колес смежных ступеней с учетом возможных погрешностей изготовления (рис. 14.1) таковы:

$$c_3 \approx \sqrt[3]{L} + (2 \div 3); \ c_0 \geqslant 6m; \ c_k \approx (1 \div 2) \ m.$$

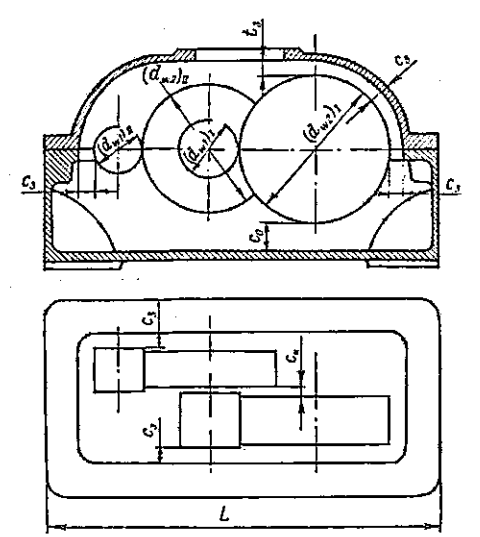


Рис. 14.1. Зазоры между вращающимися деталями и стенками корпуса редуктора

При конструировании след обращать внимание на возмо ность изготовления деталей из более производительным спос бом, на собираемость конструкци на обеспечение смазкой всех трешихся сопряжений и в то же врем на устранение застойных зон сма ки и т.п.

Последовательность эскизно компоновки проследим на прим рах некоторых схем редукторов.

Цилиндрические редукторы. Н чертеже показывают положени осей зубчатых колес и упрощени изображают их по размерам b d_w (рис. 14.2). Для удобства мовтажа ширина шестерни обычи назначается на $(1 \div 2) m$ больш расчетной ширины, т. е. $b_1 = b_w + (1 \div 2) m$. На расстоянии $l_1 = b_w + b_w$

 $=(0,1\div0,15)\,a_{\rm wil}$ от боковых поверхностей шестерен проводят штрихнунк тирные линии nn, проходящие через середину ширины подципников качения валов зубчатых колес. Межосевые расстояния $a_{\rm wil}$ и $a_{\rm wil}$ двухступенчатых редукторов сопоставимы, поэтому на первом этапе эскизного проекта можно полагать, что эти линии проходят через середину подшипников всех трех валов. В передачах с тремя и большим числом ступеней расстояние l_1 для быстроходных и тихоходных ступеней могут отличаться.

После определения положения опор приступают к проектированию валов.

Быстроходные валы конструируют в следующей последовательности (рис. 14.3, а). По формуле (9.1) определяют ориентировочный диаметр входного участка вала $d_{\rm g}$, который согласуется с диаметром вала электродвигателя $d_{\rm s}$. При этом должно выдерживаться соотношение $d_{\rm g}\approx (0.8\div 1.2)~d_{\rm s}$. Размеры участков валов, которые не определяются сопрягаемыми деталями, округляются до ближайших значений из ряда нормальных диаметров и длин в машиностроении [3].

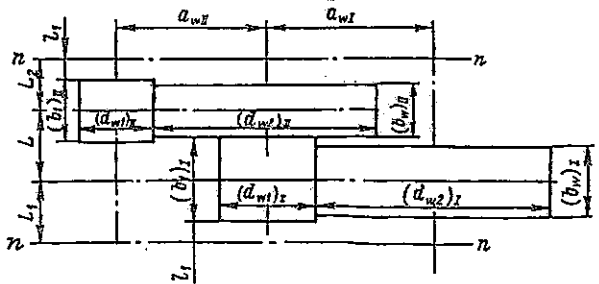


Рис. 14.2. Схема расположения зубчатых колес редуктора

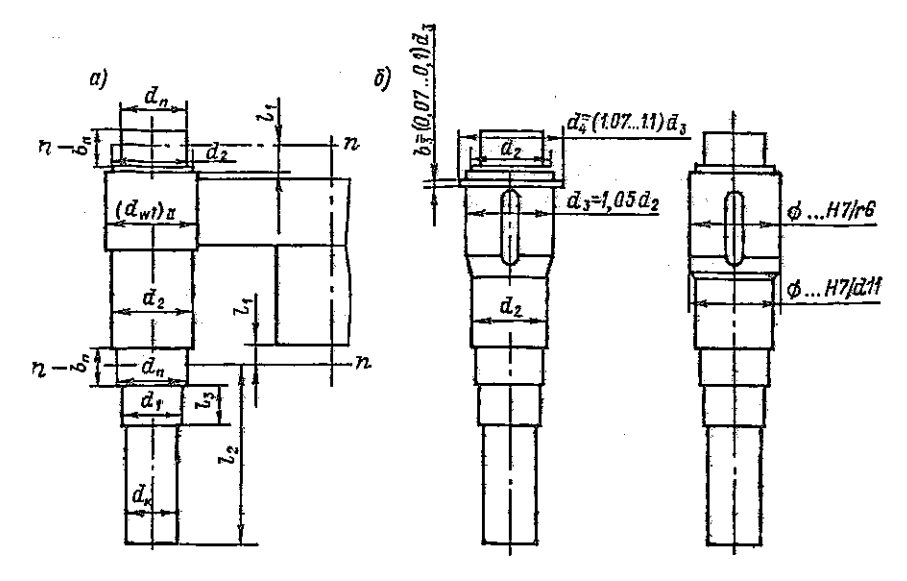


Рис. 14.3. Компоновка быстроходного вала цилиндрического редуктора

На чертеже за пределами одной из линий пп, определяющей положение подшипников, показывают входной участок вала, длина которого $l_2 \approx (3 \div 3.5) d_z$. Затем изображают участок вала d_1 , диаметр которого увязывается с уплотнительными устройствами [4, 44]. Во многих случаях размер d_1 принимают равным d_n или d_s . Участок вала d_n является посадочным под подшипник и должен соответствовать размерам внутренних колец подшипников. С целью унификации на обе шейки вала обычно устанавливают подшипники одного типоразмера, несмотря на то что требуемая работоспособность для них различна. Длину шеек $d_{
m n}$ назначают равной ширине устанавливаемого подшипника b_n . При эскизной компоновке можно ориентироваться на подшипники средней серии радиальные, если передача прямозубая, или радиально-упорные, если передача косозубая. Прямая nn, определяющая положение подшипников, делит шейку $b_{\rm n}$ пополам. Размеры $d_{\rm n}$ и $b_{\rm n}$ подшипников приводятся в [4, 44]. Длина участка вала диаметром d_1 под уплотнение принимается равной $l_3 \approx$ $\approx (0.4 \div 0.7) d_1$.

Фиксация подшипников на валу обеспечивается буртиками (заплечиками), размеры которых зависят от типа подшипников и назначаются в соответствии с данными [4, 44]. Диаметр участка вала $d_2 = d_n + 2h$, где h — высота заплечика [4, 44].

Если диаметр впадин зубьев шестерни

$$d_{f1} \geqslant d_2 + (7 \div 9) m, \tag{14.1}$$

то с целью экономии высоколегированной стали (назначение которой обусловлено обеспечиванием высокой несущей способности зубьев) шестерню выполняют насадной.

Возможные варианты конструкций быстроходных валов с насадных шестернями показаны на рис. 14.3, δ и δ , а проектируются они так ж как тихоходные валы (см. ниже).

Промежутмочные валы обычно выполняются заодно с шестерия (рис. 14.4, a). С целью снижения затрат на высоколегированную сталь прудовлетворении условия (14.1) шестерня может быть выполнена насадно (рис. 14.4, b). Диаметр d_5 подступичной части вала определяется по ориег тировочной зависимости (см. с. 166). Диаметр вала под подшипник определяется из соотношения $d_{\pi} \approx (0.9 \div 1) \, d_5$ и согласуется с данкыми ката пога на подшипники [4, 44]. При конструкции вала, показанной в рис. 14.4, b, $d'_5 = d_5$. В единичном и мелкосерийном производстве длудобства установки зубчатых колес на валу целесообразно предусмотрет буртик, размеры которого $d_4 \approx (1.07 \div 1.1) \, d_5$ и $b_3 \approx (0.07 \div 0.1) \, d_5$.

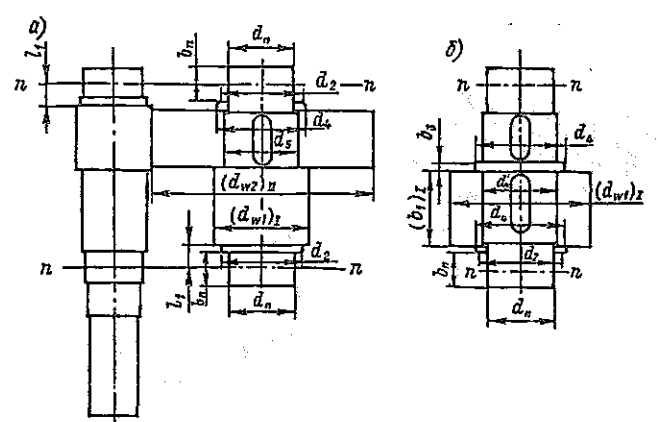
Между насадными зубчатыми колесами и подшипниками могут быт предусмотрены распорные втулки, длина которых определяется положением зубчатых колес и подшипников. Диаметр заплечика вала и распорной втулко определяется типоразмером подшипников.

Тихоходные валы проектируют в той же последовательности, что в быстроходные (рис. 14.5). Диаметр $d_{\rm g}$ определяется по формуле (9.1) размер $l_2=(2,5\div3)\,d_{\rm g}$, а длина ступени d_1 под уплотнение $l_3\approx (0.4\div\div0.5)\,d_1$. Участок вала, сопрягаемый с зубчатым колесом, имеет диаметг $d_3\approx 1,05d_2$, значение которого округляют до ближайшего значения из ряда нормальных диаметров и длин в машиностроении [3]. Буртик $b_3\times d_4$ в приводах крупносерийного или массового производства не предусматривается.

Изображая схематично подшипники на валах (рис. 14.6) и показывая внутренние очертания корпуса редуктора, заканчивают первый этап эскизной компоновки. Поверхности A обычно совпадают с боковыми поверхностями подшипников, но могут быть и несколько смещены от них. Расстояние поверхностей B от зубчатых колес назначается в соответствии с данными рис. 14.1. Если на быстроходном валу диаметр окружности выступов шестерни меньше наружного диаметра подшипников, то поверхность B должна находиться на расстоянии 2-5 мм от отверстия в корпусе под подшипник.

Следующим этапом эскизной компоновки является разработка конструкции корпуса и крышек, валов, зубчатых колес и т. д. Указания по их конструированию приводятся в гл. 16-18.

При эскизной компоновке цилиндрических редукторов, у которых шестерня быстроходной ступени вынесена из плоскости разъема (схемы редукторов по рис. 1.3, z), сначала вычерчивают валы, подшипники качения и зубчатые колеса, оси которых находятся в плоскости разъема. Компоновка шестерни быстроходной ступени производится после определения положения поверхностей A (рис. 14.7). При этом сечение должно проходить через оси валов зубчатых колес быстроходной пары. Далее конструируют участок вала со стороны опоры F (рис. 14.7, a) по нормам, рекомендуемым для быстроходных валов. По чертежу определяют расстояние I_4 от середины шестерни до середины опоры F. Откладывая такое же расстояние в другую сторону, находят положение подшипника E. При этом должна быть обеспечена возможность установки накладной



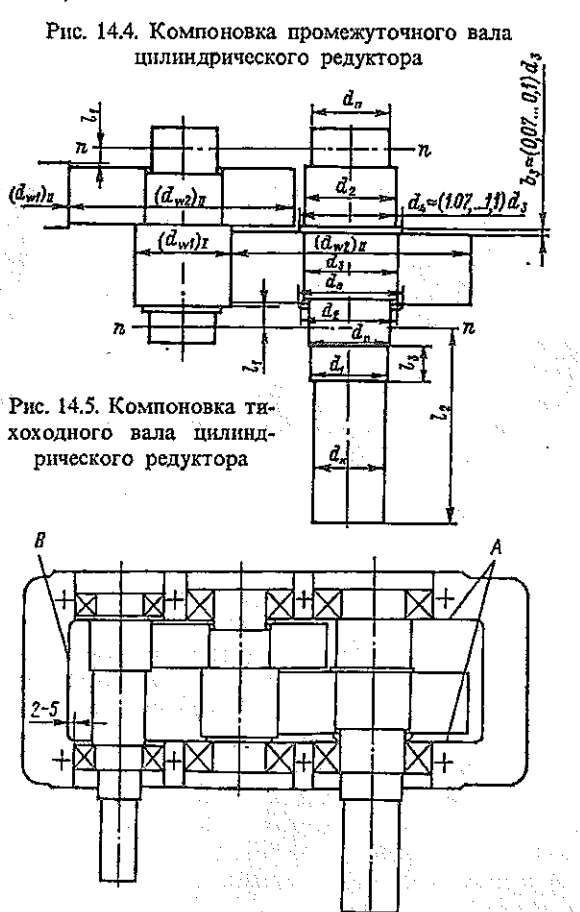


Рис. 14.6. Компоновка двухступенчатого цилиндрического редуктора

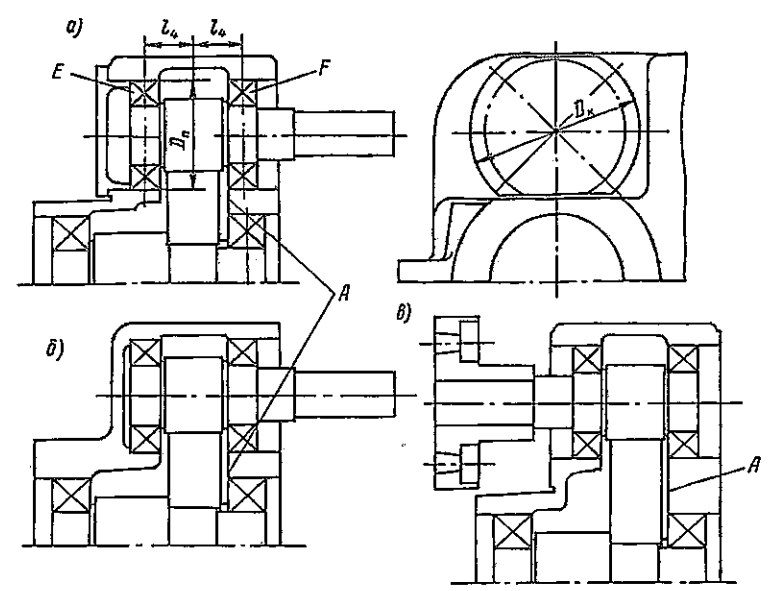


Рис. 14.7. Примеры компоновки шестерни быстроходной ступени, вынесенной из плоскости разъема корпуса

крышки в образующейся полости корпуса. Диаметр крышки $D_{\rm k}\approx (1.5\div 1.7)\,D_{\rm n}$, где $D_{\rm n}$ — диаметр внешнего кольца подшипника. Допускается установка крышек с местными вырезами или лысками (рис. 14.7, a), Если накладная крышка подшипника E не может быть установлена, то предусматривают глухую расточку в стенке корпуса под подшипник (рис. 14.7, a), однако при этом усложняется выполнение расточки. В полости корпуса редуктора, образующейся за счет приближения опоры к шестерне, может быть установлена муфта, связывающая валы электродвигателя и редуктора (рис. 14.7, a).

Перечисленные рекомендации могут быть использованы при проектировании рядных редукторов с цилиндрическими колесами, выполненных и по другим схемам.

Коническо-цилиндрические редукторы. На миллиметровой бумаге в масштабе 1:1 показывают контуры зубчатых колес и положение их осей (рис. 14.8). Как и в цилиндрических редукторах $(b_1)_{\rm I}=(b_{\rm w})_{\rm I}+(1\div2)\,m$. Колесо конической передачи находится на расстоянии $g=(1,5\div2,5)\,m_{\rm te}$, от шестерни цилиндрической, где $m_{\rm te}$ — внешний окружной модуль конической пары. На расстоянии $l_1=(0,1\div0,15)\,a_{\rm wI}$ от боковой поверхности цилиндрической шестерни показывают линию $m_{\rm te}$, проходящую через середину ширины подшинников промежуточного и тихоходного валов. Положение других подшипников этих валов определяется расстоянием L_2 , откладываемым от оси конической шестерни вниз.

Определение положения подшипников конической шестерни производят следующим образом. Для уменьшения неравномерности распределения удельных нагрузок по ширине зубчатого венца при консольном расположении шестерни один из подшипников должен быть расположен воз-

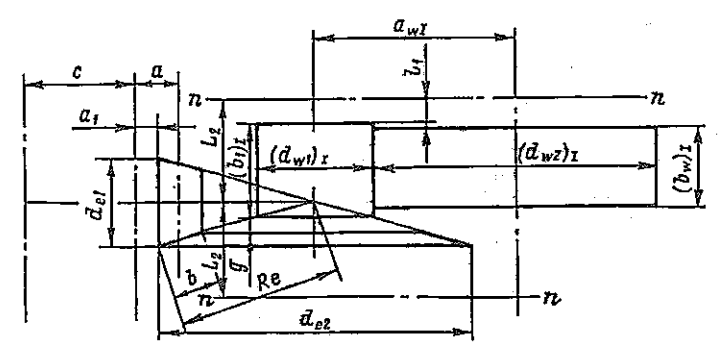


Рис. 14.8. Схема расположения зубчатых колес коническоцилиндрического редуктора

южно ближе к этой шестерне. Если диаметр d_{e1} конической шестерни юльше, чем $d_2 = d_a + 2h$, т. е. суммы диаметра вала под подшипник и вобходимых для него заплечиков, то расстояние a от середины шестерни во первого подшипника можно определять по формуле

$$a \approx 0.5 \{b_n + [d_{e1} - (d_n + 2h)] \operatorname{tg} \delta_1 + b \cos \delta_1 \},$$
 (14.2)

'де b_n — ширина подшипника; b — ширина зубчатого венца конической шестерни, а δ_1 — угол ее делительного конуса.

Таким образом, для отыскания положения подпинников конической пестерни необходимо знать их размеры. Поэтому сначала определяют диаметр вала $d_{\rm r}$ (рис. 14.9) по формуле (9.1) и согласуют его с диаметром вала электродвигателя (см. с. 242). Затем на рассматриваемом валу предусматривается ступень d_1 под манжетное уплотнение (рис. 14.9, a). Во многих случаях $d_1 = d_{\rm r}$, как это показано на рис. 14.9, δ .

Подшинники на валу конической шестерни должны быть закреплены с помощью круглой гайки (см. рис. 20.7). С этой целью предусматривают резьбовой участок d_p , размер которого согласуется с имеющимися круглыми гайками (ГОСТ 11871 — 80 [3]). Резьба при этом подбирается мелкая, таким образом, чтобы внутренний ее диаметр был больше d_1 (или d_m если ступень под ушлотнение на валу отсутствует), а наружный диаметр меньше диаметра под подшипник.

По диаметру d_n из каталога [4, 44] подбирают радиально-упорные шариковые или роликовые подшипники средней серии. Назначая размер заплечиков h, по формуле (14.2) рассчитывают размер a и находят положение центра первого подшипника вала конической шестерни. Положение второго подшипника этого вала определяют расстоянием c (рис. 14.9, a), величина которого должна удовлетворять условию $c/a \ge 2.5$.

При передаточном отношении конической пары $u \leq 3,5$ во многих случаях удается избежать консольного расположения конической шестерни. При этом со стороны внутреннего дополнительного конуса шестерни устанавливают роликовый подшипник, а со стороны внешнего дополнительного конуса — два радиально-упорных подшипника, предназначенных для восприятия радиальных и осевых нагрузок в коническом зацеплении. В ряде случаев вместо двух радиально-упорных подшипников целесообразна установка одного сдвоенного подшипника типа 236 000 или 336 000.

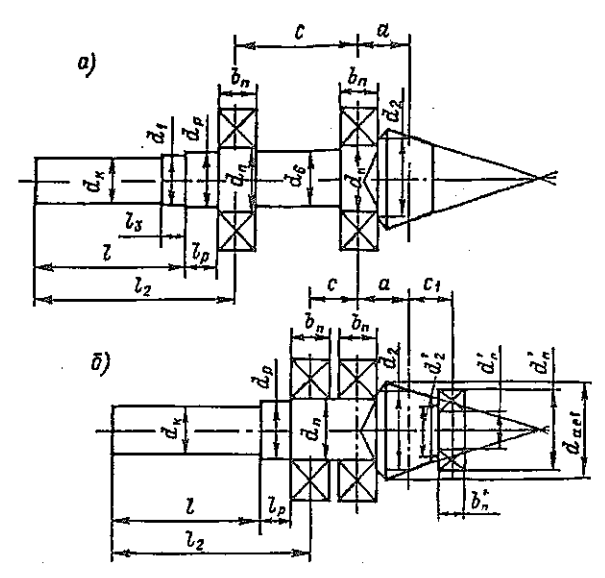


Рис. 14.9. Компоновка вала конической шестерни

Положение подшипников конической шестерни определяют следующи образом (рис. 14.9, б). Размер а рассчитывается по формуле (14.2), ра стояние $c = b_0 + (5 \div 8)$ мм. Положение подшипника со стороны внутреннег дополнительного конуса определяется отрезком $c_1 \approx c$. Размеры этого по, шипника выбирают в зависимости от диаметра делительной окружност конической шестерни на внутреннем дополнительном конусе: d'_{e1} $= (1 - K_{be}) m_{te} z_1$ (где $K_{be} = b/R_e$ — относительная ширина конических колес Для обеспечения возможности установки конической вал-шестерни в сбот с подшипниками наружный диаметр радиального подшипника D_n' не доз жен превосходить размера d_{ac1} шестерни. Нарезание зубьев на коническо шестерне возможно в том случае, когда образующие конуса впадин н пересекают участок вала $d'_n \times b'_n$. Руководствуясь этими указаниями, пре изводится подборка роликового подшипника [4, 44]. При определени линейных размеров вала конической шестерни используют следующи соотношения: $l_2 = (3 \div 3,5) d_{\rm K}$; $l_3 = (0,4 \div 0,7) d_1$; $l_p = (0,2 \div 0,4) d_{\rm C}$. Диамет участка вала между подшипниками d_6 (рис. 14.9, a) назначают на 1 – 2 мм меньше диаметра d_n .

Компоновка промежуточного вала коническо-цилиндрического редуктора производится в той же последовательности и с использованием тех же соотношений, что и компоновка промежуточного вала цилиндри ческого редуктора. При этом диаметр подступичной части конического колеса определяют по формуле (с. 166), а длина его ступицы (рис. 14.10 $l_{\rm cr} \approx (0.8 \div 1.5) \, d_5$. Конструирование тихоходного вала коническо-цилиндрического редуктора не отличается от конструирования тихоходного вала цилиндрического редуктора, изложенного на с. 244.

На рис. 14.10 сплошными тонкими линиями показаны очертания корпуса редуктора. Вопросы конструирования корпусов, тел зубчатых колес, подшипниковых узлов изложены в гл. 16—18.

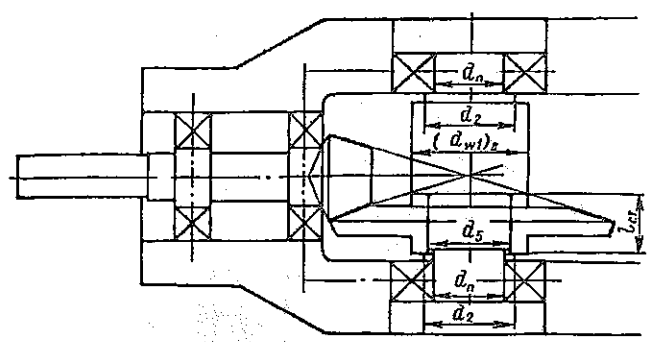


Рис. 14.10. Компоновка промежуточного вала коническоцилиндрического редуктора

Червячные редукторы. Изобразив контуры червячного колеса, задаются расстоянием между подшипниками червяка $L\approx d_{aM2}$, где d_{aM2} — наружный диаметр червячного колеса (рис. 14.11). Если для длительно работающей передачи расстояние $L\leqslant 350$ мм, то обычно применяется конструкция с двумя радиально-упорными подшипниками, устанавливаемыми по разные стороны червяка (рис. 14.11, a). В противном случае два радиально-упорных подшипника (или один сдвоенный подшипник) устанавливаются с одной стороны червяка, с другой монтируется радиальный подшипник, имеющий возможность свободного перемещения вдоль оси червяка вместе с его валом (рис. 14.11, δ и рис. 20.17). С целью уменьшения потерь на трение в опорах червяка предпочтение следует отдавать подшипникам с большим углом контакта ($\alpha > 20^{\circ}$).

При известной длине L рассчитывают реакции в опорах и подбирают подшипники червяка в соответствии с указаниями гл. 10. С целью унификации и упрощения технологии изготовления корпуса редуктора подшипники червяка выбирают одного типоразмера при схеме компоновки по рис. 14.11, a или с одним диаметральным габаритным размером при компоновке по схеме рис. 14.11, b. В зависимости от выбранного типа подшипника назначаются размеры d_n , исходя из значений которых производят дальнейшее конструирование вала червяка (рис. 14.11). При этом $d_2 = d_n + 2h$, где h — высота заплечиков, определяемая выбранными подшипниками; d_k рассчитывают по формуле (9.1), а диаметр d_1 увязывают с существующими уплотнительными устройствами (допускается принимать $d_1 = d_k$ или $d_1 = d_n$).

В процессе компоновки возможно изменение первоначально принятого значения L, которое определяется минимально допустимым зазором g между корпусом и колесом и толщиной края бобышки c (рис. 14.11). Зазор $g=(0,03\div0,04)\,a_w+(2\div4)$ мм при $a_w>100$ мм и $g=6\div8$ мм при $a_w\leqslant 100$ мм; толщина края бобышки $c=5\div8$ мм. Затем находят следующие размеры вала из соотношений $l_2\approx (3\div3,5)\,d_{\rm K},\,l_3\approx (0,4\div0,7)\,d_1$. Расстояние между радиально-упорными подшипниками на схеме 14.11, b0 $b\approx b_{\rm n}+(2\div5)$ мм, где $b_{\rm n}-$ ширина радиально-упорного подшипника. Диаметр резьбового участка вала $d_{\rm p}$ (рис. 14.11, b0), предназначенного для установки круглой гайки, фиксирующей положение радиально-упорных подшипников (или сдвоенного подшипника) на валу, назначают несколько

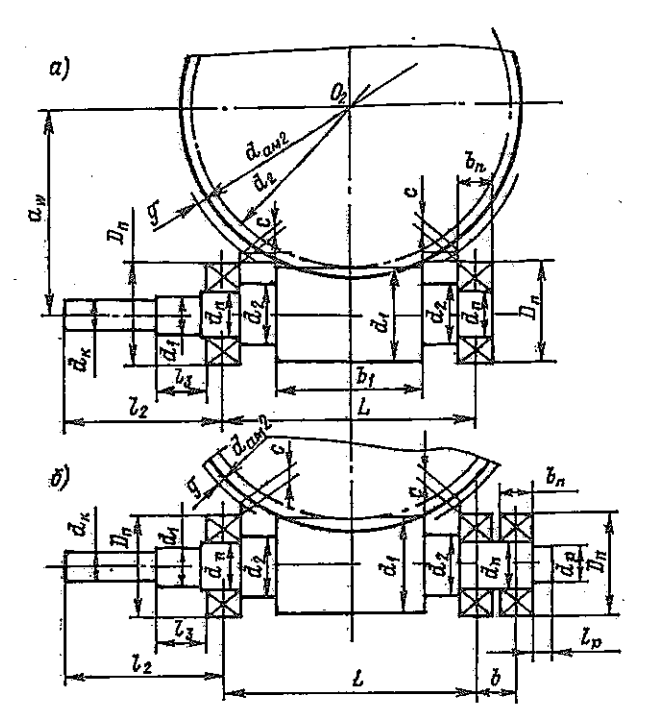


Рис. 14.11. Компоновка вала червяка

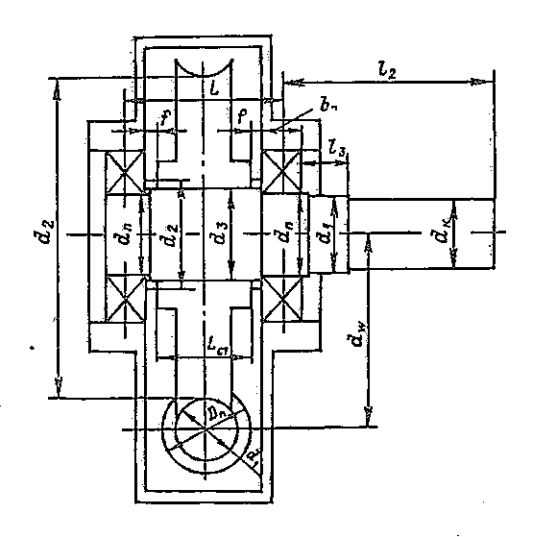


Рис. 14.12. Компоновка вала червячного колеса

меньше диаметра $d_{\rm n}$ и согласуют с существующими круглыми гайками [3]. Длина резьбового участка $l_{\rm p} = (0.2 \div 0.4) \, d_{\rm p}$.

Компоновку вала червячного колеса червячно-цилиндрических редукторов производят по аналогии с компоновкой промежуточного вала цилиндрических редукторов. Для одноступенчатых червячных редукторов вал червячного колеса проектируют так же, как и тихоходные валы цилиндрических редукторов. При этом длина ступицы червячного колеса $L_{\rm cr} = (0.9 \div 1.1) \, d_3$ (рис. 14.12), а расстояние между ступицей и подшипниками обычно не превышает $f = 5 \div 8$ мм. На рис. 14.12 тонкими сплошными линиями показано очертание корпуса червячного редуктора. Вопросы конструирования корпусов, крышек, червячных колес и подшипниковых узлов изложены в гл. 16, 17, 18.

§ 14.2. Компоновка планетарных передач

Ниже рассмотрены вопросы, относящиеся к размещению опор звеньев, вращающихся вокруг основной оси планетарной передачи, и особенностям проектирования плавающих (безопорных) звеньев (см. с. 286).

Необходимым условием для рационального использования возможностей планетарной передачи в отношении массы и габаритных размеров является обеспечение удовлетворительного распределения нагрузки между сателлитами, оцениваемого величиной коэффициента Ω (см. с. 113). Следует стремиться к выполнению условия $\Omega \le 1,1 \div 1,3$. Конструкция передачи в значительной степени определяется способом достижения указанных значений О. Одним из наиболее распространенных способов является использование плавающих основных звеньев (см. рис. 6.5-6.7 и рис, 14.13-14.15). Плавающим может быть центральное колесо или водило либо одновременно два основных звена. Этот конструктивный прием обеспечивает удовлетворительное распределение нагрузки между сателлитами без предъявления особых требований к точности и жесткости элементов передачи и ее загруженности, но только при числе сателлитов $n_w = 3$. В передачах с $n_w > 3$ конечные результаты использования указанного приема в большой степени зависят от точности изготовления параметров, характеризующих жесткость конструкции, а также от степени загруженности передачи.

Для создания эффекта «плавания» основных звеньев обычно используют зубчатые муфты (см. рис. 6.7), что во многих случаях связано с усложнением конструкции планетарной передачи и увеличением ее осевого габаритного размера.

Другие способы выравнивания нагрузки между сателлитами основаны на принципах, которые можно пояснить с помощью (6.9). Из этой зависимости следует, что численное значение коэффициента Ω снижается

с увеличением точности (снижением $\sum_{i=1}^k \Delta_i$), загруженности передачи (увеличением $\sum_{i=1}^k F_{ni}$) и снижением жесткости (коэффициент C).

Использование указанных выше способов распределения нагрузки между сателлитами рассмотрим на примерах некоторых компоновочных схем.

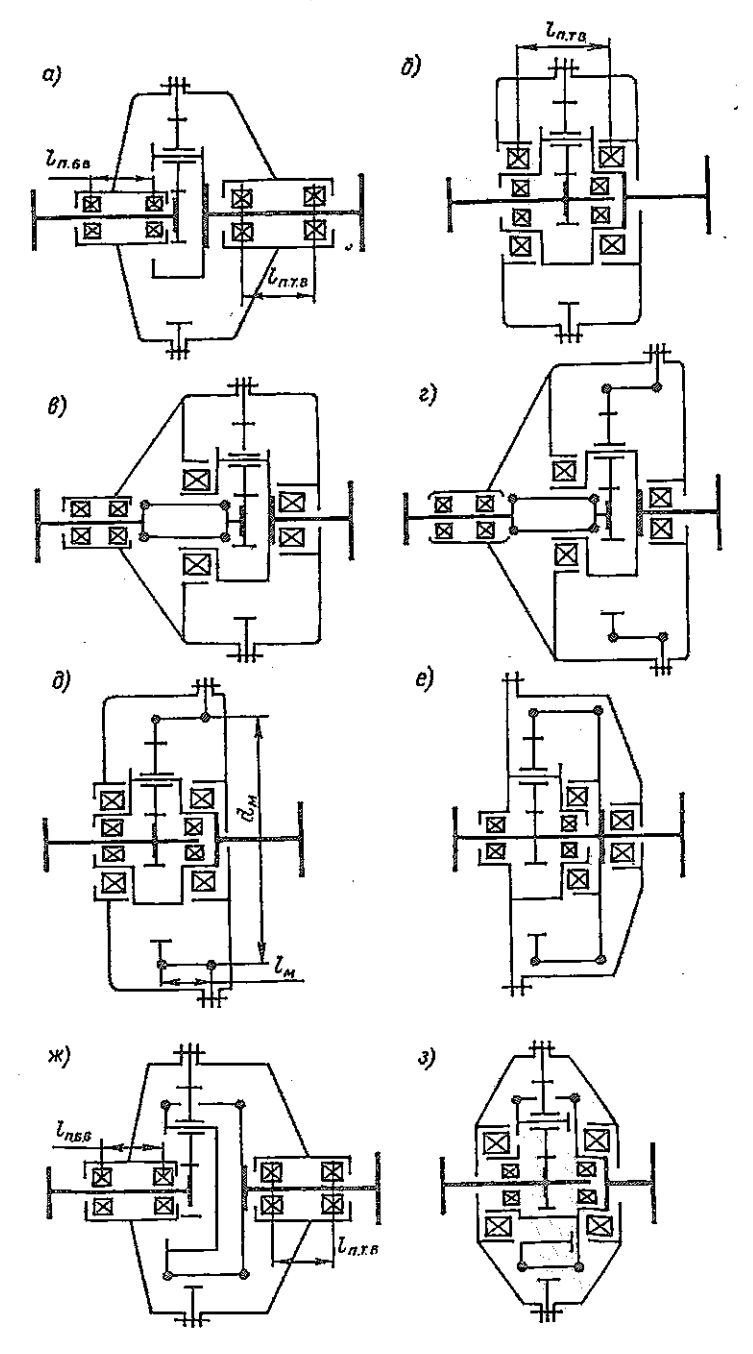


Рис. 14.13. Компоновочные схемы одноступенчатых редукторов с планетарными передачами 2k-h, тип A

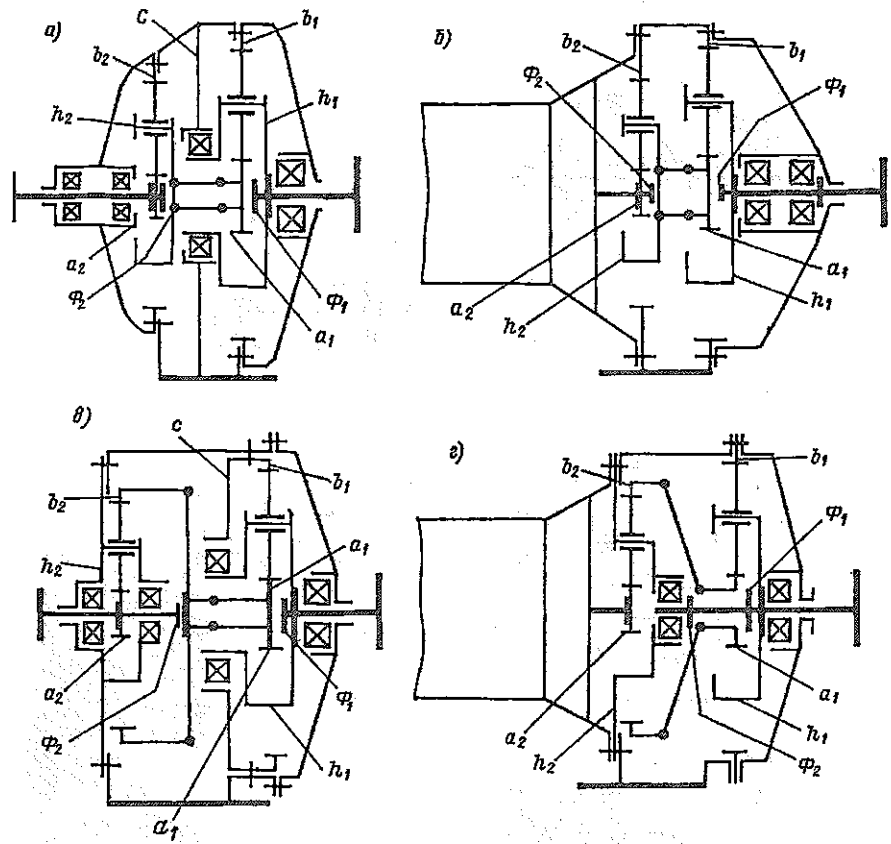


Рис. 14.14. Компоновочные схемы одноступенчатых планетарных редукторов и мотор-редукторов, выполненных по последовательным схемам: a, b – по схеме $A_{h_1a_1}^{b_1}A_{h_2a_2}^{h_2}$; a, a – по схеме $A_{h_1a_1}^{b_1}A_{h_2a_2}^{h_2}$

Редукторы с планетарными передачами 2k-h типа A. На рис. 14.13, a, b показаны компоновочные схемы передач, в которых нет плавающих звеньев и не предусмотрены специальные меры к увеличению податливости конструкции. Поэтому получение приемлемого значения Ω возможно только при высокой точности или высокой точности в сочетании с высокой степенью загруженности.

Значение суммы $\sum_{i=1}^k F_{ni}$ увеличивается с ростом действующих контактных и изгибных напряжений на зубьях и передаваемого момента. Кроме того, значение $\sum_{i=1}^k F_{ni}$ при проектировочном расчете растет при уменьшении эквивалентного времени K_{HL} (с. 38, 53). Таким образом, использование конструкций с неплавающими основными звеньями при отсутствии специальных мер, направленных на снижение коэффициента C [см. формулу (6.9)], особенно эффективно для передач кратковременного действия.

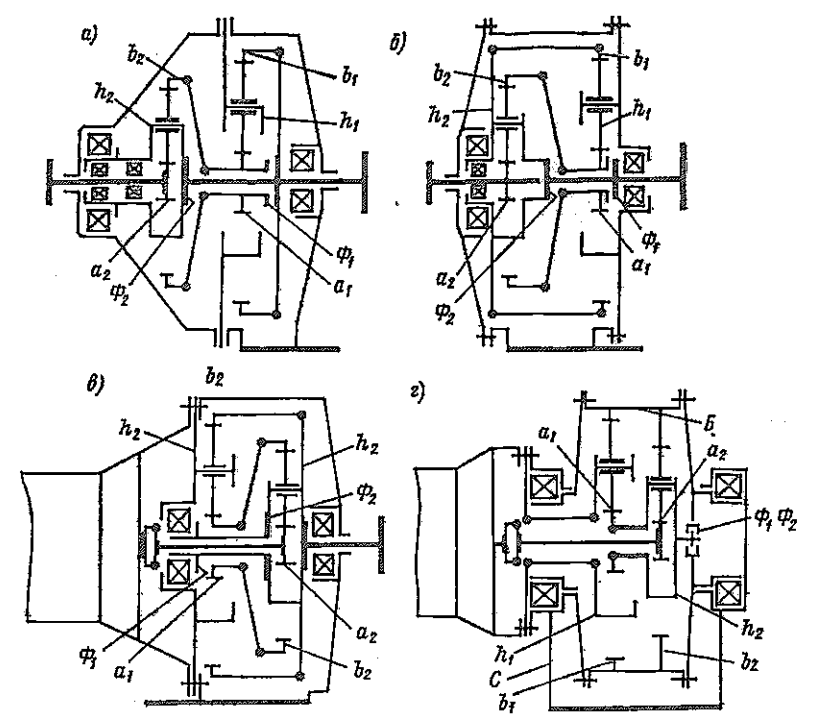


Рис. 14.15. Компоновочные схемы редукторов, мотор-редуктора и мотор-барабана, выполненных по замкнутым схемам: a, b, a — по схеме $(AA)_{(b,b,)a}^{h_1}$; z — по схеме $(AA)_{(b,b,)a}^{h_2}$,

В передачах, показанных на рис. 14.13, a, b центральное колесо b жестко соединено с корпусом или выполнено за одно целое с одной из его частей (крепление колеса b на этих и последующих рисунках показано условно). В схеме на рис. 14.13, a центральное колесо a и водило b консольные. К недостаткам этой компоновки относится увеличенный осевой габаритный размер редуктора в связи с необходимостью иметь достаточно большое расстояние между опорами валов звеньев a и b. При малом размере l_{n0b} или $l_{n\tau b}$ перекос в опорах при действии на вал водила внешней поперечной силы вызывает увеличение неравномерности распределения нагрузок в зацеплениях (по ширине зубчатых венцов и между сателлитами). Для уменьшения отрицательного влияния перекоса входной и выходной валы устанавливают на радиально-упорных подшипниках без люфтов или с натягом.

Предпочтительны, по крайней мере для тихоходного вала, роликоподшипники и вариант их установки, показанный на рис. 10.9, г, обеспечивающий при данном расстоянии между подшипниками снижение нагрузки на опоры и угла перекоса по сравнению с вариантом, показанным на рис. 10.9, б. Это замечание относительно опор консольно распоноженных основных звеньев относится и к другим вариантам передач (см., например, рис. 14.13, ж, 14.14, б). В схеме, приведенной на рис. 14.13, δ , опоры звеньев a и h расположены по разные стороны зубчатых венцов (размер $l_{\text{птв}}$ больше, чем на рис. 14.13, a). В результате существенно снижаются осевой габаритный размер, нагрузки на опоры от действия поперечных сил и перекосы валов.

В остальных схемах, показанных на рис. 14.13, имеются плавающие основные звенья, однако эффективность отдельных конструктивных решений, как будет отмечено ниже, неодинакова.

Использование в качестве плавающего звена центрального колеса *а* требует для его размещения значительного осевого габаритного размера (рис. 14.13, в), что, как правило, нежелательно в одноступенчатых редукторах, но без ущерба может быть использовано во встроенных конструкциях и в многоступенчатых редукторах, составленных из передач *A*.

На рис. 14.13, d показана компоновочная схема, в которой выравнивание нагрузки между сателлитами может достигаться за счет снижения коэффициента C [см. формулу (6.9)], благодаря обеспечению необходимой податливости обода центрального колеса b (с. 288). Для передачи момента от центрального колеса b использована двойная зубчатая муфта, в результате чего это колесо и является плавающим. Но в связи с необходимостью назначения малой величины отношения $l_{\rm m}/d_{\rm m}$ (вызванного целесообразностью ограничения осевого габаритного размера передачи) в данном случае роль самой муфты в процессе выравнивания нагрузки между сателлитами незначительна.

С уменьшением толщины обода плавающего центрального колеса b снижается величина уномянутого выше коэффициента C, но при этом необходимо соблюдать ограничения, связанные с необходимостью обеспечения изгибной прочности обода [42]. В связи с этим для достижения требуемого значения Ω прибегают к повышению точности изготовления или к использованию второго плавающего звена, например центрального колеса a (рис. 14.13, z). Подобный вариант используется в передачах с $n_w \ge 3$.

Схемы с остановленным водилом используют в тех случаях, когда из-за высокой частоты вращения водила в других схемах передачи Aнагрузка от центробежных сил на опоры сателлита лимитирует несущую способность редуктора. Кроме того, с переходом от варианта передачи $c \omega_b = 0$ к варианту $c \omega_b = 0$ при заданном передаточном числе уменьщается параметр р и тем самым увеличивается диаметр сателлита, что может иметь существенное значение в тех случаях, когда размеры передачи определяются из работоспособности подшипников сателлитов. Неподвижное водило (рис. 14.13. е) целесообразно выполнить за одно целое с торцовой крышкой корпуса редуктора. Схеме с плавающим водилом (рис. 14.13, ж) свойственны недостатки, указанные при рассмотрении рис. 14.13. а. Эти недостатки отсутствуют в схеме, показанной рис. 14.13, з, где в звене, являющемся тихоходным валом редуктора. установлены опоры центрального колеса а и намного больше расстояние Іпп.

Рассмотренные выше варианты компоновки одноступенчатых редукторов используют для создания многоступенчатых редукторов и мотор-редукторов. Особенностью мотор-редукторов является применение электродвигателей фланцевого исполнения, крепящихся непосредственно на корпусе редуктора. Наименьший осевой габаритный размер возможен при электро-

двигателе с якорем, выполненным за одно целое с центральным колесов a (или с насаженным на него с натягом колесом a). В случае, когда кон струкция якоря или малый диаметр зубчатого колеса не позволяют и жестко соединить друг с другом, применяют плавающее центрально колесо a.

В многоступенчатых редукторах следует стремиться (без ущерба дл. надежности) к минимальному числу опор и соединительных муфт плаваю щих звеньев, упрощать конструкцию корпуса.

Для достижения большей независимости перемещений соединенных другом плавающих звеньев соседних ступеней обычно целесообразной использовать соединительные муфты с двумя зубчатыми сочленениями например, для соединения водила h_2 и центрального колеса a (рис. 14.14, a) или для соединения центральных колес b_2 и a (рис. 14.14, z). Если же расстояние между зубчатым венцом плавающего центрального колеса и соединяемым с ним валом достаточно велико то допустимо использовать муфту лишь с одним зубчатым сочленением например, для центрального колеса a_2 в схемах, приведенных на рис. 14.15, a, z.

В отдельных случаях удается упростить конструкцию редуктора путем использования не одного, а двух плавающих звеньев, например, в тихоходной ступени схем, показанных на рис. 14.15, 6, e. В многоступенчатых редукторах необходимо предусмотреть дополнительные фиксирующих устройства Φ_1 , Φ_2 , ограничивающие в обе стороны осевые перемещения соединенных друг с другом плавающих звеньев соседних ступеней (рис. 14.14, 14.15).

В схемах, показанных на рис. 14.14, a, b, имеется внутренняя стенка корпуса C. Для уменьшения ее размеров целесообразно использовать размещаемый в ней подшипник по возможности наиболее легкой серии (если на тихоходный вал редуктора действует внешняя поперечная сила, то значительная ее часть воспринимается подшипником, размещенным не в стенке C, а в торцовой крышке корпуса). Отъемную внутреннюю стенку корпуса C можно выполнить за одно целое с невращающимся центральным колесом b_1 (рис. 14.14, e). При консольной установке водила на опорах подшипников (рис. 14.14, e) можно исключить внутреннюю стенку корпуса (ср. с рис. 14.14, a). Необходимость внутренней стенки корпуса исключена и в схеме, приведенной на рис. 14.14, e, где остановленное водило h_2 использовано для размещения опоры водила h_1 .

Редукторы по распространенной в промышленности кинематической схеме замкнутой передачи (схема 3 в табл. 6.2) могут быть осуществлены с разной компоновкой. В авиационных приводах используется вариант, показанный на рис. 14.15, a. В стационарных приводах встречается вариант, приведенный на рис. 14.15, b, отличающийся меньшим осевым габаритным размером благодаря изменению места закрепления водила b1 на корпусе редуктора. Однако при этом усложняется муфта плавающего центрального колеса b1. Для использования в составе мотор-редуктора удобна компоновка той же замкнутой схемы по варианту, представленному на рис. 14.15, b1, имеющему минимальное число опорных подшипников.

Особенностью компоновки замкнутой передачи по схеме 4 табл. 6.2, показанной на рис. 14.15, г, является то, что редуктор встроен во вращаю-

цийся барабан E. Этот барабан эдновременно служит и ведомым элементом (соответствующим тисоходному валу), и корпусом резуктора, а реактивный момент невращающегося водила h_1 передается на стойку C мотор-барабана.

Для редукторов с тремя и более ступенями сохраняются те же принципы компоновки, что и рассмотренные здесь применительно к редукторам с двумя ступенями. При конструировании следует обратить внимание на то, что компоновки как с избыточным

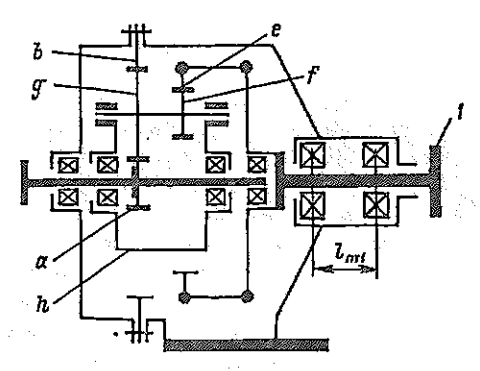


Рис. 14.16. Компоновочная схема редуктора по схеме 3k

количеством опор, так и с излишней свободой плавающих звеньев могут явиться причиной снижения надежности редуктора. Неработоспособны следующие варианты: с тремя плавающими звеньями в одной ступени; с самоустанавливающимися опорами сателлитов в ступени, где использовано два плавающих звена; с входными валами, установленными на одной опоре.

Редукторы с планетарными передачами 3k. Для передач 3k с числом сателлитов $n_w=3$ (см. схему 6 в табл. 6.1, с $z_b>z_e$) получила распространение компоновка, в которой центральное колесо e выполнено плавающим, колесо b жестко соединено с корпусом (рис. 14.16). Вал колеса a обычно вращается на двух опорах, одна из которых расположена в корпусе, а вторая — во внутреннем отверстии тихоходного вала редуктора 1. Водило h, не воспринимающее внешнюю нагрузку, часто устанавливают на валу центрального колеса a. Расстояние l_{m1} между опорами вала 1 не должно назначаться малым во избежание перекоса самого вала (и, как следствие, отрицательного влияния перекоса на плавающее колесо e) под действием внешних поперечных сил со стороны муфты, соединяющей редуктор с исполнительным механизмом.

Глава 15

ПРАВИЛА ОФОРМЛЕНИЯ УЧЕБНОГО ПРОЕКТА § 15.1. Этапы проектирования

Этапы выполнения работ и стадии разработки конструкторских документов на изделие, разрабатываемое в курсовом проекте, должны соответствовать ГОСТ 2.103—68* (СТ СЭВ 208—75). Конструкторские документы в зависимости от стадии разработки подразделяются на проектные (техническое задание, техническое предложение, эскизный проект, технический проект) и рабочие (рабочая документация).

Примечание. При учебном проектировании объем и содержание этапов курсового проекта на различных стадиях разработки конструкторских документов находятся в прямой зависимости от количества часов, отведенных на выполнение курсового проекта, и обычно устанавливаются инструкцией или методическим пособнем на выполнение курсового проекта.

§ 15.2. Оформление рабочей документации

Правила промышленного проектирования и оформления рабочей д кументации, предусмотренные стандартами ЕСКД, при учебном проект ровании применяются в сокращенном виде и с некоторыми отклонениям Например, техническое задание на проектирование, пояснительная записи расчеты объединяют в один документ, называемый «Расчетно-поясы тельная записка»; рабочие чертежи выполняют только на часть ориги нальных деталей, а спецификацию составляют на все детали сборочие единицы; чертежи габаритный и монтажный объединяют с чертежам общего вида изделия (привода).

Все конструкторские документы оформляют на листах установленног формата (ГОСТ 2.301-68*). На каждом листе документа помещают основную надпись, форма и размеры которой должны соответствовать ГОС 2.104-68* (СТ СЭВ 140-74, СТ СЭВ 365-76) (форма 1 для чертеже и форма 2 и 2a для текстовых документов).

Содержание некоторых граф основных надписей по ГОСТ 2.104—68 (СТ СЭВ 140—74, СТ СЭВ 365—76) для учебного проекта теряет сво значение. Поэтому для чертежей и схем рекомендуется основная надписноказанная на рис. 15.1; для заглавных листов текстовых документо (расчетно-пояснительной записки и спецификации)— основная надписнизображенная на с. 263, для последующих листов текстовых документов на с. 265.

Обозначение конструкторских документов. Для учебных проектов реко мендуется следующая структурная схема обозначения конструкторский документов:



Применительно к курсовому проекту кодом учебного документа является сочетание букв КП.

Код конструкторского документа состоит из четырех цифр. Первыми двумя цифрами слева обозначается номер задания, двумя другими — номер варианта задания. Например, для курсового проекта задания № 5 и варианта № 12 конструкторский документ имеет обозначение КП.0512.000.000. Этот номер присваивается чертежу привода (общего вида).

Номер сборочной единицы состоит из трех цифр. Первой слева инфрой после обозначения номера и варианта от 1 до 9 обозначают номера сборочных единиц, входящих в специфицируемое изделие КП.0512.000.000 СБ. Например, сборочная единица 1 (релуктор) будет

иметь обозначение КП.0512.100.000. Второй цифрой от 1 до 9 обозначают борочные единицы, входящие в специфицируемое изделие, обозначенные тервой пифрой. Например, сборочная единица 3 (водило в сборе), входящая в специфицируемое изделие КП.0512.100.000 СБ, будет иметь обозначение КП.0512.130.000. Третьей цифрой от 1 до 9 обозначают сборочные единицы, входящие в специфицируемые изделия, обозначенные первыми двумя цифрами. Например, сборочная единица 2 (водило сварное), входящая в специфицируемое изделие КП.0512.130.000 СБ, будет иметь обозначение КП.0512.132.000.

Порядковые номера деталей обозначают тремя цифрами. Например, деталь 51 (колесо зубчатое), входящая в специфицируемое изделие КП.0512.100.000 СБ, будет иметь обозначение КП.0512.100.051.

Учебные документы, относящиеся к специфицируемым изделиям (сборочные чертежи, схемы, расчетно-пояснительная записка, спецификация), имеют обозначения, одинаковые с обозначениями специфицируемых сборочных единиц с добавлением в конце обозначения шифра документа СБ, СХ, ПЗ и СП соответственно для сборочного чертежа, схемы, расчетно-пояснительной записки и спецификации. Например, расчетно-пояснительная записка для рассмотренного выше примера будет иметь следующее обозначение: КП.0512.000.000 ПЗ.

Графическое оформление чертежей сборочных единиц. При учебном проектировании не рекомендуются упрощения изображения деталей и сборочных единиц, иногда допускаемые в чертежах реальных проектов. Например, при вычерчивании обычных резьбовых соединений следует показывать зазор между стержнем болта (шпильки) и отверстием детали, запасы нарезки резьбы и глубину сверления (см. рис. 20.13). На чертеже сборочной единицы должны быть показаны конструктивные элементы деталей — канавки для выхода инструмента (резца, шлифовального камия, долбяка и др.). Исключением является оформление чертежа привода, на котором сборочные единицы и детали изделия изображают упрощенно, но четко, чтобы чертеж легко воспринимался.

На чертеже сборочной единицы из группы одинаковых резьбовых соединений, используемых для крепления какой-либо детали (например, для крепления крышки к корпусу редуктора), или на чертеже привода для крепления сборочной единицы (например, для крепления редуктора) к плите (раме) допускается вычерчивать только одно резьбовое соединение, а положение остальных показывают осевыми линиями.

Конструктивную разработку, как правило, выполняют в натуральную величину. Если общие габаритные размеры сборочной единицы вынуждают вычерчивать ее в масштабе уменьшения, то основные места (узлы) конструкции прорабатывают в масштабе 1:1 с помощью разрезов, сечений и т. д.

Нанесение размеров на чертежах сборочных единии. На чертежах сборочных единии наносят следующие размеры: габаритные, присоединительные, посадочные, входящие в состав размерных цепей и справочные.

Габаритные размеры необходимы для определения размеров места установки изделия, транспортировки и изготовления тары. К этим размерам относятся: ширина, длина и высота изделия.

Присоединительные размеры необходимы для установки изделия на месте монтажа и определения размеров и места положения

элементов, к которым присоединяется данное изделие. К этим размерам относятся: диаметры и длины выступающих концов валов; размеры шпонов или шлицев; расстояния от упорных буртиков валов до центров отверстий, предназначенных для крепления изделия к плите (раме); диаметры и координаты этих отверстий; расстояния от осей валов до базовых плоскостей; размеры базовых плоскостей (см. рис. 20.13). К присоединительным относятся и такие параметры, как модуль и число зубьев зубчатого колеса, шаг и число зубьев звездочки, если они служат элементами внешней связи для данной сборочной единицы и др.

Посадочные размеры определяют характер сопряжений. Например, диаметры и посадки на валах зубчатых и червячных колес, шкивов, муфт, подшишников, стаканов и др.

Размеры, входящие в состав размерных цепей, наносят на чертеже в случаях, когда необходимо определить предельные размеры (или отклонения) замыкающего звена по данным предельным размерам составляющих звеньев или определить предельные размеры составляющих звеньев по заданным предельным размерам замыкающего звена. Методы расчета плоских размерных цепей приведены в ГОСТ 16319—80 и ГОСТ 16320—80.

Размеры для справок, например, наносят для указания крайних положений подвижных частей изделия (рукояток управления и переключения), наибольшего и наименьшего уровней масла и др.

Технические требования. В зависимости от вида сборочной единицы и ее назначения технические требования могут быть самыми разнообразными. Наиболее часто встречаются следующие требования.

1. Требования к сборке. Указывают регулировочные зазоры между торцами подшипников (если они необходимы и не указаны на чертеже); способ уплотнения плоскости разъема (например: «Плоскость разъема покрыть герметиком при окончательной сборке»); указания о дополнительной обработке деталей при сборке (например: «Развальцевать», «Отогнуть», «Приварить» и др.).

При учебном проектировании чертеж общего вида изделия объединяется с монтажным чертежом, поэтому указываются требования к точности монтажа сборочных единиц (допускаемые радиальные, угловые и осевые смещения валов и др. — рис. 15.1).

2. Требования по отделке. Например, по окраске изделия в сборе с указанием сорта и цвета краски: «Необработанные наружные поверхности

редуктора покрыть серой эмалью
$$\frac{\Gamma p.\Gamma \varphi$$
-020}{ЭМ.П Φ -133, серая IVA ».

3. Требования к эксплуатации. При необходимости указывают сроки замены подшилников, смены смазки и др.

Пункты технических требований должны иметь сквозную нумерацию. Каждый пункт технических требований записывают с красной строки.

Текстовую часть технических требований размещают только на первом листе независимо от того, на скольких листах изображен чертеж данного изделия и на каких листах находятся изображения, к которым относятся указания, приведенные в текстовой части. При этом текстовую

Рис. 15.1. Чертеж привода

часть располагают на поле чертежа над основной надписью в виде колонь шириной не более ширины основной надписи.

Для учебных проектов технические требования на чертежах детале и сборочных единиц излагают, группируя вместе однородные и близки по своему характеру требования по возможности в следующей последс вательности:

- 1) требования, предъявляемые к материалу, заготовке и термическо обработке детали;
- 2) требования к качеству поверхностей деталей, указания об их отделж покрытии;
- 3) размеры, предельные отклонения размеров, отклонения формы взаимного расположения поверхностей;
- 4) зазоры, расположение отдельных элементов конструкции; требования предъявляемые к регулировке элементов изделия;
- 5) другие требования к качеству изделий, например бесшумность самоторможение и т. д.

Например, на чертеже общего вида редуктора, представленного на рис. 20.13, могут быть указаны следующие технические требования.

- 1. Осевую игру радиально-упорных роликоподшипников 80 обеспечит в пределах 0...0,05 мм подгонкой детали 26, радиальных шарикоподшип ников 82 вала центрального колеса в пределах 0,5...0,7 мм подгонкой деталей 24, 25, шарикоподшипников 83 в пределах 0,2...0,4 мм подгонкой детали 27.
- 2. Валы собранного редуктора должны проворачиваться от руки плавно без заеданий.
- 3. Сопряженные поверхности корпуса и крышек покрыть тонким слоем герметика ВГК-18 № 2 МРТУ 07-6012-63.
 - 4. Необработанные наружные поверхности редуктора покрыть серой

эмалью: $\frac{\Gamma p.\Gamma \Phi - 20}{\Im M.\Pi \Phi - 133, \ cepan \ IV \ A}$.

- 5. Количество заливаемого в редуктор масла 10,5 л.
- 6. Редуктор обкатать без нагрузки при частоте вращения быстроходного вала $n_5 = 3000 \text{ мин}^{-1}$ в течение 3 ч.

Техническая характеристика. Техническая характеристика расширяет сведения о конструкции сборочной единицы. Например, на чертеже редуктора или другой передачи указывают: общее передаточное число, скорость вращения тихоходного вала, наибольший крутящий момент на этом валу, геометрические параметры зубчатых передач и др. На чертеже привода указывают действующие нагрузки (моменты) и скорости движения или передаваемую мощность и др.

Техническую характеристику размещают на свободном поле чертежа отдельно от технических требований, с самостоятельной нумерацией пунктов и снабжают заголовком «Техническая характеристика». Заголовок не подчеркивают.

Спецификации. Форму и порядок заполнения спецификации на изделие устанавливает ГОСТ 2.108-68* (СТ СЭВ 2516-80).

Спецификацию составляют на отдельных листах. Форма листов и основные надписи на них показаны на с. 263 – 265.

Пример оформления спецификации на привод (см. рис. 15.1)

Формат	Зона	Поз.	Обозначение	Наименование	Кол.	При- меча- ине
			КП.0512.000.000 СБ КП.0512.000.000 ПЗ	1		
		1 2	KIT.0512.100.000 KIT.0512.200.000	Сборочные единицы Редуктор Кожух	1	
		6	КП.0512.000,001	<u>Детали</u> Прокладка	4	
		7	КП.0512.000.002	Основание Стандартные изделия	I	
		13 14	,	Болты ГОСТ 7808 - 70*: M10 × 45.56.05 M30 × 110.56.05	8	
		20 21		Шайбы ГОСТ 6402 — 70*; 10.65Г.06 30.65Г.06	8 4	
	,	27 28		Муфта М3-6 ГОСТ 5006-55* Муфта упругая вту- лочно-пальцевая 125-28-1	1	
		30		УЗ ГОСТ 21424-75* Двигатель 4A100S2УЗ ГОСТ 19523-81	1	
		эмилия	і Подпись Дата	КП.0512.000.000 CF	I	
Студент Руковод. Консульт	_			Лит. Ј У	Інет Ј	liicros 1

Пример оформления спецификации на редуктор (см. рис. 20.13)

Формат	Зона	Поз.	Обозначение	Наименование	Кол.	При- меча- нис
				Документация		
			КП.0512.100.000 СБ	Сборочный чертеж		
				Сборочные единицы		
				Соорочные сданицы	,	1
		I	КП.0512.110.000	Отдушина	1	
				Детали		
		5	КП.0512.100.001	Муфта соединительная	1	
		6	КП.0512.100.002	Корпус	1	
		7	KII.0512.100.003	Колесо зубчатое	1	
1		8	КП.0512.100.004	Колесо зубчатое	1	
}		9	КП.0512.100.005	Сателлит	3	
j		10	КП.0512.100.006	Колесо зубчатое	1	
-		37	КП.0512.100.033	Прокладка	2	
7				Стандартные изделия		
				Болты ГОСТ 7808 – 70*:		
		45		M10 × 30.56.05	12	
	1	46		M12.30.56.05	2	
ļ		49		Винты ГОСТ 11738 – 72:		
		50		M8 × 20.56.05	6	
		51		M10 × 35.56.05*	12	
			,	· · · · · · · · · · · · · · · · · · ·		· <u>·</u>
	Т.	Фамили	я Подпись Дата	КП.0512.100.000 C	U.	
Сгудент		- +		Лит.	Лист	Листон
Руковол	_			y I	1	2
Консуль				Редуктор		
				*		

			····	· · · · · · · · · · · · · · · · · · ·	,	, <u>.</u>
Формат	Зона	Поз.	Обозначение	Наименование	Кол.	Приме- чание
		55		Гайка M52×1,5·6H.8.05 ГОСТ 11871-80	I I	
		57 58		Шайба ГОСТ 6402-70*: 8.65Г.06 10.65Г.06	6 30	
		59		Шайба 52.01.05.ГОСТ 11872—80	1	
-		62 63		Шпонки СТ СЭВ 189 – 75: 8 × 7 × 50 16 × 10 × 36	1	
		64		28 × 16 × 110 Штифты ГОСТ 12207 – 79:	1	
	s. I	66 67 70		7031 — 0718 7031 — 0724 Кольцо Б40 ГОСТ	6	
		71		13942—68* Кольцо Б110 ГОСТ	1	
		72	:	13942 — 68 Кольцо Б80 ГОСТ 13943 — 68*	1	
	r dev Wille M	73	er 🙀	Кольцо Б100 ГОСТ 13943—68 ⁶ Манжеты ГОСТ 8752—79:	5	
	·	75 76		$ \begin{array}{r} 1 - 40 \times 60 - 3 \\ 1 - 110 \times 135 - 3 \end{array} $	1	
		80 81		Подшинник 7211 ГОСТ 333-79 Подшинник 42208 ГОСТ	6	
i wali			j Marian in sa	8328-75* Подшинники ГОСТ	2	
	: .7%.	82 83		8338 – 75: 211 222	4 2	
		85		Рым-болт М16 ГОСТ 4751—73*	1	
	L	<u>t:</u> -		КП 0512 100.000 СП		Лист
:				Alt.ooi.c.loo,aar Cii		2

Спецификация в общем случае состоит из разделов, наличие которых определяется составом специфицируемого изделия.

- В спецификацию вносят составные части, входящие в специфицируемое изделие, а также конструкторские документы, относящиеся к этому изделию и к его неспецифицируемым составным частям.

Виды изделий, рассматриваемые в учебных проектах, таковы, что в их структуре обычно отсутствуют комплексы и комплекты, поэтому спецификации в общем случае состоят из разделов, которые располагаются в следующей последовательности: 1) документация (чертеж общего вида¹, схемы, расчетно-пояснительная записка); 2) сборочные единицы (редуктор, сварная рама и др.); 3) детали; 4) стандартные изделия (крепежные изделия, подшипники и др.); 5) прочие изделия (изделия, примененные по каталогам, прейскурантам, техническим условиям, нормалям, за исключением стандартных изделий); 6) материалы (смазочные масла, прокладки, проволока и др.), кроме тех, количество которых не может быть определено конструктором по размерам элементов изделия. К таким материалам относятся: лаки, краски, смазки, клей, припой, электроды. Указание о применении этих материалов дают в технических требованиях на поле чертежа. Наименование каждого раздела указывают в виде заголовка в графе «Наименование» и подчеркивают.

Спецификацию сборочной единицы, выполненной на листе формата 11, допускается совмещать с чертежом сборочной единицы.

Порядок записи в спецификации стандартных изделий следующий.

В разделе «Стандартные изделия» записывают изделия по категориям стандартов: государственные стандарты; республиканские стандарты; отраслевые стандарты; стандарты предприятий.

В пределах каждой категории стандартов запись производят по однородным группам (например, крепежные изделия, подшипники качения и т. д.); в пределах каждой группы — в алфавитном порядке наименований изделий (например, болты, винты, гайки и т. д.); в пределах каждого наименования — в порядке возрастания обозначений стандартов, например, для болтов: ГОСТ 7795—70*; ГОСТ 7796—70*; ГОСТ 7805—70* и т. д.; в пределах каждого обозначения стандарта — в порядке возрастания основных параметров или размеров изделия.

Пример составления спецификации на привод (см. рис. 15.1) приведен на с. 263, а на сборочную единицу (см. рис. 20.13), входящую в данное изделие, — на с. 264-265.

Расчетно-пояснительная записка. При учебном проектировании техническое задание, пояснительная записка и расчеты объединяются в один документ, называемый «Расчетно-пояснительная записка», поэтому она должна содержать: 1) техническое задание; 2) описание устройства и назначение привода; 3) описание взаимодействия частей привода и последовательности сборки и разборки отдельных устройств, сборки и регулировки конических и червячных зацеплений, регулировки подшипников качения, а также выбор посадок колец подшипника; 4) расчеты; 5) выбор

¹ В учебном проекте чертеж общего вида специфицируемого изделия объединяется со сборочным, габаритным и монтажным чертежом, поэтому он включается в раздел «Документация».

сорта масла и системы смазки зацеплений и подшипников; 6) список литературы; 7) содержание.

Содержаты: 1) кинематические и энергетические расчеты (определение КПД привода, выбор электродвигателя, определение общего передаточного отношения привода и разбивка его между отдельными передачами и внутри каждой из них, определение частот вращения валов привода, вращающих моментов и т. п.); 2) расчеты на прочность дегалей привода: передач (зубчатых, червячных, ременных, цепных и др.), валов, соединений (шпоночных, зубчатых, с налягом, резьбовых, сварных), муфг; 3) тепловые расчеты (для релукторов с повышенным тепловыделением); 4) расчеты на долговечность подшинников с учетом режима нагружения.

Каждый расчет должен содержать:

- 1) заголовок с указанием детали и вида выполняемого расчета (прочность, жесткость, долговечность и т. д.);
- 2) эскизы элементов рассчитываемых деталей и расчетные схемы с указанием сил, эпюр моментов и всех необходимых размеров;
- наименование марки принятого материала с указанием термообработки и характеристик механических свойств;
- 4) обоснование выбранных допускаемых напряжений или давлений с указанием использованной литературы;
 - 5) заключение по результатам расчета;
- 6) список литературы.

Оформление расчетно-пояснительной записки. Расчетно-пояснительную записку оформляют на стандартных листах формата 11, форма которых должна соответствовать ГОСТ 2.106—68* (форма 5 и 5а) 1. Основные надписи на листах записки оформляют в соответствии с указаниями, приведенными в п. 15.2.

Титульный лист является первым листом ваписки и оформляется в соответствии с черт. 1 по ГОСТ 2.105-79* (СТ СЭВ 2667-80). Форму заполнения титульного листа устанавливает учебное заведение.

При оформлении записки необходимо выдерживать определенные расстояния от строк текста до рамок листа. Расстояние от верхней или нижней строки текста до верхней или нижней внутренней рамки листа должно быть не менее 10 мм, а расстояние от рамки грании текста рекомендуется оставлять: в начале строк — не менее 5 мм, в конце строк — не менее 3 мм.

Содержание расчетно-пояснительной записки разбивают на разделы, подразделы и пункты. Разделы должны иметь порядковые номера, обозначенные арабскими цифрами с точкой, например:

- 1. Техническое задание
- 2. Расчеты на прочность деталей привода
 - 3. Расчеты долговечности подшипников и т. д.

Подразделы должны иметь порядковые номера в пределах каждого раздела. Номера подразделов состоят из номера раздела и подраздела,

Для учебных проектов в формах 5 и 5а исключаются дополнительные графы.

разделенных точкой. В конце номера подраздела должна ставиться точка, например, подразделы раздела 2 обозначаются:

2.1. Расчеты зубчатых передач

2.2. Расчеты валов

2.3. Расчеты резьбовых соединений и т. д.

Номера пунктов должны состоять из номеров раздела, подраздела и пункта, разделенных точкой. В конце номера пункта должна ставиться точка, например пункты разделов 2, подраздела 2,1 обозначаются так:

2.1.1. Проектировочный расчет цилиндрических зубчатых передач.

2.1.2. Проверочный расчет цилиндрических зубчатых передач и т. д. Наименования разделов должны быть краткими, соответствовать содержанию и записываться в виде заголовков прописными буквами. Наименование подразделов записывают в виде заголовков строчными буквами (кроме первой прописной). Переносы слов в заголовках не допускаются. Точку в конце заголовка не ставят. Если заголовок состоит из двух предложений, их разделяют точкой. Расстояние между заголовком и последующим текстом должно быть не менее 10 мм. Для разделов и подразделов, текст которых записывается на одном листе с текстом предыдущего раздела (подраздела), расстояние между последней строкой текста и последующим заголовком должно быть равно примерно 15 мм.

Сокращение слов в тексте записки, как правило, не допускается, за исключением общенринятых, например: и т. п., и т. д. и др.

При выполнении расчета записывают расчетную формулу со ссылкой на источник. Если в записке более одной формулы, то их нумеруют арабскими цифрами, номер ставят в круглых скобках с правой стороны листа на уровне формулы; под формулой приводят расшифровку ее символов. Значение каждого символа дают с новой строки в той последовательности, в которой они приведены в формуле. Первая строка расшифровки должна начинаться со слова «где» без двоеточия после него, например, напряжение смятия на боковых поверхностях призматической шпонки определяют по формуле

$$\sigma_{\rm cm} = 2T \cdot 10^3 / \left[dl_{\rm p} \left(h - t \right) \right] \leqslant \left[\sigma_{\rm cm} \right], \tag{11}$$

где осм - расчетное напряжение смятия, МПа;

T – кругящий момент, $T = 240 \text{ H} \cdot \text{м}$;

d — диаметр вала, d = 40 мм;

 $l_{\rm p}$ — рабочая длина шпонки, $l_{\rm p} = 38$ мм;

h – высота шпонки, h = 8 мм;

t — глубина шпоночного паза в валу, t = 5 мм;

 $[\sigma_{cm}]$ — допускаемые напряжения смятия, $[\sigma_{cm}] = 115$ МПа.

Каждый символ в пределах записки расшифровывается один раз. Подстановку численных значений символов производят в той же последовательности, в которой они приведены в формуле, например:

$$\sigma_{cst} = 2 \cdot 240 \cdot 10^3 / [40 \cdot 38 (8 - 5)] = 105 \ \text{MHa} < \left[\sigma_{cst}\right] = 115 \ \text{MHa}.$$

Имеющиеся в записке иллюстрации (если их более одной) нумеруют арабскими цифрами в пределах всей записки, например: Рис. 1, Рис. 2, Рис. 3 и т. д. Ссылки на ранее упомянутые иллюстрации дают по типу: см. рис. 3.

Нумерация листов записки должна быть сквозная, номера указывают в нижнем правом углу основной надписи листа.

§ 15.3. Обозначение на чертежах предельных отклонений размеров, посадок, допусков формы и расположения поверхностей

Отклонение действительных размеров от заданных, отклонение действительной формы от заданной геометрически правильной формы — погрешности, взаимосвязанные как геометрически, так и по характеру их проявления в процессе эксплуатации. Например, некруглость (овальность, огранка) поперечного сечения цилиндрического вала — это отклонение формы и вместе с тем это отклонение размера диаметра в различных направлениях сечения; отклонение от прямолинейности представляет собой наличие различных отклонений размеров, характеризующих последовательно сечения деталей и т. д.

Деление отклонений на отклонения размеров, формы, расположения и других параметров вызвано различием в средствах контроля и числовых величинах отклонений, различием в технологических причинах, различным влиянием видов отклонений на условия работы детали и т. д.

Данное деление отклонений на виды нашло отражение в определенной форме нанесения допустимых отклонений на чертежах; нанесение посадок у размеров и предельных отклонений на чертежах производится в соответствии с единой системой допусков и посадок СЭВ (ЕСДП по СТ СЭВ 144—75 и СТ СЭВ 145—75); указания на чертежах донусков формы и расположения поверхностей производится по ГОСТ 2.308—79 (СТ СЭВ 368—76).

Обозначение на чертежах предельных отклонений размеров. Предельные отклонения размеров на чертежах обозначаются в соответствии со станлартами единой системы допусков и посадок (ЕСДП СЭВ).

Предельные отклонения указывают для всех размеров, нанесенных на рабочий чертеж. Исключение составляют размеры, определяющие зоны различной шероховатости одной и той же поверхности, зоны термообработки, покрытия, отделки, накатки, а также диаметры накатанных и насеченных поверхностей. В этих случаях непосредственно у таких размеров наносят знак \approx .

Для обозначения основных отклонений отверстий используют прописные буквы латинского алфавита, а для валов – строчные буквы.

Предельные отклонения на чертежах могут указываться: условными обозначениями, например 18Н7, 12е8; числовыми значениями, например $18^{+0.018}$; $12^{-0.032}_{-0.059}$; комбинированным способом, например $18H7^{(+0.018)}$; $12e8 \begin{pmatrix} -0.032 \\ -0.059 \end{pmatrix}$.

Предельные отклонения относительно низкой точности (от 12 квалитета и грубее) на размерах рабочих чертежей не наносят, а в технических требованиях делают запись: например, «Неуказанные предельные отклонения размеров: отверстий Н14, валов h14, остальных ±IT14/2».

Предельные отклонения угловых размеров показывают только числовыми значениями.

Предельные отклонения размеров в размерной цепи принимают по результатам расчета. Одначо следует иметь в виду, что в учебных про-

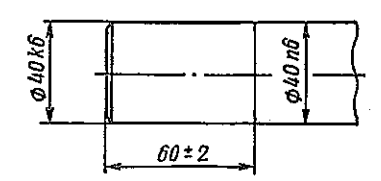


Рис. 15.2. Нанесение предельных отклонений для разных участков поверхности с одним номинальным размером

ектах по курсу «Детали машин» точность исходного размера обычно обеспечивают компенсатором (кольцом, прокладкой, набором прокладок, регулировочным винтом), поэтому предельные отклонения размеров в размерной цепи зависят от выбранного способа компенсации. Если компенсатором служит кольцо или прокладка, которые обрабатывают (шлифуют) по результатам измерения при сборке, то предельные отклонения размеров в размерной

цепи можно принимать: отверстий H12, валов h12, остальных ±IT12/2. Эти же отклонения размеров можно принимать в том случае, если компенсатором служит набор прокладок. Если компенсатором служит винт, то предельные отклонения размеров можно принимать более свободными: отверстий H14, валов h14, остальных ±IT14/2.

При назначении разных предельных отклонений для участков поверхности с одним номинальным размером границу между ними наносят сплошной тонкой линией, а номинальный размер указывают с соответствующими отклонениями для каждого участка отдельно (рис. 15.2).

Обозначение посадок на чертежах сборочных единиц. Стандарт СЭВ рекомендует применять преимущественно посадки в системе отверстия (основное отверстие обозначается буквой Н) и в системе вала (основной вал обозначается буквой h). Примеры указания посадок: в системе от-

верстия
$$18 \frac{H7}{e8}$$
; в системе вала $12 \frac{F7}{h6}$.

Применение системы отверстия предпочтительно, поскольку при этом сокращается номенклатура дорогих инструментов (калибров) для отверстия. Систему вала применяют при технологической целесообразности использования гладких валов (осей), сопряженных с деталями, имеющими различные предельные отклонения, а также при применении стандартных деталей с охватываемой поверхностью (внешние кольца подшилников качения).

Для наиболее употребительных размеров от 1 до 500 мм в табл. 15.1 приведены посадки, рекомендованные СТ СЭВ 144-75. Для преимущественного применения выделены предпочтительные посадки, которые в таблице отмечены прямоугольниками.

Посадки зубчатых (шлицевых) прямобочных соединений нормируются ГОСТ 1139—80 (СТ СЭВ 187—75) (см. гл. 9).

Посадки зубчатых (шлицевых) эвольвентных соединений нормируются ГОСТ 6033—80 (см. гл. 9).

Посадки соединений призматическими шпонками выбирают по СТ СЭВ 57-73 в зависимости от вида нагрузки, передаваемой соединением, и характера шпоночного соединения (см. гл. 9).

Посадочные диаметры колец подшинников качения имеют предельные отклонения, отличные от отклонений основного отверстия Н или основного вала h. В связи с этим посадки, получаемые в сопряжениях подшиника с валом или корпусом, имеют другой характер, чем посадки ЕСДП СЭВ (см. гл. 18).

Таблица 15.1

Рекомендуемые посадки при размерах от 1 до 500 мм

ģ	151	Основные отклонения валов (система отверстия)					нения в	алов (с	истема	отверс	гия)		
Попе до- пуска	Квалитет вала	d	е	f	g	h	Ìs	k	m	n	p	Г	s
10 1	Ka	Посадки с зазором			Переходные посадки Посадки с			ки с па	мочкт				
H6	5				H6 g5	H6 h5	<u>H6</u> j₅5	H6 k5	H6 m5	H6 n5	H6 p5	H6 r5	H6 s5
	6		·	H6 f6			1 N					. 1. <u>1</u>	
	6			:)	H7 g6	H7 h6	H7 j _s 6	H7 k6	H7 m6	H7 n6	H7 p6	H7 r6	H7 s6
Н7	7		H7 e7	H7 f7					:			;	<u>H7</u>
	8	H7 d8	H7 e8	-1.75	- !				-				
H8	7			H8 17		H8 h7	H8 j _s 7	H8 k7	H8 m7	H8 n7			H8 s7
	8	H8 d8	H8 e8	H8 f8		H8 h8		;					
မ္မ	Ter	S		0	сновны	е откло	нештя	отверст	ий (сис	тема в	апа)		
Поле до- пуска	Квалитет вала	D	E	F	G	H	J _s	K	M	N	Р	R	S
L E	고문		Поса	дки с з	азором		Пс	реходнь	ие поса	дки	Hoca.	јки с па	MOJETI
h5	6				G6 h5	H6 h5	J ₅ 6 h5	K6 h5	M6 h5	N6 h5	P6 h5		
1.0	7		,	F7 h6	G7 h6	H7 h6	J ₈ 7 h6	K7 h6	M7 h6	N7 h6	P7 h6	R7 h6	57 h6
ħ6	8	D8 b6	E8 h6	F8 h6	3			6					¢
	7											21	
h7	8	D8 h7	E8 h7	F8 h7	3	H3 h7	J ₃ 8 h7	K8 h7	M8 h7	N8 h7			
	8	D8 h8	E8 h8	F8 h8		118 h8			. t				
h8	9	D9 1 ₁₈	E9 h8	F9 h8		H9 h8							

Посадки резьбовых соединений выбирают по ГОСТ 16093-81 (СТ СЭВ 13640-77).

Обозначение поля допуска резьбы состоит из обозначения поля допуска среднего диаметра, помещаемого на первом месте, и обозначения поля допуска наружного диаметра для болтов и внутреннего — для гаек. Например, для резьбы с крупным шагом: для болта М36—6g7g, для гайки М36—6H7H, где 6g и 6H—поле допуска среднего диаметра резьбы болта и гайки соответственно 7g и 7H—поле допуска наружного диаметра болта и внутреннего диаметра гайки соответственно.

Если обозначение поля допуска наружного диаметра резьбы болта совпадает с обозначением поля допуска среднего диаметра, то оно в обозначении поля допуска резьбы не повторяется. Например, 6g — это поле допуска наружного диаметра и поле допуска среднего диаметра болта. 6H — то же для гайки.

Указание допусков формы и расположения поверхностей на чертежах. Отклонения (погрешности) формы и взаимного расположения поверхностей возникают в процессе обработки деталей из-за неточности и деформаций станка, инструмента и приспособления, деформаций обрабатываемого изделия, неоднородности материала заготовки и т. п.

В подвижных соединениях отклонения формы и взаимного расположения поверхностей приводят к увеличению износа деталей вследствие повышенного давления на выступах неровностей, к нарушению плавности хода, возникновению шума, нарушению герметичности и т. д. В неподвижных соединениях эти отклонения вызывают неравномерность натягов, вследствие чего снижается прочность соединения и точность центрирования. Отклонение формы и взаимного расположения сопряженных поверхностей осей и валов существенно влияет на работоспособность подшилников качения. Например, отклонение от круглости и цилиндричности посадочных поверхностей шеек валов и осей под подшипники качения вызывает искажение геометрической формы дорожек качения внутренних колец подшипников, что может привести к снижению долговечности подшипников; отклонение от перпендикулярности упорных заплечиков валов вызывает перекос колец подшипников, вследствие чего растут потери на трение. увеличивается нагрев и снижается несущая способность подпипников. Отклонение от правильного взаимного расположения поверхностей зачастую является причиной снижения несущей способности зубчатых передач. Например, отклонение от соосности и параллельности осей отверстий в корпусе редуктора вызывает перекос осей валов, приводящий к неравномерному распределению нагрузки по ширине зубчатого венца и снижению несущей способности передачи и т. д.

Указание на чертежах допусков формы и расположения поверхностей следует делать только в том случае, если это необходимо по функциональным и технологическим причинам.

Когда допуски формы и расположения поверхностей на чертеже не указаны, это означает, что эти допуски ограничены полем допуска размера.

Допуски формы и расположения поверхностей указывают на чертежах в соответствии с ГОСТ 2.308-79 (СТ СЭВ 368-76) условными знаками (графическими символами) согласно табл. 15.2.

Группа допусков	Вид допуска	Условный знак
-	Допуск прямолинейности	<u> </u>
	Допуск плоскостности	
Допуски формы	Допуск круглости	0
e e e e e e e e e e e e e e e e e e e	Допуск цилиндричности	Q
	Допуск профиля продольного сечения	==
:	Допуск параллельности	//
	Допуск перпендикулярности	1
Допуски рас- положения	Допуск наклона	_
	Допуск соосности	
	Допуск симметричности	
	Позиционный допуск	
	Допуск пересечения осей	X
Суммарные до-	Допуск радиального биения Допуск торцового биения Допуск биения в заданном направлении	1
пуски формы и расположения	Допуск полного радиального биения Допуск полного торцового биения	11
	Допуск формы заданного профиля	
	Допуск формы заданной поверхности	Δ

Примечание. Основные понятия и определения, относящиеся к допускам формы и расположения, даны в СТ СЭВ 301—76.

Примеры указания допусков формы и расположения поверхности при велены в табл. 15.3.

Знак и числовое значение допуска или обозначение базы вписываю в рамку допуска, разделенную на два или три поля, в следующе последовательности (слева направо): в первом поле указывают знак до пуска в соответствии с табл. 15.2, во втором — числовое значение до пуска в миллиметрах, в третьём — при необходимости буквенное обозна чение базы (баз).

Рамка должна соединяться с элементом, к которому она относится При этом следует учитывать, что если допуск относится к поверхностили к ее профилю, соединительная линия не должна быть продолжением размерной (рис. 15.3). Если же допуск относится к оси или плоскости симметрии, то соединительная линия должна быть продолжением размерной (табл. 15.3, п. 4, 6 и 8-13).

Перед числовыми значениями допусков расположения (соосности, симметричности, пересечения осей, позиционного допуска, формы заданного профиля и заданной поверхности) необходимо изображать: символ Ø если круговое или цилиндрическое поле допуска указывают диаметром (табл. 15.3, п. 8 и 9); символ R, если это поле указывают радиусом символ T, если поле допуска симметричности, пересечения осей, позиционный допуск ограничены двумя параллельными прямыми или плоскостями в диаметральном выражении (табл. 15.3); символ T/2 (те же поля допусков, что и для символа T) в радиусном выражении.

Примечание. Допуски соосности, симметричности, позиционный, пересечения осей и формы заданного профиля (поверхности) рекомендуется указывать в диаметральном выражении.

При необходимости задания для одного элемента двух разных видов допуска рамки допусков допускается объединять и располагать их так, как показано в верхней части рис. 15.4. Если необходимо указать допуск формы или расположения для базовой поверхности, то рамки с обоими условными обозначениями можно располагать так, как показано в нижней части рис. 15.4.

Базы обозначают равносторонним зачерненным треугольником, который соединяют соединительной линией с рамкой допуска (табл. 15.3, п. 14). Если нет необходимости выделять базу, то рамку показывают в соответствии с табл. 15.3, п. 9. Если символ базы нельзя простым и наглядным способом соединить с рамкой допуска, то базу обозначают прописной буквой в рамке и эту же букву вписывают в третье полерамки (табл. 15.3, п. 1—8). Если базой является ось симметрии, то треугольник располагают в конце размерной линии соответствующего размера (диаметра) элемента (табл. 15.3, п. 6—8, 10, 12—14). Так же поступают, если базой является плоскость симметрии.

Если базой является поверхность или прямая (линия) этой поверхности, а не ось элемента, то треугольник располагают на достаточном расстоянии от конца размерной линии (табл. 15.3, п. 2).

Если два или несколько элементов образуют объединенную базу и их последовательность не имеет значения (например, они имеют общую ось или плоскость симметрии), то каждый элемент обозначают самостоя-

Таблица 15.3 Примеры указания на чертежах отклонений формы и расположения поверхностей

Приме	ры указания на чертежах	с отклонений формы и расположения поверхностей
№ nn	Приемы условиого обозначения	Пояснения
1	<u>A</u> <u>10,05</u> A	Допуск пернендикулярности поверхности 0,05 мм относительно базовой поверхности А
2	10.02 4	Допуск перпендикулярности поверхности 0,02 мм относительно базы А (база — образующая цилиндрической поверхности)
3	[// Q,05 NE] A E	Допуск параллельности поверхности 0,05 мм относительно базовых поверхностей <i>А</i> и <i>Б</i>
4	// 0,05 A	Допуск параллельности оси отверстия 0,05 мм относительно базовой поверхности <i>А</i>
5	# Q.1 A B	Допуск параллельности общей оси отверстий 0,1 мм относительно базовой поверхности А
6	LHOZÓ W LOZÓ A	Допуск параллельности оси отверстия Ø 10Н7 относительно оси отверстия Ø 20Н7 0,1 мм; допуск перекоса осей 0,25 мм

№ пп	Приемы условного обозначения	Пояснения
7	A 1 0,02 A	Допуск перпендикулярности торца ступицы детали относительно оси базового отверстия А 0,02 мм
8	© 60.33 A A LH 2100	Допуск соосности оси отверстия Ø 20H7 относительно базового отверстия Ø 12H7 0,03 мм, указан в диаметральном выражении
9	© Ø 0,005 Ø	Допуск соосности осей цилиндров 0,005 мм, указан в диаметральном выражении; допуск зависимый
10	T0,05 A	Допуск симметричности боковых поверхностей относительно оси отверстия Ø 16H7 0,05 мм, указан в днаметральном выражении
11	10 100 100	Позиционный допуск смещения осей отверстий от номинального расположения 0,16 мм, указан в диаметральном выражении; допуск зависимый
12		Позиционный допуск смещения осей отверстий от номинального расположения 0,32 мм, указан в диаметральном выражении; допуск зависимый

№ пп	Прнемы условного обозначения	Пояснения
13	Ø50H8, □\(\text{\tin}\text{\tin\text{\text{\text{\tinit}\\ \text{\texi}\text{\text{\text{\text{\text{\texi}\text{\text{\texict{\text{\tin}\text{\text{\ti}\text{\text{\texi}\text{\texititt{\text{\texi}\text{\text{\texi{\text{\text{\text{\text{\text{\texi}\text{\texi}\text{\ti	Допуск пересечения оси отверстия Ø 50Н8 относительно оси отверстия Ø 70Н7 0,08 мм, указан в диаметральном выражении
14	70.02	Допуск торцового биения поверхности 0,02 мм относительно оси детали
15	[70,01 W6] [A] [b]	Допуск радиального биения поверхности 0,01 мм относительно общей оси базовых поверхностей A и B
16	# [9,03/Ø80]A	Допуск торцового биения поверхности 0,03 мм на Ø 80 мм, определяется относительно оси базового отверстия А
17	710.041A	Допуск биения конуса в заданном направлении 0.04 мм, определяется относительно оси поверхности A

Примечание. Приведенные в таблице пифры предельных отклонений формы и расположения новерхности следует рассматривать как примеры записи, а не как рекомендуемые величины.

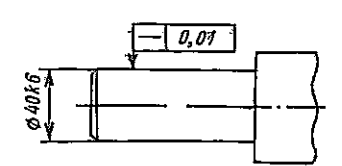


Рис. 15.3. Соединение рамки допуска с поверхностью

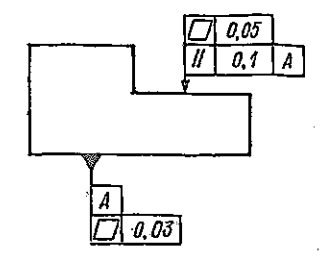


Рис. 15.4. Указание для одной новерхности двух разных видов допуска

тельно и обе (все) буквы вписывают подряд в третье поле рамки допусь (табл. 15.3, п. 3 и 15).

Линейные и угловые размеры, определяющие номинальное располож ние или номинальную форму элементов, при назначении позиционног допуска, допуска наклона, допуска формы заданной поверхности или за данного профиля указывают на чертеже без предельных отклонений заключают в прямоугольные рамки (табл. 15.3, п. 11 и 12). На эт размеры не распространяются неуказанные предельные отклонения размеров (см. с. 304).

Зависимые допуски расположения и формы обозначают условным зна ком 🚳 (табл. 15.3, п. 9, 11, 12).

Если допуск расположения или формы не указан как зависимый, то его считают независимым.

§ 15.4. Шероховатость поверхности, ее нараметры и нанесение их на чертежах

Шероховатость поверхности, получаемая после механической обработки, оказывает существенное влияние на эксплуатационные свойства детали. Возникающие при механической обработке трещины и надрывы (в микрорельефе поверхности) вызывают остаточные напряжения растяжения, которые способствуют развитию усталостных трещин и коррозии, снижающих контактную и объемную прочность деталей.

Увеличение шероховатости уменьшает площадь фактического контакта, в результате чего растут местные давления, возрастают интенсивность изнашивания и опасность заедания. Увеличение шероховатости снижает контактную жесткость соединений, ведет к ослаблению соединений деталей машин с натягом и к снижению несущей способности болтовых соединений при действии переменной нагрузки. Таким образом, уменьшение шероховатости поверхности способствует увеличению износостойкости, коррозионной стойкости, объемной прочности и позволяет повысить нагрузочную способность напряженных соединений и их герметичность. Однако повышение износостойкости достигается при уменьшении шероховатости только до определенного предела. Например, для удержания масла в контакте и уменьшения изнащивания на сопряженных поверхностях создают упорядоченную (оптимальную) шероховатость.

В соответствии с ГОСТ 2789 – 73* СТ СЭВ 638 – 77) основными парапетрами для оценки шероховатости прерхностей являются высота непрофиля R_z по десяти очкам и среднее арифметическое отклонение профиля R_z на базовой пине l.

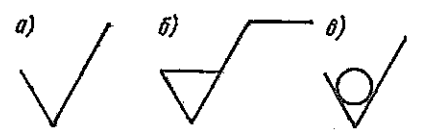


Рис. 15.5. Знаки, применяемые для обозначения шероховатости

Параметр шероховатости R_a является основным для деталей в машинотроении. Параметр R_z можно рекомендовать для указания шероховаюти на несопрягаемые обработанные поверхности, а также на поверхности, получаемые литьем, ковкой, штамповкой и др.

При обозначении шероховатости на чертежах применяется один из трех наков, изображенных на рис. 15.5. При обозначении шероховатости поверхности, вид обработки которой конструктор не устанавливает, применяют знак, показанный на рис. 15.5, а. Этот способ обозначения является прешночтительным.

Если требуется, чтобы поверхность была образована обязательно удавением слоя материала (точением, шлифованием, полированием и др.), применяют знак, приведенный на рис. 15.5, б. Для обозначения шероховагости поверхности, образуемой без удаления слоя материала (например, питьем, ковкой и др.), применяют знак, изображенный на рис. 15.5, с. Гакой же знак применяют для обозначения шероховатости поверхностей, не обрабатываемых по данному чертежу.

Базовую длину l не указывают, если шероховатость нормируется голько параметром R_a или R_z и значение l совпадает со значениями, триведенными в таблице FOCT 2789 – 73* (СТ СЭВ 638 – 77).

Знак шероховатости поверхностей на изображении детали располагают на линиях контура, на выносных линиях в непосредственной близости от размерной линии (рис. 15.6, a) или на полках линий-выносок, при недостатке места — на размерной линии или на ее продолжении рис. 15.6, δ).

Если шероховатость участков одной и той же поверхности различна, то ее разделяют тонкой линией и на каждой части поверхности посазывают свое обозначение шероховатости (рис. 15.6, в). Знаки шерохо-

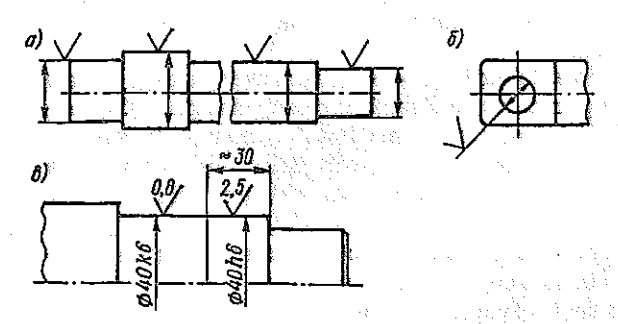


Рис. 15.6. Расположение знаков шероховатости на изображении детали

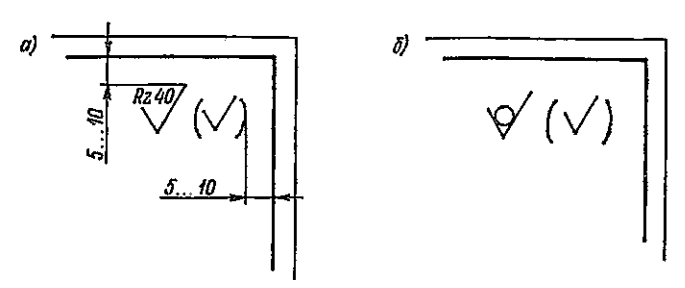


Рис. 15.7. Простановка знаков преобладающей шероховатости или шероховатости поверхностей, не обрабатываемых по данному чертежу

ватости следует ставить по возможности на верхних участках изображения детали, где они лучше читаются (рис. 15.6, a, s).

Знак в верхнем правом углу чертежа (рис. 15.7) показывает или преобладающую шероховатость (рис. 15.7, а), или шероховатость в состоя нии поставки поверхностей, не обрабатываемых по данному чертежу (рис. 15.7, б). Знак в скобках показывает, что кроме указанной перед скобкой шероховатости имеются поверхности с другой, обозначенной на них шероховатостью. Если все поверхности должны иметь одинаковую шероховатость, скобку со знаком не ставят.

Размеры знака перед скобкой должны быть в 1,5 раза больше, чем знаки, указанные на поверхностях детали; знак в скобках имеет размеры такие же, как и на детали.

§ 15.5. Правила нанесения на чертежах обозначений термической и других видов обработки

На чертежах деталей, подвергаемых термической или химико-термической обработке, указывают показатели свойств материалов, полученных в результате обработки, например: твердость (НВ, HRC, HV), предел прочности (σ_a) , предел текучести (σ_a) и др.

Глубину термической или химико-термической обработки h и твердость указывают предельными значениями «от...до», например, h 0,8...1,0; 58...63 HRC. Допускается на чертежах указывать значения механических свойств материалов со знаком \geqslant или \leqslant , например: $\sigma_{\rm B} \geqslant 750$ МПа, $650 \geqslant {\rm HV}$ и т. п.

Если обработке подвергаются отдельные участки детали, то их отмечают на чертеже утолщенной штрихпунктирной линией, а значения h, HV, HRC, HB показывают на полках линий-выносок (см. рис. 16.20). Если все изделие подвергают одному виду обработки, то в технических требованиях делают запись: «269...302 HB» или «Цементировать h 0,7...0,9; 58...61 HRC» и т. п. (см. рис. 16.16—16.19).

Если большую часть поверхности детали подвергают одному виду термической обработки, а остальные поверхности — другому виду или они должны быть предохранены от термообработки, в технических требованиях делают запись: «45...51 HRC, кроме поверхности А» или «50...56 HRC, кроме мест, обозначенных особо».

Глава 16

КОНСТРУИРОВАНИЕ ЭЛЕМЕНТОВ ПЕРЕДАЧ

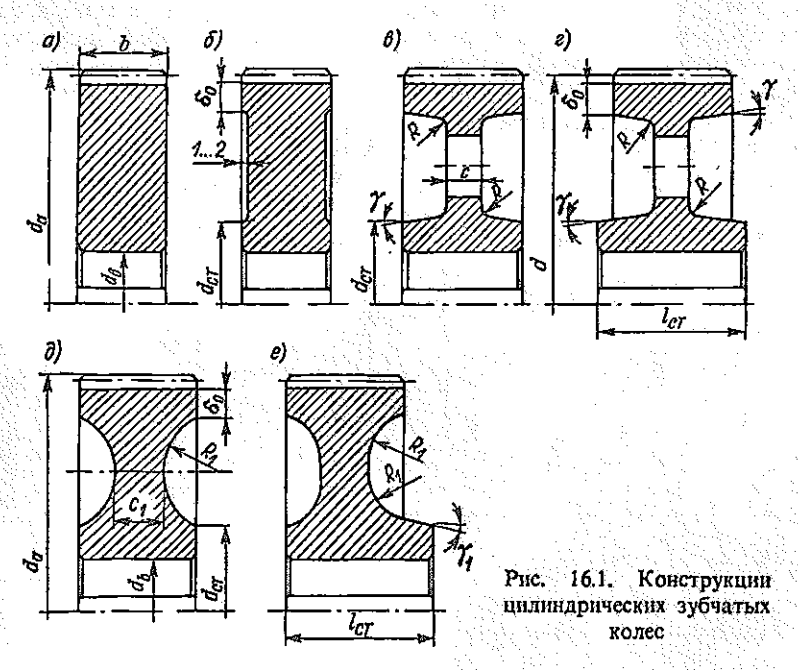
§ 16.1. Конструкция цилиндрических зубчатых колес

Конфигурация зубчатого колеса в определенной степени зависит от технологии получения заготовки, которая находится в тесной взаимосвязи с объемом выпуска изделия. При единичном и мелкосерийном производстве зубчатые колеса с $d_a \le 150$ мм изготавливают из круглого проката или поковок. Зубчатые колеса небольшого диаметра ($d_a \le 200$ мм) выполняют преимущественно в виде сплошных дисков (рис. 16.1, a, 6). Иногда, для уменьшения механической обработки базовых поверхностей, на торцах выполняют небольшие проточки (рис. $16.1, \delta$).

При крупносерийном и массовом производстве применяют двусторонние подкладные штампы (открытые или закрытые), а также используют штамповку в открытых штампах. Форму зубчатых колес для этих случаев проектируют по типу, показанному на рис. 16.1, в, г.

Размеры конструктивных элементов кованых и штампованных зубчатых колес при $d_a \le 800$ мм: $\delta_0 \approx (2.5 \div 3.0)$ m, но не менее 0.02d; $C \approx (0.2 \div 0.3)$ b; $d_{c\tau} \approx (1.6 \div 1.7)$ d_s ; $l_{c\tau} \approx (0.8 \div 1.5)$ d_s . Для свободной выемки заготовки из штампа предусматривают штамповочные уклоны $\gamma = 7^\circ$ и радиусы закругления $R \ge 5$ мм. В случае применения зубчатых (шлицевых) соединений $d_{c\tau} \approx (1.4 \div 1.5)$ d_s и $l_{c\tau} \approx (0.8 \div 1.4)$ d_s .

Масса зубчатых колес, показанных на рис. 16.1, d, e, больше, чем в конструкциях, приведенных на рис. 16.1, s, z, но зато виброактивность и



связанные с этим шумовые характеристики передачи существенно ниже. Для этих зубчатых колес принимают: $R_1 \geqslant 20$ мм; $\gamma_1 \geqslant 12^\circ$ и $C_1 \approx (0.4 \div 0.5) b$.

При $d_a > 500 \div 700$ мм применяются литые зубчатые колеса, изготавливаемые из углеродистых и легированных сталей. Литые зубчатые колеса с внутренними зубьями, выполненные за одно целое с корпусом или крышкой редуктора, находят применение в планетарных передачах (см. рис. 20.12).

При $d_a/d_b < 2 \div 2,5$ (где d_b — диаметр вала вблизи зубчатого венца) шестерню обычно выполняют за одно с валом. При этом упрощается сборка и повышается надежность, поскольку каждое высоконагруженное соединение может оказаться потенциальным источником отказа.

При проектировании зубчатых колес следует предусматривать как основные конструкторские базы, определяющие правильное относительное положение деталей на валу, так и технологические базы, используемые при обработке зубьев на станке. Например, торцы ступицы зубчатого колеса являются сборочной базой, определяющей точность относительного расположения деталей, сидящих на валу, а торцы зубчатого венца иногда используются в качестве технологической базы при нарезании зубьев (рис. 16.2, а). Неперпендикулярность базового торца заготовки вызывает отклонение направления зубьев от правильного положения, что приводит к неравномерности распределения удельной нагрузки по ширине зубчатого венца в передаче. Для повышения точности изготовления зубчатых колес нормируют погрешности размеров, формы и расположения базовых поверхностей заготовки (см. п. 16.5).

Установка зубчатого колеса на станке производится от конструкторской базы: от отверстия 1 или шейки вала. Во избежание потери точности и снижения качества нарезаемых поверхностей зубьев вследствие вибрации, зубчатое колесо надежно прижимают базовой поверхностью к столу станка.

Наибольшее распространение получило нарезание зубьев червячными фрезами. Обработка зубчатых колес долбяками обычно производится при изготовлении колес с внутренними зубьями (рис. 16.2, б) или перазъемных блочных шестерен с внешними зубьями (рис. 16.2, а). Для этой цели применяют чашечные (рис. 16.2, а), дисковые и хвостовые долбяки

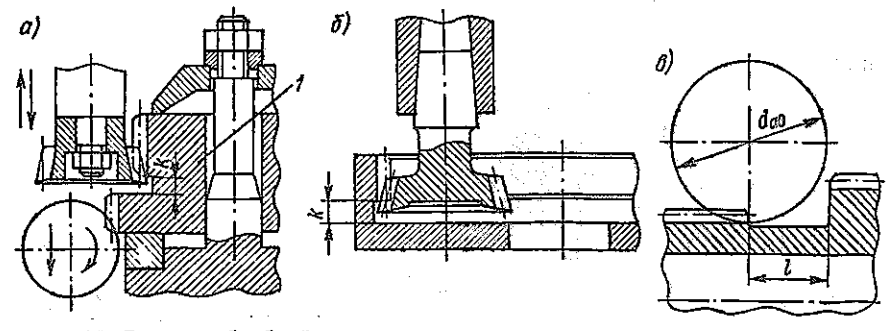


Рис. 16.2. Выход зубообрабатывающего инструмента: a, b — при нарезании долбяком; e — при нарезании блочных зубчатых колес червячной фрезой

(рис. 16.2, δ). Для выхода долбяка предусматривают канавку k, размер которой принимается в зависимости от модуля m:

При нарезании блочных шестерен червячными фрезами (рис. 16.2, s), расстояние между зубчатыми венцами l (мм), необходимое для выхода фрезы, определяют графически по ее наружному диаметру d_{qq} (по СЭВ РС 3648 – 78):

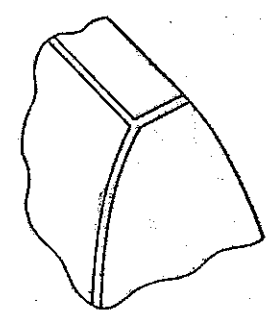


Рис. 16.3. Образование фасок или скруглений на продольных и торцовых кромках зубьев

Зубчатые колеса с внутренними зубьями большого диаметра повышенной точности при обеспечении свободного выхода инструмента можно обрабатывать червячными фрезами специальной конструкции [50].

После нарезания зубчатых колес с острых кромок на вершинах и торцах зубьев необходимо снять фаски или выполнить скругления. Обработка фасок на продольных и торцовых кромках зубьев (рис. 16.3) способствует повышению надежности зубчатых колес. Особенно это важно для колес, подвергающихся поверхностному упрочнению, во избежание сколов частиц металла высокой твердости, обладающих повышенной хрупкостью. При $m=3\div 6$ ориентировочные размеры фасок или радиусы скруглений составляют 0.6-1.5 мм [27].

§ 16.2. Конструкция конических зубчатых колес

Конические колеса обычно изготавливают коваными (рис. 16.4, a) и штампованными (рис. 16.4, b). При больших диаметрах конические колеса выполняют литыми, а также находят применение сборные конструкции, в которых зубчатый венец закрешляется на ступице болтами или с использованием посадки с гарантированным натягом. Кованые и штампованные колеса изготавливаются диаметром $d_{ae} \leqslant 500 \div 700$ мм.

Ориентировочные соотношения основных размеров конических колес приведены ниже:

Ковиные и штампованные Стальные литые колеса δ_0 . . . $(1,8 \div 3)$ m, $(3 \div 4)$ m, Ho he mehee 10 mm Ho he mehee 10 mm $d_{\rm cr}$. . . $(1,5 \div 1,6)$ $d_{\rm B}$ $(1,6 \div 1,8)$ $d_{\rm B}$ $(0,9 \div 1,3)$ $d_{\rm B}$ $(0,9 \div 1,3)$ $d_{\rm B}$ $(0,2 \div 0,3)$ $d_{\rm B}$

Конфигурация конических колес во многом определяется методом зубонарезания. Например, при нарезании колес резцовыми головками следует обращать внимание на то, чтобы тело зубчатого колеса не выступало за пределы впадин (рис. 16.5).

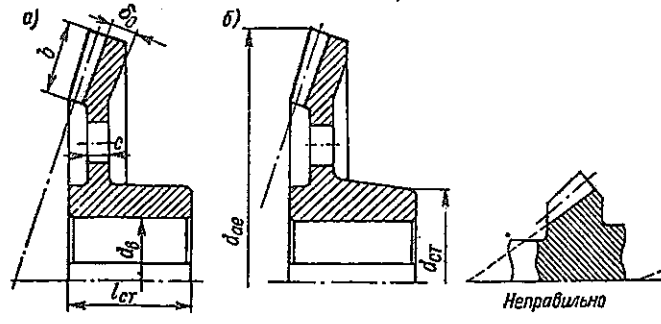


Рис. 16.4. К определению основных размеров конических зубчатых колес

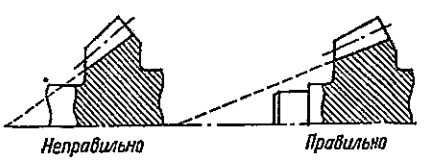


Рис. 16.5. Проверка возможности нарезания конических зубчатых колес с круговыми зубьями с помощью резцовой головки

При угле делительного конуса $\delta \leqslant 30^\circ$ зубчатый венец шестерни со стороны вершины конуса рекомендуется ограничивать не конической поверхностью, а плоскостью (см. рис. 20.7).

§ 16.3. Конструкция червяков и червячных колес

Червяк в большинстве случаев делают за одно целое с валом. Витки червяка могут быть нарезаны на токарном станке, если $d_0 \le d_{f1}$ (рис. 16.6, a) или получены фрезерованием, если $d_0 > d_{f1}$ (рис. 16.6, б).

Червячные колеса в целях экономии цветных металлов выполняют с венцом из антифрикционных материалов и стальным или чугунным центром.

Находят применение следующие типовые конструкции червячных колес.

1. В индивидуальном и мелкосерийном производстве применяется бандажированная (рис. 16.7, а) и собираемая с помощью крепежных болтов (рис. 16.7, б) конструкция червячных колес.

У бандажированной конструкции бронзовый венец насажен на стальной или чугунный центр с натягом по посадке: Н7/р6; Н7/г6; Н7/г6. Эту конструкцию рекомендуется применять для передач с относительно невысоким тепловыделением, так как при значительной разнице в коэффициенте линейного расширения у бронзы и стали или чугуна при высокой температуре натяг уменьшается и надежность соединения снижается. Для предотвращения осевого взаимного смещения венца и ступицы

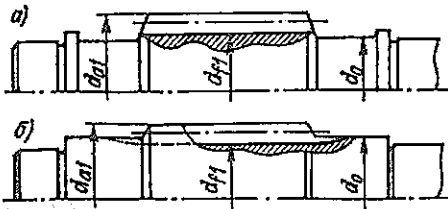


Рис. 16.6. Конструкция червяка: а — при нарезании витков червяка на токарном станке; б — при фрезеровании витков червяка

червячного колеса в стыкуемые поверхности ввертывают винты с последующим срезанием головок, а при необходимости устанавливают круглые шпонки.

Для уменьшения коробления зубчатого венца при повышении температуры в конструкции, показанной на рис. 16.7, 6, фланец располагают симметрично по отношению к венцу.

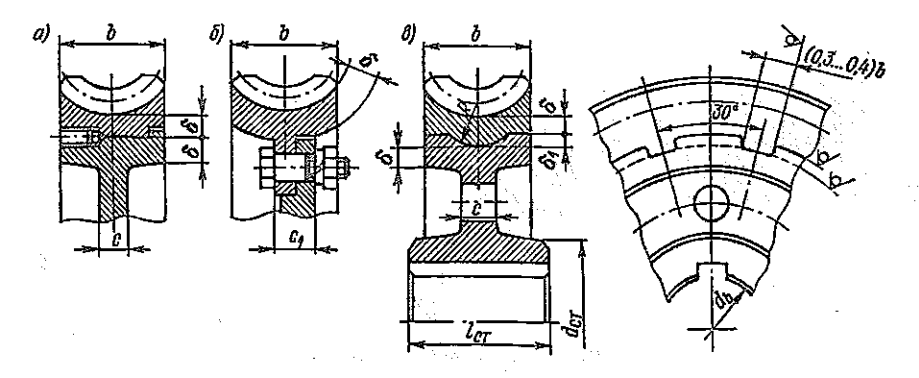


Рис. 16.7. Типовые конструкции червячных колес

2. В серийном и массовом производстве применяют биметаллическую конструкцию червячного колеса (рис. 16.7, в), бронзовый венец которой отлит в форму с предварительно вставленным в нее центром. Для гарантии от смещения венца на заливаемой поверхности центра выполняют пазы различной формы.

Ориентировочные рекомендации по выбору размеров обода и ступицы червячных колес (рис. 16.7) таковы: $C = (0.2 \div 0.35) \ b$; $\delta = (1.5 \div 2) \ m \ge 10 \ \text{мм}$; $\delta_1 = (1 \div 1.2) \ m \ge 5 \ \text{мм}$; $C_1 = 0.4b_1$; $R = (0.4 \div 0.5) \ b$; $d_{\text{cr}} = (1.6 \div 1.8) \ d_{\text{B}}$; $d_{\text{cr}} = (1.2 \div 1.8) \ d_{\text{B}}$.

§ 16. 4. Конструирование элементов планетарных передач

При конструировании важнейших элементов планетарных передач (пентральных колес, сателлитов, водила, а также соединительных муфт передающих моменты основных звеньев) руководствуются основными принципами компоновки наиболее характерных схем передач, рассмотренных в 14.2. При этом учитываются сведения, относящиеся к выбору и установке подшипников качения основных звеньев и сателлитов в гл. 10, 18. Ниже даны рекомендации к выбору основных конструктивных размеров зубчатых колес и водила планетарных передач типов А и 3k. Уточненный расчет напряженно-деформированного состояния этих элементов планетарных передач дан в работе [42].

Центральные колеса. Ось центрального колеса может фиксироваться с номощью радиальных подшипников, в этом случае его называют «неплавающим». Центральное колесо без радиальных опор, применяемое для выравнивания нагрузки между сателлитами, называют «плавающим» (см. гл. 6).

Неплавающие центральные колеса с внешними зубьями обычно выполняют за одно целое с валом и размещают между двумя опорами (рис. 16.8, a) или консольно (рис. 16.8, b). Предпочтительно размещение обеих опор в одной детали, например в водиле при центральном колесе, расположенном между опорами, или в корпусе (в крышке корпуса) при консольном расположении. При размещении подпинников центральных колес в различных деталях необходимо принять меры для обеспечения требуемой точности взаимного расположения сцепляющихся зубчатых

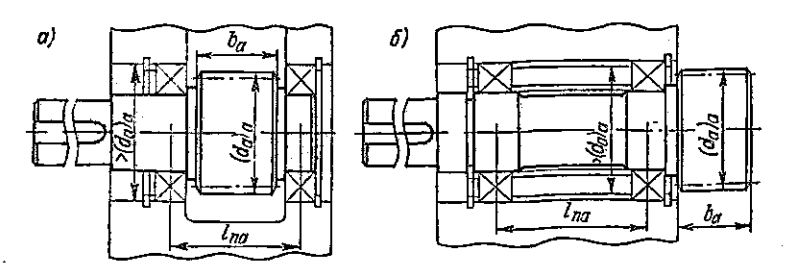


Рис. 16.8. Неплавающие центральные колеса с наружными зубьями

колес, в том числе обеспечить минимальные люфты в подшипниках основной оси.

К плавающим центральным колесам с внешними зубьями крутящий момент подводят обычно с помощью соединительных муфт с одним или двумя зубчатыми сочленениями (в специальных случаях возможно использование подвижных муфт других типов). Расчетный диаметр $d_{\rm M}$ и рабочую ширину $b_{\rm M}$ муфты определяют по формуле (13.2). Зубчатый венец муфты выполняют непосредственно на самом колесе (рис. 16.9). Венец втулки муфты нарезают на таком расстоянии от венца колеса, при котором обеспечивается выход зубообрабатывающего инструмента (долбяка, фрезы, шлифовального камня, шевера) — см. рис. 16.2. Длину канавки l (мм) для выхода фрезы определяют графически (см. п. 16.1).

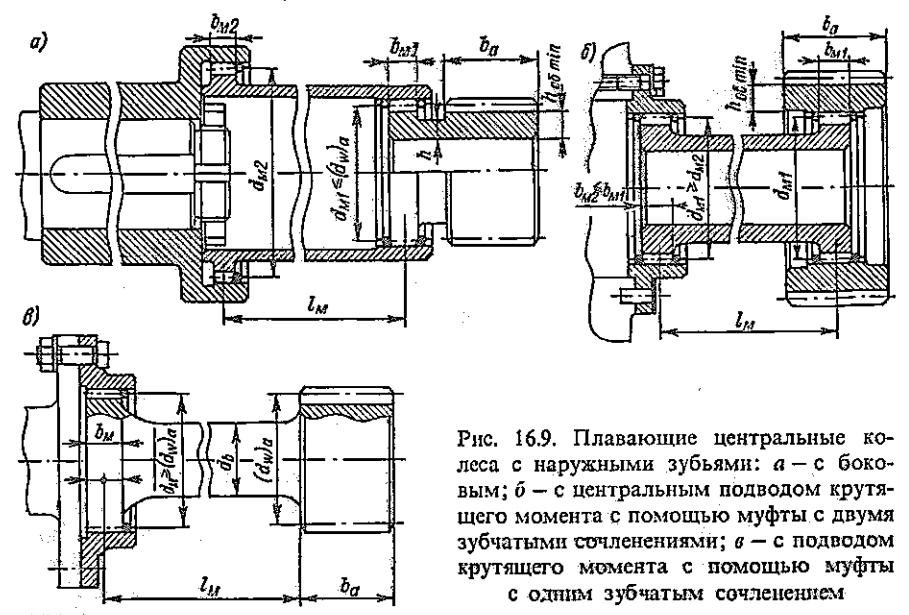
Ширину канавки k (мм) для выхода долбяка см. на с. 283.

Когда расчетный модуль $m_{\rm M}$ и расчетный диаметр муфты $d_{\rm M}$ близки к модулю m и начальному диаметру $(d_{\rm W})_a$ центрального колеса, зубчатые венцы колеса и втулки муфты обрабатывают за один проход одним инструментом (рис. 16.9, a). Необходимое сопряжение боковых поверхностей и по диаметру выступов в зубчатом сочленении муфты (отличающееся от сопряжения зубчатого зацепления колеса) в этом случае достигается за счет зубьев обоймы муфты.

Для уменьшения массы центральное колесо выполняют полым. Минимальную толщину обода в сечении под зубьями ограничивают величиной $h_{00~min} \ge (3 \div 4) \, m$ (рис. 16.9, 6). При боковом подводе крутящего момента (рис. 16.9, a) толщину полого тела колеса определяют из расчета на прочность (см. гл. 9).

При малом расчетном диаметре муфты $d_{\rm M}\ll (d_{\rm w})_a$ венец втулки муфты желательно разместить внутри обода центрального колеса, в среднем его сечении (рис. 16.9, б). Этот конструктивный прием позволяет существенно уменьшить неравномерность распределения удельной нагрузки по ширине зубчатого венца центрального колеса. Венец втулки может быть смещен к одному из торцов колеса, например, для увеличения длины промежуточного вала соединительной муфты.

Если используется соединительная муфта с одним зубчатым сочленением, то ее следует удалить на достаточно большое расстояние от центрального колеса (рис. 16.9, в). Это позволяет уменьшить угол перекоса оси плавающего центрального колеса при его радиальных перемещениях и, как следствие, уменьшить неравномерность распределения удельной нагрузки по ширине зубчатых венцов сценляющихся колес.



Неплавающие и невращающиеся центральные колеса с внутренними зубьями жестко соединяют с корпусом с помощью фланца (рис. 16.10, a) или круглых шпонок (рис. 16.10, b) без натяга по посадочному внешнему диаметру D. Для уменьшения габаритных размеров редуктора зубчатый венец центрального колеса может быть нарезан непосредственно в корпусе или его крышке (рис. 16.10, в). В этом случае требования к материалу корпуса определяются прочностью зубьев.

Неплавающие вращающиеся центральные колеса с внутренними зубъями имеют дисковую конструкцию и устанавливаются на валу с помощью различных соединений: фланцевого (рис. 16.11, a), с натягом или неподвижного зубчатого (шлицевого) (рис. 16.11, b).

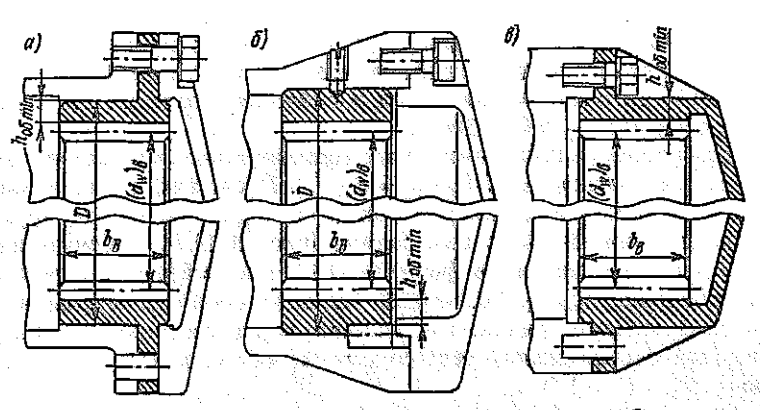


Рис. 16.10. Неплавающие невращающиеся центральные зубчатые колеса с внутренними зубыми

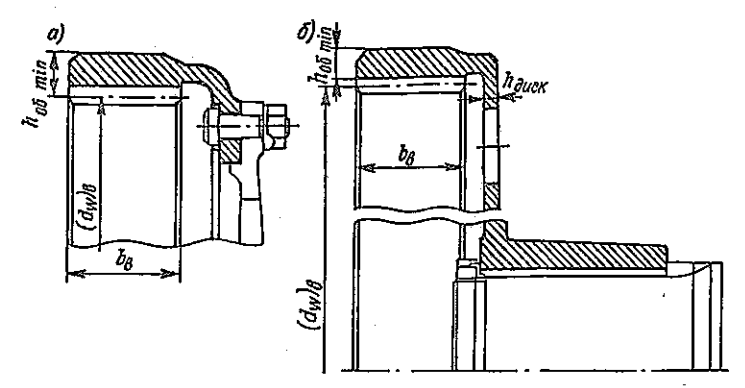


Рис. 16.11. Неплавающие вращающиеся центральные колеса с внутренними зубьями

Минимальная толщина обода неплавающих центральных колес с внутренними зубьями (по впадинам зубьев под канавкой шпонки или у отверстия болта) должна быть $h_{06 \text{ min}} \geqslant (2,5 \div 3) \, m$ при наличии фланца или диска в передачах с числом сателлитов $n_w \geqslant 3$ и $h_{06 \text{ min}} \geqslant (3 \div 3,5) \, m$ в конструкциях без ужесточающих элементов обода при $n_w \geqslant 3$. Толщина диска, несущего обод центрального колеса, может уменьшаться в радиальном направлении и при $n_w \geqslant 3$ достигать $h_{\text{диск}} = (1 \div 2) \, m$ (рис. 16.11). В диске предусматривают несколько отверстий для закрепления колеса на зуборезном станке или для снижения массы.

В планетарных передачах с числом сателлитов $n_w \geqslant 3$ используют плавающие центральные колеса с внутренними зубьями (рис. 16.12), радиальная деформация обода которых способствует выравниванию нагрузки между сателлитами (см. гл. 6). Ориентировочно можно принять минимальную толщину обода (по впадинам зубьев) $h_{06 \text{ min}} \geqslant (2,5 \div 3) \, m$ при $n_w = 4 \div 3$ и $h_{06 \text{ min}} \geqslant (1,5 \div 2) \, m$ при $n_w = 6 \div 5$. Плавающие центральные колеса соединяют с корпусом редуктора (рис. 16.12, a, a) или валом (рис. 16.12, a, a) с помощью соединительных муфт с двумя (рис. 16.12, a, a) или одним (рис. 16.12, a, a) зубчатыми сочленениями. Бывает целесообразно зубчатый венец обоймы муфты нарезать за один проход тем же инструментом, что и зубчатый венец самого колеса (рис. 16.12, a, a). Рабочую ширину зубчатого сочленения муфты, расположенного на колесе, ограничивают в пределах $b_{\rm Mi} = (2 \div 3) \, m_{\rm Mi}$.

Между рабочими ширинами венцов соединительной муфты (рис. 16.12, a) соблюдается соотношение: $b_{\rm MI}/b_{\rm M2}=d_{\rm M2}/d_{\rm M1}$. В случаях, когда во втором зубчатом сочленении диаметр $d_{\rm M2}\ll d_{\rm M1}$ и определяется конструктивно размерами сопряженной с ним детали (рис. 16.12, b), рабочую ширину венца $b_{\rm M2}$ следует найти по формуле (13.2) при соблюдении рекомендуемой пропорции $b_{\rm M2}/d_{\rm M2}\leqslant 0.2\div 0.25$. Толщина оболочки муфты или той части центрального колеса, где нарезан венец соединительной муфты, смещенный относительно среднего сечения обода колеса, выбирается в пределах $h_{\rm M}=(1\div 1.5)~m_{\rm M}$.

Сателлиты. Их обычно устанавливают на одном-двух подшипниках качения (подшипники скольжения используются в специальных случаях).

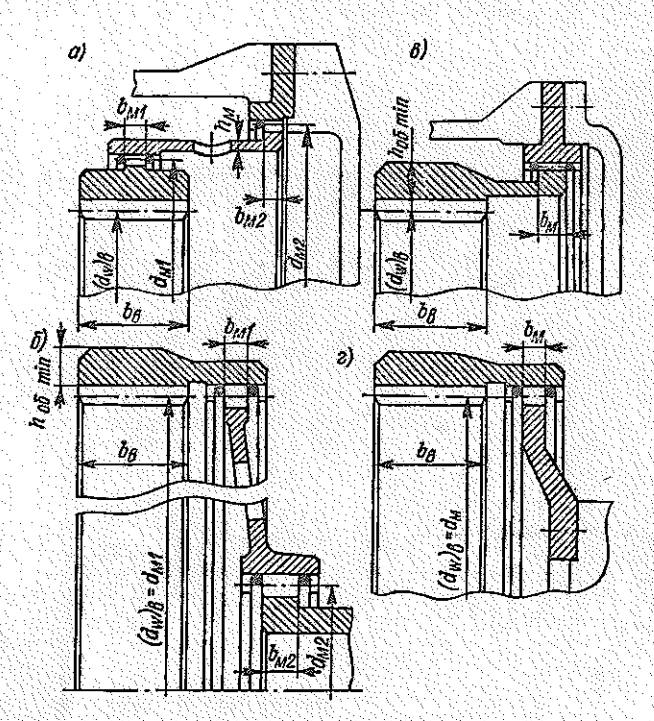


Рис. 16.12. Плавающие центральные колеса с внутренними эубьями

В передачах A, В подшинники рекомендуют размещать внутри полого обода сателлита для уменьшения осевого габаритного размера (см. рис. 20.9). В передачах 3k для уменьшения угла перекоса сателлита (под действием противоположно направленных усилий в зацеплениях с центральными колесами) подшипники целесообразно разместить в водиле (см. рис. 20.13). Двухвенцовые сателлиты по возможности рекомендуется выполнять цельными. Для обработки меньшего зубчатого венца следует предусмотреть канавку для выхода инструмента (см. рис. 16.2, а).

Конструктивная ширина b обода зубчатых колес может не совпадать с расчетной шириной зубчатого венца b_w . Например, для передач с упрочнением активных поверхностей колес с внешними зубьями и термическим улучшением активных поверхностей колес с внутренними зубьями (рис. 20.11) принимают: $b_b = b_w$; $b_g = b_w + (0.5 \div 1) m$ и $b_a = b_w + (1 \div 1.5) m$. Для передач без поверхностного упрочнения всех зубчатых колес (например, см. рис. 20.13) принимают $b_g = b_w$ и $b_a = b_b = b_w + (0.5 \div 1) m$. Шприна ступицы сателлита равна или больше пирины его обода в зависимости от размеров подшинников и элементов их фиксации.

Водила. В планетарных передачах с числом сателлитов $n_w \geqslant 2 \div 3$ водило обычно представляет собой две щеки, соединенные друг с другом перемычками (рис. 16.13, a). В отверстия щек устанавливают оси сателлитов, если подшипники размещены внутри их ободьев (см. рис.

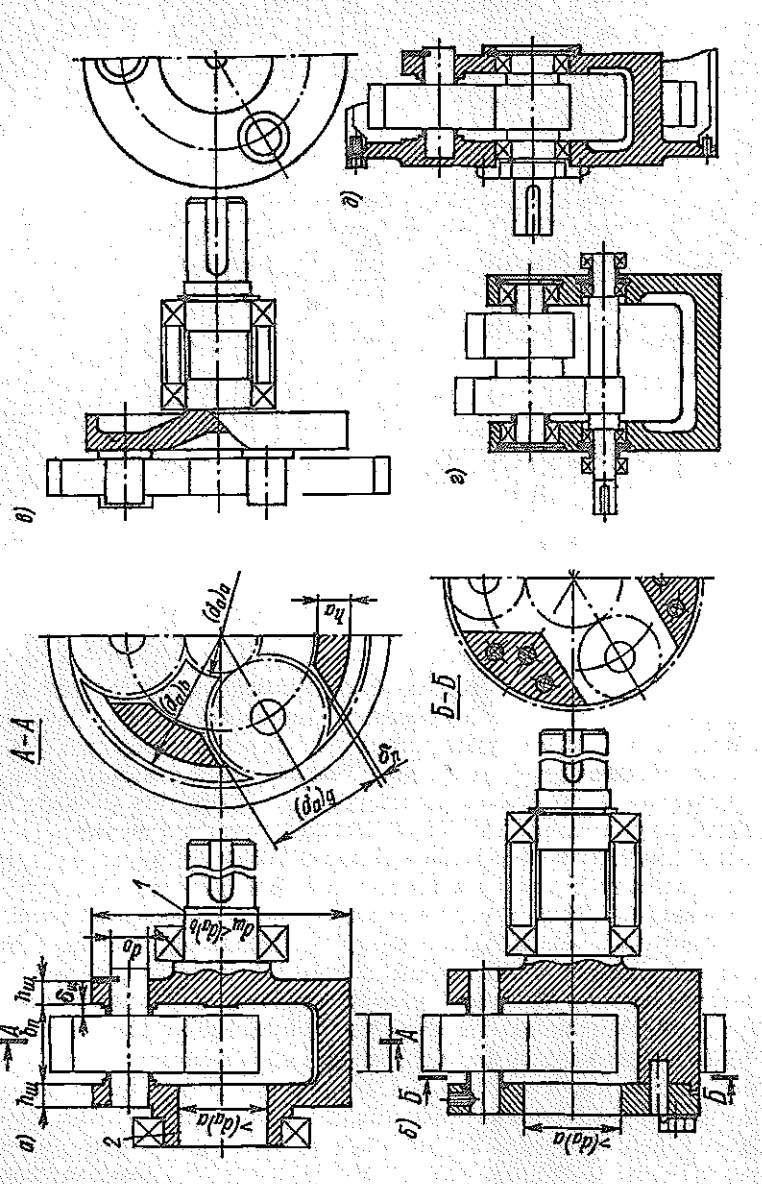


Рис. 16.13. Конструкции неплаванощего водила: а – перазъемное с симметричным расположением между опорами: б – разъемное с консольным расположением на опорах; в - с одной щекой и консольными осями сателлитов; г - без подвода внешнего момента (для передачи 3k); 0 – невращающееся водило с фланцевым креплением к корпусу

20.9), или сами подшипники, если сателлиты напрессованы на оси (см. рис. 20.14).

По условиям монтажа центральных колес или сателлитов в некоторых случаях водило выполняют с разъемом по щеке (с той стороны, где нет подвода кругящего момента к водилу), рис. 16.13, б. К этому же приему иногда прибегают для упрошения технологии изготовления водила.

Конструкция водила с одной щекой без перемычек (рис. 16.13, 6) нозволяет использовать предельное число сателлитов по условию соседства (см. п. 6.6). При этом наиболее надежна конструкция с консольными осями сателлитов, выполненными за одно целое со щекой, хотя из технологических соображений прибегают и к закреплению консольных осей в отверстиях щеки с натягом.

Жесткость водила по отношению к действующим на него усилиям обеспечивается преимущественно щеками и в меньшей степени перемычками. Жесткость щек при необходимости может быть повышена кольцевыми ребордами (рис. 16.13, в). Для уменьшения массы удаляют те участки конструкции, которые менее эффективно участвуют в создании общей жесткости водила. При использовании разъемных конструкций необходимо принимать во внимание неизбежное синжение жесткости водила. Отъемная щека соединяется с перемычками винтами, воспринимающими внешнюю осевую нагрузку из-за неплоской деформации шеки. Усилия, действующие на отъемную щеку со стороны осей сателлитов, передаются на перемычки цилиндрическими штифтами. Размещение винтов и штифтов требует достаточной площади перемычки, поэтому число сателлитов в разъемных конструкциях редко превышает $n_w = 3$.

Вращающееся водило может быть снабжено цапфами опорных подшипников на обеих щеках или только на одной из них (рис. 16.13, б). Внешние поперечные силы, действующие на вал водила, вызывают его перекос в опорах, который может привести к недопустимо большой неравномерности распределения нагрузки между сателлитами и по ширине зубчатых венцов сцепляющихся колес. Опасность подобного перекоса возрастает при консольной установке водила. Для уменьшения перекоса следует использовать подпишники качения с уменьшенным зазором и повышенной жесткостью (см. гл. 10).

Невращающиеся водила обычно жестко присоединяют фланцем к корпусу редуктора (рис. 16.13, д). В этом случае водило становится как бы конструкционным элементом корпуса — его боковой или промежуточной стенкой.

Некоторые особенности имеют водила планетарных передач типа 3k. К водилу передачи 3k не приложен внешний крутящий момент. Однако жесткость водила, щеки которого нагружены противоположно направленными усилиями со стороны осей сателлитов, должна быть обеспечена. Обычно используют две опоры водила на валу центрального колеса a (рис. 16.13, ϵ).

Плавающие водила, применяемые в передачах с числом сателлитов $n_w \ge 3$, должны быть снабжены зубчатым венцом для сочленения соединительной муфты. Венец муфты может быть отъемным или нарезаться на самом водиле, принадлежать ко втулке или к обойме муфты (см. рис. 20.10, 20.12). Расчетный диаметр венца муфты $d_{\rm M}$ обычно вы-

бирают конструктивно, например по внешнему или внутреннему диаметру щеки, тогда рабочую ширину зубчатого венца $b_{\rm M}$ следует подобрать

по формуле (13,2).

При проектировании основные размеры водила выбирают ориентировочно. Толщина $h_{\rm m}$ и диаметр $d_{\rm m}$ щеки водила определяются конструкцией опоры сателлита. Однако диаметр щеки желательно выбрать из условия $d_{in} < (d_a)_b$ (рис. 16.13, a), чтобы избежать необходимости разъема щеки для установки центрального зубчатого колеса в. Если полшипники сателлитов размещены в щеках, то толщина $h_{\rm m}$ зависит от ширины подшипника и устройств для его фиксации в осевом направлении (см. рис. 18.16). Если в щеки запрессована ось сателлита диаметром d_0 (рис. 16.13, a), то толщину щеки выбирают в пределах $h_{\rm H} \approx (0.4 \div$ \div 0,6) d_0 . Длина перемычки l_n зависит от общей ширины сателлита b_a и зазоров между ними и щеками водила, назначенных не менее модуля $\delta_{\rm m} \geqslant m$. Конфигурацию и размеры перемычки между щеками выбирают с учетом диаметра выступов сателлита $(d_a)_a$ (или наибольшего из его зубчатых венцов) и зазоров между сателлитом и перемычкой $\delta_n \geqslant m$. Обычно придерживаются соотношения размеров $h_n \geqslant h_m$. Диаметр цапфы 1 водила определяют после расчета на прочность вала водила по формуле (9.2), рис. 16.13, а. Если нагрузка на цапфу 2 сравнительно невелика, то ее диаметр назначают конструктивно по размеру отверстия в свободной щеке, необходимого для монтажа центрального колеса с наружными зубьями.

§ 16.5. Указание на рабочих чертежах параметров венцов зубчатых колес, требований, предъявляемых к точности заготовок, и примеры оформления рабочих чертежей

Правила выполнения чертежей эвольвентных цилиндрических зубчатых колес и секторов, конических зубчатых колес с прямолинейным профилем исходного контура для передач с пересекающимися осями, зубчатых реек, цилиндрических червяков и червячных колес устанавливаются ГОСТ 2.403—75* (СТ СЭВ 859—78). Этот стандарт определяет правила указания на чертежах параметров зубчатых венцов. Другие данные, необходимые для изготовления зубчатых колес, приводятся на чертеже в соответствии с требованиями ЕСКД.

Указание на чертежах параметров венцов зубчатых колес. Параметры зубчатых венцов указывают на изображениях зубчатых колес, реек, червя-

ков, червячных колес и в таблице параметров.

На изображении цилиндрического зубчатого колеса (рис. 16.14, a) должны быть указаны: диаметр вершин зубьев d_a ; ширина венца b; размеры фасок c или радиусы линий притуплений на кромках зубьев R; шероховатость боковых поверхностей зубьев ∇ .

На изображении конического зубчатого колеса (рис. 16.14, δ) указывают: внешний диаметр вершин зубьев до притупления кромки зуба d_{ae} ; расстояние от базовой поверхности T до плоскости внешней окружности вершин зубьев C_1 ; угол конуса вершин зубьев δ_a ; угол дополнительного конуса γ ; ширину зубчатого венца по образующей делитель-

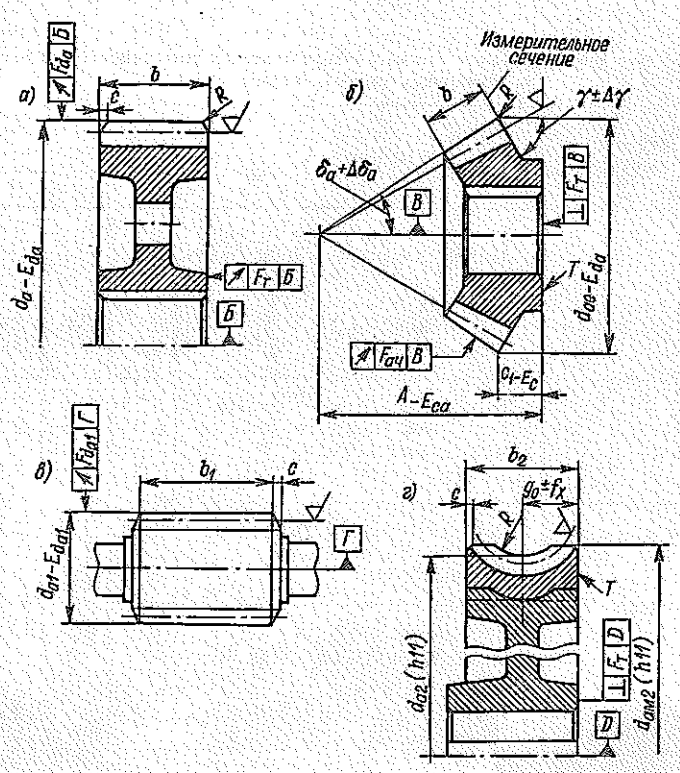


Рис. 16.14. Параметры зубчатых венцов, указываемые на чертежах

ного конуса b; расстояние A от базовой поверхности T до вершины делительного конуса (базовое расстояние); размеры фасок или радиусы линий притуплений на кромках зубьев R; шероховатость боковых поверхностей зубьев ∇ ; положение измерительного сечения.

На изображении цилиндрического червяка (рис. 16.14, s) указывают: диаметр вершин витка d_{a1} ; длину нарезной части червяка по вершинам b_1 ; размеры фасок c на концах витка; шероховатость боковых поверхностей

витков 🗸 .

На изображении червячного колеса (рис. $16.14, \varepsilon$) указывают: диаметр вершин зубьев d_{a2} ; ширину зубчатого венца b_2 ; расстояние от базового торца T до средней торцовой плоскости колеса g_0 ; наибольший диаметр d_{aM2} ; радиус поверхности вершин зубьев R; размеры фасок ε или радиусы притупления торцовых кромок зубьев; шероховатость боковых поверхностей зубьев ∇ .

Параметры шероховатости обрабатываемых поверхностей зубчатых

колес и червяков приведены в табл. 16.1.

При необходимости модифицированный или бочкообразный зуб цилиндрического или конического зубчатого колеса изображают отдельно с нанесением необходимых размеров. Остальные данные, необходимые для изготовления и контроля точности зубчатого венца или витков

Параметры шероховатости (мкм) обрабатываемых поверхиостей зубчатых и червячных колес и червяков [7]

Элементы передачи	Поверхность	Степень точности по нормам контакта					
		6	7	8	9		
Цилиндрические зубчатые колеса	Рабочая поверхность зубьев Цилиндр выступов при измерении: \overline{S}_c или \overline{S}_y W или $M(M_{\rm m})$ Базовый торец	0,63 1,25 2,5 2,5	1,25 2,5 5,0 2,5	2,5 2,5 5,0 5,0	5,0 5,0 10,0 10,0		
Конические зубча- тые колеса	Рабочая поверхность зубьев Конус выступов и внешний до- полнительный конус Базовый торец	1,25 2,5 2,5	2,5 2,5 2,5	2,5 2,5 2,5	5,0 5,0 2,5		
Червячные колеса	Рабочая поверхность зубьев Поверхность выступов Базовый торец	1,25 5,0 2,5	1,25 5,0 2,5	2,5 10,0 5,0	5,0 10,0 10,0		
Червяки	Рабочая поверхность витков Цилиндр выступов при измерении: \overline{S}_{a1} M_1	0,32 1,25 2,5	0,63 1,25 2,5	1,25 2,5 2,5	1,25 2,5 2,5		

Примсчание. \overline{S}_c — постоянная хорда зуба; \overline{S}_y — толщина зуба по хорде; W — длина общей нормали; $M(M_{\rm HI})$ — торцовый размер по роликам или шарикам; \overline{S}_{a1} — делительная толщина по хорде витка червяка; M_1 — размер червяка по роликам; эти параметры указывают виды контроля взаимного положения разноименных профилсй зубьев (витков).

червяка, указывают в таблице параметров и технических требованиях. Таблицу параметров размещают в правом верхнем углу чертежа, а технические требования чертежа рекомендуется располагать под таблицей (рис. 16.15). Таблица параметров состоит из трех частей: 1) основные данные; 2) данные для контроля; 3) справочные данные. Каждая часть отделяется сплошными толстыми линиями. Первая часть таблицы параметров содержит сведения, необходимые для выбора режущего инструмента, установки его относительно заготовки в станочном зацеплении, степень точности передачи и вид сопряжения. Во второй части приводятся данные для контроля взаимного положения разноименных профилей зубьев (вигков). В третьей части таблицы приводятся справочные данные, которые используются при наладке зуборезного станка.

Степени точности и виды сопряжений назначаются при проектировании в зависимости от условий работы передачи. Ориентировочные рекомендации по назначению степеней точности силовых цилиндрических и конических передач в зависимости от окружной скорости приведены на с. 85, а для силовых червячных передач — на с. 97. Требования, предъявляемые к точности заготовок, и примеры оформления рабочих чертежей зубчатых колес. Допустимые погрешности размеров и форм заготовок ГОСТ 1643—81 (СТ СЭВ 641—77, СТ СЭВ 643—77, СТ СЭВ 644—77), ГОСТ 1758—81, ГОСТ 3675—81 (СТ СЭВ 1162—78) соответственно для цилиндрических, конических и червячных передач не нормированы, поскольку в указанных стандартах регламентированы допуски на готовое изделие. Необходимая точность выполнения заготовки зависит от технологического процесса обработки изделия и от применяемых способов установки и выверки. Отклонения базовых поверхностей



Рис. 16.15. Таблица параметров

заготовок оказывают большое влияние на точность обработки и контроль изделия. Поэтому при разработке рабочих чертежей изделий должны быть установлены требования к базовым поверхностям заготовок.

Требования к точности заготовок цилиндрических зубчатых колес (рис. 16.14, а). Базовыми поверхностями у цилиндрических зубчатых колес обычно являются: отверстие зубчатого колеса, используемое для монтажа зубчатого колеса на вал (рис. 16.2, а), а у вал-шестерни — опорные шейки вала; наружный цилиндр зубчатого колеса, используемый в некоторых случаях для выверки заготовки на зуборезном станке и для контроля размеров зуба; базовый торец зубчатого колеса, по которому базируется заготовка при зубообработке.

Степень точности и шероховатость базовых поверхностей (посадочного отверстия зубчатого колеса и опорных шеек вала или вал-шестерни) приведены в табл. 16.2.

Если наружный цилиндр заготовки используется в качестве базы при установке зубчатого колеса на станок и для контроля размеров зуба (например, для замера зуба по постоянной хорде), то на диаметр d_a (рис. 16.14, a) назначают предельное отклонение \mathbf{E}_{d_a} и допуск \mathbf{F}_{d_a} на радиальное биение наружного цилиндра, определяемые по зависимостям, приведенным в табл. 16.3.

В случае, если наружный цилиндр не используют в качестве базы при установке на зубообрабатывающий станок и при контроле толщины зуба, то допуск \mathbf{E}_{d_a} принимают по полям допусков h11 CT СЭВ 145—75 для зубчатых колес с модулем от 1 до 5 мм и h13—для зубчатых колес с модулем более 5 мм (для зубчатых колес с внутренними зубьями значения \mathbf{E}_{d_a} назначают соответственно по H11 и H13). Установленный допуск не должен превышать $\mathbf{0}$, $\mathbf{1}$ \mathbf{m} .

Неперпендикулярность базового торца заготовки к рабочей оси зубчатого колеса приводит к отклонениям направления зубьев. Рекомендуемые допуски на торцовое биение заготовки F_{τ} приведены в табл. 16.4.

Требования к точности заготовок конических зубчатых колес (рис. 16.14,6). При изготовлении конических зубчатых колес базовыми поверхностями обычно являются отверстие зубчатого колеса (рис. 16.14,6), используемое для монтажа зубчатого колеса на вал, а у вал-шестерни — опорные шейки вала; конус вершин и внешний диаметр вершин зубьев

Таблица 16.2 Требовання точности базовых поверхностей заготовок

	3										Ta	6.1	щ	2	16	. 3	}
	ò	3	a	Bl	ici	M	oc	TH	ДЛ	П	ont	ед	ел	eH	115	•	ì
١,		Š,	١,	े		1					da						Ì

	метры базовых оверхностей	Степень точности 5 6 7-8			
Отвер- стие	Квалитет Шерохова- тость <i>R_a</i> , мкм	5 6 0,8	7 1,6		
	Квалитет Шерохова-	5 0,4	6 1,25		
Вал	тость <i>R_a,</i> мкм Радиальное биение, мкм		15+0,025a		

		•
Вид сопря- жения	$\mathtt{E}_{d_{m{a}}}$	\mathbf{F}_{d_a}
D	0,7 F, + 12	0,35 F, + 6
C	$0.9 F_r + 16$	0,45 F, +8
В	1,1F, + 20	0,55 F, + 10
A	1,2 F, +25	0,6 F, + 12

 d_{ae} , используемые для выверки на зубообрабатывающем станке и для контроля размеров зуба; базовый торец T зубчатого колеса, по которому базируется заготовка при зубообработке.

Степень точности и шероховатости базовых поверхностей (посадочного отверстия конического зубчатого колеса и опорных шеек вала или вал-шестерни) устанавливают по данным табл. 16.2.

Допуск перпендикулярности базового торца заготовки к рабочей оси зубчатого колеса определяют по зависимости

$$F_{\tau} = (d_6/d_e) f_a \operatorname{tg} \delta, \tag{16.1}$$

где d_5 — диаметр базового торца заготовки; d_c — внешний делительный диаметр зубчатого колеса; f_a — предельное отклонение межосевого расстояния (табл. 16.5); δ — угол делительного конуса.

Допуск на отклонение внешнего диаметра заготовки E_{d_2} рекомендуется назначать по табл. 16.6.

Предельные отклонения расстояния от базовой плоскости до плоскости внешней окружности вершин зубьев Е, рекомендуется принимать: 0,05 мм для зубчатых колес с внешним окружным модулем от 1 до 5 мм и

Таблица 16.4 Допуск (мкм) на торцовое биение заготовки F_{τ} при d=100 мм

Степень точно-	Ширина з	убчатого к	олеса, мм
сти по нормам	До 40	Св. 40	Св. 100
контакта		до 100	до 160
6	20	10	6,4
7	24	12	8,0
8	40	20	12,8

Примечание. Значение допуска торцового биения определяют умножением значения F_7 , взятого из таблицы, на величину d/100, где d — делительный диаметр, мм.

Таблица 16.5 Предельное отклонение межосевого расстояния f_a, мкм

Сте- пень точно- сти		днее конус стояние <i>R</i> ,	
	До 50	Св. 50 до 100	Св. 100 до 200
6	12	1.5	18
7	18	20	25
8	28	30	36

вала, мм.

Таблица 16.6 Предельные отклонения внешнего днаметра вершин зубьев Е_{д.}

Степень	Вид допуска	Средний нормаль-	Средний делительный диаметр <i>d</i> , мм		
точности	бокового зазора		До 120 Поле	Св. 120 до 500 допуска	
6	h, d c, b a	От 1 до 16	h7 h8 h9	h6 h7 h8	
7	d c b a	От 1 до 25	h8 h8 h9 h9	h7 h8 h8 h8	
8	d, c b a	От 1 до 56	h8 h9 h9	h8 h8 h9	

0,1 мм для колес с модулем больше 10 мм [46]. Допуск на расстояние от базового торца до вершины делительного конуса (базовое расстояние A) можно принимать равным $E_{ca} = E_c R_c / R$.

Допуск на биение конуса вершин зубьев F_{ar} в направлении, перпендикулярном к образующей конуса, принимают равным: $F_{ar} = 0.6F_{rr}$ где F_{rr} по табл. 16.7.

Допуск на угол конуса вершин зубьев при $m_{ie} \ge 1.5$ мм принимают равным $\Delta \delta_a = \pm 8'$, а на дополнительный угол γ допуск $\Delta \gamma = \pm 15'$.

Требования к точности заготовок цилиндрических червяков (рис. 16.14, в). Если внешний цилиндр червяка используется как измерительная база,

Таблица 16.7 Допуск (мкм) на биение зубчатого венца F.

Степень	Средний нормаль-	Делительный диаметр**, мм					
точности	ный модуль m _n *, мм	До 125	Св. 125 до 400	Св. 400 до 80			
	От 1 до 3,5	25	36	45			
6	CB. 3,5 » 6,3	28	40	50			
	(» 6,3 » 10	32	45	56			
	» 10 » 16		50	63			
	От 1 до 3,5	36	50	63			
7	CB. 3,5 » 6,3	40	56	71			
	» 6,3 » 10	45	63	80			
	» 10 » 16	-	71	90			
	От 1 до 3,5	45	63	80			
	CB. 3,5 » 6,3	50	71	90			
8	» 6,3 » 10	56	80	100			
	» 10 » 16		90	112			

^{*} Для червячных передач осевой модуль.

^{**} Для конических передач средний делительный диаметр.

Предельное отклонение * $\mathbf{E}_{d_{a1}}$ (мкм) на двамето d_{st} червяка

Степень	Вид соп	ряжения
точности	D, C	В, А
6	h6	h7
7	h6	h7
8	h7	h8

^{*} Предельные отклонения $\mathbf{E}_{d_{a1}}$ совпадают со значеннями поля допуска, указанными в таблице.

Допуск Fda1 на радиальное биение наружного цилиндра червяка, мкм

	and the first section of the		•		
Сте-	Вил	Дели			тр d _i
точ- ности	сопряжения		От 50 до 80	От 80 до 120	От 120 до 180
6	A, B, C и D	10	11	12	13
7	D A, B, C	13 13	13 15	14 16	15 19
8	D C A, B	14 17 17	15 19 19	16 20 21	16 22 24
	пень точ- ности 6	пень точности Вид сопряжения 6 А, В, С и D 7 Д д д д д д д д д д д д д д д д д д д д	Сте- пень пости сопряжения от 30 до 50 6 А. В. С и D 10 7 В Д 13 А. В. С 13 Вид 13 13 В Д 13 В Д 14 8 С 17	Сте- пень пости Вид Сопряжения От 30 От 50 До 50 До 80 6 А, В, С и D 10 11 7 Д Д 13 13 Д 4, В, С 113 15 В Д 14 15 В С 17 19	пень точности Вид сопряжения пости От 30 до 50 до 80 до 120 6 А, В, С и D 10 11 12 7 Дан до 30 до 30 до 120 13 13 14 4, В, С и Д 13 15 16 8 С 17 19 20

то на диаметр d_{a1} назначают предельное отклонение $\mathbf{E}_{d_{a1}}$ (табл. 16.8) и допуск на радиальное биение $\bar{\mathbf{F}}_{d_{a1}}$ (табл. 16.9).

Требования к точности заготовки червячного колеса (рис. 16.14, г). Для обеспечения требуемой точности ряд размеров червячного колеса ограничивают предельными отклонениями:

допуск F_{τ} на торцовое биение базового торца T на 100 мм диаметра назначается в соответствии с табл. 16.4;

поле допускаемого отклонения наибольшего диаметра червячного колеса d_{aM2} и диаметра вершин зубьев d_{a2} принимается по h11;

продольное смещение средней плоскости червячного колеса f_x от базового торца в обработке (размер g_0) и предельное отклонение межосевого расстояния передачи fa (мкм) определяют по формулам:

$$f_x = B_x \sqrt[3]{a_w};$$
 (16.2)
 $f_a = B_a \sqrt[3]{a_w},$ (16.3)

$$f_a = B_a \sqrt[3]{a_w}, \tag{16.3}$$

где a_w — межосевое расстояние, мм. Коэффициенты B_x и B_a принимаются в зависимости от степени точности передачи:

Степень точности		6	7 8	
$B_{\mathbf{x}}$	٠	5,4	8,5 13,4	4
B_a	-	6,95	11,0 17,4	4

Предельное отклонение межосевого расстояния в обработке $f_0 = 0.6f_a$ (указывается на размер a_w корпуса передачи).

Пример оформления рабочего чертежа цилиндрической прямозубой вал-шестерни показан на рис. 16.16. На рис. 16.17-16.22 приведены фрагменты оформления рабочих чертежей некоторых других деталей редукторов: на рис. 16.17 и 16.18 – для цилиндрических зубчатых прямозубых колес с внешними и внутренними зубьями соответственно; на рис. 16.19 — для конического прямозубого колеса; на рис. 16.20 и 16.21 для червяка и червячного колеса соответственно; на рис. 16.22 – для водила планетарной передачи.

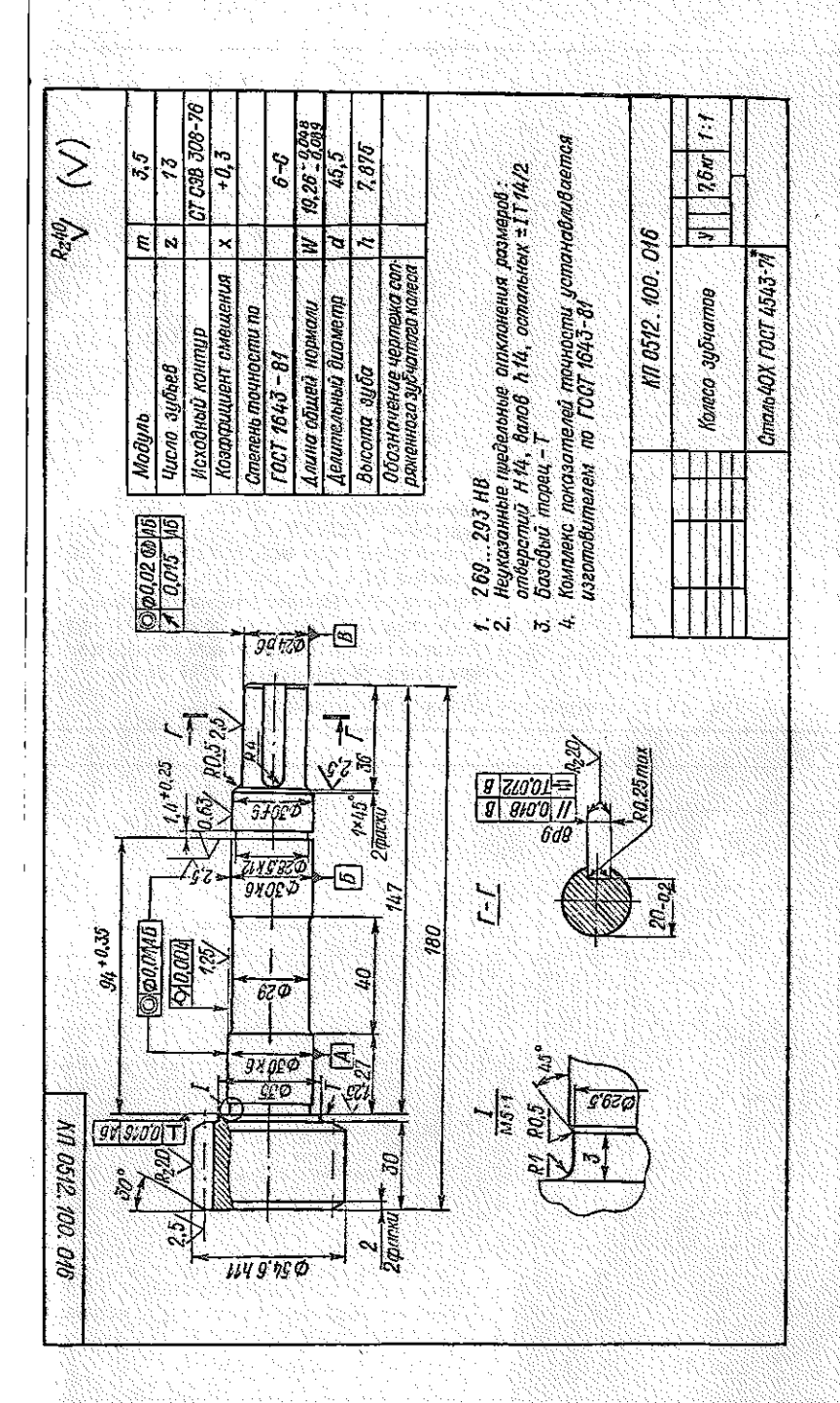
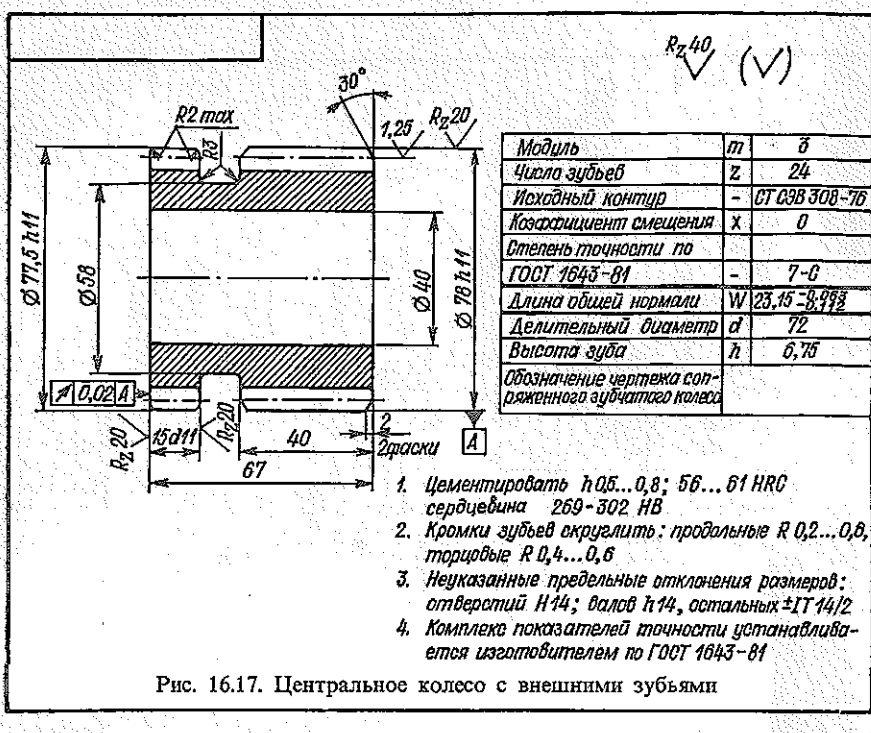


Рис. 16.16. Вал-шестерня с консольным расположением зубчатого ренца



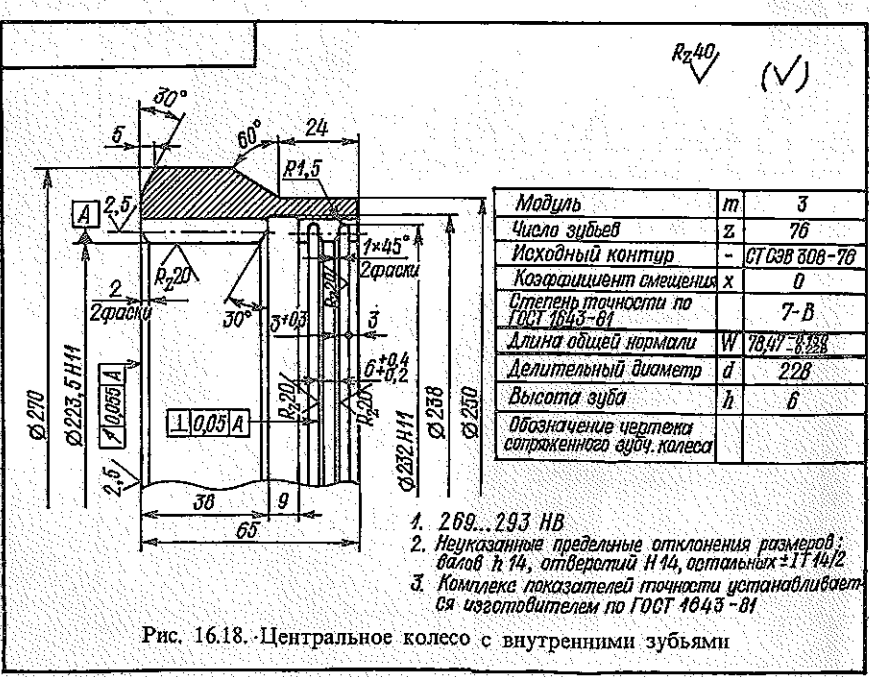


Рис. 16.19. Колесо коническое прямозубое

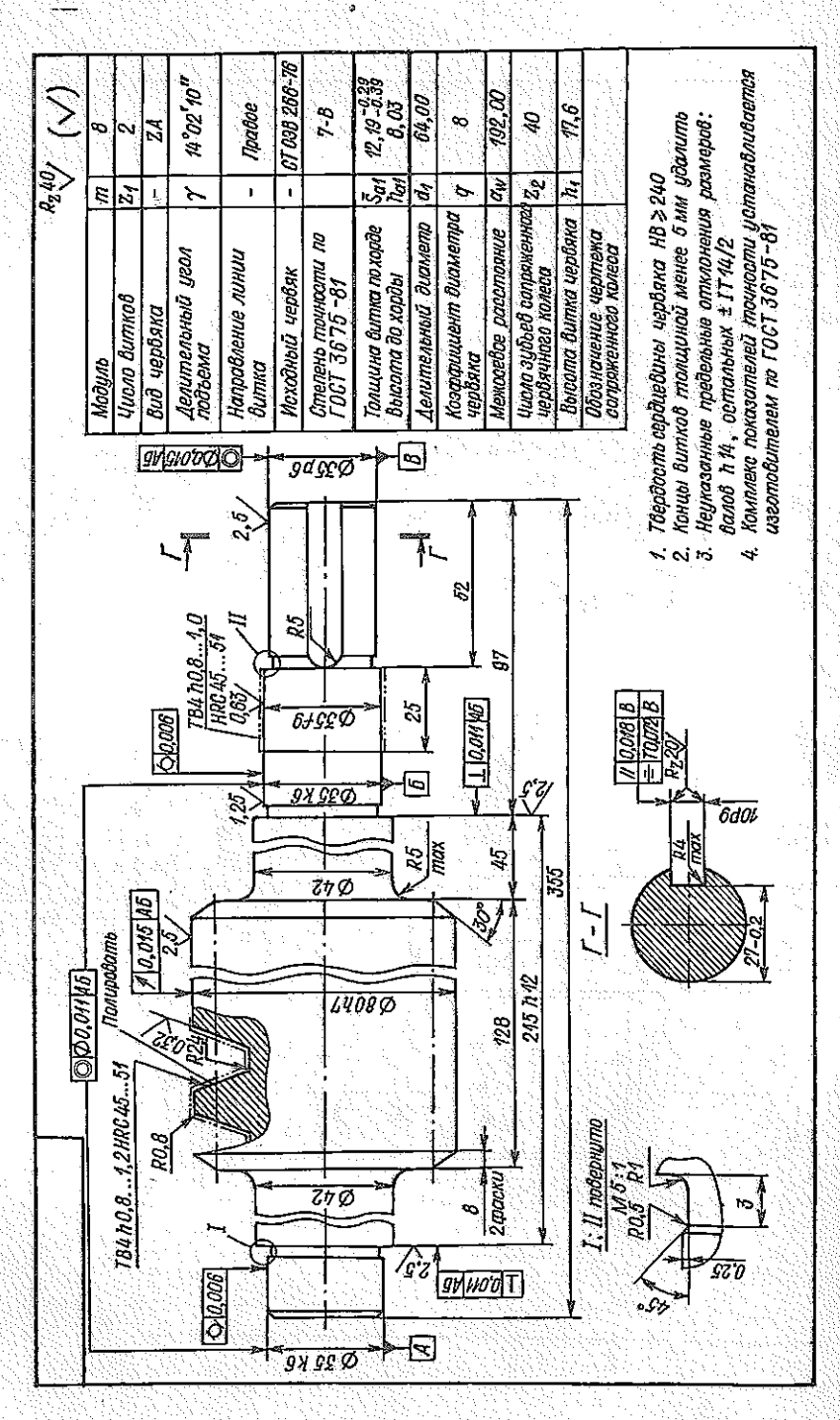
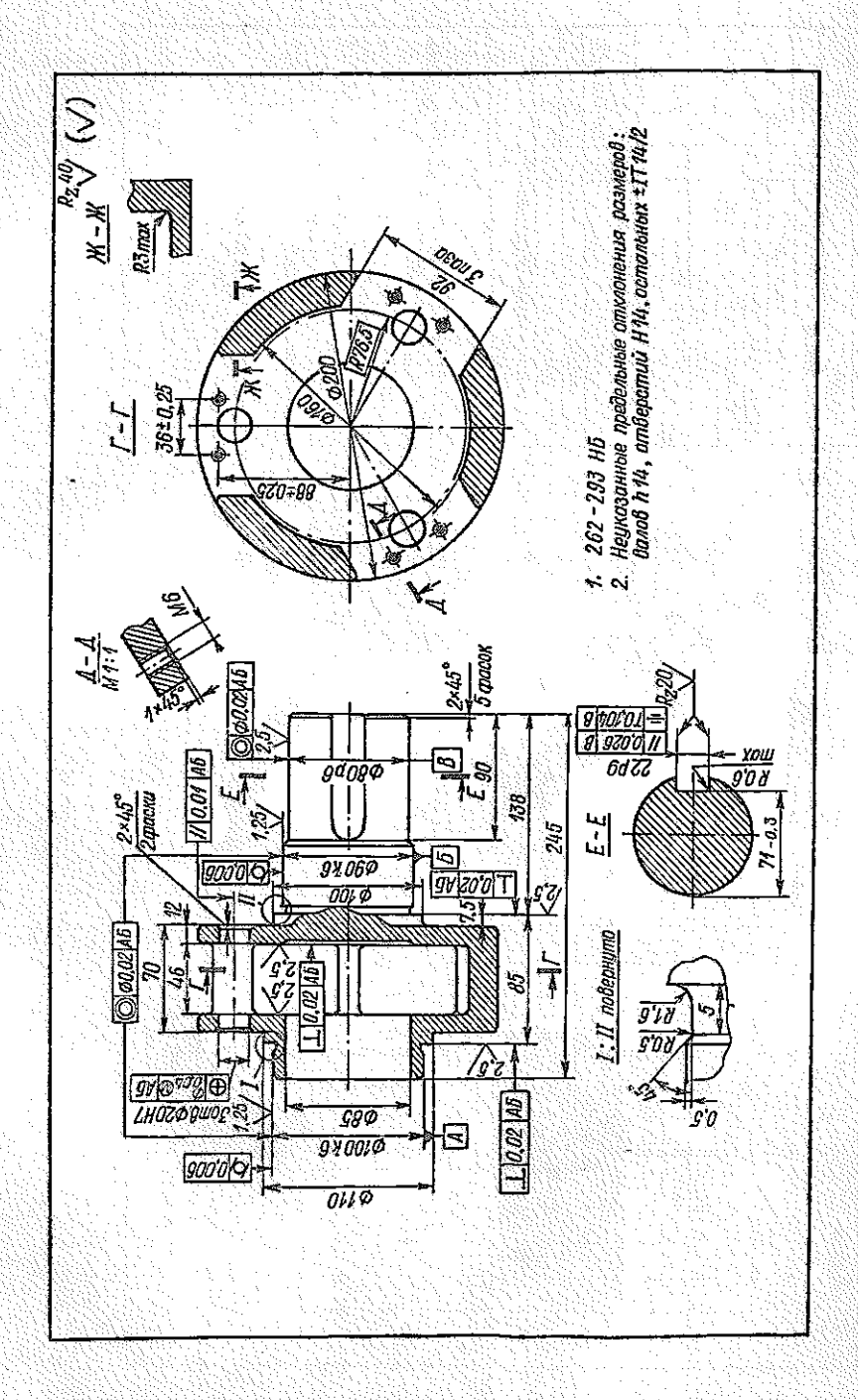


Рис. 16.21. Колесо червячное



§ 16.6. Определение размеров для контроля взаимного положения разноименных профилей зубьев

Для обеспечения нормальных условий работы и предупреждения возможного заклинивания в связи с погрешностями изготовления и изменения размеров, вызванных нагревом передачи, в зацеплении, как правило, предусматривается боковой зазор между активными поверхностями зубьев. Для обеспечения необходимого бокового зазора предусматривается уменьшение толщины зубьев по сравнению с номинальными размерами, при которых зазор равен нулю.

Стандартами на допуски (ГОСТ 1643—81, СТ СЭВ 641—77, СТ СЭВ 643—77 и СТ СЭВ 644—77), ГОСТ 1758—81, ГОСТ 3675—81 (СТ СЭВ 1162—78) соответственно для цилиндрических, конических и червячных передач) предусмотрена возможность назначения шести видов сопряжений: А, В, С, D, Е и Н в порядке убывания зазора и восемь видов допуска на боковой зазор x, y, z, a, b, c, d, h в порядке уменьшения

размеров поля допуска.

Боковой зазор в передаче характеризуется комплексным показателем $j_{n \min}$, который для передач с нерегулируемым расположением осей обеспечивается предельным отклонением межосевого расстояния f_{ar} , а для зубчатых колес — дополнительным смещением исходного контура E_{Hs} . Смещение исходного контура можно косвенно определить по толщине зубьев любым из видов контроля взаимного положения разноименных профилей зубьев. Из различных видов контроля наиболее широкое распространение получили следующие: замер постоянной хорды зуба и измерение длины общей нормали.

Расчет постоянной хорды \overline{S}_c и высоты до постоянной хорды \overline{h}_c для цилиндрических зубчатых колес приведен на с. 19, для конических зубчатых колес — на с. 79. Для цилиндрического червяка делительная толщина по хорде витка червяка в нормальном сечении \overline{S}_{c1} и высота до хорды

 h_{a1} определяются на с. 95.

Расчет длины общей нормали И приведен на с. 22.

На размеры S_c , S_{a1} и W для зубчатых колес с внешними зубьями и червяков назначаются предельные отклонения по следующей схеме:

$$\overline{S}_{c-(\Xi_{cs}+T_{cs})}^{-\Xi_{cs}}; \ \overline{S}_{a!-(\Xi_{ca}+T_{ca})}^{-\Xi_{ca}}; \ W_{-(\Xi_{Ws}+T_{Ws})}^{-\Xi_{Ws}},$$

где E_{cs} , E_{ca} , E_{Ws} — наименьшие отклонения толщины зуба, толщины витка червяка, длины общей нормали; T_{cs} , T_{ca} , T_{Ws} — допуски на толщину зуба, толщину витка червяка, длину общей нормали.

При назначении предельных отклонений на длину общей нормали для зубчатых колес с внутренними зубьями у E_{Ws} и T_{Ws} меняются подстрочные индексы s на i и меняется знак отклонения с минуса на плюс. В этом случае предельные отклонения назначаются по следующей схеме:

$$W_{+E_{W_i}}^{+(E_{W_i}+T_{W_i})}$$

Определение предельных отклонений и допусков на размеры \bar{S}_c и W для цилиндрических зубчатых колес по ГОСТ 1643—81, СТ СЭВ 641—77. СТ СЭВ 643—77 и СТ СЭВ 644—77. Наибольшие предельные отклонения

толицины зуба E_{cs} и длины общей нормали E_{Ws} являются функцией наименьшего допускаемого смещения исходного контура E_{Hs} . Величина E_{Hs} зависит от вида сопряжения и степени точности передачи и в ГОСТ 1643-81 приравнивается допуску ITQ для гладких соединений по СТ СЭВ 145-75, где Q — номер квалитета (для сопряжений D, C, B и A значение Q соответственно равно 8, 9, 10 и 11 — табл. 16.10). Цифровые значения величины ITQ выбираются из табл. 16.11 в зависимости от диаметра делительной окружности зубчатого колеса.

Допуск T_{Hs} на смещение исходного контура зависит от вида сопряжения и радиального биения зубчатого венца. Величина T_{Hs} подсчитывается по формулам, приведенным в табл. 16.10. Допуск F_r на радиальное биение зубчатого венца находится из табл. 16.12.

Рекомендуется следующий порядок определения E_{Hs} и T_{Hs} :

1) по табл. 16.10 с учетом вида сопряжения определяют значение $E'_{Hs} = ITQ$ для степени точности нередачи (по нормам плавности) из интервала 3-6;

2) если степень точности передачи грубее шестой, то из табл. 16.10

определяют поправку E''_{Hs} (увеличение E_{Hs} , %);

3) после уточнения E_{Hs} в долях допуска ITQ, по табл. 16.11 в зависимости от диаметра делительной окружности находят цифровое значение E_{Hs} ;

4) в зависимости от вида сопряжения из табл. 16.10 определяют формулу, по которой подсчитывают допуск T_{Hs} на смещение исходного

Значения параметров $j_{n \min}$, \tilde{E}_{Hs} и T_{Hs}

Таблија 16.10

	Сте-	Сте- Вид сопряжения					
Параметры	пень точ- ности	D.	С	В	A		
Гарантированный бо- ковой зазор j _{rmin}		IT8	IT9	1T10	mu		
Предельное отклонение межосевого расстояния $\pm f_{ar}$	11 <u>-</u> 23.33	0,5 IT8 (III класс)	0,5 IT9 (IV класс)	0,5 IT10 (V класе)	0,5 IT11 (VI класс)		
Наименьшее допустимое смещение исходного контура E_{Hs} (E_{Hs})	3-6	IT8	IT9	IT10	IT11		
Увеличение $E_{H_S}(E'_{H_S})$, %	7	10	10	10	10		
-ns (- ns) 70	8	20	20	20	20		
Допуск на смещение исходного контура T_{Hs}		1,4F, + 25 (d)	1,8F, + 32 (c)	2,2F, + 40 (b)	2,5F, + 50 (a)		

Примечания: 1. Величины $j_{a\min}$ и $\pm f_a$ выбираются в зависимости от межосевого расстояния a_{uv} , а величина E_{Hs} —от диаметра делительной окружности зубчатого колеса. 2. Допуски для квалитетов от IT5 до IT14 приведены в табл. 16.11.

Var. V				060	значени	те допу	сков			
Номинальные	IT5	IT6	IT7	IT8	1179	IT10	IT11	IT12	IT13	IT14
размеры, мм	Допуски, мкм									
До 3	4	6	10	14	25	40	60	100	140	250
Св. 3 до 6	5	8	12	18	30	48	75	120	180	300
» 6 » 10	6	9	15	22	36	58	90	150	220	360
» 10 » 18	8	11	18	√27	43	70.	110	180	270	430
» 18 » 30	9	13	21	33	52	84	130	210	330	520
» 30 » 50	11	16	25	39	62	100	160	250	390	620
» 50 » 80	13	19	30	46	74	120	190	300	460	740
» 80 » 120	15	22	35	54	87	140	220	350	540	870
» 120 » 180	18	25	40	63	100	160	250	400	630	1000
» 180 » 250	20	29	46	72	115	185	290	460	720	1150
» 250 » 315	23	32	52	81	130	210	320	520	810	1300
» 315 » 400	25	36	57	89	140	230	360	570	890	1400
» 400 » 500	27	40	63	97	155	250	400	630	970	1550
				10 N	Maria					

контура в зависимости от допуска радиального биения зубчатого венца F,; величина F, находится из табл. 16.12.

Пример 1. Определить наименьшее отклонение смещения исходного контура \mathbf{E}_{Hs} и допуск на смещение исходного контура \mathbf{T}_{Hs} для зубчатого колсса со следующими нараметрами: m=2 мм; $z=65;\ d=160,49$ мм; степень точности по ГОСТ 1643-81 соответствует 7В.

- 1. Из табл. 16.10 для степени гочности 3-6 и вида сопряжения \mathbf{B} находим $\mathbf{E}'_{Hs} = \mathbf{ITQ} = \mathbf{IT10}.$
- 2. Для степени точности 7 по табл. 16.10 находим поправку (увеличение E_{Hs}), которая равна $E_{Hs}^{\prime\prime}=0.11T10$ и, следовательно, $E_{Hs}=E_{Hs}+E_{Hs}^{\prime\prime}=1.11T10$.
- 3. По табл. 16.11 для d=160,49 мм находим, что $\mathrm{IT}10=160$ мкм и $\mathrm{E}_{Hs}==1.1\cdot 160=176$ мкм.
- 4. Из табл. 16.12 для m=2 и d=160,49 мм находим $F_r=50$ мкм и по табл. 16.10 для сопряжения B имеем следующую формулу для определения $T_{Hs}\colon T_{Hs}=2,2F_r+40=2,2\cdot 50+40=150$ мкм.

Таблица 16.12 Значение допуска (мкм) на радиальное биение зубчатого венца F,

		Степень точности								
		6			7		No.	8		
Модуль <i>т</i> , мм	Диаметр делительной окружности d, мм									
	До 125	Св. 125 до 400	Св. 400 до 800	До 125		Св. 400 до 800	До 125	Св. 125 до 400	Св. 400 до 800	
От 1 до 3,5 Св. 3,5 до 6,3 » 6,3 » 10 » 10 » 16	25 28 32 -	36 40 45 50	45 50 56 63	36 40 45 —	50 56 63 71	63 71 80 90	45 50 56 —	63 71 80 90	80 90 100 112	

Предельное смещение исходного контура при измерении на базе наруженого цилиндра зубчатого колеса. В этом случае на величину предельного смещения исходного контура влияют погрешности, вносимые радиальным биением наружного цилиндра заготовки \mathbf{F}_{d_a} и отклонением диаметра наружного цилиндра заготовки \mathbf{E}_{d_a} :

наименьшее смещение исходного контура

$$E_{Hsnp} = |E_{Hs}| + 0.35F_{do}, (16.4)$$

допуск на смещение исходного контура

$$T_{Hsnp} = T_{Hs} - 0.7F_{d_a} - 0.5E_{d_a}, (16.5)$$

где \mathbf{F}_{d_a} и \mathbf{E}_{d_a} принимаются равными: $\mathbf{F}_{d_a} = 0.25 \mathbf{T}_{Hs}$; $\mathbf{E}_{d_a} = 0.5 \mathbf{T}_{Hs}$.

Предельные отклонения толщины зуба по постоянной хорде при контроле на базе наружного цилиндра зубчатого колеса определяют по следующим зависимостям:

наименьшее отклонение толщины зуба

$$E_{cs} = 0.73E_{Hsnp} = 0.73 (|E_{Hs}| + 0.35F_{d_s});$$
 (16.6)

допуск на толщину зуба

$$T_{cs} = 0.73T_{Hsmp} = 0.73 (T_{Hs} - 0.7F_{ds} - 0.5E_{ds});$$
 (16.7)

наибольшее отклонение толщины зуба

$$(E_{cs})_{max} = |E_{cs}| + T_{cs}$$
 (16.8)

Пример 2. По данным примера 1 определить предельные отклонения толицины зуба по постоянной хорде на размер $\overline{S}_c=2,774$ при контроле на базе наружного цилиндра. $E_{Hs}=176$ мкм; $T_{Hs}=150$ мкм (см. пример 1).

Биение \mathbf{F}_{d_a} и отклонение наружного диаметра заготовки \mathbf{E}_{d_a} таковы:

$$F_{d_a} = 0.25T_{Hs} = 0.25 \cdot 150 \approx 37.5 \text{ MKM};$$

 $E_{d_a} = 0.5T_{Hs} = 0.5 \cdot 150 \approx 75 \text{ MKM}.$

Наименьшее отклонение толщины зуба по формуле (16.6)

$$E_{cs} = 0.73 (|E_{Hs}| + 0.35F_{d_s}) = 0.73 (176 + 0.35 \cdot 37.5) = 138 \text{ MKM};$$

допуск на толицину зуба по формуле (16.7):

$$T_{cs} = 0.73 (T_{Hs} - 0.7F_{d_a} - 0.5E_{d_a}) = 0.73 (150 - 0.7 \cdot 37.5 - 0.5 \cdot 75) = 62$$
 MKM.

Наибольшее отклонение толщины зуба по (16.8)

$$(E_{cs})_{max} = |E_{cs}| + T_{cs} = 138 + 62 = 200$$
 MKM.

На размер $\overline{S}_c = 2,774$ проставляют отклонения: $2,774^{-0.138}_{-0.200}$.

Предельные отклонения длины общей нормали. В этом случае радиальное биение зубчатого венца F_{d_a} не оказывает влияния на результаты измерения, и предельные отклонения длины общей нормали определяются по формулам:

наименьшее отклонение

$$E_{Ws} = 0.68 (|E_{Hs}| + 0.35F_s);$$
 (16.9)

допуск на длину общей нормали

$$T_{Ws} = 0.68 (T_{Hs} - 0.7F_t);$$
 (16.10)

$$(E_{Ws})_{max} = |E_{Ws}| + T_{Ws}.$$
 (16.11)

Пример 3. Определить предельные отклонения длины общей нормали для прямозубого зубчатого колеса по следующим данным: модуль m=3,5 мм; d=45,5 мм; степень точности по ГОСТ 1643-81 соответствует 6-C; размер длины общей нормали W=19,26 мм.

- 1. Из табл. 16.10 для степени точности 6 и вида сопряжения С находим $\mathbf{E}_{He}=$ IT9.
 - 2. По табл. 16.11 для d=45.5 мм находим, что $\mathrm{E}_{Hs}=\mathrm{IT9}=62$ мкм.

3. Из табл. 16.12 для m=3.5 мм и d=45.5 мм имеем $F_r=25$ мкм и по табл. 16.10 для сопряжения C находим, что $T_{Hs}=1.8F_r+32=1.8\cdot 25+32=77$ мкм.

 По формуле (16.9) определяем предельное отклонение длины общей нормали (наименьшее отклонение)

$$E_{Ws} = 0.68 (|E_{Hs}| + 0.35F_r) = 0.68 (62 + 0.35 \cdot 25) = 48 \text{ MKM}.$$

5. По выражению (16.10) подсчитываем допуск на длину общей нормали

$$T_{W_5} = 0.68 (T_{H_5} - 0.7F_r) = 0.68 (77 - 0.7 \cdot 25) = 41$$
 MKM.

 По формуле (16.11) определяем наибольшее предельное отклонение длины общей нормали

$$(E_{Ws})_{max} = |E_{Ws}| + T_{Ws} = 48 + 41 = 89$$
 MKM.

На размер W=19,26 проставляют отклонения $19,26^{+0.048}_{0.08}$ (см. таблицу параметров, приведенную на рабочем чертеже вал-шестерни, рис. 16.16).

Определение предельных отклонений и допусков на размер \overline{S}_{cs} для конических зубчатых колес по ГОСТ 1758—81. Наименьшее отклонение средней постоянной хорды зуба E_{cs} на среднем делительном дополнительном конусе определяется по формуле

$$\mathbf{E}_{cs} = k_1 \mathbf{E}'_{cs} \tag{16.12}$$

где E'_{cs} — наименьшее отклонение средней постоянной хорды зуба на среднем делительном дополнительном конусе для сопряжения H и степени точности по нормам плавности 7-С (табл. 16.13); k_1 — сомножитель для определения E_{cs} при других степенях точности и видах сопряжений (табл. 16.14).

Допуск на среднюю постоянную хорду зуба T_{cs} определяется по табл. 16.15 в зависимости от вида бокового зазора и допуска на биение зубчатого венца F_{rs} определяемого по табл. 16.7.

Наибольшее отклонение средней постоянной хорды на среднем делительном дополнительном конусе

$$(E_{cs})_{max} = |E_{cs}| + T_{cs}$$
 (16.13)

Примечание. При измерении толщины зубьев на внешнем торце (внешнем дополнительном конусе) значения E_{cs} найденные по формулам (16.12) и (16.13), следует увеличить в отношении R_e/R .

1		Средний делительный диаметр d, мм							700	
Collection Control	Средний пормальный модуль т, мм	До 125 Св. 125 до 400 Св. 400 до 800 Угол делительного конуса,°								
A 150 Person		До 20	Св. 20 до 45	Св. 45	До 20	Св. 20 до 45	Св. 45	До 20	Св. 20 до 45	Св. 45
	От 1 до 3,5 Св. 3,5 до 6,3 » 6,3 » 10 » 10 » 16	20 22 25 28	20 22 25 28	22 25 28 30	28 32 36 36	32 32 36 38	30 30 34 36	36 38 40 48	50 55 55 60	45 45 50 55

Пример 4. Определить предельные отклонения средней постоянной хорды для конического прямозубого зубчатого колеса со следующими геометрическими параметрами: $m = 4,27\,$ мм, $\delta = 63^{\circ}26';\; d = 136,74\,$ мм; $d_c = 160\,$ мм; $R = 76,44\,$ мм; $R_c = 89.44\,$ мм; степень точности 8-В.

По табл. 16.13 для степени точности 7-Н находим значение $E'_{cs}=30$ мкм; по табл. 16.14 определяем коэффициент k_1 : $k_1=4.2$.

По формуле (16.12) подочитываем наименьшее отклонение средней постоянной хорды зуба $E_{cs}=k_1E'_{cs}=4.2\cdot 30=126$ мкм.

Из табл. 16.7 для d=136,74 мм; $m_n=4,27$ и степени точности 8 находим допуск на радиальное биение зубчатого венца $F_r=71$ мкм. По табл. 16.15 определяем допуск на среднюю постоянную хорду зуба $T_{cs}=130$ мкм.

Наибольшее отклонение средней постоянной хорды находим по формуле (16.13)

$$(E_{cs})_{max} = |E_{cs}| + T_{cs} = 126 + 130 = 256$$
 MKM.

Если измерение постоянной хорды будет производиться на внешнем дополнительном конусе, то значения \mathbf{E}_{cs} и (\mathbf{E}_{cs})_{max} должны быть увеличены в отношении $\mathbf{R}_{c}/\mathbf{R}$. В данном случае:

$$E_{cs} = 126 \cdot 89,44/76,44 = 147 \text{ MKM}; (E_{cs})_{max} = 256 \cdot 89,44/76,44 = 300 \text{ MKM}.$$

На размер $S_{ce} = 5,714$ проставляются отклонения $5,714^{-0.147}_{-0.300}$ (см. таблицу параметров, приведенную на рис. 16.19).

Определение предельных отклонений и допусков на размер \overline{S}_{a1} для цилиндрического червяка по ГОСТ 3675—81 (СТ СЭВ 1162—76). Наименьшее отклонение толщины витка червяка определяется по зависимости

$$E_{ca} = E_{sI} + E_{sII},$$
 (16.14)

Таблица 16.14

Значение сомножителя k_1

Вид	Степень точности по нормам							
сопря-	плавности							
жения	4-6	7	8					
D	1,8	2,0	2,2					
C	2,4	2,7	3,0					
B	3,4	3,8	4,2					
A	5,0	5,5	6,0					

где $E_{\rm sI}$ — наименьшее отклонение толщины витка, зависящее от межосевого расстояния $a_{\rm w}$ и вида сопряжения, слагаемое I (табл. 16.16); $E_{\rm sII}$ — наименьшее отклонение толщины витка, зависящее от $a_{\rm w}$, m и степени точности передачи, — слагаемое II (табл. 16.17).

Наибольшее отклонение толщины витка червяка определяется по формуле

 $(E_{ca})_{max} = |E_{ca}| + T_{ss}$ (16.15)

Таблица 16.15 Допуск (мкм) на среднюю постоянную хорду ${\bf T}_{cs}$ для конпческих передач и допуск (мкм) на толщину витка червяка ${\bf T}_s$ для червячных передач

	Допуск на биение зубчатого венца F _r , мкм									
Вид бокового	До 8	Св. 8	Св. 10	Св. 12	Св. 16	Св. 20	Св. 25			
зазора		до 10	до 12	до 16	до 20	до 25	до 32			
d c b	25 30 40 52	28 34 45 55	30 36 48 60	32 40 52 65	36 45 58 75	42 52 65 85	48 60 75 95			
	Допуск на биение зубчатого вениа F ₆ , мкм									
Вид бокового	Сп. 32	Св. 40	Св. 50	Св. 60	Св. 80	Св. 100	Св. 125			
зазора	до 40	до 50	до 60	до 80	до 100	до 125	до 160			
d	55	65	75	90	110	130	160			
c	70	80	95	110	140	170	200			
b	85	100	120	130	170	200	250			
a	100	130	150	180	220	260	320			

Таблица 16.16 Наименьшее отклонение толщины витка Е_м (слагаемое I), мкм

		Межосе	ое расстояние	a _{io} , mm	
Вид сопряжения	До 80	Св. 80 до 120	Св. 120 до 180	Св. 180 до 250	Св. 250 до 315
D C B A	48 80 130 200	56 95 150 220	67 105 170 260	75 120 200 300	85 130 220 340

. $Ta\delta$ лица 16.17 Наименьшее отклонеше толицины витка $E_{\rm MI}$ (слагаемое II), мкм

			Межосевое расстояние a_{ii} , мм						
Степень точности	Молуль т, мм	До 80	Св. 80 до 120	Св. 120 до 180	Св. 180 до 250	Св. 250 до 315			
6	От 2 до 3,5 Св. 3,5 до 6,3 » 6,3 » 10 » 10 » 16	36 40 —	40 42 — —	45 45 53 —	48 50 56 63	50 53 56 67			
7	Or 2 до 3,5 Св. 3,5 до 6,3 » 6,3 » 10 » 10 » 16	60 63 	63 67 —	71 75 85	75 80 90 100	80 85 95 105			
8	От 2 до 3,5 Св. 3,5 до 6,3 » 6,3 » 10 » 10 » 16	90 100 —	100 110 —	110 120 130	120 130 140 160	130 140 150 170			

где T_s — допуск на толщину витка червяка, определяется из табл. 16.15 в зависимости от вида сопряжения и допуска на радиальное биение червяка F_r , который находится из табл. 16.7 в зависимости от делительного диаметра червяка и модуля.

Пример 5. Определить предельные отклонения толщины витка червяка на размер $\overline{S}_{a1}=12.19$ мм по следующим данным: $a_{w}=192$ мм; m=8 мм, $d_{1}=64$ мм; степень точности по СТ СЭВ 1162-76 соответствует 7-В.

По табл. 16.16 находим $E_{sl}=200$ мкм, а по табл. 16.17 определяем $E_{sll}=90$ мкм. По формуле (16.14) подсчитываем наименьшее отклонение толщины

витка:

$$E_{ca} = E_{sI} + E_{sII} = 200 + 90 = 290$$
 MKM.

Из табл. 16.7 в зависимости от $d_1=64$ мм; m=8 мм, степени точности 7 находим $F_\tau=45$ мкм и по табл. 16.15 определяем $T_s=100$ мкм. По формуле (16.15) подсчитываем наибольшее отклонение толицины витка червяка

$$(E_{ca})_{max} = |E_{ca}| + T_s = 290 + 100 = 390$$
 MKM.

На размер \overline{S}_{a1} назначают отклонения 12,19 $^{-0.29}_{-0.39}$ (см. таблицу параметров, приведенную на рис. 16.20).

Глава 17

КОНСТРУИРОВАНИЕ КОРПУСНЫХ ДЕТАЛЕЙ, УСТАНОВОЧНЫХ ПЛИТ И РАМ

§ 17.1. Литые корпусные детали

Корпусные детали являются составными частями редуктора и предназначаются для обеспечения правильного взаимного расположения сопряженных деталей редуктора, восприятия нагрузок, действующих в редукторе, защиты рабочих поверхностей зубчатых колес и подшипников от взвешенных инородных частиц окружающей среды, защиты масла от выброса его в окружающую среду при работе редуктора, отвода теплоты, а также для размещения масляной ванны (у редукторов с картерной смазкой).

Габаритные размеры корпусных деталей выясняют при компоновке редуктора, они в основном определяются типом, размерами и относительным расположением деталей передачи, системой смазки зацеплений и подшипниковых узлов.

Работоспособность кинематических пар (зубчатых зацеплений, подшипников и др.) зависит от жесткости корпусных деталей. Требуемая жесткость достигается за счет оптимизации формы и размеров корпусных деталей, а также за счет рационального использования ребер жесткости.

У большинства редукторов корпус выполняют разъемным. У цилиндрических, коническо-цилиндрических и червячных редукторов с расположением осей валов в горизонтальной плоскости может быть один разъем в плоскости осей валов (см. рис. 20,1 и 20,2 и др.). У многоступенчатых редукторов с осями валов в вертикальной плоскости (валы распо-

ложены горизонтально) может быть несколько разъемов (в горизонтальной и вертикальной плоскостях). Благодаря разъему в плоскости осей валов обеспечивается наиболее удобная сборка редуктора. Корпус может не иметь разъемов в плоскости осей валов. В этом случае сборку осуществляют вдоль осей (торцовая сборка) через предусмотренные отверстия на боковых стенках корпуса.

В большинстве случаев корпусные детали получают методом литья,

реже методом сварки (обычно при единичном производстве).

Общие рекомендации по конструированию литых корпусных деталей и их элеменгов. Для изготовления литых корпусных деталей широко используют чугун, сталь, а при ограничении массы изделия — легкие сплавы.

Корпусная деталь любого редуктора, несмотря на разнообразие форм и размеров, состоит из стенок, ребер, бобышек, фланцев, приливов и других элементов.

Толщина стенок и сопряжение их с другими элементами отмивки. Минимальная толщина стенки определяется условиями хорошего заполнения формы жидким металлом. Поэтому чем больше размеры корпуса, тем больше толщина его стенки. Рекомендуемую минимальную толщину стенок на основании опытных данных для отливок из чугуна и стали [41] определяют из рис. 17.1 в зависимости от приведенного размера N

$$N = (2L + B + H)/3, (17.1)$$

где L, B и H — длина, ширина и высота отливки, м.

В практике проектирования корпусов редукторов толщину стенки δ, удовлегворяющую требованиям технологии литья и необходимой жесткости корпуса, определяют в зависимости от максимального длительно действующего крутящего момента на гихоходном валу редуктора (табл. 17.1). Из двух величин δ, найденных по рис. 17.1 и табл. 17.1, принимают большую.

Уклоны вертикальных стенок назначают в зависимости от высоты корпусной детали:

Плоскости стенок в корпусных деталях редуктора обычно располагаются под прямым или тупым углом. В этом случае их сопрягают дугами окружностей с радиусами r и R (рис. 17.2, a).

В местах расположения обрабатываемых платиков, приливов, бобышек толщина сопрягаемых стенок обычно неодинакова. При отношении толщин $\delta/\delta_1 \leq 2$ сопряжение стенок выполняют радиусом, показанным на рис. 17.2, a, при $\delta/\delta_1 > 2$ одно сечение должно сопрягаться с другим плавным переходом (рис. 17.2, δ) и в соответствии со следующими данными:

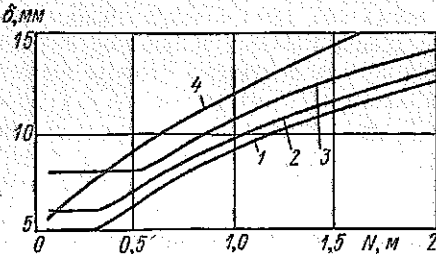


Рис. 17.1. Зависимость технологически минимальной толцины стенки литой детали из чугуна [58] и стали [42] приведенного габаритного размера:

1 - СЧ 12-28; 2 - СЧ 15-32; 3 - СЧ 18-36; 4 - сталь Радиусы галтелей (закруглений) принимают из следующего ряда чисел *Ra*20 (ГОСТ 6636-69): 4; 5; 6,3; 8; 9; 10; 12; 14; 16; 18; 20 мм.

Ребра предназначаются для увеличения жесткости или увеличения поверхности охлаждения редуктора (например, в червячных редукторах). В первом случае ребра размещают в местах соединения приливов со стенками корпусных деталей и располагают симметрично относительно оси прилива. Во втором случае расположение ребер

подчиняют условию лучшего обтекания их и корпуса воздухом: при естественном охлаждении корпуса ребра располагают вертикально; при искусственном обдуве корпуса ребра располагают вдоль направления потока воздуха. Толщину ребер назначают в зависимости от толщины стенок (см. табл. 17.1). Высота ребер $h \le 5\delta$, где δ — толщина стенки корпуса. Сопряжение ребра со стенкой выполняют в соответствии с рис. 17.2, г. Уклон поверхностей ребер выбирают из следующих данных:

Высота h, мм До 20 21 – 50 51 – 80 81 – 120 121 – 180 Св. 180 Рекомендуемый конструктивный уклон,... 7,1 6,5 4,4 3,4 2,8 2,3

Корпусные детали цилиндрических редукторов. Форма и размеры корпусных деталей определяются при компоновке редуктора (см. п. 14.1). На рис. 17.3 показан корпус и крышка цилиндрического редуктора в сборе, разъем которых выбран в плоскости осей валов.

Фланцы предусматривают в местах, предназначенных для соединения корпуса и крышки редуктора, и в местах присоединения корпуса редуктора к основанию (раме, плите и т. п.).

Крепление крышки к корпусу редуктора производят болтами (рис. 17.4, а) и винтами. Применение винтов с цилиндрической головкой и шестигранным углублением «под ключ» по ГОСТ 11738 – 72* или звездчатой формы (рис. 17.4, б) приводит к уменьшению размеров фланцев.

Рекомендации для определения диаметров болтов и винтов крепления крышки редуктора к корпусу приведены в табл. 17.1.

Ориентировочные размеры фланцев (K_1, K'_1) на рис. 17.3 и K на рис. 17.4) назначают по табл. 17.1.

Оси отверстий для болтов или винтов крепления крышки к корпусу редуктора располагают по периметру фланца с шагом l_1 (табл. 17.1) на расстоянии C_1 или C_1' (рис. 17.4) от кромки фланца. Для уменьшения размеров приливов и увеличения жесткости соединения стяжные болты или винты (располагаемые у подшипниковых гнезд) необходимо максимально приблизить к отверстию под подшипник. При этом следует обеспечить непересечение стяжных болтов (винтов) и болтов (винтов),

Таблица 17.1 Ориентировочные соотпошения размеров (мм) основных элементов чугунного и стального литого корвуса пилиндрического редуктора (см. рис. 17.3)

Параметры корпусных деталей	Формулы	Параметры корпусных деталей	Формулы
Толщина стенки кор- пуса Толщина стенки крышки Толщина ребра: в сопряжении со стенкой корпуса в сопряжении со стенкой крышки (см. рис. 17.6) Толщина фундамент- ных лап Толщина фундамент- ных лап Толщина фланца кор- пуса (см. рис. 17.4) Толщина фланца крыпки (см. рис. 17.4): для болта с ще- стигранной голов- кой для винта с шилинд- рической головкой Толщина подъемных ушей: корпуса (см. рис. 17.8) крышки Днаметр фундамент- ных болтов Диаметр болтов (вин- тов) соединения крыш- ки с корпусом редук- тора Диаметр болтов (вин- тов) крепления торцо- вых крышек подшипни- ков и крышки смотро- вого отверстия	$\delta \approx 1,12 \sqrt[4]{T_{\text{TILK}}}$ $\delta_1 \approx 0,9 \delta$ $\delta_2 = (0,8 \div 1) \delta$ $\delta_3 = (0.8 \div 1) \delta_1$ $h = 1,5 d$ $h_1 = 1,5 d_1$ $h_2 = 1,3 d_1$ $h_2 = (0,3 \div 1) d_1;$ $h_3 = 1,5 d_1$ $\delta_4 = 2,5 \delta$ $\delta_5 = 2,5 \delta_1$ $d \approx \sqrt[3]{4T_{\text{TILK}}} \geqslant 12$ $d_1 \approx \sqrt[3]{2T_{\text{TILK}}} \geqslant 10$ $d_2 = d_3 = 0,5 d_1 \geqslant 6$	корпуса до края фланца фундаментных лап Расстояние от стенки до края фланца по разъему корпуса и крышки: для болта с шестигранной головкой (см. рис. 17.4, а) для винта с шлиндрической головкой (см. рис. 17.4, б) Расстояние от края фланца до оси болта (винта) Расстояние между осями болтов (винтов) для крепления: крышки редуктора к корпусу	$d_{4} \approx 1,25 D_{n} + 10$ $d_{5} \approx d_{k} + 20$ $K \approx (3,2 \div 3,5) d_{1}$ $K'_{1} \approx (2,7 \div 2,3) d_{1}$ $K'_{1} \approx (2,1 \div 2,2) d_{1}$ $C \approx 0,5 K'_{1}$ $C'_{1} \approx 0,5 K'_{1}$ $t_{1} \approx (10 \div 15) d_{1}$ $t_{2} \approx D_{n} + 1,0$ $t_{1} \approx 2 d_{1}$ $h_{3} = a_{18}$

Примечание. Здесь $T_{\rm THX}$ – кругищий момент на тихоходном валу, $H\cdot {\rm M};~D_{\rm H}-$ наружный диаметр подшинника, мм; $d_{\rm K}$ – диаметр центрирующего буртика врезной крышки; $a_{\rm W}$ – межосевое расстояние тихоходной ступени, мм.

крепящих торцовую крышку подшипника. Ориентировочное значение расстояния l_2 между осями отверстий стяжных болтов (винтов) и корпуса редуктора у подшипниковых гнезд (см. рис. 17.3) определяют по данным табл. 17.1.

Отношение глубины завинчивания h'/d винтов для крепления крышск корпуса (рис. 17.4) и подшипников выбирают в зависимости от предела

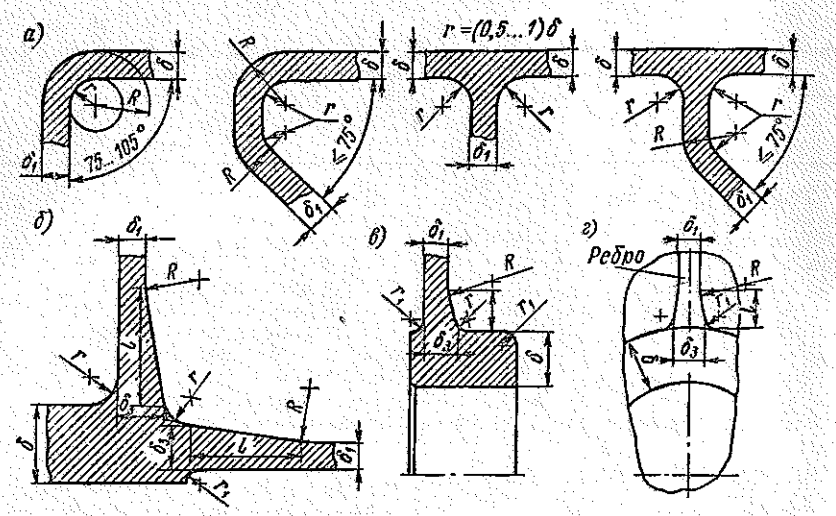


Рис. 17.2. Сопряжение литых стенок разной толщины: $a - \text{при } \delta/\delta_1 \le 2$; $\delta - \varepsilon - \text{при } \delta/\delta_1 > 2$

прочности материала $\sigma_{_B}$ винтов и материала корпуса по данным, приведенным ниже:

σ _в , МПа	Сталь	Чугун	Силумин
400 - 500	0.8 - 0.9	1,3-1,4	1,4-2,0
900 1000	1.6 - 2.0	2,0-2,5	2,0-2,5

Корпусные детали при сборке перед расточкой отверстий для подшипников валов фиксируют относительно друг друга с помощью цилиндрических или конических штифтов (рис. 17.5) или с помощью болтов для отверстий из-под разверстки. Точное фиксирование достигается двумя штифтами, располагаемыми по диагонали фланца (см. рис. 17.3). Диаметр штифта назначают на 20-30% меньше диаметра стяжного болта (винта). Штифты устанавливают для совместной обработки корпуса и крышки и при окончательной сборке редуктора.

Приливы для подшипниковых гнезд конструктивно оформляют по рис. 17.6. Диаметр прилива d_4 в случае установки торцовой крышки и d_5 в случае врезной крышки для осевой фиксации подшипников определяют по табл. 17.1. Диаметр прилива d_5 меньше, чем d_4 . Пример оформления прилива для врезной крышки показан на рис. 17.3, δ .

Длину прилива в осевом направлении определяют с учетом размеров K_1 , K_1' и длины подпипникового узла вала. Уклоны поверхностей приливов назначают в соответствии с данными, приведенными на с. 313. Наружные торцы приливов гнезд подшипников разпых валов обычно располагают в одной плоскости для удобства механической обработки (рис. 17.3) и для упрощения отливки. Близко расположенные фланцы объединяют в один прилив.

Отверстил различного назначения располагают в местах, удобных для механической обработки и легко доступных при эксплуатации редуктора. Например отверстие I для заливки масла может быть расположено в верхней части (I) или на боковой новерхности корпуса (II), отверстия для

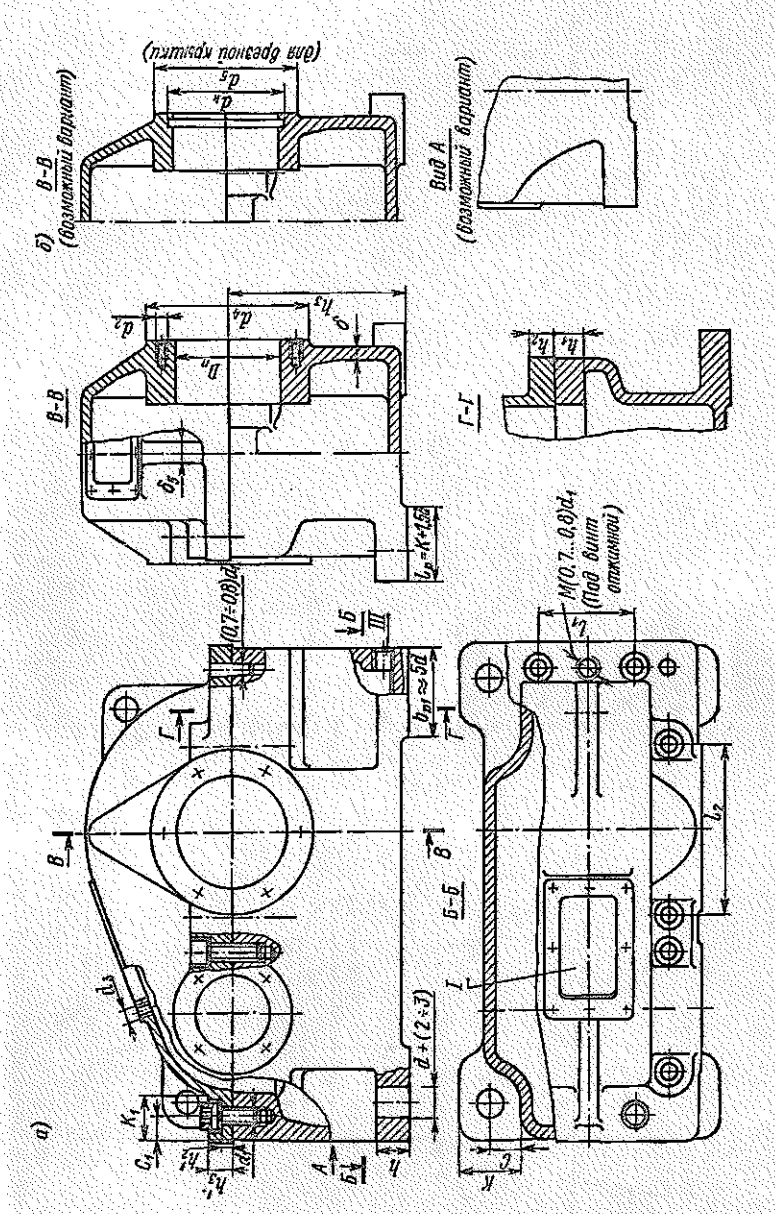


Рис. 17.3. Корпус и крышка редуктора в сборе (основные элементы)

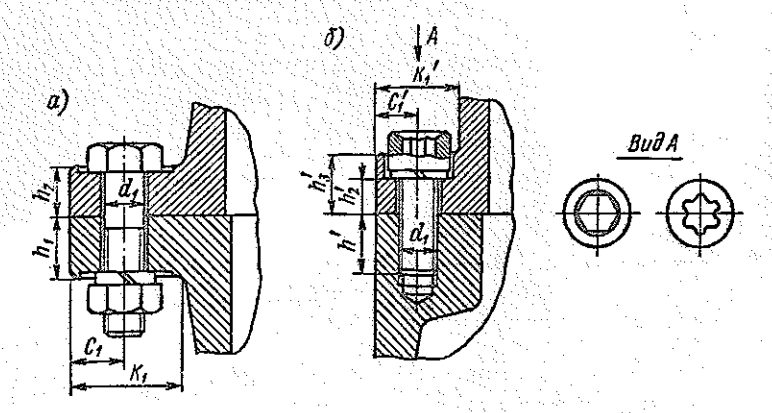


Рис. 17.4. Крепление корпуса и крышки редуктора

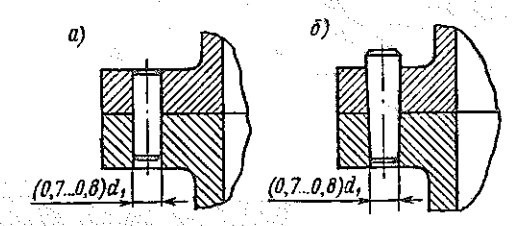


Рис. 17.5. Соединение с помощью цилиндрического (а) и конического (б) штифтов

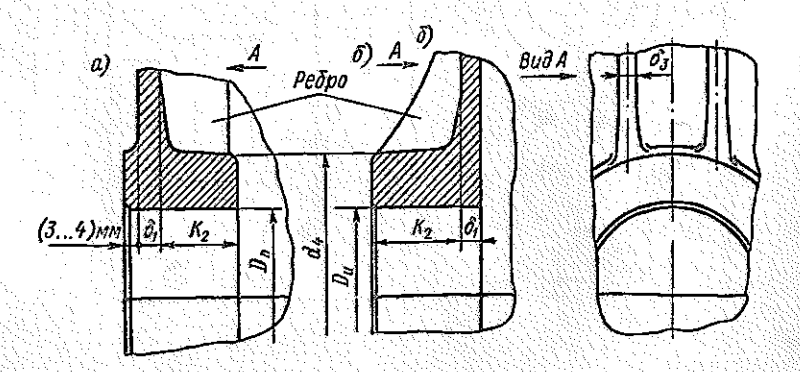


Рис. 17.6. Приливы с ребрами жесткости для подшинниковых гнезд: a — прилив внутри корпуса и крышки редуктора; δ — прилив снаружи корпуса и крышки редуктора с ребрами жесткости

глушин всегда располагают в верхней части корпуса (см. рис. 17.3 и 7.8). Отверстие III для слива масла из редуктора располагают таким ібразом, чтобы его поверхность находилась ниже уровня дна корпуса. Для этого в дне около сливного отверстия предусматривают углубление см. рис. 17.3).

В верхней части корпуса или его крышки предусматривают смотровое окно для контроля состояния рабочих поверхностей зубчатых колес. Размеры этих отверстий выбирают максимально возможными, форма их может быть различной (на рис. 17.3 отверстие прямоугольное). Смотровые отверстия закрывают легкими крышками, крепящимися винтами, размеры которых выбирают по рекомендациям табл. 17.1.

Устройства для подъема и транспортировки корпусных деталей представляют собой грузовые крюки, отлитые в виде ребер, проушины в ребрах и др. (рис. 17.7). Располагают их в верхних частях корпусных деталей, по возможности не увеличивая габаритные размеры редуктора. Толщина ребер подъемных ущей назначается в соответствии с табл. 17.1.

Обрабатываемые поверхности рекомендуется располагать в доступных местах и четко выделять от необрабатываемых поверхностей с помощью приливов, бобышек и т. п. Плоские поверхности по возможности располагают на одном уровне для обработки на проход. Площадь обрабатываемых поверхностей должна быть минимальной.

Корпусные детали коническо-цилиндрического редуктора. Корпусные детали редукторов этого типа отличаются от корпусных деталей цилиндрических редукторов наличием прилива, в котором размещен комплект вала конической шестерни с подшипниками и другими деталями (см. рис. 20.6, 20.7). Форму прилива для размещения подшипников конической шестерни и его конструктивные размеры определяют при компоновке редуктора (см. п. 14.1).

Корпусные детали червячных редукторов. Форму и размеры корпусных деталей определяют при компоновке редукторов (см. п. 14.1).

Корпусные детали червячных редукторов конструируют в двух исполнениях: при небольших $a_w < 200-\mathrm{c}$ окнами на боковых стенках корпуса

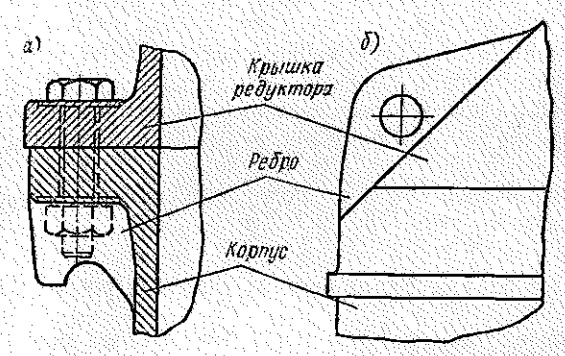


Рис. 17.7. Устройства для подъема и транспортировки корпусных деталей: a — грузовой крюк на ребре корпуса; δ — проушина в ребре крышки редуктора

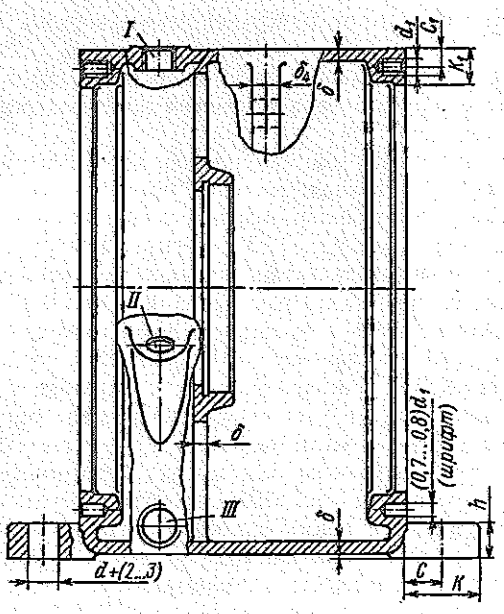


Рис. 17.8. Основные элементы корпуса планетарного редуктора

через которое вводят комплект вала с червячным колесом (см. рис. 20.16), при $a_w \geqslant 200-c$ плоскостью разъема, совпадающей с осью вала червячного колеса. Комплект вала червяка вставляют в корпус через отверстие для подшипников (см. рис. 20.17).

Корпусные детали планетарных редукторов. Форму и размеры их определяют при компоновке редуктора (см. п. 14.2). Толщина стенок литого корпуса назначается в соответствии с табл. 17.1 при учете минимальной толщины стенки отливки (см. рис. 17.1). Другие необходимые размеры элементов корпуса планетарного редуктора определяют по табл. 17.1 и рис. 17.8.

В соединении крышек, воспринимающих крутящий момент от основных звеньев планетарной передачи, с корпусом устанавливают цилиндрические штифты, диаметр которых выбирают в пределах $(0,7 \div 0,8) d_1$. Глубину отверстия под штифт и число штифтов определяют из расчета на смятие.

Пример выполнения чертежа корпуса планетарного редуктора (см. рис. 20.9) показан на рис. 17.9.

§ 17.2. Установочные плиты и рамы

Установочные плиты и рамы предназначены для объединения механизмов привода в установку, монтируемую на фундаменте. В состав механического привода, разрабатываемого при курсовом проектировании, входит редуктор, электродвигатель, соединительные муфты и другие элементы.

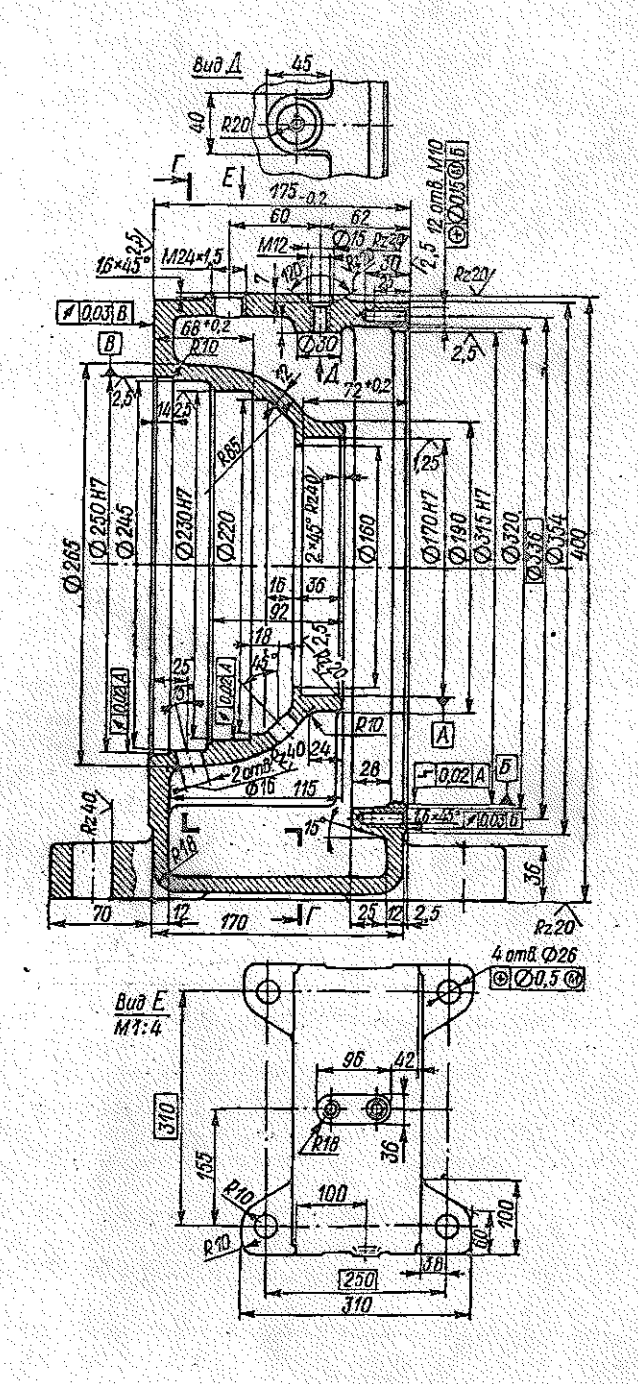
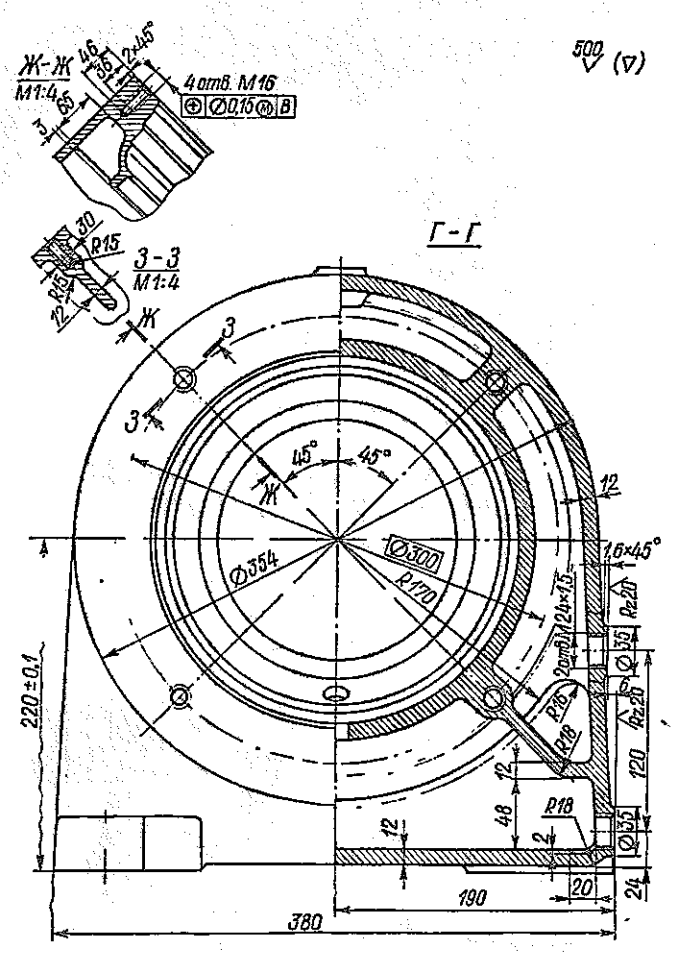


Рис. 17.9. Чертеж корпуса планетарного редуктора (см. рис. 20.9, левая часть)



- Предельные отклонения литейных размеров по III классу точности ГОСТ 1855-55
- 2. Формовочные уклоны типа II по ГОСТ 3242-57
- 3. Неуказанные литейные радиусы 3-5 мм 4. Неуказанные предельные отклонения размеров: отверстий по H14, валов по h14, остальных JT14/2
- 5. Покрытие внутренних необработанных поверхностей: TD. TOD-020. IV. M & 880 CAOS

Рис. 17.9. Чертеж корпуса планетарного редуктора (см. рис. 20.9, правая часть)

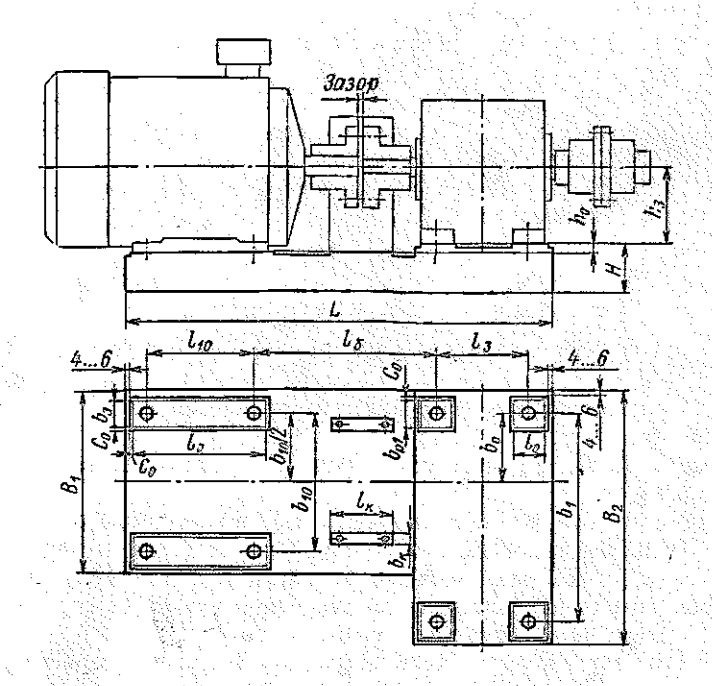


Рис. 17.10. Проектирование литой плиты и сварной рамы (основные размеры)

Конфигурацию и размеры литой плиты или сварной рамы определяют при выполнении компоновочного чертежа привода. Можно рекомендовать следующую последовательность его выполнения.

В верхней части чертежа в масштабе вычерчивают контур электродвигателя (рис. 17.10).

В соединении с валом электродвигателя вычерчивают муфту (у МУВП — полумуфту, в которой закрепляются пальцы, соединяют с валом электродвигателя). Вал редуктора соединяют с другой полумуфтой и вычерчивают контур редуктора с указанием положения фундаментальных лап. В результате выясняют разность высот центров осей электродвигателя и редуктора h_0 и расстояние между болтами их крепления к плите (раме) l_0 .

На главном виде вычерчивают контур плиты (рамы) и приступают к конструированию плиты (рамы) на виде сверху. Для этого в контурах электродвигателя и редуктора наносят центры и контуры опорных поверхностей (фундаментных лап). Опорные поверхности под лапы электродвигателя, редуктора и защитного кожуха для муфты (если он необходим по технике безопасности) на плите (раме) выделяют в виде приливов (платиков) и подвергают механической обработке. Ширину и длину приливов (платиков) назначают больше ширины b_3 , b_p 1, b_k и длины l_0 , l_p 1, l_k 2 опорных (присоединительных) поверхностей соответственно электродвигателя, редуктора и защитного кожуха на величину $2C_0 = 8 \div 10$ мм (рис. 7.10).

Длину плиты (рамы) определяют следующим образом:

$$L = l_{10} + l_6 + l_3 + (l_0 - l_{10})/2 + l_0/2 + 2C_0 + (8 \div 12),$$

 l_{10} , l_3 — расстояния между болтами крепления электродвигателя (обозначение по ГОСТ 19528—74) и редуктора.

Высоту плиты (рамы) Н, в значительной мере определяющую жесткость,

назначают в зависимости от L

$$H = (0.12 \div 0.15) L$$
.

Ширину B_1 и B_2 рассчитывают по зависимостям:

$$B_1 = b_{10} + b_3 + 2C_0 + (8 \div 10), B_2 = b_1 + b_{p1} + 2C_0 + (8 \div 10),$$

 b_{10} и b_1 — расстояние между болтами крепления электродвигателя и редуктора (рис. 17.10).

Размеры L, B_1, B_2 и H округляют до предпочтительных чисел по

FOCT 6636-69.

Толицину стенки литой плиты назначают в зависимости от приведенного размера N, рассчитываемого по формуле (17.1), и марки чугуна или стали с учетом минимальной толицины (см. рис. 17.1). У сварной рамы толицина стенок определяется толициной элементов сортового проката (швеллера, угловой стали, полосы, листа).

Диаметр болтов крепления плиты (рамы) к фундаменту ориентировочно

определяют по зависимости $d_{\rm n} = \sqrt[3]{5T_{\rm rex}}$. Количество болтов рассчитывают из условия обеспечения допускаемого давления опорного фланца плиты (рамы) на фундамент. Расстояние между болтами 300-500 мм.

Примеры конструирования литых шлит и сварных рам приведены в [18, 23, 29].

Глава 18

КОНСТРУИРОВАНИЕ УЗЛОВ С ПОДШИПНИКАМИ КАЧЕНИЯ

§ 18.1. Общие сведения

В зависимости от условий работы проектируемого узла валы с опорами качения могут быть плавающими или фиксированными в осевом направлении. Например, для выравнивания нагрузки между полушевронами зубчатой передачи вал шестерни выполняют плавающим в осевом направлении. Напротив, валы червячных, конических и косозубых передач выполняют фиксированными, их опоры должны воспринимать не только радиальные, но также и осевые нагрузки. Конструктивную схему опор валов с подшипниками качения выбирают в зависимости от сочетания нагрузок, действующих на вал, с учетом тепловых деформаций и требований к точности осевого фиксирования.

В данной главе рассмотрены также конструкции опор сателлитов, которые охватывают основные способы установки деталей на осях, вращающихся или неподвижных относительно вектора нагрузки.

При разработке конструкции опор и оформлении чертежей необходимо обращать внимание на удобство монтажа и демонтажа, учитывать требования, предъявляемые к точности базирования колец подшипников, регулирования осевой игры и осевого положения валов.

Осевая игра представляет осевое перемещение вала, установленного на подшилниках качения, из одного крайнего положения в другое и определяет точность осевого фиксирования. Осевую игру указывают в технических требованиях сборочного чертежа. Осевая игра связана с осевым зазором, который, в свою очередь, зависит от диаметрального зазора в полишинике. Диаметральный зазор 2∂ раген полному перемещению колец относительно друг друга в радиальном направлении из одного крайнего положения в другое. С уменьшением зазора в подшипнике возрастает жесткость опор и точность фиксирования вала в радиальном и осевом направлениях, улучшается распределение нагрузки между телами качения, что вызывает увеличение долговечности опор. При малых зазорах увеличиваются потери на трение и тепловыделение, способствующее дальнейшему снижению зазора и даже возможному заклиниванию тел качения при высокой частоте вращения вала. Радиальные подплинники могут поставляться с исходными диаметральными зазорами по основному или дополнительным рядам. При сборке опоры исходный зазор изменяется в зависимости от посадок колед на вал или в корпус. Ориентировочно можно принять, что увеличение диаметра беговых дорожек качения внутреннего кольца после посадки на вал составляет 55-70% от иоминального натяга, а уменьшение диаметра дорожки качения наружного кольца, запрессованного в чугунный или стальной корпус, равно 50-60%. При работе узла зазоры в подшипниках качения зависят от температурных деформаций подшилников, сопряженных деталей и конструктивной схемы опор. Диаметральный зазор в радиально-упорных и в радиальных шариковых подшипниках зависит от осевого положения колец. При относительном осевом смещении S наружного и внутреннего колец в роликовых радиально-упорных подшипниках диаметральный зазор уменьшается на величину $\delta = 2S \lg \alpha$, где $\alpha -$ угол конусности.

В радиально-упорных подшипниках зазоры регулируют при монтаже перемещением упорных буртов наружных или внутренних колец подшипников.

§ 18.2. Элементы базирования и осевого фиксирования подшинников на валу и в корпусе

В связи с малым отношением ширины и диаметров колец подшипника его самоустановка без перекоса на валу или в корпусе затруднена. Для исключения перекоса колец необходимо обеспечивать надежное базирование одного из торцов подшипника. Восприятие осевых сил, действующих на подшипники, и удержание колец от самопроизвольного осевого смещения осуществляют фиксирующими элементами. Функции базирования и фиксирования часто совмещают в одност подменте.

Базирование и фиксирование внутрениего кольца подшилника на валу осуществляют упорными буртами, гайками, концевыми шайбами, пружинными кольнами.

Надежное базирование подшинника качения обеспечивают поджимом внутреннего кольца к торцу заплечика вала или торцу детали, установленной на валу. Прилегание кольца подшипника к торцовой поверхности достигается при высоте заплечика $h = (1,4 \div 1,5) R$, где R — размер фаски или радиуса скругления на внутреннем кольце подшипника (см. рис. 9.3, а). Размеры заплечиков для подшипников качения приведены в справочнике [4], элементы конструктивного оформления рассмотрены на с. 167. Если высота заплечика вала или детали не согласована с диаметром внутреннего кольца подшипника, то устанавливают промежуточное кольцо (см. рис. 9.3, б). Выступ на промежуточном кольце, показанный на рис. 9.3, 6, может быть использован для демонтажа подшинника (см. ниж.. с. 336).

Допускаемое торцовое биение базирующих буртов приведено в табл. 18.1. Плотный контакт кольца и упорного бурта может быть обеспечен осевым усилием, действующим на кольцо со стороны тел качения, или специальными фиксирующими элементами: гайкой или концевой шайбой.

Фиксирование гайкой (рис. 18.1, а) является надежным, но относительно дорогим способом. От самопроизвольного отвинчивания гайка стопорится шайбой. Для внутреннего уса шайбы в валу выфрезеровывают паз, при изготовлении которого дисковой фрезой допускается частично прорезать опорную поверхность вала. Размеры гаек и стопорных шайб приведены в работах [3, 18].

Фиксирование концевыми шайбами применяют в комбинации с упорным буртом для противоположного торца внутреннего кольца подшинника. Между торцами шайбы и вала предусматривают зазор 1-2 мм. В конструкции, приведенной на рис. 18.1,6, использована стандартная шайба (ГОСТ 14734 - 69). Для быстровращающихся валов используют нестандартные шайбы с центрирующими поясками (рис. 18.1, в), снижающими дисбаланс собранного вала. При действии значительных осевых сил в направлении концевой шайбы устанавливают два или три винта, стопорение которых обеспечивают отгибными шайбами (рис. 18.1, в) или обвязкой проволокой. Все более широкое применение находит фиксирование подшипников

Таблица 18.1 Допускаемое торцовое бнение упорных буртов на валу для подшининков качения

Внутренний диаметр подшинняка d, мм	Тордовое биение упорных бургов для шарико- и ролиководшиников классов точности, мкм						
	0	6	5	4			
Св. 15 до 50 » 50 » 120 » 120 » 250	20 25 30	10 12 15	7 8 10	4 6 8			

на валу пружинными экспентрическими 1 (рис. 18.1, г, д) или конпентрическими (приложение 5) кольцами, позволяющее во многих случаях существенно упрощать конструкции узлов. Размеры а, b, s и z образуют замкнутую цепь. Зазор между пружинным кольцом и подшипником z = =a-b-s с учетом допусков на размеры а, b и s может колебаться от 0 до 0,3 мм при посадочном диаметре на валу $d=50\div80$ мм. При действии

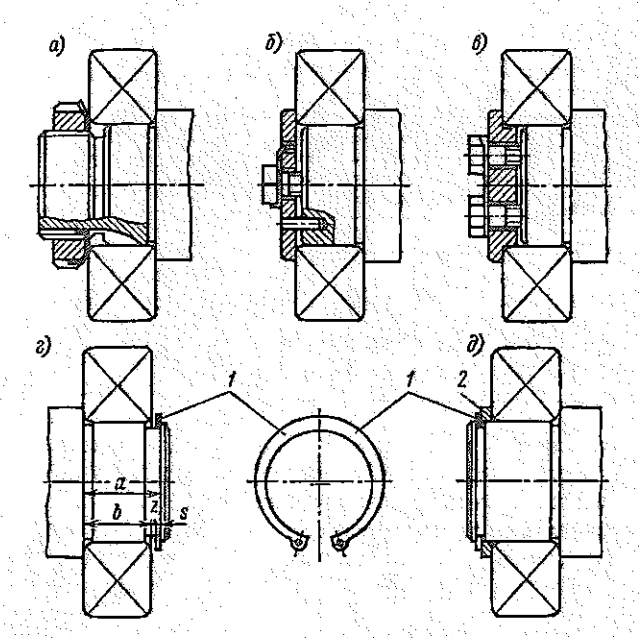


Рис. 18.1. Элементы осевого фиксирования внутренних колен полициников

осевой силы в направлении пружинного кольца возможен перекос внутреннего кольца подшилника относительно вала вследствие переменной жесткости пружинного кольца по окружности. Использование промежуточного сплошного кольца 2 (рис. 18.1, д) позволяет обеспечить более точное базирование кольца подпишника и исключить зазор г. Сплошные кольца выполняют с незакругленными кромками и подгоняют по месту подпилифовкой торцов на плоскошлифовальном станке. Монтаж и демонтаж пружинных колец осуществляют специальным инструментом.

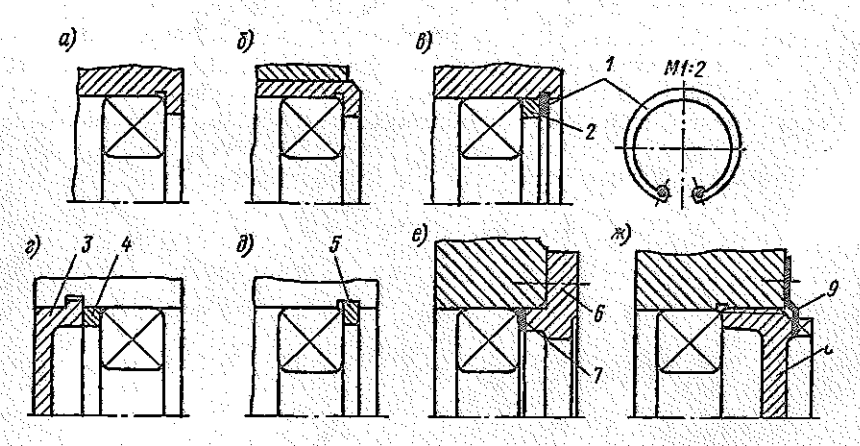


Рис. 18.2. Упорные бурты в корпусе для наружных колец подшилников

Таблица 18.2 Допускаемое торцовое бисине упорных буртов в корпусе для подненников качения

Наружный днаметр подшипника <i>D</i> , мм	Торновое биение упорных буртов для шарико- и роликоподшинников классов точности, мкм					
	0	6	5	4		
До 80 Св. 80 до 120 » 120 » 150 » 150 » 180 » 180 » 250	40 45 50 60 70	20 22 25 30 35	13 15 18 20 23	8 9 10 12 14		

Базирование и фиксирование наружного кольна подшинника в корпусе обеспечивают упорными буртами, крышками, винтами, пружинными кольцами и др. деталями.

Упорные бурты в отверстии корпуса (рис. 18.2, а) затрудняют растачивание отверстия и применяются сравнительно редко. Чаще изготавливают бурт в стакане (рис. 18.2, б), необходимость применения которого может быть обусловлена конструк-

тивной схемой опор и вала. Более технологичным является растачивание отверстий в корпусе на проход с последующим изготовлением канавки, в которую закладывают пружинное кольцо 1 (рис. 18.2, в). Сплошное кольцо 2 с нескругленными кромками способствует более точному базированию наружного кольца подшипника. Если корпус выполнен разъемным, для создания упорного бурта можно использовать закладную крышку 3 (рис. 18.2, г) или закладное кольцо 5 (рис. 18.2, г). Крышки 6, крепящиеся к корпусу винтами (рис. 18.2, е), используют как в разъемных, так и в неразъемных корпусах. Конструирование крышек рассмотрено на с. 338.

Регулирование положения упорного бурта в конструкциях, показанных на рис. 18.2, е, г, осуществляют подшлифовкой торцов колец 2 и 4. В конструкции, приведенной на рис. 18.2, е, для этой цели может быть использован набор металлических прокладок, устанавливаемых между наружным кольцом подшипника и упорным буртом или между крышкой и корпусом. В первом варианте прокладки имеют простую конструктивную форму и более низкую трудоемкость изготовления. В конструкции, изображенной на рис. 18.2, ж, регулирование положения упорного бурта осуществляют резьбовой крышкой 8, угловое положение которой фиксируют стопором 9, входящим в прорези на крышке. Допускаемое торцовое биение базирующих буртов в корпусе приведено в табл. 18.2.

Если наружное кольцо подшипника имеет стопорную канавку для пружинного кольца или бурт, то для его базирования и фиксирования используют торцы корпуса и крышки (рис. 18.3, a, b). В этих вариантах установки подшипников корпус не имеет канавки или бурта, что сни-

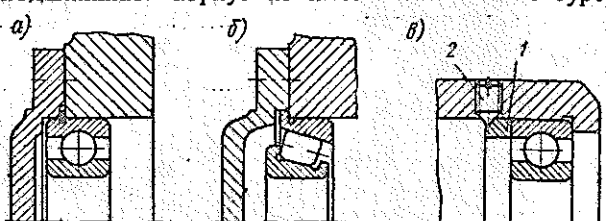


Рис. 18.3. Элементы осевого фиксирования варужных колец подпининков

жает трудоемкость его изготовления. В конструкции, показанной на рис. 18.3, ϵ , фиксирование наружного кольца осуществляют кольцом 1 и двумя или тремя винтами 2 (ГОСТ 1476—75), равномерно расположенными по окружности.

§ 18.3. Конструкции опор плавающих валов

Плавающие валы устанавливают на плавающие опоры. В качестве плавающих опор применяют, как правило, радиальные шариковые, роликовые (рис. 18.4) или игольчатые подшипники.

В конструкции опоры, показанной на рис. 18.4, а, внутреннее кольцо подшипника зафиксировано на валу и осевое смещение вала происходит за счет скольжения в контакте наружного кольца подшипника и корпуса. Это скольжение осуществляется в условиях, близких к статическим; в этом случае коэффициенты трения и осевые силы-значительны, поэтому контактирующие поверхности подвержены изнашиванию. Поэтому подобные конструкции плавающих опор могут быть использованы лишь при компенсации температурных деформаций и погрешностей изготовления вала и корпуса.

В роликовых или игольчатых подшипниках без буртов на наружных (рис. 18.4, б) или внутрённих кольцах смещение вала относительно корпуса происходит при относительно малой осевой силе, так как коэффициент продольного трения в контактах катящихся роликов значительно меньше коэффициента трения при скольжении без качения.

§ 18.4. Конструкции опор фиксированных валов

Основные конструктивные схемы опор фиксированных валов представлены на рис. 18.5.

В конструктивной схеме 1 одну из опор (на рис. 18.5, а правая опора) выполняют фиксирующей, а вторую — плавающей. В зависимости от сочетания и численного значения нагрузок фиксирующую опору конструируют с одним подшипником типа 0000, 1000, 3000, который может воспринимать осевые нагрузки в любом направлении; с двумя подшипниками, каждый из которых может воспринимать осевую нагрузку одного направления; с двумя или тремя подшипниками, один из которых воспринимает радиальную нагрузку, а другие — только осевую. Плавающая опора (рис. 18.5, а) компенсирует погрешности изготовления и темпера-

турные деформации вала и корпуса, поэтому схема I может применяться без ограничения расстояния между опорами.

В варианте исполнения фиксирующей опоры, показанной на рис. 18.5, а, базирование колец подшипников осуществляют упорными буртами (см. рис. 18.1, 18.2). Для фиксирования внутреннего кольца применяют концевые шайбы, пружинные кольца или

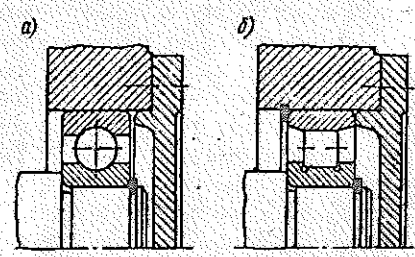


Рис. 18.4. Конструкции плавающих опор

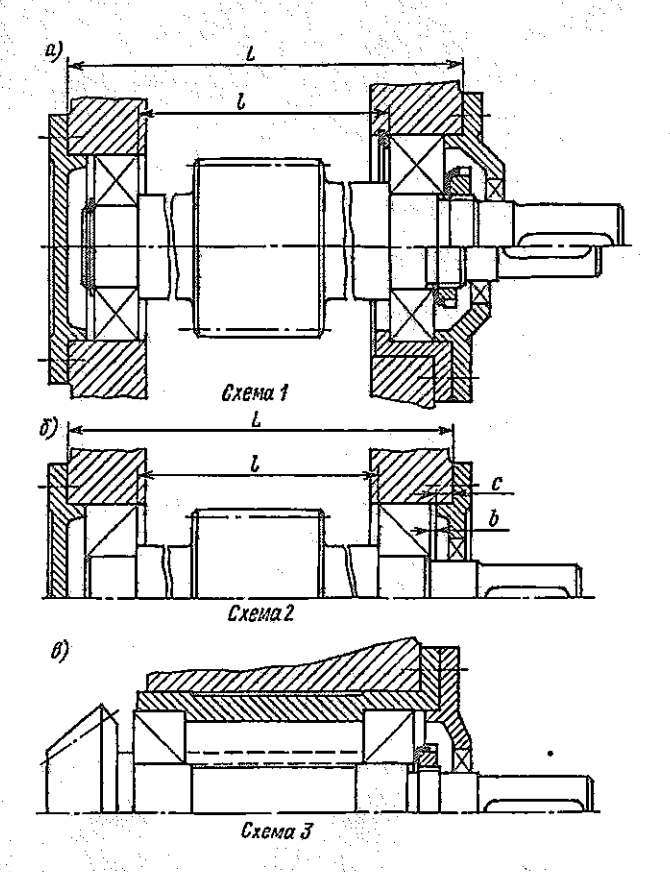


Рис. 18.5. Конструктивные схемы опор фиксированных валов

гайки, а для наружного кольца – крышки или пружинные кольца. Используют также варианты фиксирования, приведенные на рис. 18.3, а, в.

Точность осевого фиксирования вала зависит от осевой игры в фиксирующей опоре, а также зазоров между фиксирующими элементами и кольцами подпипника. Осевая игра минимальна в конструкциях фиксирующей опоры с двумя или тремя подшипниками (см. § 18.5).

В конструктивной схеме 2 (рис. 18.5, 6) обе опоры базируют одинаково с соблюдением принципа зеркальной симметрии: внешние торцы наружных колец подшипников упирают в бурты на корпусе, а противоположные торцы внутренних колец — в бурты на валу. В сечениях вала между опорами от осевых сил действуют напряжения сжатия, поэтому такую схему осевого фиксирования вала называют установкой «в распор». В качестве опор могут быть использованы радиальные (в том числе самоустанавливающиеся) и радиально-упорные подпинники.

Для базирования и фиксирования наружных колец используют, как правило, крышки (см. рис. 18.2, г, е). Если герметизация подшипников

не нужна, могут быть использованы пружинные (см. рис. 18.2, в), а для разъемного корпуса – закладные кольца (см. рис. 18.2, д).

Размеры L. l и c (рис. 18.5, б) вала, корпуса и базирующих элементов образуют размерную цепь, что вызывает необходимость назначения соответствующих допусков или использование компенсирующих деталей для регулирования осевой игры.

Если допустимые осевые погрешности установки валов достигают 1-2 мм (например, валов пилиндрических зубчатых передач), а осевые нагрузки ограничены по величине, то применяют радиальные полимпники. Регулирование осевой игры при использовании радиальных подшипников обычно не выполняют. Зазор $b = 0.2 \div 0.6$ мм обеспечивают соответствующим назначением допусков на размеры $L\,l\,\mathrm{u}\,\mathrm{c}$, поэтому конструктивная схема 2 с радиальными полшипниками может применяться без ограничения расстояния между опорами. При большом расстоянии l между опоцелью снижения требований к точности изготовления, могут быть использованы компенсационные кольца 2, 4 (рис. 18.2, в. г) или набор прокладок 7 (рис. 18.2, е).

При действии осевых нагрузок в конструктивной схеме 2 используют радиально-упорные подпишники, к точности регулирования осевой игры которых предъявляют высокие требования (табл. 18.3). Ограничение максимальной осевой игры связано с отрицательным влиянием зазора на распределение нагрузки между телами качения и долговечность опор. Чтобы избежать защемления вала в радиально-упорных подпипниках при сборке узла регламентируют также минимально допустимую осевую игру.

Регулирование осевой игры радиально-упорных подпинников в конструктивной схеме 2 обеспечивают перемещением наружных колеп полципников набором металлических прокладок 7 (см. рис. 18.2, е) или подгонкой колец 2, 4 (см. рис. 18.2, в, г). Сравнительно редко используют винтовые крышки 8, устанавливаемые в корпусе (см. рис. 18.2. ж.). Пля регулирования осевого положения вала (например, вала с червячными или коническими зубчатыми колесами) наиболее удобен набор прокладок,

Таблина 18.3 Рекомендуемая осевая нгра S_и радиально-упорных подшинников и расстояние I между опорами в конструктивной схеме 2 (puc. 18.5, 6)

Внутренний диаметр		подшинники кта α = 12°)	Роликовые подципники (угол конусности $\alpha=10\div16^\circ$)		
подшипника <i>d</i> , мм	<i>S</i> _и , мкм	I, мм, менее	S_{u} , mkm	<i>I</i> , мм, менее	
До 30 Св. 30 до 50 » 50 » 80 » 80 » 120	30-50 40-70 50-100 60-150	8d 7d 6d 5d	40 - 70 50 - 100 80 - 150 120 - 200	14d 12d 11d 11d 10d	

Примечания: 1. Разность температур вала и корпуса не более 20°C. 2. Осевую шгру радиально-упорных подпинников в конструктивной скеме 3 (рис. 18.5, e) можно принять в соответствии с приведенными в данной таблице значениями, а расстояние Iмежду опорами может быть увеличено на 25%.

которые после регулирования могут быть перераспределены между двумя крышками.

В конструктивной схеме 3 (рис. 18.5, в) обе опоры базируют одинаково с соблюдением принципа зеркальной симметрии: внешние торцы внутренних колец подшитников упирают в бурты на валу, а внутренние торцы наружных колец подшипников — в бурты на корпусе. В сечениях вала между опорами от осевых сил действуют напряжения растяжения, поэтому эту схему осевого фиксирования называют установкой подшипников «в растяжку».

В рассматриваемой схеме применяют радиально-упорные шариковые или роликовые подпишники с обязательным регулированием осевой игры, допускаемые пределы изменения которой указаны в табл. 18.3 (см. примечание 2). При одном и том же расстоянии между упорными буртами расчетное расстояние l между радиально-упорными подшиниками в конструктивной схеме 3 возрастает по сравнению со схемами l или 2, что позволяет уменьшить углы поворота сечений вала вследствие деформации опор при действии нагрузок на консольных участках.

Для базирования наружного кольца подшипника используют упорные бурты (см. рис. 18.2, а, б) и, если это возможно, дистанционные втулки, устанавливаемые между наружными кольцами. Удачные конструктивные решения возможны при использовании радиально-упорных роликовых подшипников исполнения 67 000 с бортом на наружном кольце (рис. 18.3, б).

Для регулирования осевой игры используют гайки или комбинацию гайки для одного из подшинников и бурта для другого подшинника. Для исключения перетягивания подшинников и создания более точной базы следует использовать дистанционные втулки, устанавливаемые между внутренними кольцами подшипников.

Так как при регулировании осевой игры перемещают внутреннее кольцо подпишника, его посадка на вал должна быть выполнена ослабленной с допуском h6 или j₆6. При циркуляционном нагружении внутреннего кольца в рассматриваемом сопряжении возможно развитие контактной коррозии. Для снижения износа посадочную поверхность вала следует закаливать.

Регулирование осевого положения вала наиболее просто осуществляется при использовании двух гаек на валу. В отдельных случаях (например, опор валов конических передач) опоры устанавливают в стакан, который фиксируют в корпусе в данном осевом положении (см. с. 364).

Для выбранной конструктивной схемы подбор подшипников качения осуществляют по динамической грузоподъемности C (см. с. 192) для рассчитанных диаметров валов (см. с. 166) с учетом ограничений, накладываемых на размеры посадочных мест в корпусе.

§ 18.5. Конструкции фиксирующих опор

Примеры конструктивного исполнения фиксирующих опор для конструктивной схемы 1 с двумя радиальными или радиально-упорными подпипниками представлены на рис. 18.6. Варианты конструктивного исполнения отличаются способом регулирования осевой игры и угловой жесткостью опор.

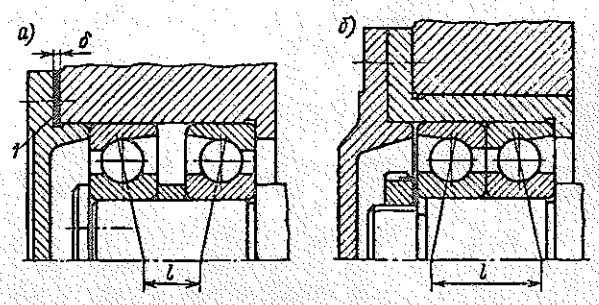


Рис. 18.6. Конструкции фиксирующих опор с двумя радиально-упорными подшинниками

В конструкции опоры, показанной на рис. 18.6, a, регулирование осевой игры осуществляют перемещением наружных колец подпипников. Регулирование удобно выполнять набором металлических прокладок I, устанавливаемых между крышкой и корпусом (рис. 18.6, a) или между крышкой и наружным кольцом подципника (см. рис. 18.2, e). В предварительно собранном узле без установки прокладок замеряют зазор Δ между крышкой и корпусом, набирают комплект металлических прокладок суммарной толщины $\delta = \Delta + S_{ii}$ (выбор S_{ii} см. в табл. 18.4) и окончательно собирают узел.

В конструкции опоры, показанной на рис. 18.6, б, регулирование осевой игры осуществляют перемещением внутренних колец подшипников винтами через концевую шайбу или гайкой. Для строгой регламентации натяга в фиксирующую опору устанавливают комплект подшипников исполнения 206 000, внутренние торцы внутренних колец которых подшлифованы на подшипниковом заводе.

При регулировании осевой игры радиальных или радиально-упорных подшипников в фиксирующей опоре винтом через самоустанавливающуюся шайбу 1 не обеспечивается базирование наружного кольца подшипника (рис. 18.7). Равномерное давление на торец наружного кольца, создаваемое самоустанавливающейся шайбой, не может уравновесить осевые силы от реакций роликов, действующие по части дуги окружности наружного кольца подшипника. При действии этих сил наружное кольцо подшипника перекашивается и подвергается неплоской деформации, которая вызывает неравномерное распределение нагрузки вдоль ро-

Ta6.mya 18.4 Рекомендуемая осевая вгра $S_{\rm H}$ (мкм) радиально-упорных подшинников, вспользуемых в фиксирующих опорах (рис. 18.6)

		Угол	α,α	
Внутренний днаметр	12°	26, 36°	10-16°	25 – 29°
подшипника <i>d</i> , мм	Шариковые	подшипники	Роликовые	подшилники
До 30	20-40	10-20	20-40	
Св. 30 до 50	30-50	15-30	40 – 70	20-40
» 50 » 80 » 80 » 120	40-70 50-100	20-40 30-50	50 — 100 80 — 150	30-50 40-70
» 80 » 120	50 – 100	30 – 50	80 – 150 80 – 150	40 - 70

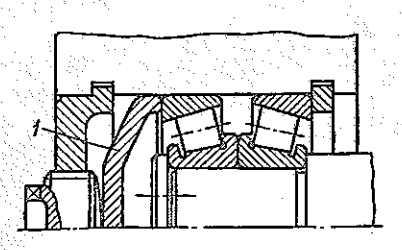


Рис. 18.7. Неработоспособная конструкция фиксирующей опоры

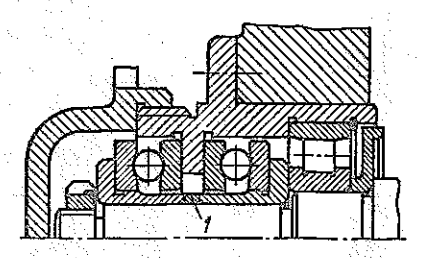


Рис. 18.8. Конструкция фиксирующей опоры с радиальным и упорными подшинниками

ликов, снижение долговечности опоры и износ опорной поверхности в корпусе. В связи с отмеченными недостатками эта конструкция фиксирующей опоры не рекомендуется к применению.

Долговечность фиксирующей опоры удается повысить, если радиальную и осевую нагрузки воспринимают разные подшиники. В прогрессивной конструкции фиксирующей опоры на рис. 20.2 использован радиально-упорный подшипник исполнения 176 000, в котором необходимая осевая игра обеспечена при изготовлении подшипника и в процессе сборки не регулируется. Чтобы радиально-упорный подшипник воспринимал только осевые нагрузки, между наружным кольцом и посадочным отверстием предусматривают зазор $z = 0.2 \div 0.5$ мм. Регулирование осевой игры в конструкции, показанной на рис. 18.8, осуществляют кольцом 1.

§ 18.6. Посадки подшинников качения

Внутренний и наружный диаметры подпипников качения изготавливают с относительно малыми отклонениями от номинальных размеров. Требуемый характер посадки колец обеспечивают выбором соответствующих отклонений размеров сопряженных деталей. Посадки назначают в зависимости от режима работы подшипника и вида нагружения колец. Различают местное, циркуляционное и колебательное нагружение колец.

При местном нагружении кольцо не вращается относительно вектора нагрузки, одни и те же участки воспринимают внешнюю нагрузку и могут быть подвержены интенсивному изнашиванию. Для колец с местным нагружением используют посадки, не гарантирующие натяга. Возможное медленное вращение кольца относительно детали, на которой оно установлено, является положительным явлением, поскольку при этом нагрузку будут воспринимать различные участки кольца.

При циркуляционном нагружении кольцо подпишника вращается относительно вектора нагрузки. Для обеспечения надежности опоры кольцо подпишника с циркуляционным нагружением устанавливают с натягом. Надежность узла снижается, если циркуляционно нагруженное кольцо устанавливают с зазором, так как при этом неизбежно перекатывание кольца по сопряженной детали. При перекатывании кольца происходит обмятие и изнашивание контактирующих поверхностей, это вызывает увеличение посадочного зазора.

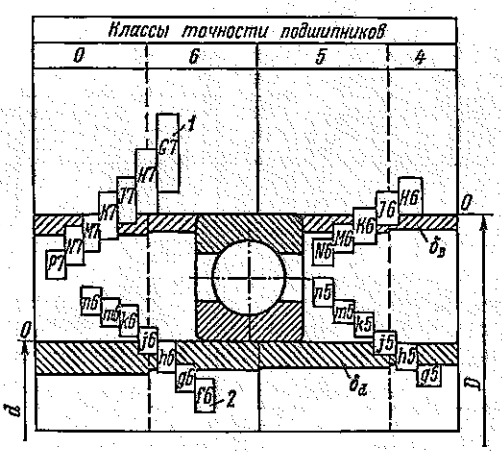


Рис. 18.9. Схема полей допусков колен подшинников качения, вала и отверстия при различных посалках:

1— поля допусков отверстия в корпусе; 2— поля допусков вала; δ_D — поле допуска наружного кольца; δ_d — поле допуска внутреннего кольца

При колебательном нагружении вектор нагрузки перемещается относительно кольца подшипника, но не совершает полных оборотов. Для ограничения обкатывания кольца с колебательным нагружением по сопряженной детали выбирают посадки с натягом.

Схемы полей допусков колец подшипников качения и сопряженных деталей представлены на рис. 189. Поле допуска внутреннего кольца подшипника располагается в сторону вала, соединение кольца с валом оказывается более плотным, чем при обычных посадках в системе отверстия. Шероховатость посадочных поверхностей для подшипников качения представлена в табл. 18.5, а рекомендуемые поля допусков для радиальных и радиально-упорных подшипников — в табл. 18.6. Если при циркуляционном нагружении кольца подшипников передвигают вдоль оси вала или отверстия при регулировании осевой игры, то их посадка

Taблица~18.5 Параметр шероховатости R_{σ} (вим) для подилиников качения

Посадочная	Подшилники	Номинальные	диаметры, мм
поверхность	классов Точности	До 80	Св. 80 до 500
На валу	0	1,25-1,0	2,5-2,0
	6, 5	0,63-0,50	1,25-1,0
	4	0,32-0,25	0,63-0,50
В отверстии корпуса	0	1,25-1,0	2,5-2,0
	6,5и4	0,63-0,50	1,25-1,0
Заплечики на валу и в корпусе	0	2,5-2,0	2,5-2,0
	6, 5 и 4	1,25-1,0	2,5-2,0

Поля допусков валов в отверстий для радиальных и радиально-упорных подшинников классов точности 0 и 6, не перемещаемых при регулировании

			Обозначение поля допуска		
	Нагружение колен	Режим работы	аква вид	для отверстия	
1000000	Местное	A. B. C	h6 j₅6	#7 J _s 7	
	Колебательное	A, B, C	j,6	К7	
The second second	Циркуляционнос	A B C	k6 m6 n6	K7 M7 N7	

Примечание А – легкий режим, нагрузка спокойная с кратковременными перегрузками; В – средний режим, нагрузка спокойная с непродолжительными перегрузками и умеренными толчками; С – тяжелый режим, длительная работа с максимальными нагрузками или нагрузка с сильными толчками и вибрацией.

должна быть принята более свободной. Одно из колец (тугое) упорных шариковых и роликовых подшипников устанавливают на валу по посадке j,6, а свободное кольцо упорного подшипника монтируют в корпус с зазором, обеспечивающим самоустановку в радиальном направлении.

§ 18.7. Монтаж и демонтаж подшишников качения

Неправильный и небрежный монтаж и демонтаж является одной из основных причин преждевременного разрушения подшипников. При монтаже необходимо обеспечивать соосность и отсутствие перекосов подшипника относительно посадочной поверхности. Перекосы колец затрудняют посадку и приводят к образованию задиров на посадочных поверхностях, а в отдельных случаях — к разрыву колец подшипников. Соосному положению способствуют фаски на посадочной поверхности, а снижению перекосов — центральное приложение усилия запрессовки. Во всех случаях монтажа во избежание вмятин на беговых дорожках недопустимо передавать усилие запрессовки через тела качения. Усилие запрессовки резко снижается при подогреве подшипников перед сборкой в масляной ванне до температуры 100—120 °C. У правильно смонтированного подпипника внутреннее кольцо должно плотно прилегать по всей окружности к упорному бурту.

У наружных колец, подвергающихся местному нагружению, посадка ослаблена, что существенно облегчает сборку. Для посадки подшипников в корпус с натягом применяют прессы и монтажные стаканы или оправки.

Демонтаж подшипников, смонтированных на валу или корпусе с натягом, осуществляют на прессе или при помощи винтовых съемников. Для съема подшипника может быть использована деталь 2, смежная с подшипником (рис. 9.3, 6).

§ 18.8. Стаканы и крышки

Стаканы применяют для создания самостоятельного сборочного комплекта вала с фиксирующими опорами (рис. 18.10). Наиболее часто стаканы используют в конических передачах, где требуется точная установка и регулирование относительного положения зубчатых колес.

Толщину δ_c стенок литых стаканов из чугуна марки СЧ 15-32 выбирают в зависимости от диаметра наружного кольца подшипника в соответствии с данными, приведенными ниже:

Диаметр отверстия для стакана или	21 - 35	38 - 60	63 - 75	80 – 95	100 - 150
крышки, мм					
Толщина стенки стакана δ _с , мм	4	5-6	6 - 8	8-9	10 – 12
Толщина стенки крышки δ_{κ} , мм	4	5	6	7	7
Диаметр винта d , мм	5	6	8	8	10
Число винтов г	3	4	4	4	6

Наружный диаметр стакана $D_c \approx D + 2\delta_c$ округляют до ближайшего стандартного числа по ГОСТ $6636-69^*$ из ряда R40. Толщину упорного бурта δ_1 и толщину фланца δ_2 принимают равной толщине δ_c стенок (рис. 18.10). Высоту t упорного бурта назначают в соответствии с рекомендациями [4] в зависимости от размеров подшипника качения. Для шлифуемого бурта канавка должна быть выполнена в соответствии с рис. 9.2. Если осевая сила направлена в сторону, противоположную бурту, то можно использовать более технологичную конструкцию стакана с пружинным кольцом, заменяющим бурт (см. рис. 18.2, a).

Диаметр и количество винтов для крепления стаканов принимают в зависимости от диаметра стакана или крышки (см. выше). Диаметр фланца выполняют минимальным (рис. 18.10)

$$D_{\phi} = D_{c} + (4.2 \div 4.4) d, \qquad (18.1)$$

где d — диаметр винта.

Для снижения массы корпуса допускается свисание стакана $b \approx (1,5 \div 2,0)$ $\delta_{\rm c}$. Проточка, выполненная на наружной поверхности стакана, облегчает сборку и уменьшает длину шлифуемой поверхности. Если стакан в процессе сборки неоднократно перемещают вдоль оси отверстия, то предусматривают посадку H7/h6 или H7/j_s6. Более надежной является

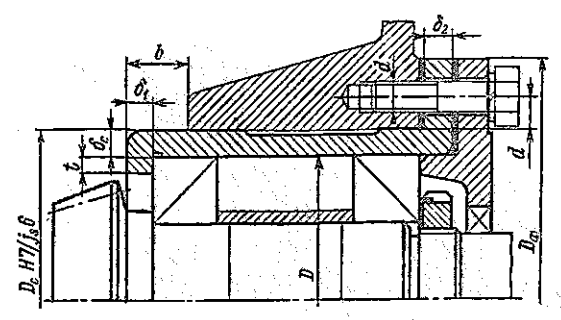


Рис. 18.10. Конструкция стакана для фиксирующих опор или опор конических зубчатых колес

посадка Н7/k6, которая может быть применена в том случае, если регулирование осевого положения стакана не требуется.

Заготовки крышек получают литьем из чугуна марки СЧ 15—32, реже из стали. Крышки с отверстием для прохода вала должны быть выполнены с центрирующим пояском (рис. 18.11), обеспечивающим соосность вала и уплотнения. Форма крышек определяется конструкцией опоры и элементами осевого фиксирования подшиниников. Если элементы, фиксирующие подшиник на валу, позволяют конструировать крышку плоской, то наружную поверхность следует выполнять с обрабатываемым приливом для головок крепежных винтов (рис. 18.11, а). Обработка такого прилива может быть выполнена на токарном или фрезерном станке на проход с наименьшими затратами. При неплоской форме крышки опорная поверхность для головок винтов может быть обработана на сверлильных (рис. 18.11, б) и токарных станках. В условиях крупносерийного и массового производства отливку крышек целесообразно производить в оболочковые формы или кокиль, что позволяет исключить обработку опорной поверхности пол головки винтов.

Диаметр d и количество z винтов для крепления крышек выбирают в зависимости от диаметра отверстия D (см. с. 337). Оси отверстий для крепежных винтов размещают на расстоянии d от стенки отверстия в корпусе, так же, как и на рис. 18.10. Наружный диаметр крышки определяют по формуле (18.1), где $D_c = D$, а минимальную толицину стенки δ_{-} по с. 337. Толщину фланца увеличивают [$\delta_{1} = (1, 2 \div 1, 3) \delta_{-}$], а толщину центрирующего пояска уменьшают $[\delta_2 = (0.8 \div 0.9) \, \delta_8]$ по сравнению с минимальной толщиной крышки $\delta_{\rm s}$ (рис. 18.11, s). Размер с центрирующего пояска должен быть ограничен, чтобы поясок не мешал установке крышки по основной базовой поверхности - фланцу. Обычно принимают $c = (1 \div 1.5) b$, где b - ширина канавки. Если центрирующий поясок обеснечивает соосность уплотнения и вала, то на диаметр пояска назначают допуск h8. Для удобства разборки крышек с центрирующим пояском предусматривают два резьбовых отверстия, расположенных на одном пнаметре. Такие крышки легко снимают с корпусной детали при помощи винтов, вворачиваемых в эти отверстия. В наибольшей степени требованиям техники безопасности отвечают конструкции, показанные рис. 18.11, б, с креплением крышек винтами, утопленными во фланце (крепление «впотай»). Такая конструкция обеспечивает также лучший внещ-

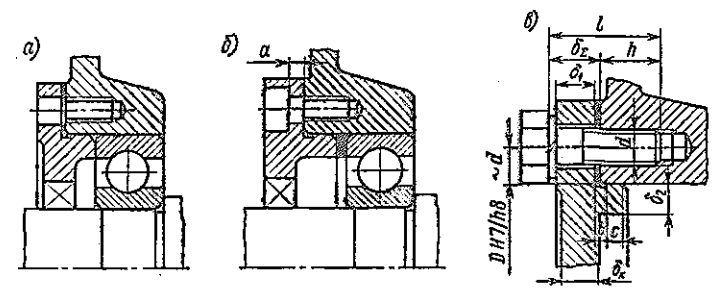


Рис. 18.11. Конструкции винтовых крышек с отверстием для прохода вала

ний вид узла, однако при увеличенной толщине фланца $\delta_1 = (1.8 \div 2.0) \, \delta_{\scriptscriptstyle \rm L}$.

Глубину h завинчивания винта в корпусную деталь определяют в соответствии со с. 316 в зависимости от материала корпуса. Для крепления крышек и стаканов используют винты из сталей марок 20, Ст3 с пределом прочности $\sigma_{\rm B}$ = $400 \div 500$ МПа. Ориентировочную длину винта $l = h + \delta_{\Sigma} (\delta_{\Sigma} - \text{суммарная толщина фланца, прокладки и других прикрепляющих деталей, рис. 18.11, <math>\epsilon$) округляют в большую сторону до

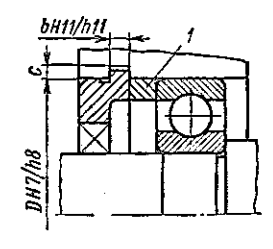


Рис. 18.12. Конструкция закладной крышки

ближайшего стандартного значения l для принятого типа и диаметра винта. Глубина завинчивания винта в корпус составляет $h=l-\delta_{\sum}$ (рис. 18.11, e). Проверку достаточности резьбы на винте, назначение глубины сверления и нарезания резьбы выполняют в соответствии с указаниями на e. 315 и в работе [3].

Если корпус выполнен разъемным, то могут быть использованы закладные крышки (рис. 18.12). Трудоемкость изготовления и монтажа узлов с закладными крышками ниже, чем с винтовыми, из-за отсутствия крепежных отверстий и винтов. Недостатком врезных крышек является усложнение расточки отверстий с канавками для кольцевых выступов и возможное просачивание масла.

Минимальная толщина стенок закладных крышек может быть принята по с. 337. Ширину b и глубину c паза назначают в зависимости от минимальной толщины стенки: $b = (0.8 \div 1.2) \, \delta_{\rm g}$; $c = (0.6 \div 0.7) \, \delta_{\rm g}$. Для регулирования осевой игры между закладной крышкой и подшипником может быть установлено кольцо 1, высоту которого определяют при сборке узла.

§ 18.9. Конструкции опор сателлитов

Установка сателлита на ось, не вращающуюся относительно вектора нагрузки (рис. 18.13), с опорой, встроенной в сателлит, позволяет сократить осевые габаритные размеры узла. Наибольшее распространение такая конструкция получила в планетарных передачах типа A. Полый сателлит имеет меньшую массу, создает меньшие центробежные нагрузки при вращающемся водиле. Однако в этом случае относительно вектора нагрузки вращается наружное кольцо подшипника [V = 1,2, см. формулу (10.3)], что неблагоприятно сказывается на долговечности опоры.

При высокой твердости поверхностей зубьев по мере увеличения длительности работы передачи и уменьшения параметра p диаметральные габаритные размеры передачи типа A могут определяться не прочностью зацеплений, а работоспособностью подшипников качения сателлитов. Для повышения долговечности опор переходят от шариковых подшипников типа 0000 (рис. 18.13, a) к роликовым радиальным (исполнения 12000 или 42000, рис. 18.13, a) или радиально-упорным подшипникам типа 7000 (рис. 18.13, δ). Сравнение основных параметров подшипников различных типов и серий дано на рис. 10.1.

В вариантах конструкции опор, приведенных на рис. 18.13, a-z, для снижения неравномерности распределения нагрузки между сателлитами и по ширине зубчатых венцов целесообразна комплектация опор подцип-

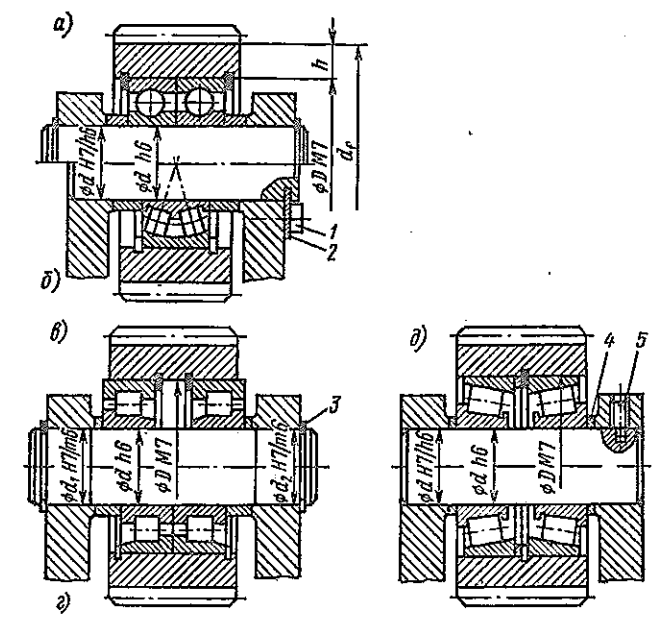


Рис. 18.13. Конструкции узлов сателлитов с подшишниками в отверстии обода

никами качения с одинаковыми зазорами в пределах всего планетарного ряда без регулирования осевой игры в процессе сборки. При сборке с коническими подшишниками регулирование осевой игры осуществляют подшинфовыванием колец 4, рис. 18.13, д.

В прямозубых планетарных передачах A, имеющих не более одного плавающего звена, в качестве опоры сателлита эффективно использование самоустанавливающегося сферического подшипника (рис. 18.13, δ), который позволяет выравнивать удельные нагрузки в зацеплениях. Однако применение одного или двух подпилников, установленных на малом расстоянии друг от друга, недопустимо для косозубых и двухвенцовых сателлитов, испытывающих действие опрокидывающих моментов в зацеплениях. Для уменьшения углов перекоса зубьев в зацеплениях под действием опрокидывающих моментов или из-за разности зазоров в подпилниках следует увеличивать расстояние между подпилниками. В этом случае наружные кольца подшипников могут выходить за пределы обода сателлита (рис. 18.13, θ), но не более чем на 1/3 ширины подшипника.

Фиксирование сателлита относительно встроенной опоры осуществляют при помощи разрезных пружинных колец прямоугольного поперечного сечения. При установке пружинных колец по краям сателлита (рис. $18.13, a, \delta, \epsilon$) облегчается демонтаж подшипников, а при установке между подшипниками (рис. $18.13, \epsilon, \partial$) может быть увеличено расстояние между подпишниками.

Фиксирование оси сателлита обеспечивают пружинными кольцами 3 (рис. 18.13, e, e) или планкой 2 (рис. 18.13, e), которая входит в прорезь

на оси и крепится к водилу двумя винтами 1. Винты для предупреждения самоотвинчивания перевязывают проволокой. Реже используют стопорные винты 5, установленные по радиусу в щеке водила (рис. 18.13, д).

Подбор подшипников качения в передачах типа A выполняют по динамической грузоподъемности C. При малых толщинах обода h падает изгибная выносливость зубьев, в связи с этим рекомендуется принимать $h \ge 0.5m \sqrt{z_g}$ (m, z_g — модуль и число зубьев сателлита) и наружный диаметр подципника $D \le d_f - 2h$. Если встроенную опору требуемой долговечности не удается разместить в заданных диаметральных габаритных размерах, то прибегают к одной из перечисленных мер или их сочетанию: предусматривают периодическую замену подшипников $[n_{2am} > 0$, см. формулу (10.6)], увеличивают диаметральные габаритные размеры передачи или используют нестандартные опоры с принудительной проточной смазкой.

Нестандартные опоры передач типа A (рис. 18.14) выполняют с цилиндрическими бомбинированными роликами. Диаметр D_1 отверстия в сателлите увеличивают вплоть до ограничений, определяемых изгибной выносливостью зубьев и обода. Приближенно можно принять $D_1 \approx \approx d_f - m \sqrt{z_g}$. Беговые дорожки непосредственно на внутренней поверхности обода сателлита и оси выполняют по 5-6 квалитету, обеспечивают твердость рабочих поверхностей более 60 HRC, шероховатость не ниже $R_a = 0.16$ по CT СЭВ 638-77. На ступенчатой оси сателлита (рис. 18.14, δ) предусматривают канавки для выхода шлифовального круга. При проектировании стремятся как можно шире использовать детали стандартных подшипников или подшипники исполнения 502000 без наружного кольца (рис. 18.14, a).

Фиксирование сателлита осуществляют шлифованными шайбами 1, 2, 3 ($R_a = 0.16$) с твердостью 58-61 HRC, которые устанавливают в ободе между роликами и пружинными кольцами, а на оси — между роликами и щеками водила (рис. $18.14, \delta$).

Проточная смазка из расчета 0.5-1 л/мин на 10 кН нагрузки позволяет повысить долговечность подшипников в 2-2.5 раза [см. формулу (10.10)]. Смазка подается под давлением 0.2-0.4 МПа через сверления в водиле и оси сателлита (рис. $18.14, \delta$). Деталь 4, устанавливаемая

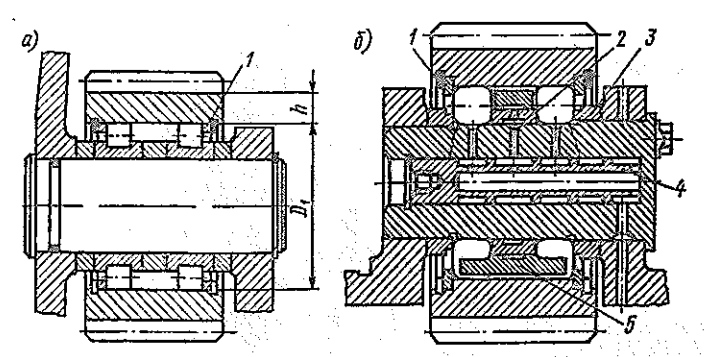


Рис. 18.14. Конструкции узлов сателлитов с нестандартными подшипниками качения в отверстии обода

внутри оси сателлита, при вращающемся водиле обеспечивает грубую очистку масла.

Наибольшая расчетная долговечность роликоподининика с наружным диаметром D_1 и шириной b достигается при использовании коротких цилиндрических роликов: диаметр ролика $D'_w \approx 0.2D_1$; длика ролика $l'_p \approx D'_w$ [30]. Рекомендуемые значения D'_w и l'_p округляют до ближайщих величин D_w и l_p в соответствии с сортаментом цилиндрических роликов [4, стр. 538]. Для особо ответственных узлов выбирают ролики класса точности I при разноразмерности роликов по диаметру не более 1 мкм.

Число рядов роликов $K \approx b/(C_c l_p)$ принимают в зависимости от ширины подшипника b. Коэффициент $C_c = 1 \div 3$ зависит от конструктивного оформления элементов осевого фиксирования, от конструктивных особенностей сепаратора и от числа рядов роликов. Наименьшее значение C_c будет у бессепараторных подшипников, большее — у подшипников c массивным сепаратором при K > 2.

Число роликов (в одном ряду тел качения) выбирают из соотношения $z_p \approx \pi (D_1 - D_w)/(D_w K_c)$. Найденную величину округляют до ближайшего целого значения z_p . Коэффициент заполнения сепаратора роликами зависит от прочности сепаратора, условий теплоотвода и конструктивного исполнения сепаратора. Для бысгроходного подицинника с массивным сепаратором $K_c \ge (1,17 \div 1,19) + 1,7/D_w$. Центрирование сепаратора 5 осуществляют по оси сателлита (рис. 18.14, 6). В этом случае центробежные нагрузки, действующие на сепаратор и ролики, не нагружают опору.

При относительно низкой частоте вращения $(d_m n < 120\,000 \text{ мм} \cdot \text{мин}^{-1})$ возможно использование бессепараторных опорных узлов. Такие подпилники существенно проще и дешевле подпилников с сепаратором, имеют большее число роликов и, следовательно, более высокую несущую способность. Однако применение их при высокой частоте вращения нежелательно из-за повышенного трения роликов друг о друга, которое приводит к высокой теплонапряженности. Для предотвращения возможного перекоса роликов и снижения трения полный окружной зазор (мм) между роликами в полностью укомилектованном подшиннике должен быть выдержан в диапазоне $t = (0,1 \div 0,2)\,z_{\rm p}$. Если это условие не соблюдается, исобходимо произвести пересчет диаметров D_1 или $D_{\rm p}$.

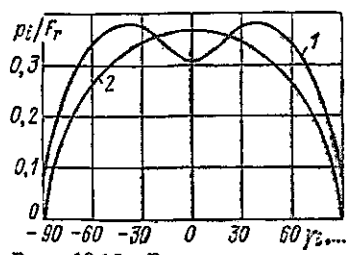


Рис. 18.15. Распределение нагрузки между роликами встроенного подмилника качения сателлита (p_i/F_e — относительная реакция i-го ролика, находящегося под углом γ_i к вектору радиальной нагрузки на подшинник)

Радиальная деформация обода усилиями в зацеплениях вызывает перераспределение нагрузки между телами качения. При назначении зазора из основного ряда [4, с. 163] характерное распределение нагрузки представлено на рис. 18.15 кривой 1. Назначение диаметрального зазора из дополнительного ряда 9 с учетом радиальной деформации обода сателлита позволяет получить распределение нагрузки между роликами, приближающееся в оптимальному (кривая 2 на рис. 18.15). При этом расчетная долговечность подшипника в зависимости от расчетной радиальной нагрузки на подшипник F, составляет

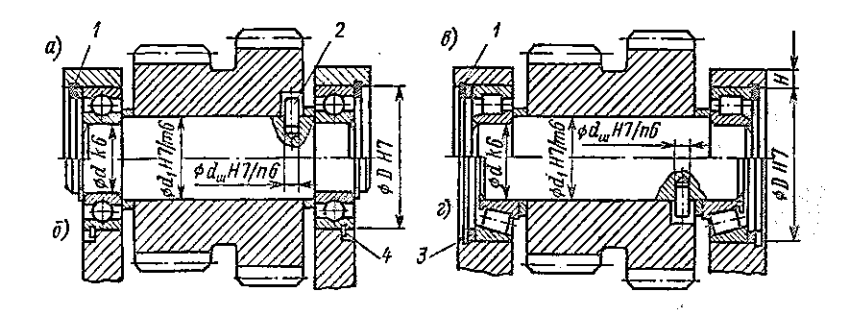


Рис. 18.16. Конструкции узлов сателлитов с подшинниками качения в отверстиях щек водила

$$L_{\max} = K_{\nu} F_r^{-4} K_c^{-3} l_{\Sigma}^{3,11} D^{4,3}, \qquad (18.2)$$

где l_{Σ} — суммарная рабочая длина роликов без фасок, мм; K_{ν} — коэффициент, учитывающий распределение нагрузки между роликами и по их длине, для рекомендуемых зазоров в опорах сателлитов $K_{\nu} \approx 3.4 \cdot 10^7$.

Установка сателлитов на вращающуюся ось и подшинники, размещенные в щеках водила (рис. 18.16), позволяет увеличить расстояние между опорами, что способствует уменьшению перекоса двухвенцовых сателлитов в передачах типа В, С и 3k под действием опрокидывающих моментов.

Снижения перекоса сателлита добиваются также выбором подшипников с уменьшенным диаметральным зазором по дополнительному ряду 6 или 1 [4, с. 161] соответственно для шариковых и роликовых подшипников или за счет регулирования осевой игры.

Базирование и фиксирование наружных колец поднипников в водиле осуществляют пружинными кольцами 1 или 4 (рис. 18.16, $a-\varepsilon$). Вариант установки пружинных колец 4 возможен только при использовании подшипников исполнения 50000. В случае использования конических подшипников (рис. 18.16, ε) дистанционные кольца 3 служат для регулирования осевой игры подшипников и увеличивают осевую жесткость разрезных пружинных колец.

С помощью штифтов 2 осуществляют осевое и угловое фиксирование сателлита относительно оси.

Подбор подшинников выполняют по динамической грузоподъемности C, рассчитываемой по формуле (10.9) с использованием расчетных схем, приведенных на с. 112. Из условия сборки передачи наружный диаметр щеки неразъемного водила должен быть меньше диаметра вершин колес с внутренними зубьями. Это должно учитываться при определении наибольшего допустимого наружного диаметра подшипника D [можно принять $H \ge (7 \div 10)$ мм, рис. 18.16].

Назначение полей допусков для посадок подшипников на ось или в отверстие в сателлите или водиле необходимо производить в соответствии с указаниями в табл. 18.6.

Глава 19

СМАЗЫВАНИЕ.

СМАЗОЧНЫЕ И УПЛОТНИТЕЛЬНЫЕ УСТРОЙСТВА. РАСЧЕТ МЕХАНИЧЕСКИХ ПЕРЕДАЧ НА НАГРЕВ

§ 19.1. Смазочные материалы

Смазочные материалы в машинах применяют с целью уменьшения интенсивности изнашивания, снижения сил трения, отвода от трущихся поверхностей теплоты и продуктов изнашивания, а также для предохранения деталей от коррозии. Снижение сил трения благодаря смазке обеспечивает повышение КПД машин. Кроме того, большая стабильность коэффициента трения и демпфирующие свойства слоя смазочного материала между взаимодействующими поверхностями способствуют снижению динамических нагрузок, увеличению плавности и точности работы машин.

В зависимости от условий работы применяют жидкие, пластичные и твердые смазочные материалы. Наибольшее распространение имеют нефтяные жидкие масла. К ним относятся индустриальные масла общего назначения и специальные масла, первоначальное назначение которых отражено в их названиях: турбинные (для смазывания подшипников и вспомогательных механизмов турбоагрегатов), авиационные, трансмиссионные, автомобильные и т. д. Практическое применение специальных масел значительно шире их первоначального назначения. Сведения о вязкости и температуре застывания распространенных базовых масел (без присадок) приведены в табл. 19.1.

Имеющиеся в настоящее время синтетические масла обладают лучшими показателями по температуре застывания, температуре вспышки и зависимости вязкости от температуры. Из-за сравнительно высокой стоимости этих масел они используются только в тех случаях, когда нефтяные масла неприменимы.

Пластичные смазочные материалы представляют собой загущенные масла или смеси масел с включением различных присадок. Для них свойственно отсутствие свободной текучести и способность удерживаться на смазываемых поверхностях независимо от их ориентации в пространстве. Наибольшее распространение имеют смазочные материалы, приведенные в табл. 19.2.

Твердые смазочные материалы (графит, дисульфид молибдена и др.) применяют в том случае, если невозможно применение жидких или пластичных смазочных материалов, например, когда недопустимо их попадание в рабочую среду или когда из-за условий работы пар трения (агрессивная среда, температура, радиация и пр.) обычные смазки неработоспособны. Часто дисульфид молибдена добавляют к жидким маслам и пластичным смазочным материалам для улучшения их противозадирных свойств. Графит также используется как компонент в графитной смазке (ГОСТ 3333—55), применяемой для смазывания открытых зубчатых колес прокатных станов, рессор автомобилей и других высоконагруженных узлов трения.

Нефтяные смазочные масла

Марка масел	Вязкость v 106, м²/с, при 50°С (при 100°С)	Темпера- тура за- стывания, °С	Марка масел	Вязкость у 106, м ² /с, при 50°С (при 100°С)	Темпера- тура за- стывания, ° С
Индустриальные (ГОСТ 20799 — 75)*: И-5А И-8А И-12А И-20А И-25А И-30А И-40А И-50А И-70А И-100А	4-5 6-8 10-14 17-23 24-27 28-33 35-45 47-55 65-75 90-118	-25 -20 -30 -15 -15 -15 -15 -20 -10	Турбинные (ГОСТ 32—74): Т22 Т30 Т46 Т57 Авиационные (ГОСТ 21743—76): МС-14 МС-20 МК-22 МС-20С	20 - 23 28 - 32 44 - 48 55 - 59 92(14) 161(20,5) 192,5(22) - (20)	-15 -10 -10 - - -30 -18 -14 -18

^{*} Для передач общего назначения следует выбирать индустриальные масла.

Таблица 19.2

Пластичные смазочные материалы

Смазочный материал	rocr	Температурные пределы работо- способности, °С	Область применения
Смазка универсальная среднеплавкая (солидол жировой) УС-2		(-25) - (+65)	Узлы трения скольжения и качения
Солидол синтетиче- ский С	4366 – 76	(-20) - (+65)	Заменитель УС-2
Смазка жировая 1-13		(-20) - (+110)	Подшипники качения: для повышения химиче- ской стабильности вводят- ся присадки
Смазка ЦИАТИМ-201	6267 — 74	(-60) - (+90)	Приборы и механизмы, эксплуатируемые при низ- ких температурах
Смазка ЦИАТИМ-202	11110-75	(-50) - (+120)	Подшипники качения, работающие в широком диапазоне температур
Смазка ЦИАТИМ-203	8773 – 73	(-50) - (+90)	Механизмы, работающие при высоких удельных на- грузках

§ 19.2. Выбор вязкости масла

Экономичность и долговечность машин в большой степени зависят от правильности выбора смазочного материала. Обычно значения коэффициентов трения в парах трения снижаются с ростом вязкости смазочного материала, но вместе с тем повышаются гидромеханические потери на перемешивание смазочного материала. Вопрос правильного выбора вязкости масла сводится к определению некоторого оптимального ее значения на основе опыта изготовления и эксплуатации узлов машин, а также рекомендаций теории смазывания.

Для смазывания зубчатых передач со стальными зубьями ориентировочное значение вязкости масла определяется по рис. 19.1 (заштрикованная зона) в зависимости от фактора $\chi_{3,0}$ [36]

$$\chi_{3,n} = 10^{-5} H_{HV} \sigma_H^2 / v, \qquad (19.1)$$

где H_{HV} — твердость по Виккерсу активных поверхностей зубьев; σ_H — контактные напряжения, МПа (см. стр. 33); v — окружная скорость в зацеплении, м/с.

Из рекомендуемого диапазона значений вязкости выбирают величину, наиболее соответствующую конкретным условиям. Например, при температуре окружающего воздуха ниже +10°С и для передач высокой точности следует принимать наименьшее значение вязкости. Верхний предел рекомендуется назначать при зубчатых колесах из стали одной марки или, если хотя бы одно из них выполнено из никелевой или хромоникелевой стали.

Ориентировочные значения вязкости масел для червячных передач определяют по рис. 19.2 (заштрихованная зона) в зависимости от величины $\chi_{\pi,n}$ [36]:

 $\chi_{\text{v.r.}} = 10^{-3} \sigma_H^2 / v_s, \tag{19.2}$

где σ_H — см. на стр. 101; v_s — скорость скольжения в зацеплении, м/с (см. стр. 97).

Противозадирные свойства минеральных масел, применяемых в червячных передачах, повышают добавлением 3-10% растительных или животных жиров, поскольку обычные противозадирные присадки оказывают корродирующее действие на бронзовые червячные колеса.

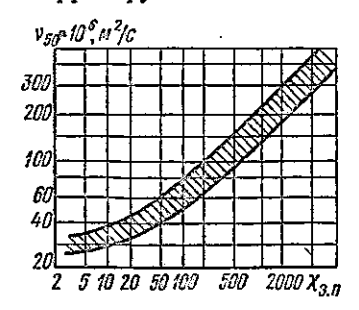


Рис. 19.1. Вязкость нелегированных нефтяных масел для стальных зубчатых передач

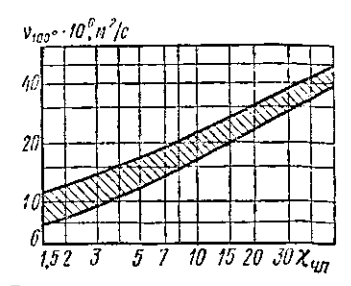


Рис. 19.2. Вязкость нелегированных пефтяных масел для червячных передач

При подборе масел для многоступенчатых редукторов с общей масляной ванной выбирают промежуточное значение вязкости между требуемыми значениями для тихоходной и быстроходной ступеней. Для смазывания подшипников в общем машиностроении применяют жидкие масла и пластичные смазочные материалы. В подшипниковых устройствах с индивидуальным смазыванием, несмотря на недостатки в отношении вязких потерь и теплоотвода, применяют пластичные смазочные материалы, обеспечивающие лучшую коррозионную защиту и не требующие сложных уплотнений и частого контроля.

В редукторах, коробках передач, станках и других устройствах, содержащих зацепления, подшипники качения обычно смазываются смазочным материалом, применяемым для зацеплений. Если же смазочный материал выбирается исходя из условий работы подшипников, то рекомендуется назначать вязкость $(10 \div 30) \, 10^{-6} \, \text{m}^2/\text{c}$ при рабочей температуре. Большие значения вязкости соответствуют случаям высоконагруженных подшипников со сравнительно низкой окружной скоростью. Более вязкие масла применяются также для смазывания родиковых сферических, конических и упорных подшипников, так как в подшипниках этих типов имеет место новышенное трение скольжения тел качения о дорожки и сепаратор.

§ 19.3. Смазывание передач

Под смазыванием понимается подведение смазочного материала к новерхностям трения. В зависимости от условий работы узлов назначают виды смазывания (ГОСТ 18273—72), которые характеризуют как время, так и способ подвода и нанесения смазочного материала на новерхности трения.

В отношении цикличности подачи смазочного материала различают: непрерывное, периодическое, ресурсное (один раз за весь ресурс), предварительное (нанесение смазочного материала на поверхности до работы деталей), предпусковое (перед каждым пуском) и другие виды смазывания.

Способы подвода и нанесения смазочного материала на поверхности трения характеризуются следующими видами смазывания: циркуляционное (жидкий смазочный материал подается принудительно, например поливом, к поверхностам трения, стекает с них в сборник и через нагнетательную систему вновь подается к поверхностам трения); погружением (поверхность трения частично или полностью, постоянно или периодически погружена в ванну с жидкий смазочным материалом); под давлением (жидкий смазочный материал подается к поверхности трения под избыточным давлением); кольцом (смазочный материал наносится на поверхность вада из ванны с помощью кольца, свободно навешенного на вал и погруженного нижней частью в ванну); масялным туманом (к поверхности трения подается смесь воздуха или другого газа с диспергированным посредством распылителей смазочным материалом); разбрызгиванием (смазочный материал подается на поверхность трения за счет разбрызгивания его движущимися деталями) и др.

В редукторах общего назначения обычно применяется комбинированное смазывание. Одно или несколько зубчатых колес (или звездочка в депной передаче) смазываются погружением в ванну с жидким сма-

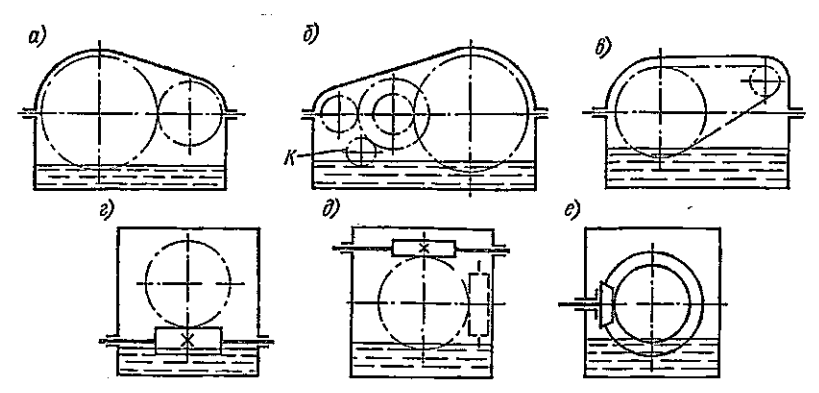


Рис. 19.3. Смазывание погружением (картерное смазывание): a — цилиндрическая зубчатая передача; b — цилиндрическая зубчатая передача со вспомогательным смазывающим колесом; a — цепная передача; a — червячная передача; a — коническая зубчатая передача

зочным материалом в нижней части корпуса редуктора (картере) (рис. 19.3), а остальные узлы и детали, в том числе подшипники качения, смазываются за счет разбрызгивания масла погруженными колесами и циркуляции внутри корпуса образовавшегося масляного тумана. По времени — это непрерывное смазывание. Часто такое смазывание называют картерным. В случае необходимости улучшения условий смазывания зубчатых зацеплений, у которых колеса располагаются выше уровня масла в ванне, применяют вспомогательные, свободно вращающиеся на осях зубчатые колеса, зацепляющиеся со смазываемыми колесами, и погруженные нижней своей частью в ванну (зубчатое колесо К на рис. 19.3, 6). Конструктивное выполнение установки вспомогательного зубчатого колеса показано на рис. 20.14.

В отличие от подпипников качения подпипники скольжения смазываются посредством масляного тумана обычно только в случае работы их в ненагруженном состоянии (например, подпипники отключаемых шестерен в коробках передач) или в случае их кратковременной работы (например, подпипники паразитных шестерен заднего хода автомобильных коробок передач). В этом случае принимаются меры для обеспечения циркуляции масляного тумана через подпипник: выполняются радиальные отверстия в теле шестерни и лыски или канавки на поверхности оси. Обычно же в подшипники скольжения масло подается под давлением.

Из-за гидравлических потерь на разбрызгивание, нагрева и окисления масла при интенсивном перемешивании с воздухом картерное смазывание применяют при окружных скоростях погруженных колес до $v=15\,\mathrm{m/c}$. Превышение этого значения допустимо при кратковременной работе.

Глубина погружения цилиндрических зубчатых колес и звездочек цепной передачи (рис. 19.3, a, 6, 6) при $v = 5 \div 7$ м/с принимается не более 0.8 - 1.5 шага зацепления (шага цепи в цепной передаче), но не менее 10 мм. При меньших скоростях, например в тихоходных ступенях много-

ступенчатых редукторов, допустимо более глубокое погружение колес, обычно диктуемое компоновкой редуктора. Расстояние от дница корпуса до быстроходного погруженного колеса следует принимать не менее удвоенной глубины погружения этого колеса.

В червячных редукторах (рис. 19.3, z, d) смазывание погружением применяют при скоростях скольжения в зацеплении $v_s < 15$ м/с. При нижнем расположении червяка (рис. 19.3, z) глубина его погружения должна быть примерно равна высоте витка. При верхнем или вертикальном расположении червяка (рис. 19.3, d) смазывание зацепления обеспечивается погружением червячного колеса.

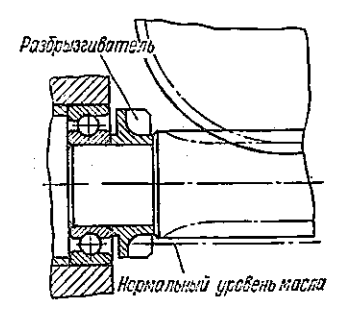


Рис. 19.4. Смазывание червячной передачи с помощью разбрызгивателя

Глубина погружения — не менее высоты его зуба, но обычно не превышает одной трети радиуса колеса.

При нижнем расположении червяка (рис. 19.3, г) во избежание значительных гидравлических потерь стремятся, чтобы уровень масла в ванне не был выше центра нижнего тела качения опорных подпишников. Если конструктивно затруднительно установить необходимое соответствие диаметров червяка и опорных подпишников, то можно применить разбрызгиватель (рис. 19.4), насаженный на червяк и забрасывающий масло на червячное колесо. В этом случае уровень масла устанавливают не выше центра нижнего тела качения. При близком расположении подпиш-

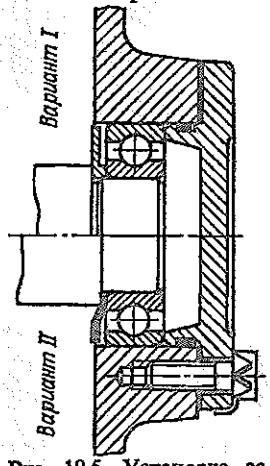


Рис. 19.5. Установка защитных шайб для ограничения поступления масла в подшинник при близком расположении зубчатых зацеплений или червяка: I — точеная защитная; II — штампованная защитная шайба

ников к нарезанной части погруженного червяка или к зоне зацепления в зубчатых передачах может иметь место избыточное поступление масла в подшипник из-за винтового эффекта червяка или из-за резкого выдавливания масла из впадин в зоне зацепления. В этом случае на валу устанавливают защитные шайбы (рис. 19.5).

При смазывании погружением конических зубчатых колес уровень масла в ванне должен обеспечивать смачивание зубьев одного из колес по всей длине зуба (рис. 19.3, e).

Существует весьма ориентировочная рекомендация, в соответствии с которой назначают объем масла в ванне в пределах $(0,3 \div 0,7) \cdot 10^{-3} \text{ м}^3$ на 1 кВт передаваемой мощности. На практике же объем масляной ванны принимается исходя из опыта эксплуатации конкретных механизмов в конкретных условиях и может существенно отличаться от приведенных значений. При окружных скоростях зубчатых колес или звездочек цепной передачи v > 15 м/c (для червячных передач $v_s > 15 \text{ м/c}$) в редукторах и коробках передач большой мощности с интенсивным тепловыделением, а также в редукторах малой и средней

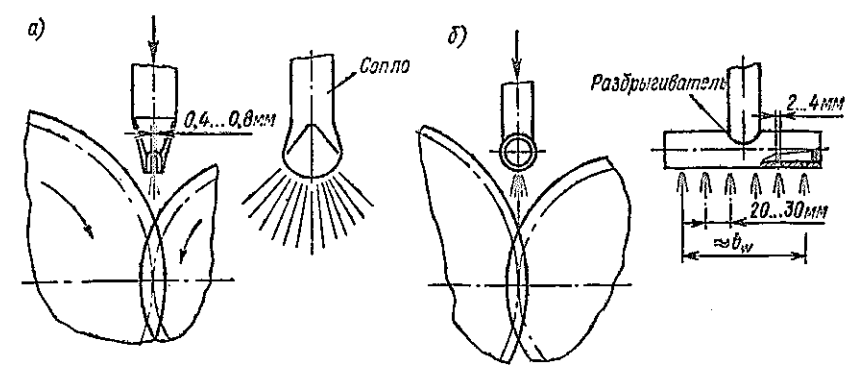


Рис. 19.6. Струйное смазывание эубчатых зацеплений при циркуляционном смазывании передачи

мощности некоторых компоновок (например, цилиндрический редуктор с вертикальными валами) применяют циркуляционное смазывание зацеплений и ответственных подшипниковых узлов. Зацепления смазываются поливом колес или звездочек маслом, подаваемым под сравнительно небольшим избыточным давлением (до 0,1 МПа) через сопла или разбрызгиватели (рис. 19.6). Для узких зубчатых колес достаточно одного щелевого сопла (рис. 19.6, а). Для смазывания широких зубчатых зацеплений используют разбрызгиватели (рис. 19.6, б) в виде труб с сопловыми круглыми отверстиями диаметром 2-4 мм, размещенными с шагом 20-30 мм по всей ширине зубчатого зацепления. Обычно масло подается со стороны входа зубьев в зацепление непосредственно в зону зацепления. Иногда прибегают к смазыванию одного из колес перед входом в зону зацепления или обоих колес отдельно. В последнем случае используют разбрызгиватели с двумя рядами сопловых отверстий. В реверсивных передачах полив колес осуществляется с двух сторон от зоны зацепления.

Принципиальная гидравлическая схема системы подачи масла в передачу при циркуляционном смазывании показана на рис. 19.7. Масло из бака 1 нагнетается насосом 2 через фильтр грубой очистки 3, магнитосетчатый фильтр тонкой очистки 4 и теплообменник 5 в маслораспределитель 6. Из маслораспределителя, имеющего ряд выходов с регуляторами расхода, масло поступает к точкам смазывания (сопла, разбрызгиватели, отверстия в подшипниках скольжения и т. д.). Для предохранения фильтров 3, 4 от перепада давления, превышающего допустимое

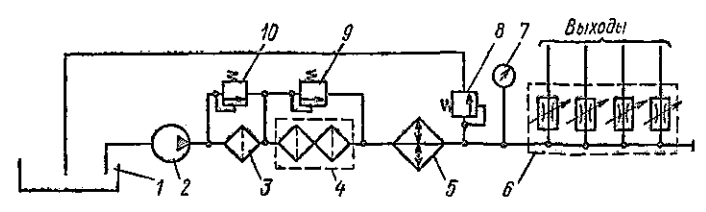


Рис. 19.7. Принципиальная гидравлическая схема системы подачи масла при циркуляционном смазывании

значение, установлены предохранительные клапаны 9 и 10. Давление масла перед маслораспределителем контролируется по манометру 7. Предохранение системы от перегрузки по давлению обеспечивается с помощью предохранительного клапана 8.

Как правило, необходимую подачу масла в передачу определяют из условия, что вся теплота, выделяемая в передаче, отводится маслом.

Для предотвращения быстрого старения масла скорость в нагнетательных трубопроводах принимают не более 2-3 м/с, а во всасывающих — не более 1,5 м/с. Объем масла в баке 1 принимают равным объему масла, подаваемому насосом за 3-5 мин.

§ 19. 4. Смазочные и уплотнительные устройства

При картерном смазывании заправка корпуса передачи отфильтрованным маслом производится через заливную пробку — отдушину (рис. 19.8), которая обеспечивает также сообщение внутренней полости корпуса с атмосферой, предотвращая возникновение внутри корпуса избыточного давления или вакуума при изменении температуры передачи. Заливная пробка — отдущина завинчивается непосредственно в корпус в верхней его части или в крышку смотрового люка.

Контроль уровня масла при заправке и эксплуатации производится с помощью маслоуказателей (рис. 19.9). Поскольку допустимый уровень масла в редукторах может изменяться в весьма ограниченных пределах, из прозрачных маслоуказателей наиболее удобны в применении круглые (рис. 19.9, a). Они компактны, просты в изготовлении, однако из-за загрязнения в них со временем снижается видимость уровня. Широкое применение нашли жезловые указатели, примерные конструкции которых показаны на рис. 19.9, 6, в. Жезловые маслоуказатели в трубчатых чехлах (рис. 19.9, в) применяются в условиях интенсивного разбрызгивания масла. Иногда жезловые маслоуказатели одновременно выполняют роль отдушины.

Для контроля уровня применяются также пробки малых размеров с цилиндрической метрической (рис. 19.10, a) или конической (рис. 19.10, b) резьбой. Такие же пробки больших размеров применяются в качестве сливных. Они располагаются непосредственно

у днища корпуса, чтобы с маслом сливался и осадок (рис. 19.10).

В корошо герметизированных передачах, в которых практически исключен вынос масла, применяют контрольно-заливное отверстие с пробкой, через которое производится заправка передачи. Такое устройство нашло применение в коробках передач и ведущих мостах автомобилей.

Для индивидуального смазывания узлов, например подшинниковых, применяются масленки. Для заправки пластичных смазочных материалов без приспособлений применяют колпачковые масленки (рис. 19.11, а). С их помощью можно

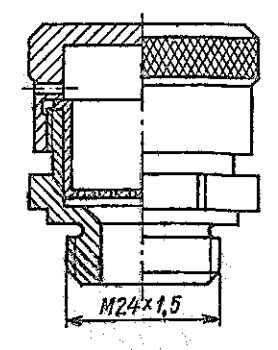


Рис. 19.8. Заливная пробка — отдушина

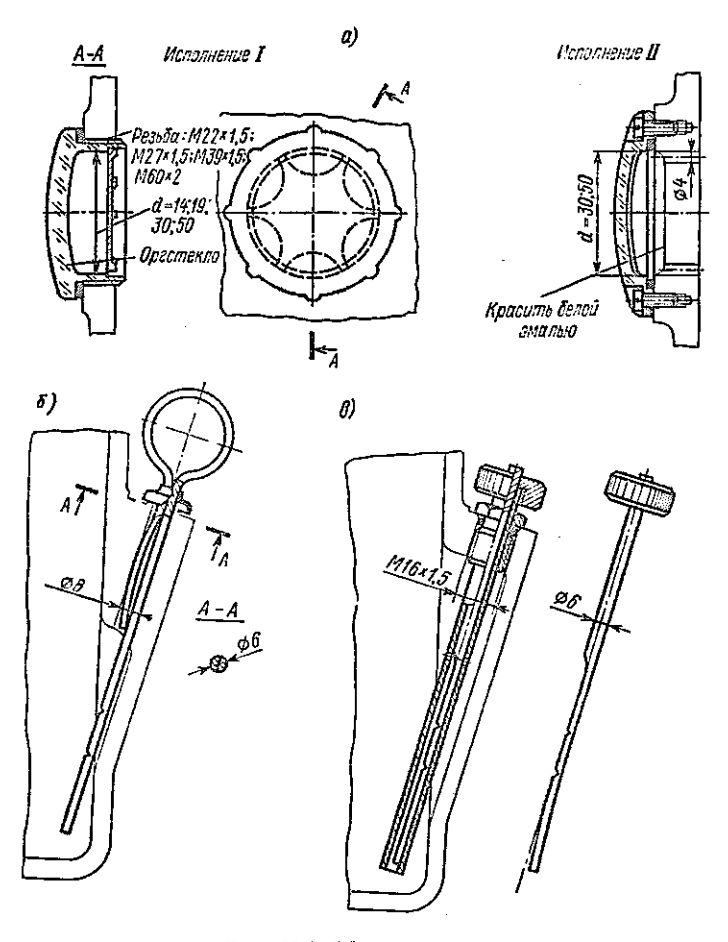


Рис. 19.9. Маслоуказатели

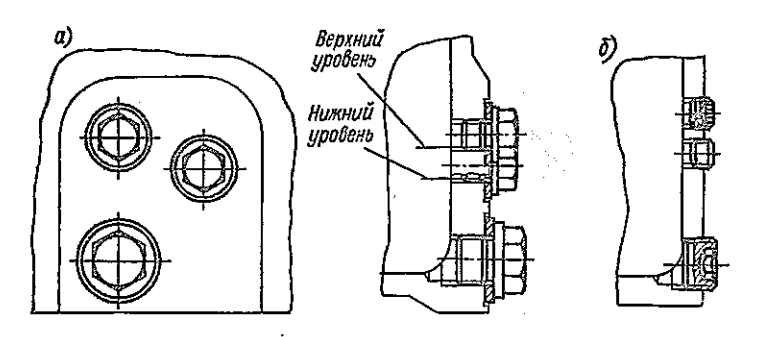


Рис. 19.10. Установка контрольных и сливных пробок

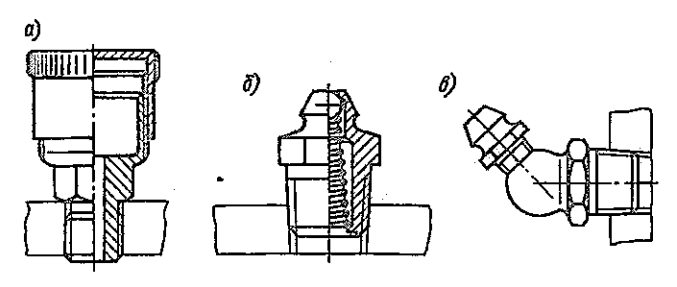


Рис. 19.11. Масленки для пластичных смазочных материалов

создать давление до 0,25 МПа. Заправка пластичных материалов с помощью ручных шприцев производится через прессмасленки (рис. 19.11, δ , δ), прямые и угловые. С помощью шприцев создается давление заправки до 25 МПа. Для жидких масел используются масленки, показанные на рис. 19.12.

Для предотвращения вытекания смазочного материала из корпуса редуктора или выноса его в виде масляного тумана и брызг применяют различные уплотняющие материалы и устройства. Разъемы составных корпусов герметизируют специальными мазями, наносимыми на плоскости разъема перед сборкой корпуса. Во фланцевых соединениях, когда положение фланца не определяет осевой зазор в подшилниковом узле, могут применяться также мягкие листовые прокладочные материалы. В настоящее время для герметизации фланцевых соединений широко применяют уплотнения (ГОСТ 9833-73) в виде резиновых колец круглого сечения (рис. 19.13, а). Для герметизации стыков типа фланец корпус с центровочным буртом применяют установки колец в канавку (рис. 19.13, б), в торец (рис. 19.13, в) и в фаску (рис. 19.13, г). Установка в канавку занимает больше места в осевом направлении, но удобна при наличии регулировочных прокладок между фланцем и корпусом (см. рис. 19.5), поскольку в этом случае изменение толщины прокладок не влияет на деформацию сечения кольца и прижатие его к уплотняемым поверхностям. Размеры сечений колец и установочных мест для них приведены в табл. 19.3. Эти же кольца можно применять для нецентрованных плоских стыков (не обязательно круговых). Для этого на одной из соединяемых деталей должна быть выполнена канавка. Пример кругового уплотнения показан на рис. 19.13, д.

Для герметизации мест выхода из корпуса валов диаметром 6—500 мм широко применяются резиновые манжетные уплотнения (ГОСТ 8752—70). Манжеты предотвращают вынос масла из корпуса и препятствуют попаданию в него пыли и влаги извне. Металлический каркас придает жесткость манжете (рис. 19.14) и позволяет обеспечить плотную и герметич-

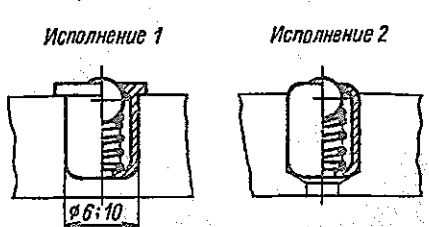


Рис. 19.12. Масленки под запрессовку в корпус для смазочных масел (ГОСТ 19853-74)

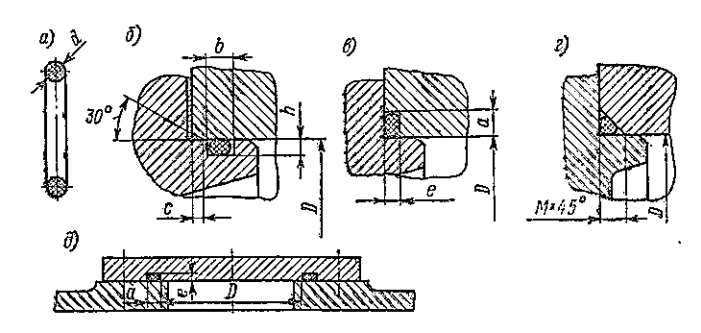


Рис. 19.13. Уплотнение стыков резиновыми кольцами круглогосечения (ГОСТ 9833—73): a— уплотнительное кольцо; b— радиальное уплотнение; c— торповое уплотнение; c— уплотнение плоских стыков

ную посалку ее в корпус. Рабочая кромка манжеты прижимается к валу за счет упругих сил резины и браслетной пружины, которая располагается в желобе воротника и представляет собой обычную витую пружину с соединенными между собой концами. Пыльник (рис. 19.14, б) предохраняет рабочую кромку от попадания пыли и грязи. Манжеты этих типов могут работать при окружной скорости вана у рабочей кромки манжеты до 20 м/с и избыточном давлении среды (со стороны браслетной пружины) до 0.05 МПа. Избыточное давление увеличивает усилие прижатия рабочей кромки манжеты. Условиями, обеспечивающими длительную работу манжет, являются высокая (не грубее $R_a = 0.63$) чистота и достаточная (не менее 30 HRC) твердость поверхности вала, контактирующей с рабочей кромкой манжеты. Иногда участок вала, находящийся в контакте с манжетой, цементируют с последующим инифованием и полированием. Рабочая кромка манжеты может контактировать с ваном или другой деталью, насаженной на вал, например ступицей полумуфты (рис. 19.15) или втулкой (рис. 19.16), закрывающей нерабочую часть шлицев. В этих случаях удается сократить осевые размеры выступающих концов валов. Размеры установочных мест для манжет и нирины манжет приведены в табл. 19.4.

В практике имеют применение и другие типы уплотнений валов: с помощью сальниковых войлочных колец или разрезных пружинных колец, торцовые уплотнения с прижимными дисками, лабиринтные уплотнения и др. Рекомендации по их применению и проектированию приведены в литературе [3, 41].

Таблица 19.3 Размеры установочных мест под неподвижиме резиновые уплотнительные кольна круглюго сечения (рис. 19.13)

Размеры		a	, мм		Размеры		d	, MM	
Газмеры	2,5	3,0	3,6	4,6	* asweim	2,5	3,0	3,6	4,6
D b h c	24-54 3,6 1,85 2,0		28-205 4,7 2,8 2,5	36-260 5,6 3,7 2,5	a e M	3,5 1,85 3,3	4,5 2,2 4,2	5,0 2,6 5,0	6,0 3,3 7,2

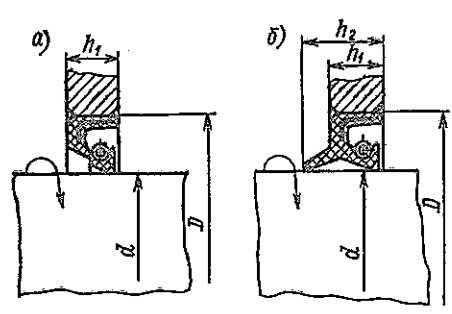


Рис. 19.14. Манжетные уплотнения валов: а — однокромочная манжета; б — однокромочная манжета с пыльником (ГОСТ 8752 — 70)

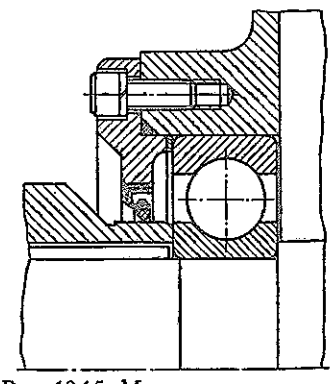


Рис. 19.15. Манжетное уплотнение с контактированием рабочей кромки манжеты с поверхностью полумуфты

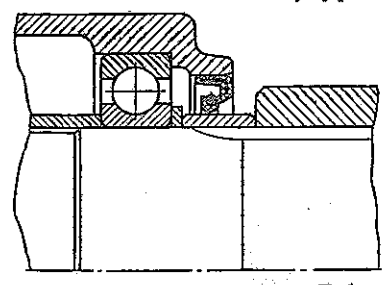


Рис. 19.16. Манжетное уплотнение со втулкой на нерабочей части пплицев вала

Таблица 19.4

Размеры установочных мест для манжет и ширина манжет (мм) по ГОСТ 8752 - 70 (см. рис. 19.14)

Диаметр вала <i>d</i>	Диаметр расточки в корпусе (крышке) D	Ширина манжеты однокро- мочной <i>h</i> ₁	Ширина манжеты однокро-мочной с пыльни-ком h2, не более	Днаметр вала <i>d</i>	Дивметр расточки в корпусе (крышке)	Ширина манжеты однокро- мочной <i>h</i> 1	Ширина манжеты однокро-мочной с пыльни-ком h2, не более
10; 11 12; 13; 14 15; 16 17 18; 19	26 28 30 32 35	7		55; 56; 58 60 63; 65 70; 71 75 80	80 85 90 95 100 105		įŧ
20; 21; 22; 24 25 26 30; 32 35; 36; 38 40 42	40 42 45 52 58 60 62	10	14	85 90; 95 100 105 110 115 120 125	110 120 125 130 135 145 150	12	16
45 48; 50 52	65 70 75	,		130	160	15	20

§ 19.5. Расчет механических передач на нагрев

Повышение температуры сопряженных поверхностей кинематических пар зубчатых и червячных передач в результате работы сил трения вызывает падение защитных свойств масляного слоя. Во избежание повышения интенсивности изнашивания и для предупреждения опасных форм повреждения контактирующих поверхностей температура масла $\vartheta_{\rm M}$ не должна превышать предельного допускаемого значения $\left[\vartheta_{\rm M \, max}\right]$, при котором масло еще сохраняет свои защитные функции. Обычно принимают $\left[\vartheta_{\rm M \, max}\right] = (80 \div 95)$ °C. Для некоторых специальных масел $\left[\vartheta_{\rm M \, max}\right] = (100 \div 110)$ °C.

Для передач, работающих при постоянной нагрузке в течение времени, достаточного для появления установившегося теплового режима, надо обеспечить условие

$$\theta_{\rm M} = P_{\rm BH} (1 - \eta) / \Omega_{\rm HP} + \theta_{\rm O, B} \leq [\theta_{\rm M \, max}],$$
 (19.3)

где $\theta_{\rm M}$ — установившаяся температура масла, °C; $P_{\rm nm}$ — мощность на ведущем валу передачи, Вт; η — КПД передачи; $\theta_{\rm 0,B}$ — температура окружающего воздуха (при отсутствии специальных указаний принимается равной 20 °C); $\Omega_{\rm urp}$ — мощность теплового потока, отводимого от передачи в окружающую среду при перепаде температур в 1 °C,

$$\Omega_{\rm hrp} = K_{\rm H} A_{\rm H} + K_{\rm obg} A_{\rm obg}, \qquad (19.4)$$

 $K_{\rm H}$ — коэффициент теплопередачи с поверхности корпуса, не обдуваемой вентилятором $[K_{\rm B}\approx 12\div 19~{\rm Br/(m^2\cdot ^\circ C)}];~K_{\rm ofg}$ — коэффициент теплопередачи при использовании искусственного обдува корпуса, например центробежным вентилятором, ${\rm Br/(m^2\cdot ^\circ C)};~A_{\rm H}$ и $A_{\rm ofg}$ — площади соответственно необдуваемых и обдуваемых поверхностей корпуса, омываемых внутри маслом или его брызгами (включая 50% поверхности ребер, предназначенных для охлаждения).

На основании эмпирических данных для передач зацеплением принимают $K_{\rm H}\approx 12\div 19$ BT/(м²·°C) в зависимости от интенсивности циркуляции воздуха и $K_{\rm ofh}\approx 16\sqrt[3]{v_{\rm o.b}}$, BT/(м²·°C), где $v_{\rm o.b}$ — скорость потока воздуха относительно охлаждаемой поверхности, м/с (ориентировочно принимают $v_{\rm o.b}=3\div 5$ м/с).

Время t_y , в течение которого температура масла практически достигает установившегося значения при постоянной нагрузке, можно определить по формуле

 $t_{\rm y} \approx (3 \div 3.5) \,\Pi/Q_{\rm HPD},$ (19.5)

где

$$\Pi = G_{\text{MM}} C_{\text{M}} + \Sigma (C_i G_{mi});$$

 $G_{\text{мм}}$ — масса масла в корпусе передачи, кг; $C_{\text{м}}$ — удельная теплоемкость масла, $C_{\text{м}} = (1,7 \div 1,9) \, 10^3$, Дж/(кг·с); C_{j} и G_{mj} — удельная теплоемкость и масса j-й детали передачи.

Если продолжительность работы $t_{\rm T}$ передачи под нагрузкой меньше времени $t_{\rm V}$, а за время остановки температура успевает снизиться до температуры окружающего воздуха $\vartheta_{\rm o,\, B}$, то проверка на нагрев выполняется по формуле

$$\theta_{\text{M}} = P_{\text{BH}} (1 - \eta) (1 - \chi_{\text{HP}}^{-1}) / \Omega_{\text{HP}} + \theta_{\text{O.B}} \leq [\theta_{\text{M max}}],$$
(19.6)

Время, в течение которого ненагруженная передача охлаждается практически до температуры окружающего воздуха, можно определить по формуле

$$t_o \approx (3 \div 3.5) \,\Pi/\Omega_{\text{oxt}},\tag{19.7}$$

где $\Omega_{\rm охл}=\Omega_{\rm нгр},$ если передача вращается вхолостую; если же передача неподвижна, то $\Omega_{\rm охл}=K_{\rm u}A$ (A-увеличенная на 50% поверхность корпуса, омываемая изнутри маслом).

Для многих машин (например, для грузоподъемных) характерны режимы, при которых работа под нагрузкой с продолжительностью t_T чередуется с работой без нагрузки продолжительностью $t_{T=0}$. Полный рабочий цикл $t_{\rm p.c}=t_T+t_{T=0}$ при этом не превышает обычно 10 мин и за время $t_{T=0}$ передача не успевает охладиться до температуры $\Theta_{\rm o.g.}$. На рис. 19.17 показан пример такого цикла, причем гистограмма блока нагружения с продолжительностью t_T представлена в порядке убывания нагрузок, как это было принято и в приведенных ранее гистограммах (см. рис. 2.14 и др.).

Для рассматриваемого случая тепловой расчет выполняется по формуле

$$\vartheta_{M} = \frac{P_{BIIB}\beta(1-\eta)\chi_{OXA}}{\Omega_{HP}} \frac{\chi_{HP}-1}{\chi_{HP}\chi_{OXA}-1} + \vartheta_{O,B} \leqslant \left[\vartheta_{M \max}\right], \tag{19.8}$$

где

$$\chi_{\text{ox},T} = \exp\left(\Omega_{\text{ox},T} t_{T=0}/\Pi\right);$$

$$\beta = \frac{1}{t_T} \sum_{i=1}^k \frac{T_i t_i}{T},$$

T — момент, соответствующий мощности $P_{\text{вш}}$. При постоянной нагрузке $\beta = 1$.

Если условия (19.3), (19.6) или (19.8) не выполняются, то прибегают к одному или совокупности следующих способов: изыскивают пути снижения потерь на трение; увеличивают площадь поверхности охлаждения оребрением корпуса; применяют обдув или повышают его интенсивность;

создают водяное охлаждение масляной ванны. При интенсивном теплообразовании используют охлаждение циркулирующей смазкой, подаваемой под давлением к поверхности трения.

Объем смазки (м³/с), который должен пройти через передачу в единицу времени, определяется по формуле

$$Q = P_{\text{II. M}}^{\text{OTB}} / [C_m \rho_m (\vartheta_{\text{BLIX}} - \vartheta_{\text{ex}})],$$

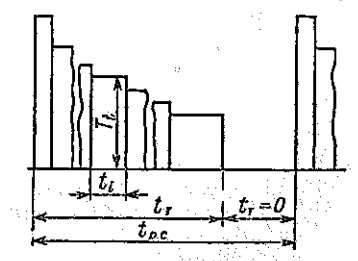


Рис. 19.17. Блок нагружения

где $P_{\text{п.м.}}^{\text{отв}}$ — мощность теплового потока, отводимого циркулирующим маслом, равная мощности потерь, Вт; ρ_m — плотность масла, $\rho_m \approx 890$ кг/м³; $(9_{\text{вык.}} - 9_{\text{рк}})$ — разность температур отводимого и подводимого масла, обычно она составляет 5 — 8 °C.

Глава 20 КОНСТРУКЦИИ РЕДУКТОРОВ

§ 20.1. Цилиндрические редукторы

Конструкция двухступенчатого цилиндрического редуктора по развернутой схеме (см. рис. 1.3, б) с косозубыми колесами представлена на рис. 14.57 в работе [36].

Конструкция двухступенчатого редуктора с раздвоенной быстроходной ступенью, выполненного по схеме рис. 1.3, e, представлена на рис. 20.1. В обеих ступенях косозубые колеса цементованы. Зубья колес быстроходной раздвоенной ступени имеют противоположное направление и большой угол наклона ($\beta \ge 30^{\circ}$). Для выравнивания нагрузки в зацеплениях быстроходный вал установлен на «плавающих» опорах (см. гл. 18). Для этого использованы радиальные роликоподиципники (без буртов на наружных обоймах), обеспечивающие осевое перемещение вала при неравенстве сил в зацеплениях. Опорами промежуточного и тихоходного валов служат радиально-упорные роликоподиципники. Регулирование осевой игры этих подшипников осуществлено по рекомендациям, приведенным в гл. 18.

Все зубчатые колеса расположены симметрично относительно опор валов, что благоприятно сказывается на распределении нагрузки по ширине зубчатых венцов и обеспечивает одинаковую радиальную нагрузку подшипников.

Корпус редуктора имеет фланцы для крепления крышки, не выступающие за внешние обводы корпуса, что позволяет увеличить объем заливаемого масла и площадь наружной поверхности редуктора без увеличения его габаритных размеров. Смазывание зацеплений осуществляется погружением в масляную ванну, уровень которой достигает колес быстроходной ступени. Подшинники вала-шестерни быстроходной ступени предохраняются от излишнего попадания смазки из зацеплений маслоотражательными шайбами.

Двухступенчатый редуктор с раздвоенной быстроходной ступенью, (рис. 20.2) также выполнен по схеме рис. 1.3, е. Конструкция редуктора отличается от представленной на рис. 20.1 тем, что опорами всех валов служат радиальные роликоподшинники. Дополнительно на промежуточном и тихоходном валах установлено по одному радиально-упорному шарикоподшиннику с разъемным внутренним кольцом, воспринимающему только осевую нагрузку — фиксирующая опора. (Другие варианты выполнения фиксирующей опоры см. гл. 18). Регулирование осевой игры радиально-упорных подшипников выполнено в соответствии с рекомендациями, приведенными в гл. 18. Роликоподципники этих валов

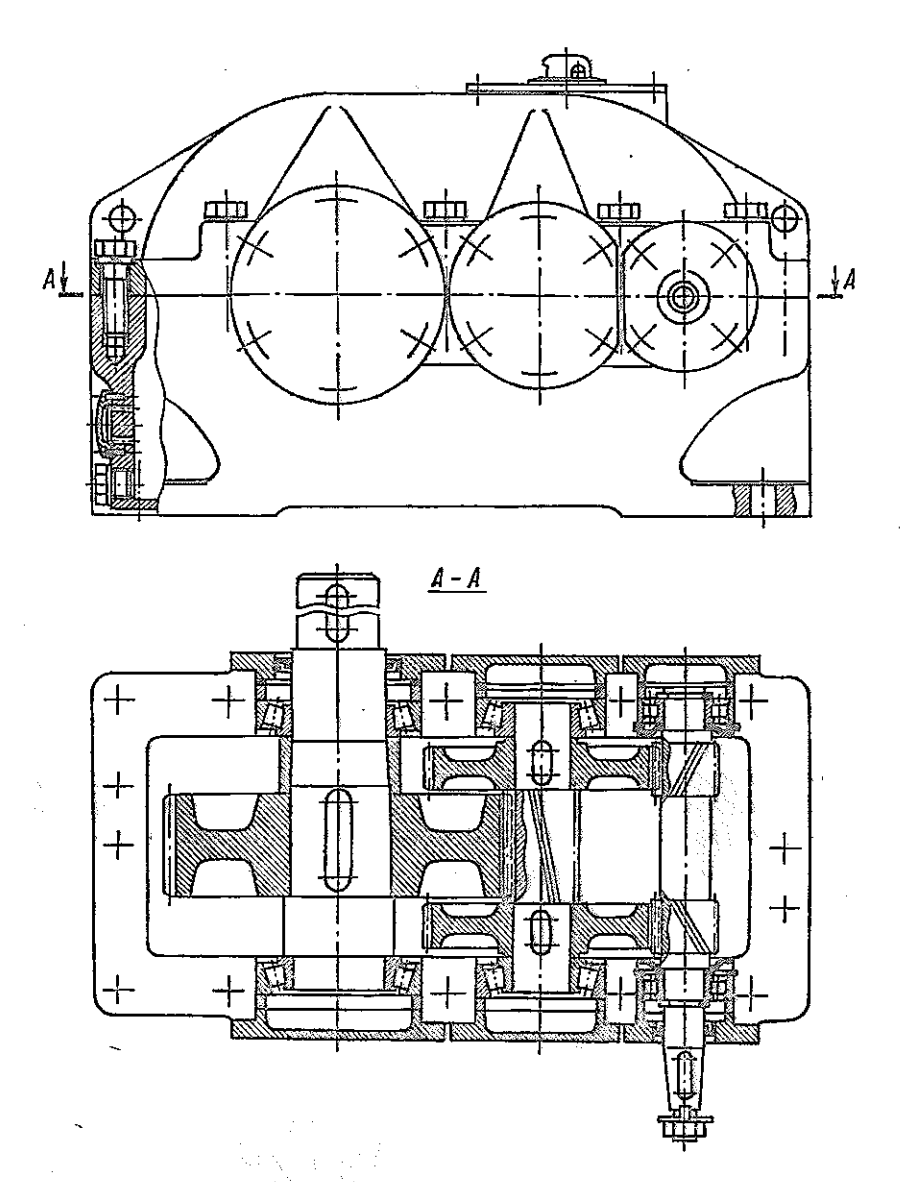


Рис. 20.1. Цилиндрический двухступенчатый редуктор с раздвоенной быстроходной ступенью

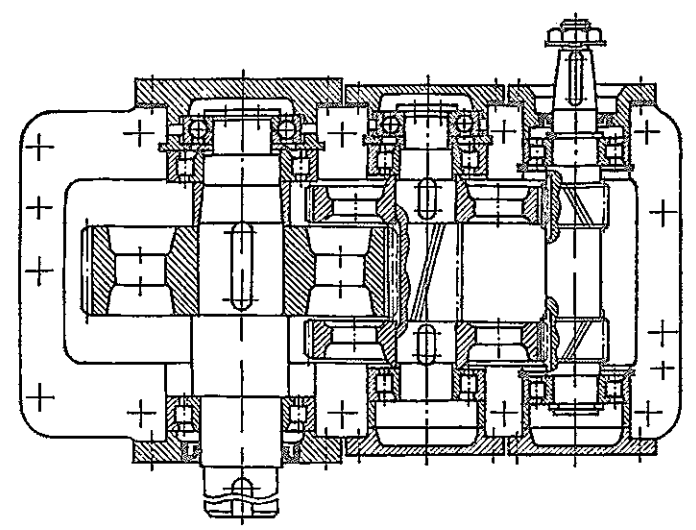


Рис. 20.2. Цилиндрический двухступенчатый релуктор с раздвоенной быстроходной ступенью и раздельными опорами валов для восприятия радиальной и осевой нагрузок

установлены в корпусе с гарантированным осевым зазором, шарико-подшипники — с гарантированным радиальным зазором.

Двухступенчатый редуктор (рис. 20.3) с соосными выходными валами выполнен по схеме рис. 1.3, ж. Косозубые колеса обеих ступеней цементованы. Шестерня быстроходной и колесо тихоходной ступени установлены симметрично относительно опор. Для этого в корпусе предусмотрена внутренняя стенка, в которой имеется отверстие под подшипники

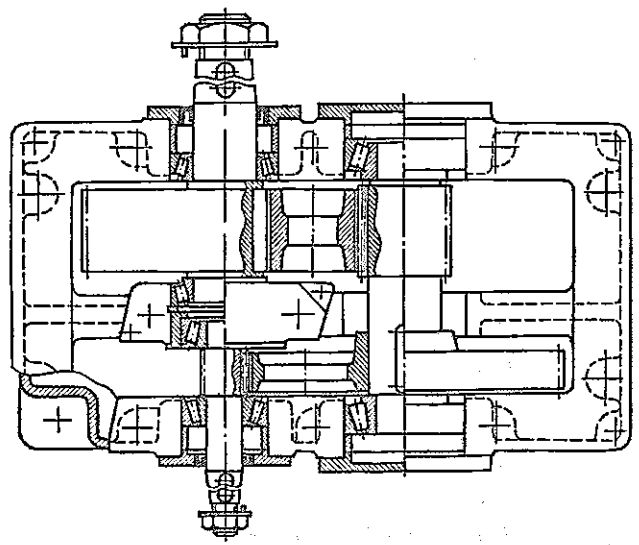


Рис. 20.3. Двухступенчатый редуктор с соосными валами

выходных валов. Диаметр этого отверстия соответствует диаметру подшипника тихоходного вала, поэтому подшинник быстроходного вала, имеющий меньшие размеры, установлен в промежуточной втулке. Все валы установлены на радиально-упорных роликоподшипниках. Регулирование осевой игры подшипников осуществлено в соответствии с указаниями, приведенными в гл. 18. Корпус имеет разъем в горизонтальной плоскости. Подшипники, установленные в промежуточной стенке, крепятся отдельной крышкой. Смазывание зацеплений — окунанием в масляную ванну, уровень которой достигает колеса быстроходной ступени.

Двухступенчатый редуктор с соосными выходными валами (рис. 20.4) также выполнен по схеме рис. 1.3, ж. Редуктор имеет меньшие осевые габаритные размеры по сравнению с представленным на рис. 20.3, так как в нем отсутствует внутренняя стенка. Оба подшипника быстроходного вала размещены в стакане, который одновременно предназначен и для установки одной из опор тихоходного вала. Для увеличения жесткости стакан выполнен с толстыми оребренными стенками; колесо тихоходной ступени, в отверстии которого размещен подшипник, изготовлено за одно целое с валом. Посадка колеса быстроходной ступени на валу рассчитана на передачу крутящего момента и осевой силы без использования шпонок.

Двухступенчатый редуктор с соосными выходными валами и двумя потоками мощности (рис. 20.5) выполнен по схеме рис. 1.3, и. Благодаря раздвоению потока мощности и расположению валов в горизонтальной плоскости редуктор имеет минимальную высоту. Для вания нагрузки между зацеплениями колеса быстроходных и шестерни тихоходных ступеней соединены торсионными валами. Один из торсионных валов окончательно устанавливается при сборке редуктора после того, как будут устранены зазоры между рабочими профилями зубьев во всех зацеплениях. Достаточная точность сборки обеспечивается применением в соединениях с треугольными шлицами торсионного вала с зубчатыми колесами z и z+1 шлицев, что позволяет получить угол относительного поворота колес равным 1/[z(z+1)]. Все подшипники расположены симметрично относительно зубчатых колес, тем самым обеспечивается минимальная неравномерность распределения нагрузки по ширине зубчатых венцов и равномерная загрузка подшилников. Подшипники обоих выходных валов практически разгружены от сил, действующих в зацеплениях, Смазывание зацеплений осуществляется окунанием, уровень масляной ванны достигает зубьев колеса тихоходной сту-

Коническо-цилиндрический двухступенчатый редуктор (рис. 20.6) выполнен по схеме рис. 1.4, с. Конические зубчатые колеса быстроходной ступени с круговыми зубьями, тихоходная ступень — с цилиндрическими прямозубыми колесами. Все зубчатые колеса цементованы. Шестерня быстроходной ступени установлена консольно на радиально-упорных роликоподишпниках. Регулирование осевого положения шестерни относительно колеса выполнено прокладками, установленными между корпусом редуктора и опорной поверхностью стакана, в котором установлен один из подшипников вала-шестерни. Для смазывания подшипников быстроходного вала на горизонтальной поверхности разъема корпуса редуктора

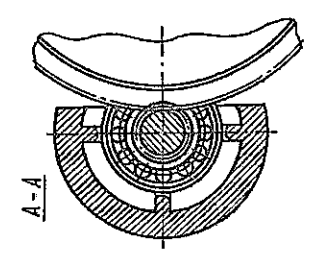
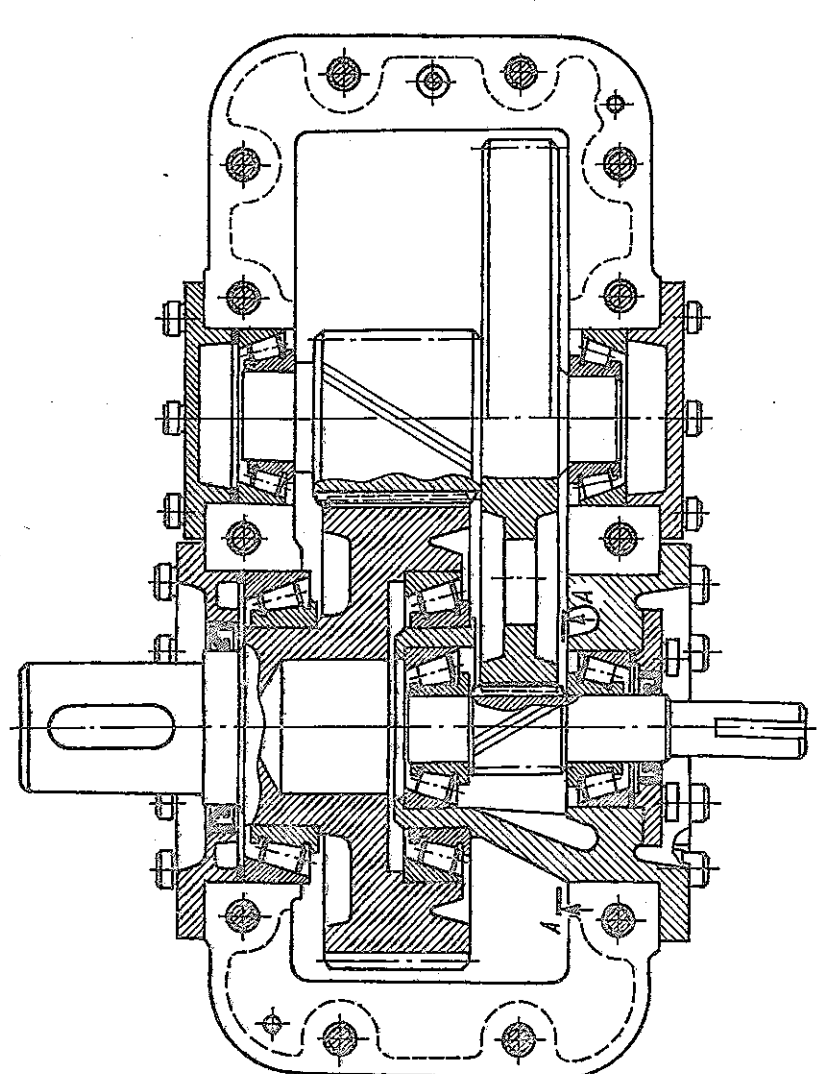


Рис. 204. Двухступенчатый редуктор с соосными валами боз внутренней стенки в кориусе нусе



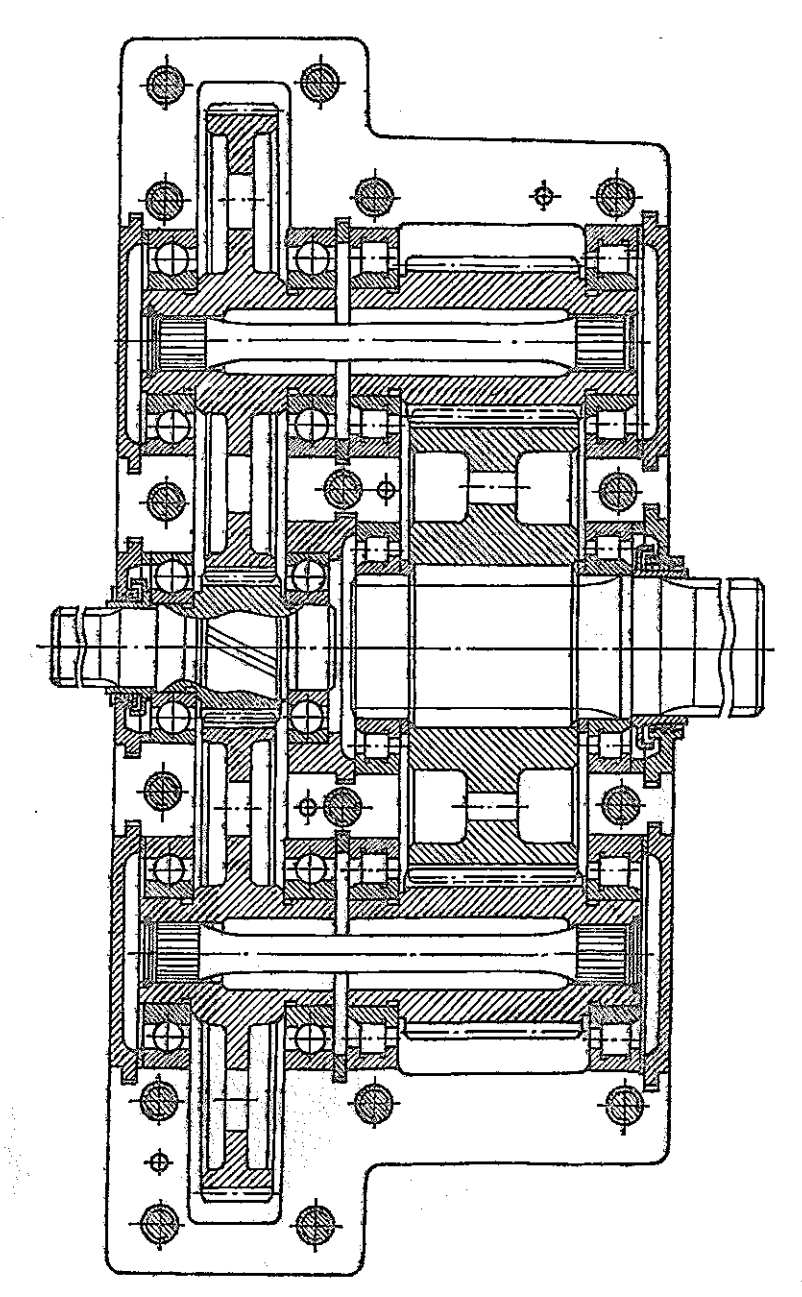


Рис. 20.5. Двухступенчатый редуктор с двумя потоками мощности

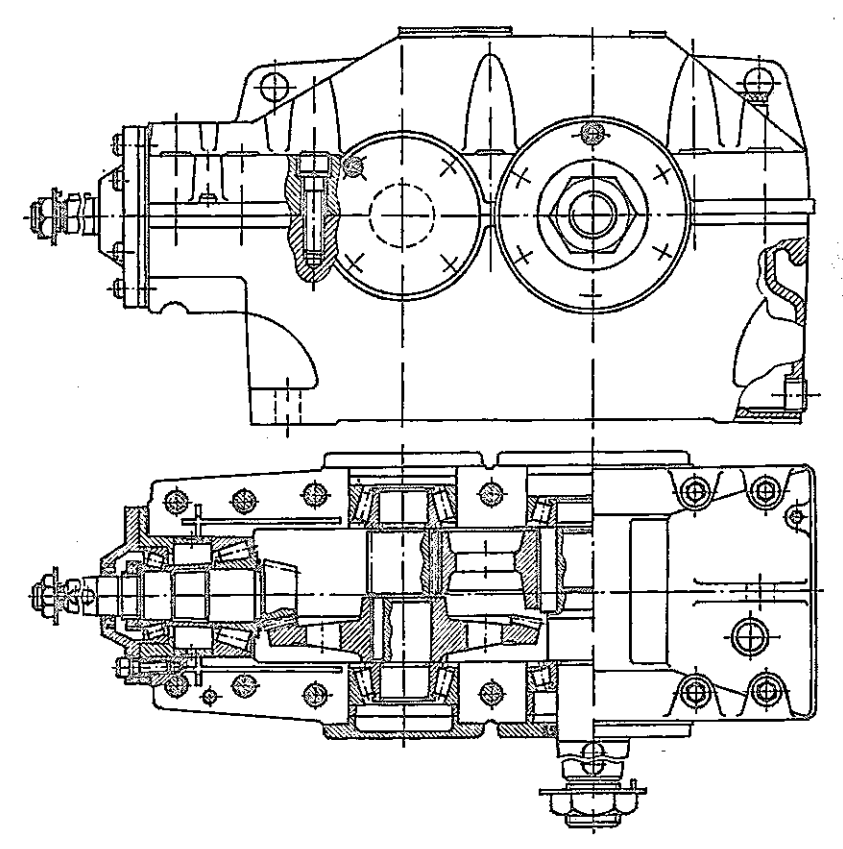


Рис. 20.6. Коническо-цилиндрический редуктор

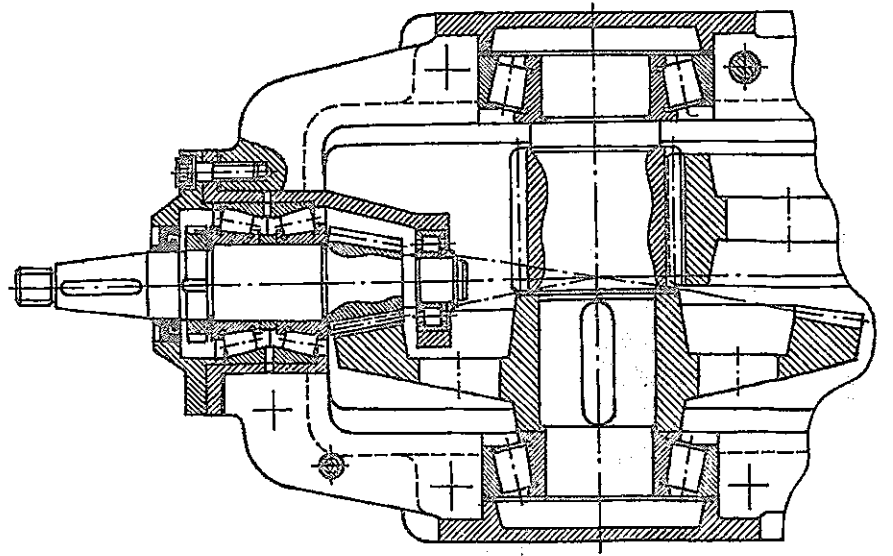


Рис. 20.7. Быстроходная ступень коническо-цилиндрического редуктора

364

Рис. 20.8. Соосный мотор-репуктор

выфрезерованы канавки, соединяющие картер с полостью стакана. Промежуточный и тихоходный валы установлены на радиально-упорных роликоподшинниках, регулирование осевого зазора в которых выполнено по рекомендациям гл. 18. Зубчатые колеса установлены на валах по посадке с натягом в сочетании с призматической шпонкой, при этом для удобства сборки на тихоходном валу предусмотрен конический направляющий участок, на котором расположена выступающая из ступицы часть шпонки. Смазывание зацеплений производится окунанием в масляную ванну, уровень которой достигает колеса быстроходной ступени.

На рис. 20.7 показана быстроходная ступень коническо-цилиндрического редуктора, в которой коническая шестерня установлена не консольно, а между двумя опорами, что снижает неравномерность распределения нагрузки по ширине зубчатых колес.

Соосный мотор-редуктор с двухступенчатой цилиндрической передачей показан на рис. 20.8. Зубчатые колеса цементованы. Шестерня быстрокодной ступени нарезана непосредственно на валу якоря электродвигателя, который закреплен на корпусе редуктора. Промежуточный вал
состоит из двухопорной шестерни тихоходной ступени с консольно закрепленным колесом быстроходной ступени. Регулирование осевой игры
конических роликоподшипников этого вала производится резьбовой крышкой через отверстия в диске колеса. Ведомый вал редуктора с насаженным
на него с натягом колесом тихоходной ступени установлен на конических
роликоподшипниках, способных воспринять консольную внешнюю нагрузку. Смазывание зацеплений осуществляется окунанием шестерни промежуточной ступени в масляную ванну, корпус имеет сложную форму,
позволяющую уменьшить число разъемов, необходимых для сборки зубчатой передачи.

§ 20.2. Планетарные редукторы

Редукторы по схеме планетарной передачи A_{ha}^b и $A_{h1a1}^{b1}A_{h2a2}^{b2}$ (см. табл. 6.1 и 6.2) представлены на рис. 14.59, 14.60 в работе [36].

Двухступенчатый мотор-редуктор по схеме планетарной передачи $A_{h1a1}^{b1}\,A_{h2a2}^{b2}$ (см. табл. 6.2) показан на рис. 20.9. Центральное колесо a_2 быстроходной ступени нарезано на консольном конце вала якоря электродвигателя. Активные поверхности колес с наружными зубьями цементованы. Стальные термически улучшенные центральные колеса с внутренними зубьями жестко соединены с корпусом и торцовой крышкой редуктора из легкого силава.

Плавающими звеньями являются водило h_2 быстроходной ступени и центральное колесо a_1 тихоходной ступени, соединенные друг с другом муфтой с двумя зубчатыми сочленениями. Осевая фиксация плавающих звеньев в корпусе осуществлена с помощью двух радиальных шарикоподшинников сверхлегкой серии, установленных с гарантированным осевым зазором по торцам внутренних колец в водилах h_1 и h_2 . Наиболее нагруженный подшипник водила h_1 (при действии консольной внешней нагрузки) выбран достаточно большого диаметра. Сателлиты установлены на роликовые подшипники. Для повышения несущей способности за счет увеличения диаметра роликов в тихоходной ступени использованы роли-

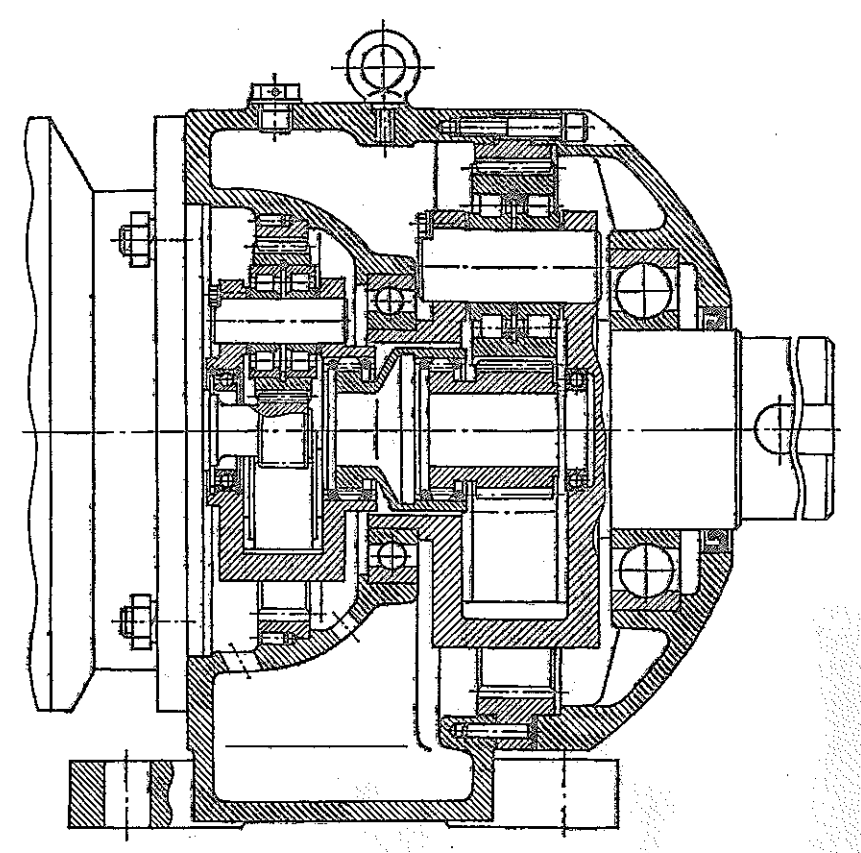


Рис. 20.9. Планетарный двухступенчатый мотор-редуктор

коподшинники без наружного кольца, роль беговой дорожки играет цементованная и пілифованная поверхность внутреннего отверстия сателлита. Смазывание зацеплений и опор производится окунанием в масло, уровень масляной ванны достигает сателлитов быстроходной ступени.

Трехступенчатый могор-редуктор с вертикальными валами по схеме планетарной передачи $A_{h1a1}^{b1}A_{h2a2}^{b2}A_{h3a3}^{b3}$ показан на рис. 20.10. Все зубчатые колеса термически улучшены. В каждой ступени число сателлитов $n_{\rm w}=3$. Выравивание нагрузки между сателлитами осуществляется плавающими центральными колесами $a_1,\ a_3$ и водилом h_2 . Свобода радиальных неремещений этих звеньев достигается с помощью соединительных муфт с двумя зубчатыми сочленениями. Для унификации инструмента в тихоходной и промежуточной ступенях использованы колеса с одинаковыми числами зубьев, модулями и другими геометрическими параметрами, но отличающиеся шириной в связи с различным уровнем нагрузок в этих ступенях. Осевое положение центрального колеса a_3 относительно вала якоря электродвигателя фиксируется пружинными кольцами в зубчатых сочленениях соединительной муфты. Осевое положение соединенных друг с другом колеса a_1 и водила h_2 осуществляется

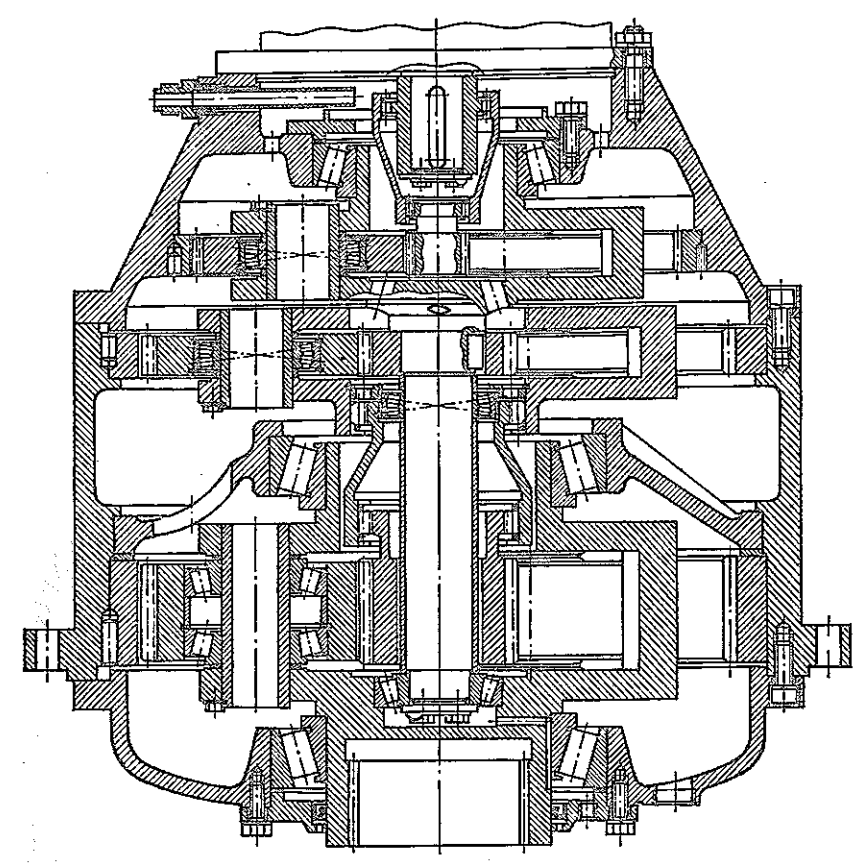
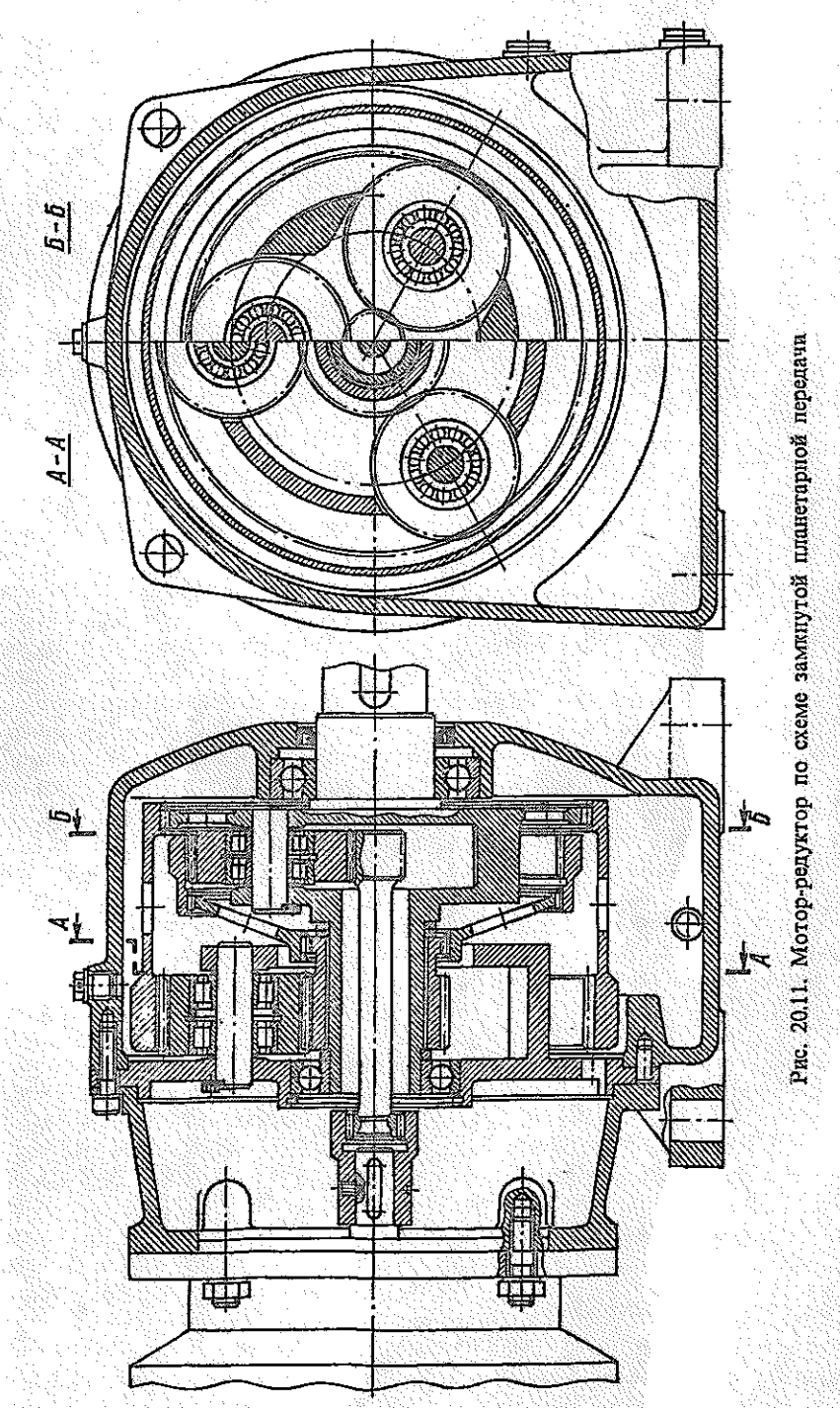


Рис. 20.10. Трехступенчатый вертикальный мотор-редуктор

радиальным подшипником, установленным на валу водила h_3 с гарантированным осевым зазором по торцам наружного кольца. Для уменьшения продольного габаритного размера редуктора одна из опор вала водила h_3 , пронизывающего все три ступени, размещена в водиле h_1 . В связи с возможной осевой нагрузкой на вал редуктора водило h_1 установлено на конических роликоподшипниках. Для соединения с исполнительным механизмом предусмотрен венец зубчатой муфты, выполненный за одно целое с водилом h_1 . Корпус редуктора чугунный, крепится к раме исполнительного механизма фланцем. Система смазывания циркуляционная с использованием отдельной насосной установки, не показанной на чертеже.

Мотор-редуктор по схеме замкнутой передачи $(AA)_{(b1h2)a2}^{h1}$ (см. табл. 6.2), показан на рис. 20.11. Колеса с наружными зубъями цементованы, колеса с внутренними зубъями термически улучшены. В каждой ступени оба центральных колеса плавающие, что позволяет сократить число опор промежуточных валов. Тихоходная ступень расположена между двигателем и быстроходной ступенью. Такая компоновка упрощает конструк-



369

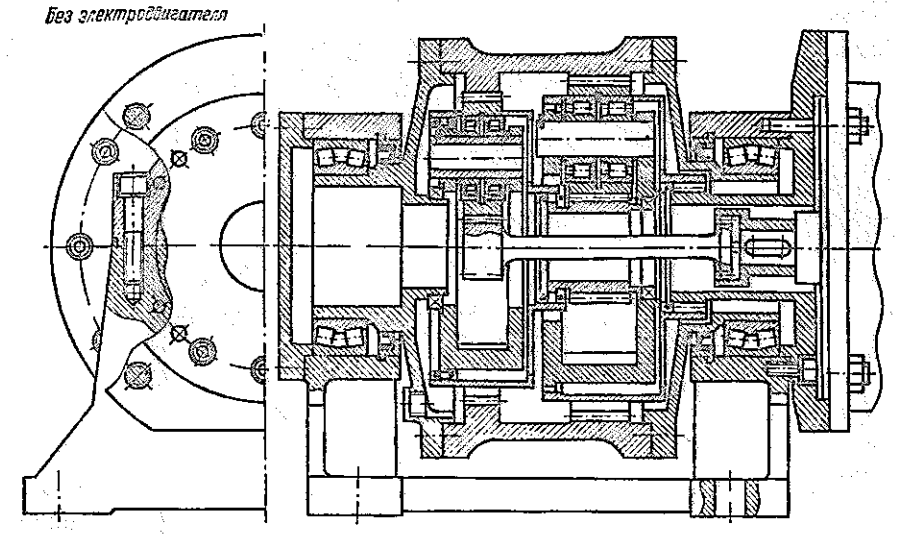


Рис. 20.12. Мотор-барабан

цию корпуса, так как невращающееся водило h_1 тихоходной ступени выполнено за одно целое с торцовой крышкой корпуса. Благодаря большим расстояниям между двигателем и центральным колесом a_2 и между центральным колесом b_1 и водилом h_2 соединительные муфты этих плавающих звеньев выполнены только с одним зубчатым сочленением. Плавающие центральные колеса a_1 и b_1 соединены муфтой с двумя зубчатыми сочленениями. Осевое положение этой пары звеньев определяется упорными шайбами у торцов колеса a_1 с гарантированным зазором. Сателлиты установлены на радиальных роликоподшипниках с высокой несущей способностью. Радиальные шарикоподшипники водила отстоят друг от друга на значительном расстоянии, что позволяет воспринимать большие консольные нагрузки на ведомом валу редуктора. Корпус и промежуточная деталь, служащая для крепления фланцевого электродвигателя, могут быть изготовлены из легкого сплава.

Мотор-барабан (или мотор-ролик) с редуктором во замкнутой схеме $(AA)_{(b1b2)a2}^{h1}$ (см. табл. 6.2) показан на рис. 20.12. Гладкий барабан может служить для наматывания троса или использоваться в качестве ведущего и опорного ролика некоторого вращающегося агрегата (металлургические печи и т. п.). Зубчатые колеса с наружными зубьями цементованы. Центральные колеса b_1 , b_2 с внутренними зубьями нарезаны непосредственно в барабане, охватывающем зубчатую передачу, так как в связи с большими радиальными нагрузками, которые может испытывать барабан, и, как следствие, неизбежными деформациями барабана фланцевое или шпоночное соединение их с барабаном было бы недостаточно надежным. Тихоходная ступень размещена между двигателем и быстроходной ступенью. Деталь, воспринимающая момент невращающегося водила h_1 , одновременно служит для закрешления фланцевого электродвигателя. В каждой ступени по два плавающих звена: центральное колесо с наружными зубьями и водило, что позволяет сократить число

опорных подшипников промежуточных валов. Все соединительные муфты плавающих звеньев имеют по два зубчатых сочленения кроме муфты центрального колеса a_2 , где из-за больной длины вала нет необходимости во втором зубчатом сочленении. Осевое положение плавающих звеньев h_1 , a_1 , h_2 определено двумя радиальными шарикоподшипниками сверхлегкой серии, установленными в корпусе и в водиле h_1 с гарантированным зазором по торщам колец. Сателлиты установлены на радиальных роликоподшипниках с высокой несущей способностью, барабан — на сферических роликоподшипниках в связи с возможной деформацией его стенок и цанф под действием внешней нагрузки. Рама моторбарабана литая, опоры подшипников барабана имеют горизонтальный разъем. Смазывание осуществляется окунанием в ванну, во вращающийся масляный слой погружены центральные колеса с внутренними зубьями.

Двухступенчатый редуктор с быстроходной цининдрической передачей и тихоходной передачей $(3k)_{ea}^b$ (см. табл. 6.1) показан на рис. 20.13. Пилинарическая передача выполнена с нижним расположением консольной шестерни, благоприятным для смазывания зацепления. Зубья шестерни и колеса цементованы. Колесо закреплено на входном валу передачи 3к. Все зубчатые колеса передачи 3к термически улучшены. Центральное колесо в жестко запрессовано в корпус редуктора. Крутящий момент этого колеса воспринимается штифтами, в осевом направлении колесо крепится тремя винтами М10. Плавающее центральное колесо е соединено муфтой с двумя зубчатыми сочленениями с ведомым валом редуктора. Водило через два радиальных шарикоподининика опирается на вал центрального колеса а, подшинники которого, в свою очередь, размещены в корпусе и внутри ведомого вала редуктора. Из-за возможных консольных внешних нагрузок опоры ведомого вала редуктора разнесены на достаточное расстояние друг от друга. Для осевой фиксации подшипников этого вала в корпусе служат две торцовые крышки 21, 22, стянутые длинными винтами 34.

Роликоподишиники консольного ведущего вала редуктора также раздвинуты на большое расстояние друг от друга, чтобы уменьшить возможный перекос вала-шестерни. Сателлиты установлены на конических роликоподшипниках, обладающих большой несущей способностью. Осевая игра этих подшипников регулируется прокладкой 26 у съемной торцовой крышки 19. Сферическая конфигурация корпуса способствует повышению его жесткости без дополнительного оребрения. Смазывание осуществляется окунанием, уровень масляной ванны достигает зацепления пилиндрической ступени и внутреннего зацепления сателлитов.

Двухступенчатый мотор-редуктор показан на рис. 20.14. Схема зубчатой передачи соответствует схеме редуктора, представленного на рис. 20.13. Конструктивные отличия состоят в верхнем расположении инсстерни быстроходной ступени. Фланцевый электродвигатель крепится непосредственно к корпусу редуктора. Шестерня насажена на вал якоря электродвигателя. Для смазывания этой зубчатой нары предусмотрена маслоподъемная шестерня из текстолита, погруженная в маслянную ванну. Осевая фиксация ведомого вала редуктора осуществияется только одним радвальным шарикоподишником с помощью торцовой крышки и втулки, закрепленной в корпусе тремя установочными винтами.

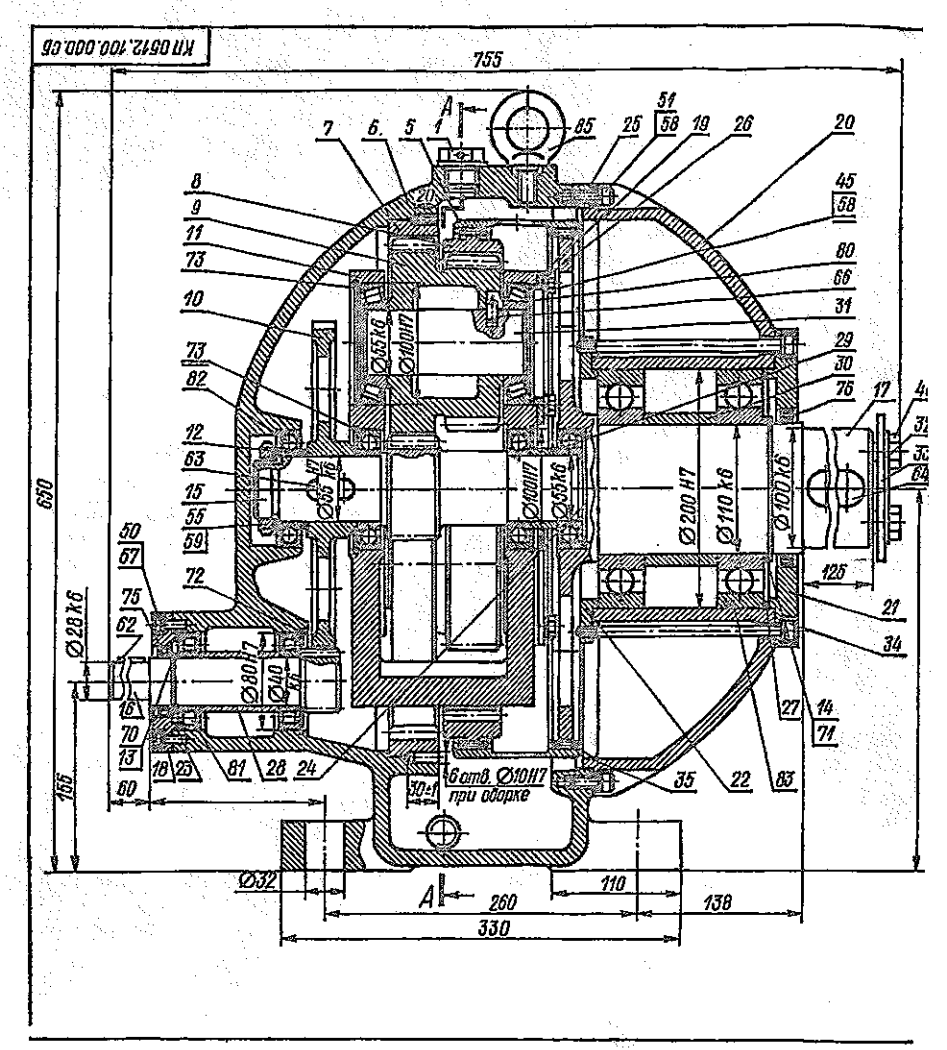
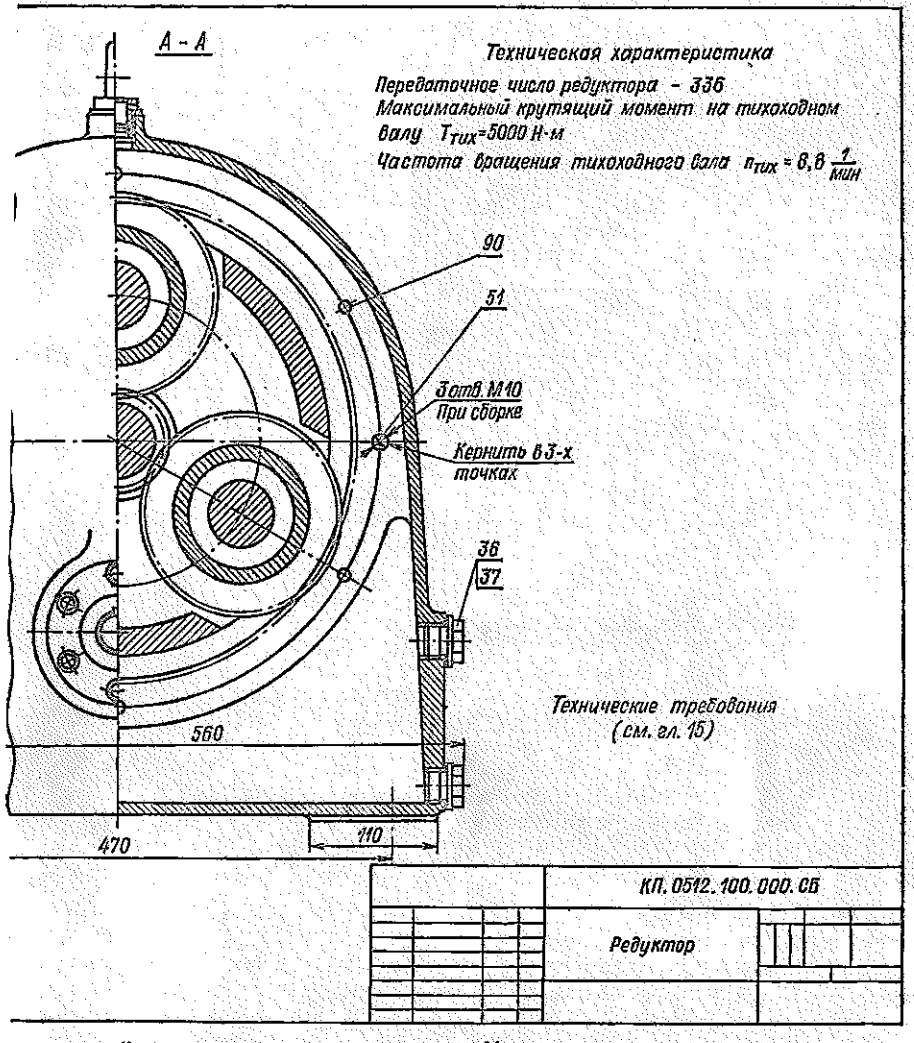


Рис. 20.13. Двухступенчатый редуктор с пла

Двухступенчатый редуктор с быстроходной конической передачей и тихоходной планетарной передачей A^b_{ha} показан на рис. 20.15. Редуктор выполнен с горизонтальным ведущим и вертикальным ведомым валами. Зубчатые колеса с наружными зубьями обеих ступеней цементованы, колесо b планетарной ступени термически улучшено. Плавающее центральное колесо a с помощью муфты с одним зубчатым сочленением соединено с колесом быстроходной ступени. Водило, изготовленное за одно целое с выходным валом, установлено на радиально-упорных роликоподпишниках, рассчитанных с учетом консольной нагрузки на выходном валу. Внутренние зубья центрального колеса b нарезаны непосредственно в нижней части корпуса, что снижает габаритные размеры редуктора.



нетарной тихоходной ступенью по схеме 3k

Конические колеса быстроходной ступени выполнены с круговыми зубьями. Вал-шестерня установлен на двух радиально-упорных шарико-подшипниках в одной опоре и роликоподшипником в другой. Радиально-упорные шарикоподшипники воспринимают реверсивную осевую нагрузку, роликоподшипник — только радиальную (плавающая опора).

Регулирование осевого положения шестерни относительно колеса осуществляется перемещением стакана, в котором установлены подшишники вала-шестерни, за счет изменения толщины прокладок между корпусом редуктора и опорной поверхностью стакана. Для крепления конического колеса быстроходной ступени к промежуточному валу применено малогабаритное соединение с коническими (призонными) болтами. Верхняя

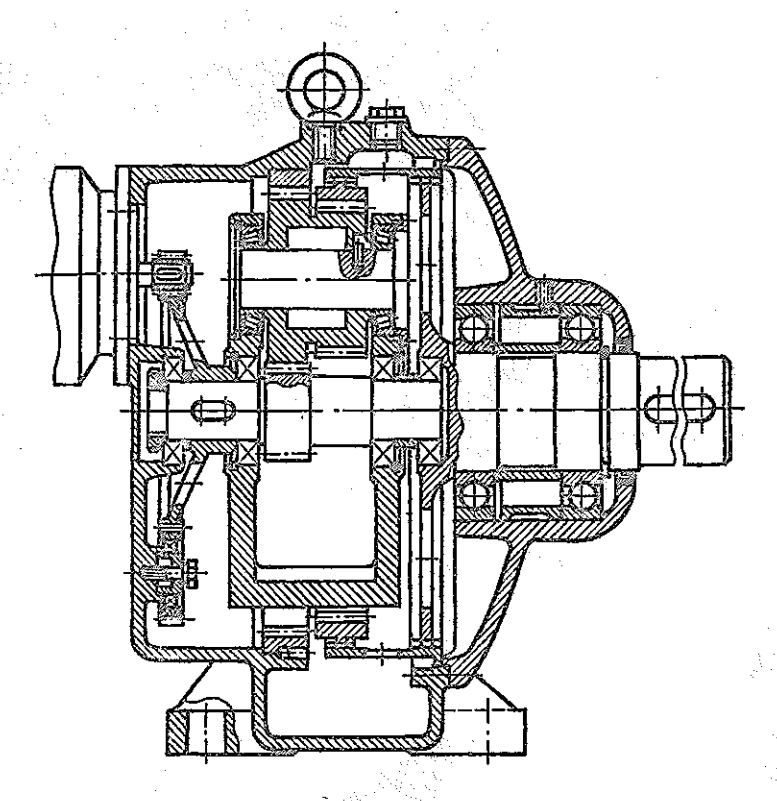


Рис. 20.14. Двухступенчатый мотор-редуктор с планетарной тихоходной ступенью по схеме 3k

часть корпуса редуктора имеет прилив для крепления фланцевого электродвигателя. Система смазывания редуктора циркуляционная. Насос, подающий масло из картера в нижней части корпуса, получает вращение от промежуточного вала через зубчатую муфту. Для предохранения одного из подшипников выходного вала от затопления маслом в нижней части корпуса установлен тонкостенный стакан. Участок стакана, выступающий над уровнем масляной ванны, вместе с кольцом, закрепленным на водиле, образует лабиринтное уплотнение.

Корпус редуктора состоит из двух частей, соединенных винтами, головки которых имеют внутренний шестигранник для ключа и размещены в полостях, предусмотренных в верхней части корпуса. В этой же части корпуса имеется смотровой люк, закрытый тонкостенной крышкой. Следует обратить внимание на обеспечение минимальной несоосности расточек под подшипники, на которые устанавливается водило, так как от этого зависит неравномерность распределения нагрузки по ширине подшипников и зубчатых колес планетарной ступени. При степени точности изготовления зубчатых колес не ниже 7-й несоосность расточек под подшипники водила не должна превосходить 0,05 мм. Обеспечить такую несоосность можно за счет расточки посадочных отверстий в корпусе после соедине-

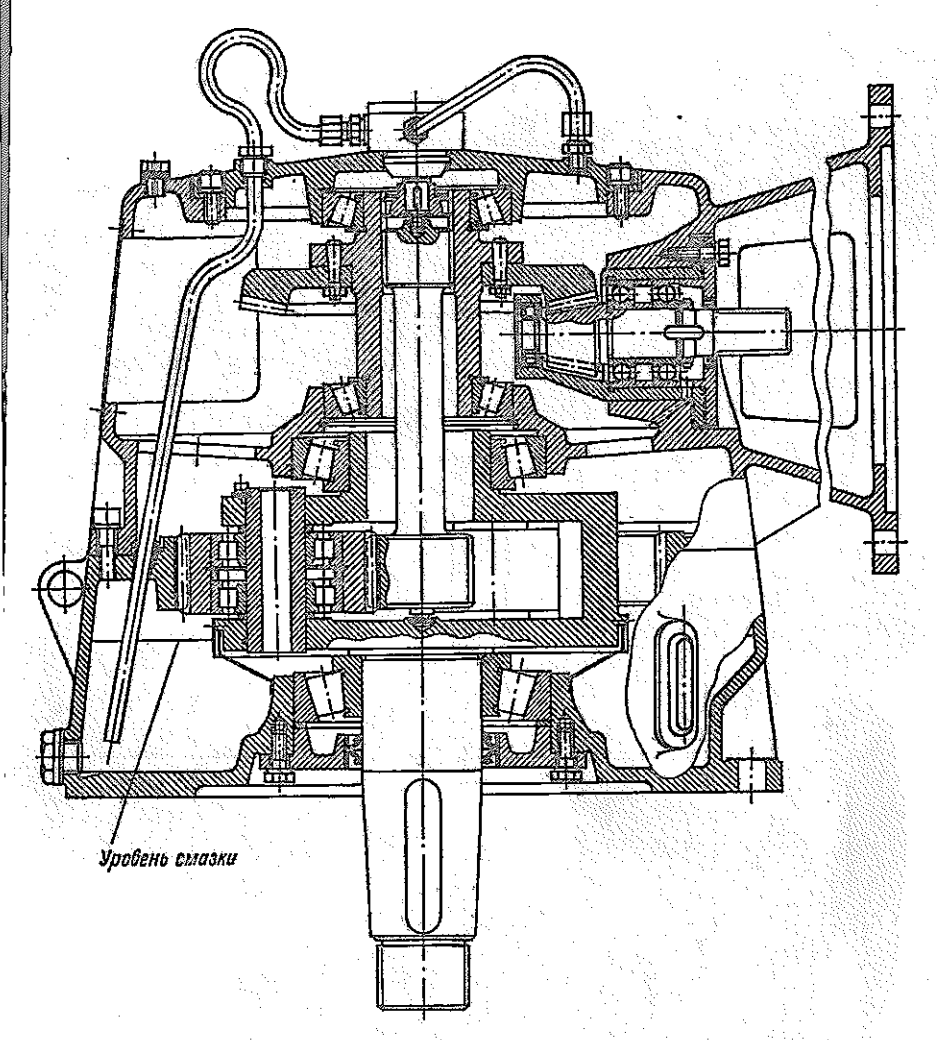


Рис. 20.15. Двухступенчатый редуктор с конической быстроходной и планегарной тихоходной ступенями

ния его частей винтами и двумя фиксирующими штифтами, установленными нерпендикулярно к плоскости разъема.

Аналогичным образом достигается соосность расточек под подшинники колеса быстроходной ступени, которые делесообразно выполнять за одну установку при расточке отверстий для подшипников водила.

Конструкция подпинниковых узлов быстроходного вала обеспечивает минимальные значения $K_{H\beta}$ в конической паре при небольших осевых габаритных размерах. Выравнивание нагрузки среди сателлитов планетарной ступени в данной конструкции достигается муфтой с одним зубчатым сочленением из-за большого расстояния от этой муфты до колеса a. При этом следует иметь в виду, что невысокие значения $K_{H\beta}$ в зацепле-

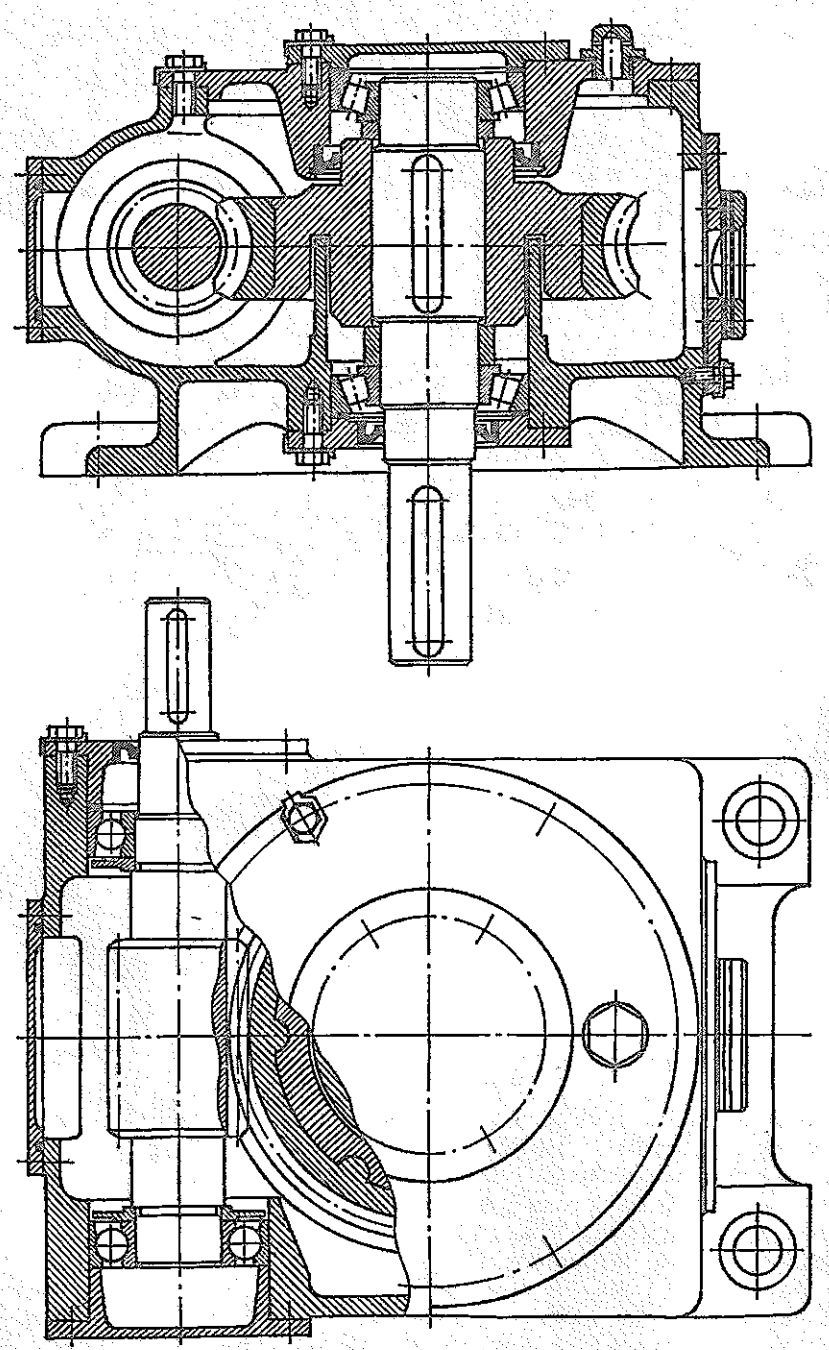


Рис. 20.16. Одноступенчатый червячный редуктор с вертикальным валом червячного колеса

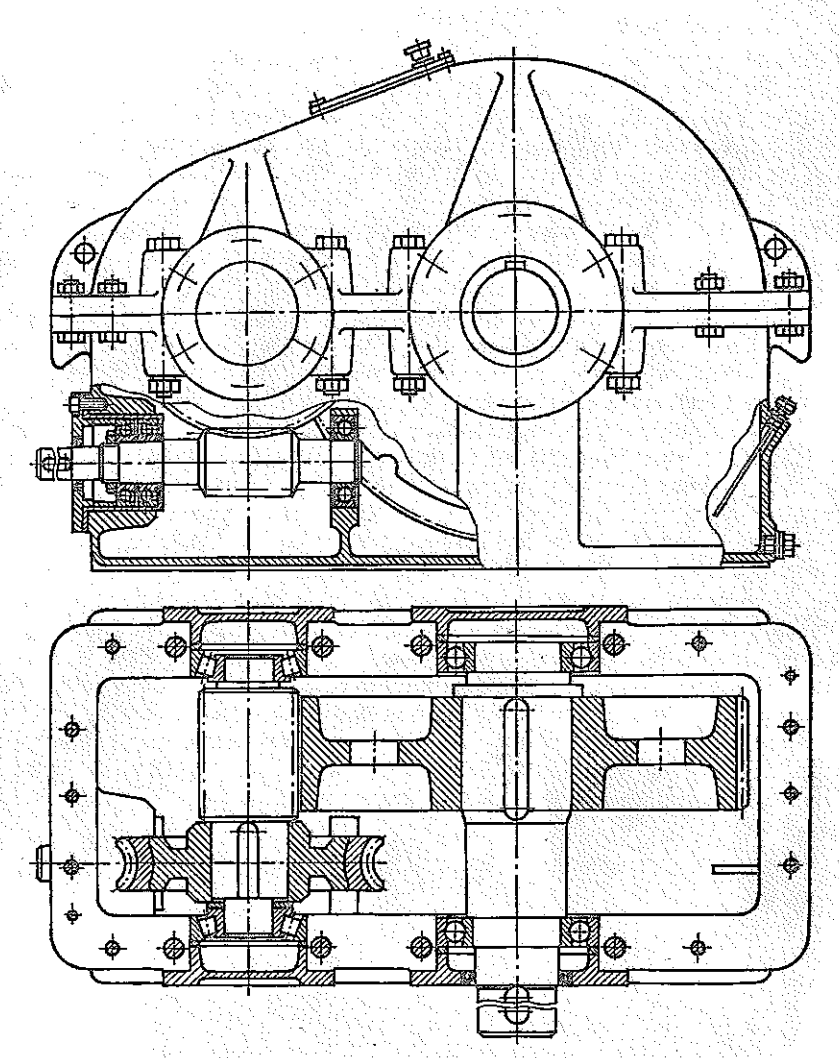


Рис. 20.17. Червячно-цилиндрический двухступенчатый редуктор

нии a-g достигаются при небольших $(\psi_{bd})_a$ и высокой степени точности зубчатых колес планетарной ступени, которая не должна быть ниже 7-й. Если расстояние между зубчатой муфтой и колесом a невелико, то для выравнивания нагрузки среди сателлитов следовало бы плавающим выполнить колесо b, что существенно усложняет конструкцию.

§ 20.3. Червячные редукторы

Червячный редуктор с вертикальным валом червячного колеса показан на рис. 20.16. Червяк, изготовленный за одно целое с валом, установлен на двух радиально-упорных шарикоподшипниках «в распор» (см. гл. 18). Осевая игра подшипников регулируется прокладкой, уста-

новленной между одной из крышек и наружной обоймой подшипника. Составное червячное колесо, изготовленное отливкой бронзового венца в форму с предварительно помещенной в нее стальной ступицей, установлено на выходном валу редуктора по посадке с гарантированным натягом в сочетании со шпоночным соединением. Опорами вала червячного колеса являются радиально-упорные роликоподшипники. Осевая игра этих подшипников, а также положение червячного колеса относительно червяка регулируются прокладками, расположенными между наружными обоймами подшипников и крышками.

В конструкции редуктора предусматривается применение пластичного смазочного материала для подшинников вала червячного колеса. Для предупреждения попадания масла из картера редуктора в полости этих подшинников имеются уплотнения: в верхней полости манжетное, в нижней — лабиринтное. Уровень масляной ванны для смазывания зацепления и подшинников входного вала, достигающий поверхности впадин червяка, расположен ниже верхнего торца стакана, образующего с поверхностью проточки в ступице червячного колеса лабиринтное уплотнение.

Червячно-нилиндрический двухступенчатый редуктор (рис. 20.17) выполнен по схеме рис. 1.5, ∂. Червячная передача с нижним расположением червяка установлена в быстроходной ступени, что позволяет уменьшить размеры и получить более высокий КПД редуктора. Радиально-упорные шарикоподпишники вала червяка объединены в одной «фиксирующей» опоре; во второй («плавающей») опоре использован радиальный шарикоподпишник. Червячное колесо, закрепленное на промежуточном валу, по конструкции аналогично червячному колесу редуктора, изображенного на рис. 20.16. В тихоходной ступени применены прямозубые колеса без поверхностного упрочнения зубьев.

ПРИЛОЖЕНИЯ

Приложение 1

Рекомендуемая последовательность работы над курсовым проектом по деталям машин

Последовательность работы над курсовым проектом, рекомендуемая в данном приложении, отражает опыт кафедры «Детали маниин» Ленинградского механического института. Авторы пособия не исключают возможности и другого порядка выполнения курсового проекта с учетом специфики учебного заведения и методического опыта соответствующей кафедры.

Техническое задание на курсовой проект, как правило, содержит кинематическую схему привода, частоту вращения выходного вала, общее передаточное отношение передачи и данные о внешней нагрузке.

Нагрузка выходного вала (рабочего органа манины) задается в виде гистограммы, подобной представленной на рис. 2.11. Для приводов с повторно-кратковременным режимом нагружения приводятся данные, относящиеся к одному блоку нагружения (см. рис. 19.17 и стр. 357). При этом число циклов нагружений при действии і-й нагрузки определяется по формуле (2.50), в которой в этом случае $t_{h(i)} = t_{i}\mu_{e}$, где μ_{e} – число блоков нагружения за полный срок службы, указываемое в задании.

В задании предполагается, что в гистограммах учтены внешние динамические нагрузки, в частности, возникающие при неустановившемся движении. Выдаются также указания по выбору типов соединительных муфт и при необходимости по установке предохранительных устройств.

Более сложными и трудоемкими, но и в большей степени развивающими творческие способности студента являются задания, в которых схема и общее передаточное отношение привода отсутствуют, а даны лишь указания по расположению входного и выходного валов передачи, частота вращения рабочего органа, а также гистограмма нагружения (см. гл. 1, 2).

В техническом задании кроме этого указывается перечень подлежащей разработке конструкторской документации. В соответствии с программой Минвуза СССР по курсу «Детали машин» к конструкторской документации по курсовому проекту обычно относят:

эскизный (технический) проект редуктора (выполняемый на миллиметровой бумаге) на листе формата A1;

сборочный чертеж редуктора, представляемый на одном-двух листах

формата А1;

рабочие чертежи трех-четырех деталей редуктора общим объемом, соответствующим листу формата A1;

сборочный чертеж привода на листе формата А1;

расчетно-пояснительная записка.

Выбор типа передачи привода выполняется лишь в том случае, если в задании отсутствует кинематическая схема.

Указания по выбору типов передач приведены в гл. 12, используя материалы которой, можно сопоставлять различные схемы по массо-габаритным и энергетическим показателям. Однако широкому внедрению заданий с выбором схемы привода должна предшествовать подготовительная работа по программному обеспечению ЭВМ, с помощью которого задача оптимизации основных показателей привода решается при минимальных затратах времени.

Разбивка общего передаточного отношения по ступеням передачи является частью общей задачи оптимизации массо-габаритных и энергетических показателей привода. Поэтому варьирование передаточными числами должно производиться при выборе схемы привода.

При разработке проекта по заданной схеме и отсутствии соответствующего программного обеспечения ЭВМ передаточные отношения отдельных передач в приводе целесообразно предусмотреть в техническом задании либо ориентировочно выбрать в соответствии с указаниями гл. 12. При разбивке $i_{\text{общ}}$ между ступенями многоступенчатых редукторов следует воспользоваться данными той же гл. 12.

Предварительно выбранные значения передаточных отношений могут корректироваться в результате подбора чисел зубьев, выбора электродвигателя, геометрических расчетов и компоновки привода. При этом фактическое значение частоты вращения выходного вала передачи не должно отличаться от предварительно заданного более, чем на 3—5%.

Ориентировочное значение КПД передачи определяется путем перемножения соответствующих значений η передач, из которых состоит привод. Ориентировочные значения η для зубчатых передач приведены в табл. 2.1. Для передач других типов значения КПД даны в соответствующих главах. Сравнительные значения η для передач различных типов в зависимости от передаточных чисел представлены на рис. 12.2.

Выбор электродвигателя производится по указаниям приложения 2. При отсутствии в задании кинематической схемы привода частота вращения ротора электродвигателя назначается на этапе выбора типа передачи, так как с увеличением ее уменьшаются масса и габаритные размеры двигателя 1, но растет общее передаточное отношение и в некоторой степени массо-габаритные характеристики передачи.

¹ В связи с унификацией корпусов электродвигателей габаритные размеры и масса их иногда остаются неизменными в определенном интервале изменения частот вращения.

Кинематический расчет привода заключается в определении угловых скоростей всех звеньев, входящих в проектируемый привод. Для передач с неподвижными осями (для рядных редукторов) определение угловых скоростей не представляет трудностей. Угловые скорости звеньев планетарных и замкнутых передач определяются по формулам гл. 6 (см. также табл. 6.1 и 6.2).

Определение моментов на валах передачи в большинстве случаев производится без учета потерь на трение в отдельных ступенях. Однако в передачах, имеющих сравнительно невысокие значения КПД (червячные, волновые и планетарные типа С и 3k), моменты на валах должны определяться с учетом η. Для планетарных и замкнутых передач зависимости, связывающие моменты, действующие на основные звенья, представлены в гл. 6 (см. табл. 6.3 и 6.4).

Проектировочный расчет передач привода осуществляется по указаниям, изложенным в гл. 2-8. Если в приводе предусматриваются встроенные предохранительные муфты, то их расчет производится по указаниям гл. 13.

Эскизный проект выполняется в соответствии с рекомендациями гл. 14. При этом целесообразно ориентироваться на элементы существующих конструкций, примеры которых представлены в гл. 20, а также в справочниках [29, 37, 38] и атласах [18 и др.]. Вопросы конструирования валов, осей и соединений вал — ступица рассматриваются в гл. 9, зубчатых колес и элементов планетарных передач — в гл. 16, подшипниковых узлов — в гл. 10, 18, резьбовых соединений — в гл. 11, муфт — в гл. 13, корпусных деталей — в гл. 17.

Проверочные расчеты элементов передачи производятся после завершения разработки эскизного проекта. При этом рассчитываются механические передачи, валы, оси, подшинники, соединения вал — ступица, встроенные фрикционные муфты (если таковые имеются в приводе), резьбовые соединения. Указания к порядку проведения проверочных расчетов приводятся в соответствующих главах настоящего пособия. По результатам проверочных расчетов при необходимости вносятся изменения в эскизный проект, после чего его можно рассматривать как учебный технический проект.

Выбор смазочных материалов для передач и подшипников и расчет на нагрев привода осуществляется в соответствии с указаниями гл. 19. На этом же этапе производится выбор устройств для контроля за уровнем смазки, отдушин, маслоспускных и уплотнительных устройств и т. д. Результаты расчета на нагрев могут служить причиной изменений в эскизном проекте (например, введение оребрения корпуса, установка крыльчатки и т. п.).

Сборочный чертем редуктора, выполняемый по эскизному проекту, дополняется спецификацией. Некоторые указания по правилам оформления чертежей и спецификаций технического проекта приведены в гл. 15.

Рабочие чертежи деталей оформляются в соответствии с требованиями ЕСКД. Определенную пользу при разработке рабочих чертежей окажут данные гл. 15.

Выбор соединительных муфт привода производится по указаниям гл. 13. Здесь же выполняются проверочные расчеты соединений полумуфт с ва-

лами (см. гл. 9) и элементов предохранительных устройств в соединительных муфтах, если они предусмотрены заданием. При установке зубчатых муфт необходимо подобрать тип смазочного материала и его объем для заливки в муфту.

Расчет болтов крепления редуктора к установочной илите (раме) производится по указаниям гл. 11. Требуемые размеры элементов рамы определяются по данным гл. 17.

Сборочный чертеж привода, на котором показывается спроектированный привод с электродвигателем и соединительными муфтами, установленный на раме. Пример сборочного чертежа привода представлен на рис. 15.1. К сборочному чертежу привода прилагается спецификация (см. гл. 15). Указания по проектированию установочных плит (рам) приведены в гл. 17. На сборочном чертеже привода должны быть предусмотрены запилные кожухи, устанавливаемые в соответствии с требованиями техники безопасности.

Расчетно-пояснительная записка составляется одновременно с выполнением перечисленных этапов работы над курсовым проектом и оформляется в соответствии с требованиями ЕСКД (см. гл. 15). Кроме указанных разделов расчетно-пояснительная записка должна содержать описание спроектированного привода, указания о последовательности сборки редуктора, регулирования осевых зазоров в подпишниках и др.

Защита курсового проекта производится после проверки чертежей и расчетно-пояснительной записки руководителем проекта. При этом следует обращать внимание не только на правильность вычислений и принятых конструктивных рещений, но и на умение студента излагать свои мысли литературным языком и соблюдение требований ЕСКД по оформлению текстовых документов.

Приложение 2

Выбор двигателя

В общем машиностроении широкое распространение получили асинхронные двигатели трехфазного тока с короткозамкнутым ротором. Отечественная промышленность выпускает двигатели серии 4А в диапазоне мощности 0,06—400 кВт. В грузоподъемных машинах и металлургическом оборудовании используют двигатели постоянного тока, обеспечивающие регулирования частоты вращения в широких пределах, и двигатели переменного тока серий МТ и МТВ (с контактными кольцами) и МТК и МТВК (с короткозамкнутым ротором), допускающие работу с частыми пусками и большими перегрузками.

В каталоге электродвигателей приводятся следующие основные данные, необходимые для проектирования механического привода: $P_{\text{дв. ном}}$ — номинальная мощность, при потреблении которой от сети двигатель может длительно работать без перегрева, кВт; $T_{\text{дв. ном}}$ — номинальный момент на валу ротора двигателя, соответствующий мощности $P_{\text{дв. цом}}$ кгс. м; $n_{\text{дв}}$ — частота вращения ротора двигателя мин $^{-1}$; $\lambda_{\text{м}}$ — допустимое

значение кратности максимального момента $T_{\rm 2B,max}$ двигателя по отношению к его номинальному моменту $T_{\rm 7B,hoxt}$

Для подбора двигателей, работающих в кратковременном режиме, указана мощность $P_{\text{дв 30}}$, $P_{\text{дв 60}}$ при стандартной продолжительности времени работы 30 и 60 мин. Для подбора двигателей, работающих в повторно-кратковременном режиме, указана мощность $P_{\text{дв 10}}$ при стандартной продолжительности включения (см. ниже) из ряда значений $IIB_{\text{ст}} = 15, 25, 40, 60\%$.

Примечание. Следует иметь в виду, что в действующих каталогах электродвигателей сохраняется система единии МКГСС, поэтому требуется согласование параметров двигателя с данными в СИ, принятыми в курсовом проекте.

В каталоге имеются варианты двигателей с одинаковой номинальной мощностью, но с разной частотой вращения, например, дан ряд синхронных скоростей вращения ($n_{\text{дважих}} > n_{\text{дв}}$): 750, 1500, 3000 мин $^{-1}$

В каталоге даны присоединительные размеры конца вала ротора двигателя (у двигателей, использующихся в составе мотор-редукторов, диаметр ротора уменьшен). Там же указаны присоединительные размеры корпусов в двух вариантах исполнения: с лапами для крепления двигателя на раме привода или с фланцем для использования двигателя в составе мотор-редуктора, а также при вертикальном креплении двигателя к раме привода.

П2. 1. Выбор двигателя в зависимости от режима работы привода.

В курсовом проекте обычно бывает задана гистограмма нагрузок T_i и соответствующих им частот вращения n_i на выходном валу механической передачи, приводящей в движение рабочий орган, см. рис. 2.11, 19.17. Рассмотренные в данном параграфе асинхронные двигатели имеют «жесткую» механическую характеристику: значительное изменение нагрузки вызывает несущественное изменение частоты вращения ротора. Практически принимают, что в рабочем диапазоне нагрузок (исключая период пуска) частота вращени ротора $n_{\rm дв} = {\rm const.}$, тогда частота вращения двигателя связана с частотой вращения рабочего органа: $n_{\rm дв} = n_{\rm p.o}\,i_{\rm of}$. Выбор двигателя из каталога производят по номинальной мощности $P_{\rm дв. \, pacq}$ (где $P_{\rm дв. \, pacq}$ — расчетная мощность двигателя, определяемая с учетом режима работы привода) и частоте вращения.

Ниже рассмотрены три основных режима работы и проверка двига-

теля на перегрузку.

Длительный режим работы характеризуется продолжительностью работы, достаточной для того, чтобы температура нагрева двигателя достигла установившегося значения. Заданный внешний переменный момент заменяют эквивалентным постоянным моментом, рассчитываемым по формуле

 $T_E = \sqrt{\sum_{i=1}^{k} T_i^2 \frac{t_i}{\sum_{i} t_i}},$ (II2.1)

где T_i , t_i — ступень нагрузки (H · м) и соответствующее ей время работы по гистограмме на рис. 2.11; $\sum t_i$ — суммарное время работы под нагрузкой.

При постоянной нагрузке $T_E = T$.

Расчетное значение мощности двигателя (Вт) при условии постоянства частоты вращения ротора равно

$$P_{\rm ge, pacq} = T_E \omega_{\rm p,o}/\eta_{\rm ob},$$
 (II2. 2)

где $\omega_{\rm p,o}$ — угловая скорость вала рабочего органа, рад/с; $\eta_{\rm o5}$ — КПД механической передачи; изменением КПД при переменной нагрузке пренебрегают и полагают $\eta_{\rm o5}$ = const.

По каталогу подбирают двигатель с номинальной мощностью $P_{\text{дв. ном}} \geqslant P_{\text{дв. расч}}$, полагая, что при удовлетворении этого неравенства нагрев не будет вызывать преждевременного выхода двигателя из строя.

Кратковременный режим работы характеризуется общей продолжительностью работы под нагрузкой 10 мин $\leq t_{\rm T} \leq$ 60 мин, при которой не происходит нагрев двигателя до установившейся температуры. При этом продолжительность остановок между отдельными блоками нагружения достаточна для выравнивания температуры двигателя и окружающего воздуха. Эквивалентный момент T_E определяют по формуле (П2. 1) в зависимости от нагрузок T_i , составляющих один блок нагружения за отре-

зок времени $t_T = \sum_{i=1}^{\kappa} t_i$ (см. гистограмму, приведенную на рис. 19.17).

Расчетную мощность двигателя $P_{\text{дв.расч}\,t}$ определяют по формуле (П2.2). Повторно-кратковременный режим работы отличается частыми пусками и остановками, при которых за время работы двигателя t_T его температура не успевает достигнуть установившегося значения, а за время остановки $t_{T=0}$ — не успевает опуститься до температуры окружающего воздуха. Продолжительность одного периода $t_T + t_{T=0} \le 10$ мин. Продолжительность включения двигателя (%) характеризуется фактической величиной

$$IIB_{\phi} = \frac{t_T}{t_T + t_{T=0}} 100.$$

Величина ΠB_{ϕ} дана в задании на курсовой проект или рассчитывается по заданным величинам t_T и $t_{T=0}$. Для выбора двигателя необходимо выбрать ближайшую к ΠB_{ϕ} стандартную продолжительность включения из ряда значений ΠB_{ct} , указанных в каталоге. Расчетная мощность двигателя (Вт) при постоянной частоте вращения ротора равна

$$P_{ exttt{AB-P2C4}} = rac{T_E \omega_{ ext{p.o}}}{\eta_{ ext{o}6}} \sqrt{rac{\Pi B_{\Phi}}{\Pi B_{ ext{c.r.}}}},$$

где $\omega_{\rm p,o}$, $\eta_{\rm o5}$ — см. указания к формуле (П2.2); $T_{\rm E}$ определяют по формуле (П2.2) для одного характерного блока нагружения за отрезок времени $t_T = \sum_{i=1}^{L} t_i$, см. рис. 19.17.

По каталогу подбирают двигатель с номинальной мощностью $P_{\text{пр. DB}} \geqslant P_{\text{пр. DBCV, DB}}$, исключающей его перегрев.

Проверка двигателя на перегрузку преследует цель предотвратить «опрокидывание» (остановку под нагрузкой) при резком увеличении внешней нагрузки. Проверку двигателя производят при возможных неблагоприятных условиях эксплуатации, когда напряжение в электрической сети понижено до 10% (что соответствует уменьшению движущего момента на 19%), а нагрузка достигает максимального значения

$$T_{\text{MB.HOM}} \geqslant \frac{T_{\text{max}}}{0.81\lambda_{\text{Mon}} \eta_{\text{off}}},\tag{II2.3}$$

где λ_M — кратность максимального момента по каталогу для выбранного электродвигателя; T_{\max} — максимальный момент по гистограмме рис. 2.11, 19.17.

Если условие (П2.3) не удовлетворено, то требуемая расчетная мощность (Вт), по которой следует выбрать двигатель, должна быть равна

$$P_{\text{max}}\omega_{\text{p.o.}} = \frac{T_{\text{max}}\omega_{\text{p.o.}}}{0.81\lambda_{\text{M}}\eta_{\text{o.o.}}}.$$

В этом случае двигатель имеет запас по температуре нагрева.

Приложение 3

Расчет углов перекоса между осями сцепляющихся цилиндрических зубчатых колес

Расчетные схемы валов или осей рассмотрены в гл. 9. В практических расчетах углов поворота сечений и прогибов допустимо пренебречь смещением от середины зубчатого венца равнодействующей удельных нагрузок.

В качестве исходных данных приняты: внешние силовые факторы, осевые размеры и размеры сечений вала, характеристик опор — жесткость и зазор. В процессе расчетов определяют опорные реакции, внутренние силовые факторы и перемещения в сечениях вала под внешними силовыми факторами и в местах изменения поперечных размеров.

Вал или ось можно представить в виде набора из N-1 стержневых элементов, где N — число узловых точек. В качестве узловых точек принимают места изменения размеров сечений вала или приложения внешних нагрузок. Пусть N_i — число стержней разных поперечных сечений, а N_j — число сечений, в которых приложены внешние силовые факторы. К внешним силовым факторам отнесены также реакции опор после их определения. Если в местах изменения размеров сечений вала не приложены внешние силовые факторы, то $N = N_i + N_j - 1$.

Прогибы $U_{k+1}^{(0)}$ и углы поворота $\theta_{k+1}^{(0)}$ в конце k-го участка вала постоянного сечения (рис. ПЗ.1), можно определить интегрированием дифференциального уравнения упругой линии:

$$\theta_{k+1}^{(0)} = \theta_k^{(0)} + (Q_k z_k^2/2 + M_k z_k)/(EJ_k);$$

$$U_{k+1}^{(0)} = U_k^{(0)} + \theta_k^{(0)} z_k + \left[Q_k z_k \left(\frac{EJ_k}{GF_k} + \frac{z_k^2}{6} \right) + M_k \frac{z_k^2}{2} \right] / (EJ_k),$$
(II3.1)

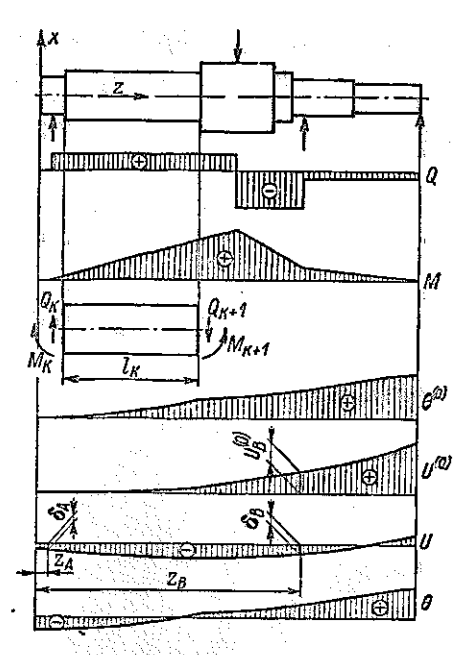


Рис. П3.1. К определению прогибов и углов поворота сечений вала.

где $\theta_k^{(0)}$, $U_k^{(0)}$ — угол поворота и прогиб сечения вала в начале k-го участка; Q_k , M_k — перерезывающая сила и изгибающий момент в начале k-го участка; z_k — длина k-го участка; E, G — модули упругости первого и второго рода; F_k , J_k — площадь и момент инерции сечения рассматриваемого участка вала.

Уравнения (ПЗ.1) используют для определения перемещений в плоскостях XOZ и YOZ от всех силовых факторов, включая реакции опор, при последовательном расчете участков $k=1,\ 2,\ 3,\ldots$ В качестве начальных условий можно принять $\theta_1^{(0)}=0,\ U_1^{(0)}=0$ и после определения перемещений в опорах найти действительные углы поворота сечений и прогибы по формулам:

$$\theta(Z) = \theta(Z)^{(0)} + C;$$

$$U(Z) = U(Z)^{(0)} + CZ + D.$$
 (II3.2)

Постоянные C и D определяют из условия совпадения перемещений вала U(Z) при $Z=Z_A$ и $Z=Z_B$ с перемещениями в опорах δ_A , δ_B (рис. $\Pi 3.1$):

$$\delta_A = U_A^{(0)} + CZ_A + D; \quad \delta_B = U_B^{(0)} + CZ_B + D.$$

Из этой системы уравнений следует:

$$C = [\delta_B - \delta_A + U_A^{(0)} - U_B^{(0)}]/(Z_B - Z_A);$$

$$D = \{ Z_B [\delta_A - U_A^{(0)}] - Z_A [\delta_B - U_B^{(0)}] \}/(Z_B - Z_A). \tag{\Pi3.3}$$

Перемещения вала в опорах в плоскостях XOZ и YOZ определяют по формулам:

$$\delta_x = \delta R_x/R$$
; $\delta_y = \delta R_y/R$,

где δ — полное перемещение в опоре, связанное с деформацией и зазором ∂ в подшипнике (см. стр. 325); R_x , R_y — проекции полной реакции подшипника R на оси OX и OY.

Если направление координатной оси OX совпадает с плоскостью зацепления, то угол перекоса зубьев в зацеплении

$$\gamma_{\Sigma} = \gamma_{\rm m} + \gamma_{\rm m}$$

где γ_{uv} , γ_{k} — углы поворота сечений валов вокруг оси OY соответственно для шестерни и колеса.

Укажем способ определения углов $\gamma_{\rm m}$ и $\gamma_{\rm k}$, а также места концентрации удельной нагрузки по ширине зубчатого венца.

Если направление нормального усилия в зацеплении совпадает с принятым положительным направлением прогибов U по оси OX, то угол $\gamma_{\rm m}$ или $\gamma_{\rm x}$ должен быть принят равным углу θ по формуле (П3.2) соответственно при расчете перемещений валов шестерни или колеса в плоскости XOZ. Если направление нормального усилия в зацеплении не совпадает с принятым положительным направлением прогибов U, то $\gamma = -\theta$. Для этого правила определения углов $\gamma_{\rm m}$ и $\gamma_{\rm x}$ положительное значение угла $\gamma_{\rm x}$ соответствует концентрации удельной нагрузки к левому торцу шестерни и колеса.

При значении $\gamma_{\Sigma} < 0$ концентрация удельной нагрузки, вызванная деформацией валов, опор и зазорами в подшигниках, будет отмечаться

у правого торца шестерни и колеса.

Приложение 4 Подишиники качения

П4.1. Радиальные шариковые однорядные подшинники типа 0000 (см. рис. 10.2) по ГОСТ 8338—75

Условное обозначе-	đ	D	В	Грузоп ності	одьем- , кН	Условное обозначе-	d	D	B	Грузоп ності	
ние под- пинника	4	D	В	C	C ₀	ние под- пиппника	и		1	c	<i>C</i> ₀
	Ocoi	болегка	я сери	Я			Л	егкая	серия		
110	50	80	16	16	12,2	204	20	47	14	9,8	6,2
111	55	90	18	21,6	17,0	205	25	52	15	10,8	7,0
112	60	95	18	23,6	18,0	206	30	62	16	15	10,0
113	65	100	18	23,5	19,6	207	35	72	17	19,7	13,6
114	70	110	20	29,7	24,1	208	40	80	18	25,1	17,8
115	75	115	20	.29,5	24,1	209	45	85	19	25,2	17,8
116	- 80	125	22	36,7	31,3	210	50	90	20	27	19,7
117	85	130	22	36,4	31,3	211	55	100	21	33,3	25,0
118	90	140	24	40,3	35,0	212	60	110	22	40,3	30,9
119	95	145	24	40	35,0	213	65	120	23	44	34
120	100	150	24	41,5	37,6	214	70	125	24	47,9	37,4
121	105	160	26	55,5	48,7	215	75	130	25	50,9	41,1
122	110	170	28	63,0	57,2	216	80	140	26	55,9	44,5
124	120	180	28	65,3	61,3	217	85	150	28	64,1	53,1
126	130	200	33	78,2	73,1	218	90	160	30	73,8	60,5
128	140	210	33	81,1	78,4	219	95	170	32	83,7	69,5
130	150	225	35	96,7	97,0	220	100	180	34	93,9	79,0

П4.2. Радиальные подшипники с короткими цилиндрическими роликами однорядные типа 2000 (см. рис. 10.3) по ГОСТ 8328-75*

	вное			W 1	а 2000 Грузоп ності		Усло	вное				Грузоп	одьем- ь, кН
	ачение Іпника	đ	D	B.	С	C ₀	обозначение подшипника		d	D	В	c	C ₀
		Tan.	waa 40	7110			21 C		Средняя серия		5 1 1 1		
12204	42204	20	кая се 47	14	11,9	7,4	12305	42305		оняя с 62	ерия 17	22,2	14,5
–	42205	25	52	15	13,1	8,5	-	42306	30	72	19	29,6	20,2
-	42206	30	62	16	17	11,2	12307	42307	35	80	21	33,4	22,8
12207	42207	35	72	17	25,5	17,2	12308	42308	40	90	23	40,2	27,9
12208	42208	40	80	18	33,1	23,5	1 230 9	-	45	100	25	55,4	39,9
-	42209	45	85	19	34,6	25,2	12310	42310	50	110	27	63,9	46,6
12210	42210	50	90	20	38	28,6	12311	42311	55	120	29	82,4	61,6
12211	42211	55	100	21	42,8	32,3	12312	42312	60	130	31	98,1	75,7
12212	42212	60	110	22	53,7	42	-	42313	65	140	33	103	78,9
12213	42213	65	120	23	61	47,6	_	42314	70	150	35	120,7	95,5
	42215	75	130	25	74	60	-	42315	75	160	37	139,3	110
<u>-</u>	42216	80	140	26	77,2	62,2	_	42317	85	180	41	175,6	143,2
	l <u> </u>			: -	Спедь	яя иш	покля	cenua			74 -	l- <u>-</u>	
_	42606	30	72	27	40,1			42613	65	140	48	148,9	126,4
_	42607	35	80	31	45,7	34,1	-	42614	70	150	51	177,4	155,8
12609	-	45	100	36	77,7	61,5	<u>-</u>	42615	75	160	-55	207,8	183,2
	42612	60	130	46	137,2	115,6	-	42616	80	170	58	219,5	197,3
100			1		N. S.							-	

П4.3. Радиально-упорные роликовые однорядные комические подшиншики типа 7000 (см. рис. 10.8) по ГОСТ 333-79

Условное									ъемность, Н
обозначение подшипника	d	D	В	с	max	min	α°	c	C ₀
	- ث	1		11001	кал серия				
	17	1 40	1 12		13,5	13	1 12	13,5	9,1
7203	20	47	14	12	15,5	15	14	18,7	13
7204	25	52	15	13	16,5	16	14	23,4	17,6
7205	30	62	16	14	17,5	17	14	29,2	21,9
7206	35	72	17	15	18,5	18	14	34,5	25,8
7207	40	80	20	16	20	19,5	14	41,6	32,1
7208	45	85	19	16	21	20,5	15	41,9	32,8
7209	50	90	21	17	22	21,5	14	51,9	39,8
7210	55	100	21	18	23	22,5	15	56,8	45,2
7211	60	110	23	19	24	23,5	13	70,8	57,3
7212	70	125	26	21	26,5	26	14	94	80,5
7214	80	140	26	22	28,5	28	16	104	93,4
7216		1	1 50	la sa t	<u> </u>	<u> </u>	<u> 1 - 1 - 1 - 1 - 1 - 1 - 1 - 1 - 1 - 1 </u>		1 23,
					няя сери				
7304	20	52	16	13	16,5	16	11	24,5	17,4
7305	25	62	17	15	18,5	18	14	29	20,5
7306	30	72	19	17	21	20,5	14	39,2	29,3
7307	35	80	21	18	23	22,5	12	47,2	34,6
7308	40	90 100	23	20 22	25,5	25	11	59,8	45,1
7309	45		26 29	23	27,5	27 29	11	74,6	58,2
7310	50	110	29	25	29,5	4.7	12	94,7	74,4
7311	55	120	•	27	32 34	31 33	13	100 116	79,9
7312	60 65	130	31	28	38,5	35,5	12	131	94,4 109
7313		150	37	30	38,5	33,5 37,5	1 7 7	165	134
7314 7315	70 75	160	37	31	38,3 40,5	39,5	12 12	175	145,2
	ninga.	<u> </u>	<u> </u>						
7604	20	J 52	21	18,5	широкая 22,5	серия 22	11	28,9	21,6
7605	25	62	24	21	25,5	25	11	44,6	35,9
7606	30	72	29	23	29	28,5	12	60,I	50
7607	35	80	31	27	33	32,5	11	70,2	60,3
7608	40	90	33	28,5	35,5	35	11	78,5	66
7609	45	100	36	31	38,5	38	11	102	88,8
7610	50	110	40	34	42,5	42	11	120	106
7611	55	120	44,5	36,5	46	45	12	145	137
7612	60	130	47,5	39	49	48	12	168	154
7613	65	140	48	41	51,5	50,5	12	175	165
7614	70	150	51	43	54,5	53,5	13	200	182
7615	75	160	55	46,5	58,5	57,5	11	244	230,5
7616	80	170	59,5	49	62	6I	12	288,4	285,5

Приложение 5

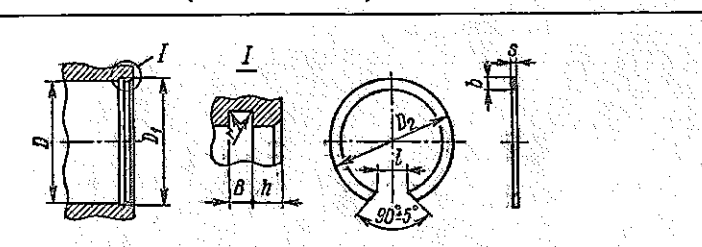
Кольца пружниные стопорные концентрические

П5.1. Кольца вружинные стопорные концентрические для крепления на валу или оси (ГОСТ 13940-80)

	,			h (dz	S	- \ \ - \ \ - \ \ - \ \ - \ \ - \ \ - \ \ - \ \ - \ \ - \ \ - \ \ - \ \ - \ \ - \ \ - \ \ - \ \ - \ \ \ - \ \ - \ \ \ - \ \ \ - \ \ \ - \		
		В	ал					Коз	њио	
ĺ		<i>I</i> ₁	В							
d	номин.	откло- исние	номин.	откло- нение	r _{max}	h _{min}	d ₂	S	ь	1
20 22	18,6 20,6	-0,14				2,1	18,2 20,2 22,1 23,1		3,2	5
24 25	22,5 23,5					2,3	23,1			
28 30	26,5 28,5	-0,28	1,4		0,1	2,3	25,8 27,8	1,2	4	6
32 34	30,2 32,2					2,7	29,5 31,4			V
35 36 38	33 34 36					3	32,2 33 35			
40 42 45 48	37,5 39,5 42,5 45,5	-0,34	1,9	0,25	0,2	3,8	36,5 38,5 41,5 44,5	1,7	5	8
50 52 55 58 60	47 49 52 55 57		2,2			4,5	45,8 47,8 50,8 53,8 55,8	2,0	6	
65 70 75	62 67 72	-0,4	2,8		0,3		60,8 65,8 70,6	2,5	7	10
80	76,5				<u> </u>	5,3	75		8	

При мечания: 1. Угол $\alpha=60^\circ\pm5^\circ$ для d<58 мм и $\alpha=90^\circ\pm5^\circ$ для d>58 мм. 2. Кольца пружинные концентрические изготавливают штамповкой или навивкой из стальной ленты. 3. Предусмотрены три группы отклонений от плоскостности: А. Б в В (по убыванию точности). 4. Пример условного обозначения кольца плоского концентрического штампованного с отклонением от плоскостности по группе Б для крепления детали по валу d=30 мм; кольцо 1Б30 ГОСТ 13940—80.

П5.2. Кольца пружнивые стопорные концентрические для крепления в корпусе (ГОСТ 13941—80)



		Көрпус		18,833			Кол	ьцо	N.
D	номин.	D ₁ отклонение	В	rmax	h_{\min}	D ₂	S	b .	1
40 42 45 47	42,5 44,5 47,5 49,5	0,34			3,8	43,5 45,5 48,5 50,6		4	12
50 52 55 56 58 60 62 65 68 70 72 75	53 55 58 59 61 63 65 68 71 73 75 78	0,4	199	0,2	4,5	.54,2 56,2 59,2 60,2 62,2 64,2 66,2 69,2 72,5 74,5 76,5 79,5	1,7	5	16
80 85 90 95 100 105 110 115 120	83,5 88,5 93,5 98,5 103,5 109 114 419 124	0,46	2,2	0,3	5,3	85,5 90,5 95,5 100,5 105,5 111 116 121,5 126,5	2,5	6	20

Примечания: І. См. примечания 2 и 3 приложения П5.1. 2. Пример усдовного обозначения кольца плоского концентрического штампованного с отклонением от ило-скостности по группе А для закрепления детали в корпусе $D=80\,$ мм: кольцо IA80 ГОСТ 13941—80.

Приложение 6

Шпонки призматические (ГОСТ 8788-68)

	100 -> 0 -	Исполнения
1	()	
	12 1	
	MM	

			Сече		Глу(па	бина за						ение Энки	Глуі : па	бина 13а
	d.		b	h	вала ^t 1	отв. <i>t</i> ₂		đ			b	h	вала ; <i>Е</i> 1	отв. <i>t</i> ₂
Св. 12	до	17	5	5	3	2,3	Св.	50	до	58	16	10	6	4,3
» 17	»	22	6	6	3,5	2,8	»	58	»	65	18	11	7	4,4
» 22	»	30	8	7	4	3,3	»	65	»	75	20	12	7,5	4,9
» 30	»	38	10	8	5	3,3	*	75	»	85	22	14	9	5,4
» 38	»	44	12	8	5	3,3	»	85	»	9 5	25	14	9	5,4
» 44	»	50	14	9	5,5	3,8	*	95	»	110	28	16	10	6,4
			•				»	110	»	130	32	18	11	7,4

Примечания: 1. Стандартный ряд длив l, мм: 6; 8; 10; 12; 14; 16; 18; 20; 22; 25; 28; 32; 36; 40; 45; 50; 56; 63; 70; 80; 90; 100; 110; 125; 160; 180 ... до 500. 2. Пример условного обозначения шпонки b=14 мм; h=9 мм; l=100 мм исполнения 2. Шпонка $2-14\times9\times100$ ГОСТ 8788-68.

Приложение 7

Соединения шлицевые

II7.1. Соединения шлицевые прямобочные (см. рис. 9.10, a-a) по ГОСТ 1139-80

$z \times d \times D$	b	d ₁ а не менее	f бо- лее		b	d ₁	a ieiiee	f	г, не бо- лее
			Ле	гкая серия				N 1	
6 × 23 × 26 6 × 26 × 30 6 × 28 × 32 8 × 32 × 36 8 × 36 × 40 8 × 42 × 46 8 × 46 × 50	6 7 6 7 8 9	22,1 3,54 24,6 3,85 26,7 4,03 30,4 2,71 34,5 3,46 40,4 5,03 44,6 5,75	0,3 0,2	8 × 52 × 58 8 × 56 × 62 8 × 62 × 68 10 × 72 × 78 10 × 82 × 88 10 × 92 × 98 10 × 102 × 108	10 10 12 12 12 14 16	49,7 53,6 59,8 69,6 79,3 89,4 99,9	4,89 6,38 7,31 5,45 8,62 10,08 11,49	0,5	0,5
			Сре	дияя серия				N .	
6 × 13 × 16 6 × 16 × 20	3,5 4	12 - 14,6 -		8 × 42 × 48 8 × 46 × 54	8 9	39,5 42,7	2,57	0,4	0,3
6 × 18 × 22 6 × 21 × 25 6 × 23 × 28	5 5 6	16,7 — 19,5 1,95 21,3 1,34	0,3 0,2	8 × 52 × 56 8 × 56 × 65 8 × 62 × 72	10 10 12	48,7 52,2 57,8	2,44 2,5 2,4		
6 × 26 × 32 6 × 28 × 34 8 × 32 × 38	6 7 6 7	23,4 1,65 25,9 1,7 29,4 –	0,4 0,3	10 × 72 × 82 10 × 82 × 92 10 × 92 × 102	12 12 14	67,4 77,1 87,3	3,0 4,5	0,5	0,5
8 × 36 × 42		33,5 1,02		10 × 102 × 112	16	97,7	6,3		

Примечание. Пример условного обозначения прямобочных соединений дан на стр. 176.

П7.2. Соединения шлицевые эвольвентные (см. рис. 9.10, $\varepsilon-e$) по FOCT 6033-80

		N	Годуль	m		_		N.	Годуль	nt	
D	1	I,5	2	2,5	3,5	D	2	2,5	3,5	5	10
		Чис	ло зуб	ьев г				Чис	ло зуб	beB z	
20 22 25 28 30 32 35 38 40 42 45 50 55	18 20 24 26 28 30 34 36 38	12 14 16 18 18 20 22 24 26 26 28 32 36	12 14 14 16 18 18 20 22 24 26	12 14 14 16 16 18 20	14	60 65 70 80 85 90 95 100 110 120 130 140 150	28 32 34 38	22 24 24 30 32 34 36 38 42 46 50	16 18 20 22 24 24 26 28 30 34 36 38 42	14 14 16 16 18 18 20 22 24 26 28	14

Примечание. Пример условного обозначения эвольпентных соединений дан на стр. 176.

1. Авианиониме зубчатые передачи и редукторы/Под ред. Э. Б. Вулгакова. М.: Машиностроение, 1981. 374 с.

2. Андрющенко В. М. Математические таблицы для расчета зубчатых передач.-

М.: Машиностроение, 1980. 438 с.

3. Анурьев В. И. Справочник конструктора-машиностроителя. М.: Машиностроение. В 3-х т. 1979. Т. І. 728 с.; Т. 2. 559 с.; Т. 3, 557 с.
4. Бейзельман Р. Д., Цьткин Б. В., Перель Л. А. Подшинники качения: Спра-

вочник. 6-е изд. М.: Машиностроение, 1975. 572 с.

5. Биргер И. А., Иосидевич Г. Б. Резьбовые соединения. М.: Машиностроение, 1973. 254 с.

6. Биргер И. А., Шорр Б. Ф., Иосилевич Г. Б. Расчет на прочность деталей машин: Справочник. 3-е изд., перераб. и доп. М.: Машиностроение, 1979. 702 с.

7. Вейц В. Л., Волженская А. М., Колчин Н. И. Геометрия зубчатых передач/Под ред. Е. Г. Гинзбурга. Л.: Машиностроение, 1978. 136 с. 8. Волков Д. П., Крайнев А. Ф. Трансмиссии строительных и дорожных машин:

Справочное пособие. М.: Машиностроение, 1974. 424 с.

9. Волновые передачи: Сб. трудов/Под ред. Н. И. Цейтлина, М.: Изд-во

Московская правда, 1970. 462 с.

10. Волновые зубчатые передачи/Под ред. Д. П. Волкова и А. Ф. Край-

нева. Киев: Техника, 1976. 221 с. 11. Воробьев И. И. Ременные передачи. М.: Машиностроение, 1979. 163 с.

12. Вулгаков Э. Б. Зубчатые передачи с улучшенными свойствами. М.: Машиностроение, 1974. 264 с. 13. Вулгаков Э. Б., Васина Л. М. Эвольвентные зубчатые передачи в обобщенных параметрах: Справочник по геометрическому расчету. М.: Машиностроение, 1978. 174 c.

14. Гинзбург Е. Г. Волновые зубчатые передачи. Л.: Машиностроение, 1969.

160 c. 15. Гинзбург Е. Г., Халебекий Н. Т. Производство зубчатых колес: Библиотечка зубореза/Под ред. Е. Г. Гинзбурга. 3-е изд., перераб. и доп. Л.: Машиностроение, 1978. 134 с.

16. Глухарев Е. Г., Зубарев Н. И. Зубчатые соединения: Справочное пособис.

Л.: Машиностроение, 1976. 198 с.

17. Громан М. Б. Концентрация нагрузки по ширине зубчатого колеса. – В ки: Расчет и конструирование деталей машии. М.: Машиностроение, 1956, с. 78-115. 18. Детали машин, Атлас конструкций/Под ред. Д. Н. Решетова. М.:

Машиностроение, 1979. 367 с. 19. Детали машин. 7-е изд./В. А. Добровольский, К. И. Заблон-

ский, С. Л. Зак и др. М.: Машиностроение, 1972. 503 с. 20. Детали машин: Справочник/Под ред. Н. С. Ачеркана. М.: Машиностросние. Т. І, 1968. 440 с.; Т. 2, 1968. 408 с.; Т. 3, 1969. 472 с.

21. Детали механизмов металлорежущих станков/Под ред. Д. И. Релге т.о.в.а.

М.: Машиностроение, 1972. 472 с.

22. Лопуски и посадки: Справочник/Под ред. В. Д. Мягкова. Л.: Маниностроение, 1978. 1032 с.

23. Дунаев П. Ф. Конструпрование узлов и деталей машин: Учебное пособие для вузов. — 3-с изд., перераб. и доп. М.: Высшая школа, 1978. 352 с. 24. Заблопский К. И. Зубчатые передачи. Киев: Техника, 1977. 207 с.

25. Заблонский К. И. Основы проектирования машин. Киев: «Вища школа». 1981. 312 c.

26. Заблонский К. И., Шустер А. Е. Встроенные редукторы. Киев: Техника, 1969. 176 c:

27. Зубчатые передачи: Справочник/Под общей ред. Е. Г. Гинзбурга. Л.:

Машиностроение, 1980. 416 с.

28. Зубчатые и червячные передачи. Некоторые вопросы кинематики, динамики, расчета и производства/Под ред. Н. И. Колчина. Л.: Машиностроение. 1974.

29. Иванов М. Н., Иванов В. Н. Детали машин. Курсовое проектирование.

М.: Высшая школа, 1975. 552 с.

30. Канцан М. В., Филиненков А. Л. Выбор оптимальных параметров нестандартных подшипников качения. – Вестник манимостроения, 1980, № 6, с. 28 – 30. 31. Клебанов Б. М., Гинзбург А. Е. Зубчатые передачи в машиностроении/Под

ред. Е. Г. Гинзбурга. Л.: Машиностроение, 1978. 119 с.

32. Кодинр Д. С. Контактная гидродинамика смазки деталей машин. М.: Машиностроение, 1976. 304 с.

33. Кораблев А. И., Решетов Д. Н. Повышение несущей способности и долговечности зубчатых передач. М.: Машиностроение, 1968. 288 с.

34. Кирдящев Ю. Н. Многопоточные передачи дифференциального типа. Л. Машиностроение, 1981. 223 с.

Кудоявиев В. Н. Выбор типов передач. М.—Л.: Машгиз. 1955. 56 с.

36. Кудрявцев В. Н. Детали машин. Л.: Машиностроение, 1980. 464 с.

37. Кудрявцев В. Н., Державец Ю. А., Глухарев Е. Г. Конструкции и расчет зубчатых редукторов: Справочное пособие. Л.: Машиностроение, 328 c

38. Кудривцев В. Н. Планетарные передачи. М. – Л.: Машиностроение, 1966. 308 c.

39. Нечипоренко В. А. Расчет высокоскоростных опор судовых редукторов. Л.: Судостроение, 1968. 150 с.

40. Николаев Г. А., Куркин С. А., Випокуров В. А. Расчет, проектирование

и изготовление сварных конструкций. М.: Высшая школа, 1971. 760 с.

41. Орлов П. И. Основы конструпрования: Справочно-методическое пособие. В 3-х т. М.: Машиностроение, 1977. Т. І. 623 с.; Т. 2. 574 с.; Т. 3. 357 с.

42. Планетарные передачи: Справочник/Под ред. В. Н. Кудрявцева и Ю. Н. Кирдяшева. Л.: Машиностроение, 1977. 536 с.

43. Повышение несущей способности механического привода/Под Den.

В. Н. Кудрявцева. Л.: Машиностроение, 1973. 224 с.

44. Подшиниеми качения: Каталог-справочник. М.: НИИавтопром. 470 c.

45. Поляков В. С., Барбаш И. Д., Ряховский О. А. Справочник по муфтам.

Л.: Машиностроение, 1974. 351 с.

- 46. Проектирование зубчатых конических и гипоидных передач: Инструкционные материалы фирмы «Глисон» США/Под ред. В. Ф. Родионова. М.: Машгиз, 1963. 244 c.
- 47. Проектирование механических передач: Учебно-справочное пособие по курсовому проектированию механических передач. 4-е изд., перераб./Под ред. С. А. Чернавского, Г. М. Ицковича и др. М.: Машиностроение, 1976. 608 c.

48. Производство зубчатых колес: Справочник/Под ред. Б. А. Тайца. М.:

Машиностроение, 1975. 728 с.

49. Прочность и надежность механического привода/Под ред. В. Н. Кудряв-

цева и Ю. А. Державца. Л.: Машиностроение, 1977. 240 с.

- 50. Пыж О. А., Абрамов А. К., Державец Ю. А. Расчет и конструкция червячных фрез для обработки зубчатых колес внутреннего зацепления. ЛДНТП, 1968.
- 51. Расчет и просктирование деталей машин/Под ред. Г. Б. Столбина и К. П. Жукова. М.: Высшая школа, 1978. 247 с.

52. Редукторы судовых турбоагрегатов: Справочное пособие /О. А. Пыж, Л. М. Гаркави, Ю. А. Державец, Р. Р. Гальпер. Л.: Судостроение, 1975, 271 c.

53. Решетов Д. Н. Детали машин. М.: Машиностроение, 1974. 656 с. 54. Решетов Д. Н. Работоспособность и надежность машин. М.: Высшая школа, 1974. 204 с.

55. Решетов Д. Н., Головачев М. И. К вопросу упрощения расчетов зубчатых передач на прочность по ГОСТ 21354-75. Вестник машиностроения, 1981, № 5,

56. Решетов Л. Н. Конструирование рациональных механизмов. 2-е изд.

М.: Машиностроение, 1972. 256 с.

57. Снесарев Г. А. Методические основы конструирования редукторов. М. Машиностроение, 1974.

58. Цилиндрические эвольвентные зубчатые передачи внешнего зацепления И. А. Болотовский, Б. И. Гурьев, В. В. Смирнов, Б. И. Шендерей.

М.: Машиностроение, 1974. 160 с.

59. Цилиндрические эвольвентные зубчатые передачи внутреннего зацепления И. А. Болотовский, Б. И. Гурьев, В. В. Смирнов, Б. И. Шендерей. М.: Машиностроение, 1977—192 с.

ОГЛАВЛЕНИЕ

Предисловие	3
Основные условные обозначения	4
Введение	7
Часть первая	
РАСЧЕТ ОСНОВНЫХ ЭЛЕМЕНТОВ МЕХАНИЧЕСКИХ ПЕРЕДАЧ	
Глава 1. Механические передачи, разрабатываемые в курсовом проекти- ровании (В. Н. Кудрявцев, И. С. Кузьмин)	10
§ 1.1. Общие сведения	ii
Глава 2. Цилиндрические зубчатые передачи с эвольвентным зацеплением (В. Н. Кудрявцев, И. С. Кузьмин)	15
§ 2.1. Геометрия эвольвентных зацеплений. Силы в зацеплении и КПД § 2.2. Краткие сведения о материалах зубчатых колес и их термообработке	- 27
 § 2.3. Проектировочный и проверочный расчеты цилиндрических зуб- чатых передач § 2.4. Последовательность расчетов цилиндрических зубчатых пе- 	31
редач	50
Глава 3. Цилиндрические передачи с внешним зацеплением Новикова (И. И. Арефьев, В. И. Смирнов)	60
§ 3.1. Геометрия зацепления	61 62
г дава 4. конические зуочатые передачи го. 11. гозорявцев, 11. С. жузь-	69
§ 4.1. Геометрия зацепления	- 83
§ 4.3. Проектировочный и проверочный расчеты конических зубчатых передач	85 87
Глава 5. Червячные цилиндрические передачи (Е. С. Кисточкии,	93
И. С. Кузьмин)	98 99 101 103
	397

лава 6. Планстарные передачи (В. Н. Кудрявцев, Ю. А. Державец, И. С. Кузьмин)	. 1
§ 6.1. Общие сведения и классификация	. 1
§ 6.3. Моменты, действующие на основные звенья	. 1
§ 6.4. Силы, действующие в зацеплении и на опоры основных звеньев и сателлитов	
§ 6.5. Распределение нагрузки между сатедлитами	1
§ 6.6. Условия сборки	1
 § 6.8. Коэффициент полезного действия. § 6.9. Расчет геометрии зацепления и прочности планетарных передач 	1: 1:
лава 7. Волновые зубчатые передачи (А. Л. Филипенков)	. 1
§ 7.1. Общие сведения	. 1
§ 7.2. Кинематические схемы волновых передач	1
§ 7.4. Расчет долговечности гибкого подшипника генератора воли и	
гибкого колеса на выносливость	Ţ
§ 7.5. Конструирование волновых передач	I
лава 8. Ременные передачи (И. 3. Томсинский)	. 1
§ 8.1. Типы ремней. Кинематика. Геометрические зависимости § 8.2. Расчет ременных передач	1
§ 8.3. Шкивы ременных передач	î
лава 9. Валы, оси и соединения вал — ступица механических передач	
(А. П. Филипенков)	. 1
§ 9.1. Конструнрование валов и осей и порядок проектирования	
§ 9.2. Проверочные расчеты валов и осей	. 1
§ 9.4. Шлицевые (зубчатые) соединения	. 1
§ 9.5. Цилиндрические и конические соединения с тарантированным	
натягом	
лава 10. По динивники качения (М. В. Капцан, А. Л. Филипсиков)	. I
§ 10.1. Общие сведения	1:
§ 10.3. Расчет полиципников качения	ī
Глава 11. Расчет резьбовых соединений (И. И. Арефьев)	. I
§ 11.1. Определение внешних нагрузок, действующих на болт в груп-	
повом болтовом соединении.	
\S 11.2. Определение силы затяжки $F_{3ат}$ и расчетной осевой силы $F_{6,pacq}$ болга (винта) группового соединения	t . [
§ 11.3. Определение днаметра болта при $F_{\text{вит}} = \text{const}$	ĺ
§ 11.4. Определение диаметра болта при $F_{\rm BH} \neq {\rm const}$	ī
§ 11.5. Проверочный расчет болтов на прочность	
§ 11.6. Расчет единичного болтового соединения, загруженного силой,	
действующей в плоскости стыка	. 1
§ 11.7. Порядок выполнения расчета группового болтового соединения	. 1
Глава 12. Указания к выбору типов передач и проведению научных ис-	. }
следований при курсовом проектировании (В. Н. Кудрявцев, при	L Sign
участии И. С. Кузьмина)	2
 § 12.1. Общие сведения. § 12.2. Приближенные расчеты зубьев цилиндрических передач на 	•
контактную прочность	. 2
8 12.3. Зависимости для расчета передач A и 3k с прямыми зубыями	, 2

 § 12.4. Определение массы зубчатых колес цилиндрических передач на стадии выбора схемы	211 220
Глава 13. Муфты (И. 3. Томсинский)	227
\$ 13.1. Общие сведения	228 230 233 234
основы конструирования механических передач	
Глава 14. Эскизная компоновка редукторов (Ю. А. Державец, В. Н. Куд- рявцев, И. С. Кузьмин)	240
§ 14.1. Компоновка одно-, двух- и трехступенчатых редукторов с пилиндрическими и коническими зубчатыми колесами. Компо-	
новка червячных редукторов	251
Глава 15. Правила оформления учебного проекта (И. И. Арефьев)	257
§ 15.1. Этапы проектирования	258
посадок, допусков формы и расположения поверхностей § 15.4. Шероховатость поверхности, ее параметры и нанесение их на	269
чертежах § 15.5. Правила нанесения на чертежах обозначений термической и других видов обработки.	278 280
Г н а в а 16. Конструпрование элементов передач (И. И. Арефьев, Ю. А. Дер- жавен)	281
§ 16.1. Конструкция цилиндрических зубчатых колес	- •283
 § 16.3. Конструкция червяков и червячных колес	284 285
колес, требований, предъявляемых к точности заготовок, и примеры оформления рабочих чертежей	292
разноименных профилей зубьев	305
Глава 17. Конструирование корпусных деталей, установочных плит и рам (И. И. Арефьев, В. Г. Тюленев, В. Ф. Федоров)	312
§ 17.1. Литые корпусные детали	320
Глава 18. Конструнвование уздов с подининиками качения (М. В. Капиан.	324
 § 18.1. Общие сведения. § 18.2. Элементы базирования и осевого фиксирования подшинников 	<u>.</u>
	325 329 —
§ 18.5. Конструкции фиксирующих опор.	332
	334 336
§ 18.8. Стаканы и крыники	337 339
그 그 그 그는 그는 그는 그는 것이 없어 있었다. 그 그 것에 있는 그는 그는 그는 그 그를 가장 없었다.	399

1 лава	. Смазывание. Смазочные и уплотинтельные ус			
	механических передач на нагрев (Е. С. Кисто- рявиев, Г. С. Соколов)	чкин, <i>В</i> .	H. Kyo.	344
§ 1	.1. Смазочные материалы			_
§ 1	2. Выбор вязкости масла.		• • •	346
§ l	.3. Смазывание передач			347
§ 1	.4. Смазочные и уплотнительные устройства .			351
§ 1	5. Расчет механических передач на нагрев	•		356
Глава :	. Конструкции редукторов (Ю. А. Державец, В. Ф. Федоров)	И, С.	Кузьмин,	358
8 2	.1. Цилиндрические редукторы			_
§ 2	2. Планетарные редукторы	• 5 • • •		
§ 2	.3. Червячные редукторы		• • • •	377
Приложе		• • • •		379
Carroon	ературы			394

ИБ № 829

Владимир Николаевич КУДРЯВЦЕВ, Юрий Адольфович ДЕРЖАВЕЦ, Иван Иванович АРЕФЬЕВ и др.

КУРСОВОЕ ПРОЕКТИРОВАНИЕ ДЕТАЛЕЙ МАШИН

Редакторы Н. 3. Быковская, Р. Н. Михеева Художественный редактор С. С. Венедиктов

Технические редакторы Т. Н. Витошинская, Т. П. Малашкина Корректоры А. И. Лавриненко, З. С. Романова Переплет художника Г. Л. Попова

Сдано в набор 12.01.83. Подписано в печать 21.10.83.

Формат 60 × 90 ¹/₁₆, Бумага ян.-журн.
Гарнитура «Таймс». Печать высокая,
Усл. печ. л. 25,0. Усл. кр.-отт. 25,0. Уч.-изл. л. 27,65. Дополнительный тираж
80 000 экз. Заказ 1522. Цена 1 р. 20 к.

Ленинградское отделение ордена Трудового Красного Знамени издательства «МАШИНОСТРОЕНИЕ»
191065, Ленинград, ул. Дзержинского, 10

Ордена Октябрьской Революции, ордена Трудового Красного Знамени Ленинградское производственно-техническое объединение «Печатный Двор» имени А. М. Горького Союзнолиграфирома при Государственном комитете СССР по делам издательств, полиграфии и книжной торговли. 197136, Ленинград, П-136, Чкаловский пр., 15